INSTITUTO
GEOGRAFICO
Y
CATASTRAL

MEMORIA
1963

528
IG
BIBLIOTECA IGN

INSTITUTO GEOGRÁFICO Y CATASTRAL - BIBLIOTECA

MEMORIAS
DEL
INSTITUTO GEOGRÁFICO Y CATASTRAL

Tomo XXXII

MADRID
1963



TALLERES DEL INSTITUTO GEOGRÁFICO Y CATASTRAL

TRABAJOS QUE COMPRENDE ESTE VOLUMEN

I.—«Datos básicos para un estudio de sismicidad en el área de la Península Ibérica», por J. M. Munuera Quiñonero.

II.—«Boletín Sísmico». Primer semestre del año 1959.

III.—«Boletín Sísmico». Segundo semestre del año 1959.

IV.—Observatorio Geofísico de Moca. Fernando Poo (España), «Geomagnetismo, año 1960», por Angel García Cogollor.

V.—«Calibración de los sismógrafos tipo Galitzin, de corto período, del Servicio Sismológico Español», por Julio Morencos Tévar.

VI.—«Boletín Sísmico». Primer semestre del año 1960.

VII.—«Boletín Sísmico». Segundo semestre del año 1960.

526
IG

MEMORIAS DEL INSTITUTO GEOGRAFICO Y CATASTRAL

Tomo XXXII

I

Datos básicos para un estudio de sismicidad en el área de la Península Ibérica

Por J. M. MUNUERA

INGENIERO GEOGRAFO

Introducción

Se ha preparado el presente trabajo para emprender un amplio programa de investigación del Servicio de Sismología español, con el fin de evaluar la sismicidad y algunos caracteres locales de la corteza en el área comprendida entre 10° W. a 5° E. de Greenwich y 35° a 44° N., que es sólo parte de la hoja número 31 de la división hecha por Gutenberg y Richter para la superficie de toda la Tierra (34) (*).

En el programa del proyecto específico inicial se distinguen dos partes. La primera trata de las perturbaciones, comprobaciones y correcciones apropiadas de todos los sismógrafos disponibles y también de la comparación entre las estaciones sismológicas de Málaga y Toledo, las cuales cuentan con juegos de sismógrafos Standard de largo (LP) y de corto (SP) período.

En la segunda parte se toma en consideración el copioso número de datos incluidos en el catálogo sísmico oficial. Son alrededor de 10.700 sismos, desde antes de Cristo a 1960, y han de disponerse en una forma expresiva capaz de proporcionar resultados numéricos para sismólogos e ingenieros y para otras aplicaciones científicas y técnicas.

Desde luego que es necesario conocer la estructura local, de manera que puedan deducirse datos para poder calcular tablas sísmicas apropiadas, y eso requiere, sobre todo, el estudio del camino de propagación de las ondas referido a cada una de las estaciones sismológicas. Tales aspectos diferentes del programa necesitan de la colaboración de un equipo de especialistas, en opinión de los cuales lo mejor es compilar monografías especiales, una para cada materia.

El presente estudio es el primero (Nota Técnica número 1) referente a la investigación en curso y concierne a un punto concreto (**) del programa relativo a Sismicidad. Se le ha titulado "DATOS BASICOS" porque será el material a utilizar para la determinación de mapas sísmicos de la zona y también para deducir los parámetros y evaluaciones de frecuencia, energía, etc.

En las diferentes fases del estudio de investigación aparecen algunas cuestiones que deben ser objeto de futuros estudios de interés. Por ejemplo, se ha advertido *tsunami* en algunos pocos sismos, tanto de la costa atlántica como mediterránea; debe ser realizado un estudio de *tsunami* en correlación con los estudios similares llevados a cabo en el Mediterráneo oriental, en las inmediaciones de Grecia.

(*) La llamada cita las referencias bibliográficas por el mismo ordinal en que figuran en el anejo.

(**) El texto inglés señala 2 *a*), que es la numeración adoptada en el proyecto presentado al O. A. R. y contratado después.

1. Fuentes

Se han utilizado los datos contenidos en el *Catálogo Oficial Español de Sismos Peribéricos*. Existen dos tomos publicados (tomo I, 1932, y tomo II, 1940) por el Instituto Geográfico y Catastral, Madrid (Servicio de Sismología), y se dispone de los mecanogramas completos hasta el año 1960, inclusive (1). El *Catálogo* se refiere a toda la información sísmica conseguida de los terremotos ocurridos en la zona limitada por los meridianos 5° E. y 20° W. (Greenwich) y los paralelos 25° y 45° N. El primer tomo (31) contiene la época antigua, que se remonta más allá del año 1300 antes de Jesucristo y termina en el año 1898. La segunda parte de ese tomo contiene los registros de las estaciones sismográficas españolas desde 1899, en que se estableció San Fernando (Observatorio de la Marina española), y los datos descriptivos de los terremotos de la misma zona antedicha hasta 1928. El segundo tomo (32) contiene el boletín de registro de todas las estaciones españolas hasta 1933 y también una detallada lista descriptiva de los sismos sentidos en la misma zona. Posteriormente, el Servicio de Sismología de España editó los boletines de registro de los años 1934, 1935 y 1950 en adelante, hasta 1958, y tiene en prensa los correspondientes que siguen hasta 1960, inclusive. No preparados para publicar hay también los datos del intervalo 1936 a 1949, ambos inclusive. Una copia de los mecanogramas del *Catálogo* (1935-1957) se ha remitido a la Comisión Sismológica Europea, en 1958. Se dispone también de un fichero de sismos notables de la zona, principalmente peninsulares (44), de mapas sísmicos (45) y sismotectónicos (43). Se han consultado también las listas de sismos españoles (1940 a 1958) (3 a 19 y 33) y de temblores catalanes (25 a 30).

De todos los datos referidos se han seleccionado los sismos catalogados que cumplen las siguientes condiciones:

1.ª Ocurridos en el área de esta investigación.
2.ª Localización posible, con más o menos aproximación.
3.ª Calificación posible, mediante grado de intensidad.

2. Area de investigación

El área de esta investigación está limitada por los meridianos 5° E. y 10° W. (Greenwich) y los paralelos 35° y 44° N. Es un cuadrilátero esférico que sensiblemente tiene como centro de figura el Observatorio Geofísico Rey Pastor, en Buenavista (Toledo), y que contiene todas las estaciones europeas del Servicio de Sismología. El área así definida comprende, además, los tres observatorios españoles privados (Cartuja, Ebro y Fabra) y el de la Marina (San Fernando), que forman una línea sobre la costa sur y sureste de la Península, y se completa en la costa del Atlántico con los tres observatorios portugueses (Lisboa, Coimbra, Porto). Dentro del área quedan incluidos el observatorio argelino de Bouzareah y el observatorio francés de Bagneres. La figura número 1 presenta un croquis del área, donde aparecen los límites y los observatorios. Es de superficie más restringida que la del *Catálogo* y también en comparación con la hoja número 31, establecida por Gutenberg y Richter. Se ha creído preferible atenerse a esa reducción por las siguientes consideraciones:

a) Contar con una estación telesísmica central bien equipada (Toledo).
b) Un número aceptable de observatorios marginales, la mayor parte de equipo homogéneo (corto período, Hiller).
c) Densidad bastante uniforme de las estaciones existentes.

Se advierte la falta de cinco estaciones que ayudarían mucho en la observación sísmica del área considerada. Una de estas estaciones debería cubrir la región del noroeste de la Península, y ya está previsto por el Instituto Geográfico y Catastral establecerla en Santiago de Compostela. Otra de las localizaciones que parece indicada es Baleares, estación que se piensa dotar en el futuro con un equipo móvil o con instrumentos retirados de aquellas estaciones actuales que dispongan de excedentes. Finalmente, otros dos lugares son el Pirineo oriental, quizás en Olot, donde provisionalmente existió un sismógrafo en funcionamiento durante un corto número de años, y también en el suroeste de la Península, entre el cabo de San Vi-

cente y el estrecho de Gibraltar; pudiera ser en la vecindad de Huelva, quizás en Riotinto, donde ya funcionó una estación sísmica por pocos años. La distribución de tales estaciones está de acuerdo con el punto de vista de la Misión Sismológica de la UNESCO para el Mediterráneo y el Oriente Próximo, que visitó España en la primavera de 1962 y presentó sus recomendaciones en el Seminario de Sismología e Ingeniería Sísmica de Roma, ese mismo año. Sus conclusiones incluyen la sugestión de que en las proximidades de Melilla fuera establecida una estación sísmica local, que sería la quinta que se echa de menos en el área de la presente investigación. En el informe presentado a la Segunda Asamblea de la U. G. G. I. de Madrid, 1924, se expuso ya el mismo plan (55).

La región considerada, una vez en pleno funcionamiento la localización de focos sísmicos con la mayor precisión deseable, podría en el futuro ser ampliada por el Sur y el Oeste para estudiar con la amplitud necesaria el Atlántico, comprendidas las islas Azores y el Sahara. Por el momento, ha parecido más práctico reducir el área geográfica y realizar un trabajo básico que sirva de partida a otros estudios posteriores.

3. Ponderación de los datos catalogados

Todos los sismólogos convienen en que no debe prescindirse de los datos sísmicos existentes de fecha anterior al registro instrumental, ya que de la comparación de todas las informaciones pueden deducirse muy útiles conjeturas que ayuden en la interpretación de la sismicidad y en el conocimiento de la actividad sísmica, principalmente. Sin embargo, para utilizar los datos disponibles se requiere un cuidadoso estudio de las descripciones de los terremotos acaecidos. Algunas de las informaciones son escasas, incompletas o adulteradas por el tiempo y otras circunstancias obvias. Esta situación ha inducido a considerar únicamente aquellas descripciones que satisfacen las tres condiciones del párrafo 1. La primera es una consecuencia del área considerada: todos los epicentros que racionalmente no pueden ser estimados dentro del área han sido sistemáticamente desechados. La condición tercera exige que las descripciones hayan permitido una calificación anterior o razonablemente asignable. La calificación anterior aparece en el *Catálogo* por el grado de intensidad de diferentes escalas sísmicas en uso, asignadas por sismólogos que han estudiado en épocas anteriores esos sismos (*). Ha sido aceptada sin ninguna variación la calificación del grado de intensidad sísmica que aparece frecuentemente en las descripciones del *Catálogo*. En los demás casos, ha sido detenidamente estudiada cada una de las descripciones particulares para estimar su calificación, de acuerdo con la síntesis del texto anotada en la tabla I, donde figura la correspondencia adoptada en las diversas escalas utilizadas y las descripciones del *Catálogo*. En una breve expresión, se resume su equivalencia con la escala internacional de intensidad sísmica publicada por Kirkland (39), siguiendo las ideas de Richter y referencias hechas por vez primera a tipos de fábrica A, B, C, D, genéricamente definidos respecto a su comportamiento frente a las sacudidas sísmicas.

Para la localización, ya se comprende, es imposible una determinación correcta en lo que concierne a los datos históricos. Se han aceptado las descripciones y utilizado como referencia las informaciones macrosísmicas existentes, en primer término, y, en último lugar, la mera mención de nombres de localidades afectadas por el fenómeno. Cuando tales datos no aparecen en el *Catálogo*, se ha prescindido del sismo en cuestión. En los sismos registrados se ha preferido siempre una determinación de las coordenadas epicentrales anotadas. En algunos casos esas coordenadas difieren entre los valores encontrados por dos o más autores; entonces se ha elegido la solución por estimación de todas las circunstancias de conjunto,

---

(*) Deben citarse expresamente los trabajos del físico J. Comas y del doctor E. Fontseré, de los Padres de la Compañía de Jesús, M. Sánchez Navarro-Neumann y A. Due, y de los Ingenieros Geógrafos J. Galbis, J. Rodríguez-Navarro, V. Inglada, A. Rey-Pastor y F. Gómez-Guillamón, que con otros varios sismólogos españoles, tanto y tan eficazmente han coadyuvado al gran caudal de datos acopiados en nuestro país.

Han estudiado también la sismicidad de algunas secciones comprendidas en el área investigada, F. L. Pereira de Souza (Portugal) y Steinkhard, Sieberg, Rothé y A. Perrey.

INSTITUTO GEOGRAFICO - BIBLIOTECA
1.328

anotando una llamada (") a continuación del símbolo (c), que expresa la existencia de coordenadas epicentrales calculadas y consignadas en el *Catálogo*. Las restantes coordenadas, asignadas para la mayoría de los sismos localizados, provienen de una estimación racional probable para el epicentro, y están, evidentemente, sujetas a un amplio margen de error, aunque es presumible queden contraídas a poco más de 50 kilómetros, en las zonas pobladas y para las informaciones del siglo XIX; aún menos para los sismos del siglo XX, y, naturalmente, cada vez más erróneas en épocas anteriores.

Por todas razones se ha establecido una calificación de clase (K), que figura a continuación del número de orden del sismo seleccionado. Esta calificación hace referencia a si los datos considerados son históricos (H), de registro (R) y de registro con cálculo de coordenadas y profundidad e intensidad definida por otros autores (E).

4. Epocas consideradas

Es evidente que no todas las informaciones que aparecen en el *Catálogo* son fruto de un mismo criterio. Por ese motivo se ha hecho necesaria una división más o menos plausible, en varias épocas cronológicas.

La primera época comprende mil años, desde el principio del *Catálogo* al año 600 después de Jesucristo. Las descripciones, aunque desde luego ciertas, casi rozan la leyenda. La segunda época comprende setecientos años, hasta el 1300, de la que solamente deben aceptarse las descripciones con reservas. La tercera época comprende los cinco siglos siguientes, hasta 1800, inclusive; las descripciones han sido revisadas en gran parte por sismólogos competentes y pueden estimarse con un margen de error no excesivo. La cuarta época se refiere a todo el siglo XIX; las descripciones están avaladas por documentos y testimonios más recientes y son razonablemente más aproximadas. La quinta época comprende datos de registro en su mayor parte y su valiosa información presenta, desde luego, menos errores en la estimación de las localidades, aunque, por supuesto, una gran parte de ellas está basada en las áreas macrosísmicas y los daños advertidos en las zonas pobladas, y no son objetivas localizaciones por medio de cálculos o de métodos gráficos. La sexta y última época comprende los diez años de 1951 a 1960, en que los registros son más perfectos. Aquellas localizaciones que no proceden de determinaciones publicadas en boletines o estudios diversos, se han efectuado expeditamente en esta misma investigación (2 y 53). No es rigurosamente posible expresar numéricamente el grado de exactitud de las localizaciones de focos y de las magnitudes atribuidas para todos los sismos, considerados aisladamente. Sin embargo, de lo expuesto; es decir, de la época y calificación (k), cabe formarse una idea de orientación para juzgar de la mayor o menor aproximación asignable al conjunto de epicentros, teniendo en cuenta esas circunstancias.

5. Magnitud y profundidad

Para deducir la magnitud de los sismos próximos existen varias fórmulas empíricas, basadas en el concepto dado primeramente por Richter (1935) y generalizado por Gutenberg y Richter para California (1942). De algunas de ellas, incluida también la corrección de magnitud unificada presentada por Gutenberg (1956), se obtuvo una fórmula con parámetros de valor promedio aplicable a la Península Ibérica (42). En el Servicio de Sismología, se han calculado las magnitudes (M) para los datos del *Catálogo*, desde 1934. Posteriormente, la Comisión Sismológica Europea (1962) ha propuesto otra expresión empírica muy sencilla, que presenta la ventaja de tener en cuenta la profundidad de foco (23).

En la tabla II figuran comparativamente los resultados obtenidos por varias de esas fórmulas, y se ve que la debida a la C. S. E. da los mejores resultados. Por otro lado, el terremoto de Orleansville (1954), localizado dentro del área de esta investigación, ha sido estudiado ampliamente por varios autores, valiéndose de abundantes registros de estaciones sismológicas de diferentes países. Simultáneamente, hay detallada información macrosísmica; llegándose así a fijar M, h, I por distintos caminos. Igualmente ocurre con el sismo también notable de Agadir, que, aun cuando no está localizado dentro de la zona, es suficientemente próximo y

de profundidad focal muy pequeña. Se ha aplicado la citada fórmula de la C. S. E. a ambos sismos, con lo que se obtiene:

(Agadir) $0{,}42 \cdot 10 + 1{,}07 \log 2 + 1{,}49 = 6{,}0$ $\left(\text{B C I S, } M = 5\frac{3}{4}\right)$

(Orleansville) $0{,}42 \cdot 11 + 1{,}07 \log 15 + 1{,}49 = 7{,}4$ $\left(\text{B C I S, } M = 7\frac{3}{4}\right)$

A la vista de tan excelente conformidad, se ha aplicado a todos los sismos relacionados la fórmula:

$$M = \frac{2}{3} I_0 + 1{,}7 \log h - 1{,}6 \qquad [1]$$

que, con la magnitud unificada de Gutenberg y Richter, se convierte en

$$m = 0{,}42\, I_0 + 1{,}07 \log h + 1{,}49 \qquad [2]$$

En aquellos casos en que h es desconocida se ha supuesto normal (entre 15 y 25 kilómetros, log h=1,4), salvo para algunos sismos locales, donde es evidente se trata de focos muy superficiales y en los que se ha considerado h=1. Para distinguir los tres casos; si en la casilla de profundidad (encabezada con h) no se consigna ningún dato, la magnitud se ha calculado como de profundidad normal; si el sismo es local y muy superficial, se ha anotado en la casilla de profundidad (m s) y determinado la magnitud para h=1. La anotación (s) se ha considerado equivalente a h=5. Cuando la profundidad está calculada y anotada en la casilla correspondiente, se ha aplicado la fórmula [2] antedicha para cada uno de los valores numéricos de h. La tabla III sirve para todos los casos.

Se han omitido las evaluaciones de $m < 3$, consignándose para ese caso el símbolo (—), en correspondencia y en la casilla de valores de m, de la lista de sismos seleccionados. La fórmula aplicada se refiere a profundidades hasta de 50 kilómetros. En algunos casos en que aparecen calculadas profundidades superiores a 50 kilómetros, la magnitud asignada se ha determinado (como una orientación y sin aceptarla plenamente), suponiendo que fuese 1 1/4 de la que correspondería a una profundidad igual al entero inferior de la raíz cuadrada de la profundidad conocida. Tales valores aparecen entre paréntesis, en la casilla encabezada por m.

Además de las ocasiones en que la descripción del *Catálogo* permite formar juicio de la profundidad, otras veces la información macrosísmica es suficiente para aplicar la fórmula aproximada de V. Inglada (35), en función de los radios de los círculos equivalentes a las áreas isosistas de los dos grados consecutivos superiores. En ambos casos, se han anotado los resultados estimados entre paréntesis y en la casilla de (h).

6. Grado de precisión

De todo ello pueden estimarse los límites de aproximación que aparecen en la tabla IV, tanto para las coordenadas epicentrales como para la magnitud. Las horas anotadas en la lista de sismos seleccionados son las más próximas posibles a la advertencia del fenómeno. Por lo tanto, únicamente son horas en el hipocentro en todos los casos en que los sismos tienen calificación (E) y en algunos de calificación (R), si sus coordenadas estaban anotadas en *Catálogo* (c). En los demás casos, las horas pueden ser epicentrales o de la primera fase registrada. Pero, en los sismos calificados (H), la hora es sólo la advertida por los informadores del sismo sentido, cuando ese dato existe.

En ocasiones aparecen varios sismos sucesivos en un mismo lugar. A veces, en el *Catálogo* están agrupadas como "sacudidas" dentro de un mismo número (Núm. Cat.), aunque también se describen como "períodos sísmicos", que transcurren durante varios días y aun meses. No siempre ha seguido el *catálogo* ese criterio; en ocasiones, consigna con diferentes números las "réplicas", además de la sacudida principal. En la lista de sismos seleccionados, se ha tomado el criterio de agrupar dentro de un mismo ordinal todas las sacudidas

próximas en tiempo y acaecidas en una misma localización, en consideración a que el sistema contrario daría lugar a evaluaciones exageradas de la frecuencia sísmica.

7. Datos anotados en la lista de sismos seleccionados

Los sismos seleccionados se han relacionado en una lista, de manera que cada línea contenga todos los datos consiguientes. Aparecen los siguientes, enumerados por columnas, cuyo contenido y símbolos se aclaran en la tabla V. La primera columna es el número de orden general del sismo. Sigue la clase (K); el año, mes y día. La siguiente columna expresa la hora en tiempo medio universal, en seis cifras (dos primeras para las horas, dos siguientes para los minutos y las dos restanets para los segundos); luego se anotan las coordenadas geográficas epicentrales, en grados y décimas de grado. Las otras dos siguientes columnas contienen, respectivamente, la profundidad en kilómetros y la magnitud unificada de Richter, que ha sido determinada según se dice en el párrafo 5.

Sigue una columna (Núm. Cat.), con el número de referencia del sismo en el *Catálogo* oficial, que ha servido de base a la investigación. La columna siguiente contiene la clasificación, tomada directamente del grado de intensidad que figura en el *Catálogo*, o la correspondiente evaluación por la descripción del texto del *Catálogo*. A continuación, otra columna contiene la localidad señalada en la descripción del *Catálogo* o la deducida de las coordenadas calculadas interiormente; en cuyo caso, se ha escrito dentro de un paréntesis el nombre local. Para abreviar estas designaciones se han realizado supresiones de nombres genéricos o partes del nombre, que pueden aclararse examinando la relación de la tabla VI. La columna siguiente (notas), comprende el número total de sacudidas atribuidas a un mismo sismo; indica si las coordenadas son procedentes de cálculo (c), si se dispone de información macrosísmica (m) y si del texto informativo se deduce, efectivamente, fue advertido *tsunami* (t) (tabla VII). Las llamadas para la aclaración se relacionan en la tabla VIII. La última columna (mapa) señala la cuadrícula del mapa de epicentros, del que se hace una descripción en otro párrafo.

8. Mapa de epicentros

Se ha utilizado la proyección cónica del mapa de la Península Ibérica, escala 1 : 1,.000.000. Los meridianos y paralelos se han trazado cada medio grado. Para facilitar la situación de epicentros, además de los paralelos y meridianos de límite, se han dividido en décimas de grado otros dos paralelos y meridianos intermedios. El área total se ha dividido en cuadrículas, cuyas ordenadas son letras y las abscisas números. Cada cuadrícula tiene asignado un índice unívoco, de una letra y dos cifras. Las cuadrículas empiezan y terminan entre las dos décimas de grado, en longitud y latitud, que exceden a los grados o a los medios grados, excepto en las primeras al W. y las primeras al S., que incluyen también el meridiano 10° W. y el paralelo 35° N. De esta manera no cabe duda de cuáles alineaciones de epicentros (evaluados en grados y décimas) corresponden a cada cuadrícula, de las 540 en que aparece dividida el área.

Se ha preferido realizar una división puramente geográfica sin atender a presunciones causales de sismos, como lo sería por bloques corticales y líneas sismo-tectónicas; en este punto se ha seguido el criterio (40) de que sean los enjambres de epicentros los que por su forma y agrupación (lineal o en núcleos), den lugar a posibles comparaciones y estudios de investigaciones geológicas y geofísicas, de lo que posteriormente pudieran deducirse conclusiones objetivas.

Los símbolos para los mapas, serán de un mismo tamaño para cada orden de magnitud asignada. Claramente puede ser apreciado el grado de exactitud atribuible, según se trate de sismos de clase H, R o E. Cuando coincida en un mismo punto la localización de varios sismos, se piensa usar un solo símbolo del tamaño mayor y clase superior. Un croquis del mapa en preparación se presenta en la figura 2.

9. Ficheros sísmicos

Se han formado fichas, cuyo modelo se adjunta (fig. 3). Las fichas son reproducción de cada una de las cuadrículas del mapa, para consignar individualmente todos los sismos cuya localización corresponde, anotados por coordenadas y con intensidad y magnitud.

Para cada año, desde 1951 a 1960, en la sexta época, y para cada una de las cinco épocas anteriores se han preparado hojas, en las cuales se anotan los sismos por cada magnitud y el número total de los sismos seleccionados. Otras fichas separan los sismos en históricos, de registro y calculados (H, R, E). La figura 4 es un modelo, a emplear también para anotar los sismos por intensidad.

10. Nota final

En la preparación del presente trabajo se han seguido criterios actuales (20, 22, 24); utilizando atlas (48, 54), mapas (36, 37), diccionarios (38, 41), publicaciones del Servicio Geográfico del Ejército (51, 52), Service Géographique de l'Armée Française (50) y del Servicio Cartográfico del Aire (49), así como otros documentos del Instituto Geográfico y Catastral, además de los que figuran en las referencias anotadas en los párrafos que anteceden.

Esta es la Nota Técnica número 1, la primera del estudio en curso, que contiene las siguientes partes, además del texto explicatorio (9 págs.): una lista de 3.255 sismos seleccionados (67 págs.), tablas I a VIII (14 págs.), figuras 1 a 4 (4 págs.) y referencias bibliográficas (3 págs.); en total, 97 páginas.

La investigación de que se informa en el presente documento ha sido sufragada por la Air Force Office of Scientific Research, OAR (Oficina de Investigación Científica de las Fuerzas Aéreas), a través de la European Office of Aerospace Research (Oficina Europea de la Oficina de Investigación del Espacio Aéreo), como parte del Advanced Research Project Agency's, Project Vela-Uniform (Agencia del Proyecto de Promoción de la Investigación, Proyecto Vela-Uniform) y de conformidad con el Contrato AF 61 (052)-657.

Madrid, septiembre 1963.

ERRATAS DEL TEXTO INGLES

PAGE	PARAGRAPH	LINE	WORD	CORRECT
1	6	1	differen	different
5	3	1	espress	express
5	4	6	coputed	computed
7	2	2	wole	whole
7	2	6	lis	list
8	5	2	accurecy	accuracy
75	No. 3163	long.	—1.4	—7.6
81	Table VI	final	Blanes	Blanes, South-East
86	Table VII	9	Marocco	Morocco

S E I S M I C D A T A

INTRODUCTION

This work is prepared to undertake a large research program of the Spanish Seismological Survey in order to evaluate the seismicity and some other local characters of the crust on the area from 10º W to 5º E Gr. and 35º to 44º North, a smaller piece of the division map No.31 by Gutenberg and Richter of the whole Earth (34) (.)

In the program of the specifical inicial project two parts were made. The first one to study the disturbances and appropriate control and corrections for all the seismographs available and also make comparison between Toledo and Malaga seismological stations, in both of which there are sets of Standard seismographs LP and SP.

In the second part the copious data of shocks that are included in the Official Seismic Catalogue are taken into consideration, about 10,700 earthquakes from before Xrt. to 1960, and put in an expressive form capable of giving numerical and graphical results for seismologists, engineers and other scientific and technical applications.

Moreover it is necesary to know the local structure to derive data for calculating appropriate tables and all this require over all to study the long path wave propagation refered to each Spanish seismological station. These different aspects in that program need the colaboration of a team of experts and they think it is better to compile special monographies, one for each matter.

Thus, the first technical note about this research is hereto prepared, that concerns pointing 2 a) of the study in program with the following title: "SEISMIC DATA" that will be the material to use at the determination of seismic maps of the area and also for the parameters and evaluations of frequency, energy, etc.

In the differen phases of the study and also in these technical notes appeared some question of interesting future studies; e.g. tsunami have been noted in a few shocks at the Atlantic coasts as much as at the Mediterranean coasts which should be studied in correlation of similar studies done on the Oriental Mediterranean, nearly to Greece.

(.) The sign is for the REFERENCES, in the same order given at that annex.

1.-Sources.

The data contained in the Official Spanish Catalogue have been used for the present work. There are two volumes published by the Instituto Geo grafico y Catastral and we have also the complete manuscript up to the end of 1960 (1). The Catalogue includes all seismic information obtained from the earthquakes occurred within the area limited by the meridians 5º E to 20º W, Gr. and the parallels 25º to 45º N. The first volume (31) contains the oldest period, since many years before Xrt. to 1898, in the first part; the second part contains the recorded data of the Spanish seismological stations since 1899, year in which the San Fernando Naval Observatory started to operate, and also the descriptive information of the earthquakes up to 1928 in the same area.

Volume number II (32) includes the seismic bulletin of the Spanish stations until 1933, and also a detailed list of earthquakes felt in the area.

Afterwards the S.S.S. published the seismic bulletin of the years 1934, 1935 and 1950 to 1958 and also has in press preparation the following bulletins up to 1960. The S.S.S. has the data since 1936 to 1949, but they are not prepared to be published.

A copy of the manuscript (1935-1957) was sent to the European Seismological Commission, in 1959.

The S.S.S. has also a file of all remarkable shocks in the Peninsula and proximities (44), seismic (45) and seismotectonic (43) maps. Other lists of Spanish (3 to 19, 33) and Catalonian (25 to 30) earthquakes have also been considered.

From all quoted data we have selected the earthquakes which fulfill the following conditions:

1. They occurred within the area,
2. They are possible to locate, with more or less accuracy,

and 3. They are possible to assigne a mean grade of intensity.

2.-Area covered by the research.

The area of this research is bounded by the meridians 5º E and 10º W, Gr. and the parallels 35º and 44º North. It is a spherical quadrilater with approximate center at the Observatorio Central Geofisico "Rey Pastor", Buenavista, Toledo, which contains all European stations of the S.S.S., the three private Spanish stations (Cartuja, Ebro, Fabra) and the Naval Observatory (San Fernando). They follow the Southern and Southeastern coast of the Peninsula Iberica and are complemented in the Atlantic coast with the three Portuguese stations (Lisboa, Coimbra, Porto). Inside of the area are also included the Algerian Observatory of Bouzareah and the French Observatory of Bagneres de Bigorre. Figure No.1 shows a sketch of the area, in which the boundaries and the location of the seismological stations are drawn. The extension of the area is smaller than that of the Catalogue and also in com-

parison with the sheet No.31 of Gutenberg and Richter. The writer considered this reduction preferable for having:

a) a teleseismic central station, very well equipped,

b) an acceptable number of marginal stations with homogeneous SP equipment,

and c) sufficiently uniform density of such available stations.

The lack of five seismological stations within the area which would be much helpful is in evidence. One of such stations should be stablished in the North West of the Peninsula and the S.S.S. has already a project for its instalation in Santiago de Compostela. Another reasonable place is on the Baleares; the S.S.S. projects to stablish there a portable set of seismographs or instruments taken away from other Spanish stations which have them duplicated. Lastly, two other localities could be the Oriental Pirinee, perhaps Olot, where in the past was working for some time a seismograph, and the Southwest of the Peninsula, between Sao Vicente cape and the strait of Gibraltar, perhaps close Huelva, in Riotinto, where a seismic station was opperating for several years.

The plan of these new stations agrees with the opinion of the UNESCO Seismological Mission to Mediterranean and Near East, which visited Spain during the Spring of 1962 and presented this recommendations to the Seminary of Seismology and Earthquakes Engineering in Rome, at the same year. The Commission also suggested to set up a local seismic station near Melilla, which would be the fifth lacking in the area covered by the research. In the report of the S.S.S. (55) to the Second Congress of the U.G.G.I., Madrid, 1924, the same project was proposed.

After the focal determination by the S.S.S. has reached a good accuracy within the area considered such area could be extended to the South and West in order to study part of the Atlantic including Açores Island and a zone of the Sahara. Nevertheless, at present the writer believes more practical to reduce the area in order to make a basic study which can be a start point for further investigations.

3.-Pondering of the data from the Catalogue.

All seismologists agree that data previous to instrumental recording should not be disregarded, because from the comparison of every kind of information very usefull conjectures can be obtained which may help in knowing the features of the seismic activity and the seismicity of a given region. However, to use the data available, a careful study of the description of occurred earthquakes must be made. In some cases the informations are scanty, not sufficiently complete or altered by the time and other obvious circumstances. These reasons have induced to consider only the descriptions satisfying the conditions espécifyed in paragraph 1. The first condition is a consequence of the limitation of the study to the area considered; then, all epicenters which could not be reasonably thought to lie within the area have been systematically rejected. The third condition requires that from the

descriptions a maximum intensity has been assigned or can be reasonably given. The intensities quoted in the Catalogue have been assigned by seismologists who have studied those earthquakes (.) and correspond to different seismic scales; such intensities have been accepted without variation. In the cases for which the Catalogue does not provide the intensity, all descriptions have been carefully studied in order to estimate a reasonable value, according to the text summary of the Table I, where a correspondence between the different intensity scales used and the Catalogue description is given.

The correspondence is summarized in a short expression; an abbreviation of such expression has been used to indicate the classify of shock in accordance with the international seismic intensity scale published by Kirkland (39) following the ideas of Richter in which reference is made for the first time to masonry type A B-C,D, defined according to their damage caused by earthquakes.

With regard to location it is obvious that a correct determination is impossible from historical data. For such data the writer has accepted the Catalogue description and used the macroseismic information or, if these were lacking, the mentioning of localities affected by the phenomenon; when the Catalogue does not include such information the shock was disregarded. For the instrumentally recorded earthquakes one of the epicentral coordinates quoted in the Catalogue were taken. In some cases different epicentral coordinates are given by different authors; then we have rearched a solution by estimation of all circumstances and we have written a sign (") following the symbol c, that indicates the existence of computed epicentral coordinates given in the Catalogue.

All the rest of epicentral coordinates, assigned to the largest number of located earthquakes, come from a careful estimation of the data and, then, are undoubtely affected by large errors; nevertheless such errors are probably not larger than 50 kms in populated areas and for shocks of the XIX century, even less for earthquakes of the XX century and, of course, bigger for older times.

Considereing all these reasons, a classification in different kinds (k) has been established which is given after the ordinal number of the selected earthquakes: Such classification indicates if the data considered are historical (H), come from instrumental records (R) or if the Catalogue contains epicentral coordinates, depth and intensity computed from records at different seismological stations (E).

(.) Reference must be made to the work of the physicist S.Comas, Dr. E. Fontsere, the Jesuit Fathers Sanchez Navarro-Neumann and Due, and the Geographical Engineers Galbis, Rodriguez-Navarro, Inglada, Rey Pastor and Gomez-Guillamon.(e.g., 21, 46, 47).

F.L.Pereira de Souza (Portugal), and also Steinkhs , Sieberg, Rothe and Perrey have studied some zone of the area covered the present research.

4.-Time periods considered.

It is evident that the informations appearing in the Catalogue are not a result of an homogeneous criterion. For that reason it is necessary to establish a division in several time periods.

The first period considered includes 1,000 years, since begining of the Catalogue up to the year 600 A.C.; the descriptions, although trust - worthy, are close to the border-line of legend. The second period is made up of 700 years, until 1300; the corresponding information must be accepted with caution. A third period consists of five centuries, up to 1800; the descriptions given in the Catalogue have been, in most cases, revised by competent seismologists and the possible errors are fairly small. The fourth period includes the whole XIX century; the corresponding informations are validated by more recent documents and it is natural to assume they are more approximate than in previous time. The fifth period or epoch includes mostly instrumentally recorded data; its valuable information presents, naturally, less errors in the location of shocks, although in most cases location is obtained from macroseismic data in populated regions and not by using objective numerical computations or graphical methods. Finally the 6th epoch consits of the decennium 1951-1960 in which the seismic records are more perfect. For this period, the focal determinations not coming from previous solutions given in bulletins or especial studies have been obtained in the course of the present investigation by expediteous methods (2, 53).

It is not strictly possible to espress numerically the degree of accuracy of the focal and magnitude determination for every particular shock. However, from the time period and kind (k) an opinion can be formed for judging about the accuracy of the set of epicenters, considering all circumstances.

5.-Magnitude and depth.

There are several empirical formulas for obtaining the magnitude of near earthquakes, based on the idea given first by Richter (1935) and later generalized by Gutenberg and Richter for California (1942). From some of them, including the correction for unified magnitude proposed by Gutenberg (1956), a formula was obtained with mean parameters applicable to the Iberian Peninsula (42). The S.S.S. has coputed the magnitudes (M) for the data of the Catalogue from 1934. Later on, the European Seismological Commission (1962) suggested another empirical expression, very simple, which has the advantage of taking into consideration the focal depth (23).

Table II shows comparatively the results obtained by using different formulas; it can be seen that the one suggested by the E.S.C. gives the best results. On the other **hand**, the earthquake of Orleansville (1954), located within the area investigated, has been studied by several authors who had records from many stations of different countries. Macroseismic information exists also of the shock, being possible, then, to obtain M, h, I, by different ways. The Agadir earthquake, very shallow, has similar circumstances, and although not included in our zone is sufficiently close to it. The E.S.C. formula has been applied to both earthquakes, obtaining:

(Agadir) $0.42 \times 10 + 1.07 \log 2 + 1.49 = 6.0$ (BCIS, M=5 3/4)

(Orleansville) $0.42 \times 11 + 1.07 \log 15 + 1.49 = 7.4$ (BCIS, M=7 3/4)

Such good fitting encuraged us to apply to all listed earthquakes the formula:

$$M = \frac{2}{3} I_o + 1.7 \log h - 1.6 \qquad !1!$$

which, introducing the unified magnitude of Gutenberg and Richter, becomes:

$$m = 0.42 I_o + 1.07 \log h + 1.49 \qquad !2!$$

In the cases in which h is unknown we have assumed normal depth, (between 15 and 25 km, log h = 1.4) except for a few local quakes that show clear evidence of very shallow depth for which h=1 has been taken. In order to distinguish the three cases, normal depth has assumed in calculating the magnitude when nothing appears under the heading depth (h) in the list; (ms) has been written if the earthquake is local very shallow and magnitude have been computed with h=1; the symbol (s) is taken for h=5. When the depth is computed and given by the Catalogue its value has been introduced in formula !2!. Table III is valid for all cases.

The values m<3 have been omitted, and the symbol - written in the corresponding place in the list of selected earthquakes. The formula applied refers to depths up to 50 km. For the cases in which the calculated depth is larger than 50 kms. the magnitude have been computed (as an approximation) assuming it is equal to 1 1/4 of the one corresponding to a depth equal to the closest integer smaller than the square root of the known depth; such values appear in brackets under the heading m.

In some shocks the Catalogue description permits to get an idea of focal depth and in some others the macroseismic information is sufficient to apply the approximate formula of V.Inglada (35) based on the radii of the circles equivalent to isoseismal areas of the two largest degrees. In both cases, the estimated depths have been given in brackets.

6.-Degree of accuracy.

The limits of accuracy in epicentral coordinates and magnitudes appearing in Table IV have been estimated by considering all circumstances explained in previous paragraphs. The hour written in the list of selected earthquakes corresponds to the nearest time to the occurrence of the phenomenon. They are hypocentral hour (origin time) only in the cases where the earthquakes is of kind E and in some shocks of kind R if their

coordinates were quoted in the Catalogue as c; for other earthquakes the hour may be epicentral time or it may correspond to the first phase recorded. For historical shocks H the hour is alway that of the moment when it started to be felt, if this data is reported.

In some occasions there is a sequence if earthquakes happening in the same place. Sometimes the wole sequence is grouped in the Catalogue under one only number (Nº Ct) and called "seismic period" which may last for several days or even months; each individual event is called "shock". But not always the Catalogue follows such criterion; in some cases the aftershocks of a main earthquake are numbered independently. In the lis of selected earthquakes we have followed the criterion of groupping in one number all shocks which happened close in time in the same locality, considering that other method give origin to exagerated evaluation of the seismic frecuency.

7.-Data given in the list of selected earthquakes.

The selected earthquakes are given in a list in such a way that every line contains in symbols all data corresponding to one of them. The symbols are explained in Table V. The data given are:

1. The ordinal number of the eartquake (order),
2. The kind (k),
3. The year, month and day,
4. The time of the event (UT) expressed in six figures; the two first for the hour, then two for the minutes and the last ones for the seconds,
5. The geographic epicentral coordinates in degrees and tenths of degree,
6. The depth in kilometers,
7. The unified magnitude (m) computed as explained in paragraph 5,
8. The reference number given by the Official Spanish Catalogue to the shock (nº Ct),
9. The maximum intensity as given by the Catalogue or one evaluated using the descriptions contained in it (Classify),
10. The localities written in the Catalogue description or that obtained from the calculated coordinates; in this second case the name is written in brackets. Several abbreviations have been made of the geographical names which are listed in Table VI.
11. Notes. The total number of shocks attributed to the earthqua-

ke; if the coordinates are calculated (c); if there are macroseismic information (m); if the description permits to deduce that there was tsunami (t). Table VII contains the list of tsunami. Table VIII lists all notes (").

12. The mesh number (map), in the epicenter map described below in which the shock occurred.

8.-Epicenter's map.

For mapping the epicenters we have used the conic projection of the Iberian Peninsula Map at 1:1.000,000 by Instituto Geografico y Catàstral. Meridians and parallels have been drawn every half degree. In order to make easier the location of epicenters not only the limiting meridians and parallels but also two intermidiate have been divided into tenths of a degree. The total area has been divided in meshes by a net of meridians and parallels at intervals of half a degree. Each mesh has an index made up of a letter and two numbers. Their boundaries are two tenths off the round degrees and half degrees of longitude and latitude except the first to the West and the South which include also the meridian 10º W and the parallel 35º N respectively; there is no doubt in this way of the mesh to which any epicenter belongs. The total area is divided into 540 parts.

A purely geographical division have been prefered, not influenced by any prejudice about possible causes of earthquakes (crustal blocks, seismotectonic lines); in this point we have followed the criterion (40) that the clustering of epicenters will give origin, by their shape (linear, in nuclei) and location, to geologic and geophysical researches and comparisons from which objective conclusions can be drawn.

The symbols for the mapping will be of the same size for each order of magnitude assigned. Clearly, the degree of accurecy of the epicenters, according to the kind H, R, E of the shock, could be appreciated. When several epicenters coincide in a point we think use the symbol of the corresponding to the largest size and upper kind. A design of the map in preparation is given in Fig.2.

9.-Seismic file.

We have compiled a file of seismic cards, each one reproduction of a mesh of the map net; they contain the number of the shocks listed. Also, a sheet for every mesh and each epoch have been made, with the coordinates, intensity and magnitude of the earthquakes include in the list of selected; a model of such sheets is given as Fig. 3.

For every year since 1951 to 1960, in the sixth epoch, and for every one of the five past epochs, we have drawn also sheets in which the order of earthquakes for each magnitude and total number of selected shoks into each mesh is given. Other sheets separate the quakes in historical, recorded and calculated (H,R,E). Fig. 4 is a model of such, and the same model is also used to draw the quakes by intensity.

10.Final note.

In the preparation of the present work we have followed up to date criteria (20, 22, 24); used atlas (48, 54), maps (36, 37), dictionaries (38, 41), publications of Servicio Geografico del Ejercito (51, 52), Service Geographique de l'Armee Française (50) and Servicio Cartografico del Aire (49) and also other documents from Instituto Geografico y Catastral besides the publications quotted in previous references.

This Technical Note, No.I, the first of the study in progress, contains the following parts, besides the explanatory text (9 pp): a list with 3255 selected earthquakes (67 pp), tables I-VIII (14 pp), figures 1 to 4 (4 pp) and references (3 pp); total, 97 pages.

The research reported in this document has been sponsored by AIR FORCE OFFICE OF SCIENTIFIC RESEARCH, OAR, through the European Office, Office of Aerospace Research, as part of the Advanced Research Project Agency's Project VELA-UNIFORM, according the Contract AF 61 (052)-657.

Madrid, September, 1963.

Jose Maria MUNUERA.

LIST OF THE SELECTED EARTHQUAKES

A B S T R A C T

Epoch	from	to	ordinal	H	R	E	Total
First	-399	600	1 . 13	13			13
Second	601	1300	14 . 29	16			16
Third	1301	1800	30 . 300	271			271
Fourth	1801	1900	301 . 774	452	22		474
Fifth	1901	1950	775 . 2868	634	1362	98	2094
Sixth	1951	1960	2869 . 3255	12	301	74	387
				1398	1685	172	3255

ERRATA

= Regarding the following mesh number in the list of the selected earthquakes

PAGE	ORDER	MAP	CORRECT
28	837	L19	L20
36	1242	K03	L03
38	1367	L19	L20
40	1459	U 27	S24
43	1600	T25	U25
52	2047	E10	D10
54	2121	C21	D21
56	2232	S03	R03
57	2374	E11	D11
63	2597	K29	K20
67	2807	L19	K19
68	2827	B21	A 21
69	2876	J18	J20
69	2879	J18	J20

Order	k	year	date	H (UT)	LatN	Long	h	m	nº Ct	Classify	Localities	Notes	Map
First epoch. 1000 years.													
1	H	-349			39.8	-0.2		5.4	5	sg	Sagunto		M20
2	H	-245			36.5	-6.3		6.7	6	sc	Cadiz		C08
3	H	-218			36.5	-6.3		6.3	7	vt	Cadiz	t.	C08
4	H	-216			36.5	-6.3		6.3	8	vt	Cadiz		C08
5	H	-210			36.5	-6.3		5.0	10	in	Cadiz	t	C08
6	H	-209			36.5	-6.3		5.0	11	in	Cadiz	t	C08
7	H	- 60			41.9	-8.8		6.7	13	sc	R.Miño	t	S03
8	H	- 33			38.6	-9.5		5.8	14	vs	Portugal		K01
9	H	0			38.6	-9.5		5.8	15	vs	Portugal		K01
10	H	309	F	22	38.6	-9.5		5.8	16	vs	Portugal		K01
11	H	365	L	21	36.5	-4.4		6.3	17	vt	Malaga,S	t	C12
12	H	382			36.0	-9.0		6.7	18	sc	S.Vicente,S		B02
13	H	585			42.7	+0.3		7.1	20	X(FM)	Pirineo,C		U21
Second epoch. 700 years.													
14	H	718			43.3	-5.1		6.7	21	sc	R.Deva		W10
15	H	881			37.5	-8.0		7.5	22	X(M)	Portugal,S		E04
16	H	944	L	15	37.9	-4.7		6.3	23	vt	Cordoba		H11
17	H	949			42.7	-4.8		7.1	24	ct	Valderabuey		U11
18	H	955	G	29 12	37.9	-4.7		5.0	25	in	Cordoba		H11
19	H	1009			37.5	-8.0		4.6	28	nd	Portugal,S		E04
20	H	1017			38.7	-9.2		4.6	29	nd	Lisboa		K02
21	H	1024	R	15	37.9	-4.7		6.3	30	vt	Cordoba		H11
22	H	1033	U	29	38.6	-9.5		5.0	31	in	Portugal		K01
23	H	1080			37.5	-5.5		6.3	32	vt	Andalucia,B		E09
24	H	1113	A	2	39.8	-4.0		5.4	35	sg	Toledo		M12
25	H	1117	J	3	38.7	-9.2		5.0	36	in	Lisboa		K02
26	H	1169			37.9	-4.7		5.8	38	vs	Cordoba		H11
27	H	1221			39.8	-4.0		5.4	39	sg	Toledo		M12
28	H	1224	D	16	42.0	+2.7		4.6	40	IV(FM)	Gerona		S26
29	H	1276			35.2	-6.1		6.3	3690	vt	Alaraisch		A08
Third epoch. 500 years.													
30	H	1309	F	22	38.6	-9.5		5.8	43	vs	Portugal		K01
31	H	1318	S	21	38.6	-9.5		5.4	44	sg	Portugal		K01
32	H	1320	D	9	38.6	-9.5		5.8	45	vs	Portugal	3	K01
33	H	1321	D		42.6	+2.8		4.2	46	IV(RF)	Perpignan		U26
34	H	1330	F	21	42.6	+2.8		4.6	47	V(RF)	Perpignan		U26
35	H	1337	D	24	38.6	-9.5		4.6	49	nd	Portugal		K01
36	H	1344			38.7	-9.2		5.8	50	vs	Lisboa		K02
37	H	1347	N	28	42.7	+0.3		6.3	51	vt	Pirineo,C		U21
38	H	1350			38.7	-9.2		4.2	52	sf	Lisboa		K02
39	H	1355	U	11	38.6	-9.5		4.6	53	nd	Portugal		K01
40	H	1355	G	4	38.6	-9.5		4.6	54	nd	Portugal		K01

./.

41	H	1356	G	23		37.0	-7.4		6.3	55		vt	Portugal,SE		D06
42	H	1357	Y	14		37.0	-7.4		6.3	56		vt	Portugal,SE		D06
43	H	1366	D	18		38.6	-9.5		4.2	57		sf	Portugal		K01
44	H	1370				42.6	+2.8		5.0	58	VI(RF)		Perpignan		U26
45	H	1372				42.4	+0.8		4.6	59		nd	Ribagorza		T22
46	H	1373	F	2		40.8	+0.6		5.0	60		in	Tortosa		P22
47	H	1373	R	2	00	42.3	+2.3		5.4	61	VII(RF)		Ulla		T25
48	H	1373	R	11		41.6	+2.4		4.2	62		sf	Cataluña		S25
49	H	1373	R	18	18	42.6	+2.8		4.2	63	III(RF)		Perpignan		U26
50	H	1373	R	19		42.3	+2.3		4.6	64	V(RF)		Ulla		T25
51	H	1373	Y	3		42.6	+2.8		4.6	65	V(RF)		Perpignan		U26
52	H	1373	Y	22		42.6	+2.8		3.8	66	II(RF)		Perpignan		U26
53	H	1373	Y	24		41.6	+2.4		3.8	68	II(RF)		Cataluña		S25
54	H	1374	F	2	20	42.4	+0.8		7.1	69	X(FM)		Ribagorza		T22
55	H	1375	F	21		42.6	+2.8		4.6	71	V(RF)		Perpignan		U26
56	H	1376	F	1		41.6	+2.4		4.6	72	V(RF)		Cataluña		S25
57	H	1381	A	27		42.6	+2.8		4.2	74	III(RF)		Perpignan		U26
58	H	1394				43.6	+3.9		5.0	77	VI(RF)		Montpellier		X28
59	H	1395	G	20		38.6	-9.5		4.6	78		nd	Portugal		K01
60	H	1395	D	18		39.0	-0.6		7.5	79	XI(FM)		Valencia,R	3	K19
61	H	1396	Y	2		42.0	+2.7	(s)	5.6	80	VIII(FM)		Gerona		S26
62	H	1396	G	24		37.4	-6.0		5.8	81		vs	Sevilla		E08
63	H	1396	D	15		39.0	-0.6		6.3	82		vt	Valencia,R	4	K19
64	H	1397				43.6	+3.9		4.2	83	IV(RF)		Montpellier		X28
65	H	1400	G	24		37.4	-6.0		5.8	84		vs	Sevilla		E08
66	H	1404	Y	2		42.0	+2.7		5.8	85	VIII(RF)		Gerona		S26
67	H	1406				36.8	-2.5		5.8	87		vs	Almeria		D15
68	H	1410	Y	30		41.3	+2.2		5.8	88	VIII(RF)		Barcelona		R25
69	H	1420				42.1	+2.6		6.7	89		sc	Amer		T26
70	H	1425	F	9		41.6	+2.4		6.3	91	VIII(FM)		Cataluña		S25
71	H	1426	R	3		42.2	+2.4		5.4	92	VII(RF)		Cataluña,NE		T25
72	H	1427	R	2	21	42.1	+2.6		6.7	93		sc	Amer	8	T26
73	H	1427	A	23		42.1	+2.6		6.7	93		sc	Amer		T26
74	H	1427	Y	15		42.2	+2.5		7.1	94	X(RF)		Olot		T25
75	H	1428	F	2	08	42.2	+2.5		7.1	95	X(RF)		Olot		T25
76	H	1430	J	11		42.4	+2.0		4.6	96	V(RF)		Puigcerda		T24
77	H	1431	A	24	14	39.0	-4.0	(s)	4.8	97		sg	C.Real		K12
78	H	1431	A	24		37.2	-3.6		5.8	98		vs	Atarfe		E13
79	H	1433	R	10		42.2	+2.4		5.8	99	VIII(RF)		Cataluña,NE		T25
80	H	1435	N	6		41.3	+2.2		4.2	100	IV(RF)		Barcelona		R25
81	H	1448	Y	24		42.2	+2.4		5.8	103	VIII(RF)		Cataluña,NE		T25
82	H	1450	S	16		42.6	+2.8		5.4	105	VII(RF)		Perpignan		U26
83	H	1466				37.4	-6.0		5.8	107		vs	Sevilla		E08
84	H	1475	D	6		41.3	+2.2		5.4	108		sg	Barcelona		R25
85	H	1494	J			36.7	-4.4		7.1	114	X(FM)		Malaga		D12
86	H	1504	A	5	0930	37.4	-5.6	(i)	7.9	116		tc	Carmona		E09
87	H	1504	U	21	23	37.4	-6.0		4.6	117		nd	Sevilla	3	E08
88	H	1511	F	23	06	41.3	+2.2		4.2	120	IV(RF)		Barcelona		R25
89	H	1511	D	23	0630	41.3	+2.2		4.2	121	III(M)		Barcelona		R25
90	H	1511	D	25	03	41.3	+2.2		4.2	122	III(M)		Barcelona		R25

./.

91	H	1516				37.1	-3.0	5.8	154		vs	Paterna	2	E14
92	H	1518	U	10	11	37.3	-2.2	4.6	123		nd	Albox	3	E16
93	H	1518	U	17	0930	37.7	-1.7	4.2	124		sf	Lorca	2	H17
94	H	1518	U	18	0815	37.4	-2.0	4.6	125		nd	Huercal	12	E16
95	H	1518	U	20	0615	37.3	-2.2	5.8	126		vs	Albox		E16
96	H	1518	L	2	2130	37.4	-2.0	5.4	127		sg	Huercal		E16
97	H	1518	L	4	07	37.2	-2.1	5.0	128		in	Lubrin		E16
98	H	1518	L	7	0845	37.3	-1.9	4.6	129		nd	C.Vera	3	E17
99	H	1518	L	21	06	37.3	-1.9	4.6	130		nd	C.Vera	5	E17
100	H	1518	G	6	0130	37.2	-1.9	4.6	131		nd	Vera		E17
101	H	1518	G	8	02	37.3	-1.9	4.2	132		sf	C.Vera	4	E17
102	H	1518	G	12		37.4	-2.0	3.8	133		sl	Huercal		E16
103	H	1518	G	14	03	37.4	-2.0	3.8	134		sl	Huercal	2	E16
104	H	1518	G	23	0020	37.4	-2.0	4.2	135		sf	Huercal		E16
105	H	1518	G	28	10	37.8	-1.4	3.8	136		sl	Alhama,M	4	H18
106	H	1518	N	9		37.2	-1.9	6.7	138		sc	Vera		E17
107	H	1522	S	22		37.5	-2.8	6.3	140		vt	Baza		E15
108	H	1523				38.1	-0.6	5.8	141		vs	Guardamar		J19
109	H	1525	L	4		41.3	+2.2	4.2	142	IV(RF)		Barcelona		R25
110	H	1525	L	6	1145	41.6	+2.4	3.8	143		sl	Cataluña		S25
111	H	1526	L	4		37.2	-3.6	6.3	144	VIII(FM)		Granada		E13
112	H	1529	G	15		36.8	-2.5	5.0	145		in	Almeria		D15
113	H	1531	J	26		38.7	-9.2	7.5	146		tc	Lisboa	t.56	K02
114	H	1533				37.0	-4.0	6.3	147		vt	Alhama,G		D12
115	H	1544	U	22		38.7	-0.2	5.4	149		sg	Guadalest		K20
116	H	1550	A	19		36.8	-2.5	7.1	150		ct	Almeria		D15
117	H	1551	J	28		38.7	-9.2	6.7	151		sc	Lisboa		K02
118	H	1558	D	31	02	36.8	-2.5	5.4	155		sg	Almeria		D15
119	H	1575	U	7		38.7	-9.2	4.6	159		nd	Lisboa		K02
120	H	1575	L	27		38.7	-9.2	4.6	160		nd	Lisboa		K02
121	H	1579	R	1		35.3	-3.0	5.0	161		in	Melilla		A14
122	H	1580	A		22	41.4	+2.1	4.6	162	V(RF)		Cornella		R25
123	H	1581	U	18		36.7	-4.4	5.8	163	VII(FM)		Malaga		D12
124	H	1587	N			37.5	-8.2	6.3	164		vt	Algarve		E04
125	H	1589	S	21		37.9	-4.7	5.0	165		in	Cordoba		H11
126	H	1597	L	28		38.7	-9.2	6.3	166		vt	Lisboa		K02
127	H	1598	L	8		38.7	-9.2	4.6	167		nd	Lisboa		K02
128	H	1598	L	28	17	38.7	-9.2	5.0	168		in	Lisboa	2	K02
129	H	1599	J			39.0	-0.2	6.3	169	VIII(F)		Gandia		K20
130	H	1605	D	20		41.3	+2.2	4.2	170	III(RF)		Barcelona		R25
131	H	1605	D	25		41.3	+2.2	4.2	171	III(M)		Barcelona		R25
132	H	1608	R	21		37.4	-6.0	5.8	172		vs	Sevilla		E08
133	H	1618	L	3	0530	42.7	+0.3	4.2	176		sf	Pirineo,C	2	U21
134	H	1620	A	13		38.7	-9.2	4.2	176		sf	Lisboa		K02
135	H	1620	A	21		38.7	-9.2	4.6	176		nd	Lisboa		K02
136	H	1620	D	2	1830	38.7	-0.5	6.3	177		vt	Alcoy	3	K19
137	H	1624	Y	11	03	36.0	-3.0	5.0	178		in	Alboran		B14
138	H	1626	U	24	03	38.7	-9.2	4.6	178		nd	Lisboa		K02
139	H	1628	A	5		41.3	+2.2	5.0	179	V(FM)		Barcelona		R25
140	H	1635	A	9		37.2	-3.6	4.6	3706		nd	Granada		E13

./.

141	H	1636	G	17		37.2	-3.6		4.6	3707	nd	Granada		E13
142	H	1640	F	27	0830	37.2	-3.6		4.6	3709	nd	Granada		E13
143	H	1640	O	6	10	37.2	-3.6		4.2	3710	sf	Granada	2	E13
144	H	1644				38.7	-0.5		4.6	182	nd	Alcoy		K19
145	H	1645				38.7	-0.5		5.8	183	vs	Alcoy		K19
146	H	1654	O	20		40.0	+4.1		7.1	184	IX(M)	Alayor		M29
147	H	1656				39.2	-1.2		6.3	185	VIII(FM)	Ademuz		L18
148	H	1658	D	30	24	36.8	-2.5		6.3	186	vt	Almeria	2	D15
149	H	1660	R	18	14	39.6	+2.4		5.8	187	VII(M)	Palma	3	M25
150	H	1660	U	21	0445	42.7	+0.3		3.8	189	sl	Pirineo,C		U21
151	H	1660	G	5		35.3	-3.0		5.4	190	sg	Melilla		A14
152	H	1668				37.4	-4.0		5.0	194	in	Alcala R.		E12
153	H	1672	G	28		37.7	-1.7	(s)	4.8	195	sg	Lorca		H17
154	H	1673	R	10	21	36.7	+3.1		6.3	196	vt	Alger	71	D27
155	H	1674	G	28		37.7	-1.7	(s)	5.6	197	vt	Lorca	40	H17
156	H	1678	L			42.7	+0.3		7.1	199	ct	Pirineo,C		U21
157	H	1680	O	9		36.5	-4.4		6.7	202	sc	Malaga,S	t	C12
158	H	1682	S	27	0145	35.3	-3.0		4.6	203	nd	Melilla	3	A14
159	H	1693				35.3	-4.1		4.6	204	nd	Alhucemas		A12
160	H	1703	J	6	0730	41.3	+2.2		4.2	207	IV(R)	Barcelona		R25
161	H	1713	O	21	2030	35.3	-3.0		4.6	210	nd	Melilla		A14
162	H	1716	F	3	02	36.7	+3.1		6.3	214	vt	Alger	3	D27
163	H	1716	Y			36.7	+3.1		6.7	217	sc	Alger		D27
164	H	1717				36.7	+3.1		6.3	218	vt	Alger		D27
165	H	1717	G	5	2330	36.7	+3.1		5.8	219	vs	Alger		D27
166	H	1719	R	6		37.1	-8.3		5.4	220	sg	Algarve,S		E04
167	H	1721	R	24		39.8	+2.9		6.3	222	VIII(FM)	Selva		M26
168	H	1722	G	22		36.7	-4.4		5.0	223	in	Malaga		D12
169	H	1722	N	29		36.7	+3.1		5.0	224	in	Alger		D27
170	H	1722	D	27		37.1	-7.7		7.5	225	X(M)	Tavira	t.m.	E05
171	H	1724	F	27	0630	37.4	-6.0		5.4	228	sg	Sevilla		E08
172	H	1724	O	13	0245	38.7	-9.2		4.2	229	sf	Lisboa		K02
173	H	1730	A	16	1945	38.3	-0.7	(s)	4.3	233	in	Elche		J19
174	H	1732	F	10	09	37.4	-6.0		4.6	236	nd	Sevilla		E08
175	H	1738	O	29		37.4	-6.0		4.6	239	nd	Sevilla		E08
176	H	1743	R	9	16	38.0	-1.2		4.6	241	nd	Murcia		H18
177	H	1746	G	15	09	38.0	-1.2		5.0	242	in	Murcia		H18
178	H	1748	R	23	0615	39.0	-0.6		6.7	244	sc	Valencia,R	2	K19
179	H	1749	S	22	0930	37.4	-6.0		5.0	247	in	Sevilla		E08
180	H	1749	F	22		39.6	+3.0		3.8	249	sl	Mallorca		M26
181	H	1750	Y	9		37.2	-7.0		5.4	250	sg	Huelva		E06
182	H	1750	Y	25	22	43.2	-0.3		5.4	252	sg	Pau	5	W20
183	H	1751				37.4	-2.5		5.4	256	sg	Almeria,P		E15
184	H	1751	D	19		40.9	-8.5		5.0	257	in	Feira		P03
185	H	1752	R	27		40.9	-8.5		5.0	261	in	Feira		P03
186	H	1752	A	28		40.2	-8.5		4.2	262	sf	Coimbra		N03
187	H	1753	N	1		42.0	+2.7		3.8	263	sl	Gerona	2	S26
188	H	1754	Y	23	12	38.0	-1.2		5.4	3723	sg	Murcia	2	H18
189	H	1755	G	24	03	39.7	-3.8	(s)	3.1	264	sl	Mora,T		M13
190	H	1755	N	1		36.0	-9.0	(i)	8.3	266	tc	S.Vicente,S	t.m.(")	B02

./.

191	H	1755	N	2		36.0	-9.0		6.7	267	sc	S.Vicente,S t BO2
192	H	1755	N	3	07	36.0	-9.0		4.6	268	nd	S.Vicente,S BO2
193	H	1755	N	4	1030	40.6	-4.1	(s)	3.9	269	nd	Escorial P12
194	H	1755	N	5	2015	36.1	-5.3		4.2	270	sf	Gibraltar C10
195	H	1755	N	6		38.7	-9.2		3.4	271	st	Lisboa KO2
196	H	1755	N	8	0530	37.5	-8.0		6.3	272	vt	Portugal,S E04
197	H	1755	N	15		37.2	-3.6		4.6	273	nd	Granada E13
198	H	1755	N	16	1530	43.0	-8.4		5.4	274	sg	Galicia,C t U04
199	H	1755	N	17	0230	35.8	-5.3		5.0	275	in	Ceuta B10
200	H	1755	N	27		36.0	-9.0		5.8	283	vs	S.Vicente 10 BO2
201	H	1755	N	29	0230	36.0	-3.0		4.6	284	nd	Alboran B14
202	H	1755	D	9		38.7	-9.2		4.6	287	nd	Lisboa KO2
203	H	1755	D	11	05	38.0	-7.9		4.2	288	sf	Beja H05
204	H	1755	D	21	09	38.6	-9.5		5.0	289	in	Portugal t.2 KO1
205	H	1755	D	27		42.4	+2.5		3.8	291	sl	Canigou 6 T25
206	H	1756	J	20		38.7	-9.2		5.0	295	in	Lisboa KO2
207	H	1756	J	31		39.4	+3.1		5.0	296	in	Santany t L27
208	H	1756	F	18		38.7	-9.2		5.4	298	sg	Lisboa KO2
209	H	1756	R	7		38.7	-9.2		3.8	300	sl	Lisboa KO2
210	H	1756	R	11		38.7	-9.2		5.0	302	in	Lisboa KO2
211	H	1756	R	20		38.7	-9.2		5.4	303	sg	Lisboa t KO2
212	H	1756	Y	5		38.7	-0.5	(s)	3.1	3724	sl	Alcoy K19
213	H	1756	L	4	2230	38.7	-9.2		5.4	307	sg	Lisboa 4 KO2
214	H	1756	L	10		38.7	-9.2		4.6	308	nd	Lisboa 3 KO2
215	H	1756	G	3		39.3	-9.2		4.2	309	sf	Obidos L02
216	H	1756	N	28	02	41.5	-8.6		4.6	311	nd	Barcellos R03
217	H	1757	J	16		38.7	-9.2		3.4	313	st	Lisboa KO2
218	H	1757	R	1	03	38.7	-9.2		5.0	316	in	Lisboa KO2
219	H	1757	N	20		39.2	-8.0		4.2	321	sf	Ponte L04
220	H	1758	L	3	0045	38.7	-9.2		3.8	324	sl	Lisboa KO2
221	H	1759	A	25		38.7	-9.2		4.2	325	sf	Lisboa KO2
222	H	1761	R	31	1205	41.1	-8.6		6.3	329	VIII(FM)	Porto t.6 R03
223	H	1761	A	30		38.7	-9.2		5.0	330	in	Lisboa KO2
224	H	1763	L	2		39.6	+3.0		3.8	335	sl	Baleares M26
225	H	1764	L	11	0732	43.8	+4.3		4.2	336	sf	Nimes 2 X29
226	H	1763	O	11	08	37.4	-6.0		4.6	337	nd	Sevilla E08
227	H	1763	O	16	15	42.4	+2.5		5.8	338	VIII(RF)	Canigou T25
228	H	1764	Y	26		39.6	+3.0		3.8	340	sl	Baleares M26
229	H	1764	D	26	11	38.7	-9.2		4.2	341	sf	Lisboa KO2
230	H	1765	Y	19	1045	42.7	+0.3		4.2	342	sf	Pirineo,C 3 U21
231	H	1765	Y	25	08	38.7	-9.2		4.2	343	sf	Lisboa KO2
232	H	1765	U	19	11	42.7	+0.3		4.2	344	sf	Pirineo,C U21
233	H	1765	N	1		36.8	-2.5		5.0	345	in	Almeria D15
234	H	1767	L	16		36.8	-4.4		5.4	347	sg	Malaga,N D12
235	H	1768	A	3		43.2	-0.3		3.8	348	sl	Pau W20
236	H	1768	U	9	0224	38.7	-9.2		3.8	349	sl	Lisboa KO2
237	H	1769	F	6	1430	38.7	-9.2		5.0	350	in	Lisboa KO2
238	H	1770				39.5	-5.9	(s)	4.3	352	in	Trujillo L09
239	H	1771	O	3	2130	41.3	+2.2	(s)	3.1	354	sl	Barcelona R25
240	H	1772	A	5	00	37.0	-7.4		4.2	356	sf	Portugal,SE D06

./.

241	H	1772	A	9	0030	38.7	-9.2		4.6	357		nd	Lisboa		KO2
242	H	1772	A	10	07	38.7	-9.2		3.8	357		sl	Lisboa		KO2
243	H	1772	S	24	0230	36.7	+3.1		3.8	359		sl	Alger	3	D27
244	H	1772	O			43.2	-1.3		7.1	360	X(RF)		Bearne		W18
245	H	1772	D	25	05	42.4	+2.4		4.6	361	V(RF)		Mollo		T25
246	H	1773	A	12	0520	36.0	-9.2		5.4	363		sg	S.Vicente,S		B02
247	H	1773	S	24	2030	38.7	-9.2		4.6	364		nd	Lisboa		KO2
248	H	1773	O	17		42.7	+0.3		3.8	365		sl	Pirineo,C		U21
249	H	1773	D	7	22	39.6	+2.4		5.4	366	VI(M)		Palma		M25
250	H	1775	N	1		39.6	+2.4		4.6	369		nd	Palma		M25
251	H	1776	A	24	12	42.3	+1.1		6.3	371	IX(RF)		Gerri		T23
252	H	1777	A	12	051540	35.0	-10.		6.7	374		sc	Atlantic,S		A01
253	H	1777	U	13		42.7	+0.3		5.4	376	VII(RF)		Pirineo,C		U21
254	H	1777	O	1	06	38.7	-9.2		4.2	378		sf	Lisboa		KO2
255	H	1778	U	7	1230	37.2	-3.6		4.2	381		sf	Granada		E13
256	H	1778	U	7	0753	42.7	+0.3		5.0	382		in	Pirineo,C	2	U21
257	H	1778	G	26		42.7	+0.3		3.8	383		sl	Pirineo,C		U21
258	H	1778	S	20	14	42.7	+0.3		5.4	384		sg	Pirineo,C	3	U21
259	H	1778	N	7	2030	37.3	-3.1		4.6	385		nd	Guadix		E14
260	H	1778	N	13	0830	37.2	-3.6		5.0	386		in	Granada	24	E13
261	H	1780	D	4		38.7	-9.2		3.8	386		sl	Lisboa		KO2
262	H	1780	G	29		38.7	-9.2		4.2	388		sf	Lisboa		KO2
263	H	1781	L	15	02	38.7	-9.2		3.8	389		sl	Lisboa		KO2
264	H	1783	R	14		39.7	+2.9		4.2	395		sf	Inca		M26
265	H	1783	A	13		38.7	-9.2		3.8	396		sl	Lisboa	3	KO2
266	H	1783	O	23		37.4	-2.5	(s)	5.6	397		vt	Almeria,P		E15
267	H	1783	N	25		39.4	-0.4	(ms)	4.9	398		vt	Valencia		L20
268	H	1785	F	19	0730	38.7	-9.2		4.2	402		sf	Lisboa		KO2
269	H	1785	N	9		35.6	-5.8		5.0	405		in	Tanger		B09
270	H	1785	N	22		38.7	-9.2		3.8	406		sl	Lisboa		KO2
271	H	1786	G	5		38.7	-9.2		3.8	407		sl	Lisboa		KO2
272	H	1787	L	17		38.1	-1.5		4.6	409		nd	Mula		J17
273	H	1787	L	17	1430	41.5	-8.5		5.4	409		sg	Braga		R03
274	H	1788	N	17	02	38.7	-9.3		3.8	410		sl	Cintra	3	KO2
275	H	1789	G	27		38.7	-9.2		4.2	412		sf	Lisboa		KO2
276	H	1790	R	1		38.6	-9.3		4.6	413		nd	T.Vedras		KO2
277	H	1790	S	21		36.4	-0.8		5.4	3725		sg	Mediterranean	t	C19
278	H	1790	O	9		35.7	-0.6		7.1	415		ct	Oran	22	B19
279	H	1790	O	23		36.8	-2.5		4.6	416		nd	Almeria		D15
280	H	1790	O	25		35.3	-3.0		4.6	417		nd	Melilla		A14
281	H	1791				38.7	-9.2		5.0	418		in	Lisboa		KO2
282	H	1791	S	29		36.7	-4.4		5.0	420		in	Malaga		D12
283	H	1791	O	29		35.7	-0.6		4.6	421		nd	Oran		B19
284	H	1791	N	27		38.7	-9.2		4.6	422		nd	Lisboa		KO2
285	H	1792	G	31		35.3	-3.0		5.8	423		vs	Melilla	7	A14
286	H	1792	O	1		35.3	-4.1		4.6	426		nd	Alhucemas		A12
287	H	1792	O	31		35.3	-4.1		4.6	427		nd	Alhucemas		A12
288	H	1793	U	9		38.7	-9.2		3.8	428		sl	Lisboa		KO2
289	H	1793	N	22		38.7	-9.2		4.6	429		nd	Lisboa		KO2
290	H	1795	N	28	02	38.7	-9.2		3.8	432		sl	Lisboa		KO2

./.

Order	k	year	date	H (UT)	LatN	Long	h	m	nº Ct	Classify	Localities	Notes	Map
291	H	1796	J 10		38.7	-9.2		4.2	433	sf	Lisboa	3	K02
292	H	1796	O 21	20	38.7	-9.2		4.2	433	sf	Lisboa		K02
293	H	1797	G	15	42.5	+2.0		5.4	435	VII(RF)	Cerdanya		T24
294	H	1797	G 13	23	42.6	+2.8		5.0	436	VI(RF)	Perpignan		U26
295	H	1797	S 8		42.6	+2.6		4.6	437	V(RF)	Rosellon		U26
296	H	1798	F 2		42.0	+2.7		3.8	438	sl	Gerona		S26
297	H	1798	G 11		42.0	+2.7		5.0	439	in	Gerona	10	S26
298	H	1799	O		38.7	-9.2		3.8	443	sl	Lisboa	2	K02
299	H	1800	F 26	21	38.7	-9.2		4.2	445	sf	Lisboa	2	K02
300	H	1800	G 9		35.3	-4.1		5.0	446	in	Alhucemas	53	A12
Fourth epoch. 100 years.													
301	H	1801	U 20	00	37.2	-3.6		4.6	447	nd	Atarfe		E13
302	H	1802	J 17		38.0	-0.7		5.0	448	in	Torrevieja	2	H19
303	H	1802	N 7	1145	36.5	+2.9		5.8	450	vs	Blida		C26
304	H	1802	D 30		35.3	-4.1		4.6	451	nd	Alhucemas	9	A12
305	H	1803	J 3		35.3	-4.1		4.6	452	nd	Alhucemas		A12
306	H	1803	R 11	21	36.8	-2.5		4.2	454	sf	Almeria		D15
307	H	1803	O		38.2	-0.8		4.2	456	sf	Levante		J19
308	H	1804	J 13	1706	37.1	-4.2		6.7	457	sc	Alpujarra	13	E12
309	H	1804	J 21	0345	37.4	-2.5		6.3	458	vt	Almeria,P	2	E15
310	H	1804	F 6	01	36.7	-3.5		4.2	459	sf	Motril	4	D13
311	H	1804	F 6	0621	40.9	-3.1		3.8	460	sl	Cogolludo		P14
312	H	1804	F 16	06	36.7	-3.5		3.8	460	sl	Motril		D13
313	H	1804	F 18		36.8	-2.5		5.4	461	sg	Almeria	t	D15
314	H	1804	R 1		36.7	-3.5		4.2	462	sf	Motril		D13
315	H	1804	A 7	0545	43.0	-7.5		3.8	463	sl	Lugo		U05
316	H	1804	G 20		36.7	-4.4		4.2	464	sf	Malaga		D12
317	H	1804	G 23	0330	36.8	-2.5		5.0	465	in	Almeria		D15
318	H	1804	G 25	07	36.8	-3.0		6.3	465	vt	Berja	3	D14
319	H	1804	S 16	06	37.2	-3.6		3.8	466	sl	Atarfe	3	E13
320	H	1804	S 26		36.8	-3.0		5.0	467	in	Berja		D14
321	H	1804	O 27	0200	37.2	-3.6		6.3	468	vt	Atarfe	3	E13
322	H	1807	U 6	16	38.7	-9.2		4.6	469	nd	Lisboa		K02
323	H	1807	N 18		36.7	+3.1		5.4	470	sg	Alger	9	D27
324	H	1808	A 6	13	38.7	-9.2		3.8	471	sl	Lisboa		K02
325	H	1808			35.3	-3.0		5.0	3731	in	Melilla		A14
326	H	1809	O 25	2150	38.7	-9.2		4.2	472	sf	Lisboa		K02
327	H	1810	N 2	17	38.7	-9.2		3.8	473	sl	Lisboa		K02
328	H	1813	L 18	17	42.3	+3.2		5.0	474	VI(RF)	Rosas		T27
329	H	1814	Y 22	1130	42.7	+0.3		4.2	475	sf	Pirineo,C		U21
330	H	1816	F 2	0040	35.0	-10.		6.7	476	sc	Atlantic,S	4.t	A01

./.

| | | |

381	H	1841	G	3	1018	38.7	-9.2	4.2	562		sf	Lisboa		K02
382	H	1841	G	7	2230	37.4	-6.0	3.8	566		sl	Sevilla		E08
383	H	1842	A	4	2330	36.5	+2.9	4.6	567		nd	Blida		C26
384	H	1842	A	9		36.7	+3.1	5.0	568		in	Alger		D27
385	H	1842	O	24	0805	36.7	+3.1	4.2	569		sf	Alger		D27
386	H	1842	N	1	1915	36.7	+3.1	4.2	570		sf	Alger	2	D27
387	H	1842	D	4	03	36.7	+3.1	5.0	571		in	Alger		D27
388	H	1843	F	11		35.3	-3.0	5.0	573		in	Melilla		A14
389	H	1843	R	3	24	36.7	-4.4	3.8	574		sl	Malaga		D12
390	H	1843	R	31		43.0	+0.1	4.2	575		sf	Bagneres		U21
391	H	1843	U	28		36.7	+3.1	4.2	576		sf	Alger	2	D27
392	H	1843	N	11	15	38.3	-0.7	4.6	577		nd	Elche		J19
393	H	1844	A	18	1430	42.9	-7.5	4.6	580		nd	Galicia,W	2	U05
394	H	1844	L	17	0130	37.6	-1.0	4.2	582		sf	Cartagena		H18
395	H	1844	L	20		42.7	+1.5	4.2	583		sf	Pirineo,E		U23
396	H	1844	D	11	05	42.7	+1.5	4.6	584		nd	Pirineo,E	3	U23
397	H	1844	D	30	2330	42.7	+1.5	4.6	585		nd	Pirineo,E		U23
398	H	1845	R	2	09	38.6	-0.5	3.8	586		sl	Alicante		K19
399	H	1845	A	14	1215	38.0	-1.2	4.2	587		sf	Murcia		H18
400	H	1845	A	27	1752	36.7	+3.1	3.8	588		sl	Alger		D27
401	H	1845	Y	23	07	40.6	-1.1	3.4	589	I(M)		Teruel		P18
402	H	1845	S	9		41.0	+0.7	4.2	591		sf	Tivisa		P22
403	H	1845	O	3	13	41.0	+0.7	5.4	592	VI(M)		Tivisa	3	P22
404	H	1845	N	6		43.4	-8.4	4.2	593		sf	Coruña	2	W04
405	H	1846	J	26		37.2	-3.6	4.2	595		sf	Granada		E13
406	H	1846	R	24	0850	37.2	-7.0	4.6	596		nd	Huelva		E06
407	H	1846	Y	24	08	38.0	-1.2	4.6	597		nd	Murcia		H18
408	H	1846	G	4	0745	38.3	-0.7	4.6	598		nd	Elche		J19
409	H	1846	N	3	0430	36.6	+2.2	4.6	600		nd	Cherchel	19	D25
410	H	1846	N	21	0945	36.6	+2.2	4.6	600		nd	Cherchel	23	D25
411	H	1848	F	11		35.2	-3.0	6.3	608		vt	Melilla		A14
412	H	1848	R	31		35.2	-3.0	4.6	609		nd	Melilla		A14
413	H	1848	L	8		35.2	-4.3	5.4	610		sg	Peñon		A12
414	H	1848	L	9		40.4	-1.3	3.4	611	I(M)		Albarracin		N18
415	H	1848	O	2	2030	40.3	-1.3	3.8	612		sl	Tramacastilla		N18
416	H	1848	O	3	18	40.3	-1.3	5.4	613		sg	Tramacastilla	3	N18
417	H	1848	N	16	16	42.3	+1.0	4.6	615		nd	Noguera		T22
418	H	1848	D	13	0450	42.3	+1.0	4.2	616		sf	Noguera		T22
419	H	1848	D	23		38.2	-7.5	5.4	617		sg	Campo	t	J05
420	H	1849	Y	20	05	37.2	-3.6	4.2	619		sf	Granada		E13
421	H	1849	U	30		35.7	-0.6	4.2	620		sf	Oran		B19
422	H	1850	F	9		36.7	+4.8	6.7	621		IX	Alger,E	c.6.m	D30
423	H	1850	F	10		36.7	+3.1	4.2	623		sf	Alger	6	D27
424	H	1850	N	17	16	42.7	+0.3	5.4	624		sg	Pirineo,C	10	U21
425	H	1850	D	1	23	42.7	+0.3	5.4	625		sg	Pirineo,C		U21
426	H	1851	Y	15	0147	39.6	+2.8	6.7	626	VIII(M)		Palma,NE	17	M26
427	H	1851	L	20	1810	36.7	+3.1	5.0	628		in	Alger		D27
428	H	1851	O	22	0445	43.2	-0.3	5.0	631		in	Pau		W20
429	H	1851	N	22	0930	35.4	+0.1	5.0	633		in	Mascara	3	A21
430	H	1852	J	20	21	42.3	+2.3	5.4	636	VI(M)		S.Juan		T25

./.

431	H	1852	J	26	0215	43.2	-0.3	4.6	637		nd Pau		W20
432	H	1852	J	29	1415	42.2	+2.3	3.8	638		sl S.Juan		T25
433	H	1852	J			42.7	+1.5	4.2	639	III(RF)	Pirineo,E		U23
434	H	1852	F	22	0430	42.7	+1.5	5.4	640		sg Pirineo,E	4	U23
435	H	1852	A	22	054510	43.0	+0.1	4.6	644		nd Bagneres		U21
436	H	1852	G	1	0145	39.6	+2.4	4.6	646		nd Palma	3	M25
437	H	1852	G	15	1315	43.0	+0.1	4.2	647		sf Bagneres		U21
438	H	1852	G	31		39.6	+2.4	4.6	649		nd Palma	3	M25
439	H	1852	O	13	0458	36.7	-4.4	4.2	651		sf Malaga	4	D12
440	H	1852	O	16	0520	36.7	+3.1	4.6	653		nd Alger	12	D27
441	H	1852	O	25		37.0	-4.6	4.6	654		nd Antequera	2	D11
442	H	1853	J	6	0650	42.2	+0.9	5.8	655	VII(M)	Tremp	5	T22
443	H	1853	J	27	21	41.3	+2.2	4.2	656		sf Barcelona		R25
444	H	1853	A	19	14	40.4	-3.7	4.2	657		sf Madrid		N13
445	H	1853	U	9	01	40.2	-8.5	4.2	659		sf Coimbra	2	N03
446	H	1853	L	12	000008	43.2	-1.7	3.8	660		sl R.Bidasoa		W17
447	H	1853	G	29	23	41.6	-5.8	5.0	664		in Zamora		S09
448	H	1853	N	22	2002	36.5	+3.1	4.6	668		nd Alger,S	14	C27
449	H	1854	J	9	0112	36.5	+1.3	4.6	670		nd Tenes		C23
450	H	1854	F	1	10	35.7	-0.6	3.8	672		sl Oran	3	B19
451	H	1854	F	6	08	38.3	-0.7	4.6	673		nd Elche	2	J19
452	H	1854	R	19	2230	43.2	-1.7	4.6	675		nd R.Bidasoa		W17
453	H	1854	Y	15	15	36.5	+2.9	4.2	676		sf Blida		C26
454	H	1854	Y	30		37.2	-3.6	3.8	677		sl Granada		E13
455	H	1854	U	8	05	37.2	-3.6	3.8	678		sl Granada		E13
456	H	1854	L	20	0245	42.8	-0.5	5.4	679		sg Bareges	13	U19
457	H	1854	L	26		42.7	+1.5	5.8	680	VIII(RF)	Pirineo,E		U23
458	H	1854	N	11	04	37.7	-1.3	4.6	689		nd Carrascoy	10	H18
459	H	1854	D	5	0645	42.7	+0.3	5.8	691		vs Pirineo,C	6	U21
460	H	1854	D	6		41.3	+2.2	3.4	692	I(FM)	Barcelona		R25
461	H	1855	J	12	1120	37.1	-8.0	5.8	694		vs Loule	5	E04
462	H	1855	J	19	03	40.4	-3.7	3.8	695		sl Madrid		N13
463	H	1855	J	20		36.7	-5.4	5.4	696		sg Grazalema	7	D10
464	H	1855	J	26	15	35.0	-7.0	6.3	697		vt Espartel,SW		A06
465	H	1855	A			37.2	-3.6	4.2	701		sf Granada		E13
466	H	1855	Y	7	0805	37.2	-3.6	4.6	702		nd Granada		E13
467	H	1855	Y	16	13	37.2	-3.6	3.8	703		sl Granada		E13
468	H	1855	U	2	1650	37.4	-6.0	4.6	704		nd Sevilla		E08
469	H	1855	U	6	0720	36.5	+3.1	4.2	705		sf Alger,S		C27
470	H	1855	L	3	0220	35.4	+0.1	5.0	706		in Mascara		A21
471	H	1855	L	5	14	42.0	-8.8	4.6	707		nd V.Minho		S03
472	H	1856	G	8	18	41.1	+1.2	3.8	708		sl Tarragona		R23
473	H	1856	S	1	2000	36.7	-4.4	3.8	710		sl Malaga	2	D12
474	H	1856	O	9	0045	38.0	-1.2	5.0	711		in Murcia		H18
475	H	1856	O	10	04	40.7	-7.3	5.0	712		in Folgoza	2	P06
476	H	1856	O	30	0749	37.2	-3.6	3.8	713		sl Granada		E13
477	H	1856	D	31	2330	38.8	-0.1	5.0	715		in Pego		K20
478	H	1857	F	2		35.7	-0.6	4.2	718		sf Oran		B19
479	H	1857	A	16		36.7	+3.1	3.8	720		sl Alger		D27
480	H	1857	A	20		36.7	-4.4	3.8	721		sl Malaga		D12

./.

481	H	1857	Y	23	09	36.5	+1.3		4.6	722	nd Tenes	C23
482	H	1857	U	4	02	38.7	-9.2		3.8	722	sl Lisboa	KO2
483	H	1857	S	10		35.7	-0.6		4.2	727	sf Oran	B19
484	H	1857	O	23	0037	36.8	-2.5		4.2	728	sf Almeria	D15
485	H	1857	N	19	0825	40.0	-10.		5.4	729	sg Atlantic,E 3	MO1
486	H	1857	N	21	20	41.1	-8.6		5.0	730	in Porto	RO3
487	H	1857	N	22	1545	36.6	+2.2	(i)	4.4	731	sl Chérchel	D25
488	H	1858	R	2		35.7	-0.6		3.8	733	sl Oran	B19
489	H	1858	R	8	0410	36.5	+2.9		5.0	734	in Blida 3	C26
490	H	1858	R	10	0530	36.5	+2.9		5.0	735	in Blida 2	C26
491	H	1858	R	11	0030	38.3	-0.7		4.2	736	sf Elche	J19
492	H	1858	R	19		38.6	-9.5		4.2	737	sf Portugal	KO1
493	H	1858	R	23	15	38.3	-0.7		4.2	738	sf Elche 2	J19
494	H	1858	R	26	0130	38.1	-0.9		5.0	739	in Orihuela 3	J19
495	H	1858	L	19		43.2	-1.3		5.0	742	in Bearne	W18
496	H	1858	O	1	01	36.1	+3.7		5.0	745	in Aumale	C28
497	H	1858	O	10		42.9	-8.5		3.8	746	sl Santiago	UO3
498	H	1858	N	11	06	38.7	-9.2		6.3	747	IX(RF) Lisboa m	KO2
499	H	1858	O	19		38.0	-0.7		4.2	748	sf Torrevieja 2	H19
500	H	1858	O	23	0030	36.8	-2.5		4.2	749	sf Almeria	D15
501	H	1858	N	29	01	43.2	-1.3		5.0	750	in Bearne	W18
502	H	1859	R	5	1045	43.2	-1.3		5.4	753	sg Bearne 5	W18
503	H	1859	R	9	19	37.2	-7.4		4.6	753	nd V.Real	E06
504	H	1859	R	28	0630	36.7	+3.1		4.2	755	sf Alger	D27
505	H	1859	U	23	1230	36.6	+2.9		3.8	759	sl Boufarik	D26
506	H	1859	U	24	1230	36.3	+2.8		3.8	760	sl Medea	C26
507	H	1859	S	18	0720	38.7	-9.2		3.8	761	sl Lisboa	KO2
508	H	1859	D	22	0123	35.7	-0.6		3.4	763	st Oran 2	B19
509	H	1860	R	12	03	37.5	-5.5		4.6	767	nd Andalucia,B	E09
510	H	1860	S	20	14	38.0	-0.7		4.6	774	nd Torrevieja	H19
511	H	1860	S	22		37.4	-2.5		5.0	776	in Almeria,P 2	E15
512	H	1860	O	6	1250	36.8	-2.5		4.6	779	nd Almeria	D15
513	H	1860	O	9		36.8	-2.5		4.2	780	sf Almeria 2	D15
514	H	1860	O	20	0035	36.7	+3.1		3.8	782	sl Alger	D27
515	H	1860	O	22		36.7	+3.1		4.6	783	nd Alger	D27
516	H	1861	J	5	0545	38.0	-0.7		4.6	785	nd Torrevieja 9	H19
517	H	1861	J	11	2355	38.6	-0.5		3.8	786	sl Alicante	K19
518	H	1861	F	3	04	38.0	-0.7		4.2	787	sf Torrevieja	H19
519	H	1861	R	29	0515	36.5	+2.9		4.2	789	sf Blida 3	C26
520	H	1861	Y	19	1445	38.0	-0.7		4.2	791	sf Torrevieja	H19
521	H	1861	Y	28	03	43.1	-0.1		4.2	792	sf Lourdes	W20
522	H	1861	L	26	1720	35.7	-0.6		5.4	794	sg Oran	B19
523	H	1861	S	27	1815	38.0	-0.7		4.2	796	sf Torrevieja 4	H19
524	H	1861	O	3		36.7	-4.4		3.8	797	sl Malaga	D12
525	H	1861	O	15		38.6	-0.5		4.6	799	nd Alicante	K19
526	H	1861	O	21	2030	36.1	+3.7		4.2	800	sf Aumale 3	C28
527	H	1861	N	29	0630	38.0	-0.7		3.8	801	sl Torrevieja	H19
528	H	1861	D	20	1030	38.0	-0.7		3.8	802	sl Torrevieja	H19
529	H	1862	J	22	09	37.7	-1.7		3.8	803	sl Lorca	H17
530	H	1862	R	16	1715	38.0	-0.7		4.6	806	nd Torrevieja 11	H19

./. ./.

531	H	1862	R	19	2230	37.4	+0.3	5.4	807	sg	C.Palos,SE	E21
532	H	1862	R	20	0037	36.5	+1.3	4.2	808	sf	Tenes	C23
533	H	1862	A	2	2130	38.0	-0.7	4.2	809	sf	Torrevieja 2	H19
534	H	1862	A	4	03	38.0	-0.7	4.2	810	sf	Torrevieja 3	H19
535	H	1862	U	9	01	35.7	+0.6	3.8	811	sl	Relizane 5	B22
536	H	1862	U	29		42.4	+1.5	4.6	812	nd	Urgel	T23
537	H	1862	L	17	1620	38.0	-0.7	4.2	813	sf	Torrevieja 4	H19
538	H	1862	G	11	2130	35.7	-0.6	4.2	815	sf	Oran	B19
539	H	1862	G	22	17	37.2	-5.1	5.4	816	sg	Osuna	E10
540	H	1862	S	2	04	38.7	-9.2	3.8	817	sl	Lisboa	KO2
541	H	1862	S	7	2145	36.5	+1.3	3.8	818	sl	Tenes	C23
542	H	1862	S	20	0145	37.2	-3.6	3.8	819	sl	Granada	E13
543	H	1862	S	27	0230	42.6	+2.8	4.2	820	sf	Perpignan	U26
544	H	1862	O	1	1020	35.7	-0.6	3.8	821	sl	Oran	B19
545	H	1862	O	21	03	38.0	-0.7	3.8	823	sl	Torrevieja	H19
546	H	1862	O	26	0030	43.2	+0.3	4.2	824	sf	Pau 5	W20
547	H	1863	J	16		36.7	+3.1	4.2	827	sf	Alger	D27
548	H	1863	R	1	08	35.9	+2.8	4.2	828	sf	Boghari 7	B26
549	H	1863	R	8	21	38.0	-0.7	3.4	829	st	Torrevieja	H19
550	H	1863	A	17	0753	36.9	-3.3	5.4	831	sg	Capileira 3	D14
551	H	1863	Y	31	1620	38.6	-0.5	3.8	832	sl	Alicante 3	K19
552	H	1863	U	10	1120	37.3	-2.0	6.3	833	vt	Almanzora 5	E16
553	H	1863	U	24	05	37.3	-2.5	4.6	834	nd	Seron	E15
554	H	1863	L			39.6	+2.4	3.8	835	sl	Palma	M25
555	H	1863	L	9	09	37.3	-2.5	5.0	836	in	Seron	E15
556	H	1863	G	8		36.7	-3.2	3.4	837	I(M)	Albuñol	D14
557	H	1864	J	10		37.4	-2.0	3.8	841	sl	Huercal	E16
558	H	1864	J	11	22	37.8	-1.1	4.2	842	sf	Carrascoy 2	H18
559	H	1864	J	12	10	37.2	-1.9	5.0	843	in	Vera	E17
560	H	1864	J	22	0445	37.4	-2.0	3.8	844	sl	Huercal 3	E16
561	H	1864	J	24	04	38.0	-0.7	3.8	845	sl	Torrevieja 2	H19
562	H	1864	F	17	0830	38.0	+2.0	4.2	848	sf	Baleares,S	H24
563	H	1864	U	3	17	38.0	-0.7	3.8	853	sl	Torrevieja	H19
564	H	1864	N	3	2135	37.2	-3.6	3.8	857	sl	Granada	E13
565	H	1864	D	24	21	36.1	+3.7	3.8	858	sl	Aumale	C28
566	H	1864	D	24	22	38.0	-0.7	3.8	858	sl	Torrevieja	H19
567	H	1865	J	16	0365	36.5	+3.1	5.4	860	sg	Arba 3	C27
568	H	1865	J	29	02	43.2	-0.3	3.8	861	sl	Pau 2	W20
569	H	1865	Y	9	0539	38.7	-9.2	4.2	865	sf	Lisboa	KO2
570	H	1865	U	16	18	39.0	-0.2	5.0	866	in	Gandia	K20
571	H	1865	S	8	0020	36.6	+2.2	4.2	867	sf	Cherchel	D25
572	H	1866	S	10		43.4	-8.4	5.4	874	sg	Coruña	WO4
573	H	1866	S	25	2330	38.3	-0.7	5.0	875	in	Elche	J19
574	H	1866	O	11	0010	38.3	-0.7	4.2	876	sf	Elche	J19
575	H	1866	D	11	1040	43.2	+0.1	3.8	877	sl	Bigorre	W21
576	H	1867	J	2	071356	36.5	+2.9	6.3	878	vt	Blida 11	C26
577	H	1867	J	4	0145	36.5	+2.9	5.8	880	vs	Blida 11	C26
578	H	1867	J	25	01	36.1	+3.7	4.2	882	sf	Aumale	C28
579	H	1867	J	31		36.5	+2.9	4.2	883	sf	Blida	C26
580	H	1867	F	3	2030	38.3	-0.7	5.4	884	sg	Elche	J19

./.

581	H	1867	F	11	0150	36.7	+3.1		3.8	886		sl	Alger		D27
582	H	1867	F	14	0230	38.0	-0.7		5.8	887		vs	Torrevieja		H19
583	H	1867	A	22		36.5	+2.9		4.2	891		sf	Blida		C26
584	H	1867	Y	4	2330	36.5	+2.9		3.8	892		sl	Blida		C26
585	H	1867	Y	8	2350	36.5	+2.9		3.8	893		sl	Blida		C26
586	H	1867	Y	9	0850	43.0	+0.1		4.2	894		sf	Bagneres	2	U21
587	H	1867	Y	17	0012	42.7	+0.3		4.2	895		sf	Pirineo,C		U21
588	H	1867	U	24	0105	36.1	+3.7		5.0	896		in	Aumale		C28
589	H	1867	U	29	2015	36.5	+2.7		4.6	897		nd	Mouzaia		C26
590	H	1867	L	6		39.0	-0.6		3.8	898		sl	Valencia,R	2	K19
591	H	1867	S	9	02	38.0	-3.4		4.6	901		nd	Ubeda		H14
592	H	1867	S	30	2230	38.3	-0.7		4.2	902		sf	Elche		J19
593	H	1867	O	1	0955	38.7	-9.2		3.8	903		sl	Lisboa	3	K02
594	H	1868	A	5		43.7	+4.6		4.2	905		sf	Arles		X30
595	H	1868	A	22	06	37.2	-3.6		3.4	906		st	Granada		E13
596	H	1868	Y	12		41.6	+2.4		3.8	907		sl	Cataluña		S25
597	H	1869	J	16	03	43.2	-1.3		3.8	909		sl	Bearne		W18
598	H	1869	L	15		36.1	+3.7		4.2	910		sf	Aumale		C28
599	H	1869	L	28	2115	38.3	-0.7		4.2	911		sf	Elche		J19
600	H	1869	G	17	2046	43.2	-1.7		3.8	911		sl	R.Bidasoa		W17
601	H	1869	S	11	0515	43.0	+0.1		4.2	913		sf	Bigorre		U21
602	H	1869	S	20		36.5	+2.7		5.0	914		in	Mouzaiville	2	C26
603	H	1870	J	15	02	42.7	+0.3		5.0	915		in	Pirineo,C		U21
604	H	1870	R	30		36.5	+2.7		5.0	918		in	Mouzaiville		C26
605	H	1871	J	21		42.4	+2.0		4.2	735		sf	Puigcerda		T24
606	H	1871	F	28	0330	37.9	-4.7		4.2	920		sf	Cordoba	3	H11
607	H	1871	R	15		36.5	+2.9		3.8	922		sl	Blida		C26
608	H	1871	R			37.2	-3.6		3.8	923		sl	Granada		E13
609	H	1871	O	3	08	36.5	+1.3		4.2	925		sf	Tenes	3	C23
610	H	1871	N	12		36.5	+1.3		4.2	926		sf	Tenes		C23
611	H	1871	D			36.0	-3.0		4.2	930	III(M)		Alboran		B14
612	H	1872	J	28	15	36.7	-4.4		4.2	931		sf	Malaga		D12
613	H	1872	Y			39.3	-0.5	(s)	5.6	932	VIII(FM)		Alcudia,V		L19
614	H	1873	J	28		37.2	-3.6		5.0	933		in	Granada		E13
615	H	1873	O	16	2242	36.6	+2.9		5.0	934		in	Boufarik		D26
616	H	1873	N	6		42.7	+0.3		5.4	935		sg	Pirineo,C		U21
617	H	1874	R	28	1112	36.6	+2.2		5.0	937		in	Cherchel	2	D25
618	H	1874	A	23	12	38.2	-0.8		5.4	938		sg	Levante	2	J19
619	H	1875	R	24		37.2	-3.6		4.2	944		sf	Granada		E13
620	H	1875	A	11		42.2	-2.1		4.2	945		sf	Arnedillo		T16
621	H	1875	U	7	2110	41.3	+2.2		5.4	947	VI(FM)		Llobregat,D		R25
622	H	1875	L	21		38.6	-0.5		3.8	948		sl	Alicante		K19
623	H	1875	G	5		40.0	+1.5		5.4	949		sg	Mediterranean,L	t	M23
624	H	1875	G	13	0930	40.0	+1.5		5.4	950		sg	Mediterranean,L	t	M23
625	H	1875	D	5	14	36.5	+2.9		4.2	953		sf	Blida		C26
626	H	1876	F	4	1430	42.4	+1.9	(s)	5.2	954		vs	Alp		T24
627	H	1876	U	10		41.6	+2.2	(s)	5.6	958		vt	Castellar		S25
628	H	1876	L	26		37.2	-3.6		4.2	960		sf	Granada		E13
629	H	1876	S	4		43.5	-8.3		3.8	961		sl	Ferrol		W04
630	H	1876	O	8	05	43.0	+0.1		4.2	964		sf	Bigorre		U21

./.

631	H	1877	A	3		41.7	-4.7	3.8	965		sl	Valladolid	S11
632	H	1877	O	7		37.2	-3.6	3.8	966		sl	Atarfe	E13
633	H	1877	S	10		43.6	-6.1	3.8	968		sl	Cudillero	X08
634	H	1877	O	25	0624	38.7	-9.2	4.2	969		sf	Lisboa	K02
635	H	1877	N	1		38.9	-7.0	4.2	970		sf	Badajoz	K06
636	H	1878	J	26	0625	38.7	-9.2	4.6	972		nd	Lisboa	K02
637	H	1878	F	17		38.0	-1.2	3.8	973		sl	Murcia	H18
638	H	1878	R	29		37.9	-4.7	4.2	975		sf	Cordoba	H11
639	H	1878	A	3		42.1	+1.9	4.2	977		sf	Berga	T24
640	H	1878	Y	27		43.5	-8.3	3.8	978		sl	Ferrol	W04
641	H	1878	G	5		43.5	-8.3	3.8	980		sl	Ferrol	W04
642	H	1878	G	19		41.3	+2.2	3.8	981		sl	Barcelona	R25
643	H	1878	G	28		36.7	-4.4	3.4	982		st	Malaga	D12
644	H	1879	A	11	10	37.2	-3.6	5.0	988		in	Granada	3 E13
645	H	1879	U	23	05	41.5	-8.5	4.2	989		sf	Braga	R03
646	H	1880	F	12		42.2	-8.7	3.8	993		sl	Vigo	T03
647	H	1880	A	4		37.2	-3.6	3.8	996		sl	Granada	E13
648	H	1880	Y	29		40.4	-1.3	4.2	997		sf	Albarracin	N18
649	H	1880	U	15	2130	38.0	-1.2	4.2	998		sf	Murcia	H18
650	H	1880	N	16		36.7	-4.4	4.2	1000		sf	Malaga	2 D12
651	H	1880	N	18		43.5	-8.3	3.8	1001		sl	Ferrol	W04
652	H	1881	J			42.2	+0.9 (s)	5.6	1002		vt	Tremp	T22
653	H	1882	U	26		37.4	-1.6	3.8	1005		sl	Aguilas	E17
654	H	1882	N	8	04	38.1	-1.3	4.6	1006		nd	Archena	J18
655	H	1883	J	8		38.1	-1.3	4.6	1007		nd	Archena	J18
656	H	1883	J	16	0340	38.0	-1.2	5.4	1008		sg	Murcia	H18
657	H	1883	G	16	21	38.0	-1.2	3.4	1010		st	Murcia	H18
658	H	1883	G	17		41.3	+1.2	3.8	1011		sl	Valls	R23
659	H	1883	S	11		37.5	-2.8	4.2	1012		sf	Baza	E15
660	H	1883	O	19		38.1	-3.6	4.6	1013		nd	Linares	J13
661	H	1883	O	20		37.0	-7.0	5.0	1014		in	Huelva,S	D06
662	H	1883	N	13		37.5	-2.8	4.2	1016		sf	Baza	E15
663	R	1883	D	22	0329	40.5	-7.3 (s)	5.6	1019		vt	Guarda	N06
664	H	1884	F	28	06	41.8	+2.5	3.8	1024		sl	Arbucias	S25
665	H	1884	R	13	1030	38.6	-0.5	5.0	1025		in	Alicante	K19
666	H	1884	A	20	0322	43.0	+0.1	4.6	1027	IV(FM)		Bigorre	U21
667	H	1884	Y	23		41.8	+3.1	3.8	1028		sl	Palamos	S27
668	H	1884	G	12		37.9	-1.3	3.8	1031		sl	Librilla	H18
669	R	1884	D	22	0329	40.2	-8.5	3.4	1035		st	Coimbra	N03
670	H	1884	D	25	21	37.0	-3.8	7.1	1037	X(FM)		Jayena	c.m.77 D13
671	H	1884	D	31		36.8	-4.1	3.8	1039	II(M)		V.Malaga	D12
672	H	1885	J	1		36.8	-4.1	3.8	1040	II(M)		V.Malaga	D12
673	H	1885	J	5		36.7	-3.9	3.8	1041	II(M)		Nerja	D13
674	H	1885	J	12		37.2	-4.1	3.4	1042	I(M)		Loja	E12
675	H	1885	J	27		37.0	-4.0	5.0	1043		in	Alhama G.	D12
676	H	1885	F	8		36.7	-4.4	3.4	1046	I(M)		Malaga	D12
677	H	1885	F	12		37.8	-3.8	3.8	1047	II(M)		Jaen	H13
678	H	1885	F	21		37.2	-4.1	3.8	1050	II(M)		Loja	E12
679	H	1885	F	29		37.2	-4.1	5.0	1051		in	Loja	E12
680	H	1885	R	26	1250	37.8	-1.1	3.8	3736		sl	Carrascoy	H18

681	H	1885	A	5		37.0	-4.6	3.8	1054	II(M)	Antequera		D11
682	H	1885	A	11		37.0	-4.6	4.6	1055	nd	Antequera		D11
683	H	1885	A	16	04	36.8	-2.5	4.6	1055	nd	Almeria		D15
684	H	1885	Y	25	02	36.8	-2.5	4.6	1058	nd	Almeria		D15
685	H	1885	L	12	1245	38.0	-1.2	4.2	3738	sf	Murcia		H18
686	H	1885	L	13		36.7	-4.4	4.6	1059	nd	Malaga		D12
687	H	1885	O	13	1730	37.2	-4.1	3.8	1063	sl	Loja		E12
688	H	1885	N			37.0	-3.5	3.8	1064	sl	Alhama A.		D13
689	H	1885	D	3	2000	36.5	+2.9	6.3	1067	vt	Blida	5	C26
690	R	1885	D	25		37.5	-5.5	5.0	1071	in	Andalucia,B		E09
691	H	1886	J	28	01	38.0	-1.2	3.4	1071	st	Murcia	2	H18
692	H	1886	J	29		36.8	-4.1	4.2	1072	sf	V.Malaga		D12
693	H	1886	F	9		37.2	-4.1	4.6	1073	nd	Loja		E12
694	H	1886	R	14	23	37.2	-4.1	6.3	1075	IX(RF)	Loja	4	E12
695	H	1886	L	6	1123	37.2	-4.1	5.8	1077	VIII(RF)	Loja	2	E12
696	H	1886	L	12	1245	38.0	-1.2	4.2	3737	sf	Murcia		H18
697	H	1886	L	13	0045	38.0	-1.2	3.8	1077	sl	Murcia		H18
698	H	1886	S	2	0124	37.0	-4.6	5.0	1081	in	Antequera		D11
699	H	1886	S	22	11	36.1	+3.7	5.0	1082	in	Aumale		C28
700	H	1887	U	8		37.2	-3.6	4.2	1092	sf	Granada		E13
701	H	1887	U	27	2020	41.8	+2.9	4.6	1095	nd	Lloret		S26
702	H	1887	S	28	15	41.7	+3.0	4.2	1100	sf	Tossa	2	S26
703	H	1887	N	6		42.8	-1.6	4.2	1102	sf	Pamplona		U17
704	H	1887	N	6		35.3	-3.0	5.4	1102	sg	Melilla		A14
705	H	1888	J	5	1705	36.8	-4.1	4.2	1104	sf	V.Malaga		D12
706	H	1888	J	8		36.7	+3.1	5.0	1106	in	Alger		D27
707	H	1888	J	23		36.9	-4.4	5.4	1107	sg	Malaga,P		D12
708	H	1888	R	3		38.1	-3.6	4.2	1109	sf	Linares		J13
709	H	1888	A	28	0413	41.7	+0.6	4.6	1111	IV(M)	Alguaire		S22
710	H	1888	A	29		43.7	-7.5	5.0	1112	in	Vivero		X05
711	H	1888	G	11		37.2	-1.9	5.0	1114	V(FM)	Vera		E17
712	H	1888	O	6		38.0	-1.2	4.2	1115	sf	Murcia		H18
713	H	1889	R	25		37.0	-4.0	4.6	1117	nd	Alhama G.		D12
714	H	1889	Y	21	0420	35.7	-0.6	5.0	1118	in	Oran	2	B19
715	H	1889	N	8	2211	36.7	+3.1	3.8	1120	sl	Alger		D27
716	H	1889	D	16		37.2	-3.6	3.8	1122	sl	Granada		E13
717	H	1890	F	21		38.7	-9.2	5.0	1123	in	Lisboa		K02
718	H	1890	R	19		37.0	-4.6	3.8	1124	sl	Antequera		D11
719	H	1890	G	2	0405	42.0	-8.6	4.2	1126	sf	Tuy		S03
720	H	1890	O	17		38.7	-9.2	3.8	1127	sl	Lisboa		K02
721	H	1891	J	15	04	36.5	+3.1	6.7	1128	sc	Alger	4.t	C27
722	H	1891	G	11		37.2	-1.9	5.0	1129	V	Vera		E17
723	H	1891	G	22	0430	42.0	-8.6	5.0	1130	in	Tuy		S03
724	H	1892	J	19		35.4	+0.1	4.2	1131	sf	Mascara	2	A21
725	H	1893	Y	23		37.3	-1.9	4.2	1135	sf	Cuevas		E17
726	H	1893	U	22	0020	36.7	+3.1	3.8	1136	sl	Alger		D27
727	H	1893	S	30	0022	37.2	-7.0	5.0	1137	in	Huelva		E06
728	H	1894	J	21	0735	42.4	+2.0	3.8	1139	sl	Puigcerda		T24
729	H	1894	U	12		37.1	-3.0	4.6	1141	nd	Paterna		E14
730	H	1894	J	18		37.8	-5.0	5.0	1148	in	Guadalcazar		H10

/. ./.

731	H	1894	U	19	01	35.7	-0.6	4.2	1143		sf	Oran	B19
732	H	1894	O	20		37.8	-5.0	5.0	1148		in	Guadalcazar	H10
733	H	1895	R	25	1604	43.0	+0.1	3.8	1149		sl	Bigorre	U21
734	H	1895	Y	21		36.5	+3.2	4.6	1150		nd	Kolea	C27
735	H	1895	O	20		37.2	-3.6	3.8	1152		sl	Granada	E13
736	H	1895	D	25		42.5	-6.6	5.0	1153		in	Fonferrada	T07
737	R	1896	Y	5	211810	42.7	0.0	5.0	1154	VI(RF)		M.Perdido	U20
738	R	1896	Y	25	0220	42.9	+0.1	3.4	1157		st	P.Midi 2	U21
739	R	1896	U	3	1315	42.9	+0.1	3.8	1158		sl	P.Midi	U21
740	R	1896	J	4	2046	42.9	+0.1	3.8	1159		sl	P.Midi	U21
741	R	1896	J	7	2249	42.9	+0.1	3.4	1160		st	P.Midi	U21
742	H	1896	U	9	094235	43.0	+0.1	3.8	1161		sl	Bigorre 2	U21
743	R	1896	J	23	2149	42.9	+0.1	3.8	1162		sl	P.Midi 2	U21
744	R	1896	J	30	0607	42.9	+0.1	4.2	1163		sf	P.Midi 2	U21
745	H	1896	L	18		38.6	-1.1	4.2	1165		sf	Yecla 2	K18
746	H	1896	O	30	0850	37.5	-8.2	5.0	1166		in	Algarve	E04
747	H	1896	N	12	0539	43.0	+0.1	5.0	1167		in	Bigorre 3	U21
748	R	1896	D	28	01	42.9	+0.1	3.8	1169		sl	P.Midi	U21
749	R	1897	F	19	0435	42.9	+0.1	3.8	1172		sl	P.Midi	U21
750	H	1897	R	8		43.5	-5.6	5.0	1173	V(FM)		Gijon	W09
751	H	1897	R	23		41.8	+2.7	5.0	1175		in	S.Coloma	S26
752	H	1897	A	13	0416	42.7	+0.3	3.8	1176		sl	Pirineo,C	U21
753	H	1897	Y	19	1720	42.7	+0.3	3.8	1178		sl	Pirineo,C	U21
754	H	1897	Y	22		42.7	+0.3	3.8	1179		sl	Pirineo,C	U21
755	H	1897	Y	24	0537	42.9	+0.1	3.8	1180		sl	P.Midi 2	U21
756	H	1897	U	16	0353	42.7	+0.1	3.8	1183		sl	Pirineo,C	U21
757	R	1897	L	12	2223	42.9	+0.1	4.2	1184		sf	P.Midi	U21
758	R	1897	G	22	2320	42.9	+0.1	3.8	1185		sl	P.Midi	U21
759	H	1897	O	13	1655	37.2	-3.6	5.4	1189		sg	Granada	E13
760	H	1897	O	23	0720	35.7	-0.6	4.6	1190		nd	Oran	B19
761	R	1898	J	27	0335	42.9	+0.1	3.8	1194		sl	P.Midi	U21
762	R	1898	F	28	233640	42.9	+0.1	3.8	1195		sl	P.Midi	U21
763	H	1898	R	6	2215	38.7	-6.5	3.8	1196		sl	Almendralejo	K07
764	H	1898	S	29		38.2	-1.1	3.8	1198		sl	Fortuna 2	J18
765	H	1898	D	18	04	36.7	-4.4	3.8	1199		sl	Malaga	D12
766	H	1899	J	16	01	43.2	-3.8	5.0	1201		in	Santander,S	W13
767	H	1899	A	6	1225	42.7	+0.3	4.2	1202		sf	Pirineo,C	U21
768	H	1899	L	21		43.0	+0.1	3.8	1204		sl	Bigorre	U21
769	H	1899	G	13		38.7	-9.2	5.4	1206		sg	Lisboa	K02
770	H	1899	O	8	0128	42.9	+0.1	3.8	1208		sl	P.Midi	U21
771	H	1899	D	9		37.2	-3.6	3.8	1209		sl	Granada	E13
772	R	1900	J	15	0500	42.9	+0.1	3.4	1213		st	P.Midi	U21
773	R	1900	F	17	2105	42.9	+0.1	3.4	1214		st	P.Midi	U21
774	H	1900	A	25		35.7	-0.6	5.0	1215		in	Oran 20	B19

Order	k	year	date	H (UT)	Lath	Long	h	m	nº Ct	Classify	Localities	Notes	Map
Fifth epoch. 50 years.													
775	H	1901	F 10		36.7	-5.4		5.0	1222	in	Grazalema		D10
776	H	1901	A 24	1545	37.5	-8.2		5.0	1224	in	Algarve	2	E04
777	H	1901	Y 25	0325	36.7	-3.5		5.0	1226	in	Motril		D13
778	R	1901	L 15	232955	42.7	+0.3		5.0	1227	in	Pirineo,C		U21
779	H	1901	L 28	0650	42.7	+0.3		3.8	1228	sl	Pirineo,C		U21
780	H	1901	O		41.8	+3.1		3.8	1230	II(FM)	Palamos,E	2	S27
781	R	1901	N 16	152440	42.7	+0.3		4.2	1231	sf	Pirineo,C		U21
782	H	1901	D 16	13	42.4	+2.0		4.2	1232	IV(RF)	Puigcerda		T24
783	H	1901	D 27		42.0	+2.7		4.2	1233	IV(RF)	Gerona		S26
784	H	1902	Y 1		35.2	-4.1		4.2	1238	sf	Alhucemas		A12
785	H	1902	Y 5	06	38.0	-1.2		5.4	1239	VI	Murcia	2	H18
786	R	1902	Y 5	030215	42.7	+0.3		5.0	1239	V	Pirineo,C	2.m	U21
787	H	1902	Y 19	07	43.2	-0.6		4.2	1242	sf	Oloron		W19
788	H	1902	U 5	0320	42.9	+0.1		4.6	1246	nd	P.Midi	3	U21
789	H	1902	U 15		42.9	+0.1		3.8	1247	sl	P.Midi		U21
790	H	1902	U 16	1330	35.3	-3.0		3.8	1248	sl	Melilla		A14
791	H	1902	U 17		43.2	-0.6		3.8	1249	sl	Oloron		W19
792	H	1902	U 17		35.3	-3.0		4.6	1249	nd	Melilla		A14
793	H	1902	L 2	11	43.2	-1.3		4.2	1251	sf	Bearne		W18
794	H	1902	L 9	1320	35.3	-3.0		5.0	1252	in	Melilla		A14
795	H	1902	L 15		43.2	-0.6		4.2	1254	sf	Oloron		W19
796	H	1902	U 24		44.0	-4.8		3.8	1255	sl	Cantabrico		X11
797	H	1902	S 8	0222	42.7	-0.3		3.8	1256	sl	Panticosa	2	U20
798	H	1902	O 13	0138	42.9	+0.1		3.8	1257	sl	P.Midi		U21
799	H	1902	O 14		36.5	+2.9		3.8	1258	sl	Blida		C26
800	H	1902	N 4		38.9	-5.6		6.3	1259	VIII(FM)	Guarda		K09
801	H	1902	N 17	2118	35.7	-0.6		3.8	1260	sl	Oran		B19
802	H	1902	D 29	0257	42.7	+0.3		4.2	1262	sf	Pirineo,C		U21
803	H	1903	J 14		43.0	+0.1		4.6	1266	nd	Bigorre,S		U21
804	H	1903	F 25	0915	38.3	-0.7		4.6	1267	nd	Elche	3.m	J19
805	H	1903	R 5	1250	38.3	-0.7		3.8	1268	sl	Elche		J19
806	H	1903	R 10	14	42.8	-1.6		5.0	1269	in	Pamplona	2	U17
807	H	1903	A 17	01	42.3	+3.2		3.8	1272	II(RF)	Rosas		T27
808	H	1903	A 20	0845	42.3	+3.2		5.0	1273	VI(RF)	Rosas	m	T27
809	H	1903	Y 4	172528	43.3	+0.1		4.6	1274	nd	Tarbes		W21
810	H	1903	Y 14	1815	43.0	+0.1		4.2	1275	sf	Bagneres		U21
811	H	1903	Y 21	0115	43.0	+0.1		4.2	1276	sf	Bagneres	2	U21
812	H	1903	Y 23	02	43.1	-0.1		3.8	1277	sl	Lourdes	2	W20
813	H	1903	Y 31	03	43.1	-0.1		3.8	1278	sl	Lourdes	2	W20
814	H	1903	U 9		35.3	-3.0		3.8	1279	sl	Melilla		A14
815	H	1903	U 16		35.3	-3.0		3.8	1280	sl	Melilla		A14
816	H	1903	U 18	0220	42.5	+2.0		4.2	1281	III(RF)	Perche		T24
817	H	1903	U 30		42.8	+2.5		3.8	1282	sl	Setcasas		U25
818	H	1903	L 13		42.7	+0.3		4.2	1283	sf	Pirineo,C		U21
819	H	1903	L 26		36.7	-3.2		4.6	1284	nd	Albuñol	3	D14
820	R	1903	G 9	221010	38.3	-9.0		6.3	1286	VIII(FM)	Alfarim	m.c	J02

./

821	H	1903	G	12	2246	43.0	+0.1		3.8	1287		sl	Bagneres		U21
822	R	1903	S	14	1330	38.7	-9.4		6.3	1289	VIII(FM)		Cascais	m	KO2
823	H	1903	S	23	0155	36.2	+2.7	(13)	6.0	1290		vt	Medea	2.m.c	O26
824	H	1903	S	28	08	37.0	-8.9		3.8	1291		sl	S.Vicente,E	2	D03
825	H	1903	S	28	1455	39.2	-9.1		3.8	1292		sl	Cadaval		LO2
826	H	1903	O	29	1305	35.7	-0.6		3.8	1294		sl	Oran		B19
827	H	1903	N	8		42.6	+2.8		3.8	1295		sl	Perpignan		U26
828	H	1903	N	24		37.6	-2.1		5.0	1296		in	V.Rubio		H16
829	H	1903	N	25		37.6	-2.1		5.0	1297		in	V.Rubio		H16
830	H	1903	D	1	0640	37.2	-7.0		5.0	1298	V(FM)		Huelva	2	EQ6
831	H	1904	J	10	1511	43.0	+0.1		5.0	1300	V(C)		Bagneres		U21
832	H	1904	J	31	0207	39.8	-9.3		4.2	1301		sf	Leiria,W		MO2
833	H	1904	F	11	05	43.0	+0.1		4.2	1302	III(C)		Bagneres		U21
834	H	1904	F	24		42.0	-8.8		5.4	1303		sg	Tomiño		S03
835	H	1904	R	2	1030	38.2	-7.8		3.8	1304		sl	Vimieiro		J05
836	H	1904	R	4		39.0	-7.9		4.6	1305		nd	Aviz		K05
837	H	1904	A	24	02	39.4	-0.4		5.0	1309		in	Valencia		L19
838	H	1904	Y	10		42.9	+0.1		3.8	1310		sl	P.Midi		U21
839	H	1904	Y	18	1745	37.6	-0.9		4.6	1311		nd	Union		H19
840	H	1904	Y	25		42.9	+0.1		3.8	1312		sl	P.Midi		U21
841	H	1904	U	6		42.9	+0.1		3.8	1313		sl	P.Midi		U21
842	H	1904	U	14		41.6	-3.2		3.8	1315		sl	Gormaz		S14
843	H	1904	U	14		43.1	-7.3		4.6	1315		nd	Cubeiro		W06
844	H	1904	L	12	01	43.0	+0.1		3.8	1321		sl	Bagneres	3	U21
845	R	1904	L	13	1505	42.7	0	(26)	6.3	1322	VIII(C)		M.Perdido	m	U20
846	H	1904	L	14	0106	42.7	+0.3		3.8	1323		sl	Pirineo,C	2	U21
847	R	1904	L	22	183420	42.7	0		5.4	1327	VI(C)		M.Perdido	m	U20
848	H	1904	L	24	2221	43.0	+0.1		4.6	1329	IV(C)		Bagneres		U21
849	H	1904	L	29	0121	43.0	+0.1		4.2	1330	III(C)		Bagneres		U21
850	H	1904	G	8	2327	38.6	-9.3		5.0	1331	V(M)		(E.Tajo)	c.m	KO2
851	H	1904	G	9		38.7	-9.2		5.0	1332		in	Lisboa		KO2
852	H	1904	G	23		35.4	+0.1		4.6	1334	IV(C)		Mascara		A21
853	H	1904	G	24	2236	43.0	+0.1		4.6	1335	IV(C)		Bagneres		U21
854	H	1904	S	8	1016	43.0	+0.1		4.6	1336	IV(C)		Bagneres		U21
855	H	1904	S	10	0724	43.0	+0.1		3.8	1337	II(C)		Bagneres		U21
856	R	1904	S	29	1250	42.5	+1.9		3.8	1339		sl	Latour		T24
857	H	1904	O	1	0051	42.5	+1.9		4.2	1340		sf	Latour		T24
858	H	1904	D	17		42.9	-8.5		4.2	1344		sf	Santiago C.		U03
859	H	1905	J	7	05	36.2	-5.4		5.0	1345		in	S.Roque	2	C10
860	H	1905	J	8	05	38.7	-6.5		4.2	1346		sf	Almendralejo		KO7
861	H	1905	J	21	02	43.0	+0.1		4.2	1347		sf	Bagneres		U21
862	H	1905	F	14	04	38.0	-1.2		5.4	1349	VI(FM)		Murcia		H18
863	H	1905	F	18		35.3	-3.0		3.8	1350		sl	Melilla		A14
864	H	1905	F	23		38.7	-9.2		3.8	1351		sl	Lisboa		KO2
865	H	1905	A	15		39.0	-0.2		4.2	1352	IV(RF)		Gandia		K20
866	H	1905	Y	18	15	43.0	+0.1		4.6	1353		nd	Bagneres		U21
867	H	1905	Y	22	07	43.0	+0.1		4.2	1354		sf	Bagneres		U21
868	R	1905	L	23	0334	42.6	+2.8		3.4	3742	I(M)		Perpignan		U26
869	H	1905	L	28	18	43.2	-1.3		3.8	1358		sl	Bearne		W18
870	R	1905	S	8	02	42.6	+2.8		3.4	3743	I(M)		Perpignan	2	U26

./.

871	H	1905	O	2	19	38.7	-9.2		4.2	1359	III(RF)	Lisboa	K02
872	H	1905	O	2	1908	42.7	+0.3		4.2	1359	III	Pirineo,C	U21
873	H	1905	N	8	08	42.9	+0.3		4.6	1360	nd	Arreau	U21
874	H	1906	J	4	0540	42.1	+2.6		4.2	1363	IV(RF)	Amer	T26
875	H	1906	F	19	22	38.3	-0.8		3.8	1366	sl	Crevillente	J19
876	R	1906	A	23	1650	42.7	+0.3		4.2	1372	III(FM)	Pirineo,C 2	U21
877	H	1906	Y	10	23	38.3	-0.8		4.2	1374	sf	Crevillente	J19
878	H	1906	Y	21	1320	42.9	-8.5		4.2	1378	sf	Santiago	U03
879	H	1906	Y	22		43.4	-8.4		3.8	1379	sl	Coruña	W04
880	R	1906	Y	23	0255	43.5	-8.3		4.2	1380	sf	Ferrol	W04
881	R	1906	U	1	2001	42.7	+0.3		4.2	1384	III(M)	Pirineo,C	U21
882	H	1906	U	7	0930	37.4	-2.0		4.6	1386	nd	Huercal 2	E16
883	H	1906	U	11		37.3	-1.9		4.2	1388	sf	C.Vera 2	E17
884	R	1906	L	29	0130	42.7	+0.3		4.2	1393	III(M)	Pirineo,C	U21
885	R	1906	L	30	2232	42.7	+0.3		3.8	1394	II(M)	Pirineo,C	U21
886	H	1906	G	27	0945	36.5	-6.2		4.6	1402	IV(M)	S.Fernando 2	C08
887	H	1906	S	20	1643	36.5	-6.2		5.0	1406	V(M)	S.Fernando 2	C08
888	R	1906	S	25	0119	42.7	+0.3		3.8	1407	II(FM)	Pirineo,C	U21
889	R	1906	S	26	0428	36.5	-6.2		4.6	1408	IV(FM)	S.Fernando	C08
890	H	1906	O	4		38.7	-9.2		5.4	1410	sg	Lisboa	K02
891	H	1906	O	15		38.0	-4.0		4.2	1413	sf	Andujar	H12
892	H	1906	D	13	0048	36.5	-6.2		3.8	1423	II(FM)	S.Fernando	C08
893	H	1906	D	18		42.6	+2.8		4.6	1425	nd	Perpignan	U26
894	H	1907	J	10		41.0	-7.8		4.6	1428	IV(FM)	Tarouca	P05
895	H	1907	J	16		43.0	+0.1		3.8	1430	II(FM)	Bagneres	U21
896	H	1907	J	23	03	38.6	-0.5		4.6	1432	nd	Alicante 5	K19
897	H	1907	F	11	0930	37.8	-1.4		5.0	1434	V(FM)	Alhama,M	H18
898	E	1907	F	18	024144	41.5	+2.0	4	4.3	1437	V(M)	Rubi c.m	R24
899	H	1907	F	18	0359	43.0	+0.1		3.8	1437	II(RF)	Bagneres	U21
900	H	1907	F	21	1507	35.7	+2.0		5.4	1438	VI	Relizane	B24
901	R	1907	F	22	1603	41.6	+2.4		4.2	1439	III	Cataluña	S25
902	H	1907	R	8	2157	38.3	-8.0		3.8	1440	II	Vianna,A	J04
903	H	1907	R	9	0956	35.6	-5.8		5.4	1441	VI(FM)	Tanger	B09
904	H	1907	R	17	1506	37.0	-7.9		5.0	1442	V(FM)	Faro c.m	D05
905	H	1907	R	30	0221	43.0	+0.1		3.8	1443	II(FM)	Bagneres	U21
906	H	1907	A	8	0258	42.9	+0.1		3.8	1444	II(FM)	P.Midi	U21
907	H	1907	A	16	1730	37.8	-1.5		4.6	1447	IV(FM)	Totana	H17
908	H	1907	A	20	0157	39.5	-9.1		4.2	1448	III(FM)	(C.Rainha) c	L02
909	R	1907	A	21	0826	36.7	-4.4		3.8	1449	sl	Malaga	D12
910	H	1907	A	21	21	37.7	-1.7		4.2	1449	sf	Lorca	H17
911	H	1907	Y	10	0037	38.7	-9.2		3.8	1452	II(FM)	Lisboa	K02
912	H	1907	Y	11	0121	42.9	+0.1		3.8	1453	II(FM)	P.Midi	U21
913	H	1907	Y	15	0021	42.9	+0.1		3.8	1454	II(FM)	P.Midi	U21
914	H	1907	U	13	1839	42.9	+0.1		3.8	1458	II(FM)	P.Midi	U21
915	R	1907	U	16	054251	36.1	-5.3		3.8	1459	sl	Gibraltar	C10
916	R	1907	L	2	1539	37.0	-4.0		4.6	1465	IV(FM)	Alhama,G	D12
917	H	1907	L	10	0111	42.9	+0.1		3.8	1466	II(RF)	P.Midi 2	U21
918	H	1907	L	12	1107	40.5	-7.9		4.6	1467	IV	Nelas	N05
919	R	1907	L	15	121904	38.1	-0.9		3.8	1468	sl	Orihuela	J19
920	R	1907	G	7	011849	35.8	0		5.4	1470	VI	Bordj m.c	B20

./. ./.

921	H	1907	G	9	0121	35.7	+0.6		5.4	1471	VI(FM)	Relizane	B22
922	R	1907	G	11	214555	36.5	-5.2		5.4	1472	VI(FM)	Benadalid c	C10
923	H	1907	S	4	1011	42.9	+0.1		3.8	1473	II(FM)	P.Midi	U21
924	H	1907	S	6	0251	42.9	+0.1		3.8	1474	II(FM)	P.Midi	U21
925	H	1907	O	18	02	41.2	+1.4		5.0	1477	V(FM)	Torredembarra 2	R23
926	H	1907	O	21	0436	42.2	+2.6		4.6	1479	IV(FM)	Tortella	T26
927	H	1907	O	22		42.0	-0.8		5.4	1480	sg	T.Ribera	S19
928	R	1907	O	29	014903	37.2	-3.6		4.2	1481	III(FM)	Cartuja	E13
929	R	1907	N	14	185420	41.6	+2.4		3.8	1482	sl	Cataluña	S25
930	H	1907	N	16		39.4	-0.5		4.2	1483	sf	Torrente	L19
931	R	1907	N	16	102918	36.8	-2.5		3.8	1483	sl	Almeria	D15
932	R	1907	N	19	1854	41.6	+2.4		3.8	1484	II(M)	Cataluña	S25
933	R	1907	D	7	021835	37.2	-3.6		4.6	1485	IV(FM)	Granada	E13
934	R	1907	D	13	225756	37.2	-3.6		3.8	1486	sl	Granada	E13
935	H	1908	R	1	2005	42.9	+0.1		3.8	1500	sl	P.Midi	U21
936	H	1908	R	8	0450	42.9	+0.1		3.8	1502	sl	P.Midi	U21
937	H	1908	R	10	2321	36.5	+2.9		5.8	1504	VII(FM)	Blida 2	C26
938	R	1908	R	26	131619	41.4	+1.8		5.4	1507	VI(M)	Panades	R24
939	H	1908	Y	10	0216	42.9	+0.1		3.8	1516	sl	P.Midi	U21
940	H	1908	Y	19	1020	37.2	-4.1		5.4	1517	VI	Loja	E12
941	H	1908	Y	22	0236	42.9	+0.1		3.8	1518	sl	P.Midi	U21
942	H	1908	U	3	1053	42.9	+0.1		3.8	1519	sl	P.Midi	U21
943	H	1908	U	5	1636	42.9	+0.1		3.8	1520	sl	P.Midi	U21
944	R	1908	U	6	054214	36.0	-1.2		4.6	1521	nd	Molina	H18
945	R	1908	U	6	083924	36.9	-4.0		3.8	1521	sl	A.Rey	D12
946	R	1908	U	9	193535	36.5	+2.9		5.8	1522	VII(FM)	Blida 2	C26
947	H	1908	L	10	1606	42.7	+0.3		3.8	1526	sl	Pirineo,C	U21
948	R	1908	L	14	0655	35.3	-3.0	33	5.2	1527	in	Melilla	A14
949	R	1908	L	14	070722	35.3	-3.0	2	-	1527	sl	Melilla 2	A14
950	H	1908	L	28	0221	42.9	+0.1		3.8	1530	sl	P.Midi	U21
951	H	1908	G	21	0103	42.9	+0.1		3.8	1533	sl	P.Midi 2	U21
952	R	1908	S	25	074137	38.1	-1.5		5.8	1536	VII	Mula	J17
953	R	1908	S	26	095010	38.1	-1.5		5.4	1537	VI	Mula	J17
954	H	1908	S	27	0121	42.9	+0.1		3.8	1538	sl	P.Midi	U21
955	H	1908	S	29		38.1	-1.3		5.0	1539	in	Ojos	J18
956	H	1908	O	8	2341	42.9	+0.1		3.8	1542	sl	P.Midi	U21
957	H	1908	O	19	0123	42.9	+0.1		3.8	1543	sl	P.Midi	U21
958	H	1908	O	19	0651	43.0	-0.1		3.8	1543	sl	Argeles	U20
959	H	1908	O	21	1036	42.9	+0.1		3.8	1544	II(FM)	P.Midi	U21
960	H	1908	O	26	0950	38.1	-1.5		4.2	1545	sf	Mula	J17
961	H	1908	N	9		38.0	-7.9		5.0	1548	V(FM)	Beja	H05
962	H	1908	N	10	0530	41.5	+2.3		4.6	1549	IV(FM)	Llado	R25
963	H	1908	N	13	1947	43.0	-0.1		3.8	1550	II	Argeles	U20
964	H	1908	N	20		38.7	-9.2		5.4	1552	VI(FM)	Lisboa	K02
965	H	1908	D	13	0134	43.0	-0.1		3.8	1555	sl	Argeles	U20
966	H	1908	D	28		43.2	-0.6		3.8	1557	sl	Oloron	W19
967	H	1909	J	2		36.5	+2.9		4.2	1558	sf	Blida	C26
968	H	1909	J	16	20	37.0	-4.1		3.8	1562	sl	Zafarraya 2	D12
969	H	1909	J	21		35.5	-5.6		7.1	1563	X(RF)	Romara	A09
970	H	1909	J	21	04	36.7	-4.2		5.4	1563	VI	Palo	D12

./.

971	H	1909	J	22	1915	36.7	-4.4		4.2	1563	III	Malaga		D12
972	H	1909	J	24	1049	41.6	+2.0		5.4	1564	VI(M)	Tarrasa		S24
973	H	1909	J	28		36.7	-4.4		5.0	1565	in	Malaga		D12
974	H	1909	J	30	0430	38.0	-7.9		3.8	1566	sl	Beja		H05
975	H	1909	F	6		42.2	+2.5		3.8	1567	sl	Olot		T25
976	R	1909	F	16	170848	41.2	-8.3		4.2	1571	IV(RF)	Penafiel		R04
977	R	1909	F	21	080518	38.0	-0.7		5.8	1572	VII(FM)	Torrevieja	4	H19
978	H	1909	F	24		38.3	-0.8		3.8	1573	sl	Crevillente	4	J19
979	H	1909	F	26	1430	38.3	-0.7		3.8	1576	sl	Elche		J19
980	H	1909	R	9		41.5	-7.5		3.8	1579	sl	Portugal,N		R05
981	R	1909	R	19	071705	37.5	-8.2		4.2	1582	IV(RF)	Algarve		E04
982	H	1909	R	26		38.3	-0.8		3.8	1584	sl	Crevillente		J19
983	H	1909	R	29	10	39.0	-0.2		3.8	1585	sl	Gandia		K20
984	H	1909	R	29	1035	38.8	-0.1		4.2	1585	III(FM)	Pego		K20
985	H	1909	R	31		37.5	-8.2		3.8	1586	sl	Algarve		E04
986	E	1909	A	6	105430	41.8	+2.0	30	5.6	1588	VI(FM)	Planas	m.c	S24
987	R	1909	A	10		42.2	+2.5		3.8	1589	sl	Olot		T25
988	H	1909	A	12		38.0	-0.7		3.8	1591	sl	Torrevieja		H19
989	H	1909	A	15	1450	36.7	-4.2		5.0	1592	V	Palo	2	D12
990	E	1909	A	23	174053	37.8	-8.9	7.5	6.6	1593	IX(FM)	(R.Mira)	m.c	H03
991	H	1909	A	28		39.0	-8.5		3.8	1594	sl	Coruche		K03
992	R	1909	A	30	021500	37.2	-4.1		3.8	1595	sl	Loja	2	E12
993	H	1909	Y	3	0030	43.8	-6.4		4.2	1597	sf	Tineo		X08
994	H	1909	Y	4	0528	39.2	-8.6		5.0	1598	VI(RF)	Ribatejo		L03
995	R	1909	Y	22	085940	37.1	-2.7		5.0	1600	V(FM)	Nacimiento		E15
996	R	1909	Y	24	114900	41.5	+2.3		5.4	1601	VI(M)	Masnou	m	R25
997	H	1909	Y	25		39.2	-8.6		5.0	1602	in	Ribatejo	2	L03
998	H	1909	Y	26		41.6	+2.4		3.8	1603	sl	Tiana		S25
999	H	1909	U	4		39.2	-8.6		5.0	1606	in	Ribatejo		L03
1000	R	1909	U	11	211036	42.7	+5.0		6.7	1607	VIII(M)	G.Leon	m	U30
1001	R	1909	U	12	105500	41.5	+2.2		4.2	1608	IV(RF)	Badalona		R25
1002	R	1909	U	16	1740	41.5	-7.5		3.8	1609	sl	Portugal,N		R05
1003	H	1909	U	19	03	41.5	+2.3		3.8	1611	sl	Teya		R25
1004	H	1909	U	24		39.0	-8.8		5.0	1612	VI(RF)	Benavente,P		K03
1005	H	1909	U	29	0545	35.7	+0.6		5.0	1613	VI(RF)	Relizane	2	B22
1006	H	1909	U	30	1830	38.0	-0.7		4.2	1614	III(FM)	Torrevieja		H19
1007	R	1909	L	1	141218	38.1	-0.6		5.8	1614	VII(FM)	Guardamar	m	J19
1008	R	1909	L	2	120220	38.1	-0.6		5.0	1614	V(FM)	Guardamar	m.7	J19
1009	H	1909	L	10	21	42.7	+5.0		5.8	1617	VIII(RF)	G.Leon		U30
1010	H	1909	L	16		39.0	-8.8		5.0	1618	VI(RF)	Benavente,P		K03
1011	R	1909	L	20	105824	41.6	+2.4		4.2	1621	III(RF)	Cataluña		S25
1012	H	1909	L	20	2130	38.0	-0.7		4.2	1614	III(FM)	Torrevieja	3	H19
1013	R	1909	G	2	144212	38.9	-7.0		4.2	1623	III(FM)	Badajoz		K06
1014	H	1909	G	3		43.5	-3.8		4.2	1624	sf	Santander		W13
1015	H	1909	G	9		38.0	-0.7		5.0	1614	V(FM)	Torrevieja	8	H19
1016	H	1909	S	15	1330	38.0	-0.7		4.2	1627	III	Torrevieja		H19
1017	R	1909	S	18	123803	37.4	-3.5		5.4	1629	VI(FM)	Iznalloz		E13
1018	R	1909	S	22	052414	37.0	-3.5		4.6	1631	IV(FM)	Mondujar		D13
1019	R	1909	S	25	152215	38.1	-1.5		5.8	1633	VII(M)	Mula		J17
1020	R	1909	S	29	0816	37.1	-3.3		4.6	1635	IV(FM)	S.Nevada	2	E14

./.

1021	H	1909	S	30	21	38.3	-0.8	5.4	1636	VI(FM)	Crevillente		J19
1022	R	1909	O	20	064004	37.2	-3.7	5.0	1641	V(FM)	Santafe	m	E13
1023	R	1909	O	24		40.8	+0.6	4.2	1642	sf	Tortosa		P22
1024	H	1909	O	28		38.0	-0.7	5.0	1644	V(FM)	Torrevieja	8	H19
1025	R	1909	O	29	174804	36.7	+3.1	5.0	1645	V	Alger		D27
1026	H	1909	N	10	0530	41.5	+2.3	4.6	1648	IV(FM)	Llado		R25
1027	H	1909	N	25		40.5	-3.2	3.8	1656	sl	A.Henares		NI4
1028	H	1909	N	28		38.1	-3.6	4.2	1657	sf	Linares		J13
1029	R	1909	D	2.	1800	42.4	+2.7	3.8	1658	sl	Darnius		T26
1030	R	1909	D	12	095055	36.7	-3.2	4.6	1663	nd	Albuñol		D14
1031	R	1909	D	17	210323	41.5	+2.3	4.2	1665	III(M)	Teya		R25
1032	H	1910	J	2	1207	37.2	-4.1	4.2	1667	sf	Loja		E12
1033	H	1910	J	16		36.7	-4.2	4.2	1672	III(FM)	Palo		D12
1034	R	1910	J	24	291809	41.5	+2.3	4.2	1673	IV(RF)	Teya	2	R25
1035	H	1910	F	2		35.7	-0.6	5.0	1675	in	Oran		B19
1036	R	1910	F	11	020726	35.3	-3.0	4.6	1676	nd	Melilla	2	A14
1037	H	1910	F	18	0227	35.3	-3.0	4.2	1680	sf	Melilla		A14
1038	R	1910	R	25	000309	41.7	+3.0	5.4	1689	VI(M)	Tossa	2	S26
1039	H	1910	A	12	03	38.0	-0.7	5.0	1692	V(FM)	Torrevieja		H19
1040	H	1910	A	15		38.0	-0.7	5.0	1692	V(FM)	Torrevieja		H19
1041	H	1910	A	16		36.8	-3.0	5.8	1693	VII(FM)	Adra	m.16	D14
1042	H	1910	A	23	09	38.7	-9.2	3.8	1694	sl	Lisboa		K02
1043	H	1910	A	25	0420	42.0	-7.5	4.2	1695	sf	Verin		S05
1044	H	1910	A	26	0420	42.0	-8.6	4.6	1695	nd	Tuy		S03
1045	H	1910	Y	6		41.5	+2.3	3.8	1698	sl	Teya		R25
1046	H	1910	Y	8	0045	38.0	-7.9	4.2	1699	III(FM)	Beja		H05
1047	H	1910	Y	11	0535	39.0	-8.8	4.6	1701	IV(FM)	Benavente,P	2	K03
1048	H	1910	Y	14		37.1	-3.0	5.0	1702	V(FM)	Paterna		E14
1049	H	1910	Y	15	1415	38.0	-7.9	4.2	1703	III(FM)	Beja		H05
1050	R	1910	Y	19	1758	41.5	+2.3	3.8	1704	sl	Teya		R25
1051	R	1910	U	16	041641	36.7	-3.1	6.3	1708	VIII(FM)	Adra	16.m.c	D14
1052	R	1910	U	17	003427	36.8	-3.0	4.6	1709	IV	Adra		D14
1053	R	1910	U	18	003148	36.8	-3.0	4.6	1710	IV	Adra		D14
1054	R	1910	U	22	225154	41.6	+2.4	5.0	1714	V(M)	Tiana		S25
1055	R	1910	U	24	133001	36.0	+3.2	7.5	1716	XI	Masqueray	m.c	B27
1056	H	1910	U	24		38.9	-0.1	5.8	1716	VII(FM)	Oliva		K20
1057	H	1910	L	2		38.0	-0.7	4.6	1717	nd	Torrevieja		H19
1058	R	1910	L	2	032132	36.8	-3.0	4.6	1717	IV	Adra	2	D14
1059	R	1910	L	5	031028	37.3	-3.1	5.4	1719	VI	Guadix		E14
1060	H	1910	L	7	01	41.5	+2.3	3.8	1720	sl	Alella		R25
1061	R	1910	L	7	181122	37.3	-3.1	4.6	1720	IV	Guadix	2	E14
1062	R	1910	L	11	095917	36.8	-3.0	5.4	1723	VI	Adra	2	D14
1063	R	1910	L	14	154410	36.8	-3.0	4.2	1725	III	Adra	2	D14
1064	R	1910	L	15	062730	36.8	-3.0	4.6	1726	IV(FM)	Adra	2	D14
1065	H	1910	L	16		36.8	-3.0	5.4	1693	VI	Adra		D14
1066	H	1910	L	30	09	37.0	-7.0	5.0	1730	in	L.Huelva		D06
1067	H	1910	G	8	1745	38.1	-0.6	4.6	1733	IV(FM)	Guardamar	4	J19
1068	R	1910	G	13	043754	35.3	-3.0	5.0	1735	in	Melilla		A14
1069	H	1910	G	17	0602	36.7	-4.1	3.8	1737	sl	Torre,M		D12
1070	R	1910	G	20	012029	36.1	+3.7	3.8	1739	sl	Aumale		C28

./.

1071	R	1910	G	22	081240	36.7	-3.7	4.2	1740	III(FM)	Almuñecar		D13
1072	H	1910	G	22	2015	36.8	-2.5	4.6	1740	IV(FM)	Almeria		D15
1073	H	1910	G	23	0430	38.3	-0.7	3.8	1741	sl	Elche	2	J19
1074	H	1910	G	23		36.8	-2.5	4.6	1741	IV	Almeria		D15
1075	H	1910	G	28	1445	38.1	-0.8	4.2	1743	III(FM)	Benejuzar		J19
1076	H	1910	S	10	1758	41.5	+2.3	4.6	1748	V(RF)	Alella		R25
1077	R	1910	S	19	191301	41.5	+2.3	3.8	1749	sl	Alella		R25
1078	R	1910	O	1	191303	42.6	+0.5	5.0	1751	V(FM)	Benasque		U21
1079	H	1910	O	2	02	42.8	+0.7	3.8	1752	II(RF)	Aran		U22
1080	R	1910	O	27	005929	35.5	-4.5	5.0	1754	V(FM)	Peñon,NW	2	A11
1081	H	1910	N	1	1755	43.6	+5.0	4.6	1756	nd	Salon'		X30
1082	R	1910	N	19	081500	35.2	-4.3	4.2	1760	sf	Peñon		A12
1083	H	1910	N	22		42.2	-8.7	3.8	1763	II(FM)	Vigo		T03
1084	R	1910	N	24	095320	43.5	-8.3	5.8	1765	VII	Ferrol	m.c	W04
1085	R	1910	D	5	044434	37.2	-3.7	5.0	1770	V(FM)	Santafe		E13
1086	R	1911	J	5	211435	41.5	+2.3	4.2	1774	III(RF)	Teya		R25
1087	R	1911	J	7	013352	36.6	+3.1	5.0	1775	V	Alger		D27
1088	H	1911	J	10	0535	36.6	+2.2	4.6	1776	IV	Cherchel		D25
1089	H	1911	J	10	2130	35.7	+0.4	4.6	1776	IV	Relizane	2	B21
1090	R	1911	J	22	001321	37.0	-4.6	5.0	1778	in	Antequera	3	D11
1091	H	1911	J	24	1530	43.6	-7.1	4.2	1779	sf	Ribadeo		X06
1092	R	1911	F	2	032352	37.7	-8.2	5.4	1780	VI(M)	(C.Verde)	m.c	H04
1093	H	1911	F	9	1840	41.7	-8.9	5.4	1783	VI(M)	V.Castelo	m.c	S03
1094	H	1911	F	12	12	39.0	-8.8	5.4	1784	VI(M)	Benavente,P		K03
1095	R	1911	R	5	102112	36.6	+3.1	4.2	1790	III(M)	Bouzareah		D27
1096	R	1911	R	8	025419	36.7	-3.5	3.8	1791	sl	Motril		D13
1097	R	1911	R	15	031420	37.2	-3.7	5.0	1792	V(FM)	Granada		E13
1098	R	1911	R	20	181220	36.6	+3.1	4.2	1793	III(RF)	Bouzareah		D27
1099	R	1911	R	21	141535	38.0	-1.2	6.3	1794	VIII(FM)	Cotillas	m.10	H18
1100	R	1911	R	21	000737	42.2	+2.3	4.6	1794	IV(M)	Puigsacalm	m	T25
1101	R	1911	A	3	111111	38.1	-1.2	5.4	1795	VI	Lorqui	m.21	J18
1102	R	1911	Y	9	032504	38.1	-1.2	6.3	1803	VIII(FM)	Lorqui	m.30	J18
1103	R	1911	Y	10	012426	36.1	+3.4	4.6	1804	V(RF)	Masqueray		C27
1104	H	1911	Y	20	143000	35.5	-3.5	4.6	1805	V(RF)	Alhucemas,NE		A13
1105	R	1911	Y	31	151500	37.2	-3.7	6.3	1806	VIII(FM)	Santafe	m.31	E13
1106	H	1911	U	7	0940	43.0	-7.5	4.2	1812	sf	Lugo		U05
1107	R	1911	L	6	195036	36.1	+3.7	4.6	1820	IV	Aumale		C26
1108	H	1911	L	7	0355	38.2	-0.8	5.8	1821	VII(FM)	Dolores	3	J19
1109	R	1911	L	8	004904	37.2	-3.7	4.6	1822	IV(FM)	Granada		E13
1110	R	1911	L	11	012200	36.8	+3.0	5.4	1823	VI	(Alger)	c.m	D26
1111	R	1911	L	24	015938	43.0	-0.5	6.3	1827	VIII(FM)	Oloron	c.m	U19
1112	R	1911	G	12	212500	36.8	-8.0	5.4	1833	VI(M)	(G.Cadiz)	c.m(")	D04
1113	R	1911	G	20	071737	42.2	-2.7	4.2	1837	III(FM)	Cameros		T15
1114	R	1911	G	27	095202	36.5	+2.9	4.2	1838	III	Blida		C26
1115	H	1911	O	9	0130	38.5	-0.6	5.4	1844	VI(FM)	Ibi		J19
1116	R	1911	O	25	152518	36.5	+2.9	4.2	1846	III	Blida		C26
1117	H	1911	N	11		38.0	-1.2	5.0	1849	V(FM)	Murcia	2	H18
1118	H	1911	N	20	09	39.0	-8.8	4.6	1852	IV	Benavente,P		K03
1119	R	1911	N	27	084932	38.7	-9.2	5.0	1853	V	Moita	m	K02
1120	R	1911	D	1	160221	38.0	-4.0	4.2	1855	sf	Andujar		H12

./. - 33 - ./.

1121	R	1911	D	22	142600	41.6	+2.4		4.6	1860	IV(M)	Tiana		S25
1122	R	1911	D	30	042926	41.6	+2.4		3.8	1862	sl	Tiana		S25
1123	R	1912	J	1	061603	36.5	+2.6		4.6	1864	IV	Affroun		C26
1124	R	1912	J	1	080700	36.5	+2.9		4.2	1864	III	Blida		C26
1125	H	1912	J	12	1215	42.8	+0.7		3.8	1869	II(RF)	Aran		U22
1126	H	1912	J	23	14	38.2	-7.8		5.4	1871	VI	Vimieiro	m	J05
1127	H	1912	J	25	04	37.7	-7.5		5.4	1873	VI(M)	Mertola	c	H05
1128	H	1912	J	27	02	38.1	-1.2		4.6	1874	nd	Lorqui		J18
1129	H	1912	J	29	02	38.1	-1.2		4.2	1875	sf	Lorqui		J18
1130	H	1912	F	3	0806	38.1	-1.2		4.6	1876	IV(FM)	Lorqui	8.m	J18
1131	R	1912	F	14	045030	42.4	+2.0		4.2	1880	sf	Puigcerda		T24
1132	R	1912	F	16	192638	38.3	-7.5		5.8	1882	VII(M)	Aimieira	c	J05
1133	R	1912	F	22	004146	35.2	-4.3		5.0	1885	V(FM)	Peñon		A12
1134	R	1912	F	28	045204	36.5	+1.3		5.0	1887	V	Tenes		C23
1135	R	1912	R	1	002115	41.5	+2.3		3.8	1888	II(RF)	Teya		R25
1136	R	1912	R	3	184519	36.1	+3.7		5.0	1889	V	Aumale		C28
1137	H	1912	R	19	0330	39.0	-8.8		5.4	1890	VI	Benavente,P		K03
1138	R	1912	R	26	005308	36.5	+3.1		4.6	1891	IV	Alger,S		C27
1139	R	1912	A	1	064632	38.1	-0.9		4.2	1893	sf	Orihuela		J19
1140	R	1912	A	15	125241	41.6	-1.6		5.8	1897	VII(FM)	Cimballa	2	S17
1141	R	1912	A	16	234545	36.2	+3.5		4.2	1898	III	Bouzareah		C27
1142	R	1912	A	25	1715	38.1	-1.2		3.8	1901	sl	Lorqui	3	J18
1143	H	1912	A	28	1830	38.0	-7.7		4.6	1904	IV(M)	Brinches	c	H05
1144	R	1912	Y	6	035127	36.8	-2.5		3.8	1906	sl	Almeria		D15
1145	R	1912	Y	16	014550	37.2	-3.7		5.0	1909	in	Santafe	2	E13
1146	R	1912	Y	29	154806	39.1	-9.2		4.6	1910	IV	Carmoes		L02
1147	R	1912	Y	29	003138	37.2	-3.6		3.8	1910	sl	Granada	2	E13
1148	R	1912	U	11	071746	37.1	-8.3		5.4	1912	VI	Albufeira	m	E04
1149	H	1912	L	7	02	39.6	-8.0		4.6	1914	IV	Maçao	c	M04
1150	R	1912	L	11	071758	37.7	-8.6		4.2	1916	sf	Riotinto		H07
1151	R	1912	L	14	184700	42.2	+2.6	(2)	3.8	1917	V(M)	Montagut	c.m	T26
1152	R	1912	L	24	180642	35.9	-0.3		5.8	1919	VII	Arzew		B20
1153	R	1912	L	25	183125	35.9	-0.3		4.2	1920	III	Arzew		B20
1154	R	1912	L	28	012804	39.5	+4.5		5.0	1922	in	Menorca,SE ?		L29
1155	H	1912	L	31	1050	35.9	-0.3		5.0	1923	V	Arzew	2	B20
1156	H	1912	G	2	0130	35.9	-0.3		4.6	1924	IV	Arzew	4	B20
1157	H	1912	G	15	2310	35.7	-0.6		4.2	1928	III	Oran		B19
1158	R	1912	G	25	210845	36.5	+1.3		6.3	1930	IX(RF)	Tenes		C23
1159	R	1912	S	2	155456	36.1	+3.7		4.2	1931	III	Aumale		C28
1160	R	1912	S	7	155456	36.1	+3.7		4.2	1933	III	Aumale		C28
1161	R	1912	S	14	001218	37.2	-3.6		4.2	1934	sf	Granada		E13
1162	R	1912	S	15	240027	42.8	-0.1		4.6	1935	V(RF)	M.Perdido	c	U20
1163	H	1912	S	18	2045	35.9	-0.3		4.6	1936	IV	Arzew		B20
1164	R	1912	O	18	210030	41.4	-8.7		5.4	1942	VI	Barcelos	c.m	R03
1165	H	1912	O	22	0357	35.9	+0.1		4.2	1943	III	Mostaganem		B21
1166	H	1912	O	22	2126	41.5	+2.3	(s)	6.5	1943	X(RF)	Teya		R25
1167	H	1912	N	1	0745	38.3	-0.7		3.8	1946	sl	Elche		J19
1168	H	1912	N	2	0445	37.0	-3.9		4.6	1947	nd	Jayena		D13
1169	H	1912	N	16	1222	41.5	-8.6		5.4	1953	VI	Barcelos	m	R03
1170	R	1912	N	22	212702	41.5	+2.3	(2)	4.3	1954	VI(M)	Teya	m.c	R25

./.

1171	H	1912	N	25		39.1	-9.2	4.6	1955	IV(M)	Carmoes		LO2
1172	H	1912	N	30		39.0	-9.1	4.6	1957	IV	Sobral		KO2
1173	R	1913	J	8	283803	35.7	-0.7	5.8	1963	VII(FM)	Oran	m.c	B19
1174	R	1913	J	9	000000	35.7	+0.6	4.2	1964	III(FM)	Relizane		B22
1175	H	1913	J	10	0630	35.7	+0.6	4.2	1965	III(FM)	Relizane		B22
1176	R	1913	J	18	055141	36.7	+3.5	4.2	1968	III(FM)	Menerville	2	D27
1177	H	1913	J	18		39.0	-8.8	4.6	1968	IV(M)	Benavente,P		KO3
1178	R	1913	J	23	115306	38.0	-7.9	5.0	1970	V(M)	Beja		HO5
1179	H	1913	J	28	1330	38.0	-0.7	4.2	1971	III(FM)	Torrevieja		H19
1180	R	1913	J	31	012744	38.0	-0.7	4.6	1972	IV(FM)	Torrevieja		H19
1181	R	1913	F	14	184426	36.2	+3.5	4.2	1974	III(FM)	Bouzareah		C27
1182	R	1913	F	26	035104	35.7	-0.6	5.4	1976	VI(FM)	Oran		B19
1183	R	1913	F	26	035151	39.1	-7.3	4.6	1976	IV	Arronches		LO6
1184	H	1913	A	1		39.2	-9.0	5.0	1982	V(M)	P.Moniz		LO2
1185	H	1913	A	12	2115	40.5	-8.1	4.6	1984	IV	Tondela	c	NO4
1186	H	1913	A	26		41.5	-8.5	4.2	1986	III	Braga	3	RO3
1187	R	1913	A	27	183449	37.2	-2.2	3.4	1987	I(FM)	Almeria		E16
1188	H	1913	Y	4	0945	37.1	-8.5	5.4	1991	VI(M)	Lagos	m	EO3
1189	H	1913	Y	13	1230	36.8	-3.1	4.2	1994	III(FM)	Alicun		D14
1190	R	1913	U	9	213449	39.3	-9.2	5.4	1999	VI(M)	(Obidos)	c.m	LO2
1191	R	1913	U	19	074248	36.5	+2.6	4.6	2000	IV(FM)	Affroun		C26
1192	R	1913	L	2	044904	36.8	-3.1	4.2	2002	III(FM)	Alicun		D14
1193	R	1913	L	4	043905	36.8	-3.1	4.6	2003	IV(FM)	Alicun		D14
1194	H	1913	L	18	0830	39.3	-9.2	5.4	2005	VI(M)	Bolica		LO2
1195	H	1913	L	24	1007	38.1	-8.1	5.4	2007	VI(M)	Ferreira	m	JO4
1196	H	1913	G	6	0905	38.7	-9.4	4.6	2012	IV	Cascais	m	KO2
1197	H	1913	G	7		38.6	-9.3	5.4	2013	VI	Cascais	m.c	KO2
1198	H	1913	G	9		38.7	-9.4	5.0	2015	V	Cascais		KO2
1199	R	1913	G	11	010548	36.7	-3.2	5.8	2017	VII(FM)	Albuñol	m	D14
1200	H	1913	G	31	12	35.7	+0.6	4.2	2020	III(RF)	Relizane		B22
1201	H	1913	S	4	1130	36.7	-3.5	3.8	2023	sl	Motril		D13
1202	H	1913	O	14	0330	36.1	+3.7	4.2	2028	III	Aumale		C28
1203	H	1913	O	26		41.3	-8.5	5.0	2029	V(M)	Porto	m.c	RO3
1204	H	1913	O	27		41.5	-8.7	5.4	2030	VI	V.Castelo	m.c	RO3
1205	H	1913	O	29	1615	41.5	-7.8	3.8	2031	sl	(Ribeira)	c	RO5
1206	H	1913	N	19	0346	42.6	+2.8	5.0	2034	in	Perpignan		U26
1207	R	1913	N	21	150937	36.2	+3.5	4.2	2035	III(FM)	Bouzareah		C27
1208	R	1913	N	24	2215	37.8	-2.5	5.4	2036	sg	Huescar	8	H15
1209	H	1913	D	19		37.2	-4.1	5.0	2038	in	Loja		E12
1210	R	1913	D	19	214622	38.6	-7.9	4.6	2038	IV(M)	Evora		KO5
1211	H	1914	J	14	04	39.0	-8.8	4.6	2041	IV(M)	Benavente,P		KO3
1212	R	1914	J	31	165146	36.8	-2.5	3.4	2043	I(FM)	Almeria		D15
1213	H	1914	F	2		40.2	+0.1	5.4	2044	VI(FM)	V.Alcolea	c	N21
1214	H	1914	F	3	0715	36.3	+2.8	4.6	2045	IV(FM)	Medea		C26
1215	R	1914	F	6	201651	37.2	-3.7	5.0	2047	V(FM)	Santafe		E13
1216	R	1914	F	8	121233	36.2	+3.6	4.2	2048	III(FM)	Rabalou		C28
1217	R	1914	F	14	174854	36.8	-2.5	3.4	2050	I(FM)	Almeria		D15
1218	R	1914	F	15	190028	37.4	-2.5	3.4	2051	I(FM)	Almeria,P		E15
1219	R	1914	F	16	230624	36.2	+1.5	4.2	2053	III(FM)	Fodda	10	C23
1220	H	1914	F	21	1645	41.5	+2.3	4.2	2054	III(FM)	Alella		R25

./.

./.

1221	H	1914	F	23	0115	36.1	+1.3		4.6	2055	IV(FM)	Orleansville		C23
1222	H	1914	F	24	02	40.4	-8.7		4.6	2056	IV(M)	Mira		N03
1223	R	1914	R	17	191856	38.1	-1.2		5.0	2059	V(FM)	Lorqui		J18
1224	H	1914	R	21		41.4	-8.3		4.6	2060	IV(M)	Guimaraes		R04
1225	H	1914	A	4		38.1	-0.9		3.8	2064	II(FM)	Orihuela		J19
1226	H	1914	A	5		38.9	-8.9		4.6	2065	IV(M)	Samora		K03
1227	R	1914	A	8	024618	41.5	+2.3		4.6	2067	nd	Teya		R25
1228	R	1914	A	8	181901	37.2	-3.7		4.6	2067	IV(FM)	Santafe		E13
1229	R	1914	A	20	014927	36.3	+2.8		4.6	2073	IV	Loverdo		C26
1230	R	1914	A	29	031417	35.9	+2.8		4.6	2074	IV	Boghari		B26
1231	R	1914	Y	15	023006	36.2	+3.5		4.2	2082	III	Bouzareah		C27
1232	H	1914	Y	18		43.2	-0.6		5.4	2084	VI(FM)	Oloron	2	W19
1233	R	1914	Y	19	0815	39.1	-8.7		5.4	2085	VI	Benavente,P	m.c	L03
1234	R	1914	Y	28	211357	37.4	-1.7		4.2	2090	sf	Pulpi		E17
1235	H	1914	Y	29		42.6	+0.3		4.6	2093	IV(FM)	(Bielsa)	c	U21
1236	R	1914	U	23	101356	36.7	-3.5		3.8	2098	sl	Motril		D13
1237	R	1914	U	27	171621	37.1	-3.5		4.6	2099	nd	Granada,SE	4	E13
1238	R	1914	L	3	065113	37.2	-3.7		4.2	2101	III(FM)	Santafe		E13
1239	H	1914	L	11	0655	39.0	-9.1		3.8	2102	sl	Arruda	c	K02
1240	R	1914	G	.7	005108	42.6	+0.5		5.8	2104	VII(FM)	Benasque		U21
1241	R	1914	G	11	090647	42.6	+0.5		5.8	2105	VII(FM)	Benasque	m	U21
1242	H	1914	S	23		39.1	-8.7		5.8	2112	VII	Benavente,P	m.2	K03
1243	R	1914	S	25	175347	38.9	-9.0		5.8	2113	VII(M)	V.Xira	m	K02
1244	R	1914	O	7	114534	42.3	+2.0		4.6	2115	IV	P.Lillet	c	T24
1245	R	1914	O	24	215028	37.4	-2.0		4.2	2120	III(FM)	Huercal		E16
1246	R	1914	O	26	145837	36.8	-2.5		3.4	2122	I(FM)	Almeria		D15
1247	H	1914	O	29	1230	41.3	-7.0		4.2	2125	III(M)	Alfandega		R06
1248	R	1914	N	4	191049	39.5	-9.2		5.0	2127	V	S.Martinho	c	L02
1249	H	1914	N	12	1735	39.7	-8.8		5.0	2128	V	Alcobaça	m.c	M03
1250	R	1914	N	20	054725	37.1	-8.3		5.0	2131	V(M)	Albufeira	m	E04
1251	H	1914	D	5	1420	39.8	-8.9		4.6	2134	IV(M)	Leiria	c	M03
1252	H	1914	D	9	1950	35.9	+2.4		4.2	2136	III	Letourneux		B25
1253	R	1915	J	2	190600	42.3	-5.2		5.0	2141	in	Genestaza		T10
1254	H	1915	J	3	03	41.2	-7.8		5.0	2142	V(M)	Lamego	c	R05
1255	R	1915	J	5	031458	43.2	-2.7		4.6	2143	nd	Durango	2	W15
1256	R	1915	F	8	131636	36.1	+3.7		4.6	2149	IV	Aumale		C28
1257	H	1915	R	9	0245	37.0	-7.9		4.6	2153	IV(M)	Faro		D05
1258	H	1915	R	10	12	40.7	-8.1		5.0	2153	V	(Vouzela)	(")m.2c	P04
1259	R	1915	R	28	043441	42.5	-0.7	(ms)	4.5	2155	VII(FM)	Castanesa	m.c	T19
1260	H	1915	R	28	18	35.3	-3.0		5.0	2155	in	Melilla		A14
1261	H	1915	A	16	1625	35.5	-0.5		5.0	2160	V(FM)	Tlelat		A19
1262	R	1915	A	24	124212	36.7	-5.4		5.0	2162	in	Villaluenga		D10
1263	H	1915	A	27		37.3	-1.9		4.6	2165	nd	C.Vera		E17
1264	H	1915	U	14		37.3	-1.9		3.8	2170	sl	C.Vera		E17
1265	H	1915	U	15		42.2	-2.5		5.0	2171	in	Cardenas		T15
1266	H	1915	U	24	03	42.6	-2.3		5.0	2173	V(FM)	Campezo	5	U16
1267	R	1915	U	28	015443	35.3	-3.0		4.6	2176	IV(FM)	Melilla		A14
1268	H	1915	L	6	1030	38.7	-7.5		4.2	2179	sf	Redondo	c	K05
1269	R	1915	L	7	121209	37.0	-4.1		3.8	2180	sl	Zafarraya		D12
1270	R	1915	L	11	112916	35.6	-10.		5.4	2182	VI	Atlantic	c(")m	B01

./

1271	R	1915	L	12	233246	36.0	-9.0		5.0	2183		in	S.Vicente,S	?	B02
1272	H	1915	L	17	09	37.0	-4.1		4.2	2184		III	Zafarraya	2	D12
1273	R	1915	L	30	143057	38.8	-9.2		5.0	2186		V	Francos	m	K02
1274	R	1915	G	4	032030	36.5	+1.3		5.0	2188		V	Tenes	2	C23
1275	R	1915	G	7	002746	36.9	-2.4		3.8	2190		II(FM)	Pechina		D16
1276	H	1915	G	18	1757	35.3	-3.0		4.2	2195		III	Melilla		A14
1277	R	1915	G	25	123734	36.8	-2.5		3.4	2197		I(FM)	Almeria		D15
1278	R	1915	S	5	134823	41.5	-8.7		5.0	2198		V	Porto	c.m	R03
1279	H	1915	S	9	0130	36.6	-5.5		3.8	2199		sl	Ubrique		D09
1280	R	1915	S	11	000303	37.1	-2.5		3.8	2201		sl	Gergal		E15
1281	R	1915	S	16	024530	42.7	+1.1		5.0	2203		V(FM)	Cardos	2	U23
1282	H	1915	S	30	16	42.7	+2.9		3.8	2205		II(RF)	Torreilles		U26
1283	H	1915	O	2	0645	35.5	-3.5		5.0	2207		V	Alhucemas,NE		A13
1284	H	1915	O	25	1003	42.8	+2.9		4.2	2211		IV(RF)	Rivesaltes		U26
1285	H	1915	N	1	0024	42.8	+0.7		4.2	2212		IV(RF)	Aran		U22
1286	R	1915	N	4	145024	35.3	-3.0		4.2	2213		III	Melilla		A14
1287	R	1915	N	5	022720	35.3	-3.0		4.2	2214		III	Melilla		A14
1288	H	1915	N	10	1627	38.9	-7.7		5.0	2217		V	(Estremoz)	m.c	K05
1289	H	1915	N	14	0937	43.4	-8.4		4.6	2219		IV(FM)	Coruña		W04
1290	H	1915	D	6	04	41.8	-8.8		5.4	2227		VI	Vianna,C	m.c	S03
1291	H	1915	D	7	22	41.5	-7.8		4.6	2228		IV	(Pouza)	c	R05
1292	H	1915	D	29	18	42.5	+1.1		4.2	2233		III	Olp		T23
1293	R	1916	J	22	012506	35.7	-0.6		4.2	2237		III(FM)	Oran		B19
1294	H	1916	F	9	1752	38.1	-0.9		4.6	2240		IV(FM)	Orihuela		J19
1295	H	1916	F	22	0530	42.4	+0.7		3.8	2243		II(FM)	P.Suert	c	T22
1296	H	1916	F	27		43.1	-3.3		5.4	2244		VI(FM)	Villavezana		W14
1297	H	1916	R	5	1230	36.5	+1.3		4.2	2245		III	Tenes		C23
1298	H	1916	R	15	12	36.5	+1.3		5.0	2251		V(FM)	Tenes		C23
1299	H	1916	R	18	2330	36.5	+1.3		4.2	2252		III	Tenes		C23
1300	R	1916	R	28	050243	38.1	-3.8		4.2	2254		III	Bailen		J13
1301	H	1916	A	15	2215	41.7	-8.8		4.2	2257		III	Ançor		S03
1302	R	1916	A	16	041727	38.6	-0.6		4.6	2258		IV(FM)	Biar		K19
1303	R	1916	A	27	223613	41.6	+2.6		5.0	2260		V(FM)	Arenys	c.m.2	S26
1304	H	1916	Y	13	0210	36.5	+1.3		4.6	2264		IV	Tenes		C23
1305	R	1916	U	5	202104	38.3	-9.0		3.8	2267		sl	Setubal,S	c	J02
1306	R	1916	U	15	033340	41.6	+2.6		5.0	2271		V(FM)	Canet	m.c	S26
1307	H	1916	U	29	1945	36.6	-5.4		5.0	2272		V(FM)	Cortes		D10
1308	R	1916	U	30	164749	37.2	-3.7		3.8	2273		II(FM)	S.Elvira ?		E13
1309	R	1916	L	16	212856	37.0	-4.1		4.2	2275		III(FM)	Zafarraya		D12
1310	H	1916	L	19	1908	41.1	-8.7		5.0	2276		V	Foz		R03
1311	R	1916	L	21	095028	36.9	-4.1		4.2	2277		III(FM)	S.Tejeda		D12
1312	H	1916	L	23	07	41.9	-8.7		5.0	2278		V(FM)	Paredes	2.c	S03
1313	H	1916	G	5	01	36.1	+1.3		4.2	2284		III	Orleansville		C23
1314	R	1916	S	9	164413	36.5	+4.3		4.2	2291		III	Michelet		C29
1315	H	1916	S	13	0230	39.0	-8.8		5.0	2293		V	Benaven e,P		K03
1316	R	1916	S	27	104839	36.7	-5.8		5.0	2295		V(FM)	Arcos		D09
1317	R	1916	O	17	155906	36.8	-2.5		3.4	2302		I(FM)	Almeria ?		D15
1318	R	1916	O	18	031535	36.1	+3.7		4.6	2303		IV	Aumale		C28
1319	H	1916	N	18	02	42.3	+1.0		3.8	2305		sl	Cardos	2.c	T22
1320	E	1916	N	28	220546	38.5	-0.9	3	4.5	2306		VI(FM)	(Elda)	m.c(")	J19

./. ./.

1321	R	1916	D	3	093128	43.7	-7.5		5.8	2307	VII(FM)	Canelas		X05
1322	R	1916	D	9	042615	41.5	+2.3		4.6	2308	IV(FM)	Teya	2	R25
1323	R	1916	D	12	222511	41.5	+2.3		4.2	2309	III(FM)	Alella		R25
1324	R	1916	D	25	102806	38.7	-0.6		5.0	2310	V(FM)	Javea	c	K19
1325	R	1917	J	10	155902	39.9	-8.4		5.0	2312	V(M)	Alvade	c	M04
1326	R	1917	J	12	235248	36.6	-3.7		5.8	2313	VII(FM)	Almuñecar	c	D13
1327	R	1917	J	13	074950	36.7	-3.5		5.4	2314	VI(FM)	Motril		D13
1328	H	1917	J	18	1244	38.9	-8.9		4.6	2317	IV(M)	Samora	c.m	K03
1329	E	1917	J	26	180658	41.2	+0.8	3	4.1	2318	V(FM)	Gratallops	c.m	R22
1330	E	1917	J	28	223242	38.0	-1.3	3	5.0	2319	VII	Cotillas	c.m	H18
1331	H	1917	J	29		38.0	-1.2		5.8	2320	VII	Cotillas	m	H18
1332	R	1917	F	21	1855	37.3	-3.1		4.6	2325	IV(FM)	Guadix		E14
1333	H	1917	R	30	1830	37.8	-1.5		4.2	2330	III(FM)	Totana		H17
1334	R	1917	A	17	202830	38.4	-7.5		5.0	2335	V	(Roguengos)	c.m	J05
1335	R	1917	A	21	2123	41.5	+2.1		3.8	2337	II(FM)	Sabadell		R25
1336	H	1917	Y	11	1045	41.5	+2.3		4.2	2344	III(FM)	Teya		R25
1337	R	1917	U	13	212957	36.2	+2.9		4.2	2351	III	Mongorno		C26
1338	R	1917	U	14	183143	36.2	+2.9		5.4	2352	VI	Mongorno		C26
1339	R	1917	U	15	121014	36.7	+3.0		4.2	2353	III	Douera ?		D26
1340	R	1917	U	21	104015	42.5	+2.0		5.0	2355	V(FM)	Llivia		T24
1341	R	1917	U	22	122448	42.4	+2.1	(ms)	3.3	2356	IV(FM)	Llivia	c.m	T25
1342	R	1917	L	10	211030	37.2	-4.1		5.8	2358	VII(FM)	Loja	8	E12
1343	R	1917	L	24	051111	36.9	-4.0		5.0	2361	V	Arenas,R	2	D12
1344	H	1917	L	26	0845	42.6	+0.5		4.2	2362	III(FM)	Benasque		U21
1345	R	1917	G	5	151447	38.8	-0.6		4.6	2368	IV(FM)	Onteniente	m	K19
1346	R	1917	G	29	080210	36.8	-2.5		3.8	2373	II	Almeria		D15
1347	R	1917	S	2	223800	36.8	-3.3		5.4	2374	VI(FM)	Gualchos		D14
1348	H	1917	S	11	0925	41.1	-1.4		4.6	2377	IV(FM)	Daroca		R18
1349	R	1917	S	28	154258	42.5	+3.2		5.8	2379	VII(FM)	Banyuls	m.c(")	T27
1350	R	1917	S	29	102008	36.1	+3.7		5.0	2380	V	Aumale	2	C28
1351	R	1917	O	10	212700	42.5	+3.2		4.6	2384	IV	(C.Bear,E)	c.2	T27
1352	R	1917	O	15	010159	36.5	+2.9		4.6	2385	IV	Blida ?		C26
1353	R	1917	O	17	2145	38.2	-0.5		4.6	2386	IV(FM)	S.Pola	3	J19
1354	R	1917	O	23	224236	41.4	+2.1		5.4	2387	VI(FM)	Garraf	m.c(")	R25
1355	R	1917	D	3	165344	42.6	+0.5		4.6	2393	IV(FM)	Benasque		U21
1356	R	1917	D	9	020500	36.2	+3.6		4.6	2394	IV	Rabalou ?		C28
1357	R	1918	J	22	120705	41.6	+2.5		3.8	2409	II(FM)	A.Munt		S25
1358	H	1918	J	27	1630	39.4	-0.4		4.2	2411	III(FM)	Nazaret		L20
1359	R	1918	J	29	161010	41.9	+2.9		4.2	2412	III(M)	Selva		S26
1360	R	1918	F	5	091056	41.1	+3.2		5.0	2414		in Mediterranean	c(")	R27
1361	R	1918	F	22	202649	42.3	+1.5	(4)	3.8	2417	V(RF)	Seo U	m.c	T23
1362	H	1918	F	23	05	42.4	+2.4		4.2	2418	sf	Mollo	2	T25
1363	H	1918	R	31		40.6	+0.6		4.2	2426	III(FM)	Rapita		P22
1364	R	1918	A	1	174405	38.3	-9.0		5.0	2427	V(M)	(Setubal,S)	m.c	J02
1365	H	1918	A	20	09	37.4	-6.0		3.8	2433	sl	Sevilla		E08
1366	H	1918	A	23		39.5	-8.7		4.6	2434	IV	(Minde)	c	L03
1367	H	1918	A	24	1647	39.3	-0.4		4.6	2435	IV(FM)	Algemesi		L19
1368	R	1918	A	27	144105	37.2	-3.6		4.6	2438	IV	Atarfe	32	E13
1369	R	1918	A	28	101100	36.7	-7.1		5.8	2439	VII(FM)	G.Cadiz ?	7	D06
1370	R	1918	U	3	054154	42.5	+4.0		4.6	2460	IV(FM)	Bagur	m.c	T28

./.

1371	R	1918	U	7	103911	35.5	+2.9		4.6	2463		IV	Chebli		A26
1372	R	1918	L	15	115326	36.8	+3.0		3.8	2477		II	Caxine		D26
1373	R	1918	G	4	162100	36.7	+3.5		3.8	2483		sl	Menerville		D27
1374	H	1918	G	18	03	38.2	-0.5		4.6	2489	IV(M)		S.Pola		J19
1375	R	1918	G	29	085324	36.0	-8.0		4.2	2490		sf	Atlantic	c	B04
1376	R	1918	S	4	021429	38.6	-0.8	(10)	4.2	2492	IV(FM)		Biar	c.m	K19
1377	R	1918	S	6	132553	37.0	-4.1		5.0	2493	V(FM)		Zafarraya		D12
1378	R	1918	S	15	164240	35.0	-10.		4.2	2496		sf	Atlantic	c(")	A01
1379	R	1918	S	24	141545	36.9	-3.5		4.6	2497		IV	Lanjaron		D13
1380	R	1918	O	10	150012	36.4	+4.3		3.8	2500		sl	Maillot	2	C29
1381	R	1918	N	7	134015	38.7	-0.5		4.6	2505	IV(FM)		Alcoy		K19
1382	H	1918	N	22	1813	38.0	-0.8	(ms)	4.1	2510	VI(FM)		Jacarilla	m.c	H19
1383	R	1918	D	5	183457	43.0	-1.3		5.0	2513		V	Valcarlos	m.c	U18
1384	H	1918	D	10	0230	43.4	-8.4		3.8	2514		sl	Coruña		W04
1385	R	1918	D	13	044851	37.2	-0.2		4.6	2515	IV(FM)		Mediterranean	c	E20
1386	R	1918	D	14	185853	37.3	-0.3		3.8	2516		sl	Mediterranean	c	E20
1387	R	1918	D	25	103314	41.5	-7.3		5.4	2520	VI(M)		Rubios	c.m(")	R06
1388	H	1919	J	20	1215	38.7	-0.5		4.6	2521	IV(FM)		Alcoy		K19
1389	H	1919	J	29	1920	39.1	-7.7		5.4	2524	VI(M)		Aviz	c.m	L05
1390	H	1919	R	13	1045	41.2	-8.3		5.4	2529	VI(M)		(Penafiel)	c.m	R04
1391	H	1919	R	22	0115	39.0	-9.2		4.6	2532	IV(M)		Povoa		K02
1392	H	1919	A	3		36.7	-6.4		5.4	2534	VI(M)		Sanlucar		D08
1393	R	1919	A	9	092106	37.5	-2.5		4.6	2536	IV(M)		Cullar		E15
1394	R	1919	A	21	072035	37.5	-2.5		3.8	2540		sl	Cullar	2	E15
1395	R	1919	A	25	054635	36.7	-2.2		3.8	2541		sl	C.Gata	2	D16
1396	H	1919	A	28	2105	35.7	+0.6		5.0	2542		V	Relizane		B22
1397	R	1919	Y	6	0925	36.4	-1.7		3.8	2544		sl	Mediterranean	c	C17
1398	R	1919	Y	24	041312	36.2	+3.5		3.8	2548		sl	Bouzareah,SE		C27
1399	R	1919	Y	27	143526	36.7	-4.4		4.6	2551	IV(FM)		Malaga		D12
1400	R	1919	Y	28	072319	37.2	-3.6		3.4	2552		st	Granada		E13
1401	R	1919	Y	29	131212	37.1	-3.7		3.8	2553		sl	Gabia	2	E13
1402	R	1919	U	6	122115	37.1	-3.3		4.6	2554	IV(FM)		S.Nevada		E14
1403	R	1919	U	10	184455	36.8	-2.5		3.4	2557		st	Almeria		D15
1404	R	1919	U	26	185800	36.6	-1.0		3.8	2561		sl	Oran,N	2.c(")	D18
1405	R	1919	U	27	053135	37.2	-3.6		4.2	2562		III	Granada	3	E13
1406	R	1919	L	2	220642	36.6	-1.0		3.8	2564		sl	Oran,N	c	D18
1407	R	1919	G	1	160610	36.8	-2.5		3.4	2570	I(FM)		Almeria		D15
1408	R	1919	G	5	222741	41.5	+2.3		4.2	2571	III(FM)		Teya		R25
1409	R	1919	G	11	081900	36.7	-4.4		3.8	2573		sl	Malaga		D12
1410	H	1919	G	15	2230	37.8	-1.5		3.8	2574		sl	Totana		H17
1411	R	1919	G	25	033316	37.0	-4.1		5.4	2578		VI	Zafarraya	2	D12
1412	H	1919	S	8	24	41.5	+2.3		4.2	2581	III(FM)		Llado		R25
1413	R	1919	S	10	104000	41.5	-7.0		5.0	2582		in	S.Bornes	4.c	R06
1414	R	1919	S	10	104430	44.0	+2.5		4.6	2582		nd	(R.Tarn)	4.c	X15
1415	H	1919	S	10	1048	38.1	-0.7	5	5.6	2582	VIII(FM)		Jacarilla	7.m.c(")	J19
1416	R	1919	S	11	003800	41.5	-7.0		5.0	2583		V	S.Bornes	2.c	R06
1417	H	1919	S	12		38.1	-0.7		4.2	2584		III	Rojales		J19
1418	H	1919	S	15	2330	38.1	-0.7		3.8	2586		II	Rojales		J19
1419	H	1919	S	16	0415	38.1	-0.7		4.2	2587		III	Rojales		J19
1420	R	1919	S	16	064609	36.7	-4.4		3.8	2587		sl	Malaga		D12

./.

./.

1421	R	1919	S	19	171404	39.9	-1.3		5.4	2589	VI(FM)	Garaballa	M18
1422	R	1919	S	22	103821	39.9	-1.2		4.2	2590	sf	(S.Cruz) c	M18
1423	H	1919	S	23	0515	38.1	-0.7		4.6	2591	IV	Rojales	J19
1424	R	1919	S	24	133930	37.4	+2.7		3.8	2592	sl	Alger,N	E26
1425	R	1919	O	4	024807	42.8	+0.7		5.0	2595	V(FM)	Aran 2	U22
1426	H	1919	O	7	0730	38.1	-0.7		3.8	2596	sl	Rojales 2	J19
1427	R	1919	O	8	0720	39.7	+3.0	(5)	4.3	2597	V	Mallorca m.c	M26
1428	R	1919	O	9	080902	38.1	-0.7		5.0	2598	V(FM)	Rojales 2	J19
1429	R	1919	O	18	194936	38.1	-0.7		5.0	2600	V	Rojales 2	J19
1430	H	1919	O	27	133121	38.1	-0.7		4.2	2602	III	Rojales 2	J19
1431	R	1919	N	2	194311	42.6	+0.5		4.6	2604	V(RF)	Benasque	U21
1432	R	1919	N	5	042542	38.1	-0.7		5.0	2606	V	Rojales	J19
1433	R	1919	N	9	080614	38.1	-0.7		5.0	2608	V	Rojales 2	J19
1434	R	1919	N	14	074242	38.1	-0.7		4.2	2609	III	Rojales 2	J19
1435	R	1919	N	14	133423	38.1	-0.7		4.2	2609	III	Rojales	J19
1436	R	1919	N	19	012630	35.6	-5.8		3.8	2610	II(FM)	Tanger	B09
1437	R	1919	N	27	072442	42.8	+0.7		4.6	2613	IV(FM)	Aran	U22
1438	R	1919	N	29	002520	40.8	+0.5		4.2	2615	sf	(S.Just) 2.c	P21
1439	H	1919	N	29		42.6	+0.9	(43)	5.8	2615	VI(FM)	Bohi m	U22
1440	H	1919	D	1	0730	42.8	+0.7		3.8	2616	sl	Aran	U22
1441	R	1919	D	2	200951	42.4	+0.5	(6)	4.4	2617	V	Benasque 2.m.c	T21
1442	H	1919	D	18	0020	41.5	+2.0		3.8	2623	sl	Martorell	R24
1443	R	1919	D	19	200503	38.1	-0.7		4.2	2624	III	Rojales	J19
1444	R	1919	D	27	080259	43.0	-8.4		4.2	2626	sf	Galicia,C	U04
1445	H	1919	D	30	0030	35.7	+0.6		4.6	2627	IV	Relizane	B22
1446	R	1920	J	13	231452	40.4	-1.8		3.8	2629	sl	Tragacete	N17
1447	R	1920	J	21	181242	37.2	-3.6		3.8	2631	II	Granada	E13
1448	R	1920	J	23	173138	37.5	-8.2		4.2	2632	III	Algarve	E04
1449	R	1920	F	3	2145	38.8	-8.4		5.4	2636	VI(M)	Lavre m	K04
1450	R	1920	F	10	231602	36.0	-3.8		3.8	2637	sl	M.Alboran c	B13
1451	R	1920	F	12	101933	36.2	+3.5		3.8	2638	sl	Bouzareah,SE	C27
1452	H	1920	F	19		36.7	-5.4		3.8	2639	sl	Grazalema	D10
1453	R	1920	F	25	1806	37.0	-7.0		4.2	2640	sf	L.Huelva	D06
1454	H	1920	F	29	07	42.6	+0.9		3.8	2642	sl	Bohi	U22
1455	H	1920	R	2	1428	43.0	-0.1		4.2	2643	III	Argeles	U20
1456	R	1920	R	24	033118	37.2	-4.1		5.0	2645	V	Loja	E12
1457	R	1920	A	20	034403	36.4	+4.3		5.0	2654	V	Maillot	C29
1458	R	1920	A	26	234624	42.1	+1.9		5.0	2655	V	Berga	T24
1459	R	1920	A	27	001813	41.9	+1.7		3.8	2656	sl	Cardona	U27
1460	R	1920	Y	6	215342	37.4	-2.2		5.0	2660	V	Cantoria	E16
1461	H	1920	Y	8	16	38.9	-7.1		4.6	2662	IV	Elvas	K06
1462	R	1920	Y	9	140504	36.0	-3.0		3.8	2663	II	Alboran	B14
1463	H	1920	Y	13	06	41.5	-8.5		4.6	2665	IV	Braga	R03
1464	R	1920	Y	14	095343	40.4	-7.8		4.6	2666	IV	Oliveira,H 2	N05
1465	H	1920	Y	18	2010	38.2	-0.5		5.0	2667	V	S.Pola	J19
1466	R	1920	Y	29	231319	41.6	+2.5		5.0	2673	V(FM)	Arenys 2	S25
1467	H	1920	U	8	17	38.9	-7.7		4.6	2678	IV	Souzel	K05
1468	R	1920	U	13	153531	41.7	+2.5		4.2	2679	III(FM)	Vallgornina c	S25
1469	R	1920	U	15	020219	37.2	-3.6		4.6	2680	IV	Granada	E13
1470	R	1920	L	1	150719	38.2	-0.5		5.4	2685	VI(FM)	S.Pola	J19

1471	R	1920	L	6	145616	37.2	-3.6	3.4	2688		sf	Granada	E13
1472	R	1920	L	13	013612	37.1	-2.1	4.2	2690	III(FM)		Sorbas	E16
1473	R	1920	L	31	110558	37.2	-4.1	4.6	2693	IV(FM)		Loja	E12
1474	R	1920	G	3	172303	37.2	-4.1	4.6	2694		IV	Loja	E12
1475	H	1920	G	5	04	38.1	-0.6	4.6	2696		IV	Guardamar	J19
1476	H	1920	G	31	06	37.1	-8.2	5.0	2701		V	Alcantarilha	E04
1477	R	1920	S	1	103345	35.5	-6.4	4.2	2702		sf	G.Cadiz	A08
1478	R	1920	S	26	223933	38.1	-0.7	4.6	2710	IV(FM)		Rojales	J19
1479	H	1920	O	5		38.1	-1.3	5.0	2712		in	Ojos	J18
1480	R	1920	O	7	071238	36.6	+2.2	5.4	2713		VI	Cherchel	D25
1481	R	1920	O	12	004900	35.8	0	4.6	2715		IV	Bordj	B20
1482	H	1920	O	18	13	43.0	+0.1	4.2	2717		III	Bigorre	U21
1483	R	1920	O	22	222018	37.2	-3.6	5.0	2718	V(FM)		Granada	E13
1484	R	1920	N	2	002154	36.7	-4.4	3.8	2722		sl	Malaga	D12
1485	R	1920	N	23	082051	37.2	-3.6	4.2	2729		III	Granada	E13
1486	R	1920	N	26	113943	41.5	-9.5	5.8	2732		VII	Atlantic	c.m(") R01
1487	R	1920	N	28	233135	42.8	+1.6	5.0	2733		V	Tarragona	U24
1488	R	1920	N	30	210959	37.2	-3.7	5.4	2734	VI(FM)		Peligros	E13
1489	R	1920	D	1	090944	37.2	-3.7	5.0	2735		V	Peligros 3	E13
1490	R	1920	D	9	201202	36.7	+3.1	4.6	2740		IV	Alger 5	D27
1491	R	1920	D	16	001656	36.7	+3.1	4.6	2743		IV	Alger 2	D27
1492	H	1920	D	18	0930	38.2	-0.5	4.2	2744	III(FM)		S.Pola	J19
1493	R	1920	D	24	130616	36.7	+3.1	5.0	2745		V	Alger	D27
1494	R	1920	D	26	071040	36.7	+3.1	4.2	2747		III	Alger	D27
1495	R	1920	D	27	172136	36.7	+3.1	4.2	2748		III	Alger	D27
1496	H	1921	J	1	13	38.1	-0.8	4.6	2749		IV	Almoradi m	J19
1497	H	1921	J	2		38.0	-0.9	4.2	2750		III	Bigastro 2	H19
1498	H	1921	J	4	0202	38.0	-0.9	4.2	2752		III	Bigastro 2	H19
1499	R	1921	J	8	030907	37.8	-1.5	5.4	2755		VI	Totana	H17
1500	R	1921	J	17	103514	36.7	-4.4	3.4	2758		sf	Malaga	D12
1501	H	1921	J	22	123032	37.8	-1.5	5.0	2760		V	Totana	H17
1502	H	1921	J	22	0107	38.1	-0.8	4.2	2760		III	Almoradi 1	J19
1503	H	1921	J	31		38.1	-0.8	3.8	2764		II	Rebate	J19
1504	R	1921	F	2	2245	38.1	-0.8	3.8	2765		II	Rebate 3	J19
1505	H	1921	R	5	2045	42.7	+0.3	4.6	2776		IV	Pirineo,C	U21
1506	H	1921	R	8	0550	35.8	0	4.6	2777		IV	Bordj	B20
1507	R	1921	R	30	051926	36.7	-2.2	4.2	2780		III	C.Gata	D16
1508	H	1921	R	31	1015	42.6	+0.9	4.6	2781		IV	Bohi	U22
1509	H	1921	A	2	1410	42.6	+0.9	4.2	2782		III	Bohi	U22
1510	R	1921	A	3	062606	36.2	+2.4	5.0	2783		V	Lavigerie 2	C25
1511	R	1921	A	7	052836	36.4	+4.3	4.2	2785		sf	Maillot 2	C29
1512	R	1921	A	18	134244	36.5	+2.9	4.6	2787		IV	Blida	C26
1513	R	1921	A	29	182709	37.1	-3.7	4.6	2791		IV	Gabia	E13
1514	R	1921	Y	2	173455	36.7	-4.4	3.8	2792		sl	Malaga	D12
1515	H	1921	U	14	0430	38.0	-0.7	3.8	2802		sl	Torrevieja 2	H19
1516	R	1921	G	5	234521	38.1	-3.8	4.2	2808		sf	Bailen	J13
1517	H	1921	G	19	1545	38.1	-0.8	4.2	2813	III(FM)		Almoradi	J19
1518	R	1921	S	9	122242	42.5	+3.0	3.8	2815	II(FM)		Rosellon o	T26
1519	R	1921	S	14	035052	42.7	+0.3	4.2	2817		III	Pirineo,C	U21
1520	H	1921	O	8	0240	36.5	+1.3	3.8	2825		sl	Tenes 2	C23

./. ./.

1521	H	1921	O	9	0020	38.0	-0.7		3.8	2826		sl	Torrevieja	2	H19
1522	R	1921	O	9	192302	42.5	+3.0		3.4	2826		st	(Argeles,M)	c	T26
1523	R	1921	O	23	123336	37.5	-9.0		5.0	2830		V	Algarve,W	c	E02
1524	R	1921	N	3	171336	43.0	-6.5		4.2	2835		sf	M.Leon	c(")	U07
1525	R	1921	N	17	184543	42.4	+1.7		3.8	2841		sl	A.Segre		T24
1526	R	1921	N	29	230613	42.1	-8.5		3.8	2842		sl	Monçao		T03
1527	H	1921	D	9		42.3	+2.4		3.8	2845		sl	Camprodon	c	T25
1528	H	1921	D	14	1216	38.1	-0.8		3.8	2846		sl	Rebate		J19
1529	R	1921	D	15	181529	38.7	+0.1		3.8	2847		sl	Denia	2	K21
1530	H	1921	D	16	1443	42.0	+2.7	(3)	4.1	2848		V	Pasteral	3.m	S26
1531	H	1921	D	18	0805	39.0	-9.4		5.0	2849		V	Ericeira	c	K02
1532	H	1921	D	27	0830	38.1	-0.8		3.8	2853		sl	Rebate		J19
1533	H	1922	J	9		36.8	-2.5		4.2	2857	III(FM)		Almeria		D15
1534	H	1922	J	22	01	42.8	+2.3		4.2	2859	III		Agly		U25
1535	H	1922	F	2	14	38.2	-1.4		4.2	2862	III(M)		Blanca		J18
1536	R	1922	F	9	075759	36.8	-2.5		4.2	2865	III		Almeria		D15
1537	H	1922	F	16	0110	35.9	+0.1		4.2	2867		sf	Mostaganem	3	B21
1538	H	1922	R	31	0630	36.4	+4.3		4.6	2877		nd	Maillot		C29
1539	R	1922	A	5	040013	36.4	+4.3		4.6	2880		nd	Maillot	2	C29
1540	R	1922	A	6	030856	37.2	-3.6		4.6	2881		IV	Granada		E13
1541	H	1922	A	26		37.2	-3.6		4.6	2886		IV	Granada		E13
1542	R	1922	Y	1	050005	37.1	-3.7		4.6	2888		IV	Gabia		E13
1543	R	1922	U	16	105209	36.2	+3.5		5.0	2897		V	Bouzareah		C27
1544	R	1922	U	28	103416	36.9	-4.1		3.8	2894		sl	S.Tejeda		D12
1545	R	1922	U	29	224947	35.8	0		3.8	2905		sl	Bordj		B20
1546	E	1922	L	3	021510	40.5	-2.8	1.5	3.9	2907		V	Pastrana	c.m	N15
1547	R	1922	L	10	092616	36.3	-4.0		4.6	2909		nd	M.Alboran	2.c	C12
1548	R	1922	L	18	071207	36.7	+3.4		4.6	2912		nd	Alma		D27
1549	H	1922	L	25	1715	43.7	+4.6		4.2	2917		sf	Rodano		X30
1550	R	1922	L	26	000741	35.3	-3.0		3.8	2918		sl	Melilla	2	A14
1551	R	1922	L	27	030054	35.5	-2.5		5.8	2919	VII		(Chafarinas)	c.m(")	A15
1552	H	1922	G	1	0330	43.2	-0.6		4.2	2921	III		Oloron		W19
1553	R	1922	G	2	061045	35.5	-2.5		4.2	2922		sf	Melilla,NE	c(")	A15
1554	H	1922	G	9	223709	42.5	+2.0		4.6	2925		IV	Llivia	2	T24
1555	R	1922	G	25	114724	36.3	+1.3		6.7	2927		IX	Chasseriau	2.c.m(")	C23
1556	H	1922	G	29		36.4	+1.4		5.0	2930		in	Chasseriau		C23
1557	H	1922	S	5	1125	39.0	-8.8		5.0	2934		V	Benavente,P		K03
1558	H	1922	S	10	06	42.7	+0.3		4.2	2936	III		Pirineo,C		U21
1559	H	1922	S	13	0908	42.7	+0.3		4.6	2938		IV	Pirineo,C		U21
1560	R	1922	S	15	161110	38.8	-0.1		5.4	2939		VI	C.Nao	2.c(")	K20
1561	R	1922	S	21	200851	36.9	-4.1		4.6	2943		IV	S.Tejeda	3	D12
1562	R	1922	S	23	004340	42.6	+1.8		6.3	2945	VIII		Porte	c.m(")	U24
1563	R	1922	S	25	132149	36.9	-4.1		4.2	2947	III(FM)		S.Tejeda		D12
1564	R	1922	S	29	181130	36.9	-4.1		3.8	2948	II(M)		S.Tejeda	2	D12
1565	H	1922	O	12	23	42.3	-7.8		3.8	2953		sl	Orense	3	T05
1566	R	1922	O	20	202248	37.1	-9.9		3.8	2958		sl	(Atlantic)	c(")	E01
1567	R	1922	O	21	005424	42.4	+2.0		4.6	2959		IV	Puigcerda		T24
1568	R	1922	O	22	063208	35.8	-4.7		3.8	2960		sl	(Ceuta,E)	c	B11
1569	R	1922	N	16	170624	40.4	-1.3		3.8	2967		sl	Albarracin		N18
1570	H	1922	N	17	2110	42.8	+1.2		5.0	2968		V	(Massat)	2.c.m	U23

./.

1571	R	1922	N	19	170426	36.5	+1.3		6.3	2969		VIII	(Tenes)	7.c.m(") C23
1572	R	1922	N	23	123439	36.7	+3.4		5.0	2971		V(FM)	Alma	D27
1573	R	1922	N	24	062620	37.7	-8.0		4.6	2972		IV	(Albernoa)	c H04
1574	H	1922	N	26	2120	36.7	+3.4		3.8	2974		sl	Alma	D27
1575	R	1922	D	3	162317	37.2	-4.1		4.6	2977		IV	Loja	E12
1576	R	1922	D	10	032820	42.8	+2.5		4.6	2981		IV	S.Paul	U25
1577	R	1922	D	28	095150	42.8	+2.3		5.0	2989		V	Agly	m U25
1578	R	1923	J	12	042945	36.1	+3.7		4.2	2992		IV(RF)	Aumale	C28
1579	R	1923	J	23	220542	40.1	0		3.8	2996		sl	Villafames	N20
1580	R	1923	J	28	020651	40.1	0		3.8	2999		sl	Villafames	N20
1581	R	1923	J	30	063025	36.5	+1.9		4.6	3000		IV	Gouraya	C24
1582	R	1923	J	31	180203	40.1	0		4.6	3001		IV	Villafames	N20
1583	R	1923	F	19	163319	36.1	+3.7		5.0	3007		V	Aumale	3 C28
1584	H	1923	R	2	0530	36.0	-5.6		4.6	3012		IV	Tarifa	10 B09
1585	R	1923	A	2	154455	36.7	-3.2		4.2	3022		sf	Mediterranean	c D14
1586	H	1923	A	9	0620	39.8	+3.0		4.6	3025		IV	Puebla	M26
1587	R	1923	A	14	175040	41.5	+2.3		5.0	3027		V	Alella	c.m R25
1588	R	1923	Y	10	173728	36.8	-3.3		3.8	3037		sl	Mediterranean	c(") D14
1589	R	1923	Y	11	084240	36.8	-4.3		4.2	3038		sf	(Benamocarra)	c(") D12
1590	R	1923	Y	17	103654	35.4	-4.5		4.2	3041		sf	M.Alboran	c(") M11
1591	H	1923	Y	28	22	42.8	-1.6		3.8	3042		sl	Pamplona	U17
1592	R	1923	U	29	002741	36.8	-2.5		4.2	3054		III(FM)	Almeria	D15
1593	H	1923	L	4	0730	40.0	+4.0		4.2	3057		III	S.Juan,M	M28
1594	R	1923	L	9	153106	35.5	-4.8		5.8	3058		VII	(C.Mencal)	c(") A11
1595	R	1923	L	10	053110	42.5	-0.6	(4)	5.4	3059		VIII	Berdun	15.c.m(") T19
1596	R	1923	L	13	141821	36.7	+3.4		4.6	3061		V(RF)	Alma	2 D27
1597	R	1923	G	10	1231	42.6	+0.9		3.8	3075		sl	(Maladeta)	c U22
1598	R	1923	G	22	091355	37.0	-4.0		4.6	3079		IV(M)	Alhama,G	D12
1599	H	1923	G	26		39.3	-0.5		4.2	3081		III	Alcudia	L19
1600	R	1923	S	9	113527	42.8	+2.5		5.0	3087		V(FM)	Setcasas	m T25
1601	R	1923	S	25	163013	38.1	-0.8		4.6	3089		IV	Almoradi	J19
1602	R	1923	S	29	062007	38.8	-0.6		5.0	3090		V	Onteniente	K19
1603	H	1923	O	2	02	42.7	+0.3		4.6	3091		IV	Pirineo,C	U21
1604	R	1923	O	8	111036	42.6	-0.8		4.6	3095		IV	Villarreal,H	U19
1605	R	1923	O	19	090200	36.1	-4.7		4.2	3097		III	(Gibraltar,E)	c(") C11
1606	H	1923	O	25	1030	42.6	-0.8		4.6	3101		IV(FM)	Villarreal,H	U19
1607	H	1923	O	29		42.2	-2.7		5.0	3103		in	Pradillo	T15
1608	R	1923	N	7	045250	40.5	+1.8		5.0	3108		V	(Fosa Balear)	c.m(") N24
1609	H	1923	N	8		42.6	-0.8		4.6	3109		IV	Villarreal,H	U19
1610	H	1923	N	14	0130	43.0	-1.3		4.6	3110		IV	Roncesvalles	U18
1611	H	1923	N	15		42.6	-0.8		4.6	3111		IV	Villarreal,H	U19
1612	R	1923	N	19	035405	42.6	+0.9		6.3	3113		VIII	Aran	13.c.m(") U22
1613	R	1923	N	22	183004	37.2	-3.6		4.2	3116		III	Granada	E13
1614	R	1923	N	24	075458	37.0	-7.5		4.2	3118		III(MS)	Tavira	c D05
1615	R	1923	N	25	043750	36.5	+3.1		4.2	3119		III	Arba	C27
1616	R	1923	N	27	195020	36.7	+3.1		5.4	3121		VI(WF)	Alger	D27
1617	H	1923	N	30	0530	42.8	+0.7		5.4	3124		VI(FM)	Aran	9 U22
1618	R	1923	D	14	013319	41.3	+3.5		4.2	3130		III	Fosa Balear	c R27
1619	H	1924	J	6		35.3	-4.1		4.2	3140		sf	Alhucemas	A12
1620	R	1924	F	4	041909	36.8	-2.5		3.4	3146		I(M)	Almeria	D15

./.

./.

1621	R	1924	F	14	045105	38.8	-0.6	4.2	3149		III	Onteniente	K19
1622	R	1924	F	22	153240	42.8	-0.7	5.8	3152		VII	Ossau	c.m(") U19
1623	R	1924	F	24	011036	37.2	-3.7	4.2	3154		III	Santafe	E13
1624	R	1924	F	27	215300	42.6	+0.9	5.0	3157		V	(Aran)	c.m(") U22
1625	R	1924	R	2	064540	37.5	-9.0	3.8	3158		sl	(Atlantic)	c E02
1626	H	1924	R	2	0035	42.6	+0.5	4.6	3158		IV	Benasque	U21
1627	R	1924	R	4	015030	37.1	-0.1	3.8	3159		sl	(Mediterranean)	c(") E20
1628	H	1924	R	6	0325	42.6	-0.8	4.6	3161		IV	Villarreal	U19
1629	H	1924	R	17	1030	36.7	-4.4	4.2	3166		III	Malaga	D12
1630	R	1924	R	22	062550	36.3	-2.3	3.8	3169		sl	Mediterranean	c C16
1631	H	1924	U	6	2110	39.0	-0.2	4.2	3181		III	Gandia	K20
1632	H	1924	L	4		37.2	-2.0	4.2	3188		III	Bedar	E16
1633	R	1924	L	5	002814	37.2	-2.0	4.2	3189		III	Bedar	E16
1634	R	1924	L	8	160723	36.7	+3.1	4.6	3191		IV	Alger	D27
1635	R	1924	L	11	234030	36.0	-9.0	4.2	3192		sf	Atlantic	c B02
1636	H	1924	L	12	0340	35.7	+0.6	5.0	3193		in	Melizane	B22
1637	R	1924	L	19	080336	42.6	-0.8	5.4	3195		VI	Villarreal,H	4(") U19
1638	H	1924	L	26	11	39.3	-0.4	4.6	3197		IV	Algemesi	2 L20
1639	H	1924	L	27		42.6	-0.8	3.8	3198		sl	Villarreal	10 U19
1640	H	1924	G	11		38.3	-6.4	4.2	3200		sf	Medina,B	J08
1641	R	1924	G	27	06	43.0	-0.1	4.2	3205		III	Argeles	U20
1642	R	1924	G	30	073422	42.6	+0.5	4.6	3206		IV	Benasque	U21
1643	R	1924	S	22	220400	36.0	-5.0	4.2	3213		sf	(Estrecho)	c B10
1644	H	1924	S	27	02	42.8	+0.7	4.2	3215		III	Aran	U22
1645	R	1924	O	15	041542	37.0	-10.	4.2	3217		sf	Atlantic	c D01
1646	R	1924	O	18	224730	37.2	-3.6	5.4	3219		VI	(P.Puente)	c E13
1647	R	1924	O	23	203309	42.7	+0.3	4.6	3221		IV	Pirineo,C	m U21
1648	R	1924	O	24	170220	37.1	-8.3	5.0	3222		V	Albufeira	m E04
1649	R	1924	N	5	185420	35.3	+3.5	6.3	3224		IX(RF)	(Zharez)	12.c.m A27
1650	R	1924	N	6	175740	35.3	+3.5	5.4	3225		VII(RF)	(Zharez)	26.c.m A27
1651	R	1924	N	7	002032	36.6	+2.9	4.2	3226		III(RF)	Boufarik	16 D26
1652	R	1924	N	8	020637	36.6	+2.9	4.2	3227		IV(RF)	Boufarik	10 D26
1653	R	1924	N	9	010419	36.6	+2.9	4.2	3228		IV(RF)	Boufarik	9 D26
1654	R	1924	N	10	005618	36.6	+2.9	3.8	3229		II(RF)	Boufarik	3 D26
1655	R	1924	N	11	011702	36.6	+2.9	3.8	3230		II(RF)	Boufarik	5 D26
1656	R	1924	N	12	053547	35.7	-0.6	4.2	3231		III(RF)	Oran	B19
1657	H	1924	N	13	17	42.6	+0.5	3.8	3232		II(M)	Aran	U21
1658	R	1924	N	19	104726	36.2	+3.5	3.8	3236		II	Bouzareah	C27
1659	R	1924	N	28	225710	37.2	-3.6	4.2	3241		sf	(Atarfe)	c E13
1660	R	1924	D	3	023121	36.5	+2.9	4.6	3243		IV	Blida	5 C26
1661	R	1924	D	7	142739	36.5	+2.9	4.2	3245		III	Blida	C26
1662	R	1924	D	11	212535	39.0	0	4.2	3246		sf	(Gandia,E)	c K20
1663	R	1924	D	11	212430	35.7	+4.5	3.8	3246		sl	(U.Targa)	c B29
1664	R	1924	D	25	1753	36.0	-5.0	4.2	3249		III	Estrecho	c B10
1665	R	1925	J	2	164030	35.6	-4.5	3.8	3255		sl	M.Alboran	c(") B11
1666	H	1925	J	15	0154	43.0	-0.1	4.2	3261		III	Argeles	U20
1667	H	1925	J	15	091953	40.2	-8.5	3.8	3261		sl	Coimbra	N03
1668	R	1925	F	5	075026	36.6	+2.9	4.2	3269		III	Boufarik	2 D26
1669	R	1925	F	7	085300	37.0	-3.6	3.8	3271		sl	(Atarfe)	c(") D13
1670	R	1925	F	10	115217	36.7	-3.6	3.8	3272		sl	(Almuñecar)	c D13

./.

1671	H	1925	R	1	04	39.4	-9.2		5.0	3278	V(M)	C.Rainha	c	K02
1672	R	1925	A	14	054157	37.0	-6.9		3.8	3290	sl	(G.Cadiz)	3.c(")	D07
1673	H	1925	A	23		38.6	-7.9		4.2	3291	III(M)	Evora		K05
1674	R	1925	A	27	084947	35.9	-3.6		3.8	3292	sl	M.Alboran	c	B13
1675	R	1925	Y	5	055919	36.7	+3.1		4.2	3295	III	Alger		D27
1676	H	1925	Y	6	2350	37.8	-1.5		4.2	3296	III	Totana		H17
1677	H	1925	Y	12	191911	37.0	-2.5		4.2	3300	III	Gador		D15
1678	R	1925	Y	12	224749	36.5	+2.6		4.6	3300	IV	Affroun		C26
1679	H	1925	Y	23	0230	36.3	+1.2		3.4	3304	st	Chasseriau		C23
1680	R	1925	U	10	164510	35.6	+3.7		5.4	3308	VI	(U.Sebisei)	c(")	B28
1681	H	1925	U	11	201817	35.9	+2.8		4.6	3309	IV	Boghari	3	B26
1682	R	1925	U	12	1240	36.8	-2.3		3.4	3310	st	(C.Medinas)	2.c	D16
1683	H	1925	U	15	0154	43.0	-0.1		4.2	3311	III	Argeles		U20
1684	R	1925	U	20	123345	35.7	-0.6		5.4	3315	VI	Oran	m	B19
1685	R	1925	U	21	030030	37.0	0		3.8	3316	sl	Mediterranean	c	D20
1686	R	1925	U	24	013715	35.3	+3.5		5.0	3318	V	(U.Sebisei)	c	A27
1687	R	1925	L	2	163855	36.5	+1.5		4.2	3320	sf	(F.Garnier)	c	C23
1688	R	1925	L	7	182850	40.0	-8.0		5.0	3323	V	(Alvaro)	c.m	M04
1689	H	1925	L	10	11	36.4	+4.3		4.2	3324	sf	Maillot		C29
1690	R	1925	L	25	130548	42.8	-1.0		4.2	3328	sf	(Navascues)	c	U18
1691	H	1925	L	25	1306	42.7	+0.3		3.8	3328	II	P.Central	2	U21
1692	R	1925	G	5	222934	36.5	-3.5		4.2	3331	sf	(Motril,S)	c	G13
1693	R	1925	G	20	2301	39.8	+2.1		4.2	3337	sf	(Soller,N)	c(")	M25
1694	R	1925	S	26	050442	39.9	+2.7		4.2	3343	sf	(Soller,N)	c(")	M26
1695	R	1925	O	5	044946	38.9	-7.0		4.6	3345	IV	Badajoz		K06
1696	R	1925	O	12	010824	39.1	-0.2 (6)		4.0	3347	IV	Corbera	m	L20
1697	H	1925	O	23	1335	35.4	+0.1		5.4	3348	VI	Mascara		A21
1698	R	1925	O	30	200400	36.1	+3.7		5.4	3352	VI	Aumale		C28
1699	H	1925	N	7	0258	38.3	-8.0		4.2	3355	III(M)	Alvito		J04
1700	R	1925	D	3	185840	44.0	+4.0		4.2	3358	sf	(Anduze)	c(")	X28
1701	H	1925	D	19	2252	37.2	-2.0		3.8	3359	II	Bedar		E16
1702	H	1926	J	6	2148	42.6	+0.5		4.6	3362	IV(FM)	Benasque		U21
1703	H	1926	J	9		40.4	-7.8		5.0	3363	V(M)	(Oliveira)	c.m	N05
1704	R	1926	J	10	045314	42.7	+0.3		3.8	3364	II	Pirineo,C		U21
1705	R	1926	J	12	034005	38.7	-9.2		5.0	3365	V(M)	Lisboa	m	K02
1706	H	1926	J	13	1845	38.7	-9.2		4.2	3366	III	Lisboa		K02
1707	H	1926	J	19	2230	40.4	-1.8		4.2	3367	sf	Tragacete		H17
1708	R	1926	J	31	144928	41.5	+2.3		4.2	3368	III	Teya ?		B25
1709	R	1926	F	28	221224	38.8	-7.7		5.8	3372	VII	Evora	c.m(")	K05
1710	H	1926	R	10	2249	43.0	+0.1		3.8	3374	II	Bigorre		U21
1711	H	1926	R	10		42.4	+1.1		4.2	3374	III	Malmercat		T23
1712	R	1926	R	17	221306	37.0	-2.7 (14)		4.7	3376	V	Gador	c.m	D15
1713	R	1926	A	15	203020	42.7	+0.3		3.8	3382	II	Pirineo,C		U21
1714	R	1926	A	26	092510	37.2	-3.6		3.8	3384	II	Granada		E13
1715	R	1926	Y	10	124857	37.2	-3.6		3.8	3386	II	Granada		E13
1716	R	1926	Y	12	091719	36.5	+1.3		4.2	3387	sf	Tenes	3	C23
1717	R	1926	Y	12	235756	37.2	-3.6		3.8	3387	II	Granada		E13
1718	R	1926	Y	17	132903	36.5	+1.3		4.6	3389	nd	Tenes		C23
1719	R	1926	U	12	232945	37.0	-2.5		5.4	3395	VI	Almeria	c.m	D15
1720	R	1926	U	16	122859	37.1	-2.1		3.8	3396	sl	(Sorbas)	c	E16

./. ./.

1721	R	1926	U	25	141630	37.3	-4.4	5.0	3403		in	Rute	E12
1722	R	1926	U	30	162336	40.4	-7.8	5.0	3406		V	Oliveira,H	NO5
1723	R	1926	L	15	202832	37.4	-2.5	3.8	3412		II	Almeria,P	E15
1724	R	1926	L	16	093225	36.5	+2.9	4.2	3413		sf	Blida	C26
1725	R	1926	G	15	141752	36.5	-5.0	5.4	3420		VI	(S.Pedro)	c(") C10
1726	R	1926	G	16	105755	37.0	-5.0	5.4	3421		VI	Bobadilla	c D10
1727	R	1926	G	18	155440	36.5	-5.0	5.0	3423		V	(S.Pedro)	c(") C10
1728	R	1926	S	10	040111	43.0	+0.1	4.2	3426		III	Bagneres	U21
1729	R	1926	S	29	171223	35.9	-5.7	3.8	3428		sl	Estrecho	4.c B09
1730	R	1926	O	11	063840	35.5	-4.1	5.8	3431		VII	(M.Alhucemas)	c(") A12
1731	R	1926	O	15	064745	35.1	-4.3	4.6	3435		IV	(M.Alhucemas)	2.c(") A12
1732	R	1926	O	19	043430	35.5	-2.5	3.8	3436		sl	(M.T.Forcas)	c A15
1733	H	1926	O	22	0022	37.2	-2.0	4.2	3437		III	Bedar	E16
1734	R	1926	O	28	084224	35.5	-4.0	3.8	3439		sl	(M.Alhucemas)	c A12
1735	R	1926	N	3	180005	35.0	-4.8	4.2	3442		III	(U.Guis)	c A11
1736	R	1926	N	5	111756	36.3	-3.3	3.8	3443		sl	(M.Alboran)	c C14
1737	R	1926	N	6	210030	35.2	-2.9	4.2	3444		sf	(Nador)	c(") A15
1738	R	1926	N	13	084708	35.3	-3.0	4.6	3445		IV	(Gurugu)	c(") A14
1739	H	1926	N	15	0630	38.2	-0.5	4.6	3446		IV	S.Pola	J19
1740	R	1926	N	17	212136	35.5	-2.5	5.8	3447		VII	(M.T.Forcas)	c A15
1741	R	1926	N	28	153347	36.4	+4.3	4.6	3450		nd	Maillot	3 C29
1742	R	1926	D	1	203541	36.6	-3.4	5.0	3451		V	Albondon	2.c(") D14
1743	R	1926	D	17	054138	36.2	+1.6	5.0	3454		in	Carnot	2 C24
1744	R	1926	D	18	144454	42.3	-10.	5.4	3455		VI	Atlantic	2.c.m(") T01
1745	R	1927	J	6	221520	36.8	-2.5	4.2	3460		III	Almeria	D15
1746	R	1927	J	7	184017	43.1	+0.3	4.6	3461		IV	(Bagneres)	c.m W21
1747	H	1927	J	8		43.8	+4.3	4.6	3463		IV	Nimes	X29
1748	R	1927	J	10	043231	36.3	-3.3	5.0	3464		V	M.Alboran	c C14
1749	R	1927	J	11	0005	39.3	-9.2	4.6	3465		IV	Obidos ?	L02
1750	R	1927	J	15	020006	43.2	-0.6	4.2	3467		III	Oloron	W19
1751	R	1927	J	20	213310	36.6	+2.9	5.0	3469		V	Boufarik	m D26
1752	R	1927	F	12	195511	36.4	-3.3	4.6	3474		IV	M.Alboran ?	2 C14
1753	H	1927	F	18		40.4	-1.8	4.6	3476		IV	Tragacete	N17
1754	R	1927	F	23	0240	43.0	-0.1	4.2	3477		III	Argeles	U20
1755	H	1927	F	24		40.4	-1.8	4.2	3478	III(FM)		Tragacete	N17
1756	H	1927	F	27		40.4	-1.8	4.6	3479		IV	Tragacete	N17
1757	R	1927	F	28	042405	36.0	-3.0	4.6	3480		IV	Alboran	B14
1758	R	1927	R	12	203536	41.8	+2.5	5.8	3484		VII	Montseny	3.c.m(") S25
1759	R	1927	R	13	024838	41.7	+2.3	4.6	3485		IV	Garriga	2 S25
1760	R	1927	R	14	000020	37.0	-4.5	4.6	3486		IV	(Antequera)	c D11
1761	H	1927	R	14	0340	41.7	+2.3	4.2	3486		III	Garriga	S25
1762	R	1927	R	18	074458	41.7	+2.3	4.6	3488		IV	Garriga	S25
1763	H	1927	R	20	0230	38.1	-0.8	4.2	3489		sf	Almoradi	2 J19
1764	R	1927	R	23	084930	35.9	-5.7	4.6	3490		IV	Estrecho	B09
1765	R	1927	R	31	004410	41.6	+2.5	4.6	3492		IV	Arenys	S25
1766	R	1927	A	7	195229	36.3	-3.5	4.6	3494		IV	(M.Alboran)	c C13
1767	R	1927	A	17	185050	41.5	+2.3	3.8	3498		sl	Teya ?	R25
1768	H	1927	A	21		38.1	-0.8	4.6	3500	IV(FM)		Almoradi	J19
1769	R	1927	A	30	194740	36.8	-2.5	3.8	3502	II(FM)		Almeria	D15
1770	R	1927	Y	8	210607	36.7	-3.5	4.6	3504		IV	Motril	D13

./.

1771	R	1927	Y	14	022455	37.0	-2.5		4.6	3506	IV	(G.Almeria)	c	D15
1772	H	1927	Y	17		38.3	-3.6		4.6	3507	IV	La Carolina		J13
1773	R	1927	Y	18	014230	39.0	-7.5		5.0	3508	V	(Monforte,P)	c.m	K05
1774	R	1927	U	2	091235	37.2	-3.6		3.8	3510	II(M)	Granada		E13
1775	H	1927	U	7	1320	38.3	-6.8		4.2	3511	III(FM)	Jerez,C	2	J07
1776	H	1927	U	16	18	40.5	-1.0		5.0	3512	V(M)	Alfambra		N18
1777	H	1927	U	19		40.5	-1.0		4.6	3514	IV	Alfambra		N18
1778	H	1927	U	21		40.5	-1.0		4.2	3515	III	Alfambra		N18
1779	R	1927	L	14	191831	37.2	-3.8		4.6	3520	IV(M)	P.Puente		E13
1780	H	1927	G	10	0640	40.0	+3.8		4.2	3524	III(FM)	Ciudadela		M28
1781	H	1927	G	12	0530	38.8	-0.5		4.2	3525	III(FM)	Albaida	2	K19
1782	R	1927	G	15	003052	42.7	+0.3		3.8	3526	sl	Pirineo,C		U21
1783	R	1927	G	17	034451	36.4	-3.2		4.6	3527	IV(M)	(Motril,S)	c(")	C14
1784	E	1927	S	8	085250	35.4	-3.7	24.1	5.9	3533	VII(M)	Alhucemas	c(")	A13
1785	R	1927	S	10	070715	35.3	-3.7		4.2	3535	sf	C.Quilates	c	A13
1786	R	1927	S	11	011734	36.4	-0.8		4.6	3536	IV(M)	Mediterranean,C		C19
1787	R	1927	S	12	164827	35.0	-3.8		4.2	3537	sf	C.Quilates	c(")	A13
1788	R	1927	S	13	011133	35.3	-3.7		4.6	3538	IV(FM)	C.Quilates	2	A13
1789	R	1927	S	20	095817	38.5	-0.5		4.2	3539	III(FM)	Jijona		J19
1790	R	1927	S	21	140931	35.5	-2.5		4.2	3540	III(m)	(T.Forcas,NE)	2.c	A15
1791	H	1927	S	28	1530	41.1	-8.6		4.2	3541	III(M)	Porto		R03
1792	H	1927	S	29	07	38.7	-9.2		4.2	3543	III	Lisboa		K02
1793	R	1927	S	30	064200	35.5	-2.5		4.2	3543	sf	(T.Forcas,NE)	c	A15
1794	H	1927	O	20	11	38.5	-0.5		4.2	3544	III(FM)	Jijona		J19
1795	R	1927	O	21	230740	37.0	-4.5		3.8	3545	sl	(Antequera)	c	D11
1796	R	1927	O	24	133636	37.3	-1.4		3.8	3546	sl	Alhama,M	c(")	E18
1797	R	1927	N	5	051438	37.0	-4.5		4.6	3549	IV(FM)	(Antequera)	c	D11
1798	R	1927	N	8	040154	37.5	-8.8		5.0	3551	V(M)	(S.Pectonio)	c(")	E03
1799	H	1927	N	24		38.7	-9.2		4.2	3553	III	Lisboa		K02
1800	R	1927	D	3	100910	35.9	-2.3		3.8	3556	sl	Mediterranean	2.c	B16
1801	H	1927	D	6	21	38.0	-7.3		4.2	3557	III(M)	Ficalho		H06
1802	R	1927	D	17	193128	43.0	+0.1		3.8	3559	sl	Bagneres		U21
1803	R	1927	D	27	092123	36.5	-3.5		4.2	3561	III(FM)	Motril,S		C13
1804	R	1927	D	31	071302	36.7	-2.4		5.0	3563	V(FM)	G.Almeria		D16
1805	H	1928	J	5	100150	36.4	-0.8		4.6	3565	IV	Mediterranean,C		C19
1806	R	1928	J	8	150917	37.2	-3.6		3.8	3566	II(FM)	Granada		E13
1807	R	1928	J	9	163839	36.7	-2.5		4.2	3567	III(M)	(G.Almeria)	c	D15
1808	R	1928	J	16	052958	42.7	+0.3		5.0	3570	V	Pirineo,C	m(")	U21
1809	H	1928	J	25	1440	42.7	+0.3		4.6	3573	IV	Pirineo,C		U21
1810	H	1928	J	29	23	43.3	-2.0		3.8	3574	sl	S.Sebastian		W16
1811	R	1928	F	8	014052	38.6	-7.9		5.0	3577	V(M)	Evora	m	K05
1812	R	1928	F	9	155325	40.5	-0.5		4.6	3578	IV	Fortanete		N19
1813	H	1928	F	12		38.6	-7.9		4.2	3580	III(M)	Evora		K05
1814	R	1928	F	19	204211	37.1	-3.5		4.6	3583	IV	P.Puente	c(")	E13
1815	H	1928	R	3		38.0	-0.7		4.2	3584	sf	Torrevieja		H19
1816	R	1928	R	16	105938	37.0	-2.2		4.6	3585	IV(S)	Nijar		D16
1817	R	1928	A	6	001337	36.3	+2.8		4.2	3590	III	Medea		C26
1818	R	1928	A	13	151313	37.0	-2.9		4.2	3594	III	Fondon		D15
1819	R	1928	A	28	134607	37.0	-4.1		4.6	3599	IV	Zafarraya		D12
1820	R	1928	Y	7	100209	43.2	-0.6		4.2	3601	III	Oloron		W19

./. ./.

1821	R	1928	L	5	033939	36.5	+1.5		5.0	3612	in	(F.Garnier)	c	C23
1822	H	1928	G	2	13	38.2	-1.4		3.8	3620	II(M)	Blanca		J18
1823	R	1928	G	21	234056	43.1	+0.3		4.6	3627	IV	Bagneres	c.m	M21
1824	R	1928	G	24	094455	36.0	+0.9		6.3	3629	VIII	Inkerman	4.c(")	B22
1825	H	1928	O	4	063457	36.5	-2.6		3.8	3640	sl	(G.Almeria)	c	C15
1826	R	1928	O	27	052329	36.1	+1.3		4.6	3651	nd	Orleansville		C23
1827	R	1928	N	15	205603	36.7	+3.0		4.2	3657	III	Douera		D26
1828	R	1928	N	19	015233	41.5	+2.3		4.2	3659	III(M)	Teya		R25
1829	R	1928	N	24	164901	41.5	+2.3		4.6	3661	IV	Cabrils	c.m	R25
1830	R	1928	N	25	010715	36.6	+2.2		4.2	3662	III	Cherchel	2	D25
1831	R	1928	N	28	141620	41.4	+2.5		5.4	3665	VI	Cabrils	32.c.m(")	R25
1832	R	1928	D	5	024244	36.3	-3.0		4.2	3672	III	(M.Alboran)	c(")	C14
1833	R	1928	D	13	053744	41.6	+2.3		5.0	3677	V	Vilasar	c.m	S25
1834	R	1928	D	17	224350	41.5	+2.4		4.2	3681	III	Cabrils		R25
1835	R	1928	D	25	120350	37.3	-4.0		3.8	3685	II	(Hueneja)	c	E12
1836	H	1929	J	1		41.5	+2.4		4.2	3761	III	Caldetas		R25
1837	R	1929	J	11	015231	35.5	-0.5		5.4	3767	sg	(S.Barbe)	3.c	A19
1838	H	1929	J	21	04	41.5	+2.3		4.6	3769	IV(M)	Alella		R25
1839	R	1929	F	3	003421	41.6	+2.4		5.0	3772	V	Tiana	c.m	S25
1840	H	1929	F	13	1730	42.9	-2.4		5.0	3775	V	Salvatierra		U16
1841	R	1929	F	18	190001	42.1	-2.1	(2)	4.7	3777	VII	Herce	c.m	T16
1842	R	1929	F	28	054137	36.7	-4.4		4.6	3778	IV	Malaga		D12
1843	H	1929	F	28	12	39.6	-1.9		5.0	3779	in	Motilla		M17
1844	H	1929	R	6	2345	41.5	+2.3		4.2	3780	III(M)	Teya		R25
1845	H	1929	R	19	0730	42.9	-2.7		4.2	3784	III(FM)	Vitoria		U15
1846	R	1929	R	23	165422	36.8	-3.0		4.6	3787	IV(FM)	Berja		D14
1847	R	1929	R	28	110327	35.4	-2.3		5.4	3790	VI(FM)	(Chafarinas)	c(")	A16
1848	H	1929	A	4	202744	37.5	-3.3		5.0	3791	V(FM)	T.Cardela		E14
1849	R	1929	A	26	214049	36.8	-2.5		3.4	3800	I(FM)	Almeria		D15
1850	R	1929	Y	4	202744	37.5	-3.3		5.0	3802	V(FM)	T.Cardela		E14
1851	R	1929	Y	16	200746	37.7	-3.5		4.6	3808	IV(FM)	Huelma		H13
1852	H	1929	Y	17	213500	36.0	-7.6		4.6	3809	IV(MS)	Serpa		H05
1853	R	1929	U	9	040205	37.2	-3.6		4.2	3815	III(FM)	Granada		E13
1854	R	1929	U	16	173324	37.2	-3.6		3.8	3816	II(FM)	Granada		E13
1855	R	1929	L	17	064331	36.7	-3.7		4.2	3822	sf	Almuñecar		D13
1856	H	1929	L	18	1455	35.2	-2.4		5.0	3823	V(M)	Chafarinas		A16
1857	H	1929	G	7		35.2	-4.3		5.0	3826	in	Peñon		A12
1858	R	1929	G	14	063836	36.1	-3.8		5.0	3828	V	(M.Alboran)	c(")	C13
1859	R	1929	S	30	201317	37.3	-4.0		4.6	3834	IV	(Montefrio)	c	E12
1860	R	1929	O	5	115543	37.2	-4.1		5.0	3836	V	Loja	2	E12
1861	R	1929	O	12	062945	36.4	+4.3		4.6	3839	nd	Maillot	4	C29
1862	H	1929	O	30		39.0	-8.8		5.0	3842	V(MS)	Benavente,P		K03
1863	R	1929	N	29	074948	37.3	-1.9		4.6	3847	IV	C.Vera	2	E17
1864	R	1929	D	1	234010	43.0	-0.1		4.6	3848	IV(M)	Ossen		U20
1865	R	1929	D	5	062931	37.1	-3.9		4.6	3852	IV	A.Rey	c(")	E13
1866	R	1929	D	10	0008	41.5	+2.3		4.2	3854	III(FM)	Teya		R25
1867	R	1929	D	12	055628	43.0	+0.1		4.6	3855	IV	Bigorre	m	U21
1868	R	1929	D	14	193252	41.5	+2.3		4.2	3856	III(M)	Teya		R25
1869	R	1930	J	6	086358	36.8	-3.0	39	4.6	3859	IV(FM)	Berja		D14
1870	H	1930	J	24		36.8	-4.4		4.2	3864	III(M)	Malaga,N		D12

./.

1871	R	1930	F	10	080501	37.1	-8.0		5.4	3868	VI(MS)	Loule		E04
1872	R	1930	F	16	013356	36.0	-3.0		4.2	3869	III	Alboran	3.t	B14
1873	R	1930	F	19	071728	36.7	-4.4		4.2	3871	III(FM)	Malaga		D12
1874	R	1930	F	22	072917	43.0	-0.1		4.6	3872	IV	Ferrieres	m	U20
1875	R	1930	F	24	014142	36.7	-4.4		4.2	3873	III(FM)	Malaga		D12
1876	E	1930	R	6	225241	37.0	-2.0	27	5.1	3877	V(FM)	Vera	3.c.m	D16
1877	R	1930	R	10	053758	37.2	-2.0		4.6	3879	IV(FM)	Gallardos	2	E16
1878	R	1930	R	12	072459	37.2	-2.0	43	4.5	3881	III(FM)	Gallardos	2	E16
1879	H	1930	R	15	0235	37.2	-2.0		3.8	3882	II(FM)	Gallardos		E16
1880	H	1930	R	25	2150	37.2	-2.0		4.2	3887	III(FM)	Gallardos		E16
1881	H	1930	R	27	2233	37.2	-2.0		3.4	3888	I(FM)	Gallardos		E16
1882	R	1930	A	3	1135	37.6	-4.6		4.2	3889	III(FM)	Montilla	2	H11
1883	H	1930	A	11	1450	37.2	-2.0		4.2	3890	III(FM)	Gallardos		E16
1884	R	1930	A	15	064619	36.1	+3.7		4.6	3893	nd	Aumale		C28
1885	H	1930	A	17	1450	37.2	-2.0		4.2	3894	III(FM)	Gallardos		E16
1886	H	1930	A	25	1804	37.2	-7.4		5.0	3895	V	V.Real		E06
1887	R	1930	A	25	050221	36.6	+2.9		4.2	3895	sf	Boufarik		D26
1888	R	1930	Y	3	155248	42.9	+1.6		4.6	3897	IV	Foix		U24
1889	R	1930	Y	9	194210	37.4	-2.5	27	3.9	3901	sl	Almeria,P	2	E15
1890	R	1930	Y	11	013352	41.7	+2.8		4.6	3902	IV	Lloret	c.m	S26
1891	H	1930	Y	21	01	37.2	-2.0		4.2	3904	III(FM)	Gallardos		E16
1892	H	1930	Y	22		39.0	-7.9		4.6	3905	IV(MS)	Aviz		K05
1893	H	1930	U	1	02	42.0	+1.5		4.6	3907	IV	Solsona		S23
1894	R	1930	U	2	015209	41.2	+0.6		5.0	3908	V	Ametlla	4.c.m(")	R22
1895	R	1930	U	28	021350	43.0	-0.1		5.0	3914	V	Argeles	m	U20
1896	E	1930	L	5	231141	37.6	-4.6	50	6.2	3916	VII	Montilla	c.m	H11
1897	H	1930	L	12	0210	37.3	-1.9		4.6	3919	IV(M)	C.Vera		E17
1898	R	1930	L	19	090520	35.3	-3.8	21	3.8	3921	sl	(M.Alhucemas)	c(")	A13
1899	E	1930	G	6	035804	37.4	-2.1	32	5.6	3924	VI(FM)	Albox	c.m	E16
1900	E	1930	G	9	180938	35.0	-5.1	27	6.4	3926	VIII(FM)	(Lubrin)	c(")	A10
1901	H	1930	G	16	1005	37.2	-2.0		3.8	3931	II(FM)	Gallardos		E16
1902	H	1930	G	21		39.7	-8.1		5.0	3934	V	Vila		M04
1903	R	1930	S	3	095958	38.1	-1.2	(6)	5.2	3939	VII(FM)	Lorqui	c.m	J18
1904	R	1930	S	3	022130	41.7	+2.5		3.8	3939	sl	Montseny	c.m	S25
1905	H	1930	S	4	0245	41.6	+2.4		4.6	3940	IV	Llinas		S25
1906	R	1930	S	5	022130	41.7	+2.5	(8)	4.1	3941	IV	S.Celoni	m	S25
1907	H	1930	S	16		37.2	-2.0		4.6	3946	IV	Gallardos		E16
1908	R	1930	S	18	061236	41.7	+2.5		5.0	3947	V	S.Celoni	c.m	S25
1909	R	1930	S	19	121924	37.4	-2.5	41	4.1	3948	sl	Almeria,P		E15
1910	R	1930	S	22	055419	43.0	+0.1		4.6	3951	IV	Bigorre	m	U21
1911	R	1930	S	26	022706	42.9	-0.1		3.8	3953	II	Cauterets		U20
1912	H	1930	S	28		41.9	-8.8		4.6	3954	IV(MS)	Caminha		S03
1913	R	1930	S	30	124812	37.2	-2.0	35	4.8	3955	IV	Gallardos	m	E16
1914	H	1930	O	2		43.1	-0.1		4.2	3956	III	Lourdes		W20
1915	R	1930	O	4	170842	42.9	-0.1		5.4	3958	VI	Cauterets	m	U20
1916	H	1930	O	9	2315	37.2	-2.0		4.2	3959	III(M)	Gallardos		E16
1917	R	1930	O	13	184513	42.9	+0.1		5.0	3960	V	P.Midi	m	U21
1918	R	1930	O	19	024303	35.0	-5.0		4.6	3961	nd	Yebala	c	A10
1919	H	1930	O	24		38.8	-0.6		4.6	3965	IV(FM)	Onteniente		K19
1920	H	1930	O	25	2240	41.7	+2.6		4.2	3966	III(FM)	Hostalrich		S26

./.

1921	R	1930	N	12	211315	37.1	-3.3	39	4.8	3971	IV	S.Nevada ?	51	E14
1922	R	1930	N	14	022321	42.9	+0.1		4.6	3973	IV	P.Midi	m	U21
1923	H	1930	N	15		38.9	-8.0		5.0	3974	V(MS)	Pavia		K04
1924	R	1930	N	16	115221	37.4	-2.0		4.2	3975	III(FM)	Huercal		E16
1925	R	1930	N	24	072911	38.8	-0.6		5.0	3983	V	Onteniente	4	K19
1926	H	1930	N	25	2240	41.7	+2.6		4.2	3984	III(FM)	Hostalrich		S26
1927	R	1930	N	27	173724	36.8	-2.5	29	3.9	3986	sl	Almeria		D15
1928	R	1930	D	1	084436	37.2	-3.6		4.2	3990	III(FM)	Granada	2	E13
1929	H	1930	D	10	2204	35.1	-3.0		4.2	3993	III(M)	Zeluan		A14
1930	H	1930	D	12	0430	42.6	-8.8		4.2	3995	sf	Villagarcia		U03
1931	R	1931	J	17	161038	37.2	-3.8		4.6	4004	IV(FM)	F.Vaqueros		E13
1932	R	1931	J	21	211325	37.2	-3.8		4.6	4006	IV(FM)	F.Vaqueros	2	E13
1933	E	1931	J	26	031611	38.1	-1.2	26	5.9	4007	VII(FM)	(Molina)	2.c	J18
1934	H	1931	F	10		39.2	-8.6		5.0	4013	V(MS)	Alpiarça		L03
1935	H	1931	F	11		40.6	-8.3		4.6	4014	IV(MS)	Macieira		P04
1936	R	1931	F	12	123142	37.4	-2.5	12	3.1	4015	st	Almeria,P ?		E15
1937	R	1931	F	23	031550	36.5	+3.1		3.8	4018	sl	Arba		C27
1938	R	1931	R	3	125425	37.2	-3.6	30	4.8	4022	IV(FM)	Granada		E13
1939	R	1931	R	4	003420	37.2	-2.0		3.8	4023	II(M)	Gallardos		E16
1940	R	1931	R	4	053640	36.5	+2.9		6.3	4023	VIII	Blida		C26
1941	R	1931	R	6	044101	36.3	+2.8		3.8	4024	sl	Medea		C26
1942	R	1931	R	12	213226	37.2	-2.0	17	3.3	4029	st	Gallardos ?		E16
1943	R	1931	R	20	081412	36.8	-2.5	25	3.9	4030	II(M)	Almeria		D15
1944	R	1931	A	2	174603	37.4	-2.5	28	3.5	4033	st	Almeria,P		E15
1945	R	1931	A	4	212017	43.0	+0.1		4.6	4035	IV	Bagneres	3	U21
1946	R	1931	A	15	021511	43.0	-0.1		4.2	4038	III	Argeles		U20
1947	H	1931	A	19		42.1	-8.5		5.0	4039	V(M)	Monçao		T03
1948	H	1931	A	20		37.2	-2.0		3.6	4040	II(FM)	Gallardos		E16
1949	H	1931	A	21	0130	37.2	-2.0		4.2	4041	III(M)	Gallardos		E16
1950	R	1931	Y	2	064105	37.2	-3.6		4.2	4048	III(FM)	Granada		E13
1951	H	1931	Y	19		38.6	-7.9		4.6	4052	IV(MS)	Evora		K05
1952	H	1931	U	18	0405	37.2	-2.0		4.2	4062	III(M)	Gallardos		E16
1953	R	1931	U	19	090919	38.1	-1.1		4.2	4063	sf	Alberca	2	J18
1954	R	1931	U	30	133549	35.6	-3.7		3.8	4065	sl	(M.Alboran)	2.c	B13
1955	R	1931	L	10	165224	36.3	-2.2		4.2	4070	sf	(C.Gata,S)	c	C16
1956	H	1931	L	21	0245	37.2	-2.0		4.2	4074	III(FM)	Gallardos		E16
1957	R	1931	G	15	135218	36.1	+3.7		6.3	4079	VIII	Aumale		C28
1958	R	1931	G	31	144302	37.2	-3.6		4.2	4085	III(FM)	Granada		E13
1959	R	1931	S	10	211916	35.0	-3.7	33	4.3	4088	sf	(U.Nekor)	c	A13
1960	H	1931	O	7		40.4	-8.6		5.0	4094	V	Cacia		N03
1961	R	1931	O	29	000642	36.6	-0.5		4.2	4102	III(M)	Alicante		K19
1962	R	1931	N	2	145808	36.6	+2.9		4.6	4103	IV	Boufaria		D26
1963	R	1931	N	7	141040	36.5	+2.6		3.8	4105	sl	Affroun		C26
1964	H	1931	N	7		40.6	-8.3		4.6	4105	IV(MS)	Lixa		P04
1965	H	1931	N	8		40.7	-8.0		5.0	4106	V	Toledo		P04
1966	R	1931	N	12	011029	40.6	-1.8		4.2	4107	sf	(Albarracin)	c	P17
1967	H	1931	N	15	0130	41.0	-2.2		5.0	4106	in	Maranchon		P16
1968	R	1931	N	17	181005	38.0	-1.2		4.6	4109	IV	Murcia		H18
1969	R	1931	N	23	175511	43.0	+0.1		4.2	4111	III	Bagneres		U21
1970	H	1931	N	28		38.3	-8.0		5.0	4114	V	Alvito		J04

./.

1971	R	1931	D	17	010545	38.0	-0.9		4.6	4118	IV	Bigastro		H19
1972	R	1932	F	5	051308	35.6	-4.6		4.6	4134	IV(FM)	M.Alhucemas	c(")	B11
1973	R	1932	F	13	000313	36.7	-4.4		4.6	4136	IV(FM)	Malaga		D12
1974	R	1932	F	15	094844	35.4	+0.1		5.8	4138	VII	Mascara		A21
1975	R	1932	R	5	021039	37.5	-2.5	(12)	6.0	4144	VIII	Purchena	3.c.m(")	E15
1976	H	1932	A	4	0953	37.7	-1.7		5.0	4150	V(M)	Lorca		H17
1977	R	1932	A	15	132854	37.2	-3.4		3.4	4153	I(FM)	Monachil		E14
1978	R	1932	A	16	172154	38.6	-0.5		3.4	4154	I(FM)	Alicante		K19
1979	R	1932	A	18	042239	36.3	+2.8		5.8	4154	VII	Medea	3	C26
1980	H	1932	A	27	2320	43.3	-4.4		4.6	4160	IV(M)	Cabezon		W12
1981	H	1932	A	28	0253	43.3	-4.4		4.2	4161	III(M)	Cabezon	2	W12
1982	R	1932	Y	2	163124	37.4	-2.5		4.6	4163	IV	Almeria,P		E15
1983	R	1932	Y	3	103804	39.5	+4.5		4.6	4164	IV(FM)	Menorca,SE		L29
1984	R	1932	Y	3	113242	43.3	-4.4		4.2	4164	III(FM)	Cabezon	2	W12
1985	H	1932	Y	4	1630	43.3	-4.4		5.0	4165	V(M)	Cabezon	5	W12
1986	R	1932	Y	9	204955	36.4	+4.3		4.6	4168	nd	Maillot		C29
1987	R	1932	Y	11	120530	37.2	-3.6		3.4	4170	I(FM)	Cartuja		E13
1988	R	1932	Y	17	040201	40.8	+0.6		3.4	4171	I(FM)	Tortosa		P22
1989	H	1932	Y	19		38.6	-0.5		3.4	4172	I(FM)	Alicante		K19
1990	R	1932	U	2	033921	38.6	-0.5		3.4	4174	I(FM)	Alicante		K19
1991	R	1932	U	12	161440	38.6	-0.5		3.4	4176	I	Alicante		K19
1992	H	1932	L	7		38.3	-8.0		4.2	4181	III(MS)	Alvito		J04
1993	H	1932	L	8		38.7	-9.2		4.6	4182	IV(MS)	Lisboa		K02
1994	H	1932	L	12		38.3	-7.2		4.6	4184	IV(MS)	Portel		J06
1995	R	1932	L	18	172428	38.6	-0.5		3.4	4186	I	Alicante		K19
1996	R	1932	L	19	170711	38.6	-0.5		3.8	4187	II(FM)	Alicante		K19
1997	R	1932	G	12	083455	37.4	-2.5		3.4	4190	I(FM)	Almeria,P		E15
1998	H	1932	G	17		37.1	-8.2		4.6	4191	IV(MS)	Alcantarilha		H04
1999	R	1932	G	20	091753	37.4	-2.5		3.8	4192	II(FM)	Almeria,P		E15
2000	R	1932	G	31	073447	38.1	-1.2		4.6	4197	IV(FM)	(Molina,M)	c	J18
2001	R	1932	S	11	163946	37.0	-4.1		4.2	4200	III	(Antequera)	c	D12
2002	R	1932	S	16	172709	37.4	-2.5		3.4	4202	I(FM)	Almeria,P		E15
2003	H	1932	S	30		38.6	-7.9		4.2	4210	III(MS)	Evora		K05
2004	E	1932	O	1	053236	37.0	-4.0	45	4.5	4211	III(FM)	(Alhama,G)	c	D12
2005	R	1932	O	2	051945	37.0	-2.0		4.6	4212	IV(FM)	(Carboneras)	c	D16
2006	H	1932	O	3	13	37.9	-4.7		3.8	4213	II(M)	Cordoba		H11
2007	R	1932	O	14	114256	38.6	-0.5		3.4	4214	I(FM)	Alicante		K19
2008	R	1932	O	15	123815	37.2	-2.0		3.4	4215	I	Bedar		E16
2009	R	1932	O	24	120211	36.8	-2.5		3.4	4218	I(FM)	Almeria		D15
2010	R	1932	O	25	111040	36.8	-2.5		3.4	4219	I(FM)	Almeria		D15
2011	H	1932	O	25		40.6	-7.5		4.6	4219	IV(MS)	Fundao		P05
2012	R	1932	O	26	182132	38.6	-0.5		3.4	4220	I(FM)	Alicante		K19
2013	H	1932	O	28	0355	38.0	-1.2		3.8	4221	II(FM)	Murcia		H18
2014	R	1932	O	29	161620	38.6	-0.5		3.4	4222	I(FM)	Alicante		K19
2015	R	1932	N	1	004623	37.2	-3.6		3.4	4223	I(FM)	Granada		E13
2016	R	1932	N	2	045242	38.6	-0.5		3.4	4224	I(FM)	Alicante		K19
2017	R	1932	N	7	094737	38.6	-0.5		3.4	4225	I(FM)	Alicante		K19
2018	R	1932	N	10	095708	38.6	-0.5		3.4	4226	I(FM)	Alicante		K19
2019	R	1932	N	11	000328	40.9	-0.5		3.8	4227	sl	Cherta	2.c	P19
2020	R	1932	N	14	230522	43.0	+0.1		4.6	4228	IV	Bagneres	2	U21

./.

2021	R	1932	N	18	143955	38.6	-0.5		3.4	4230	I(FM)	Alicante		K19
2022	R	1932	N	20	111759	37.2	-3.6		3.4	4231	I(FM)	Granada		E13
2023	R	1932	N	28	052156	37.2	-3.6		3.4	4234	I(FM)	Granada		E13
2024	R	1932	D	2	171422	36.8	-2.5		3.4	4236	I(FM)	Almeria		D15
2025	R	1932	D	7	153822	38.6	-0.5		3.4	4237	I(FM)	Alicante		K19
2026	R	1932	D	8	160345	36.4	-0.8	24	4.3	4238	sf	Mediterranean,C		C19
2027	R	1932	D	9	130218	38.6	-0.5		3.4	4239	I(FM)	Alicante		K19
2028	R	1932	D	22	140137	43.0	+0.1		3.8	4241	II	Bigorre		U21
2029	R	1932	D	23		42.6	+2.4		3.8	4242	sl	Prades	5	U25
2030	R	1932	D	26	222337	37.0	-3.1		3.8	4243	sl	Durcal	c	D14
2031	H	1932	D	29	0815	37.1	-5.5		4.2	4244	III(M)	Moron		E09
2032	R	1933	J	4	224343	42.9	+0.1		4.2	4249	III(M)	P.Midi		U21
2033	R	1933	J	4	001028	36.8	-2.5		3.4	4249	I	Almeria		D15
2034	R	1933	J	6	061930	43.0	+0.1		4.2	4250	III(M)	Lagneres		U21
2035	R	1933	J	12	201654	36.7	-4.4		3.8	4252	sl	Malaga		D12
2036	R	1933	J	13	160408	38.6	-0.5		3.4	4253	I	Alicante		K19
2037	R	1933	J	23	212715	37.2	-2.0		4.2	4255	III(FM)	Gallardos		E16
2038	E	1933	J	25	203712	36.6	-3.9	15	3.9	4256	III	(Adra,S)	c(")	D13
2039	H	1933	F	3		40.0	+2.0		3.8	4258	II	F.Balear		M24
2040	R	1933	F	5	190926	43.0	-0.1		4.6	4259	IV	Argeles	m	U20
2041	R	1933	F	13	011539	36.7	-4.4	10	3.0	4262	I	Malaga	2	D12
2042	H	1933	F	27	15	35.9	-0.3		4.2	4265	sf	Arzew		B20
2043	R	1933	F	28	140657	38.6	-0.5		3.4	4266	I	Alicante		K19
2044	R	1933	R	6	074050	38.6	-0.5		3.4	4267	I	Alicante		K19
2045	R	1933	R	10	161636	36.7	-4.4		3.8	4268	II	Malaga		D12
2046	R	1933	R	13	063030	38.2	-1.0		4.2	4270	III	Abanilla		J18
2047	R	1933	R	17	011847	37.0	-5.2		4.2	4273	III	Grazalema	c	E10
2048	E	1933	R	20	163841	38.9	-1.7	45	5.3	4275	V(FM)	(Chinchilla)	c.m	K17
2049	R	1933	R	23	1.	38.6	-0.5		3.4	4277	I	Alicante		K19
2050	R	1933	R	24	130..	3.6	-0.5		3.4	4278	I	Alicante		K19
2051	R	1933	R	25	133813	38.6	-0.5		3.4	4279	I	Alicante		K19
2052	R	1933	R	27	124152	38.6	-0.5		3.4	4280	I	Alicante		K19
2053	R	1933	A	4	171818	36.8	-2.5		3.4	4282	I	Almeria		D15
2054	R	1933	A	6	185025	38.6	-0.5		3.4	4283	I	Alicante		K19
2055	E	1933	A	11	022959	36.6	-5.2	20	5.0	4284	V	(Jubrique)	2.c	D10
2056	E	1933	A	13	045916	37.0	-2.7	25	4.3	4285	III	(Canjayar)	c	D15
2057	R	1933	A	13	061454	36.6	-3.0		3.4	4285	st	(Adra)	c	D14
2058	R	1933	A	16	190552	36.3	-3.2	25	4.3	4287	sf	(M.Alboran)	c	C14
2059	R	1933	Y	6	092123	37.2	-3.6		3.4	4288	I	Granada		E13
2060	R	1933	Y	7	095108	38.6	-0.5		3.4	4289	I	Alicante		K19
2061	R	1933	Y	8	035954	36.7	-7.1		3.4	4290	I	G.Cadiz		D06
2062	R	1933	Y	13	110529	38.6	-0.5		3.4	4291	I	Alicante		K19
2063	R	1933	Y	24	164937	36.8	-2.5		3.4	4293	I	Almeria		D15
2064	R	1933	Y	26	075838	41.6	+2.4		3.4	4294	I	Cataluña		S25
2065	R	1933	U	2	083100	40.8	+0.6		3.4	4295	I	Tortosa		P22
2066	R	1933	U	3	023639	36.4	+4.3		3.8	4296	sl	Maillot	3	C29
2067	R	1933	U	5	134806	36.8	-4.3		3.4	4297	I	Comares	c	D12
2068	R	1933	U	8	145640	38.6	-0.5		3.4	4298	I	Alicante		K19
2069	R	1933	U	11	145220	38.6	-0.6	45	4.1	4300	sl	Biar		K19
2070	R	1933	U	13	024830	37.4	-2.5		3.4	4301	I	Almeria,P		E15

./.

2071	R	1933	U	21	184607	37.5	-0.5		4.6	4303	IV	(C.Palos)	c	C19
2072	R	1933	L	17	181349	37.0	-2.5		4.2	4308	III	Gador ?		D15
2073	E	1933	L	18	060452	36.2	-5.0	30	5.1	4309	V	(Estrecho)	c(")	C10
2074	R	1933	L	18	065624	38.2	-1.0		4.6	4309	IV	Abanilla		J18
2075	R	1933	G	13	131949	38.6	-0.5		3.4	4311	I	Alicante		K19
2076	R	1933	G	24	141522	36.4	-3.3		3.8	4314	sl	M.Alboran		C14
2077	R	1933	G	24	164545	37.3	-2.9	45	4.1	4314	sl	(S.Filabres)	c	E15
2078	R	1933	G	24	172510	37.2	-3.7	23	4.6	4314	IV	S.Elvira		E13
2079	R	1933	S	5	173012	38.6	-0.5		3.4	4316	I	Alicante		K19
2080	R	1933	S	12	043900	37.2	-3.6		3.4	4317	I	Granada		E13
2081	R	1933	S	23	155451	38.6	-0.5		3.4	4319	I	Alicante		K19
2082	R	1933	S	25	135651	36.4	-0.8		3.4	4320	I	Mediterranean,C	?	C19
2083	R	1933	O	1	063910	41.6	+2.7		4.2	4322	III	Calella		S26
2084	R	1933	O	4	150442	38.6	-0.5		3.4	4323	I	Alicante		K19
2085	R	1933	O	16	134547	37.0	-2.5	25	4.6	4325	IV	Gador		D15
2086	H	1933	O	17	1050	35.3	-4.1		4.2	4326	III	Alhucemas		A12
2087	R	1933	O	21	183050	37.1	-3.6	12	3.9	4327	III	Zubia		E13
2088	R	1933	O	26	141059	38.6	-0.5		3.4	4329	I	Alicante		K19
2089	R	1933	N	5	214757	36.7	-4.4	25	3.5	4330	I	Malaga		D12
2090	R	1933	N	9	064250	38.6	-0.5		3.4	4332	I	Alicante		K19
2091	R	1933	N	21	010213	36.7	-4.4		3.4	4333	I	Malaga		D12
2092	R	1933	N	29	115122	38.6	-0.5		3.4	4334	I	Alicante		K19
2093	R	1933	N	29	145432	43.0	+0.1		4.2	4334	III	Bagneres	m	U21
2094	R	1933	D	18	143950	38.6	-0.5		3.4	4337	I	Alicante		K19
2095	R	1933	D	18	164739	40.8	+0.6		3.8	4337	II	Tortosa		P22
2096	R	1933	D	23	163350	38.6	-0.5		3.4	4338	I	Alicante	2	K19
2097	R	1933	D	26	204942	37.2	-2.0		4.2	4339	III	Gallardos		E16
2098	R	1934	J	1	045607	44.0	+2.0		4.6	4340	IV	G.Vizcaya	2	X16
2099	R	1934	J	5	125728	36.9	-2.5		4.2	4341	III	Almeria,A		D15
2100	R	1934	J	10	204652	37.2	-3.6		4.2	4345	III	Granada,A		E13
2101	H	1934	J	16		43.3	-2.0		4.2	4346	III	S.Sebastian		M16
2102	H	1934	F	1		38.9	-0.6		4.2	4347	III	Malferit		K19
2103	H	1934	F	3	1453	43.0	+0.1		4.2	4348	III	Bigorre		U21
2104	R	1934	F	19	054253	37.1	-3.6		3.4	4350	I	Alhendin		E13
2105	E	1934	F	26	235355	37.0	-4.0	25	3.5	4352	I	Granada	c	D12
2106	R	1934	R	26	184954	37.1	-4.0	25	3.9	4357	sl	Alhama,G	c	E12
2107	H	1934	A	23	195715	39.4	-9.1		3.8	4362	sl	C.Rainha	2	L02
2108	R	1934	Y	1	072758	38.1	-0.9		4.6	4364	IV	Orihuela ?		J19
2109	E	1934	Y	1	222400	37.1	-3.7	23	4.6	4365	IV	Alhendin	c	E13
2110	R	1934	Y	1	072827	41.6	+2.4		4.2	4366	III	Cataluña		S25
2111	R	1934	Y	10	065254	37.2	-3.6		3.8	4371	II	Atarfe ?		E13
2112	E	1934	Y	26	035730	35.3	-4.0	45	5.0	4375	IV	(M.Alhucemas)	c	A12
2113	R	1934	U	25	082254	36.3	-2.4	25	3.9	4382	sl	M.Alboran	2.c	C16
2114	H	1934	L	4	0200	37.1	-3.5		4.2	4386	III	Gajar		E13
2115	R	1934	L	18	050922	37.2	-3.6	s	-	4392	I	Atarfe ?	2	E13
2116	R	1934	L	18	061120	36.7	-3.5		4.2	4394	III	Motril		D13
2117	R	1934	L	29	170503	36.4	-3.1	25	3.9	4397	sl	M.Alboran	c	C14
2118	R	1934	G	2	203318	37.2	-3.7		4.6	4399	IV	S.Elvira		E13
2119	H	1934	O	25	1130	37.8	-4.0		4.2	4418	III	T.Campo	2	H12
2120	H	1934	N	2	1115	37.3	-2.0		4.2	4419	III	Zurgena		E16

./.

./.

2121	R	1934	N	7	1434	36.6	+0.5	45	4.1	4421		sl	Mediterranean,C		C21
2122	R	1934	N	12	083151	37.7	-7.8	25	3.9	4422		sl	Mertola	c	H05
2123	R	1934	N	17	002049	37.0	-2.2		4.6	4423		IV	Nijar		D16
2124	H	1934	D	9	031521	37.0	-2.2		4.2	4424		III	Lucainena		D16
2125	H	1934	D	12	1030	37.2	-2.0		4.2	4425		III	Bedar		E16
2126	R	1934	D	21	142731	36.8	-2.5	10	3.0	4426		st	Almeria		D15
2127	R	1934	D	28	052055	39.0	-8.8		4.6	4429		IV	Benavente,P	?	K03
2128	R	1935	J	7	2255	37.8	-3.5		3.8	4432		II	T.Albanchez		H13
2129	R	1935	J	8	102150	37.2	-3.7	10	4.2	4433		IV	Santafe		E13
2130	R	1935	J	16	053848	37.0	-2.2	10	4.2	4434		IV	Lucainena		D16
2131	H	1935	J	21	0240	37.8	-1.4		4.2	4437		III	Alhama,M		H18
2132	E	1935	F	11	104145	36.3	-2.5	25	5.1	4438		V	(G.Almeria)	c	C15
2133	R	1935	R	11	075223	38.0	-0.7	25	4.7	4446		IV	Torrevieja		H19
2134	R	1935	R	13	185555	38.0	-1.2		4.6	4448		IV	Murcia		H18
2135	E	1935	R	14	170212	37.3	-4.4	25	5.1	4449		V	Montilla	c.m	E12
2136	H	1935	R	14	1320	38.0	-4.3		4.2	4450		III	V.Rio		H12
2137	H	1935	R	16		37.6	-7.1		4.2	4451		III	V.Cruces		H06
2138	H	1935	R	29	0005	37.4	-6.3		4.2	4456		III	C.Cespedes		E08
2139	R	1935	A	4	030146	36.5	-3.7		3.4	4461		st	(Almuñecar,S)	c	C13
2140	R	1935	Y	6	112915	37.2	-3.8	ms	3.3	4476		IV	P.Puente		E13
2141	R	1935	Y	7	080158	36.6	-5.1		4.6	4482		IV	S.Terril	c	D10
2142	H	1935	Y	7		38.8	-0.6		5.0	4484		V	Onteniente		K19
2143	H	1935	Y	9		43.3	-2.0		4.2	4488		III	S.Sebastian		W16
2144	H	1935	Y	19	0615	37.8	-1.4		4.6	4495		IV	Alhama,M		H18
2145	H	1935	Y	21		36.9	-4.3		4.2	4496		III	Riogordo		D12
2146	H	1935	Y	24		36.8	-4.2		4.2	4497		III	Cutar		D12
2147	R	1935	Y	25	001432	37.5	-4.5		4.2	4498		III	(Cabra)	c	E11
2148	R	1935	U	12	175400	36.5	-4.4		3.4	4504		I	Malaga,S		C12
2149	R	1935	U	27	172710	37.4	-3.3		4.6	4508		IV	Huelago		E14
2150	R	1935	L	21	234434	37.2	-3.6	15	3.2	4519		I	Atarfe ?		E13
2151	R	1935	L	25	230956	37.2	-3.6		3.4	4520		I	Atarfe ?		E13
2152	R	1935	G	2	182535	36.1	-4.5		3.8	4527		sl	M.Alboran	c	C11
2153	R	1935	G	9	033410	37.2	-3.6		3.4	4528		I	Granada		E13
2154	R	1935	G	24	084224	37.2	-3.6		3.4	4531		I	Granada		E13
2155	H	1935	S	3		42.6	+2.8		3.8	4535		II	Perpignan		U26
2156	R	1935	S	6	224341	37.1	-3.9		3.8	4536		II	Alhama,G	c	E13
2157	R	1935	S	10	141427	37.3	-2.2		4.2	4537		III	Albox		E16
2158	R	1935	S	18	225607	37.1	-3.6?	20	4.2	4544		III	Otura	c	E13
2159	R	1935	S	21	054533	36.4	-3.3	25	3.9	4545		sl	M.Alboran		C14
2160	R	1935	S	27	022407	36.4	-3.3		3.8	4547		sl	M.Alboran ?		C14
2161	R	1935	O	6	151315	36.6	-3.0	25	5.1	4550		V	(Adra,S)	c	D14
2162	R	1935	O	10	141432	37.3	-2.2	45	4.5	4551		III	Albox		E16
2163	H	1935	O	14		37.2	-3.1		4.2	4552		III	Aldeire		E14
2164	E	1935	O	15	090539	37.3	-3.5	25	5.1	4553		V	Alfaguara	c	E13
2165	R	1935	O	18	075420	35.0	-4.0		5.0	4554		V	Geznaya	c(")	A12
2166	R	1935	O	26	190111	36.4	-3.1	45	4.1	4558		sl	M.Alboran	c	C14
2167	H	1935	N	14		38.3	-6.4		4.2	4565		III	Medina,B		J08
2168	E	1935	N	15	065742	35.3	-4.0	25	5.1	4566		V	(M.Alhucemas)	c	A12
2169	R	1935	N	15	073911	37.2	-2.4	25	4.7	4567		IV	Tijola		E16
2170	R	1935	N	16	001152	37.6	-7.1		4.2	4568		III	V.Cruces		H06

./

2171	H	1935	N	18		38.3	-6.4		4.2	4571	III	Medina,B	J08
2172	H	1935	N	18		38.0	-5.8		3.8	4572	II	S.Nicolas	H09
2173	H	1935	N	19		37.4	-6.2		3.8	4573	II	Huevar	E08
2174	R	1935	D	5	221535	37.7	-1.2		4.2	4578	III	F.Alamo	H18
2175	R	1935	D	19	155641	36.9	-4.4		3.8	4585	II	Malaga,P	D12
2176	R	1935	D	20	035431	37.2	-3.6		3.4	4586	I	Granada	E13
2177	H	1935	D	28		36.7	-4.0		4.2	4590	III	Torrox	D12
2178	E	1936	J	4	142620	38.5	-9.8	25	4.7	4591	IV	Atlantic c	J01
2179	R	1936	J	7	191048	36.4	-2.5		3.8	4592	sl	(C.Gata)	C15
2180	H	1936	J	16	0705	42.5	+0.5		4.2	4595	III	Seiza	T21
2181	R	1936	J	17	064713	36.5	-4.4		3.8	4597	sl	(Malaga,S)	C12
2182	H	1936	J	17	2304	42.5	+0.5		4.2	4599	III	Seiza	T21
2183	R	1936	J	24	020225	37.0	-5.0		3.8	4601	II	Algamitas	D10
2184	R	1936	J	25	040815	38.1	-3.6	20	4.2	4603	III	Linares	J13
2185	H	1936	J	26	0145	37.1	-4.6		4.2	4604	III	Mollina	E11
2186	R	1936	J	27	171809	37.4	-2.5		3.4	4605	I	Almeria,P	E15
2187	H	1936	J	28	02	37.6	-4.6		4.2	4607	III	Montilla ? 2	H11
2188	R	1936	J	30	051712	37.3	-4.5		4.2	4608	III	V.Algaida. c	E11
2189	R	1936	J	30	093518	38.0	-1.4	25	5.1	4609	V	Ceuti	H18
2190	H	1936	F	2	0230	36.7	-5.4		4.6	4610	IV	Grazalema	D10
2191	R	1936	F	5	192203	37.1	-3.6	25	3.9	4611	II	Alhendin 2	E13
2192	R	1936	F	12	110206	37.8	-5.0	25	3.9	4616	II	Almodovar	H10
2193	R	1936	F	26	064340	37.2	-3.1	25	4.3	4621	III	Aldeire	E14
2194	R	1936	F	26	064358	36.7	-5.4		4.2	4622	III	Grazalema	D10
2195	H	1936	F	26	1930	37.2	-4.9		4.2	4623	III	Pedrera	E11
2196	R	1936	F	29	034949	37.2	-2.8		3.8	4624	II	Fiñana	E15
2197	R	1936	R	1	142707	37.0	-2.4		4.2	4626	III	Tabernas	D16
2198	H	1936	R	1	0315	37.6	-4.5		4.2	4627	III	S.Montilla	H11
2199	R	1936	R	2	025553	36.8	-4.7		4.2	4629	III	Pizarra ?	D11
2200	H	1936	R	2	22	37.6	-4.5		4.2	4630	III	S.Montilla	H11
2201	H	1936	R	5	03	36.7	-5.4		4.2	4631	III	Grazalema 2	D10
2202	R	1936	R	5	123456	36.5	-3.5		3.8	4632	II	Motril,S	C13
2203	R	1936	R	5	123525	36.7	-5.4		3.4	4633	I	Grazalema	D10
2204	R	1936	R	10	231009	37.0	-4.0		4.2	4635	III	Alhama,G	D12
2205	H	1936	R	15	1535	36.8	-4.0		4.2	4638	III	Algarrobo	D12
2206	E	1936	R	16	100501	36.1	-5.2	57	5.6	4640	V	Estrecho c	C10
2207	H	1936	R	16	1005	36.6	-4.7		4.2	4641	III	Alhaurin,G	D11
2208	H	1936	R	16		36.8	-4.0		4.2	4642	III	Algarrobo	D12
2209	H	1936	R	16		38.4	-5.8		4.2	4643	III	Valverde	J09
2210	H	1936	R	16		37.3	-6.3		4.2	4644	III	Pilas	E08
2211	R	1936	R	27	183245	37.5	-2.8	45	5.3	4654	III	Baza	E15
2212	E	1936	R	29	030603	35.8	-4.4	25	4.7	4655	IV	M.Alboran c	B12
2213	R	1936	A	2	203537	36.5	-3.7	25	4.3	4656	III	Almuñecar,S ?	C13
2214	H	1936	A	7	03	41.6	-5.8		4.2	4660	III	Zamora 2	S09
2215	R	1936	A	11	033825	35.0	-4.3		4.2	4663	III	Targuist	A12
2216	H	1936	A	19	0230	42.1	-6.5		4.2	4667	III	Asturianos 3	T07
2217	R	1936	A	20	211150	36.7	-5.4		4.2	4668	III	Villaluenga	D10
2218	R	1936	A	20	211454	36.7	-5.3		4.2	4669	III	Villaluenga c	D10
2219	R	1936	A	21	020102	36.7	-5.4	25	5.1	4670	V	Villaluenga 2	D10
2220	R	1936	A	24	103552	36.7	-5.4		4.2	4673	III	Villaluenga 3	D10

./

./.

2221	R	1936	A	25	060630	36.7	-5.4		4.2	4677	III	Grazalema	D10
2222	R	1936	A	25	213050	36.7	-5.4		3.8	4678	II	Villaluenga	D10
2223	R	1936	A	25		39.6	+3.0		3.8	4680	II	Baleares ?	M26
2224	R	1936	A	26	143632	36.7	-5.4		4.2	4681	III	Villaluenga	D10
2225	R	1936	A	28	034552	37.2	-3.6		3.4	4683	I	Granada	E13
2226	R	1936	Y	3	112553	35.8	-4.4?	20	5.4	4687	VI	M.Alboran c.	B12
2227	R	1936	Y	4	011814	36.7	-5.4		4.2	4688	III	Villaluenga 3	D10
2228	R	1936	Y	5	0924	36.7	-5.2		4.2	4692	III	Montejaque	D10
2229	R	1936	Y	5	044635	36.7	-5.4		4.2	4696	III	Villaluenga 12	D10
2230	R	1936	U	13	003659	38.2	-1.4	25	4.7	4719	IV	Cieza	J18
2231	R	1936	U	18	001021	36.1	-3.3		5.4	4720	VI	M.Alboran c	C14
2232	R	1936	U	20	140326	41.5	-8.5		5.0	4721	V	(Braga) 3.c	S03
2233	R	1936	U	26	162026	37.2	-3.7	20	4.6	4726	IV	Santafe	E13
2234	R	1936	L	6	135929	36.5	-3.9		3.8	4733	sl	(S.Nerja) c	C13
2235	R	1936	L	16	162442	35.2	-5.7		3.8	4738	sl	(Anjera) c	A09
2236	R	1936	G	15	060531	36.5	-3.1		3.8	4744	sl	(Adra,S) c	C14
2237	R	1936	G	21	222317	36.0	-3.3		3.8	4746	sl	M.Alboran c	B14
2238	R	1936	G	26		42.8	-0.2		3.8	4749	sl	(Pirineo,C) 3.c	U20
2239	R	1936	S	2	214801	36.6	-3.8		3.8	4753	sl	(G.Almeria) c	D13
2240	R	1936	S	17	011206	35.5	-4.6		4.6	4760	IV	(C.Mencal,E) c	A11
2241	R	1936	S	25	120159	37.0	-3.6		4.6	4764	IV	Padul	D13
2242	R	1936	N	8	202043	35.5	-1.5?		3.8	4779	sl	(Rachagoun)	A17
2243	R	1936	N	14	224950	35.3	-4.3?		3.8	4781	sl	M.Alboran c	A12
2244	R	1936	D	22	232002	36.8	-2.5	25	4.7	4790	IV	Almeria	D15
2245	R	1936	D	29		36.8	-2.5	35	4.8	4797	IV	Almeria	D15
2246	R	1937	J	16	000619	37.2	-3.6		3.4	4810	I	Granada 2	E13
2247	H	1937	F	5	1654	35.0	-5.9		4.6	4817	IV	Alcazarquivir 4	A09
2248	H	1937	F	10		35.0	-5.9		4.6	4821	IV	Alcazarquivir 4	A09
2249	H	1937	R	15		37.9	-5.6		4.2	4830	III	Constantina	H09
2250	H	1937	R	17		36.7	-5.4		4.2	4831	III	Villaluenga	D10
2251	H	1937	A	11		36.7	-5.4		4.6	4839	IV	Villaluenga	D10
2252	H	1937	Y	7	233610	36.7	-5.4		4.6	4850	IV	Villaluenga	D10
2253	R	1937	Y	10	085357	37.2	-3.6		3.4	4852	I	Granada 2	E13
2254	R	1937	L	19	222032	37.2	-3.6		3.4	4878	I	Granada	E13
2255	R	1937	L	20	002707	36.5	-3.0	20	4.6	4879	IV	Adra,S	C14
2256	R	1937	L	20	002946	37.4	-2.5		3.8	4880	II	Almeria,P	E15
2257	H	1937	L	22	024203	37.4	-7.1		4.6	4883	IV	S.Bartolome 2	M06
2258	R	1937	L	23	164805	37.2	-3.6		3.4	4884	I	Granada 2	E13
2259	R	1937	G	21	235550	36.9	-7.7		4.6	4895	IV	(Faro,S) c	D05
2260	R	1937	G	21	235717	35.2	-8.8		4.6	4896	IV	Atlantic c	A03
2261	H	1937	G	22		37.9	-6.8		4.2	4897	III	Almonaster	H07
2262	R	1937	O	5	155147	36.6	-4.2		4.6	4909	IV	(Malaga,S) c	D12
2263	H	1937	O	5	155157	36.9	-4.2		5.0	4910	V	Periana	D12
2264	R	1937	N	1	075402	36.7	-5.4		4.2	4922	III	Villaluenga 2	D10
2265	H	1937	N	1		36.6	-5.5		4.2	4923	III	Ubrique 2	D09
2266	R	1937	D	30	020636	36.9	-1.5		4.6	4936	IV	Chinchilla c	K17
2267	H	1937	D	30		37.0	-5.2		4.2	4939	III	Pruna	D10
2268	R	1938	J	18	051700	36.7	-4.5		3.4	4943	I	Malaga,A 2	D11
2269	R	1938	J	19	224733	37.2	-3.6		3.8	4945	II	Granada,A	E13
2270	R	1938	J	26	222020	36.7	-4.5		4.2	4947	III	Malaga,A	D11

./.

2271	R	1938	F	20	164118	36.7	-4.5		3.8	4948	II	Malaga,A		D11
2272	R	1938	F	22	202301	36.9	-2.5		4.2	4950	III	Almeria,A		D15
2273	R	1938	F	23	043627	36.7	-4.5		3.4	4951	I	Malaga,A		D11
2274	R	1938	R	1	233717	37.2	-3.6		3.4	4952	I	Granada,A		E13
2275	R	1938	R	2	074351	36.4	+2.8		5.4	4953	VI	Chiffa	c	C26
2276	R	1938	R	13	015007	36.7	-4.5		3.4	4954	I	Malaga,A		D11
2277	R	1938	R	30	150606	37.6	-8.2		4.2	4957	sf	C.Verde		H04
2278	R	1938	A	5	192732	38.1	-3.1		3.8	4960	sl	Villacarrillo		J14
2279	R	1938	A	5	191839	37.2	-3.6		3.4	4961	I	Granada,A		E13
2280	R	1938	A	20	020407	36.7	-4.5		3.4	4969	I	Malaga,A	2	D11
2281	H	1938	A	21	2300	37.0	-4.0		4.2	4972	III	Alhama,G		D12
2282	R	1938	Y	16	105628	36.8	-5.5		4.2	4976	III	Prado,R		D09
2283	R	1938	Y	24	191650	37.2	-3.6		3.4	4978	I	Granada,A		E13
2284	R	1938	Y	26	144527	36.9	-4.4		3.8	4981	II	Malaga,P		D12
2285	R	1938	Y	28	031059	36.8	-2.5		3.4	4982	st	Almeria	2	D15
2286	R	1938	U	23	221955	36.9	-2.5		3.4	4985	I	Almeria,A	7	D15
2287	R	1938	L	11	090640	37.1	-3.6		5.0	4993	V	Alhendin		a13
2288	R	1938	L	23	180643	36.7	-4.5		3.4	4997	I	Malaga,A	5	D11
2289	R	1938	L	24	040339	37.2	-3.6		3.4	4998	I	Granada,A		E13
2290	R	1938	S	20	133113	35.0	-5.7		4.2	5015	sf	(Taatoff)	c(")	A09
2291	R	1938	O	7	124038	37.1	-3.6		4.6	5016	IV	Armilla	4	E13
2292	R	1938	O	16	021945	43.3	-3.6	(33)	6.0	5020	VII	Santander	c.m	N13
2293	R	1938	N	6		37.2	-3.6		3.4	5024	I	Granada,A		E13
2294	R	1938	D	12	194626	39.0	+3.4		5.0	5026	V	Baleares,S	c	K27
2295	R	1938	D	19	141829	36.7	-4.5		3.8	5027	II	Malaga,A	3	D11
2296	R	1939	J	2	090319	36.4	-3.3		3.8	5031	sl	M.Alboran ?		C14
2297	R	1939	J	8	090525	38.2	-0.8		4.2	5032	sf	Levante		J19
2298	R	1939	J	8	091121	36.9	-4.4		3.4	5033	I	Malaga,P		D12
2299	R	1939	J	8	100924	36.6	-3.9		4.6	5034	IV	Frigiliana		D13
2300	R	1939	J	23	095203	36.7	-4.5		3.4	5036	I	Malaga,A	2	D11
2301	R	1939	R	21	083943	36.7	-4.5		3.8	5063	II	Malaga,A	10	D11
2302	R	1939	R	27	050846	37.2	-3.7		4.2	5068	III	Santafe	2	E13
2303	R	1939	A	4	144739	36.9	-4.1	11	3.9	5070	III	S.Tejeda ?		D12
2304	R	1939	A	29	075817	36.7	-4.5		3.4	5080	I	Malaga,A	5	D11
2305	R	1939	Y	17	043840	36.8	-2.5	25	3.5	5092	I	Almeria		D15
2306	R	1939	L	28	145421	38.1	-5.8		4.6	5115	IV	Guadalcanal		J09
2307	R	1939	G	13	140614	38.6	-6.8		4.2	5117	sf	Barcarrota	c	K07
2308	R	1939	G	19	223002	36.9	-4.0	15	4.1	5121	III	S.Tejeda	c.40	D12
2309	R	1939	O	2	213829	42.9	-3.6		5.0	5212	V	Villarcayo		U13
2310	R	1939	D	26	220142	36.7	-4.5		3.4	5224	I	Malaga,A		D11
2311	R	1940	J	18	144514	36.7	-4.5		3.8	5229	II	Malaga,A		D11
2312	R	1940	F	23	002008	38.1	-5.8		3.8	5230	II	Guadalcanal		J09
2313	R	1940	R	5	015025	36.5	-5.3	30	6.0	5231	VII	Grazalema	4.c	C10
2314	R	1940	A	11	234301	36.5	-3.6	19	4.2	5238	sl	(Nerja,S)	c	C13
2315	R	1940	A	19	161456	36.7	-4.5		3.4	5239	I	Malaga,A		D11
2316	R	1940	A	25	081152	36.7	-5.0		3.8	5240	sl	S.Ronda	2	D10
2317	R	1940	Y	11	072130	38.8	-0.7	15	3.6	5243	sl	Benejama	c	K19
2318	R	1940	Y	11	072241	36.7	-4.5		3.4	5244	I	Malaga,A		D11
2319	R	1940	Y	16	064757	37.4	-1.9	38	4.1	5245	sl	S.Filabres	c	E17
2320	R	1940	Y	17	021126	36.7	-4.5		3.4	5246	I	Malaga,A		D11

./.

./.

2321	E	1940	Y	22	121022	38.7	-0.8	20	3.8	5247	II	Biar	c	K19
2322	R	1940	U	6	014913	37.2	-3.8		5.0	5248	V	P.Puente	3	E13
2323	R	1940	U	24	022525	37.0	-2.4		3.8	5251	sl	Tabernas		D16
2324	R	1940	U	24	100157	36.7	-4.5		3.4	5252	I	Malaga,A		D11
2325	R	1940	L	2	221318	36.7	-4.5		3.4	5255	I	Malaga,A		D11
2326	E	1940	L	5	205440	36.7	-4.0	45	5.3	5256	V	(Nerja,SW)	4.c	D12
2327	R	1940	L	11	013944	36.7	-4.5		3.4	5260	I	Malaga,A	10	D11
2328	R	1940	G	4	061716	35.0	-4.5		3.4	5276	I	Rif,S		A11
2329	R	1940	G	4	061722	36.7	-4.5		3.4	5277	I	Malaga,A	2	D11
2330	R	1940	G	13	214858	36.9	-4.0		3.8	5281	sl	S.Alhama	2	D12
2331	R	1940	G	15	113250	36.7	-7.1	20	4.2	5283	sf	G.Cadiz ?	3	D06
2332	R	1940	G	17	033400	36.4	-3.3	22	3.8	5285	sl	M.Alboran ?		C14
2333	R	1940	G	17	225815	36.5	-3.0	17	4.9	5286	V	Adra,S		C14
2334	R	1940	G	22	023455	35.9	-5.1	12	3.5	5289	sl	Ceuta	c	B10
2335	E	1940	G	25	002155	38.2	-1.2	25	4.7	5290	IV	Archena	c.m	J18
2336	R	1940	G	25	175337	36.7	-4.5		3.8	5291	II	Malaga,A		D11
2337	R	1940	S	13	064425	38.9	-0.8	40	5.3	5292	V	Mogente	m	K19
2338	R	1940	S	17	225818	36.5	-3.0		4.6	5293	IV	Adra,S		C14
2339	R	1940	S	18		35.0	+3.2		5.4	5294	VI	(Hassi)	c(")	A27
2340	R	1940	O	7	185821	37.1	-3.3		4.2	5297	III	S.Nevada ?		E14
2341	R	1940	O	18	111618	36.7	-4.5		3.4	5299	I	Malaga,A	8	D11
2342	R	1940	N	7	005840	38.0	-0.7	17	4.5	5307	IV	Torrevieja		H19
2343	R	1940	N	20	184102	36.5	-3.5	25	3.9	5309	sl	(Motril,S)		C13
2344	E	1940	N	27	224431	37.3	-1.5	13	5.1	5310	VI	(Aguilas,S)	c	E17
2345	R	1940	N	30	002142	37.0	-3.9	20	4.6	5311	IV	Jayena		D13
2346	R	1940	D	2	123440	36.9	-5.4		4.6	5313	IV	Algodonales		D10
2347	H	1940	D	4	020000	37.2	-1.9		4.2	5314	III	Vera	2	E17
2348	R	1940	D	14	093731	36.7	-4.5		3.4	5316	I	Malaga,A		D11
2349	R	1941	F	17	020531	42.0	-9.5	25	3.5	5321	st	Galicia,SW		S01
2350	H	1941	F	26	17	39.0	-2.5		4.2	5322	III	Bonillo		K15
2351	R	1941	R	10	092630	36.7	-5.4		4.2	5328	III	Villaluenga		D10
2352	R	1941	R	12	071955	38.0	-0.7		3.8	5330	sl	Torrevieja ?	2	H19
2353	H	1941	R	12	1540	37.7	-1.2		4.2	5333	III	F.Alamo		H18
2354	R	1941	A	3	150635	41.0	-1.3	25	3.9	5340	sl	Jiloca ?		P18
2355	R	1941	A	4	024402	37.9	-0.5	12	4.7	5341	V	Torrevieja,SE	3	H19
2356	R	1941	A	4	094632	40.3	-7.5	25	4.3	5342	sf	Guarda	3	N05
2357	R	1941	A	26	045811	38.5	-0.5		3.8	5350	II	Jijona		J19
2358	R	1941	Y	7	090517	36.7	-4.5	9	3.0	5360	I	Malaga,A	2	D11
2359	R	1941	Y	9	083448	36.7	-5.4	30	3.9	5371	sl	Grazalema ?		D10
2360	R	1941	Y	13	175354	36.9	-5.3	30	4.8	5397	IV	Gastor		D10
2361	R	1941	Y	18	132040	38.1	-1.3	18	4.1	5400	III	Ojos	(")	J18
2362	R	1941	Y	23	051524	39.0	-0.5		4.2	5401	III	Jativa		K19
2363	R	1941	Y	30	070446	36.7	-4.5		3.4	5404	I	Malaga,A		D11
2364	R	1941	U	12	135543	36.5	-3.0	25	4.7	5405	IV	Adra,S	3	C14
2365	R	1941	U	17	141806	38.1	-0.9		3.8	5408	II	Orihuela		J19
2366	R	1941	U	26	100853	36.5	-4.4	40	4.5	5412	III	Malaga,S		C12
2367	R	1941	L	20	031321	36.7	-4.5		3.4	5415	I	Malaga,A		D11
2368	R	1941	L	28	025701	38.7	-0.5	28	4.3	5417	III	Alcoy	(")	K19
2369	R	1941	L	28	102601	38.5	-0.5		3.8	5418	II	Jijona		J19
2370	R	1941	G	12	144858	38.1	-0.7	36	4.5	5420	III	Rojales	3	J19

./.

2371	E	1941	G	17	225821	36.5	-3.0	19	4.5	10640	IV	Adra,S	c	C14
2372	E	1941	G	22	204106	37.2	-3.7	6	4.1	5437	IV	Santafe	c(")	E13
2373	R	1941	S	1	194517	38.1	-0.7	20	4.2	5439	III	Rojales		J19
2374	R	1941	S	24	025545	37.0	-4.9		4.6	5444	IV	Campillos		E11
2375	R	1941	O	4	031520	36.7	-4.5		3.4	5449	I	Malaga,A		D11
2376	R	1941	O	7	032555	36.7	-3.0	26	5.1	5450	V	Adra	c	D14
2377	R	1941	O	10	083915	37.1	-4.3	25	3.9	5451	sl	Archidona	c	E12
2378	R	1941	O	14	0141	36.7	-4.5		3.4	5452	I	Malaga,A		D11
2379	R	1941	O	16	104452	37.6	-4.5		3.8	10641	II	Churriana		H11
2380	R	1941	O	19	043452	36.4	-3.3	30	4.3	5454	sf	M.Alboran		C14
2381	R	1941	O	25	133315	36.9	-2.5		3.8	5456	II	Almeria,A		D15
2382	E	1941	O	26	051704	38.2	-1.9	17	5.3	5457	VI	Caravaca	2.c.m(")	J17
2383	R	1941	N	22	090858	37.3	-3.1	10	4.2	5466	IV	Guadix		E14
2384	E	1941	N	24	005356	38.2	-1.9	15	5.2	5468	VI	Caravaca	c.m(")	J17
2385	R	1941	N	25	180624	35.5	-9.5	100	5.7	10642	V	C.Portugal		A01
2386	R	1941	D	6	003356	35.4	-3.0	25	4.7	5470	IV	T.Forcas		A14
2387	R	1941	D	8	084743	36.7	-4.5		3.4	5471	I	Malaga,A	2	D11
2388	R	1941	D	15	095748	38.2	-1.1		4.2	5474	III	Fortuna		J18
2389	R	1941	D	27	181738	35.1	-10.	42	6.2	5475	vs	Atlantic	c	A01
2390	R	1941	D	28	201605	36.7	-4.5		3.4	5476	I	Malaga,A		D11
2391	R	1942	J	11	023733	36.7	-4.5		3.4	5478	I	Malaga,A		D11
2392	R	1942	J	18	121944	38.1	-0.6		3.8	5482	sl	Guardamar ?		J19
2393	R	1942	J	20	075429	37.2	-3.7		4.6	5484	IV	Santafe	c	E13
2394	R	1942	F	3	030436	38.2	-1.4	15	4.0	5497	III	Blanca	2	J18
2395	R	1942	F	8	093436	36.2	+1.6	20	4.2	5499	sf	(O.Fodda)	c	C24
2396	R	1942	F	18	150344	36.9	-4.1	31	4.8	5501	IV	S.Tejeda ?	(")	D12
2397	R	1942	F	21	081450	38.0	-0.7		4.2	5502	III	Torrevieja		H19
2398	R	1942	F	22	041952	38.1	-0.7	12	3.9	5504	III	Rojales		J19
2399	R	1942	F	27	004556	36.7	-4.5		3.4	5506	I	Malaga,A		D11
2400	R	1942	F	28	005643	36.0	-9.0	25	4.3	5507	sf	S.Vicente,S		B02
2401	H	1942	R	1	010930	37.4	-2.0		4.2	5508	III	Huercal		E16
2402	R	1942	R	2	212011	38.1	-0.7		4.2	5509	III	Rojales		J19
2403	R	1942	R	11	223859	36.7	-4.5		3.4	5511	I	Malaga,A		D11
2404	R	1942	R	24	144436	36.4	-3.3	14	3.5	5513	sl	M.Alboran		C14
2405	R	1942	A	10	032543	38.1	-0.8	20	4.2	5515	III	Benejuzar	m	J19
2406	R	1942	A	22	085943	36.7	-4.5		3.4	5517	I	Malaga,A		D11
2407	R	1942	A	24	210124	38.2	-0.5	11	3.8	5519	III	S.Pola		J19
2408	E	1942	A	28	003630	38.1	-1.8	13	4.3	5521	IV	Cehegin	c	J17
2409	R	1942	A	28	080959	37.2	-3.8	30	3.9	5522	sl	Santafe		E13
2410	R	1942	Y	8	082815	41.7	+3.5	12	3.9	5526	sf	(Bagur,E)	c	S27
2411	E	1942	Y	13	133008	36.3	-4.0	27	4.7	5529	IV	Malaga,S	c	C12
2412	R	1942	Y	14	084815	37.3	-1.9		4.6	5530	IV	C.Vera		E17
2413	R	1942	Y	15	182413	36.7	-4.5		3.4	5531	I	Malaga,A		D11
2414	R	1942	Y	20	042026	38.1	-0.6		4.2	5533	III	Guardamar		J19
2415	R	1942	Y	24	153401	36.9	-4.4		3.4	5534	I	Malaga,P		D12
2416	R	1942	Y	27	100457	38.0	-0.7	15	4.0	5536	III	Torrevieja		H19
2417	R	1942	Y	29	224703	36.8	-4.4	26	3.5	5537	I	Malaga,N ?		D12
2418	R	1942	Y	30	085015	36.9	-4.4	36	3.7	5538	I	Malaga,P ?	2	D12
2419	R	1942	U	6	075237	38.0	-0.7	12	3.9	5541	III	Torrevieja		H19
2420	R	1942	U	11	135203	38.4	-0.5		3.4	5543	I	Alicante,A		J19

./.

2421	R	1942	U	16	075437	40.1	-2.5	25	6.3	5544		vt	Castillejo		N15
2422	R	1942	U	18	052808	36.7	-4.5		3.4	5545		I	Malaga,A		D11
2423	R	1942	U	28	233250	36.9	-4.4		3.4	5552		I	Malaga,P		D12
2424	R	1942	L	9	190121	38.1	-0.8	20	4.6	5554		IV	Almoradi		J19
2425	R	1942	L	9	232423	38.2	-1.0	(23)	4.2	5555		III	Abanilla	m	J18
2426	R	1942	L	10	062550	38.8	-0.6	25	4.6	5557		IV	Onteniente	m	K19
2427	R	1942	L	11	031656	37.1	-4.2	25	4.7	5558		IV	Alpujarra ?		E12
2428	E	1942	L	11	031817	38.5	-0.3	40	5.3	5559		V	Albaida	c	J20
2429	R	1942	L	16	215316	36.7	-4.5		3.4	5561		I	Malaga,A		D11
2430	R	1942	L	20	094347	35.3	-4.1	24	3.8	5563		sl	Alhucemas ?		A12
2431	R	1942	L	21	075959	36.7	-4.5		3.4	5564		I	Malaga,A	3	D11
2432	R	1942	L	29	230707	39.0	-2.5	s	3.9	5567		IV	Bonillo		K15
2433	R	1942	L	30	122103	38.1	-0.7	(22)	4.6	5568		IV	Rojales	m	J19
2434	H	1942	L	30	0125	37.4	-2.0		4.2	5569		III	Huercal		E16
2435	R	1942	G	5	105335	38.1	-0.7	9	4.1	5571		IV	Rojales	m(")	J19
2436	R	1942	G	21	122806	37.1	-4.2	15	4.0	5576		III	Alpujarra		E12
2437	R	1942	G	23	224218	37.0	-4.0	19	3.7	5578		sl	S.Tejeda	c	D12
2438	R	1942	S	3	161157	36.6	-5.5	10	4.2	5584		IV	Ubrique		D09
2439	R	1942	S	7	233241	36.7	-4.5		3.4	5586		I	Malaga,A		D11
2440	H	1942	S	18	021500	37.1	-2.1		4.6	5593		IV	Sorbas		E16
2441	R	1942	S	19	054739	38.9	-0.6		4.2	5596		III	F.Higuera		K19
2442	R	1942	O	9	132023	38.1	-0.6		4.2	5600		III	Guardamar		J19
2443	E	1942	O	14	082553	38.8	-0.9	25	5.1	5601		V	F.Higuera	3.c	K19
2444	R	1942	O	14	223541	38.8	-1.8	36	4.8	5605		IV	C.Nao		K17
2445	R	1942	O	22	141647	38.4	-0.5		3.4	5608		I	Alicante,A		J19
2446	R	1942	O	24	155657	37.0	-4.0	22	4.6	5609		IV	Alhama,G	(")	D12
2447	R	1942	O	27	142653	37.5	-3.9		4.2	5610		sf	Jaen	c	E13
2448	R	1942	O	29	105621	37.7	-1.3	20	3.8	5611		II	Carrascon		H18
2449	R	1942	O	30	094242	38.4	-0.5		3.4	5612		I	Alicante,A		J19
2450	R	1942	N	1	230607	37.0	-4.0	42	4.1	5613		sl	Alhama,G	13	D12
2451	H	1942	N	3		38.0	-0.7		4.2	5626		III	Torrevieja		H19
2452	R	1942	N	7	141801	38.4	-0.5		3.4	5629		I	Alicante,A		J19
2453	R	1942	N	11	115518	36.7	-4.5		3.4	5630		I	Malaga,A	2	D11
2454	R	1942	N	23	020334	38.2	-0.5		3.8	5635		II	S.Pola		J19
2455	R	1942	N	24	014409	38.3	-0.8	45	4.5	5636		III	Aspe		J19
2456	R	1942	N	24	024441	39.0	-0.5	30	4.8	5637		IV	Jativa		K19
2457	R	1942	N	25	225514	36.1	-5.5		4.6	5638		IV	Algeciras		C09
2458	R	1942	N	26	214122	38.3	-0.8	45	5.0	5639		IV	Aspe		J19
2459	R	1942	D	1	221834	38.3	-0.8	45	4.5	5641		III	Aspe	7	J19
2460	R	1942	D	19	190457	36.7	-4.5		3.4	5653		I	Malaga,A	3	D11
2461	R	1942	D	20	075535	39.0	0	30	4.3	5656		III	Gandia,E		K20
2462	E	1942	D	21	015316	37.0	-3.0	15	4.1	5657		III	Ugijar	4.c(")	D14
2463	R	1942	D	25	121908	38.4	-0.5	7	3.3	5659		II	Alicante,A		J19
2464	R	1943	J	5	134419	37.0	-2.5	15	4.0	5662		III	Gador		D15
2465	R	1943	J	15	154412	36.7	-4.5		3.4	5670		I	Malaga,A	3	D11
2466	E	1943	J	19	215923	37.1	-4.0	21	5.0	5679		V	Alhama,G	4.c(")	E12
2467	R	1943	J	21	144621	38.4	-0.8	13	4.3	5684		IV	Novelda	m(")	J19
2468	R	1943	J	24		36.7	-4.5		3.4	5685		I	Malaga,A	4	D11
2469	R	1943	F	4	170726	38.0	0		4.2	5693		III	Alicante,SE		H20
2470	R	1943	F	5	080723	38.4	-0.8		3.8	5694		II	Novelda ?	4	J19

./.

2471	R	1943	F	8	143701	38.4	-0.5		3.4	5704		I	Alicante,A	6	J19
2472	R	1943	F	16	032855	37.2	-3.6	20	4.2	5715		III	Granada,A		E13
2473	R	1943	F	26	120720	36.6	-5.5	(2)	4.3	5720		V	Ubrique	(")	D09
2474	R	1943	R	1	100738	38.4	-0.5		3.8	5723		II	Alicante,A	13	J19
2475	R	1943	R	21	015625	38.2	-0.5	15	4.0	5746		III	S.Pola		J19
2476	R	1943	R	26	050236	41.7	+3.0	25	4.6	5748		IV	Blanes,E	m	S26
2477	E	1943	A	7	123256	38.1	-1.3	17	4.5	5756		IV	Lorqui	3.c.m(")	J18
2478	R	1943	A	16	114324	36.1	+4.5	36	4.8	5762		in	(Chourchot)	c	C29
2479	R	1943	Y	1	125537	38.4	-0.5		3.4	5785		I	Alicante,A		J19
2480	R	1943	Y	3	083237	38.4	-0.8		3.4	5788		I	Novelda		J19
2481	E	1943	Y	3	115830	37.9	-2.4	33	4.8	5790		IV	Fadrique	2.c	H16
2482	R	1943	Y	5	073246	38.4	-0.5		3.4	5791		I	Alicante,A	2	J19
2483	R	1943	Y	6	012940	37.8	-2.5	21	4.2	5796		IV	Huescar	(")	H15
2484	R	1943	Y	6	204614	37.3	-1.9	15	4.8	5799		V	C.Almanzora	2.m	E17
2485	R	1943	Y	16	090243	36.7	-4.5		3.4	5807		I	Malaga,A	4	D11
2486	E	1943	U	1	231350	37.2	-3.6	8	4.8	5814		V	Santafe	3.c(")	E13
2487	R	1943	U	2	011625	36.7	-4.5		3.4	5215		I	Malaga,A	2	D11
2488	R	1943	U	2	053521	36.7	-5.4		3.8	5818		sl	Grazalema ?		D10
2489	E	1943	L	1	055127	37.2	-1.5	17	4.5	5861		IV	Almanzora	c(")	E17
2490	R	1943	L	17	222233	36.9	-4.4	24	3.5	5871		I	Malaga,F		D12
2491	R	1943	G	9	045027	36.6	-1.7	27	5.1	5893		V	Tobarra		K17
2492	R	1943	G	11	195040	36.7	-4.5		3.4	5895		I	Malaga,A	6	D11
2493	R	1943	G	18	215316	36.8	-3.4	17	3.7	5909		sl	(Durcal)	c	D14
2494	E	1943	S	15	095418	38.0	-4.5	26	5.1	5952		V	Montoro	c(")	H11
2495	R	1943	S	23	153044	36.7	-4.5		3.4	5956		I	Malaga,A	4	D11
2496	R	1943	S	27	0510	37.1	-2.1		4.6	5963		IV	Sorbas		E16
2497	E	1943	O	8	101350	37.4	-3.2	19	4.6	5969		IV	Fonelas	c(")	E14
2498	R	1943	O	22	134310	38.4	-0.8		3.8	5974		II	Novelda		J19
2499	E	1943	O	27	211938	37.4	-2.8	15	4.4	5976		IV	Canjayar	c(")	E15
2500	R	1943	O	30	143846	37.0	-2.8	12	3.9	5978		sf	Canjayar	c	D15
2501	R	1943	N	2	005024	38.0	-4.3	57	5.1	5980		IV	V.Rio	2	H12
2502	R	1943	N	11	225707	37.3	-1.2	25	5.1	5995		V	Garrucha	m	E18
2503	R	1943	D	1	144104	38.2	-0.5		3.8	6009		II	S.Pola		J19
2504	R	1943	D	3	204920	36.7	-4.5		3.4	6018		I	Malaga,A	10	D11
2505	E	1943	D	26	134215	43.0	-0.2	36	5.7	6038		VI	(Argeles)	c	U20
2506	R	1943	D	30	142722	38.4	-0.5		3.4	6040		I	Alicante,A	2	J19
2507	R	1944	J	4	144922	38.4	-0.5		3.4	6043		I	Alicante,A	2	J19
2508	R	1944	J	5	204537	36.2	-4.1	14	3.5	6045		sl	M.Alboran	c	C12
2509	R	1944	J	6	112946	38.1	-0.7	25	3.9	6047		II	Rojales	7	J19
2510	R	1944	J	7	123048	38.1	-0.7	22	4.2	6048		III	Rojales		J19
2511	R	1944	J	11	005509	38.1	-0.6		3.4	6065		I	Guardamar ?		J19
2512	R	1944	J	15	031142	36.7	-4.5		3.4	6070		I	Malaga,A		D11
2513	R	1944	J	22	085906	38.1	-0.6	10	3.0	6076		I	Guardamar	3	J19
2514	E	1944	J	27	015445	37.6	-4.4	24	5.1	6083		V	Mencia	c	H12
2515	R	1944	J	27	015619	38.1	-1.3		3.8	6084		II	Archena		J18
2516	R	1944	J	27	104520	36.4	-0.5		3.4	6085		I	Alicante,A	2	J19
2517	E	1944	F	4	132152	41.2	-1.3	25	5.4	6088		VI	(Villarreal)	2.c	R18
2518	R	1944	F	8	153441	40.4	-2.9		3.4	6093		st	Pastrana		N15
2519	E	1944	F	16	035848	37.4	-2.5	28	5.1	6102		V	Purchena	c(")	E15
2520	E	1944	F	23	223410	38.2	-1.1	17	5.8	6106		VII	Fortuna	c.m(")	J18

./. ./.

2521	R	1944	R	7	145143	38.4	-0.5		3.4	6110	I	Alicante,A	4	J19
2522	E	1944	R	23	171706	35.0	-3.3	28	4.7	6128	IV	(Azib)	c(")	A14
2523	R	1944	A	2	075904	36.7	-4.5		3.4	6136	I	Malaga,A		D11
2524	R	1944	A	6	093507	38.4	-0.5		3.4	6139	I	Alicante,A		J19
2525	E	1944	A	16	221111	35.0	-3.3	21	4.6	6152	IV	Azib	c	A14
2526	R	1944	A	19	100629	36.7	-4.5		3.4	6154	I	Malaga,A		D11
2527	R	1944	A	25	092919	38.4	-0.5		3.4	6157	I	Alicante,A		J19
2528	H	1944	A	27	055500	37.3	-2.2		4.2	6159	III	Albox		E16
2529	R	1944	Y	6	061208	38.4	-0.5		3.4	6163	I	Alicante,A		J19
2530	R	1944	Y	18	112423	37.2	-3.7	7	4.1	6181	IV	Santafe ?	(")	E13
2531	R	1944	U	15	160055	36.9	-4.4	20	3.8	6199	II	Malaga,P		D12
2532	H	1944	L	25	1240	37.3	-2.2		3.4	6220	IV	Albox		E16
2533	R	1944	L	25	173550	38.4	-0.5		3.4	6221	I	Alicante,A		J19
2534	H	1944	G	6	093300	37.3	-2.0		3.4	6234	IV	Zurgena	2	E16
2535	R	1944	G	14	073900	38.4	-0.5		3.4	6243	I	Alicante,A	2	J19
2536	R	1944	G	28	080032	38.9	-6.5	10	4.6	6258	V	S.Servan	3	K07
2537	R	1944	S	8	090143	38.1	-0.5		4.2	6263	III	Guardamar,E		J19
2538	R	1944	S	20	031001	38.4	-0.5		3.4	6269	I	Alicante,A		J19
2539	R	1944	S	25		38.5	-0.8		4.2	6272	III	Salinas		J19
2540	E	1944	S	30	171333	37.0	-4.1	24	5.4	6275	VI	Zafarraya	c(")	D12
2541	E	1944	O	5	192510	37.0	-3.1	33	4.8	6277	IV	(Ugijar)	c	D14
2542	R	1944	O	11	042712	38.8	-0.6	30	4.3	6281	III	Onteniente		K19
2543	R	1944	O	18	005437	36.8	-3.0	21	3.8	6287	II	Berja		D14
2544	R	1944	O	19	183038	36.9	-4.4	20	4.2	6288	III	Malaga,P ?		D12
2545	H	1944	O	22	1700	37.3	-2.0		4.2	6289	III	Zurgena		E16
2546	R	1944	O	27	104631	38.1	-0.6		3.4	6291	I	Guardamar ?	2	J19
2547	E	1944	N	1	143548	39.0	-0.8	20	4.6	6294	IV	Enguera	c	K19
2548	R	1944	N	2		36.7	-4.5		3.4	6298	I	Malaga,A		D11
2549	R	1944	N	9	130457	38.1	-0.9		4.2	6305	III	Orihuela	3	J19
2550	H	1944	N	16		39.2	-2.2		4.2	6312	III	Roda		L16
2551	R	1944	N	25	235418	43.7	-10.	23	5.0	6317	V	Coruña,W	(")	X01
2552	R	1944	N	28	043531	38.2	-0.5		3.8	6318	II	S.Pola		J19
2553	R	1944	D	1	181201	38.1	-0.8	4	3.8	6320	IV	Benejuzar		J19
2554	R	1944	D	5	113423	36.9	-2.5		3.8	6321	II	Almeria,A		D15
2555	E	1944	D	10	053001	37.5	-3.6	14	4.3	6322	IV	Huelma	c(")	E13
2556	R	1944	D	10	053119	38.0	-1.2		4.6	6323	IV	Cotillas		H18
2557	R	1944	D	11	002124	38.1	-1.3	16	4.9	6325	V	Ojos		J18
2558	H	1944	D	11	1055	37.2	-1.9		4.2	6326	III	Vera		E17
2559	R	1944	D	16	223836	38.1	-0.7		4.2	6328	III	Rojales		J19
2560	E	1944	D	21	043527	37.5	-3.6	21	5.4	6330	VI	Huelma	c(")	E13
2561	H	1945	J	16	2335	37.0	-2.2		4.2	6338	III	Nijar		D16
2562	H	1945	J	17	0120	36.8	-2.9		4.2	6339	III	Dalia		D15
2563	E	1945	J	19	014048	37.1	-3.8	7	3.7	6341	III	Huelma	c(")	E13
2564	R	1945	J	19	094217	37.1	-4.4	12	3.9	6347	III	Archidona		E12
2565	R	1945	J	31	173257	38.8	-0.6	(42)	4.1	6352	II	Onteniente	3.m	K19
2566	R	1945	F	3	054959	38.2	-0.8		3.8	6356	II	Dolores		J19
2567	R	1945	F	19	235923	38.7	-9.4		4.2	6365	sf	Lisboa,W		K02
2568	R	1945	R	2	004923	38.2	-0.5		3.4	6366	I	S.Pola		J19
2569	R	1945	R	5	110240	38.1	-0.7	15	3.6	6368	II	Rojales	2	J19
2570	R	1945	R	7	102706	38.4	-0.5		3.4	6371	I	Alicante,A		J19

./.

2571	R	1945	R	14	124309	38.2	-0.5		3.4	6378	I	S.Pola	J19
2572	R	1945	R	17	082717	36.7	-2.4		3.4	6379	I	G.Almeria 2	D16
2573	E	1945	R	23	121346	37.3	-2.0	14	4.3	6383	IV	Almanzora c	E16
2574	R	1945	R	24	045822	36.7	-2.4	20	3.8	6385	II	G.Almeria ?	D16
2575	R	1945	R	28	085752	37.4	-2.0	13	3.9	6387	III	Huercal	E16
2576	R	1945	A	17	080658	36.9	-2.5	12	3.9	6406	III	Almeria,A (")	D15
2577	R	1945	A	20	014352	37.7	-3.5		4.6	6415	IV	Huelma	H13
2578	R	1945	A	27	144356	36.7	-0.6	43	4.1	6422	sl	Mediterranean c(")	D19
2579	R	1945	Y	6	182438	35.4	-2.9	31	3.9	6424	sl	(Chafarinas) c	A15
2580	E	1945	Y	14	063332	38.5	-1.3	17	5.3	6428	VI	Yecla c.m(")	J18
2581	R	1945	Y	15	115609	40.2	-1.7	26	3.9	6429	sl	Valdemeca c	N17
2582	R	1945	Y	17	181702	36.4	-3.3	14	3.5	6430	sl	M.Alboran	C14
2583	R	1945	Y	20	014611	38.7	-1.7		3.8	6436	sl	C.Nao,S ?	K17
2584	R	1945	U	3	004415	35.5	-3.0	21	4.2	6445	sf	T.Forcas,N	A14
2585	R	1945	U	5	152055	37.7	-3.5	20	5.0	6447	V	Huelma (")	H13
2586	R	1945	U	16	120944	37.7	-3.5	18	4.5	6448	IV	Huelma	H13
2587	R	1945	U	17	094400	36.7	-8.8	21	3.8	6450	sl	S.Vicente,S c	D03
2588	R	1945	U	22	113147	38.3	-0.7		3.8	6454	II	Elche	J19
2589	E	1945	L	1	031804	38.8	-0.6	28	5.9	6460	VII	Onteniente 5.c.m(")	K19
2590	R	1945	L	9	235702	41.3	+2.2		3.4	6467	I	Barcelona	R25
2591	R	1945	L	14	131550	36.8	-2.5	12	3.1	6468	I	Almeria	D15
2592	H	1945	L	15		41.3	+1.6		3.8	6469	sl	Cataluña,S	R24
2593	R	1945	L	17	103932	41.4	+1.5		4.6	6472	IV	R.Anoya	R23
2594	R	1945	L	22	085603	38.2	-0.5		3.4	6474	I	S.Pola	J19
2595	R	1945	G	7	052853	38.3	-0.7		3.8	6478	II	Elche	J19
2596	R	1945	G	22	120107	37.2	-3.6		3.4	6484	I	Granada	E13
2597	R	1945	G	24	044503	39.0	-0.2	35	4.4	6487	III	Gandia 2	K29
2598	R	1945	G	24		35.0	-3.5		4.2	6488	III	Azib	A13
2599	R	1945	G	27	203604	35.0	-3.5	18	4.1	6492	III	Azib	A13
2600	R	1945	G	31	112009	38.2	-0.5		3.8	6493	II	S.Pola ?	J19
2601	E	1945	S	19	064804	35.6	-4.6	12	4.7	6513	V	Peñon c	B11
2602	R	1945	S	21	080417	38.4	-0.5		3.4	6515	I	Alicante,A	J19
2603	R	1945	O	8	215124	38.4	-0.3		4.2	6522	III	Alicante,E 2	J20
2604	R	1945	O	22	131335	42.4	+1.2	(20)	5.4	6529	VI	Pegueza m(")	T23
2605	R	1945	O	23	023046	38.0	-0.5	25	4.3	6530	III	Torrevieja,E	H19
2606	R	1945	O	26	124335	38.1	-0.7	15	4.0	6531	III	Rojales	J19
2607	R	1945	O	26	183316	36.7	-4.5	10	3.4	6532	II	Malaga,A	D11
2608	R	1945	N	8	141854	36.7	-4.5		3.4	6536	I	Malaga,A	D11
2609	R	1945	N	16	214328	38.1	-0.8	(8)	4.1	6542	IV	Benejuzar 3.m	J19
2610	R	1945	D	3	091624	38.4	-0.5		3.4	6560	I	Alicante,A	J19
2611	R	1945	D	12	041258	37.2	-3.7	20	4.2	6575	III	S.Elvira ?	E13
2612	R	1945	D	20	083831	38.4	-0.5		3.4	6585	I	Alicante,A	J19
2613	R	1946	J	1	091650	38.4	-0.5		3.4	6587	I	Alicante,A	J19
2614	H	1946	J	15	1127	37.9	-6.6		4.6	6600	IV	Umbria	H07
2615	R	1946	J	23	015158	41.6	+2.1	(ms)	-	6603	III	Valles	S25
2616	R	1946	J	25	202911	38.9	-2.5	15	3.6	6604	sl	(Pechina) 2	D15
2617	R	1946	F	2	163340	38.3	-0.4	20	4.2	6609	III	Alicante,SE	J20
2618	R	1946	F	6	051758	36.7	-2.4	18	3.8	6610	sl	(G.Almeria) c	D16
2619	R	1946	F	8	195118	42.5	+1.0	25	4.7	6611	IV	Estangento	T22
2620	H	1946	F	9	2325	37.2	-7.2		4.6	6614	IV	Lepe	E06

./.

2621	R	1946	F	10	160240	38.3	-0.4		3.4	6618		I	Alicante,SE		J20
2622	R	1946	F	11	025850	38.3	-0.4	s	3.1	6619		II	Alicante,SE		J20
2623	R	1946	F	12	024241	35.8	-4.8	25	5.4	6621		sg	(M.Alboran)	c	B11
2624	R	1946	R	5	063016	38.0	-0.9		4.2	6630		III	Bigastro		H19
2625	R	1946	A	17	181032	38.3	-0.4		3.4	6663		I	Alicante,SE		J20
2626	R	1946	A	25	221655	38.3	-0.4		3.8	6665		II	Alicante,SE ?		J20
2627	E	1946	Y	14	122120	37.9	-1.2	22	5.4	6683		VI	(Alcantarilla)	c.m	H18
2628	R	1946	U	4	162349	37.2	-3.6	2	3.0	6695		III	Granada,A	2	E13
2629	E	1946	U	9	131105	37.3	-3.2	17	4.9	6711		V	Guadix	2.c.m(")	E14
2630	E	1946	U	9	131538	38.4	-0.4	12	3.5	6713		II	Alicante,NE		J20
2631	E	1946	L	3	040440	38.5	-0.3	15	4.8	6723		V	Villajoyosa	9.c.m(")	J20
2632	R	1946	L	11	024218	36.4	-3.3		4.6	6738		IV	M.Alboran ?		C14
2633	H	1946	L	12		35.3	-3.0		4.2	6743		III	Melilla		A14
2634	R	1946	L	23	100515	38.4	-0.5		3.4	6757		I	Alicante,A		J19
2635	R	1946	G	2	163532	37.5	+0.5	16	4.1	6765		III	Mediterranean		E21
2636	R	1946	G	17	125837	36.7	-4.5		3.4	6775		I	Malaga,A		D11
2637	R	1946	G	30	194523	38.1	-1.3	20	4.2	6777		III	Archena	m	J18
2638	R	1946	G	31	084143	38.3	-0.4		3.8	6778		II	Alicante,SE ?		J20
2639	R	1946	S	5	080923	37.1	-5.5	18	4.5	6779		IV	Moron	(")	E09
2640	R	1946	S	7	065846	38.1	-0.8		3.8	6780		II	Montesinos		J19
2641	E	1946	S	9	172618	36.4	+4.0	15	5.6	6782		VII	Esnam	c	C28
2642	R	1946	S	13	190608	38.1	-0.8	s	3.1	6783		II	Montesinos		J19
2643	E	1946	S	16	000719	38.1	-0.7	30	4.3	6784		III	Rojales		J19
2644	R	1946	S	21	164227	36.5	-4.4	18	4.1	6788		III	Malaga,S		C12
2645	R	1946	S	30	222718	37.9	-0.5		4.6	6792		IV	Torrevieja,SE	m	H19
2646	E	1946	O	2	030259	35.0	-3.3	21	5.0	6793		V	Tiztutin	c(")	A14
2647	R	1946	O	5	232221	38.5	-0.1	20	4.2	6795		III	Villajoyosa,E		J20
2648	R	1946	O	9	083914	38.5	-0.8	(29)	4.3	6796		III	Salinas	5.m	J19
2649	R	1946	O	15	092422	37.9	-0.5	18	4.5	6803		IV	Torrevieja,SE		H19
2650	H	1946	O	22	2317	37.9	-6.6		4.2	6804		III	Umbria		H07
2651	R	1946	O	24	010457	38.1	-0.7	18	4.5	6805		IV	Higuera,R		J07
2652	H	1946	N	8	2304	42.4	+1.0		4.2	6810		III	Capdella		T22
2653	R	1946	N	27	094733	38.4	-0.5		3.4	6812		I	Alicante,A	2	J19
2654	E	1946	N	28	142528	38.1	-0.7	s	-	6814		I	Torrevieja	6.c	J19
2655	E	1946	N	29	182144	36.8	-2.7	21	5.0	6819		V	Roquetas	2.c.m(")	D15
2656	H	1946	D	6	0330	37.4	-2.4		4.2	6821		III	Somontin		E16
2657	R	1946	D	23	232720	35.1	-3.1	20	4.6	6832		IV	Segangan	2	A14
2658	R	1947	J	1	144816	35.9	-4.4	23	3.8	6840		sl	M.Alboran	c	B12
2659	R	1947	J	23	063107	36.9	-4.1	5	3.9	6846		IV	S.Tejeda		D12
2660	R	1947	J	29	184718	35.9	-8.0	32	4.3	6848		sf	S.Vicente,S	c	B04
2661	H	1947	F	5	2053	42.4	+1.0		4.2	6853		III	Capdella	2	T22
2662	E	1947	F	10	232200	37.3	-2.3	30	4.8	6855		IV	Almanzora	c(")	E16
2663	R	1947	F	17	001406	42.7	+5.0		4.6	6862		IV	G.Leon ?		U30
2664	H	1947	F	17	0420	37.0	-3.6		3.8	6861		II	Durcal		D13
2665	R	1947	F	18	172019	37.4	-7.1		4.2	6863		III	S.Bartolome		E06
2666	R	1947	F	20	114707	38.6	-0.5		3.4	6864		I	Alicante	4	K19
2667	R	1947	F	26	142934	37.2	-3.6		3.8	6869		sl	Granada		E13
2668	R	1947	F	27	204027	35.6	-5.3		4.2	6870		III	Atajate		B10
2669	R	1947	R	4	032956	38.4	-0.3		3.4	6871		I	Alicante,E ?		J20
2670	R	1947	R	18	225426	37.1	-4.2	12	4.3	6888		IV	Alpujarra ?	3(")	E12

./.

2671	R	1947	R	25	091141	41.4	+2.1		3.8	6894		II	Barcelona,A		R25
2672	R	1947	R	29	190408	37.2	-3.6		3.8	6895		sl	Granada	2	E13
2673	R	1947	A	8	101137	38.4	-0.5		3.4	6900		I	Alicante,A		J19
2674	R	1947	A	13	103744	37.2	-3.6	7	4.1	6904		IV	Atarfe ?	6	E13
2675	R	1947	A	19	050416	37.2	-3.6		3.8	6913		II	Granada		E13
2676	R	1947	A	26	104034	38.1	-0.7	7	3.3	6921		II	Rojales		J19
2677	H	1947	A	27	0830	36.9	-2.3		4.2	6922		III	C.Medinas		D16
2678	R	1947	A	28	070624	38.0	+2.5	30	4.3	6923		sf	Baleares,S	c(")	H25
2679	R	1947	A	29	063956	38.7	-0.5	18	4.1	6924		III	Alcoy		K19
2680	R	1947	Y	7	105131	38.3	-0.4		3.4	6930		I	Alicante,SE		J20
2681	H	1947	Y	14	2030	36.8	-2.9		4.2	6933		III	Dalias		D15
2682	R	1947	Y	15	024424	38.2	-6.0		4.2	6934		III	Llerena		J08
2683	R	1947	Y	21	144759	38.4	-0.5		3.4	6936		I	Alicante,A		J19
2684	R	1947	Y	30	222531	35.7	-2.3	23	3.8	6945		sl	T.Forcas,NE	c	B16
2685	R	1947	U	6	112452	38.5	-1.8	2	3.1	6946		III	Jumilla		J17
2686	R	1947	U	7	155631	36.7	-2.4	21	4.6	6948		IV	G.Almeria		D16
2687	R	1947	U	9	073918	38.2	-0.5	6	3.3	6950		sl	Alicante,SE	c.m(")	J19
2688	E	1947	U	9	171412	37.1	-2.7	21	5.0	6951		V	Alboloduy	c	E15
2689	R	1947	U	14	160725	38.4	-0.5		3.4	6953		I	Alicante,A		J19
2690	R	1947	L	27	023208	38.8	-0.6	27	5.1	6971		V	Onteniente	2.m	K19
2691	R	1947	L	30	171944	38.4	-0.5		3.4	6973		I	Alicante,A		J19
2692	R	1947	G	8	150835	38.3	-0.4		3.4	6980		I	Alicante,SE	?	J20
2693	E	1947	G	28	064017	38.3	-0.7	16	4.5	6987		IV	Elche	2.c.m	J19
2694	R	1947	S	6	204112	38.1	-1.3		4.2	6993		III	S.Medio		J18
2695	R	1947	S	13	231223	38.3	-0.7	8	4.1	6995		IV	Elche	4.m	J19
2696	E	1947	S	18	132923	37.2	-2.2	12	4.3	7000		IV	Almanzora	c.m	E16
2697	R	1947	S	19	103533	35.8	-2.1	19	3.7	7001		sl	Mediterranean	c	B16
2698	R	1947	S	20	081822	35.3	-3.0	20	4.2	7002		III	Melilla		A14
2699	R	1947	S	23	201815	37.2	-3.6		3.8	7004		sl	Granada		E13
2700	R	1947	S	26	235340	38.1	-0.8	17	4.9	7005		V	Jacarilla	(")	J19
2701	E	1947	O	2	203433	38.5	-9.9	22	5.0	7006		V	Lisboa,W	c	J01
2702	R	1947	O	16	012223	36.6	-6.2	20	4.2	7007		III	P.S.Maria		D08
2703	R	1947	O	17	172631	38.3	-0.4	10	3.0	7008		I	Alicante,SE	3	J20
2704	R	1947	N	13	155010	38.1	-0.7		3.8	7027		II	Rojales		J19
2705	R	1947	N	18	151149	38.3	-0.7	8	3.0	7029		I	Elche		J19
2706	R	1947	N	18	162406	38.0	-0.7	15	4.0	7030		III	Torrevieja		H19
2707	E	1947	N	24	171007	37.6	-6.4	22	5.0	7034		V	(S.Aracena,SE)	c.m(")	H08
2708	R	1947	N	24	171119	35.1	-4.0	20	3.8	7035		sl	Rif	c	A12
2709	R	1947	D	4	125244	38.4	-0.5		3.4	7037		I	Alicante,A		J19
2710	R	1947	D	6	111828	41.8	+1.8		3.8	7038		II	Sitges	3	S24
2711	R	1947	D	12	171941	38.3	-0.7	8	3.3	7041		II	Elche		J19
2712	R	1947	D	13	000653	42.8	+1.2		5.0	7042		V	(Oust)	m	U23
2713	R	1947	D	16	084140	38.3	-0.7		3.8	7043		sl	Elche		J19
2714	R	1947	D	16	121132	37.0	-0.3	23	3.8	7044		sl	C.Palos,SE	c	D20
2715	E	1947	D	26	230911	37.4	-2.5	20	5.0	7049		V	Almanzora	c.m	E15
2716	R	1948	J	2	154752	38.3	-0.4	25	3.9	7050		II	Alicante,SE		J20
2717	R	1948	J	6	120045	36.1	-3.2	25	3.9	7057		sl	M.Alboran	c(")	C14
2718	H	1948	J	6	2330	42.6	+1.1		4.6	10643		IV	Esterri		U23
2719	E	1948	J	8	010602	37.1	-3.8	11	4.2	7058		IV	(Escuzar)	c	E13
2720	R	1948	J	11	015354	38.3	-0.4	7	3.7	7059		III	Alicante,SE	3	J20

./.

2721	R	1948	J	12	084506	37.7	-3.5	10	4.6	7061	V	Huelma	3	H13
2722	R	1948	J	13	053417	38.4	-0.5		3.4	7064	I	Alicante,A		J19
2723	R	1948	J	18	185918	36.7	-2.4	12	3.1	7069	I	G.Almeria		D16
2724	R	1948	J	23	083709	37.3	-2.2	21	4.6	7070	IV	Albox		E16
2725	H	1948	F	2	023200	37.9	-6.6		4.2	7074	III	Umbria		H07
2726	R	1948	F	16	024628	36.3	-4.4	16	3.7	7077	sl	M.Alboran	c	C12
2727	R	1948	F	21	153845	38.3	-0.7		3.4	7080	I	Elche ?		J19
2728	E	1948	F	16	114035	43.0	-0.1		5.0	7094	V	(Pirineo,C)	c	U20
2729	R	1948	F	24	211839	37.2	-3.7	5	-	7097	I	Santafe		E13
2730	R	1948	F	25	084201	37.3	-2.2	23	4.2	7098	III	Albox		E16
2731	R	1948	F	30	184038	38.0	-0.5	15	3.6	7100	III	Torrevieja,E	4	H19
2732	R	1948	A	5	075123	38.4	-0.5		3.4	7108	I	Alicante,A	2	J19
2733	R	1948	A	11	202846	38.3	-0.4		3.8	7118	II	Alicante,SE	2	J20
2734	R	1948	A	19	184942	37.3	-2.2	10	3.8	7130	III	Albox		E16
2735	H	1948	A	21	041500	35.1	-3.1		3.8	7131	sl	Segangan		A14
2736	R	1948	A	28	134940	38.3	-0.4		3.4	7138	I	Alicante,SE		J20
2737	R	1948	Y	5	115226	36.4	-3.3		3.8	7143	sl	M.Alboran	2	C14
2738	R	1948	Y	10	114245	38.3	-0.4		3.4	7148	I	Alicante,SE	?	J20
2739	R	1948	Y	24	062455	37.0	-5.2	20	4.2	7163	III	Algamitas	2	D10
2740	R	1948	Y	25	104916	42.4	+1.5	ms	3.3	10644	IV	S.Urgel	3	T23
2741	R	1948	U	2	015212	38.1	-1.3	14	3.9	7168	III	Archena		J18
2742	E	1948	U	23	034355	38.6	-1.4	12	6.0	7178	VIII	Cehegin	6.c.m(")	K18
2743	R	1948	L	2	113742	38.3	-0.4		3.4	7187	I	Alicante,SE		J20
2744	R	1948	L	3	073148	38.1	-0.6		3.4	7188	I	Guardamar	2	J19
2745	R	1948	L	10	190522	38.0	-0.5		4.2	7192	III	Torrevieja,E		H19
2746	R	1948	L	12	130140	38.4	-0.5		3.4	7193	I	Alicante,A		J19
2747	R	1948	G	2	043648	38.1	-1.3		3.8	7201	sl	S.Medio		J18
2748	R	1948	G	10	150539	38.4	-0.5		3.4	7203	I	Alicante,A		J19
2749	R	1948	G	12	230304	40.2	-8.5		5.4	7205	VI	Coimbra		N03
2750	R	1948	G	19	115946	38.3	-0.4		3.8	7206	II	Alicante,SE		J20
2751	R	1948	G	19	144250	38.4	-0.5		3.4	7207	I	Alicante,A		J19
2752	R	1948	S	8	104501	37.2	-3.6		3.8	7211	sl	Granada		E13
2753	H	1948	S	27	1445	38.4	-5.8		4.2	7215	III	Valverde		J09
2754	R	1948	O	8	073306	38.3	-0.4		3.8	7219	II	Alicante,SE ?	3	J20
2755	R	1948	O	20	144928	37.2	-3.6		3.4	7222	I	Granada		E13
2756	R	1948	O	27	023854	37.3	-3.1	10	3.4	7225	II	Guadix		E14
2757	R	1948	N	15	215345	38.1	-3.6	15	3.6	7240	sl	Linares		J13
2758	R	1948	N	18	093451	42.0	-9.5		3.4	7242	I	Galicia,SW ?		S01
2759	R	1948	N	18	164651	38.4	-0.5		3.4	7243	I	Alicante,A	3	J19
2760	R	1948	D	28	191810	36.7	-2.4	25	3.9	7259	sl	G.Almeria		D16
2761	R	1948	D	29	042959	37.2	-3.6		3.8	7260	sl	Granada		E13
2762	R	1948	D	30	050406	38.3	-0.4		3.4	7261	I	Alicante,SE		J20
2763	R	1949	J	8	164014	38.5	-0.1		3.8	7265	II	Villajoyosa	3	J20
2764	H	1949	J	9	0213	42.4	+1.0	ms	-	10645	III	Capdella		T22
2765	R	1949	J	22	172112	38.4	-0.5		3.4	7269	I	Alicante,A		J19
2766	E	1949	J	28	210649	37.4	-2.4	25	4.6	7277	IV	Albox	c(")	E16
2767	R	1949	J	30	084246	38.4	-0.5		3.4	7278	I	Alicante,A		J19
2768	R	1949	F	3	155949	38.3	-0.4		3.8	7279	II	Alicante,SE		J20
2769	R	1949	F	4	003142	37.9	-6.6		3.8	7280	sl	Umbria		H07
2770	R	1949	F	13	050644	42.2	+1.7		5.4	10646	VI	Colldejou	2.m	T24

./.

2771	R	1949	F	6	102215	38.4	-0.5			3.4	7221	I	Alicante,A	2	J19
2772	R	1949	F	9	065127	38.7	-0.3	(19)		5.0	7288	V	Confrides	m	K20
2773	R	1949	F	9	075554	38.3	-0.4			3.8	7289	II	Alicante,SE	4	J20
2774	R	1949	F	9	075644	38.4	-0.5			3.4	7292	I	Alicante,A		J19
2775	R	1949	F	17	210228	36.6	+5.0	22		3.8	7301	sl	(Michelet,E)	c.m(")	D30
2776	E	1949	R	2	222130	38.0	-6.5	20		4.6	7313	IV	(Cumbres)	c	H07
2777	R	1949	R	8	090052	38.1	-0.6			3.8	7314	II	Guardamar		J19
2778	R	1949	R	8	171447	38.4	-0.5			3.4	7315	I	Alicante,A		J19
2779	R	1949	R	21	202705	36.8	-3.0			4.2	7322	III	Adra		D14
2780	R	1949	R	23	124709	36.7	-4.5			3.4	7326	I	Malaga,A		D11
2781	R	1949	R	31	014802	37.0	-2.2	8		4.5	7331	V	Nijar		D16
2782	H	1949	A	4	1800	37.2	-7.2			4.2	7333	III	Lepe		E06
2783	R	1949	A	14	204426	38.3	-0.4			3.8	7342	II	Alicante,SE		J20
2784	H	1949	A	16	071520	35.3	-3.0			4.2	7346	III	Melilla		A14
2785	R	1949	Y	2	140100	38.3	-0.4			3.8	7352	II	G.Alicante ?	3	J20
2786	R	1949	U	5	095503	38.3	-0.4			4.2	7374	III	Alicante,SE		J20
2787	R	1949	U	23	162815	38.4	-0.5			3.4	7382	I	Alicante,A	2	J19
2788	R	1949	L	2	142528	38.1	-1.4	20		4.6	7388	IV	Ricote		J18
2789	R	1949	L	17	182720	37.6	-5.1	23		5.0	7395	V	Posadas	(")	H10
2790	R	1949	S	11	071931	38.3	-0.4			3.8	7417	II	Alicante,SE	4	J20
2791	R	1949	S	16	065553	38.4	-0.5			3.4	7423	I	Alicante,A		J19
2792	R	1949	O	5	131716	38.1	-1.1			4.6	7431	IV	Alberca	8	J18
2793	R	1949	O	10	013048	38.9	-0.8			4.2	7440	III	Malferit		K19
2794	R	1949	O	18	175025	38.4	-0.5			3.4	7443	I	Alicante,A	3	J19
2795	R	1949	O	31	052953	37.4	-2.0	20		4.6	7458	IV	Huercal	2	L16
2796	R	1949	N	1	151535	38.3	-0.4			3.8	7465	II	Alicante,SE		J20
2797	R	1949	N	4	123545	35.6	-0.7	22		4.2	7466	sf	Oran	c(")	B19
2798	R	1949	N	4	123621	37.6	-2.3			3.8	7467	sl	S.Maria		H16
2799	R	1949	N	5	072630	38.1	-0.7			4.2	7469	III	Rojales		J19
2800	H	1949	N	22	025500	37.3	-2.2			4.2	7483	III	Albox		E16
2801	R	1949	N	22	124120	38.6	-1.1			3.8	7484	II	Yecla		K18
2802	H	1949	D	13	121208	37.4	-2.2			3.8	10647	II	Cantoria		E16
2803	R	1950	J	2	095252	38.1	-1.3			4.2	7512	III	Archena		J18
2804	R	1950	J	6	152931	37.7	-9.3			4.2	7517	sf	Atlantic	c	H02
2805	R	1950	J	15	120555	38.4	-0.5			3.8	7523	II	Alicante,A	2	J19
2806	H	1950	J	15	1350	37.3	-2.2			3.8	10648	sl	Albox		E16
2807	R	1950	J	26	214112	39.0	-0.7			3.8	7533	sl	Benali		L19
2808	E	1950	J	31	104902	43.0	-0.2	25		5.8	7538	VII	(Pirineo,C)	c.m	U20
2809	R	1950	F	8	233925	36.7	-0.4			3.8	7543	sl	Mediterranean	c	D20
2810	R	1950	F	20	113037	38.5	-0.8			4.2	7556	III	Salinas	3	J19
2811	R	1950	R	22	043810	37.0	-2.5	17		4.9	7590	V	Gador	2.m	D15
2812	R	1950	R	25	124533	38.3	-0.8			3.8	7594	II	Crevillente		J19
2813	R	1950	R	26	103521	38.4	-0.5			3.4	7595	I	Alicante,A	2	J19
2814	R	1950	A	4	030622	43.3	-6.0			5.4	7603	VI	Teverga	c	H08
2815	R	1950	A	9	143531	38.1	-1.3			4.2	7608	III	Ojos		J18
2816	R	1950	A	13	170440	38.4	-0.5			3.8	7611	II	Alicante,A	3	J19
2817	R	1950	A	23	082319	38.4	-0.5			3.8	7616	II	Alicante,A	2	J19
2818	E	1950	A	24	031924	35.6	-2.7	23		4.2	7618	III	(T.Forcas)	c	B15
2819	R	1950	A	24	052019	38.4	-0.5			3.4	7619	I	Alicante,A	I	J19
2820	H	1950	A	27	1210	37.3	-2.2			3.4	7621	I	Albox		E16

./. ./.

2821	R	1950	A	27	200257	38.1	-1.3		4.2	7623	III	Archena		J18
2822	R	1950	A	28	031635	35.3	-3.0	12	3.9	7624	III	Melilla	(")	A14
2823	E	1950	Y	2	073749	38.1	-1.3	23	4.2	7640	III	Archena	4.c.m	J18
2824	R	1950	Y	8	132049	37.2	-3.6		3.8	7653	sl	Granada		H13
2825	R	1950	Y	12	052613	38.0	-0.7		4.2	7657	III	Torrevieja		H19
2826	R	1950	Y	19	172838	38.4	-0.5		3.8	7666	II	Alicante,A	8	J19
2827	R	1950	Y	21	104450	35.5	+0.1		4.2	7669	sf	(Mascara)	c	B21
2828	R	1950	Y	21	081702	38.4	-0.5		4.2	7680	III	Alicante,A	8	J19
2829	R	1950	U	5	070133	38.4	-0.5		3.8	7713	II	Alicante,A	8	J19
2830	R	1950	U	12	142859	38.0	-1.2	20	3.8	7729	sl	Alcantarilla	2	H18
2831	R	1950	U	13	234450	38.2	-2.2		3.8	7731	sl	Taibilla		J16
2832	R	1950	U	14	061607	38.4	-0.5		3.8	7732	II	Alicante,A	9	J19
2833	R	1950	U	20	000800	36.0	-9.0		3.8	7750	sl	S.Vicente,S		B02
2834	R	1950	U	21	192205	40.0	+2.0		5.4	7751	VI	F.Balear	(")	M24
2835	R	1950	U	26	180046	38.4	-0.5		3.4	7753	I	Alicante,A	2	J19
2836	E	1950	U	28	232722	43.1	+2.6	25	5.9	7755	VII	Lagrasse	c.m	W26
2837	R	1950	U	30	174003	38.4	-0.5		3.4	7756	I	Alicante,A		J19
2838	E	1950	L	1	121944	37.1	-2.6	14	5.1	7757	VI	Gergal	c.m(")	E15
2839	R	1950	L	2		38.4	-0.5		3.4	7758	I	Alicante,A	3	J19
2840	R	1950	L	6	141848	36.7	-5.1		3.8	7764	sl	Ronda	2	D10
2841	R	1950	L	6		38.4	-0.5		3.4	7766	I	Alicante,A	10	J19
2842	R	1950	L	13	192528	36.4	-3.3	20	3.8	7779	sl	M.Alboran		C14
2843	R	1950	L	16	031934	36.4	-3.3	23	5.4	7781	VI	G.Cartagena		C14
2844	R	1950	L	16	032012	37.8	-0.8		5.4	7782	VI	S.Javier	6	H19
2845	R	1950	L	23	082349	38.4	-0.5		3.4	7793	I	Alicante,A	12	J19
2846	R	1950	G	5	081635	38.1	-1.3		4.2	7814	III	S.Medio		J18
2847	R	1950	G	10	000133	36.8	-3.0	20	3.8	7819	sl	Adra		D14
2848	E	1950	G	19	222913	38.2	-0.3	22	5.0	7830	V	S.Pola	3.c	J20
2849	R	1950	G	22	214642	38.9	-1.1		3.8	7838	II	Almansa		K18
2850	R	1950	G	23	085726	37.2	-3.6		3.8	7839	II	Granada		E13
2851	R	1950	G	23	175122	38.9	-1.1		4.2	7840	III	Almansa ?	2	K18
2852	R	1950	G	31	103912	38.7	-9.2		5.0	7846	V	Lisboa	(")	K02
2853	R	1950	S	1	144256	38.0	-1.4		3.8	7847	II	Ceuti		H18
2854	R	1950	S	3	080638	38.3	-0.4		4.2	7851	III	Alicante,SE	7	J20
2855	R	1950	S	15	041939	37.2	-3.6		3.8	7858	sl	Granada		E13
2856	R	1950	S	20	194347	38.1	-1.3		4.2	7864	III	S.Medio		J18
2857	E	1950	S	21	143503	37.1	-3.7	18	5.3	7866	VI	Alhama,G	c(")	E13
2858	R	1950	S	24	075025	38.3	-0.4		4.2	7869	III	Alicante,SE	3	J20
2859	R	1950	O	5	221655	38.0	-1.2		4.2	7876	III	Molina,M		H18
2860	R	1950	O	7	003619	38.3	-0.4		4.2	7877	III	Alicante,SE		J20
2861	E	1950	O	18	014054	37.5	-2.6	21	4.6	7882	IV	Cullar	c(")	E15
2862	H	1950	O	20	0300	41.6	+2.7		4.2	10649	III	Calella	2	B26
2863	R	1950	O	22	024500	38.0	-1.4		4.6	7884	IV	Ceuti	3	H18
2864	R	1950	N	2	062311	38.1	-0.6		3.8	7899	II	Guardamar ?		J19
2865	R	1950	N	7	023724	38.1	-1.1		4.2	7905	III	Alberca		J18
2866	R	1950	N	7	145340	38.1	-0.6		4.2	7906	III	Guardamar ?		J19
2867	R	1950	N	8	113358	38.1	-0.7		4.2	7909	III	Rojales ?		J19
2868	R	1950	D	29	154154	37.1	-3.3	13	4.7	7943	V	Santafe	22(")	E14

Order	k	year	date	H (UT)	LatN	Long	h	m	nº	Ct	Classify	Localities	Notes	Map
Sixth epoch. 10 years														
2869	R	1951	J 9	220859	37.2	-3.6	7	-		10650	st	Granada,A	5	E13
2870	R	1951	J 16	161853	37.3	-2.2		3.8		7969	sl	Albox		E16
2871	R	1951	J 16	185101	38.0	-0.5	30	5.2		7970	V	Torrevieja,E		H19
2872	R	1951	J 16	190549	36.5	-2.5	20	3.8		7971	sl	Almeria,S		C15
2873	R	1951	J 17	155600	36.0	-4.0	25	3.9		7972	sl	(Malaga,S)	c	B12
2874	R	1951	J 31	172032	38.4	-0.5		3.4		7976	I	Alicante,A		J19
2875	R	1951	F 9	090950	38.1	-0.7		3.8		7979	II	Segura,B		J19
2876	R	1951	F 11	083449	38.3	-0.4		3.8		7980	II	G.Alicante	4	J18
2877	R	1951	F 11	154439	41.6	+2.9		4.6		10652	IV	Pineda,E	2.m	S26
2878	R	1951	F 11	203249	37.4	-2.2	20	4.6		7985	IV	Cantoria		E16
2879	R	1951	F 12	125236	38.3	-0.4		3.8		7986	II	G.Alicante		J18
2880	R	1951	F 16	171414	38.4	-0.5		3.8		7989	II	Alicante,A	17	J19
2881	E	1951	R 10	103836	38.1	-3.6	100	7.4		8011	VIII	Andujar	20.c.m(")	J13
2882	R	1951	R 10	110111	37.4	-3.6	85	4.7		8013	sf	Iznalloz	c	E13
2883	R	1951	R 10	142427	38.4	-0.5		3.8		8024	II	Alicante,A	5	J19
2884	E	1951	R 15	073729	38.3	-3.5	98	5.2		8040	IV	Carolina	6.c	J13
2885	R	1951	R 15	073922	36.4	-2.5		3.8		8041	sl	M.Alboran	c	C15
2886	R	1951	R 17	014156	36.4	-3.3		3.8		8047	sl	M.Alboran		C14
2887	R	1951	R 17	172629	38.4	-0.5		4.2		8048	III	Alicante,A	20	J19
2888	E	1951	A 7	021805	37.3	-4.4	90	5.3		8079	IV	(Rute)	c	E12
2889	E	1951	A 7	022247	37.3	-4.4	55	4.7		8080	III	(Rute)	c	E12
2890	R	1951	A 8	115949	38.0	-0.9		4.2		8084	III	Torremendo		H19
2891	R	1951	A 14	172352	38.4	-0.5		4.2		8089	III	Alicante,A	17	J19
2892	R	1951	A 23	201116	38.1	-0.7		4.6		8104	IV	Segura,B		J19
2893	R	1951	A 30	030817	39.4	-0.7		4.2		8110	III	Turis,S	2	L19
2894	R	1951	Y 2	171446	38.4	-0.5		3.8		8112	II	Alicante,A	6	J19
2895	E	1951	Y 4	190626	38.1	-3.6	56	4.7		8114	III	Linares	c	J13
2896	E	1951	Y 8	223118	37.5	-4.4	56	4.7		8120	III	(Mencia)	c	E12
2897	R	1951	Y 11	180138	38.4	-0.5		3.8		8125	II	Alicante,A	11	J19
2898	E	1951	Y 19	155419	37.8	-4.0	140	7.5		8137	VIII	Jaen	50.c.m(")	H12
2899	R	1951	Y 20	082426	38.4	-0.5		3.8		8169	II	Alicante,A	4	J19
2900	E	1951	Y 22	043813	37.9	-3.1	65	4.6		8184	III	Cazorla	c	H14
2901	E	1951	Y 22	053455	37.8	-3.2	95	5.7		8185	V	(Larva)	c	H14
2902	E	1951	Y 29	055159	37.7	-3.6	50	4.6		8193	III	(Gambil)	c	H13
2903	R	1951	Y 29	165201	38.4	-0.5		3.8		8194	II	Alicante,A	3	J19
2904	E	1951	Y 30	144148	37.8	-3.8	73	4.8		8197	III	(Gambil)	c	H13
2905	R	1951	Y 30	172744	38.4	-0.5		3.8		8199	II	Alicante,A	7	J19
2906	R	1951	U 4	092447	37.6	-3.7	20	3.8		8209	sl	Valdepeñas	c	H13
2907	R	1951	U 6	192412	37.4	-2.1		4.6		8211	IV	Huercal	c.m	E16
2908	R	1951	U 7	000125	37.7	-3.5	71	4.3		8212	sl	Huelma	c	H13
2909	R	1951	U 10	073902	38.4	-0.5		3.8		8213	II	Alicante,A	6	J19
2910	E	1951	U 12	222051	38.0	-3.6	63	4.6		8221	IV	Ubeda	c(")	H13

./.

2911	R	1951	U	25	172024	37.3	-1.9		4.2	8229	III	C.Almanzora	E17
2912	R	1951	U	28	172749	36.7	-3.7		3.8	8230	sl	Almuñecar c	D13
2913	R	1951	U	30	173254	38.4	-0.5		3.8	8231	II	Alicante,A 28	J19
2914	R	1951	L	1	111147	37.9	-3.3	59	4.2	8236	sl	Ubeda 2.c	H14
2915	H	1951	L	12	014600	37.3	-2.2		4.2	8267	III	Arboleas	E16
2916	R	1951	L	23	152835	37.7	-4.2		3.8	8290	sl	Calatravas 2	H12
2917	E	1951	G	3	165703	40.2	-1.0	25	5.1	8299	V	(P.Valverde) c	N18
2918	R	1951	G	4	052224	38.4	-0.5		4.2	8300	III	Alicante,A 10	J19
2919	E	1951	G	11	223249	37.6	-4.7	15	4.0	8311	III	Montilla 3.c(")	H11
2920	R	1951	G	14	174107	38.4	-0.5		3.8	8317	II	Alicante,A 24	J19
2921	R	1951	G	21	223405	37.2	-3.6	7	3.7	8345	III	Granada	E13
2922	R	1951	G	23	180418	37.7	-4.1		3.8	8350	sl	Martos c	H12
2923	R	1951	G	24	115306	38.1	-1.3		4.2	8351	III	Segura,M ?	J18
2924	R	1951	G	26	105245	38.4	-0.5		3.8	8360	II	Alicante,A 10	J19
2925	R	1951	S	1	062024	38.1	-1.3	10	4.2	8369	IV	Archena	J18
2926	R	1951	S	1	071258	38.4	-0.5		3.8	8370	II	Alicante,A 7	J19
2927	R	1951	S	3	131916	39.1	-0.4		4.6	8380	IV	Alcira	L20
2928	R	1951	S	4	211058	38.1	-1.2		4.6	8383	IV	Lorqui	J18
2929	R	1951	S	16	100119	38.4	-0.5		3.8	8402	II	Alicante,A 5	J19
2930	R	1951	S	23	013348	39.3	-0.4	10	4.2	8408	IV	Algemesi 3	L20
2931	E	1951	S	24	003649	37.1	-3.5	15	4.0	8410	III	Durcal c	E13
2932	R	1951	S	24	172548	38.4	-0.5		3.8	8411	II	Alicante,A 2	J19
2933	R	1951	S	25	084819	38.5	-3.0		3.8	8413	sl	Villamanrique c	J14
2934	R	1951	S	25	162817	38.4	-0.5		3.8	8414	II	Alicante,A 2	J19
2935	R	1951	S	26	112142	39.1	-0.4		4.2	8416	III	Alcira	L20
2936	R	1951	O	1	162900	36.4	-2.5		4.6	8419	IV	Alboran c	C15
2937	R	1951	O	2	121237	38.1	-1.3		3.8	8420	sl	Segura,M	J18
2938	R	1951	O	4	163516	38.4	-0.5		3.8	8422	II	Alicante,A 10	J19
2939	R	1951	O	17	210541	38.7	-0.3		4.6	8436	IV	Confrides	K20
2940	R	1951	O	23	144205	39.2	-0.5		4.2	8439	III	Carlet	L19
2941	R	1951	O	23	161622	38.4	-0.5		4.2	8440	III	Alicante,A 29	J19
2942	R	1951	O	24	024522	38.0	-3.5	25	4.7	10662	IV	Baeza	H13
2943	R	1951	N	18	072136	36.9	-4.1	10	3.4	8475	sl	S.Tejeda	D12
2944	R	1951	N	22	092328	38.1	-0.7		4.2	8478	III	Rojales	J19
2945	R	1951	N	24	024500	38.3	-3.6	20	4.2	8481	III	Carolina	J13
2946	E	1951	N	27	091639	39.3	-0.6	20	4.6	8487	IV	Sueca c	L19
2947	R	1951	N	27	165203	38.4	-0.5		3.8	8488	II	Alicante,A 16	J19
2948	R	1951	D	6	141328	36.0	-1.5	20	5.0	8511	V	Mediterranean 2	B17
2949	R	1951	D	7	162845	38.4	-0.5		3.8	8513	II	Alicante,A 35	J19
2950	H	1951	D	18	121003	35.7	-3.0		3.8	10668	sl	Melilla,N	B14
2951	R	1951	D	20	220750	41.2	-2.1		4.2	8549	III	(S.M.Huerta) c	R16
2952	R	1951	D	21	173751	38.4	-0.5		3.8	8553	II	Alicante,A 8	J19
2953	R	1951	D	27	093935	35.1	-3.1		4.6	8559	IV	Segangan 8	A14
2954	R	1952	J	2	123731	38.4	-0.5		3.8	8563	II	Alicante,A 24	J19
2955	R	1952	F	1	232137	38.3	-0.7		4.6	8615	IV	Elche	J19
2956	E	1952	F	2	142303	37.2	-2.2	20	5.0	8616	V	Bedar 3.c(")	E16
2957	R	1952	F	2	171730	38.4	-0.5		3.8	8617	II	Alicante,A 2	J19
2958	R	1952	F	3	051301	38.4	-0.7		4.2	8621	III	Elche,N	J19
2959	R	1952	F	3	095035	38.4	-0.5		3.8	8622	II	Alicante,A 2	J19
2960	R	1952	F	3	155603	38.0	-1.4		4.2	8624	III	Ceuti	H18

./.

2961	R	1952	F	4	161119	38.6	-0.5		3.8	8625	II	Alicante	12	K19
2962	R	1952	F	7	142819	43.1	+0.7		5.8	8628	VII	(S.Gaudens)	c	W22
2963	R	1952	F	11	120423	38.4	-0.5		3.8	8639	II	Alicante,A	20	J19
2964	R	1952	F	23	213247	38.1	-1.3		3.8	8667	II	Segura,M		J18
2965	R	1952	F	24	084644	38.6	-0.5		3.8	8668	II	Alicante	35	K19
2966	H	1952	F	28	1105	42.4	+1.0		3.8	10669	II	Capdella		T22
2967	R	1952	R	25	202349	38.2	-0.5	17	4.1	8725	III	S.Pola		J19
2968	R	1952	R	31	012831	38.1	-1.3		4.2	8728	III	Segura,M		J18
2969	R	1952	A	1	042230	38.1	-1.1		4.2	8729	III	Alberca		J18
2970	R	1952	A	3	192622	38.0	-1.4		4.6	8730	IV	Ceuti		H18
2971	R	1952	A	5	000522	43.0	0		6.3	8731	VIII	(Lourdes)	c	U20
2972	R	1952	A	6	095448	38.3	-0.4		3.8	8732	II	Alicante,SE	3	J20
2973	R	1952	A	11	163634	37.2	-3.3	5	4.3	8739	V	(Lugros)	c	E14
2974	E	1952	A	12	104042	37.4	-3.3	30	4.8	8740	IV	(Darro)	c(")	E14
2975	R	1952	A	20	092928	38.4	-0.5		3.8	8754	II	Alicante,A	14	J19
2976	E	1952	Y	12	193425	36.3	-6.7	270	6.2	8777	V	(G.Cadiz)	c(")	C07
2977	R	1952	Y	13	164421	38.4	-0.5		3.8	8780	II	Alicante,A	8	J19
2978	E	1952	Y	20	131805	37.9	-1.1	29	6.0	8791	VII	Palmar	c(")	H18
2979	R	1952	Y	22	095450	38.6	-0.5		3.8	8793	II	Alicante	12	K19
2980	R	1952	U	5	145442	37.8	-4.0	20	3.8	8808	sl	Torredonjimeno		H12
2981	R	1952	U	6	180157	38.6	-0.5		3.8	8809	II	Alicante	4	K19
2982	E	1952	U	9	145301	37.1	-3.7	12	4.3	8814	IV	(Escuzar)	c(")	E13
2983	R	1952	U	9	180321	38.4	-0.5		3.8	8815	II	Alicante,A	3	J19
2984	R	1952	U	17	120854	38.1	-1.3		3.8	8819	sl	Segura,M		J18
2985	R	1952	U	17	223725	36.9	-10.		4.2	8820	sf	Atlantic	c(")	D01
2986	R	1952	U	20	175747	38.6	-0.5		3.8	8827	II	Alicante		K19
2987	R	1952	U	20	164224	35.8	-0.2		5.0	8829	V	P.Poules	c	B20
2988	R	1952	U	21	173034	38.4	-0.5		3.8	8830	II	Alicante,A	4	J19
2989	R	1952	U	21	205706	36.8	-3.9		5.0	8836	V	(S.Alhama)	2.c	D13
2990	R	1952	U	22	035345	37.1	-4.1		4.6	8838	IV	Loja	4.c(")	E12
2991	R	1952	U	23	113818	38.4	-0.5		3.8	8840	II	Alicante,A	6	J19
2992	E	1952	L	2	070333	36.9	-4.7	25	3.9	8854	II	Antequera	c	D11
2993	R	1952	L	2	085356	38.4	-0.5		3.8	8855	II	Alicante,A	19	J19
2994	R	1952	L	4	163623	36.7	-4.5		3.4	8859	I	Malaga,A	3	D11
2995	R	1952	L	16	064147	38.0	+0.5		4.6	8875	IV	Mediterranean		H21
2996	R	1952	L	25	110000	43.4	-1.8		4.6	8886	IV	Bidasoa,D	6	W17
2997	R	1952	L	30	114725	43.3	-1.6	25	5.4	8896	VI	Ustaritz	c	W17
2998	R	1952	G	1	150725	38.4	-0.5		3.8	8897	II	Alicante,A	3	J19
2999	R	1952	G	4	125607	36.7	+0.2		5.0	8901	V	(Cartagena,SE)	c	D21
3000	R	1952	G	6	180458	38.4	-0.5		3.8	8904	II	Alicante,A	12	J19
3001	H	1952	G	8	0445	37.4	-2.4		3.8	8914	sl	Somontin		E16
3002	R	1952	G	25	125404	38.3	-0.4		4.6	8921	IV	Alicante,SE		J20
3003	R	1952	G	26	143638	38.4	-0.5		3.8	8923	II	Alicante,A	6	J19
3004	R	1952	G	31	154512	35.5	-2.5	25	4.3	8931	sf	(Chafarinas,N)	c	A15
3005	R	1952	S	1	160310	38.4	-0.5		3.8	8932	II	Alicante,A	10	J19
3006	E	1952	S	15	022509	38.3	-0.8	20	4.2	8948	IV	Aspe	2.c	J19
3007	R	1952	S	16	080129	38.4	-0.5		3.8	8950	II	Alicante,A	5	J19
3008	H	1952	O	4	18	41.8	+2.9		3.8	10671	II	Lloret	2	S26
3009	R	1952	O	5	015816	36.7	-4.5		3.8	8958	II	Malaga,A	1	D11
3010	H	1952	O	10	1800	41.8	+2.9		3.8	10670	II	Lloret	2	S26

./.

./.

3011	R	1952	N	21	203519	37.2	-3.7	10	3.4	8962		sl	Santafe		E13
3012	H	1952	N	29	243045	41.4	+1.7		3.8	10672		sl	V.Panades		R24
3013	H	1952	D	15	1500	41.5	+1.6		3.8	10673		II	Capellades	2	R24
3014	H	1952	D	27	222025	37.3	-2.2		4.2	8964		III	Albox		E16
3015	R	1953	J	26	001140	36.5	-10.		4.2	8966		sf	S.Vicente,SW	c	C01
3016	R	1953	F	14	121630	38.1	-0.7	15	3.6	8968		sl	Segura,B		J19
3017	R	1953	F	18	123456	36.7	-4.5		3.4	8970		I	Malaga,A		D11
3018	H	1953	F	20	041000	37.3	-2.2		4.6	8971		IV	Albox		E16
3019	R	1953	R	12	192602	36.3	-10.		4.2	8974		sf	(Atlantic)	c(")	C01
3020	E	1953	A	8	221748	37.5	-2.1	15	4.4	8975		IV	Albox	2.c	E16
3021	E	1953	A	26	221111	38.1	-3.3	40	4.1	8983		II	(Sabiote)	c	J14
3022	R	1953	Y	6	163756	38.1	-0.7	9	4.2	8988		IV	Rojales	2(")	J19
3023	R	1953	U	24	163518	36.4	-4.7	39	4.5	9007		sf	Marbella,S	c	C11
3024	R	1953	L	3	124107	36.8	-3.8		4.2	9009		III	(Nerja)	2.c(")	D13
3025	R	1953	L	5	040420	36.2	+3.5		6.3	9011		VIII	(B.Rabalou)	c	C27
3026	R	1953	L	6	115631	38.1	-0.7	5	-	9012		st	Rojales		J19
3027	R	1953	L	8	233254	38.1	-0.8		4.6	9013		IV	Cehegin		J19
3028	R	1953	L	9	000153	37.8	-1.7		4.6	9014		IV	(Raspojos)	c	H17
3029	R	1953	L	11	171143	38.4	-0.5		3.8	9019		II	Alicante,A	6	J19
3030	R	1953	G	4	042340	38.2	-1.1		4.2	9032		III	Fortunas		J18
3031	R	1953	G	21	045933	37.2	-3.7		3.8	9037		sl	S.Elvira ?		E13
3032	R	1953	G	29	140848	36.0	+5.0		5.8	9040		VII	(Chourchot)	c(")	B30
3033	R	1953	S	28	214110	41.1	-1.3		5.8	9044		VII	(Daroca)	c.m(")	R18
3034	E	1953	O	10	040537	37.1	-3.6	25	4.7	9046		IV	Granada	c	E13
3035	R	1953	O	13	094542	43.0	+0.2		5.8	9048		VII	Argeles	c	U21
3036	R	1953	N	8	183335	36.4	-2.8		3.8	9050		II	M.Alboran	c	C15
3037	R	1953	N	10	135906	36.7	-7.1		5.0	9051		V	G.Cadiz		D06
3038	R	1953	N	14	232650	37.3	-2.2		4.6	9052		IV	Albox		E16
3039	H	1953	N	15	0015	37.3	-2.2		4.2	10674		III	Albox		E16
3040	R	1953	N	15	184515	38.0	-1.2		3.8	9053		sl	Alcantarilla		H18
3041	R	1953	N	21	144812	38.0	-1.2		4.6	9055		IV	Alcantarilla	2.c	H18
3042	E	1953	N	27	200050	37.0	-5.5	25	4.3	9060		III	(Montellano)	4.c(")	D09
3043	R	1953	D	25	055912	36.0	+3.5		5.4	9071		VI	(Chellaia)	c	B27
3044	E	1954	J	8	163350	36.9	-3.9	24	5.9	9076		VII	A.Rey	c.m(")	D13
3045	E	1954	J	11	094642	36.9	-2.7	25	4.3	9077		III	(S.Gador)	c	D15
3046	R	1954	J	26	193003	36.7	-2.6		3.8	9088		sl	Sabiñal		D15
3047	E	1954	F	18	004429	37.0	-6.4	25	5.1	9093		V	Marismas	c	D08
3048	E	1954	F	24	224751	36.3	-6.3	25	4.3	9095		III	G.Cadiz	c	C08
3049	R	1954	F	25	092615	35.8	-2.0		4.2	9096		sf	(Chafarinas,N)	c	B16
3050	R	1954	R	9	202331	37.0	-3.9	20	3.8	9098		sl	Alhama,G	c	D13
3051	R	1954	R	18	075826	37.5	-3.7	13	3.5	9099		sl	(A.Real)	c	E13
3052	E	1954	R	29	061605	37.0	-3.6	652	7.5	9102		III	Durcal	c(")	D13
3053	R	1954	A	15	154723	38.5	-0.5	30	3.9	9110		sl	(Jijona)	c	J19
3054	R	1954	A	16	095633	38.0	-4.0		3.8	9112		sl	Andujar	2.c	H12
3055	R	1954	A	20	094946	36.5	-2.8		3.8	9117		sl	(G.Almeria)	c	C15
3056	R	1954	A	23	195519	35.0	-4.9	25	3.9	9120		sl	(Ketama)	c(")	A11
3057	E	1954	Y	19	022301	37.0	-3.4	10	3.4	9133		III	(S.Nevada)	c	D14
3058	R	1954	Y	21	214629	38.4	-0.3		5.0	9140		V	(Campello)	c.m	J20
3059	R	1954	U	15	223544	36.9	-2.5	20	4.2	9155		III	Almeria,A		D15
3060	R	1954	U	23	193757	37.0	-2.2		4.2	9159		III	Nijar	2	D16

3061	E	1954	U	27	232530	40.2	-3.5	14	4.9	9162		V	S.Martin	c.m	N13
3062	E	1954	L	1	140801	35.9	-4.3	30	5.2	9164		V	M.Alboran	c	B12
3063	R	1954	L	9	113130	38.4	-0.5		3.8	9167		II	Alicante,A	2	J19
3064	R	1954	G	2	230046	37.5	-2.5	20	3.8	9177		sl	(Cullar)	c	E15
3065	E	1954	G	13	111245	37.0	-3.6	10	3.4	9183		III	(Padul)	2.c	D13
3066	E	1954	G	21	115305	37.1	-3.5	12	4.3	9186		IV	(S.Nevada	c(")	E13
3067	R	1954	G	25	150006	38.7	-0.1	8	4.2	9187		IV	Altea		K20
3068	E	1954	S	9	010437	36.1	+1.5	12	6.8	9197		X	(Lamartine)	c(")24.m	C23
3069	E	1954	S	10	054402	36.2	+1.2	10	5.9	9221		VIII	(Warnier)	12.c(")	C23
3070	E	1954	S	14	092520	38.1	-0.9	4.5	3.9	9236		IV	Almoradi	c.m	J19
3071	R	1954	S	16	221815	36.6	+1.5		4.2	9242		sf	(Lamartine)	9.c	D23
3072	R	1954	O	10	060158	36.3	+1.8		5.4	9257		VI	Carnot	2.c	C24
3073	R	1954	O	12	192329	36.3	+1.7		5.8	9259		VII	Fodda	3.c	C24
3074	R	1954	O	19	163556	37.2	-3.7	7	3.3	9262		sl	Albolote		E13
3075	R	1954	O	21	180155	36.3	+1.6		3.8	9270		sl	(Fodda)	3.c	C24
3076	E	1954	O	26	223358	36.8	-2.8	20	4.6	9275		IV	Dalias	c	D15
3077	H	1954	N	23	2345	37.3	-2.5		3.8	9292		sl	Bayarque		E15
3078	R	1954	N	28	022010	37.0	-4.5		3.8	9296		II	Antequera	3.c	D11
3079	R	1955	J	2	211815	37.0	-3.6		3.4	9307		st	Padul		E13
3080	E	1955	J	14	002208	37.1	-2.8	43	4.1	9313		III	Canjayar	c	E15
3081	R	1955	J	26	072616	42.8	-1.6		3.8	9316		sl	Pamplona		U17
3082	R	1955	J	31	200658	37.2	-3.5		4.2	9320		III	(S.Nevada)	c	E13
3083	R	1955	F	4	051204	35.8	+1.2	25	3.9	9324		sl	(L'Ouarsenis)	c	B23
3084	R	1955	F	4	111850	38.1	-1.4		4.2	9325		III	(Mula)	c	J18
3085	R	1955	R	21	064908	36.5	-5.3		4.2	9339		III	Gaucin		C10
3086	R	1955	R	26	143511	36.8	-3.9		4.6	9343		IV	S.Tejeda	c	D13
3087	E	1955	R	29	221107	38.4	-1.3	25	4.7	9346		IV	(Jumilla	c(")	J18
3088	R	1955	R	31	162830	38.1	-1.8		4.2	9347		III	Cehegin		J17
3089	R	1955	A	10	164949	38.3	-0.4		3.8	9350		II	Alicante,SE		J20
3090	R	1955	A	11	130717	36.0	-3.5	25	4.3	9352		sf	M.Alboran	c	B13
3091	E	1955	A	16	093225	37.3	-4.6	80	4.7	9353		III	Benamegi	c(")	E11
3092	R	1955	A	25	151829	38.3	-0.3		4.2	9361		III	Alicante,SE	c	J20
3093	E	1955	A	28	011108	37.3	-3.5	12	4.3	9362		IV	Iznalloz	8.c(")	E13
3094	E	1955	Y	8	213853	36.2	+1.5	33	6.0	9372		VII	(Orleansville)	c(")	C23
3095	R	1955	Y	9	105158	38.7	-0.5		4.2	9374		III	Alcoy	c	K19
3096	R	1955	Y	12	001011	35.7	-3.0		3.8	9376		II	Melilla,N		B14
3097	R	1955	Y	17	084812	38.4	-0.5		3.4	9380		I	Alicante,A		J19
3098	R	1955	U	1	172429	38.2	-1.2	5	3.1	9387		sl	Fortuna	2.c	J18
3099	E	1955	U	4	034135	37.3	-3.7	20	5.8	9389		VII	Albolote		E13
3100	E	1955	U	5	145612	36.5	+1.5	10	5.0	9391		VI	(F.Garnier)	2.c(")	C23
3101	R	1955	U	17	043004	37.2	-3.8		4.2	9401		III	S.Elvira	c	E13
3102	R	1955	U	30	031241	37.2	-3.7		4.2	9407		III	S.Elvira ?		E13
3103	R	1955	L	8	003741	37.2	-3.7		3.8	9413		II	S.Elvira ?		E13
3104	R	1955	L	27	173355	38.1	-0.3		3.8	9425		II	Daya		J20
3105	R	1955	G	20	075339	38.0	0		3.8	9431		II	Alicante,SE		H20
3106	R	1955	G	27	122839	36.7	-3.5		3.8	9434		sl	Motril		D13
3107	R	1955	S	20	112128	38.3	-0.4		3.4	9445		I	Alicante,SE	2	J20
3108	R	1955	N	11	115012	36.8	-3.0	25	3.9	9464		sl	Motril	c	D14
3109	R	1955	N	11	231105	38.8	-0.1		4.6	9465		IV	Pego		K20
3110	R	1955	N	20	182163	41.6	+2.7	25	5.1	9470		V	Llavaneras,E	m	S26

./

3111	E	1955	N	27	203004	37.4	-2.7	30	5.6	9473		VI	Almanzora	3.c(") E15
3112	R	1955	D	8	065620	40.3	-1.1		3.8	9477		sl	Teruel,S	N18
3113	R	1955	D	13	011153	37.0	-5.0	25	3.9	9479		sl	S.Ronda	c D10
3114	R	1955	D	24	130647	36.4	+1.7		4.6	9489		IV	(D.Sibernous)	c C24
3115	R	1956	J	6	054337	36.0	-10.		4.2	9492		sf	Atlantic,S	c(") B01
3116	R	1956	J	14	162913	38.4	-0.5		3.8	9495		II	Alicante,A	10 J19
3117	R	1956	J	17	235006	36.4	-2.3		5.0	9498		V	C.Gata,S ?	C16
3118	R	1956	J	21	140810	36.0	-4.1		3.8	9503		sl	M.Alboran	c B12
3119	R	1956	J	26	050242	36.4	-3.4		3.4	9509		st	M.Alboran	c C14
3120	E	1956	F	14	095320	36.5	+1.4	10	5.5	9515		VII	(Tenes)	c(") C23
3121	R	1956	F	15	173936	42.9	-0.7	168	4.7	9516		sl	(P.Anso)	c(") U19
3122	R	1956	F	17	140640	36.5	-3.0		3.8	9518		sl	Adra,S	C14
3123	R	1956	F	23	021736	36.5	+1.5		5.4	9519		VI	(O.Fodda)	c C23
3124	R	1956	F	26	153710	37.2	-3.6		3.4	9520		st	Granada	E13
3125	E	1956	F	27	123011	36.9	-1.9	55	5.1	9521		IV	Vera	c(") D17
3126	R	1956	F	29	125443	37.4	-3.4		3.8	9522		sl	(Moreda)	c E14
3127	R	1956	R	9	040800	36.6	-9.6	100	4.7	9524		sf	S.Vicente,SW	c D01
3128	E	1956	R	29	050508	37.2	-3.9	27	4.3	9533		III	Parapanda	c(") E13
3129	E	1956	A	19	183857	37.2	-3.7	20	6.3	9541		VIII	Albolote	21.c E13
3130	R	1956	A	25	201734	38.0	-0.7		4.2	9612		III	Torrevieja	2 H19
3131	E	1956	Y	3	010343	37.2	-3.5	20	5.4	9646		VI	Albolote	9.c E13
3132	E	1956	Y	10	083316	37.3	-2.3	s	4.3	9663		V	Cantoria	c.m E16
3133	R	1956	Y	23	000512	36.4	+3.7		5.4	9669		VI	A.Bessen	c C28
3134	E	1956	U	5	114117	37.4	-7.0	122	6.7	9675		VI	Trigueros	c E06
3135	R	1956	U	18	151555	37.2	-3.7		4.2	9681		III	Albolote	11 E13
3136	R	1956	U	24	154542	36.8	-3.4		4.2	9693		III	Lujar	c D14
3137	R	1956	L	31	183231	41.6	+2.8		3.8	9709		sl	Maresma	S26
3138	R	1956	G	7	220119	36.5	-9.0	72	4.3	9711		sl	S.Vicente,S	c(") C02
3139	R	1956	G	7	234857	38.1	-0.7		3.8	9712		II	Rojales	J19
3140	R	1956	G	12	161728	37.2	-3.7		4.2	9716		III	Santafe ?	E13
3141	E	1956	G	14	190810	37.1	-1.8	50	5.0	9718		IV	(Mojacar)	c.m E17
3142	E	1956	G	16	020938	36.8	-8.7	130	4.8	9720		III	S.Vicente,S	c D03
3143	R	1956	G	23	212348	36.0	-3.3	35	4.5	9723		sf	M.Alboran	c B14
3144	R	1956	S	2	005917	42.7	-1.4		3.8	9727		sl	(Panticosa)	c U18
3145	R	1956	S	12	033144	37.2	-3.7		4.2	9731		III	Santafe	E13
3146	R	1956	N	29	123141	36.8	-2.8		4.2	9761		III	M.Alboran	c D15
3147	E	1956	D	3	111130	37.8	-2.7	60	4.7	9764		III	Huescar	c(") H15
3148	E	1956	D	9	234737	37.3	-4.4	23	4.3	9769		III	(Diezma)	c(") E12
3149	E	1956	D	28	032325	36.8	-2.8	42	5.0	9771		IV	(Ejido)	2.c.m.t D15
3150	R	1957	J	2	070204	37.2	-3.6		4.2	9775		III	Granada,A	7 E13
3151	E	1957	J	7	191622	37.1	-2.1	38	4.5	9796		III	(Sorbas)	c(") E16
3152	R	1957	J	11	001324	36.7	-2.6		3.8	9797		sl	Sabiñal	3 D15
3153	R	1957	J	11	060423	35.7	-3.8		3.8	9798		sl	M.Alboran	c B13
3154	R	1957	J	20	14	37.2	-3.7		4.2	9804		III	Albolote	5 E13
3155	R	1957	A	1	135800	35.5	-2.5	25	5.1	9828		in	(Chafarinas,N)	c A15
3156	R	1957	A	13	131302	39.4	-2.8		3.8	9830		sl	(Pedernoso)	c L15
3157	R	1957	Y	29	203821	37.2	-3.7		4.2	9838		III	Albolote	E13
3158	R	1957	U	8	181943	35.8	-0.5	120	5.1	9839		sl	(Kristel)	c B19
3159	R	1957	U	19	220720	38.1	-1.3		4.2	9846		III	Archena	J18
3160	R	1957	U	26	204654	38.0	+0.8		4.6	9849		IV	Mediterranean ?	H22

./.

3161	R	1957	U	28	212330	36.0	+1.0		5.8	9851	VII	(Inkerman)	c	B22
3162	E	1957	U	29	234641	36.2	-1.9	65	5.7	9852	V	(Oran,N)	c.m(")	C17
3163	E	1957	L	15	093631	36.1	-1.4	84	5.2	9858	IV	G.Cadiz	c(")	C06
3164	R	1957	L	26	024158	36.3	-7.6	92	4.7	9861	sf	(G.Cadiz)	c(")	C05
3165	R	1957	L	27	085740	37.2	-3.6		4.2	9863	III	Granada,A	3	E13
3166	R	1957	G	1	061429	37.3	-2.3		3.8	9866	sl	Purchena ?		E16
3167	R	1957	G	15	204146	36.1	-1.5	45	4.5	9873	sf	(Oran,NE)	c.m	C17
3168	R	1957	G	25	065911	36.2	-3.0	52	4.2	9877	sl	M.Alboran	c	C14
3169	R	1957	G	27	175007	37.0	-2.2		4.2	9879	III	Nijar	5	D16
3170	R	1957	S	10	202030	36.5	-3.0		3.8	9889	sl	M.Alboran	c	C14
3171	R	1957	S	11	102109	36.5	-2.1	20	3.8	9890	sl	C.Gata,S	c	C16
3172	R	1957	S	29	021323	37.8	-1.1		4.2	9899	IV	(F.Alamo)	c	H18
3173	R	1957	O	22	103126	36.9	-2.5		3.8	9908	sl	Almeria,A		D15
3174	R	1957	D	2	124850	36.8	+1.7		5.4	9921	VI	(C.Tenes,N)	c(")	D24
3175	R	1957	D	20	182947	36.2	-4.1		3.8	9923	sl	Mediterranean	c	C12
3176	R	1957	D	21	160435	36.2	+1.7		4.2	9924	sf	(Auats)	c(")2	C24
3177	R	1958	J	5	120457	38.9	-0.5		5.0	9931	V	(Jativa)	2.c.m(")	K19
3178	R	1958	J	7	143441	38.2	-8.0		5.0	9933	V	Alvito	c	J04
3179	R	1958	J	16	151338	38.1	-0.6		5.4	9938	VI	Guardamar	c.m	J19
3180	R	1958	J	16	151338	38.1	-0.7		5.0	9939	V	Almoradi	c.m	J19
3181	R	1958	F	5	101822	38.6	-0.9		5.4	9942	VI	Salinas	c.m	K19
3182	R	1958	F	6	105024	38.3	-0.4		4.2	9943	III	Alicante,SE	? 3	J20
3183	R	1958	R	9	161356	37.2	-3.7	15	4.0	9949	sf	Vega,G		E13
3184	R	1958	A	6	011542	38.4	-1.0		4.2	9958	III	Pinoso		J18
3185	R	1958	Y	2	150238	38.4	-0.5		3.8	9964	II	Alicante,A	8	J19
3186	R	1958	Y	7	082018	37.2	-3.6		5.0	9972	V	Granada,A	6	E13
3187	E	1958	U	7	131820	36.7	-3.0	30	4.8	9986	IV	Dalias	c	D14
3188	E	1958	U	18	142411	38.9	-1.7	10	5.0	9991	VI	(P.Cañada)	c.m	K17
3189	E	1958	U	19	044627	39.1	-0.6	80	5.7	9992	V	(Navarres)	c.m	L19
3190	R	1958	L	4	000806	38.0	-3.7		4.2	9994	sf	Linares	c	H13
3191	R	1958	L	11	140306	36.0	-8.0		4.2	9996	sf	(Atlantic,S)	c	B04
3192	R	1958	G	8	052934	41.8	+2.2		5.0	10008	V	Rubi	c(")m	S25
3193	R	1958	G	8	203726	41.7	+2.3		5.0	10010	V	(Rubi)	c.m(")	S25
3194	R	1958	G	31	222043	37.2	-3.6		3.8	10023	II	Granada,A		E13
3195	R	1958	S	19	153517	38.4	-0.5		3.8	10033	II	Alicante,A	2	J19
3196	R	1958	S	26	202848	37.8	-2.5		4.2	10037	III	(Huescar)	c	H15
3197	R	1958	O	22	042830	36.6	+1.4		5.0	10043	V	C.Tenes	c	D23
3198	R	1958	N	1	231345	37.0	-4.6		3.8	10046	II	Antequera		D11
3199	R	1958	N	8	124832	36.4	-3.3		3.8	10048	sl	Almeria,SE	5.c	C14
3200	R	1958	N	17	212038	36.7	-3.7		3.8	10054	sl	Almuñecar		D13
3201	R	1958	N	25	022356	42.9	+0.3		6.3	10059	VIII	(Quillan)	c(")	U21
3202	R	1958	D	22	024816	38.2	-1.1		5.4	10077	VI	Abanilla	c	J18
3203	R	1958	D	28	082649	36.2	+1.5		5.4	10080	VI	(Lamartine)	c	C23
3204	R	1959	J	17	153415	37.1	-3.3		4.2	10094	III	S.Nevada ?		E14
3205	R	1959	F	2	033923	35.6	-3.0		3.8	10103	sl	Melilla,N		B14
3206	R	1959	F	19	062306	37.5	-7.0		3.8	10109	sl	(R.Odiel)	c	E06
3207	R	1959	F	23	102600	38.5	-10.		4.2	10113	sf	Atlantic,S	c(")	J01
3208	R	1959	R	2	071332	38.4	-0.5		3.8	10119	II	Alicante,A		J19
3209	R	1959	A	7	021606	36.5	-2.8		4.6	10136	IV	M.Alboran	c	C15
3210	R	1959	A	14	162931	38.0	-0.5		5.0	10145	V	Torrevieja,E	m	H19

./. ./.

3211	R	1959	Y	6	205957	39.7	-0.4		5.0	10156	V	Alfafar	c.m	M20
3212	R	1959	Y	20	190846	38.4	-0.5		3.8	10164	II	Alicante,A	2	J19
3213	E	1959	Y	24	131932	37.1	+4.3	33	6.4	10165	VIII	(C.Tedless,N)	c(")	E29
3214	R	1959	U	8	190106	36.4	-2.8		4.2	10172	III	M.Alboran	c	C15
3215	R	1959	U	19	193810	38.1	-0.9		5.0	10174	V	Benejuzar	3.c.m	J19
3216	R	1959	U	20	111052	37.2	-3.6		3.8	10176	II	Granada,A		E13
3217	R	1959	L	6	191844	38.4	-0.5		3.8	10186	II	Alicante,A		J19
3218	R	1959	L	30	000042	36.8	-10.		3.8	10189	sl	S.Vicente,S	c	D01
3219	R	1959	G	4	071207	35.6	-3.0		4.6	10195	IV	Melilla,N	5	B14
3220	E	1959	G	23	222128	35.5	-3.2	33	6.0	10206	VII	(T.Forcas,N)	29.c(")	A14
3221	R	1959	G	30	032450	35.4	-3.0	33	4.4	10226	sf	(T.Forcas)	c(")	A14
3222	R	1959	S	4	013652	38.2	-2.2		4.2	10244	III	Taibilla	2	J16
3223	R	1959	S	17	214902	35.6	-3.0		4.2	10253	III	Melilla,N	4	B14
3224	R	1959	S	30	165737	36.0	-3.4		4.2	10259	III	M.Alboran	c	B14
3225	R	1959	O	5	111538	38.3	-0.4		4.6	10262	IV	Alicante,SE	2	J20
3226	E	1959	N	7	023208	36.6	+2.3	33	6.9	10278	IX	Affreville	c(")	D25
3227	R	1959	D	12	200005	35.8	-0.6		5.8	10298	VII	(Oran)	c	B19
3228	E	1960	F	21	081331	35.7	+4.4	58	7.7	10361	IX	(U.Targa)	c(")	B29
3229	R	1960	R	13	051504	36.9	+3.2		5.0	10376	V	(C.Matigou,N)	c	D27
3230	R	1960	R	17	201036	38.5	-0.8		4.2	10379	III	Salinas		J19
3231	R	1960	A	13	192211	38.3	-0.4		4.2	10399	III	Alicante,SE		J20
3232	R	1960	Y	7	110425	39.4	-9.1		4.6	10422	IV	(C.Rainha)	c	L02
3233	R	1960	Y	9	053925	37.3	-2.2		4.2	10424	III	Albox		E16
3234	R	1960	Y	14	154048	36.7	-9.6	33	4.4	10430	sf	(S.Vicente,S)	c(")	D01
3235	E	1960	U	1	061850	38.2	-1.3	10	5.0	10436	VI	(Archena)	c.m(")	J18
3236	R	1960	U	18	190318	38.9	-0.3		5.0	10443	V	Bemcolet	c.m	K20
3237	R	1960	U	28	132255	37.2	-3.8	10	4.6	10446	in	P.Puente		E13
3238	R	1960	L	16	185529	38.6	-0.9		3.8	10450	sl	Villena	c	K19
3239	R	1960	G	5	052112	43.0	-0.3		5.0	10459	V	(Gripp)	c	U20
3240	R	1960	G	5	055336	36.3	+1.4		5.4	10460	VI	Flatters	c	C23
3241	R	1960	G	6	155050	39.2	-0.5		3.8	10461	II	Carlet		L19
3242	R	1960	G	14	213518	37.5	+2.4		4.2	10463	sf	Alger,N	c(")	E25
3243	R	1960	G	30	092816	37.8	-1.5		4.6	10464	IV	Totana	c	H17
3244	R	1960	S	5	074533	36.8	-5.6	29	5.1	10465	in	(P.Rey)	10.c(")	D09
3245	R	1960	S	27	172559	38.4	-0.5		4.2	10473	III	Alicante,A		J19
3246	R	1960	O	10	112601	37.0	-2.5		3.8	10479	sl	Gador	2.c	D15
3247	R	1960	O	21	014017	37.4	-2.3		5.0	10482	V	Cantoria	2.c	E16
3248	R	1960	N	1	042043	38.4	-0.5		4.2	10497	III	Alicante,A		J19
3249	E	1960	N	1	105618	37.6	-0.5	10	4.6	10498	V	(C.Palos)	2.c	H19
3250	R	1960	N	12	112915	38.4	-0.5		3.8	10519	II	Alicante,A		J19
3251	R	1960	N	14	201021	36.8	-5.5	27	3.9	10522	sl	P.Rey	c(")	D09
3252	E	1960	D	5	212150	36.1	-6.5	42	6.2	10572	VII	E.Gibraltar,W	2.c(")	C07
3253	R	1960	D	11	103544	37.2	-3.6		3.8	10583	III	Granada		E13
3254	R	1960	D	12	200502	37.7	-3.0	30	3.9	10584	sl	(G.Menor)	c(")	H14
3255	R	1960	D	20	034726	35.9	-3.2		4.2	10603	sf	M.Alboran	c	B14

TABLE I

Adopted correspondence between intensity scales and classification by the Spanish official seismic Catalogue's description for every earthquake .

1.	(R)(RF)	(F)	(M)	(FM)	2.	Textual description in the Catalogue	Abstract
I	I	I	I	I	st	sentido poco, apenas perceptible	smallest
II	II	II.III	II	II	sl	pequeño, perceptible, debil	small
III	III.IV	IV	III	III	sf	ligero, mediano	soft
IV	V	-	IV	IV	nd	conmocion,no daños,vivo,no fuerte	no damage
V	VI	V	V	V	in	intenso, daños menores	intense
VI	VII	VI	VI	VI	sg	fuerte, grande, daños ciertos	strong
VII	VIII	VII	VII	VII	vs	muy grande, notable, muy fuerte	very strong
VIII	IX	VIII	-	VIII	vt	derrumbamientos,violento,ruinas y muertes,fuertes perdidas,desastroso,terrible	violent
IX	-	IX	VIII	-	sc	hundimientos y grietas,derrumbamientos importantes,violentisimo, muertes numerosas,destruccion de poblaciones	several colapse
X	X	X	IX	IX.X	ct	espantoso,variaciones de cursos de agua	clear terrible
XI	-	-	X.XI	XI	tc	hundimientos tremendos,destruccion total	total colapse
XII	-	-	-	-	-	no consta hayan realmente ocurrido	unaceptable

1.- International scale modified by Richter 1956, referenced to masonry A,B,C,D and other scales: (C) (S) (MS) (WF) equivalent approximately

2.- Classify

TABLE II

Unified magnitude by grade of intensity

Intensity	A	B	C	D	E	F	G
I	3.7	5.7	3.9	3.5	4.2	3.5	3.5
II	4.1	5.8	4.3	4.1	4.6	4.0	4.0
III	4.5	6.0	4.6	4.8	5.0	4.4	4.4
IV	4.8	6.2	5.0	5.4	5.4	4.8	4.8
V	5.2	6.3	5.4	6.1	5.8	5.2	5.2
VI	5.6	6.5	5.7	6.8	6.2	5.7	5.6
VII	6.0	6.7	6.1	7.4	6.6	6.1	6.1
VIII	6.3	6.8	6.5	8.1	7.0	6.5	6.5
IX	6.7	7.0	6.8	8.7	7.4	6.9	6.9
X	7.1	7.2	7.2		7.8	7.3	7.3
XI	7.5	7.3	7.7		8.2	7.8	7.7
XII	7.9	7.9	7.9		8.6	8.2	8.2

A - Gutenberg & Richter
B - Filippo & Marcelli
C - Karnik
D - Shebalin
E - A,B,C,D, average
F - Bonelli
G - Europ. Seismol. Committee

TABLE III

Unified magnitude by the formula (2)

h	st I	sl II	sf III	nd IV	in V	sg VI	vs VII	vt VIII	sc IX	ct X	tc XI
1=ms	-	-	2.9	3.3	3.7	4.1	4.5	4.9	5.3	5.7	6.2
3	-	2.9	3.3	3.7	4.1	4.5	5.0	5.3	5.8	6.2	6.6
5=s	-	3.1	3.5	3.9	4.3	4.8	5.2	5.6	6.0	6.5	6.8
7	2.9	3.3	3.7	4.1	4.5	4.9	5.3	5.7	6.2	6.6	7.0
9	3.0	3.4	3.8	4.2	4.6	5.0	5.5	5.9	6.3	6.7	7.2
13	3.1	3.5	3.9	4.3	4.7	5.1	5.5	6.0	6.4	6.8	7.2
17	3.3	3.7	4.1	4.5	4.9	5.3	5.8	6.2	6.6	7.0	7.4
21=n	3.4	3.8	4.2	4.6	5.0	5.4	5.8	6.3	6.7	7.1	7.5
25	3.5	3.9	4.3	4.7	5.1	5.4	5.9	6.3	6.8	7.2	7.6
31	3.5	3.9	4.4	4.8	5.2	5.6	6.0	6.4	6.8	7.3	7.7
37	3.7	4.1	4.5	4.8	5.3	5.7	6.1	6.5	7.0	7.4	7.8
43	3.7	4.1	4.5	5.0	5.3	5.8	6.2	6.6	7.0	7.5	7.9
49	3.7	4.2	4.6	5.0	5.4	5.8	6.2	6.7	7.1	7.5	7.9

First columne : depth (kms)

Other columnes : values of **m** for every grade of seismic intensity

ms extremely shallow
s very shallow
n normal shallow

TABLE IV

Approximation in the results

Epoch	magnitude	locality	depth
1ª	~ 1	~ 1º	-
2ª	> 0.75	< 1º	-
3ª	> 0.50	70 to 80 Km	ms,s,i (.)
4ª	0.25 to 0.50	> 50 "	~ 20 Km
5ª	~ 0.25	~ 50 "	~ 10 "
6ª	≤ 0.25	< 50 "	~ 5 "

(.)to see Tab.III, i= intermediate.

TABLE V

Abreviations utilized in the list of earthquakes (month,kind and notes)

K, KIND, reference to quality of data
H= historic
R= recording
E= recording and calculated coordinates

MONTH, J= January Y= May S= September
F= February U= June O= October
R= March L= July N= November
A= April G= August D= December

NOTES, c = coordinates in the Catalogue
m = macroseismic map or specified description in Catalogue
t = A true tsunami is deduced from the description
(2)= two or n earthquakes to same ordinal number in the list
(")= to see the table VIII

TABLE VI

Abbreviation geographical names in the list of the selected earthquakes

Abstract in the list.	Complete geographical names.
Adra,S	Adra, South
Aguilas,S.	Aguilas, South
Alcala, R	Alcala la Real
Alcudia, V	Alcudia (Valencia)
Algarve,S	Algarve, South
Algarve,W	Algarve, West
Alger,E	Alger, East
Alger,N	Alger, North
Alger,S	Alger, South
Alhama, A	Alhama de Almeria
Alhama, G	Alhama de Granada
Alhama, M	Alhama de Murcia
Alhaurin, G	Alhaurin el Grande
Alhucemas,NE	Alhucemas, North-East
Alicante,A	Alicante, around
Alicante,E	Alicante, East
Alicante,NE	Alicante, North-East
Alicante,SE	Alicante, South-East
Almeria,A	Almeria, around
Almeria,P	Almeria (Province of)
Almeria,SE	Almeria, South-East
Almuñecar,S	Almuñecar, South
Andalucia, B	Andalucia Baja
Argeles, M	Argeles-sur-Mer
Arenas, R	Arenas del Rey
Atlantic,E	Atlantic, East
Atlantic,S	Atlantic, South of the area
A.Bessen	Ain Bessen
A.Henares	Alcala de Henares
A.Munt	Arenys de Munt
A.Real	Alcala la Real
A.Rey	Arenas del Rey
A.Segre	Alto Segre
Bagur,E	Bagur, East
Baleares,S	Baleares, South
Barcelona,A	Barcelona,around
Benavente, P	Benavente (Portugal)
Bidasoa, D	Bidasoa, river mouth
Bigorre,S	Bagneres de Bigorre, South
Blanes,E	Blanes, South

./.

B.Rabalou	Bir Rabalou
Cartagena,SE	Cartagena, South-East
Cataluña,NE	Cataluña, North-East
Cataluña,S	Cataluña, South
Ceuta,E	Ceuta, East
Chafarinas,N	Chafarinas, North
C.Almanzora	Cuevas de Almanzora
C.Bear,E	Cape Bear, East
C.Cespedes	Carrion de los Cespedes
C.Gata	Cabo de Gata
C.Gata,S	Cabo de Gata, South
C.Matigou,N	Cape Matigou, North
C.Medinas	Cuevas de los Medinas
C.Mencal	Cabo Mencal
C.Mencal,E	Cabo Mencal, East
C.Nao	Cabo de la Nao
C.Nao,S	Cabo de la Nao, South
C.Palos	Cabo de Palos
C.Palos,SE	Cabo de Palos,South-East
C.Portugal	Coast of Portugal
C.Quilates	Cabo Quilates
C.Rainha	Caldas da Rainha
C.Real	Ciudad-Real
C.Tenes	Cape Tenes
C.Tenes,N	Cape Tenes, North
C.Tedless,N	Cape Tedless, North
C.Vera	Cuevas de Vera
C.Verde	Castro Verde
D.Sibernous	Djebel Sibernous
Espartel,SW	Espartel, South-West
Elche,N	Elche, North
E.Gibraltar	Strait of Gibraltar
E.Gibraltar,W	Strait of Gibraltar, West
E.Tajo	Estuary of Tajo river
Faro,S	Faro, South
F.Alamo	Fuente-Alamo de Murcia
F.Balear	Fosa Balear
F.Garnier	Fort Garnier
F.Higuera	Fuente la Higuera
F.Vaqueros	Fuente Vaqueros
Galicia,C	Galicia Central
Galicia,SW	Galicia, South-East
Galicia,W	Galicia, West
Gandia,E	Gandia, East
Gibraltar,E	Gibraltar, East
Granada,A	Granada, around
Granada,SE	Granada, South-East
Guardamar,E	Guardamar, East
G.Alicante	Gulf of Alicante
G.Almeria	Gulf of Almeria

./.

G.Cartagena	Gulf of Cartagena
G.Cadiz	Gulf of Cadiz
G.Leon	Gulf of Lyon
G.Menor	Guadiana Menor
G.Vizcaya	Gulf of Vizcaya
Higuera,R	Higuera Real
Huelva,S	Huelva, South
Jerez, C	Jerez de los Caballeros
Leiria,W	Leiria, West
Lisboa,W	Lisboa, West
Llavaneras,E	Llavaneras, East
Llobregat, D	Llobregat, river mouth
L.Huelva	Littoral of Huelva
Malaga,A	Malaga, around
Malaga,N	Malaga, North
Malaga, P	Malaga (Province of)
Malaga,S	Malaga, South
Marbella,S	Marbella, South
Medina, B	Medina (Badajoz)
Mediterranean, C	Mediterranean (Central at the Map)
Mediterranean, L	Mediterranean (Levantine Spanish Coast)
Melilla,N	Melilla, North
Melilla,NE	Melilla, North-East
Menorca,SE	Menorca, South-East
Michelet,E	Michelet, East
Molina, M	Molina de Segura (Murcia)
Monforte, P	Monforte (Portugal)
Mora, T	Mora de Toledo
Motril,S	Motril, South
M.Alboran	Mar de Alboran
M.Alhucemas	Mar de Alhucemas
M.Leon	Montes de Leon
M.Perdido	Monte Perdido
M.T.Forcas	Mar de Tres Forcas
Nerja,SW	Nerja, South-East
Oliveira, H	Oliveira do Hospital
Oran,N	Oran, North
Oran,NE	Oran, North-East
O.Fodda	Oued Fodda
Palamos,E	Palamos, East
Palma,NE	Palma de Mallorca, North-East
Peñon,NW	Peñon de Velez de la Gomera, North-West
Pineda,E	Pineda, East
Pirineo, C	Pirineo Central
Pirineo,E	Pirineo, East
Portugal,N	Portugal, North
Portugal,S	Portugal, South
Portugal,SE	Portugal, South-East
Prado, R	Prado del Rey (Cadiz)
P.Anso	Pico de Anso

P.Cañada	Pozo-Cañada
P.Central	Pirineo Central
P.Lillet	Pooia de Lillet
P.Midi	Pic-du-Midi
P.Moniz	Pero Moniz
P.Poules	Port-aux-Poules
P.Puente	Pinos Puente
P.Suert	Pont de Suert
P.Valverde	Puebla de Valverde
P.S.Maria	Puerto de Santa Maria
Rif,S	Rif, South
R.Anoya	Rio Anoya
R.Bidasoa	Rio Bidasoa
R.Deva	Rio Deva
R.Miño	Rio Miño
R.Mira	Rio Mira
R.Odiel	Rio Odiel
Santander,S	Santander, South
Santiago, C	Santiago de Compostela
Segura, B	Segura Bajo
Segura, M	Segura Medio
Seo U	Seo de Urgel
Setubal,S	Setubal, South
Soller,N	Soller, North
S.Alhama	Sierra de Alhama
S.Aracena, SE	Sierra de Aracena, South-East
S.Barbe	Sainte Barbe
S.Bartolome	San Bartolome
S.Bornes	Serra de Bornes
S.Celoni	San Celoni
S.Coloma	Santa Coloma de Farnes
S.Cruz	Santa Cruz de Moya
S.Elvira	Sierra Elvira
S.Fernando	San Fernando
S.Filabres	Sierra de los Filabres
S.Gador	Sierra de Gador
S.Gaudens	Saint Gaudens
S.Javier	San Javier
S.Juan	San Juan de las Abadesas
S.Juan, M	San Juan (Menorca)
S.Just	Sierra de San Just
S.Maria	Sierra Maria
S.Martinho	Sao Martinho
S.Medio	Segura Medio
S.Montilla	Sierra de Montilla
S.Nerja	Southern Nerja
S.Nevada	Sierra Nevada
S.Nicolas	San Nicolas del Puerto
S.Paul	Saint Paul
S.Pedro	San Pedro

./.

S.Pola	Santa Pola
S.Ronda	Serrania de Ronda
S.Roque	San Roque
S.Sebastian	San Sebastian
S.Tejeda	Sierra Tejeda
S.Teotonio	Sao Teotonio
S.Terril	Sierra Terril
S.Vicente	Sao Vicente (Cape)
S.Vicente,E	Sao Vicente, East
S.Vicente,S	Sao Vicente, South
S.Vicente,SW	Sao Vicente, South-East
S.M.Huerta	Santa Maria de Huerta
Tarascon, A	Tarascon-sur-Ariege
Teruel,S	Teruel, South
Torre, M	Torre del Mar
Torrevieja,E	Torrevieja, East
Torrevieja,SE	Torrevieja, South-East
Turis,S	Turis, South
T.Albanchez	Torre de Albanchez
T.Campo	Torre del Campo
T.Cardela	Torre Cardela
T.Forcas	Tres Forcas (Cape)
T.Forcas,N	Tres Forcas, North
T.Forcas,NE	Tres Forcas, North-East
T.Ribera	Torre de la Ribera
T.Vedras	Torres Vedras
U.Guis	Uad Guis
U.Nekor	Uad Nekor
U.Sebisel	Uad Sebisel
U.Targa	Uad Targa
Valencia, R	Valencia (Region)
Vianna, A	Vianna do Alemtejo
Vianna, C	Vianna do Castelo
Villajoyosa,E	Villajoyosa, East
Villareal, H	Villarreal de la Canal (Huesca)
V.Alcolea	Villanueva de Alcolea
V.Algaida	Villanueva de la Algaida
V.Castelo	Vianna do Castelo
V.Cruces	Villanueva de las Cruces
V.Malaga	Velez-Malaga
V.Minho	Valença do Minho
V.Real	Vila Real do Santo Antonio
V.Rio	Villa del Rio
V.Rubio	Velez-Rubio
V.Xira	Vila Franca de Xira

. . . . . .

TABLE VII

TSUNAMI from the Catalogue's description

Order	NºCt	Date	Year	Localities	Additional Notes
3	7		-218	Cadiz bay	Atlantic
5	10		-210	Cadiz city	Atlantic
6	11		-209	Cadiz city	Atlantic
7	13		- 60	Minho mouth	Atlantic
11	17	L 21	365	Malaga and Adra	Mediterranean
113	146	J 26	1531	Tajo estuary	Atlantic
157	202	O 9	1680	Malaga coast	Mediterranean
170	225	D 27	1722	Algarve coast	Atlantic
190	266	N 1	1755	Portugal and Marocco	Atlantic and Mediterranean
191	267	N 2	1755	Tajo and Gibraltar	Atlantic and Mediterranean
198	274	N 16	1755	Coruña and Lisabon	Atlantic
204	289	D 21	1755	Lisabon and North	Atlantic
207	296	J 31	1756	Santany	Mediterranean
211	303	R 20	1756	Tajo estuary	Atlantic
222	329	R 31	1761	Finisterre cape	Atlantic
277	3725	S 21	1790	Cartagena bay	Mediterranean
313	461	F 18	1804	Adra coast	Mediterranean
330	476	F 2	1816	Portugal littoral	Atlantic
419	617	D 23	1848	Northern Portugal	Atlantic
623	949	G 5	1875	Valencia and Tarragona	Mediterranean
624	950	G 13	1875	Valencia coast	Mediterranean
721	1128	J 15	1891	Alger	Mediterranean
1872	3869	F 16	1930	Alger	Mediterranean
3149	9771	D 28	1956	Sabinal(SW Almeria)	Mediterranean

= ABSTRACT =

Mediterranean	10
Atlantic	12
Both	2
Total	24

TABLE VIII

Order	Explanation of the notes	NºCt
190	famous Lisabon's earthquake, conjectural location by descriptions	266
1112	Albufeira= 37.1 -8.3 and ship= 36.6 -7.8	1833
1258	macroseismic information	2153
1270	nearly 36.6 -10.6, calculate by Galitzin	2182
1320	Poyato= 38.5 -1.1 and Fontsere= 38.5 -0.8	2306
1349	submarine epicenter according to macroseismic design by Fontsere	2379
1354	Rey= 41.3 +2.5 and Fontsere= 41.5 +1.8	2387
1360	Rey= 38.2 +1.7, Fontsere= 40.1 +5.6 and ISS= 44.0 +2.5	2414
1378	nearly ISS= 34.5 -10.0	2496
1387	ISS= 41.5 -7.0 and Rey= 41.6 -7.7	2520
1404	ISS= 36.7 -1.1 and Rey= 36.6 -0.9	2561
1415	Inglada= 38.1 -0.8 and S.Navarro= 38.1 -0.7	2582
1486	adopted Rey; ISS= 41.5 -7.0	2732
1524	Rey Pastor sais in the Atlantic; accepted ISS	2835
1551	Rey sais Atlantic epicenter; adopted ISS	2919
1553	Rey sais Sierra Tejeda; adopted ISS	2922
1557	ISS= 36.5 +1.5 and BSI= 36.3 +1.3	2927
1560	ISS= 39.0 0, Poyato= 39.1 -0.5 and Rey= 38.5 +0.2	2939
1562	Calculated ISS=40.5 +4.0,macros. information ep.Latour,West	2945
1566	ISS = 37.0 -10.0 and Rey= 37.2 -9.9	2958
1571	ISS= 36.5 +1.5 and Steinkhard= 36.5 +1.1	2969
1588	ISS= 37.6 -2.8 and Rey= 36.0 -3.9	3037
1589	ISS= 41.5 -7.0 and Rey(two)= 37.8 -5.3 and 35.9 -3.3	3038
1590	ISS= 35.0 -5.0 and Rey= 35.8 -4.1	3041
1594	ISS= 35.5 -5.5 and S.Navarro= 35.5 -4.2	3058
1595	ISS= 42.8 -1.0, S.Navarro= 42.2 0.0 and Inglada= 42.5 -0.9	3059
1605	ISS= 36.0 -5.0 and Rey= 36.3 -4.5	3097
1608	ISS= 40.8 +0.5, macroseismic 41.3 +2.5 and Rey= 40.5 +2.5	3108
1612	ISS= 42.5 +1.0 and Rey= 42.8 +0.8	3113
1622	ISS(two)= 42.8 -1.0 and 42.8 -0.5 and Rey= 43.0 -0.5	3152
1624	ISS= 42.5 +1.0 and Fontsere= 42.8 +0.8	3157
1627	ISS= 37.0 0.0 and Rey= 37.2 -0.3	3159
1637	in the Catalogue is another out of the area at 124745(UT)	3195
1665	ISS= 36.0 -5.0 and Rey= 35.3 -4.0	3255
1669	ISS= 37.2 -3.6 and Rey(two)= 37.0 -3.6 and 36.9 -3.6	3271
1672	ISS= 37.0 -6.5 and Steinkhard= 37.1 -7.3	3290
1680	ISS= 35.3 +3.5 and Rey= 36.0 +4.0	3308
1693	Rey(two)= 40.0 +2.0 and 39.6 +2.2	3337
1694	ISS= 44.5 +4.0 and Rey(two)= 35.0 +2.2 and 40.0 +2.0	3343
1700	adopted Rey; ISS= 44.5 +4.0	3358
1709	ISS= 39.0 -7.5 and Rey= 38.6 -7.9	3372
1725	ISS= 36.0 -5.0 and Rey= 37.0 -5.0	3420
1727	ISS= 36.0 -5.0 and Rey= 37.0 -5.0	3423
1730	ISS= 35.0 -5.0; Rey(two)= 35.8 -3.8 and 35.9 -3.7,and BS= 35.5 -4.0	3431
1731	ISS= 35.0 -5.0 and Rey= 35.3 -3.7	3435

./

1737 ISS= 35.5 -2.5 and Rey= 35.0 -3.4 3444
1738 ISS= 35.5 -2.5 and Rey= 35.0 -3.4 3445
1742 ISS= 36.5 -3.5 and Rey= 36.7 -3.4 3451
1744 nearly ISS= 42.3 -10.5 3455
1758 ISS= 42.3 +2.5 and Fontsere= 41.3 +2.5 3484
1783 ISS= 36.7 -2.0 and S.Navarro= 36.1 -4.5 3527
1784 ISS= 35.3 -3.7 and Rey= 35.6 -3.7 3533
1787 nearly ISS= 34.5 -4.0 and Rey= 35.3 -3.7 3537
1796 ISS= 36.5 -1.0 and Poyato= 38.2 -1.9 3546
1798 ISS= 37.5 -9.0 and Rey= 37.6 -8.7 3551

1808 Rey:Fosa Balear,and IGS:close Oloron,macroseismic information 3570
1814 ISS(two)= 37.2 -3.6 and 37.1 -3.4 3583
1824 adopted ISS and refused Rey= 33.0 -1.0 3629
1831 ISS= 41.3 +2.5 and Fontsere= 41.5 +2.5 3665
1832 ISS= 36.5 -3.0 and S.Navarro= 36.1 -3.0 3672
1847 ISS(two)= 35.5 -5.5 and 34.0 +4.0 and S.Navarro=36.8 -5.6 3790
1858 ISS(two)= 36.1 -3.6 and 36.1 -3.9 and Guillamon= 36.1 -4.1 3828
1865 ISS= 37.3 -4.0 and Rey= 36.9 -3.9 3852
1894 ISS= 41.4 +0.3 and Fontsere= 41.4 +0.9 and 40.9 +0.7 3908
1898 adopted S.Navarro and Rodriguez-N(both equal);ISS=37.5 -0.5(refused) 3921

1900 'adopted Rey= 35.0 -5.1;S.Navarro=34.3 -5.4 and ISS=33.6 -6.2 " 3926
1972 ISS= 35.6 -4.5 and Rey= 35.6 -4.8 4134
1975 ISS =37.6 -2.6 and Rey= 37.5 -2.5 4144
2038 Poyato= 36.5 -3.7 and Rey= 36.7 -4.1 4256
2073 ISS= 36.0 -5.0 and Rey= 36.5 -5.0 4309
2165 The Catalogue notes 34.5 N, 4 W, out of the area 4554
2290 The Catalogue notes 34.8 N, 5.7 W, out of the area 5015
2339 The Catalogue notes 34.7 N, 3.3 E, out of the area 5294
2361 L.S.= 20 and Due= 16, depth 5400
2368 L.S.= 27 and Due= 30, depth 5417

2372 L.S.= 7 and Due= 5, depth 5437
2382 L.S.= 23 and Due= 12, depth 5457
2384 L.S.= 18 and Due= 12, depth 5468
2396 L.S.= 33 and Due= 30, depth 5501
2435 L.S.= 8 and Due= 10, depth 5571
2446 L.S.= 25 and Due= 20, depth 5609
2462 L.S.= 17 and Due= 13, depth 5657
2466 L.S.= 22 and Due= 20, depth 5679
2467 L.S.= 21 and Due= 5, depth 5684
2473 L.S.= s and Due= 0, depth 5720

2477 L.S.= 20 and Due= 15, depth 5756
2483 L.S.= 20 and Due= 22, depth 5796
2486 L.S.= 15 and Due= 2, depth 5814
2489 L.S.= 20 and Due= 15, depth 5861
2494 L.S.= 32 and Due= 20, depth 5952
2497 L.S.= 17 and Due= 20, depth 5969
2499 L.S.= 18 and Due= 12, depth 5976
2519 L.S.= 27 and Due= 30, depth 6102
2520 L.S.= 28 and Due= 6, depth 6106
2522 L.S.= 35.0 -3.3 and Due= 35.0 -3.3; L.S.= 22 and Due= 35, depth 6128

2530 L.S.= 9 and Due= 5, depth 6181
2540 L.S.= 23 and Due= 25, depth 6275
2551 Catalogue note: 43.7 N, 9¥.0 W, and BCIS= 43.7 -10.0(adopted) 6317
2555 L.S.= 12 and Due= 17, depth 6322
2560 L.S.= 24 and Due= 18, depth 6330
2563 L.S.= 5 and Due= 10, depth 6341
2576 L.S.= 14 and Due= 10, depth 6406
2578 Eb.Ca= 38.1 +0.6 and L.S.= 36.7 +0.6 6422
2580 L.S.= 16 and Due= 18, depth 6428
2585 L.S.= 16 and Due= 25, depth 6447

2589 L.S.= 27 and Due= 30, depth 6460
2604 macros.=15 and Fontsere=25;L.S.= 42.5 +1.1 and Fontsere=42.3 +1.4 6529
2629 L.S.= 20 and Due= 15, depth 6711
2631 L.S.= 18 and Due= 12, depth 6723
2639 L.S.= 16 and Due= 20, depth 6779
2646 L.S.= 23 and Due= 20, depth 6793
2655 L.S.= 20 and Due= 23, depth 6819
2662 L.S.= 26 and Gimeno= 35, depth 6855
2670 L.S.= 14 and Gimeno= 10, depth 6888
2678 Eb.Alm=36.2 +0.1 and Alic.Mal.Tol.Car.= 38 +2.5 6923

2687 L.S.= 7 and Gimeno= 5, depth;L.S.= 38.3 -0.4 and Gimeno=38.2 -0.7 6950
2700 L.S.= 15 and Gimeno= 20, depth 7005
2707 L. S.= 25 and Gimeno= 20, depth 7034
2717 Alic= 35.3 -4.0 and Alm= 36.1 -3.2 7057
2742 L.S.= 15 and Due= 10, depth 7178
2766 L.S.= 24 and Due= 27, depth 7277
2775 Alic= 36.6 +5.2 and Alm= 36.5 +5.2.Adopted mean latitude and +5 long. 7301
2789 L.S.= 22 and Due= 25, depth 7395
2797 L.S.= 24 and Due= 20, depth 7466
2822 L.S.= s and Due= 20, depth 7624

2834 Fontsere sais Capdella, and L.S. supposes Fosa Balear 7751
2838 L.S.= 11 and Due= 18, depth 7757
2852 L.S.= IV and Ca.= VI, intensity 7846
2857 L.S.= 22 and Due= 15, depth 7866
2861 L.S.= 22 and Due= 20, depth 7882
2868 L.S.= 17 and Due= 10, depth 7943
2881 L.S.= 120 and Due= 80, depth 8011
2898 L.S=37.6 -4.1;Alm.Tol.=38.0 -4.0;Cart.=38.3 -4.2 and macros.37.5 -3.9 8137
2910 L.S.= 47 and Due= 80, depth 8221
2919 L.S.= 37.6 -4.7 and Due= 37.6 -4.8 8311

2956 L.S.= 37.2 -2.0 and Due= 37.3 -2.4 8616
2974 L.S.= 45 and Due= 15; L.S.= 37.2 -3.3 and Due= 37.6 -3.4 8740
2976 L.S.= 37.4 -6.4 and Due= 35.3 -7.0 8777
2978 L.S.= 34 and Due= 25, depth 8791
2982 L.S.= 15 and Due= 10; L.S.= 37.1 -3.5 and Due= 37.2 -4.0 8814
2985 in the Catalogue BCIS= 36.9 N, 11.0 W 8820
2990 L.S.= 37.0 -4.3 and Due= 37.2 -4.0 8838
3019 in the Catalogue BCIS= 36.3 N, 10.1 W 8974
3022 L.S.= 4 and Due= 15, depth 8988
3024 IS= 37.1 -4.1 and LS= 36.5 -3.5 9009

./.

./.

3032 in the Catalogue BCIS= 36.0 N, 5 SE 9040
3033 LS= 41.1 -1.7 and BCIS= 41.0 -1.0 9044
3042 LS= 37.0 -5.3 and BCIS= 37.0 -5.7 9060
3044 LS= 23 and Due= 25, depth 9076
3052 LS= 655 and Due= 650;LS=37.0 -3.8,Due=37.0 -3.5;Pas.and Bek.m=7.5 9102
3056 in the Catalogue BCIS= 34.7 N, 4.9 W 9120
3066 LS= 14 and Due= 10, depth 9186
3068 USCGS=36.0 +1.5,BCIS=36.2 +1.2,Tol=36.2 +1.7;depth Kirkland=15,Tol=10 9197
3069 BCIS= 36.6 +1.3, Toledo= 35.8 +1.0 9221
3087 Mal. Alic.=38.3 -1.6 and Tol.Ca= 38.6 -1.1 9346
3091 depth= 25 to 135 by L.C.M. 9353
3093 LS= 15 and Due=10, depth 9362
3094 BCIS= 36.6 +1.5,Toledo= 35.9 +1.6 9372
3100 BCIS= 36.4 +1.6, CGS= 36.5 +1.5, Toledo= 36.5 +1.3 9391
3111 LS= 40 and Due= 20, depth 9473

3115 BCIS= 36.0 N, 11.0 W 9492
3120 BCIS= 36.5 +1.5, USCGS= 37.0 +1.5, Toledo= 36.0 +1.3 9515
3121 BCIS= 43.1 -0.5 and Ali= 42.7 -1.0 9516
3125 LS= 95 and Due= 15, depth 9521
3128 Alic= 37.1 -3.8;Alm= 37.3 -4.0 and Mal= 37.3 -3.8 9533
3138 Alic= 36.5 -9.4 and Malaga= 36.5 -8.6 9711
3147 LS= 71 and Due= 50, depth 9764
3148 LS= 36 and Due=10; Tol= 37.3 -4.5 and Alic= 37.3 -4.3 9769
3151 LS= 32 and Due= 45; Mal= 37.3 -2.3 and Alic= 36.9 -1.9 9796
3162 Alic= 36.5 -1.8 and Mal= 36.0 -2.0 9852
3163 Alic.Tol.= 36.2 -7.5; BCIS= 36.0 -7.5 and Mal= 36.4 -6.8 9858
3164 Alic.= 36.3 -7.9 and Mal= 36.4 -7.3 9861
3174 BCIS= 36.6 +1.3 and USCGS= 37.0 +2.0 9921
3176 USCGS= 36.0 +2.0 and Alic= 36.5 +1.5 9924
3177 Alic(two)= 38.9 -0.7 and 38.9 -0.3 9931

3192 perhaps two focus by Fontsere,Alic= 42.2 +2.4 and 41.5 +2.0 10008
3193 perhaps shake of 10008 three focus,Alic=42.2 +2.4,41.5 +2.0,41.4+2.5 10010
3201 BCIS= 43.0 +0.3; LS= 42.8 +0.3 and USCGS= 43.0 +0.5 10059
3207 BCIS= 38.5 N, 11.0 E 10113
3213 BCIS= 36.3 +4.8, Toledo= 37.9 +3.9 10165
3220 CGS= 35.5 -3.0,Toledo= 35.5 -3.3 10206
3221 CGS= 35.5 -3.0, BCIS= 35.4 -3.4, Toledo= 35.2 -2.7 10226
3226 Alger= 36.4 +2.5, Toledo= 36.8 +2.2 10278
3228 USCGS= 36.0 +4.5, Alger= 36.0 +4.1, Toledo= 35.2 +4.6 10361
3234 BCIS= 37.0 -9.5, Toledo= 36.5 -9.8 10430
3235 Alm= 38.1 -1.1, Alicante= 38.3 -1.8, Toledo= 38.4 -1.2 10436
3244 BCIS= 36.8 -5.8, Toledo= 36.9 -5.6; depth Mal= 25, Tol= 33 10465
3251 BCIS= USCGS=37.2 -4.8, Tol=36.5 -6.3;depth USCGS=BCIS=44,Tol=10 10522
3252 USCGS=35.9 -6.5,BCIS=36.0 -6.5,Tol=36.5 -6.5;depth CGS=66,BCIS=50,
Tol= 10 10572
3254 Alic= 37.5 -3.6, Tol= 37.9 -2.5; depth Alic= 50, Tol=10 10584

REFERENCES OF BIBLIOGRAPHY

1.BONELLI,J and CHACON,L.-"Catalogo de sismos peribericos", 1934 to 1960, manuscript, Instituto Geografico y Catastral, Madrid.

2.DAVISON,C.-"A manual of Seismology",Cambridge University, London,1921.

3.DUE,A (S.J.).-"Movimientos sismicos en España durante 1941", Boletin de la Real Sociedad de Historia Natural, Vol. XLI, pp 473-479, Madrid, 1943.

4.DUE,A (S.J.).-"Movimientos sismicos etc.1942", Bol. RSHN,Vol XLII,pp 425-431, Madrid, 1944.

5.DUE,A (S.J.).-"Mov. sis. 1943", Bol RSHN,Vol XLII,pp 631-632,Madrid,1944

6.DUE,A (S.J.).-"Mov. sis. 1944", " " " XLIV " 539-548, " 1945

7.DUE,A (S.J.).-"Mov. sis. 1945", " " " XLV " 151-158, " 1947

8.DUE,A (S.J.).-"Mov. sis. 1946", " " " XLVI " 173-180, " 1948

9.DUE,A (S.J.).-"Mov. sis, 1947", " " " XLVII " 485-493, " 1949

10.DUE,A (S.J.).-"Mov. sis. 1948", " " "XLVIII " 83- 90, " 1950

11.DUE,A (S.J.).-"Mov. sis. 1950", " " " XLIX " 209-224, " 1951

12.DUE,A (S.J.).-"Mov. sis. 1951", " " " LI " 59- 71, " 1954

13.DUE,A (S.J.).-"Mov. sis. 1952", " " " LI " 73- 84, " 1954

14.DUE,A (S.J.).-"Mov. sis. 1953", " " " LIV " 151-158, " 1956

15.DUE,A (S.J.).-"Mov. sis. 1954", " " " LIV " 159-166, " 1956

16.DUE,A (S.J.).-"Mov. sis. 1955", " " " LVI " 241-248, " 1958

17.DUE,A (S.J.).-"Mov. sis. 1956", " " " LVI " 487-494, " 1958

18.DUE,A (S.J.).-"Mov. sis. 1957", " " " LVII " 125-131, " 1959

19.DUE,A (S.J.).-"Mov. sis. 1958", " " " LVIII " 97-104, " 1960

20.DUE,A (S.J.).-"Criterios de delimitacion de zonas sismicas", Ponencia to colloquy of Earthquake Engineering of the Asociacion Española para el Progreso de las Ciencias, December 1962, Madrid.

21.DUE,A (S.J.).-"La sismicidad del Sudeste de España", Bull. d'Information UGGI, IUGG News-Letter, 2º An. No 2, Av 1953, pp 211-216.

22.EIBY,G.A.-"The problem of Seismic Zoning", Earthquake Symposium, W.B.N.Z., Inst. of Engin., Wellington, 1961.

./.

23.EUROPEAN SEISMOLOGICAL COMMISSION.-"Rapport sur l'Asamblee de la Comission Seismologique Europeen", manuscript, Jena, 1962.

24.FIGUEROA,J.-"Mexican National Report on Seismology", Anales del Inst. Geof. Vol. 7, Universidad Nacional Autonoma de Mexico, 1961.

25.FONTSERE,E.-"Los temblores de tierra Catalanes del año 1945", Real Academia de Ciencias y Artes, Observatorio Fabra, Barcelona.

26.FONTSERE,E.-"Los temb. de tierra Cat. 1948 y 1949",RACA,OF,Barcelona.

27.FONTSERE,E.-"Los temb. de tierra Cat. 1946 y 1947" " " "

28.FONTSERE,E.-"Los temb. de tierra Cat. 1950" " " "

29.FONTSERE,E.-"Los tem. de tierra Cat. 1951" " " "

30.FONTSERE,E.-"Los temb. de tierra Cat. 1952 y 1953" " " "

31.GALBIS,J.-"Catalogo de Sismos Peribericos", Vol. I (hasta 1928), Instituto Geografico y Catastral, Madrid, 1932.

32.GALBIS,J.-"Catalogo de Sismos Peribericos", Vol. II (hasta 1933),Instituto Geografico y Catastral, Madrid, 1940.

33.GIMENO,A (S.J.).-"Movimientos sismicos en España durante 1949", Bol. de la Real Sociedad Española de Historia Natural, Vol. XLIX, pp 197 -208, Madrid, 1951.

34.GUTENBERG,B and RICHTER,C.F.-"Seismicity of the Earth and associated phenomena", Princeston University, Princeston, 1954.

35.INGLADA,V.-"Nuevas formulas para abreviar el calculo de la profundidad aproximada del foco sismico por el metodo de Koevesligethy, y su aplicacion a algunos temblores de tierra", Instituto Geografico y Catastral, Madrid, 1921.

36.INSTITUTO GEOGRAFICO Y CATASTRAL.-"Conjuntos provinciales", 50 maps of the Spanish Provinces, Madrid.

37.INSTITUTO GEOGRAFICO Y CATASTRAL.-"Mapa de la Peninsula Iberica, Escala = 1:1.000.000", Madrid.

38.INSTITUTO NACIONAL DE ESTADISTICA.-"Nomenclator de las Provincias de España", 50 volumes, Madrid.

39.KIRKLAND,W.G.-"The Agadir Morocco Earthquake", Com. St. Steel, New York,1960.

40.LOPEZ ARROYO,A.-"Criterios de Ordenacion y publicacion de datos sismicos", Earthquake Engineering Coloquy, As. Esp. para el P.C.,1962.Madrid

41.MADOZ,P.-"Diccionario Geografico", 16 volumes, Madrid, 1850.

./.

42.MUNUERA,J.M.-"Caractere ..canicos de los sismos", Earthquake Engineering Coloquy, Dec.1962, As. Esp. para el P. C., and ASINTO,No 37, Madrid, 1963.

43.PUYAL,V and ALMELA,A.-"Mapa sismotectonico de la Peninsula Iberica", Two maps, 1960 and 1962, Instituto Geografico y Catastral e Instituto Geologico y Minero, Madrid.

44.REY PASTOR,A.-"Sismos notables peninsulares", descriptive chips, Spanish Seismological Survey, Madrid.

45.REY PASTOR,A.-"Mapa sismotectonico de la Peninsula Iberica", Two maps,1951 and 1956, Instituto Geografico y Catastral, Madrid.

46.REY PASTOR,A.-"La sismicidad de la Peninsula Iberica", Bull. d'Infor. UGGI, IUGG News-Letter, 2º An. No 2, Av 1953, pp 211.216.

47.SANCHEZ NAVARRO,M (S.J.).-"Bosquejo sismico de la Peninsula Iberica", Bol. Real Soc. Esp. Historia Natural, Vol. XVII, 1917,pp 83-109.

48.STIELER.-"Gran Atlas Geografico", 2 volumes, Justus Perthes, Gotta, 1932.

49.SERVICIO CARTOGRAFICO DEL AIRE.-"Mapa aeronautico, escala 1:1.000.000, del area 10ºW to 5ºE, Long. Gr, 34º to 44º N. Lat." Madrid, 1961.

50.SERVICE GEOGRAPHIQUE DE L'ARMEE FRANCAISE.-"Algerie, escale 1:50.000", Paris.

51.SERVICIO GEOGRAFICO DEL EJERCITO.-"Mapa de las Islas Baleares, escala 1:50.000" Madrid.

52.SERVICIO GEOGRAFICO DEL EJERCITO.-"Mapa del Norte de Marruecos, escala = 1:50.000, Madrid.

53.TAKAHASI,R.-"A graphical determination of the Position of the Hypocentre of an Earthquake", Bull. E.R.I., Vol VI, Tokyo, 1929.

54.THE TIMES.-"Atlas of the World", five volumes, John Bartholomew, London, 1955.

55.TORALLAS,E.-"Rapport sur l'organisation du Service Seismologique en Espagne" Instituto Geografico y Catastral, Madrid, 1924.

. . . .

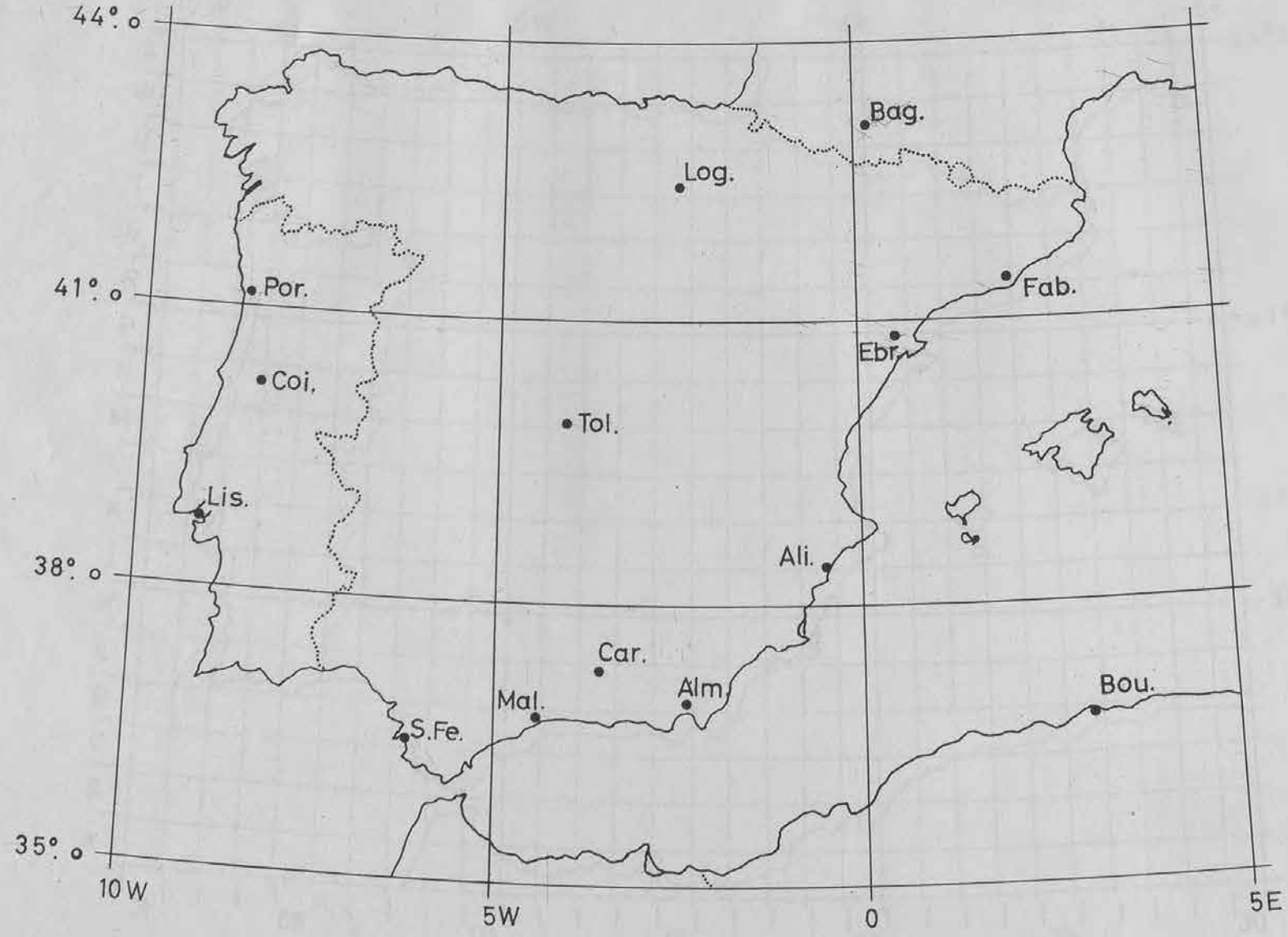


FIG. 1. = Sketch of the area.

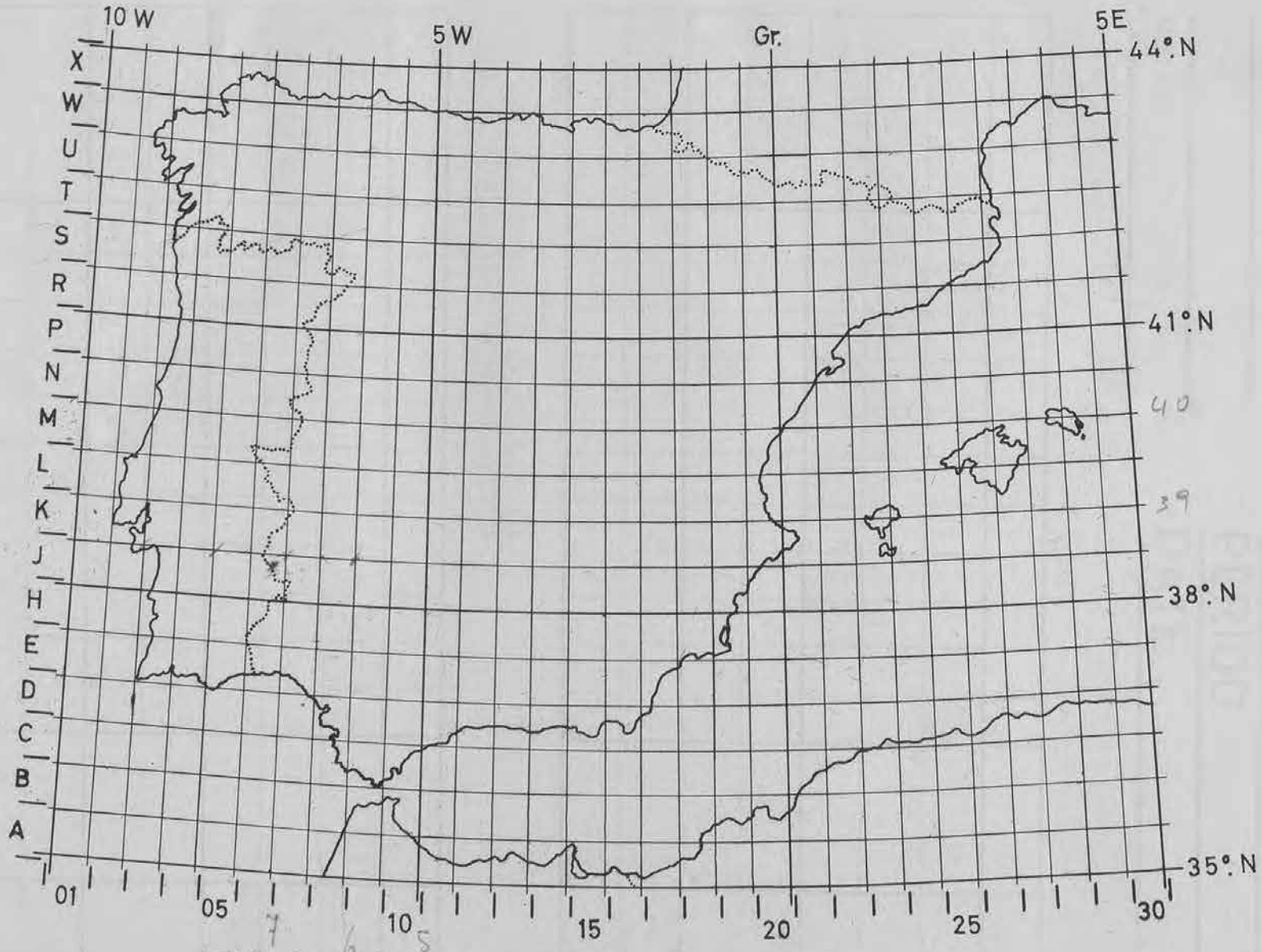


FIG.2. = Model for epicenters map.

TITLE:

PERIOD:

DATE:

NOTES:

NOTES:

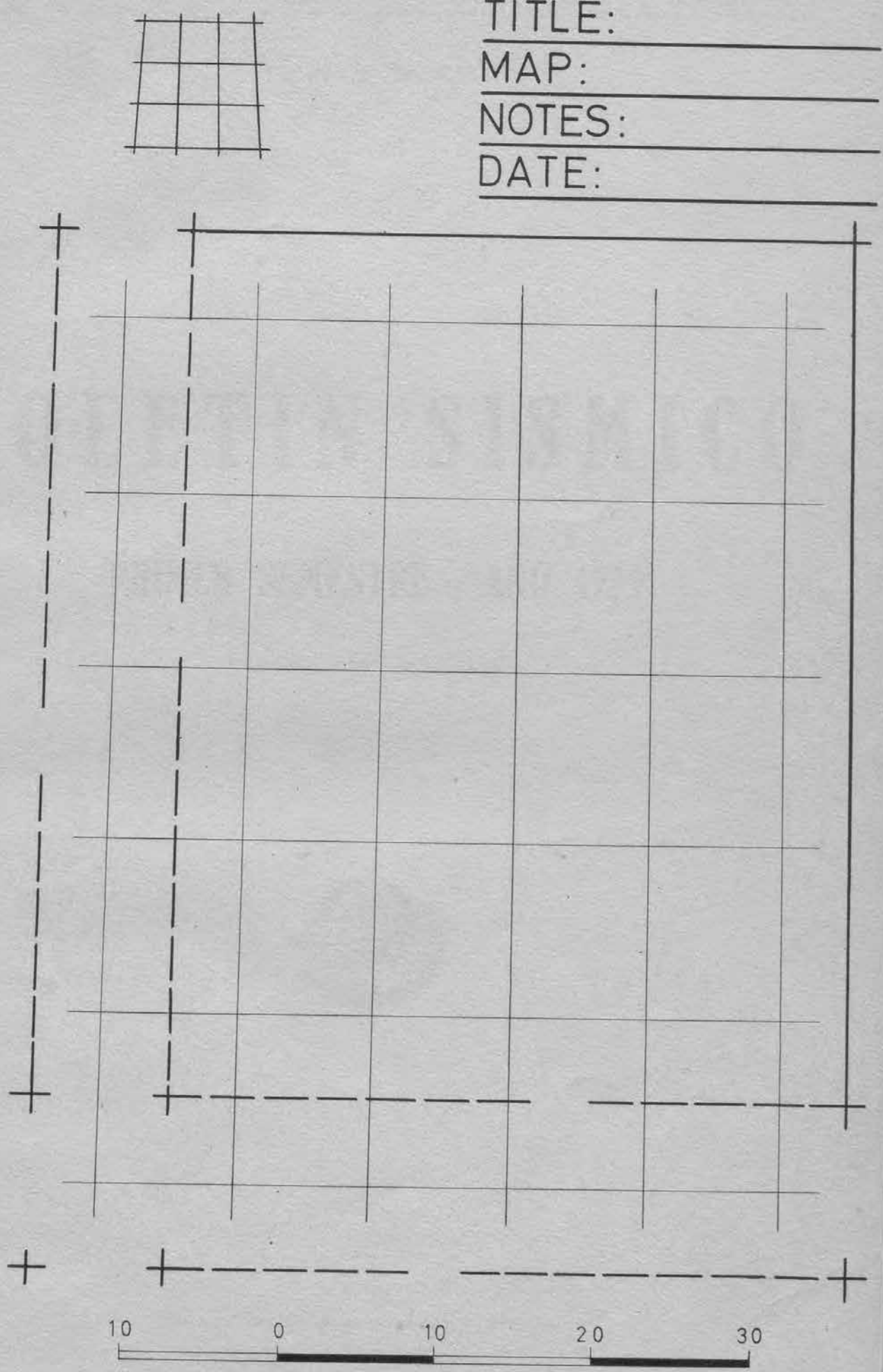


FIG. 4.= Model to plote epicenters

MEMORIAS DEL INSTITUTO GEOGRAFICO Y CATASTRAL

Tomo XXXII

II

BOLETIN SISMICO

PRIMER SEMESTRE - AÑO 1959

DEPÓSITO LEGAL M-7387-1958



MADRID

TALLERES DEL INSTITUTO GEOGRAFICO Y CATASTRAL

1 9 6 3

BOLETIN SISMICO

PRIMER SEMESTRE - AÑO 1959

LABORATORIO CENTRAL DE SISMOLOGIA

La situación geográfica y los equipos que constituyen los Observatorios dependientes del Laboratorio Central de Sismología, son los siguientes:

OBSERVATORIO SISMOLOGICO DE ALICANTE

COORDENADAS

Lat. = 38° 21' 19",22 N.
Long. = 0° 29' 14",06 W. Gr.
a = 35 metros.
Subsuelo = Cretáceo superior.

SISMOGRAFO	COMPONENTE	MASA — Kgs.	PERIODO — T_o	AMPLIFICACION — V	ROZAMIENTO — $\frac{r}{T_o^2}$	AMORTIGUAMIENTO — ε
Mainka	N.-S.	1.000	9	700	0,043	4,2
Mainka	E.-W.	1.000	9	392	0,030	4,0
Wiechert	Z	800	0,5	200	—	—

OBSERVATORIO GEOFISICO DE ALMERIA

COORDENADAS

Lat. = 36° 51' 09",07 N.
Long. = 2° 27' 35",18 W. Gr.
a = 65 metros.
Subsuelo = Tosca marina (Caliza del plioceno).

SISMOGRAFO	COMPONENTE	MASA — Kgs.	PERIODO — T_o	AMPLIFICACION — V	ROZAMIENTO — $\frac{r}{T_o^2}$	AMORTIGUAMIENTO — ε
Mainka	E.-W.	750	9,2	0,007	371	4,77
Mainka	N.-S.	750	8,6	0,014	508	4,39
Mainka	Z	500	6,3	0,008	221	1,09

OBSERVATORIO SISMOLOGICO DE MALAGA

COORDENADAS

Lat. = 36° 43' 39" N.
Long. = 4° 24' 40" W. Gr.
a = 60,3 metros.
Subsuelo = Caliza triásica.

SISMOGRAFO	COMPONENTE	PER. GAL. — T_g	PER. PEND. — T_p	AMPLIFICACION — V	AMORTIGUAMIENTO — μ^2
Victoria	Z	7	0,3	1.600	30
Wiechert	Z	7	12,5	1.600	5
Askania.	Z	1,5	1,5	—	En pruebas
Askania.	Z	1,5	1,5	—	Idem.
Askania.	Z	1,5	1,5	—	Idem.

SISMOGRAFO	COMPONENTE	MASA — *Kgs.*	PERIODO — T_o	PERIODO — T_g	AMPLIFICACION — V	AMORTIGUAMIENTO — μ^2
Victoria.	Z	100	0,3	7	1.600	30
Wiechert.	Z	80	12,5	7	1.600	5

OBSERVATORIO CENTRAL GEOFISICO DE TOLEDO

COORDENADAS

Lat. = 39° 52' 53" N.
Long. = 4° 02' 55" W. Gr.
a = 480,46 metros.
Subsuelo = Mioceno superior.
Sismógrafo Wiechert = Velocidad de registro: 20 mm. por minuto.

SISMOGRAFO	COMPONENTE	MASA — Kgs.	PERIODO — T_0	AMPLIFICACION — V	ROZAMIENTO — $\frac{r}{T_0^2}$	AMORTIGUAMIENTO — ε
Wiechert	Z	1.200	2,7	1.440	0,105	2,4
Wiechert	E'	1.000	10,3	530	0,119	2,8
Wiechert	N'	1.000	10,3	547	0,025	2,3

Sismógrafo Sprengnether = Velocidad de registro: 30 mm. por minuto.

SISMOGRAFO	COMPONENTE	PERIODO PENDULO — T_p	PERIODO GALVANOMETRO — T_g	AMPLIFICACION — V_m	AMORTIGUAMIENTO — μ^2
Sprengnether...	Z	1,70	1,70	—	0,38
Sprengnether...	E	14,3	14,3	1.780	0,30
Sprengnether...	N	13,0	13,0	1.735	0,31

1.—SISMO DE 1 DE ENERO DE 1959

H = 02h 06m 50s
Mag: 4,5 (U.R.S.S. Artico)
84° N., 3° W. (U. R. S. S., Artico)
A lo largo de la costa NE. de Groenlandia.

MALAGA

iP	02h	15m	19s	
i		15	35	D = 5.230 kms. = 47°

2.—SISMO DE 1 DE ENERO DE 1959

H = 07h 26m 07s
Mag: 5 3/4 (Wellington)
18° 1/2 S., 175° 1/2 W. (U. S. C. G. S.)
Región islas Tonga.

MALAGA

iP'$_2$	07h	46m	54s	D = 17.790 kms. = 160°

3.—SISMO DE 1 DE ENERO DE 1959

H = 07h 49m 35s
Mag: 5 3/4 (Wellington)
18° 1/2 S., 177° W. (U. S. C. G. S.)
Región de las islas Fidji

MALAGA

eP'$_2$	08h	10m	18s	D = 17.820 kms. = 160° 3

4.—SISMO DE 2 DE ENERO DE 1959

H = 05h 19m 41s
Mag: 5,2 (Praha)
47° 7 N., 4° W. (B. C. I. S.)
Bretaña, Francia; cerca de las islas Glénans.

Sentido (G. VI) en el S. de Finisterre; G. V en el Morbihan y las costas del Norte; G. III-IV en todo el NE. de Francia; G. IV en Jersey. Sentido claramente en Paris. Radio macrosísmico = 400 kms. ap.

ALICANTE

P	05h	22m	11s	
PP		22	19	
(S)		24	04	
L		24	58	
F		45	—	D = 1.100 kms. = 9° 9

ALMERIA

(eP)	05h	22m	19s	
iPP		22	25	
L		25	10	D = 1.100 kms. = 10°

TOLEDO

ePn	05	21	42	
i		23	20	
eSn		23	16	
e		23	27	
M		23	41	
F		33	—	D = 870 kms. = 7° 8

5.—SISMO DE 4 DE ENERO DE 1959

H = 03h 16m 36s
Mag: 5 1/2 - 5 3/4 (Matsushiro)
10° S., 111° 1/2 E. (U. S. C. G. S.)
Sur de Java

ALICANTE

L	04h	11m	10s	
Mo		19	52	
F		45	—	D = 12.700 kms. = 114° 3

6.—SISMO DE 5 DE ENERO DE 1959

H = 09h 46m 42s
Mag: 6 1/2 - 6 3/4 (Pasadena)
22° S., 171° 1/2 E. (U. S. C. G. S.)
Región islas de la Lealtad

ALICANTE

P'$_1$	10h	06m	45s	
P'$_2$		07	32	
(SKS)		13	49	
SS		31	35	
L	11	03	29	
Mo		15	43	
F		30	—	D = 18.000 kms. = 162°

ALMERIA

P'$_1$	10	06	48	
pP'$_1$		07	02	
(P'$_2$)		07	57	
iPP		11	32	(compresión)
PPP		15	19	D = 18.000 kms. = 162°

MALAGA

iP'	10	06	47	
iP'$_2$		07	47	
iPP		11	33	D = 18.350 kms. = 165°

7*.—SISMO DE 6 DE ENERO DE 1959

Local.

ALMERIA

iPg	05h	38m	16s	
iP'		38	18	
iSg		38	23	D = 60 kms. = 0° 5

8.—SISMO DE 7 DE ENERO DE 1959

H = 05h 13m 05s

27° N., 53° 3/4 E. (B. C. I. S.)

Cerca de la costa del Irán.

MALAGA

iP	05h	22m	03s	
ePP		23	57	D = 5.560 kms. = 50°

9*.—SISMO DE 7 DE ENERO DE 1959

Local.

ALMERIA

ePg	18h	25m	23s	
i		25	33	
iSg		25	46	D = 200 kms. = 1° 8

MALAGA

iPg	18	25	15	
iSg		25	25	
iSn		25	30	D = 90 kms. = 0° 8

10.—SISMO DE 8 DE ENERO DE 1959

H = 01h 33m 48s

Mag: 6 1/2 - 6 3/4 (Pasadena)

15° 1/2 N., 61° W. h = 100 kms. ap.

Pequeñas Antillas. (U. S. C. G. S.)

Sentido en Trinidad y San Vicente, Martinica, etc.

ALICANTE

P	01h	43m	38s	
iS		51	30	
SS		55	08	
L	02	01	52	
Mo		06	34	
F		25	—	D = 6.450 kms. = 58° 1

ALMERIA

iP	01	43	23	
sP		44	00	
PcP		44	17	
iS		50	59	D = 6.200 kms. = 56°

MALAGA

iP	01	43	13	
ePcP		44	00	
iS		50	46	
iScS		52	46	D = 6.030 kms. = 54° 2

TOLEDO

iP	01h	43m	18s	(compresión)
ePcP		44	05	
ePP		45	10	
iS		50	54	
e		52	52	
L		56	15	D = 6.100 kms. = 54° 7

11*.—SISMO DE 8 DE ENERO DE 1959

Local.

MALAGA

iPg	20h	34m	41s	
iPn		34	44	
iSg		34	48	
iS		34	51	
iSn		34	55	
F		35	—	D = 75 kms. = 0° 6

12.—SISMO DE 9 DE ENERO DE 1959

H = 01h 55m 04s

Mag: 5 1/2 (Atenas)

36° 1/4 N., 21° 1/2 E. (B. C. I. S.)

A lo largo de la costa S. del Peloponeso, Grecia.

ALICANTE

P	01h	59m	18s	
PP		59	33	
S	02	02	37	
L		04	12	
F		30	—	D = 2.000 kms. = 18°

MALAGA

iP	01	59	53	
iPP	02	00	16	D = 2.330 kms. = 21°

TOLEDO

eP	01	59	54	

13.—SISMO DE 11 DE ENERO DE 1959

H = 07h 22m 40s

Mag: 5,7 (Tacubaya)

15° N., 90° W. h = 200 kms.

Guatemala. (U. S. C. G. S.)

ALMERIA

iP	07h	34m	27s	D = 8.800 kms. = 79°

MALAGA

iP	07	34	17	
ipP		35	05	
iPP		37	17	D = 8.650 kms. = 77° 8

14.—SISMO DE 11 DE ENERO DE 1959

Registrado en Cartuja.

ALICANTE

L	15h	13m	44s	
Mo		17	44	
F		30	—	

15.—SISMO DE 13 DE ENERO DE 1959

H = 01h 15m 25s
Mag: 6 3/4 (Pasadena)
13° 1/2 N., 146° E. (U. S. C. G. S.)
Islas Marianas.

ALICANTE

P'	01h	34m	16s	
PP		35	40	
(SKS)		41	11	
L	02	12	11	
Mo		21	09	
F		40	—	D = 13.250 kms. = 119° 2

MALAGA

iPP	01	36	05	
iPKS		37	02	D = 13.580 kms. = 122° 1

TOLEDO

L	02	20	18
M		24	48
	seg.	micrones	
M	N 17.0	2.0	

16.—SISMO DE 13 DE ENERO DE 1959

H = 08h 34m 08s
9° N., 83° 1/2 W. h = 100 kms. ap.
Región de Costa Rica. (U. S. C. G. S.)

Sentido en El Volccan, Panamá.

ALICANTE

P	08h	45m	58s	
(S)		55	52	
L	09	12	02	
F		35	—	D = 8.800 kms. = 79° 2

TOLEDO

eP	08	45	52
M	09	09	15

17.—SISMO DE 13 DE ENERO DE 1959

H = 09h 37m 18s
9° S., 67° 1/2 E. (U. S. C. G. S. y B. C. I. S.)
Región del archipiélago de Chagos.

ALICANTE

P	09h	49m	23s	
PcP		49	33	
PP		52	23	
eS		59	20	
SS	10	04	27	
L	10h	15m	05s	
F		35	—	D = 8.750 kms. = 78° 8

18*.—SISMO DE 15 DE ENERO DE 1959

Sur de España. (L. C. S., Madrid)
Datos discordantes.

ALMERIA

iPg	01h	14m	47s	
iSg		15	05	D = 150 kms. = 1° 4

MALAGA

iPg	01	14	33	
iSg		14	43	
iSn		14	49	
F		17	—	D = 80 kms. = 0° 7

TOLEDO

(Pg)	01	15	28
(Sg)		16	21
M		16	30
F		19	—

19.—SISMO DE 16 DE ENERO DE 1959

H = 01h 31m 25s
Mag: 6,2 (Uppsala)
52° N., 171° W. h = 60 kms. ap.
Islas de los Zorros (Aleutianas). (U. S. C. G. S.)

MALAGA

iP	01h	44m	27s	
ipP		44	43	
ePP		47	29	D = 10.010 kms. = 90°

20*.—SISMO DE 17 DE ENERO DE 1959

Registrado en Cartuja.

MALAGA

iPg	15h	34m	30s	
iSg		34	41	
iSn		34	45	
F		36	—	D = 90 kms. = 0° 8

21.—SISMO DE 18 DE ENERO DE 1959

H = 22h 23m 15s
Mag: = 6 1/4 (Pasadena)
19° S., 178° W. h = 450 kms. ap.
Islas Fidji. (U. S. C. G. S.)

ALICANTE

P'1	22h	42m	17s	
PP		46	47	
SKS		48	33	
F	23	55	—	D = 17.800 kms. = 160° 2

ALMERIA

iP'_1	22^h	42^m	29^s	
iP'_2		43	15	D = 18.000 kms. = 162°

MALAGA

iP'_1	22	42	28	
iP'_2		43	17	
i		44	48	
iPP		47	03	
iSKS		49	10	D = 17.920 kms. = 161° 2

TOLEDO

eP'_1	22	42	23	
iP'_2		43	03	
ePP	46	39	—	D = (17.500) kms. = (158°)

22*.—SISMO DE 19 DE ENERO DE 1959

Local. Grado II (Alicante).

ALICANTE

Pg	04^h	01^m	50^s	
Sg		01	55	
F		03	16	D = 40 kms. = 0° 4

23*.—SISMO DE 20 DE ENERO DE 1959

Sin más datos. (L. C. S., Madrid).

ALICANTE

Pg	17^h	35^m	50^s	
F		36	27	

24.—SISMO DE 22 DE ENERO DE 1959

H = 05^h 10^m 28^s
Mag: 6 3/4 - 7 (Pasadena)
37° 55' N., 142° 35' E. (J. M. A., Japón).
Cerca de la costa de Hondo, Japón.

ALICANTE

P	05^h	23^m	39^s	
S		34	25	
L		53	07	
Mo	06	03	27	
M		09	37	
F	07	15	—	D = (11.050) kms. = 99° 4

ALMERIA

eP	05	24	13	
PP		28	23	
S		35	44	
PS		37	30	
L		59	—	D = 11.300 kms. = 101° 5

MALAGA

iP	05	24	14	
iPP		28	20	
iPPP		30	22	
L	06^h	01^m	18^s	
M		16	20	
F		51	—	D = 11.010 kms. = 99°

TOLEDO

eP	05	23	59	
ePP		27	40	
eSKS		34	42	
eS		35	30	
ePS		37	02	
e		41	16	
Lq		45	45	
Lr		58	45	
M	06	12	45	
F	07	20	00	D = 11.200 kms. = 100° 8

25.—SISMO DE 24 DE ENERO DE 1959

H = 19^h 55^m 14^s
Mag: 6 1/4 - 6 1/2 (Pasadena)
37° 1/2 N., 24° 1/2 W. (B. C. I. S.)
Azores.

ALICANTE

P	19^h	59^m	37^s	
eS	20	03	11	
L		04	59	
Mo		07	30	
M		10	51	
F	21	10	—	D = 2.150 kms. = 19° 3

ALMERIA

iP	19	59	20	(compresión)
PP		59	37	
iS	20	02	48	
SS		03	04	
L		05	30	D = 2.000 kms. = 18°

MALAGA

iP	19	59	02	
iPPP		59	22	
iS	20	02	02	
iSS		02	19	
LQ		02	42	
LR		04	26	
M		06	14	
F		47	—	D = 1.790 Kms. = 16° 1

TOLEDO

iP	19	58	58	(dilatación)
iPP		59	20	
i	20	00	25	
i		01	59	
e(S)		02	32	
e(S)		02	35	
Lr		03	00	
M		06	20	
F		45	00	D = 2.200 kms. = 19° 6

26.—SISMO DE 27 DE ENERO DE 1959

H = 00h 20m 22s
18° N., 68° 1/2 W. h = 100 kms. ap.
E. de la República Dominicana (U. S. C. G. S.)
Sentido en San Juan, Puerto Rico.

ALICANTE

P	00h	30m	22s	
PP		32	40	
S		38	30	
F	01	05	—	D = 6.800 kms. = 61° 2

MALAGA

i	00	30	42	
L		53	56	
M		59	10	
F		impreciso		D = 6.500 kms. = 58° 5

TOLEDO

e(P)	00	30	41	

27.—SISMO DE 27 DE ENERO DE 1959

H = 03h 35m 29s
Mag: 5 3/4 (Kew)
71° 1/2 N., 2° W. (U. S. C. G. S. y B. C. I. S.)
Región de la isla de Juan Mayen.

ALICANTE

P	03h	42m	18s	
eS		47	33	
F	04	01	—	D = 3.650 kms. = 32° 8

MALAGA

iP	03	42	23	D = 3.860 kms. = 34° 7

TOLEDO

iP	03	41	56	
i		42	11	

28*.—SISMO DE 28 DE ENERO DE 1959

Local.

ALMERIA

iPg	05h	47m	17s	
i(P+)		47	19	
iSg		47	21	D = 30 kms. = 0° 3

29.—SISMO DE 28 DE ENERO DE 1959

H = 10h 04m 10s
Mag: 6 1/4 (Pasadena)
30° 1/2 S., 79° W. (U. S. C. G. S.)
Región de las islas Juan Fernández

TOLEDO

iP	10h	17m	53s	
(L)		26	30	

30*.—SISMO DE 29 DE ENERO DE 1959

Local.

MALAGA

ePg	02h	56m	28s	
iSg		56	32	
i		56	34	
F		58	—	D = 40 kms. = 0° 3

31.—SISMO DE 29 DE ENERO DE 1959

H = 06h 45m 36s
37° 1/2 N., 24° 1/2 W. (B. C. I. S.)
Azores.
Réplica del núm. 25.

ALICANTE

P	06h	51m	26s	
(S)		55	11	
SS		55	38	
L		56	42	
F	07	25	—	D = 2.250 kms. = 20° 3

MALAGA

i	06	51	14	

TOLEDO

iP	06	50	53	(dilatación)
e		52	31	
e		54	25	
(L)		55	30	

32.—SISMO DE 29 DE ENERO DE 1959

H = 23h 24m 30s
Mag: 5,9 (Kew)
71° N., 8° E. (U. S. C. G. S.
A lo largo de la costa de Noruega. y B. C. I. S.)

ALICANTE

iP	23h	31m	10s	
eS		36	24	
L		40	44	
Mo		44	38	
F	00	25	—	D = 3.650 kms. = 32° 9

ALMERIA

iP	23	31	23	
iPP		32	46	
eS		36	53	
L		42	40	D = 3.850 kms. = 34° 5

MALAGA

iP	23	31	26	
iPP		32	42	
i(PcP)		33	10	
iS		36	58	
L		41	46	
M		51	50	
F	00	05	—	D = 3.870 kms. = 34° 8

TOLEDO

iP	23h	30m	58s	(compresión)
i		31	33	
i		32	09	
iS		36	09	
i		37	40	
iSS		37	55	
L		40	00	
M		48	00	
F	00	00	20	D = 3.610 kms. = 32° 5

33.—SISMO DE 30 DE ENERO DE 1959

H = 00h 19m 25s
Mag: 6 3/4 (Pasadena)
10° S., 161° E. (U. S. C. G. S.)
Islas Salomón

ALMERIA

iP'1	00h	39m	15s	
(P'2)		39	23	
i		40	27	D = 16.600 kms. = 149° 5

TOLEDO

iP'1	00	39	12	
iPP		42	40	
L	01	42	—	D = 16.280 kms. = 146° 5

34.—SISMO DE 30 DE ENERO DE 1959

H = 16h 15m 58s
Mag: 6,4 (Tacubaya)
26° 1/2 S,, 71° W. h = 100 kms. ap.
Cerca de la costa de Chile. (U. S. C. G. S.)

MALAGA

iP	16h	28m	00s	
epP		28	22	
e		39	36	D = 9.890 kms. = 88° 9

TOLEDO

eP	16	28	55
(L)	17	20	30

35.—SISMO DE 30 DE ENERO DE 1959

H = 18h 09m 02s
31° S., 179° W. (U. S. C. G. S.)
Islas Kermadec.
Sentido (G. III) en la isla Raoul (según Wellington).

ALICANTE

P'1	18h	29m	29s	
P'2		30	35	
SKS		36	14	
L	19	30	27	
F		55	—	D = 19.100 kms. = 171° 9

MALAGA

iP'2	18h	30m	44s	
iPKS		32	36	
iPP		34	36	
i(SKS)		36	28	
i		40	42	D = 19.180 kms. = 172° 5

TOLEDO

i(P'1)	18	29	08	
iP'2		30	31	
iPP		34	22	
iPPP		38	30	
i		40	34	D = 19.050 kms. = 171° 5

36.—SISMO DE 30 DE ENERO DE 1959

H = 20h 38m 59s
Mag: 5,9 (Matsushiro)
43° 26' N., 144° 23' E. (J. M. A., Japón)
Hokkaido, Japón.

ALICANTE

P	20h	52m	08s	
S	21	03	07	
SS		09	18	
L		22	50	
Mo		31	46	
F		55	—	D = 10.200 kms. = 91° 8

TOLEDO

eP	20	52	11
L	21	22	30
M		30	30
F	22	30	—

37.—SISMO DE 30 DE ENERO DE 1959

H = 22h 16m 47s
Mag: 6,1 (Matsushiro)
43° 45' N., 144° 4' E. (J. M. A., Japón)
Hokkaido, Japón.

Ligeros daños en Doshikutsu. Sentido (G. V) en Nemuro, G. IV en Kushiro.

ALICANTE

P	22h	29m	57s	
PP		33	38	
S		40	56	
L	23	00	39	
Mo		09	35	
F		59	—	D = 10.200 kms. = 91° 8

ALMERIA

L	23	01	20	D = 10.400 kms. = 93° 5

MALAGA

eP	22	30	07
ePPP		36	57

L	23h	09m	20s	
M		15	15	
F		31	—	D = 10.450 kms. = 94°

TOLEDO

iP	22	30	02	
e(S)		40	33	
e(PS)		41	05	
L	23	00	30	
M		08	30	
F	24	00	00	
	seg.	micrones		
M	21.0	23.0		D = (9.600) kms. = (86° 5)

38.—SISMO DE 1 DE FEBRERO DE 1959

H = 04h 16m 12s

7° S., 12° 1/2 W. (U. S. C. G. S y B. C. I. S.)
Región de las isla Ascensión.

ALICANTE

P	04h	24m	52s	
PPP		27	32	
(S)		31	48	
L		39	26	
Mo		45	05	
F		58	—	D = 5.300 kms. = 47° 7

39.—SISMO DE 2 DE FEBRERO DE 1959

Local débil. Sentido en el faro de Melilla.

ALMERIA

ePg	03h	39m	52s	
eSg		40	11	D = 160 kms. = 1° 4

MALAGA

ePg	03	39	51
i		39	58
iSg?		40	01

40.—SISMO DE 5 DE FEBRERO DE 1959

H = 01h 04m 50s

57° N., 157° W. h = 100 kms. ap.
Peninsula de Alaska. (U. S. C. G. S.)

ALICANTE

P	01h	17m	10s	
PPP		22	15	
S		27	27	
L		44	23	
F	02	03	—	D = 9.200 kms. = 82° 8

MALAGA

iP	01	17	13	
ipP		17	49	D = 9.250 kms. = 83° 2

TOLEDO

iP	01	16	56

41.—SISMO DE 6 DE FEBRERO DE 1959

H = 08h 08m 06s

Mag: 4,9 (Tacubaya)
15° 24' N., 94° 22' W. (Tacubaya y B. C. I. S.)
A lo largo de la costa de Oaxaca, Méjico.

ALICANTE

P	08h	20m	40s	
S		31	11	
L		48	55	
F	09	10	—	D = 9.500 kms. = 85° 5

ALMERIA

iP	08	20	37	
PP		23	51	D = (9.500) kms. = 85° 5

MALAGA

iP	08	20	30	D = 8.950 kms. = 80° 5

42.—SISMO DE 6 DE FEBRERO DE 1959

H = 14h 33m 02s

Mag: 6 (Pasadena)
51° N., 175° 1/2 W. h = 60 kms. ap.
Islas Andreanov, Aleutianas. (U. S. C. G. S.)

ALICANTE

(P)	14h	46m	01s	
(S)		56	53	
L	15	16	03	
Mo		25	00	
F		40	—	D = 10.000 kms. = 90°

TOLEDO

e(P)	14h	45m	58s
e(S)		56	18
L	15	16	58
M		23	30

43.—SISMO DE 7 DE FEBRERO DE 1959

H = 09h 36m 51s

Mag: 7 1/4-7 1/2 (Pasadena)
4° S., 81° 1/2 W. (U. C. G. S. y B. C. I. S.)
Cerca de la costa N. del Perú.

Sentido fuertemente en Guayaquil.

ALICANTE

iP	09h	49m	34s	
PP		52	51	
S	10	00	04	
SS		05	39	
L		17	46	
Mo		26	33	
F	siguiente			D = 9.500 kms. = 85° 5

ALMERIA

iP	09	49	22	(compresión)
PP		52	24	

PPP	09h	54m	29s	
eS		59	32	
iPS	10	00	32	
PPS		00	56	
SS		04	53	
SSS		08	33	
Lq		13	37	
iLq		16	21	D = 9.300 kms. = 83° 5

MALAGA

iP	09	49	17	
iPcP		49	22	
iPP		52	36	
iS		59	32	
iPS		00	18	
iPPS		00	42	
LR		15	24	
M		21	30	
F	11	36	—	D = 9.170 kms. = 82° 5

TOLEDO

iP	09	49	19	(compresión)
iPP		52	34	
i		53	46	
ePPP		54	31	
iS		59	37	
iPS	10	00	33	
iPPS		01	13	
i		02	17	
i		02	49	
iSS		05	07	
eSSS		08	36	
Lq		10	30	
Lr		12	30	
M		19	00	
F	12	00	—	D = 9.270 kms. = 83° 4

44.—SISMO DE 7 DE FEBRERO DE 1959

H = 10h 52m 59s

13° N., 45° W. (U. S. C. G. S.)

Océano Atlántico.

ALICANTE

L	11h	07m	20s	
Mo		16	16	
F	12	30	—	D = 13.000 kms. = 117°

45.—SISMO DE 7 DE FEBRERO DE 1959

H = 20h 08m 17s

Mag: 4 3/4-5 (Atenas)

37° 7 N., 20° 7 E. (B. C. I. S.)

Cerca de la costa W. de Grecia.

Sentido (G. IV) en Acarnania y Aetolia, G. V en Elida, G. IV en las islas de Cefalonia y Zante, G. III en Leucas (según Atenas).

TOLEDO

eP	20h	12m	49s	

46.—SISMO DE 8 DE FEBRERO DE 1959

H = 01h 02m 26s

Mag: 6 1/4-6 1/2 (Pasadena)

49° N., 28° 1/2 W. (U. S. C. G. S.)

Norte del Océano Atlántico.

ALICANTE

iP	01h	07m	34s	
PP		08	04	
PPP		08	16	
S		11	42	
SS		12	28	
SSS		12	45	
L		13	37	
Mo		15	52	
F		45	—	D = 2.500 kms. = 22° 5

ALMERIA

iP	01	07	33	(compresión)
(PP)		07	49	
PPP		08	10	
eS		11	40	
iL		13	20	D = 2.450 kms. = 22°

MALAGA

iP	01	07	17	
iPP		07	40	
i		07	58	
eS		11	09	
iPcP		11	22	
eSS		11	48	
LR		13	20	
M		16	10	
F	impreciso			D = 2.390 kms. = 21° 5

TOLEDO

iP	01	06	58	(compresión)
i		07	04	
i(PP)		07	13	
iPP		07	21	
i		07	37	
iS		10	45	
L		12	10	
M		13	00	
F		50	—	D = 2.335 kms. = 21°

47*.—SISMO DE 9 DE FEBRERO DE 1959

Registrado en Cartuja.

MALAGA

iPg	10h	08m	57s	
iP*		08	58	
iPn		09	01	

iSg	10h	09m	04s	
iS*		09	06	
iSn		09	10	
F		10	—	D = 65 kms. = 0° 6

48.—SISMO DE 11 DE FEBRERO DE 1959

H = 13h 52m 13s
Mag: 6 (Pasadena)
16° N., 97° W. (U. S. C. G. S.)
Cerca de la costa de Oaxaca, Méjico.

ALICANTE

(P)	14h	04m	53s	
PPP		10	09	
eS		15	24	
SS		21	01	
eL		33	08	
F		50	—	D = 9.500 kms. = 85° 5

ALMERIA

eP	14	04	50	D = 9.350 kms. = 84°

MALAGA

iP	14	04	44	D = 9.240 kms. = 83° 1

TOLEDO

eP	14	04	39

49*.—SISMO DE 11 DE FEBRERO DE 1959

Peninsular débil.

TOLEDO

ePg	16h	16m	06s	
iSg		16	17	
M		16	40	
F		18	30	D = 80 kms. = 0° 72

50*.—SISMO DE 14 DE FEBRERO DE 1959

Local. Grado II.

ALICANTE

Pg	20h	29m	08s	
Sg		29	12	
F		30	08	D = 40 kms. = 0° 4

51.—SISMO DE 14 DE FEBRERO DE 1959

H = 22h 25m 50s
Mag: 6,0 (Quetta)
28° N., 97° E (U. S. C. G. S.)
Frontera Indo-Birmania

ALICANTE

P	22h	37m	55s	
S		47	52	
F	23	30	—	D = 8.750 kms. = 78° 7

ALMERIA

eP	22h	38m	04s	
PP		41	00	D = 8.950 kms. = 80° 5

TOLEDO

eP	22	38	02
e		38	53
e		39	11

52.—SISMO DE 15 DE FEBRERO DE 1959

H = 04h 02m 22s
Mag: 6,1 (Praha)
44° 1/2 N., 83° 1/2 E. (U. S. C. G. S.)
Provincia de Sinkiang, China.

ALICANTE

(P)	04h	12m	34s	
(S)		20	47	
L		31	28	
Mo		38	36	
F		45	—	D = 6.700 kms. = 60° 3

ALMERIA

P	04	12	49	
(ePP)		17	06	
eS		24	45	
(SSS)		36	55	
L		44	40	
M		52	27	D = 10.950 kms. = 98° 5

TOLEDO

eP	04	12	54	
ePP		17	14	
i(SKKS)		25	09	
eSS		32	04	
eSSS		35	51	
e		37	18	
i		41	25	
L		45	45	
M	05	00	—	

53.—SISMO DE 15 DE FEBRERO DE 1959

H = 04h 42m 35s
Mag: 6 3/4 (Pasadena)
59° 1/2 S., 26° W. (U. S. C. G. S.)
Islas Sandwich.

ALICANTE

L	05h	27m	33s	
Mo		35	53	
F		55	—	D = (11.100) kms. = 99° 9

MALAGA

L	05	32	56
M		40	48
F		46	—

TOLEDO

eP	04	56	55

54*.—SISMO DE 15 DE FEBRERO DE 1959

Local.

ALMERIA

iPg	05h	46m	00s	
eSg		46	02	D = 20 kms. = 0° 2

55.—SISMO DE 16 DE FEBRERO DE 1959

H = 00h 39m 32s
Mag: 5,9 (Tacubaya)
1° S., 81° 1/2 W. (U. S. C. G. S.
Cerca de la costa del Ecuador. y B. C. I. S.)

TOLEDO

eP	00h	51m	50s	
e		53	04	

56.—SISMO DE 17 DE FEBRERO DE 1959

H = 12h 03m 05s
Mag: 6 - 6 1/4 (Pasadena)
51° 1/2 N., 171° W. (U. S. C. G. S.)
Islas de los Zorros, Aleutianas.

ALICANTE

P	12h	16m	07s	
PP		19	42	
PPP		21	41	
SKS		26	36	
S		26	58	
SS		32	59	
L		46	07	
Mo		55	03	
F	13	25	—	D = 10.000 kms. = 90°

ALMERIA

P	12	16	18	(compresión)
e		16	35	
PP		19	47	
(eS)		27	01	D = 10.050 kms. = 90° 5

MALAGA

iP	12	16	17	(compresión)

TOLEDO

iP	12	16	00	
e		16	19	
i		16	38	
ePP		19	38	
iS		26	34	
e		49	22	
L		55	30	D = 9.660 kms. = 87°

57*.—SISMO DE 19 DE FEBRERO DE 1959

H = 06h 23,1m
37° 1/2 N., 7° W. (B. C. I. S.)
Huelva.

ALICANTE

Pn	06h	24m	15s	
e		25	15	
e		25	51	
F		30	33	

ALMERIA

i(Pn)	06	24	02	
e		25	10	
e		25	24	

MALAGA

iPn	06	23	42	
iPg		23	47	
iSn		24	09	
F		26	—	D = 240 kms. = 2° 1

TOLEDO

e(Pg)	06	24	15	
e		24	40	
e(Sg)		24	55	
M		25	46	
F		30	—	

58.—SISMO DE 20 DE FEBRERO DE 1959

H = 04h 12m 54s
Mag: 6 1/4 - 6 1/2 (Pasadena)
30° 1/3 S., 71° W. h = 100 kms. ap.
Centro de Chile. (U. S. C. G. S. y B. C. I. S.)

Largamente sentido en las provincias de Aconcagua, Valparaíso, Coquimbo y Atacama (según Santiago).

ALICANTE

(P)	04h	26m	21s	
S		37	35	
L		58	28	
F	05	15	—	D = 10.600 kms. = 95° 4

TOLEDO

eP.	04	26	07	

59.—SISMO DE 20 DE FEBRERO DE 1959

H = 18h 16m 22s
Mag: 6 1/2 (Pasadena)
15° 1/2 N., 91° W. h = 150 kms. ap.
Guatemala. (U. S. C. G. S.)

MALAGA

i	18h	28m	16s	

60*.—SISMO DE 21 DE FEBRERO DE 1959

Local.

ALMERIA

iPg	22h	42m	18s	
(eSg)		42	25	D = (60) kms. = 0° 5

61.—SISMO DE 23 DE FEBRERO DE 1959

H = 01h 58m 38s
Mag: 6 1/4 - 6 1/2 (Matsushiro)
5° 1/2 S., 150° E. (U. S. C. G. S.)
Nueva Bretaña.

Sentido (G. V-VI) en Kandrian, y G. IV en Walindi (según Rabaul).

TOLEDO

e	02h	21m	32s
L	03	11	30
M		27	—

62*.—SISMO DE 23 DE FEBRERO DE 1959

H = 10h 26,0m
38° 1/2 N., 11° W. (B. C. I. S.)
A lo largo de la costa de Portugal.

MALAGA

iPn	10h	27m	23s	
i		27	28	
iP*		27	33	
iPg		27	55	
iSn		28	24	
i		28	29	
iS*		28	41	
iSg		28	54	
F		30	—	D = 580 kms. = 5°

TOLEDO

e	10	27	26
e		28	24
e		29	02

63.—SISMO DE 23 DE FEBRERO DE 1959

H = 10h 31m 14s
52° 1/2 N., 159° E. h = 100 kms. ap.
Kamtchatka. (U. S. C. G. S.)

ALICANTE

P	10h	43m	52s	
(S)		54	27	
L	11	12	28	
F		30	—	D = 9.600 kms. = 86° 4

MALAGA

iP	10	44	07

TOLEDO

eP	10	43	51
(L)		59	30

64.—SISMO DE 23 DE FEBRERO DE 1959

H = 16h 04m 48s
Mag: 6,0 (Kew)
50° N., 157° E. h = superior a lo normal.
Islas Kuriles. (U. S. C. G. S.)

ALICANTE

(P)	16h	17m	50s	
(S)		28	41	
L		47	50	
F	17	15	—	D = 10.000 kms. = 90°

TOLEDO

iP	16	17	45	
iPcP		17	57	
e(S)		29	02	
L		55	30	
M	17	04	00	
F		18	—	

65*.—SISMO DE 24 DE FEBRERO DE 1959

Local. Grado II.

ALICANTE

Pg	15h	16m	10s	
Sg		16	11	
e		16	13	
F		17	—	D = (12) kms. = 0° 1

66*.—SISMO DE 26 DE FEBRERO DE 1959

Local.

MALAGA

iPg	00h	03m	47s	
iP*		03	49	
iPn		03	51	
iSg		03	55	
iSn		04	01	
F		05	—	D = 60 kms. = 0° 54

67*.—SISMO DE 27 DE FEBRERO DE 1959

Local.

MALAGA

iPg	05h	50m	37s	
i		50	38	
i(P*)		50	39	
iPn		50	41	
iSg		50	43	
F		51	20	D = 45 kms. = 0° 4

68*.—SISMO DE 28 DE FEBRERO DE 1959

Local.

ALMERIA

iPg	01h	12m	34s	
iSg		12	36	D = 17 kms. = 0° 1

69.—SISMO DE 1 DE MARZO DE 1959

H = 00h 31m 31s
Mag: 5 1/4 (Moskva)
75° 0 N., 13° 6 E. (U.R. S. S., Artico)
Océano Artico, al S. de Spitzberg.

ALICANTE

P	00h	38m	30s	
PP		39	54	
eS		44	12	
L		49	00	
F		58	—	D = 4.050 kms. = 36° 4

ALMERIA

iP	00	38	43	
(PP)		39	46	
e		42	44	
L		48	48	D = 4.200 kms. = 38°

MALAGA

iP	00	38	46	(dilatación)
iPP		40	16	
ePcP		41	01	D = 4.270 kms. = 38° 4

TOLEDO

iP	00	38	29	(compresión)
i		38	44	
ePcP		40	48	

70.—SISMO DE 1 DE MARZO DE 1959

H = 16h 49m 13s
Mag: 7 (Pasadena)
1/2 S., 134° 1/2 E. h = 100 kms. ap.
Cerca de la costa N. (U. S. C. G. S.)
de Nueva Guinea.

Ligeros daños en Manokwari (Nueva Guinea holandesa) (según «Bull. Seism. Soc. of America», 1959, página 415).

ALICANTE

eP'	17h	08m	01s	
ePP		09	45	
PPP		12	24	
eSKS		14	44	
eSS		26	43	
L		48	19	
Mo		57	43	
F	19	20	—	D = 13.800 kms. = 124° 2

ALMERIA

iPi	17h	08m	04s	
ei		08	19	
(PP)		10	17	
PPP		12	47	
SKKS		16	03	
SS		27	16	
SSS		31	55	
L		50	—	D = 14.000 kms. = 126°

MALAGA

eP'1	17	08	27	
ei		10	20	
(PP)		13	02	
PPP		15	20	
SKKS		21	44	
SS		48	20	
SSS		53	20	
L		36	—	D = 14.140 kms. = 127° 2

TOLEDO

eP'	17	08	11	
ePP		10	07	
ePPP		12	53	
eSKS		14	29	
e(SKKS)		17	09	
e		21	11	
eiSS		26	35	
eSSS		31	47	
Lq		37	40	
M		59	40	
F	19	30	—	D = 13.460 kms. = 121° 2

71*.—SISMO DE 2 DE MARZO DE 1959

Local. Grado II.

ALICANTE

Pg	07h	13m	36s	
Sg		13	38	
F		14	—	D = 20 kms. = 0° 2

72.—SISMO DE 2 DE MARZO DE 1959

H = 15h 51m 44s (Moskva)
Mag: 6,3 (Upsala)
36° 1/2 N., 71° E. h = 200 kms. ap.
Hindu-Kush.

Sentido en Warsak, Rawalpindi, Peshawar y Lahore (según Warsak).

ALICANTE

eP	16h	00m	42s	
PP		02	48	
(S)		08	22	
F		25	—	D = 6.050 kms. = 54° 5

MALAGA

iP	16h	01m	15s	
ipP		02	07	D = 6.470 kms. = 58° 2

TOLEDO

iP	16	01	09	(compresión)
ipP		01	57	
e		02	21	

73*.—SISMO DE 8 DE MARZO DE 1959

Local.

MALAGA

iPg	19h	35m	01s	
iPn		35	05	
iSg		35	08	
iS*		35	11	
iSn		35	13	
F		36	—	D = 65 kms. = 0° 5

74.—SISMO DE 12 DE MARZO DE 1959

H = 01h 29m 07s
Mag: 6 (Pasadena)
7° N., 145° E. (U. S. C. G. S. y B. C. I. S.)
Islas Carolinas.

TOLEDO

L	02h	29m	30s	
L		34	05	
M		47	50	

75.—SISMO DE 17 DE MARZO DE 1959

Sin más datos (L. C. S., Madrid)

ALMERIA

(e)	08h	34m	36s	
(e)		35	03	
i		35	14	

76.—SISMO DE 17 DE MARZO DE 1959

H = 08h 25m 22s
Mag: 6 (Matsushiro)
27° 1/2 N., 130° E. h = 60 kms. ap.
Islas Riu-Kiu. (U. S. C. G. S. y B. C. I. S.)

Sentido (G. IV) en las islas Riu-Kiu (JMA, Japón).

ALICANTE

eP	08h	39m	09s	
S		50	40	
SSS	09	01	25	
L		13	02	
Mo		22	00	
F		50	—	D = 11.100 kms. = 99° 9

ALMERIA

(P)	08h	39m	09s	
e		39	57	
PP		43	13	
(S)		50	36	
L	09	17	20	D = 11.300 kms. = 101° 5

MALAGA

L	09	24	45	
M		33	20	
F		42	—	

TOLEDO

eP	08	39	11	
ePP		43	13	
ePPP		45	13	
eSKS		49	33	
ePS		52	21	
eSSS	09	01	33	
L		15	30	
M		31	30	
F	10	20	—	D = 10.900 kms. = 98°

77.—SISMO DE 18 DE MARZO DE 1959

H = 00h 41m 17s
Mag: 5 3/4 (Matsushiro)
27° N., 129° E. (U. S. C. G. S.)
Islas Riu-Kiu.

ALICANTE

P	00h	55m	04s	
PP		59	11	
(S)	01	06	35	
L		28	57	
Mo		37	59	
F		55	—	D = 11.100 kms. = 99° 9

TOLEDO

eP	00	55	22
L	01	35	35
M		48	—

78*.—SISMO DE 18 DE MARZO DE 1959

Explosión de barrenos en la cantera del Puerto, provocado por 1.200 kgs. de dinamita. Grado IV.

ALICANTE

Pg	17h	34m	45s
Sg		34	45,5
F		36	—

79.—SISMO DE 19 DE MARZO DE 1959

H = 08h 25m 35s
Mag: 6 (Kew)
35° 1/4 N., 36° W. (B. C. I. S.)
N. del Océano Atlántico.

ALICANTE

(P)	08h	31m	34s	
PP		32	27	
S		36	23	
L		39	52	
Mo		43	19	
F	09	15	—	D = 3.200 kms. = 28° 8

ALMERIA

iP	08	31	25	
(PP)		32	09	
eS		36	13	
SSS		37	11	
L		38	30	D = 3.000 kms. = 27°

MALAGA

eP	08	31	08	
iPP		31	48	
iPPP		31	59	
L		36	21	
M		41	30	
F		52	—	D = 2.850 kms. = 25° 6

TOLEDO

eP	08	31	01	
i		31	27	
ePP		31	46	
e		33	45	
e		33	48	
ePcP		34	15	
e		35	09	
eS		35	33	
eSS		36	17	
L		36	25	
M		37	15	
F	09	40	—	D = 2.980 kms. = 26° 8

80*.—SISMO DE 22 DE MARZO DE 1959

Local.

ALMERIA

iPg	02h	54m	09s	
iSg		54	12	D = 25 kms. = 0° 2

81.—SISMO DE 22 DE MARZO DE 1959

H = 22h 36m 41s
46° 3/4 N., 3° 1/4 W. (B. C I. S.)
Cerca de la costa W. de Francia, a lo largo de la Vendée.

Sentido en Bretaña, Vendée, Charente Maritime y Gironde

ALICANTE

P	22h	38m	40s	
eS		40	13	
SS		40	25	
L		40	55	
F		50	—	D = 900 kms. = 8° 1

ALMERIA

iP	22	39	02	
PP		39	09	
(L)		41	23	D = 1.100 kms. = 10°

TOLEDO

eP	22	38	31	
i		38	50	
iSn		39	43	
i		40	01	
i		40	11	
F	22	46	—	D = 690 kms. = 6° 2

82.—SISMO DE 23 DE MARZO DE 1959

H = 07h 10m 22s
Mag: 6,3 (Pasadena)
40° N., 118° W. (U. S. C. G. S.)
W. de Nevada, U. S. A.

Sentido en Reno, Nevada y hasta Fresno, en California (según U. S. C. G. S.).

ALICANTE

P	07h	22m	49s	
PPP		27	54	
S		33	06	
F	08	15	—	D = 9.200 kms. = 82° 8

ALMERIA

iP	07	22	53	D = 9.150 kms. = 82° 5
		Compresión		

MALAGA

iP	07	22	46	(dilatación)

TOLEDO

eP	07	22	38	
e(PPP)		27	29	
M		53	40	

83*.—SISMO DE 25 DE MARZO DE 1959

Local.

MALAGA

iPg	11h	38m	16s	
iPn		38	18	
iSg		38	27	
iSn		38	30	
F		39	—	D = 100 kms. = 0° 9

84.—SISMO DE 26 DE MARZO DE 1959

H = 02h 24m 12s
Mag: 5 3/4 (Matsushiro)
7° S., 155° 1/2 E. h = 60 kms. ap.
Islas Salomón. (U. S. C. G. S.)

Sentido débilmente en Rabaul (según Rabaul).

ALICANTE

P'	02h	43m	36s	
PKS		47	20	
SKKS		53	44	
PcSP'		55	38	
F	03	20	—	D = 15.800 kms. = 142° 2

ALMERIA

iP'$_1$	02	43	42	D = 16.000 kms. = 144°

MALAGA

iP'	02	43	49	
ipP'		44	04	

TOLEDO

eP'$_1$	02	43	39	

85*.—SISMO DE 26 DE MARZO DE 1959

Local.

ALMERIA

iPg	06h	38m	54s	
iSg		38	59	
i		39	02	D = 35 kms. = 0° 3

86.—SISMO DE 28 DE MARZO DE 1959

H = 19h 47m 07s
Mag: 5 1/2 - 5 3/4 (Matsushiro)
20° S., 178° 1/2 W. h = 600 kms. ap.
Islas Fidji. (U. S. C. G. S.)

MALAGA

iP'	20h	06m	05s	
iP'$_2$		06	59	
epP'		08	21	
eSKS		12	29	
F		impreciso		D = 18.050 kms. = 162° 3

TOLEDO

eP'$_1$	20	06	04	(dilatación)
eP'$_2$		06	48	
ePP		10	26	D = 17.540 kms. = 157° 8

87.—SISMO DE 30 DE MARZO DE 1959

H = 21h 04m 00s
41° N., 30° W. (B. C. I. S.)
Cresta mediana del Atlántico Norte, próximo a las Azores.

Algunos datos discordantes.

MALAGA

iP	21h	08m	40s	

88.—SISMO DE 1 DE ABRIL DE 1959

Mag: 6 1/4 (Pasadena)
27° 3/4 N., 21° W. h = superior a la normal.
Islas Canarias.

ALICANTE

iP	00h	38m	59s	
PP		39	22	
PPP		39	36	
iS		42	49	
SS		43	26	
SSS		43	41	
L		44	39	
Mo		46	25	
F	01	45	—	D = 2.300 kms. = 20° 7

ALMERIA

iP	00	38	33	
PP		38	56	
PPP		39	07	
i		39	40	
iS		42	06	
SS		42	25	
SSS		42	41	
L		44	10	D = 2.050 kms. = 18° 5

MALAGA

iP	00	38	13	
iS		41	16	
i(LQ)		41	42	
LR		44	20	
M		45	50	
F		59	—	D = 1.900 kms. = 17° 1

TOLEDO

iP	00	38	40	
i		38	55	
iPP		39	00	
i		39	13	
iS		42	17	
iSS		42	33	
Lq		42	50	
Lr		43	45	
M		45	25	
F	01	30	—	D = 2.210 kms. = 19° 9

89*.—SISMO DE 2 DE ABRIL DE 1959

Local. Grado II. (Alicante)

ALICANTE

Pg	01h	12m	01s	
Sg		12	09	
F		13	01	D = 66 kms. = 0° 6

90.—SISMO DE 2 DE ABRIL DE 1959

H = 04h 34m 19s

40° N., 29° 3/4 E. (B. C. I. S.)
NW. de Turquía.

Daños importantes. Sentido (G. III-IV en Istambul) (U. S. C. G. S.).

TOLEDO

eP	04h	39m	57s	

91.—SISMO DE 5 DE ABRIL DE 1959

H = 10h 47m 53s
Mag: 5,5 (Uppsala)

44° 6 N., 6° 8 E. (B. C. I. S.)
Alpes occidentales, Francia.

Daños importantes en los bajos Alpes, en Saint-Paul d'Ubaye y Serennes (G. VIII-IX), dos heridos, 200 millones de francos de daños; daños ligeros en Ceillac, Vars (Alpes superiores); sentido en Grenoble, Marseille, Toulon y Nice; superficie macrosísmica en Francia, 15.000 kilómetros cuadrados; sentido asimismo en Italia: G. VI en Stroppo, Prazzo, Bellino, Acceglio; G. V-VI en Pinerola; G. V en Mondovi; G. IV en Cuneo, etc.

ALICANTE

Pn	10h	50m	26s	
Sn		51	44	
F	11	25	—	D = 750 kms. = 6° 8

ALMERIA

e(P)	10	50	32	
L		53	47	
M		54	33	
i		55	30	D = 1.100 kms. = 10°

MALAGA

iP	10	50	43	
iPPP		50	59	
eS		53	00	
i		54	01	
L		54	30	
M		56	00	
F	11	08	—	D = 1.300 kms. = 11° 7

TOLEDO

iPn	10	50	09	(compresión)
i		50	13	
i		50	18	
i		50	29	
i		51	14	
iSn		51	49	
iS*		52	26	
iSg		52	56	
M		53	45	
F	11	15	—	D = 1.015 kms. = 9° 1

92.—SISMO DE 5 DE ABRIL DE 1959

H = 23h 29m 25s
Mag: 6 - 6 1/4 (Matsushiro)

5° 1/2 S., 146° E. (U. S. C. G. S. y
Cerca de la Costa N. B. C. I. S.)
de Nueva Guinea.

TOLEDO

e(P'$_1$)	23h	50m	17s	
L	00	42	45	

93.—SISMO DE 6 DE ABRIL DE 1959

H = 14h 12m 36s
Mag: 6 1/4 (Pasadena)

10° S., 120° 1/2 E. (U. S. C. G. S.)
Islas Sumba.

ALICANTE

(P')	14h	31m	31s	
SKS		38	29	
SKKS		39	57	
L	15	10	13	
Mo		19	17	
F		40	—	D = 13.450 kms. = 121° 1

TOLEDO

eP'$_1$	14	31	32	
e		32	59	
ePP		33	09	
e		35	55	
L	15	19	45	
M		27	45	D = 13.510 kms. = 121° 6

94*.—SISMO DE 7 DE ABRIL DE 1959

H = 02h 16m 06s

36° 1/2 N., 2° 3/4 W. (B. C. I. S.)
A lo largo de la costa S. de España.
Mar de Alborán.

Sentido en Punta Sabiñal (G. IV); Adra, Dalias y Roquetas de Mar (G. II-III) (según Almería).

ALICANTE

Pn	02h	16m	59s	
Sn		17	28,5	
F		19	42	D = 255 kms. = 2° 3

ALMERIA

iPg	02	16	16	
iSg		16	21	D = 40 kms. = 0° 4

MALAGA

iPn	02	16	29	
i		16	35	
i		16	43	
iSn		16	51	
i		17	04	
F		18	—	D = 180 kms. = 1° 6

TOLEDO

ePg	02h	17m	15s	
eSg		17	59	
M		18	00	
F		21	—	D = 375 kms. = 3° 3

95.—SISMO DE 8 DE ABRIL DE 1959

H = 01h 23m 26s
Mag: 6 - 6 1/4 (Pasadena)
32° 1/2 S., 179° 1/2 E. h = 400 kms. ap.
Región de las islas Kermadec. (U. S. C. G. S.)

ALICANTE

Pi	01h	42m	56s	
PP		48	28	
(SKS)		49	13	
SKKS		56	03	
SKSP		59	50	
F	02	20	—	D = 19.400 kms. = 174° 6

ALMERIA

iP′	01	42	54	(compresión)
				D = 19.500 kms. = 175° 5

MALAGA

iP′	01	42	53	
iP'_2		44	32	
iPP		48	25	
iSKS		49	55	
i		54	30	D = 19.380 kms. = 174° 3

TOLEDO

iP'_1	01	42	52	(compresión)
iP'_2		44	18	
eiPP		48	09	
eiPPP		52	07	D = 19.110 kms. = 172° 0

96.—SISMO DE 8 DE ABRIL DE 1959

H = 08h 01m 36s
17° S., 174° 1/2 W. h = 100 kms. ap.
Región islas Tonga. (U. S. C. G. S.)

Sentido en Apia.

TOLEDO

eP'_1	08h	21m	25s	
eP'_2		21	50	
e		22	25	
M	09	15	45	

97.—SISMO DE 8 DE ABRIL DE 1959

H = 11h 44m 25s
Mag: 6 1/4 (Matsushiro)
50° 1/2 S., 73° W. (U. S. C. G. S.)
Frontera S. de Chile-Argentina.

Sentido en Puerto Natales.

ALICANTE

P	11h	58m	54s	
(S)	12	10	32	
L		36	02	
Mo		44	53	
F	13	05	—	D = 12.150 kms. = 109° 3

TOLEDO

L	12	38	45	
M		43	45	

98.—SISMO DE 9 DE ABRIL DE 1959

H = 06h 18m 34s
Mag: 5 3/4 - 6 (Pasadena)
36° S., 77° E. (U. S. C. G. S. y B. C. I. S.)
Océano Indico, al N del archipiélago Saint-Paul y Amsterdam.

ALICANTE

L	07h	07m	42s	
Mo		15	30	
F		50	—	D = 11.400 kms. = 102° 6

99.—SISMO DE 9 DE ABRIL DE 1959

Dudoso.

TOLEDO

(e)	17h	17m	58s	
(L)	18	12	45	

100*.—SISMO DE 11 DE ABRIL DE 1959

Sentido en Murcia y Alcantarilla (según Alicante).

ALICANTE

Pg	16h	39m	04s	
Sg		39	14	
F		40	53	D = (84) kms. = 0° 8

101*.—SISMO DE 11 DE ABRIL DE 1959

Local.

ALMERIA

iPg	18h	55m	28s	
iSg		55	31	D = 25 kms. = 0° 2

102.—SISMO DE 12 DE ABRIL DE 1959

H = 09h 54m 51s
Mag: 6 1/4 (Pasadena)
17° 1/2 N., 95° W. h = 100 kms. ap.
Méjico. (U. S. C. G. S.)

Sentido fuertemente en el SE. de Méjico, intensamente en el istmo de Tehmantepec. Daños en Córdoba y Juchitan (Oaxaca) (según Tacubaya).

ALICANTE

P	10^h	07^m	20^s	
PP		10	27	
iS		17	22	
SS		22	37	
L		33	42	
F		45	—	D = 9.200 kms. = 82° 8

ALMERIA

iP	10	07	03	(compresión)
i		07	06	
eS		17	10	
	Sin ondas lentas			D = 9.050 kms. = 81° 5

MALAGA

iP	10	06	56	
ipP		07	23	
i		07	46	
iS		16	58	

TOLEDO

iP	10	06	55	(compresión)
ipP		07	11	
i		07	33	
i		07	42	
iS		16	52	
L		33	50	
M		38	50	D = 8.945 kms. = 80° 5

103.—SISMO DE 12 DE ABRIL DE 1959

H = 15^h 22^m 33^s
Mag: 6 1/4 - 6 3/4 (Matsushiro)
4° 1/2 S., 134° E. h = 100 kms. ap.
Cerca de la costa N. de Nueva Guinea. (U. S. C. G. S.)

TOLEDO

L	16^h	24^m	51^s
M		32	50

104.—SISMO DE 12 DE ABRIL DE 1959

H = 20^h 54^m 00^s
Mag: 6 - 6 1/4 (Pasadena)
15° 1/2 S., 173° W. (U. S. C. G. S.)
Región islas Samoa.

ALICANTE

P'_1	21^h	13^m	56^s
P'_2		14	28
PKS		17	29
(SKS)	21^h	21^m	01^s
PPS		31	16
F	22	30	— D = 17.400 kms. = 156° 6

MALAGA

eP'	21	14	24
i		14	40

TOLEDO

eP'_1	21	13	57	
eiP'_2		14	18	
i		14	28	
L	22	06	50	
M		13	50	

105*.—SISMO DE 14 DE ABRIL DE 1959

Sentido (G. IV-V en Torrevieja); G. IV en San Miguel de Salinas; G. III-IV en Santa Pola, Los Montesinos y Sucina; G. II en Benijofar. Epicentro submarino (según Alicante).

ALICANTE

Pg	16^h	29^m	$40{,}5^s$	
Sg		29	46	
F		31	42	D = 50 kms. = 0° 5

106*.—SISMO DE 17 DE ABRIL DE 1959

MALAGA

iPg	02^h	01^m	39^s	
iSg		01	45	
iSn		01	53	
F		02	—	D = 60 kms. = 0° 5

107*.—SISMO DE 18 DE ABRIL DE 1959

MALAGA

iPn	06^h	43^m	34^s	
i		43	38	
iSn		44	05	
F		45	—	D = 340 kms. = 3°

108.—SISMO DE 19 DE ABRIL DE 1959

H = 15^h 03^m 26^s
Mag: 6 1/4 (Pasadena)
58° N., 152° 1/2 W. (U. S. C. G. S.)
Alaska, cerca de la isla Kodiak

ALICANTE

P	15^h	15^m	39^s	
PP		18	42	
S		25	43	
L		41	50	
F		58	—	D = 9.000 kms. = 81°

MALAGA

iP	15h	15m	46s	
iPcP		15	53	
iPP		18	54	D = 9.000 kms. = 81°

TOLEDO

eP	15	15	32
iPcP		15	41

109.—SISMO DE 19 DE ABRIL DE 1959

H = 17h 38m 52s
Mag: 5 1/4 - 5 1/2 (Atenas)
37° 4 N., 20° 5 E. (B. C. I. S.)
Cerca de la costa W. de Grecia

Sentido en Messina (G. IV en Philiatra).

TOLEDO

eP	17h	43m	29s

110.—SISMO DE 20 DE ABRIL DE 1959

H = 04h 21m 10s
8° 1/2 N., 83° W. (U. S. C. G. S.)
Costa Rica.

ALICANTE

P	04h	33m	18s	
(S)		43	17	
L		59	09	
F	05	30	—	D = 8.800 kms. = 79° 2

MALAGA

iP	04	33	00

TOLEDO

eP	04	33	02
L		47	50

111.—SISMO DE 22 DE ABRIL DE 1959

H = 10h 55m 05s
Mag: 6 (Pasadena)
54° N., 167° W. h = 100 kms. ap. (Moskva)
Islas de los Zorros, Aleutianas. (U. S. C. G. S.)

TOLEDO

iP	11h	07m	44s	(compresión)

112.—SISMO DE 22 DE ABRIL DE 1959

H = 19h 01m 41s
Mag: 5 3/4 (Strasbourg)
11° 1/2 N., 86° 1/2 W. (U. S. C. G. S.)
Cerca de la costa de Nicaragua.

TOLEDO

e(P)	19h	14m	07s
L		40	20
M		44	20
F	20	10	—

113.—SISMO DE 22 DE ABRIL DE 1959

H = 20h 26m 46s
Mag: 5 3/4 - 6 (Pasadena)
36° 1/2 S., 97° 1/2 W. (U. S. C. G. S.)
Océano Pacífico.

TOLEDO

eP	20h	46m	22s
e		56	16
L	21	25	50
F		45	—

114.—SISMO DE 24 DE ABRIL DE 1959

H = 09h 31m 33s
Mag: 6 1/4 - 6 1/2 (Pasadena)
11° 1/2 N., 86° 1/2 W. (U. S. C .G. S.)
Cerca de la costa de Nicaragua.

Réplica del núm. 113.

ALICANTE

L	10h	09m	53s	
Mo		16	11	
F		30	—	D = 8.850 kms. = 79° 6

TOLEDO

L	10	09	50
M		14	20
F		40	—

115.—SISMO DE 24 DE ABRIL DE 1959

H = 17h 57m 58s
Mag: 6 3/4 - 7 (Pasadena)
31° S., 178° W. (U. S. C. G. S.)
Islas Kermadec.

ALICANTE

P'_1	18h	18m	04s	
PP		23	29	
SKS		25	11	
SKKS		30	14	
L	19	19	49	
Mo		32	52	
F	20	05	—	D = 19.200 kms. = 172° 8

ALMERIA

iP'_1	18	18	13
(P'_2)		19	45
PP		23	34

(PPP)	18h	27m	51s	
SKKS		30	22	
L	19	20	20	D = 19.150 kms. = 172° 5

MALAGA

iP'	18	18	12	
iP'$_2$		19	38	
iPP		23	28	
i(PPP)		27	20	
i		30	50	
L	19	27	00	
M		36	30	
F		58	—	D = 19.110 kms. = 171° 9

TOLEDO

iP'$_1$	18	18	12	(compresión)
iP'$_2$		19	29	
eiPKS		21	28	
iPP		23	17	
iPPP		27	30	
i		31	20	
i		34	10	
eSS		44	00	
eSSP		44	50	
L	19	12	50	
M		36	20	
F	20	30	—	D = 18.800 kms. = 169° 2

116.—SISMO DE 25 DE ABRIL DE 1959

H = 00h 26m 41s
Mag: 6,3 (Uppsala)

37° N., 28° 5 E. (B. C. I. S.)
SW. de Turquía.

Daños en la provincia de Mugla, en las próximidades del lago Koycegiz, en particular en Dogusveren, Toparlar, Hamit y en Koycegiz; 100 casas destruidas, otras 600 dañadas.

Sentido en el SW. de Turquía y en las islas del Dodecaneso y en Rodas (según Istambul, UTI).

ALICANTE

iP	00h	31m	44s	
iS		35	54	
SSS		36	50	
L		38	09	
Mo		41	03	
F		siguiente		D = 2.550 kms. = 22° 9

ALMERIA

iP	00	32	03	(dilatación)
eS		36	19	
iL		38	44	D = 2.800 kms. = 25°

MALAGA

iP	00	32	17	
iPP		32	56	
iPcP		35	54	
eS		36	40	
L	00h	39m	00s	
M		42	00	
F		53	—	D = 2.890 kms. = 26°

TOLEDO

iP	00	32	12	(dilatación)
ePP		32	47	
iS		36	50	
iSS		37	35	
SSS		38	03	
(Li)		39	47	
M		43	50	
M		45	20	D = 3.080 kms. = 27° 6

117.—SISMO DE 25 DE ABRIL DE 1959

H = 01h 05m 42s
Mag: 5,6 (Uppsala)

SW. de Turquía. (B. C. I. S.)
Réplica del anterior.

Sentido en el Dodecaneso (según Atenas).

ALICANTE

P	01h	10m	48s	
PPP		11	27	
S		14	54	
F		30	—	D = 2.550 kms. = 22° 9

ALMERIA

iP	01	11	05	

MALAGA

iP	01	11	18	
iPP		11	57	

TOLEDO

iP	01	11	13	
eS		15	50	

118.—SISMO DE 26 DE ABRIL DE 1959

H = 14h 45m 16s

46° 5 N., 13° E. (B. C. I. S.)
Alpes de Venecia, Italia.
Ligeros daños en el NE. de Italia.

Sentido (G. VII) en Carnie, en Zuglio y en Formeazo, G. IV en la región de Ljubljana; G. III en Trieste (según Trieste).

TOLEDO

eP	14h	48m	36s	
e		53	09	

119.—SISMO DE 26 DE ABRIL DE 1959

H = 20h 40m 38s
Mag: 7 1/4 - 7 3/4 (Pasadena)

25° N., 122° 1/2 E. h = 150 kms. ap.
Cerca de la costa NE. (U. S. C. G. S.)
de Formosa.

ALICANTE

eP	20h	53m	50s	
PP		57	57	
SKS	21	04	24	
S		04	54	
L		27	02	
Mo		34	32	
F	22	19	—	D = 10.800 kms. = 97° 2

ALMERIA

eP	20	54	11	(compresión)
iPP		58	16	
iSKS	21	04	38	
eS		05	35	
PS		06	51	
SS		11	32	
Lq		21	—	D = 10.900 kms. = 98°

MALAGA

iP	20	54	15	
ipP		54	43	
iPP		58	19	
iPP	21	00	31	
iSKS		04	38	
iS		05	55	
iPS		07	25	
LR		39	30	
M		45	00	
F	22	22	—	D = 11.130 kms. = 100° 1

TOLEDO

iP	20	54	05	(compresión)
ipP		54	41	
iPP		58	06	
epPP		58	33	
iPPP	21	00	12	
i		02	33	
iSKS		04	36	
iS		05	25	
ipS		06	14	
iPS		07	01	
eiPPS		07	46	
iSS		12	02	
eSSS		16	22	
iLgl		21	11	
M		36	50	D = 10.910 kms. = 98° 2

120.—SISMO DE 28 DE ABRIL DE 1959

H = 11h 09m 44s
Mag: 6 1/2 - 6 3/4 (Pasadena)
15° 50′ N., 92° 50′ W. (Tacubaya)
Frontera Méjico-Guatemala.
Sentido (G. IV-V) en San Salvador (según San Salvador).

ALICANTE

eP	11h	21m	57s	
S		32	17	
SS		37	39	
L		49	10	
Mo		57	50	
F	12	58	—	D = 9.200 kms. = 82° 8

ALMERIA

iP	11	21	47	
PP		25	02	
eS		31	58	
L		47	20	D = 9.050 kms. = 81° 5

MALAGA

iP	11	21	41	
iPcP		21	49	
i(PP)		24	52	
LR		47	00	
M		55	00	
F	12	20	—	D = 8.850 kms. = 79° 6

TOLEDO

iP	11	21	38	
e		22	28	
ePPP		26	30	
iS		31	36	
iPS		32	26	
ePPS		33	00	
e		35	22	
iSS		36	34	
eSSS		40	16	
M		53	20	
F	14	00	—	D = 8.845 kms. = 79° 6

121*.—SISMO DE 29 DE ABRIL DE 1959

MALAGA

iPg	05h	15m	30s	
iSg		15	38	
iS*		15	40	
iSn		15	45	
F		16	—	D = 70 kms. = 0° 6

122*.—SISMO DE 30 DE ABRIL DE 1959

MALAGA

iPn	04h	16m	13s	
iP*		16	16	
iPg		16	21	
iSn		16	43	
iS*		16	46	
iSg		16	50	
F		18	—	D = 270 kms. = 2° 4

123*.—SISMO DE 30 DE ABRIL DE 1959

Local, débil.

TOLEDO

ePg	19h	10m	38s	
eSg		10	47	
M		11	07	
F	19	12	—	D = 78 kms. = 0° 7

124.—SISMO DE 1 DE MAYO DE 1959

H = 08h 23m 57s
Mag: 5,5 (Uppsala)
36° 1/2 N., 52° E. (U. S C. G. S.)
Norte del Irán, en las proximidades del Mar Caspio.

ALICANTE

P	08h	31m	30s	
PP		33	16	
(S)		37	49	
F		50	—	D = 4.500 kms. = 40° 5

ALMERIA

eP	08	31	57	(dilatación)
e		32	02	D = 4.850 kms. = 43° 5

MALAGA

iP	08	32	07	
iX		32	15	D = 4.930 kms. = 44° 3

TOLEDO

iP	08	32	00
i		32	08
e(S)		38	28
e		41	50

125.—SISMO DE 3 DE MAYO DE 1959

H = 04h 41m 24s
Mag: 5,6 (Tacubaya)
12° 1/2 N., 87° 1/2 W. h = 100 kms. ap.
Cerca de la costa de Nicaragua-El Salvador. (U. S. C. G. S.)
Sentido (G. V) en San Miguel; G IV en San Vicente (según San Salvador)

MALAGA

iP	04h	53m	30s	
ipP		53	48	
iPP		56	18	
iPPP		58	22	
L	05	20	00	
F		33	—	D = 8.500 kms. = 76° 4

TOLEDO

e(P)	04	53	28
e	05	19	20
M		25	50

126.—SISMO DE 4 DE MAYO DE 1959

H = 07h 15m 42s
Mag: 8 (Pasadena)
52° 1/2 N., 159° 1/2 E. h = 60 kms. ap.
Cerca de la costa E. de Kamtchatka. (U. S. C. G. S.)

ALICANTE

iP	07h	28m	31s	
iS		38	44	
F	10	45	—	D = 9.750 kms. = 87° 7

Demas fases perturbadas por entrada en la sala de aparatos.

ALMERIA

eP	07h	28m	35s	
PP		32	24	
PPP		34	18	
iSKS		38	56	
SKKS		39	09	
eS		39	18	
PS		40	44	
SS		45	13	
SSS		49	07	
LQ		52	20	
iP'P*		54	32	
LR		58	10	
M	08	05	20	D = 9.900 kms. = 89°

MALAGA

iP	07	28	38	
iPP		31	54	
iS		39	24	
iPS		40	20	
LQ		51	10	
LR		55	15	
M	08	00	00	
F	11	06	—	D = 9.920 kms. = 89° 2

TOLEDO

iP	07	28	23	(compresión)
e(pP)		28	48	
iPP		31	52	
iPP		31	59	
i(pPP)		32	43	
iPPP		33	41	
i		34	05	
i		34	53	
iS		38	39	
iS		38	52	
iPS		39	54	
iSS		44	33	
eSSS		47	48	
G		51	33	
L		57	33	
M	08	13	50	
F	12	00	—	D = 9.340 kms. = 84°

127.—SISMO DE 4 DE MAYO DE 1959

H = 19h 04m 16s
Mag: 6 (Pasadena)
53° N., 159° E. (U. S. C. G. S.)
Kamtchatka.

Réplica del anterior.

ALICANTE

P	19h	17m	05s	
(S)		27	44	
L		46	02	
Mo		54	52	
F	20	20	—	D = 9.700 kms. = 87° 3

ALMERIA

L	19	49	—	D = 9.850 kms. = 88° 5

MALAGA

eP	19	17	15
L		56	00
M	20	01	45
F		27	—

TOLEDO

iP	19	16	58	
eS		27	15	
e		36	48	
L		44	48	
M		58	15	D = 9.340 kms. = 84°

128*.—SISMO DE 6 DE MAYO DE 1959

Sentido en Mazarrón, Murcia. (Alicante.)

ALICANTE

Pg	00h	03m	03s	
Sg		03	17	
F		04	40	D = (110) kms. = 1° 0

129*.—SISMO DE 6 DE MAYO DE 1959

39° 25'8 N., 0° 23'37 W.

Sentido en Alfafar (Valencia) (G. V); G. IV en Torrente; G. III en Silla y Picasent; G. II en Valencia, Burjasot y Puebla de Vallbona (Alicante).

ALICANTE

Pg	21h	00m	20s	
Sg		00	35	
F		02	—	D = 126 kms. = 1° 1

130.—SISMO DE 7 DE MAYO DE 1959

H = 00h 03m 24s
Mag: 6 - 6 1/4 (Pasadena)
3° 1/2 S., 148° 1/2 E. (U. S. C. G. S.)
Mar de Bismarck.

TOLEDO

(PP)	00h	25m	44s	
L	01	09	54	
M		23	55	

131.—SISMO DE 8 DE MAYO DE 1959

H = 11h 34m 50s
Mag: 6 (Pasadena)
53° 1/2 N., 160° 1/2 E. h = 60 kms. ap.
Cerca de la costa E. de Kamtchatka. (U. S. C. G. S.)

TOLEDO

iP	11h	47m	34s	(dilatación)
e		47	45	
e		47	56	
ePP		50	48	
M	12	31	54	
F		45	—	

132.—SISMO DE 11 DE MAYO DE 1959

H = 16h 28m 49s
53° 1/2 N., 160° E. h = ligeramente superior a la normal.
Kamtchatka. (U. S. C. G. S.)

MALAGA

iP	16h	41m	45s	
iPP		45	13	
iPPP		47	26	D = 9.840 kms. = 88° 5

133.—SISMO DE 12 DE MAYO DE 1959

H = 04h 57m 35s
Mag: 6 1/2 (Pasadena)
54° 1/2 N., 168° E. (U. S. C. G. S.)
Islas del Comandante, Aleutianas.

ALICANTE

eP	05h	10m	22s	
SKS		20	47	
eS		20	59	
L		39	09	
Mo		47	59	
F	06	40	—	D = 9.650 kms. = 86° 8

MALAGA

iP	05	10	32	
iPP		13	55	
ePPP		16	05	
eS		21	12	
i(PS)		22	07	
L		43	10	
M		47	30	
F	06	37	—	D = 9.790 kms. = 88°

TOLEDO

iP	05h	10m	16s	(dilatación)
e		14	06	
e		15	46	
iS		20	40	
ePS		21	38	
ePPS		22	00	
eSS		26	09	
eSSS		30	02	
L		41	15	
M		53	45	
F	06	40	—	D = 9.420 kms. = 84° 8

134.—SISMO DE 12 DE MAYO DE 1959

H = 09h 46m 51s
Mag: 6 3/4 (Pasadena)
23° 1/2 S., 64° 1/2 W. (U. S. C. G. S. y B. C. I. S.)
Provincia de Salta, Argentina

ALICANTE

eP	09h	59m	34s	
iS	10	10	08	
L		28	01	
Mo		36	48	
F	12	00	—	D = 9.550 kms. = 86°

ALMERIA

iP	09	59	26	(dilatación)
eS	10	09	45	
L		27	50	D = 9.350 kms. = 84°

MALAGA

iP	09	59	18	
iPcP		59	25	
iPP	10	02	24	
iPPP		04	17	
iS		09	37	
i		10	31	
L		31	50	
M		37	00	
F		impreciso		D = 9.190 kms. = 82° 6

TOLEDO

iP	09	59	29	
i		59	37	
i		59	48	
ePP	10	02	44	
iPPP		04	30	
iS		09	56	
iPS		10	52	
i(PS)		11	04	
iPPS		11	16	
i		11	52	
eSS		15	34	
eSSS		18	46	
L		24	15	
M		36	45	D = 9.490 kms. = 85° 4

135.—SISMO DE 12 DE MAYO DE 1959

H = 10h 14m 00s
20° 1/2 S., 63° W. (U. S. C. G. S.)
Bolivia.

MALAGA

iP	10h	26m	13s	
iPP		29	19	
Superpuesto al anterior				D = 8.860 kms. = 79° 7

TOLEDO

eP	10	26	23	

136.—SISMO DE 12 DE MAYO DE 1959

H = 21h 40m 22s
Mag: 5,8 (Uppsala)
51° 1/2 N., 177° W. (U. S. C. G. S.)
Islas Andreanov, Aleutianas.

ALICANTE

P	21h	53m	24s	
(S)	22	04	15	
F		siguiente		D = 10.000 kms. = 90°

MALAGA

iP	21	53	36	
iPP		57	22	D = 10.120 kms. = 91°

TOLEDO

eP	21	53	20	
e(S)	22	04	25	
e(SSS)		12	55	
L		23	45	

137.—SISMO DE 12 DE MAYO DE 1959

H = 21h 59m 56s
Mag: 6 (Pasadena)
51° 1/2 N., 177° W. (U. S. C. G. S.)
Réplica del anterior. (B. C. I. S.)
Islas Andreanov, Aleutianas.

ALICANTE

P	22h	12m	58s	
S		23	49	
L		42	58	
Mo		51	54	
F	23	15	—	D = 10.000 kms. = 90°

MALAGA

iP	22	13	09	

TOLEDO

e(P)	22h	12m	53s
L		39	45

138.—SISMO DE 14 DE MAYO DE 1959

H = 06h 27m 05s

35° 1/2 N., 24° 1/2 E. (B. C. I. S.)

Creta. Premonitorio del siguiente.

Sentido en la isla de Creta, en las regiones de Rethymnon, de Heraklion y de Chania (según Atenas).

MALAGA

iP	06h	32m	10s
iPP		32	40

TOLEDO

eP	06	32	08

139.—SISMO DE 14 DE MAYO DE 1959

H = 06h 36m 55s

Mag: 6 1/2 (Pasadena)

35° 1 N., 24° 9 E. (Atenas y B. C. I. S.)

Creta meridional, en las proximidades del golfo de Messara. (Macrosísmico)

Sismo destructor en región de Asterousion, al S. de la meseta de Messara. Formación de grietas cerca del litoral de Matala y cerca del pueblo de Pitsidia. Ocho heridos. Sentido en la isla de Creta, G. VIII-IX, en Matala y Pitsidia; G. VIII en Antiskarion, Kamilarion, Listaros; en la región de Rethymnon, de Chania y de Lasithion, así como en las islas de Santorin, de Paros, de Naxos, de Milos, de Kythera y de Rhodes. Sentido igualmente en Grecia, en las regiones de Argolida, de Elide y de Aetolia. Superficie macrosísmica = 110.000 kms., aproximadamente (según Atenas).

ALICANTE

iP	06h	41m	36s	
iS		45	18	
L		47	08	
Mo		49	46	
F	07	07	—	D = 2.250 kms. = 20° 2

ALMERIA

iP	06	41	50	(dilatación)
eS		45	49	
L		50	30	D = 2.450 kms. = 22°

MALAGA

iP	06	42	03
iPP		42	34
iPPP		42	44
iS		46	15
iSSS		47	13
L		48	20
iPcS		49	27
i(ScS)		53	13

F cambio de banda D = 2.560 kms. = 23°

TOLEDO

iP	06h	42m	03s	(dilatación)
iPa		42	22	
iPP		42	37	
i		43	45	
iPcP		45	48	
iS		46	09	
iSa		46	45	
iSS		46	56	
iL		48	10	
L		48	45	
PcS		49	30	
i		50	05	
Réplicas débiles				
eP	09	53	59	
eP	11	02	25	
eP	12	09	49	
eP	13	39	56	D = 2.580 kms. = 23° 2

140*.—SISMO DE 14 DE MAYO DE 1959

Local, Grado II. (Alicante)

ALICANTE

Pg	07h	43m	46s	
Sg		43	53	
F		44	58	D = (60) kms. = 0° 5

141.—SISMO DE 14 DE MAYO DE 1959

H = 09h 33m 22s

Mag: 5 3/4 (Wellington)

19° S., 170° E. (U. S. C. G. S.)

Nuevas Hébridas.

MALAGA

iP'2	09h	54m	11s

142.—SISMO DE 14 DE MAYO DE 1959

H = 10h 41m 56s

19° S., 170° E. h = 100 kms. ap.

Nuevas Hébridas. (U. S. C. G. S.)

Sentido en Lenakel-Whitesands (G. III en Tana) (según Nouméa).

MALAGA

iP'2	11h	02m	39s

143.—SISMO DE 14 DE MAYO DE 1959

H = 11h 26m 32s

Creta. Réplica del núm. 139. (B. C. I. S.)

Sentido en la isla de Creta (según Atenas).

MALAGA

iP	11h	31m	37s

144*.—SISMO DE 14 DE MAYO DE 1959

Local.

ALMERIA

iPg	11h	45m	45s	
iSg		45	48	D = 25 kms. = 0° 2

145.—SISMO DE 14 DE MAYO DE 1959

H = 11h 49m 20s

19° S., 170° E. h = 100 kms. ap.
Nuevas Hébridas. (U. S. C. G. S.)
Réplica del núm. 142. (B. C. I. S.)

MALAGA

iP'$_2$	12h	10m	04s	
iPKS		13	48	

146.—SISMO DE 14 DE MAYO DE 1959

H = 13h 19m 32s
Mag: 5 1/2 - 3/4 (Wellington)

19° S., 170° E. h = 150 kms. ap.
Nuevas Hébridas. (U. S. C. G. S.)

MALAGA

iP'	13h	39m	16s	
iP'$_2$		40	10	
iPP		43	48	D = 17.960 kms. = 161° 5

147.—SISMO DE 15 DE MAYO DE 1959

H = 14h 42m 48s
H = 14h 42m 44s (Tacubaya)
Mag: 5,2 (Tacubaya)

16° 47' N., 99° 53' W. (U. S. C. G. S.)
Oaxaca, Méjico.

MALAGA

iP	14h	55m	16s	

148*.—SISMO DE 15 DE MAYO DE 1959

MALAGA

iPg	16h	18m	36s	
iPn		18	39	
iSg		18	44	
F		19	—	D = 70 kms. = 0° 6

149.—SISMO DE 16 DE MAYO DE 1959

H = 06h 16m 23s
Mag: 6 3/4 (Pasadena)

4° 1/2 S., 153° 1/2 E. h = 60 km. ap.
Nueva Bretaña. (U. S. C. G. S.)

Sentido (G. VI-VII) en Karoola; G. V-VI en Taliligap; G. V en Londolovit; G. IV-V en Rabaul; G. II en Karlaï y débilmente en Ulamona.

ALICANTE

P'	06h	35m	43s	
PKS		39	26	
SKS		42	41	
L	07	22	39	
Mo		32	59	
F	08	15	—	D = 15.450 kms. = 139°

MALAGA

iP'	06	35	49	
iPP		38	53	
iPKS		39	17	
iPPP		42	01	
iSKS		42	43	
iSKKS		45	49	
iSKKKS		46	31	
iPPS		51	27	
eSS		56	39	
LR	07	30	30	
M		35	00	
L		48	00	
L		55	20	
F	08	16	—	D = 15.750 kms. = 141° 6

TOLEDO

eP'	06	35	50	
ePP		38	31	
ePKS		39	28	
ePPP		41	38	
eSS		57	00	
e	07	05	44	
G		19	44	
M		37	45	
F	08	30	00	D = 15.100 kms. = 135° 8

150.—SISMO DE 19 DE MAYO DE 1959

H = 15h 27m 44s
Mag: 5,8 (Uppsala)

33° N., 68° 1/2 E. (U. S. C. G. S).
E. del Afganistán.

ALICANTE

P	15h	27m	15s	
(S)		34	52	
L		44	07	
Mo		50	34	
F	16	15	—	D = 6.050 kms. = 54° 4

TOLEDO

eP	15	27	26	
eS		35	22	
e		37	04	
L		50	45	
M		55	15	D = 6.480 kms. = 58° 3

151*.—SISMO DE 20 DE MAYO DE 1959

Local. Grado II (Alicante).

ALICANTE

Pg	19h	08m	49s	
Sg		08	51	
F		09	41	D = 16 kms. = 0° 1

152.—SISMO DE 20 DE MAYO DE 1959

H = 19h 49m 12s
Mag: 5 3/4 (Moskva)
41° 8 N., 42° E. (Moskva)
Georgia, Cáucaso, U. R. S. S.

ALICANTE

(P)	19h	55m	45s	
(S)	20	00	59	
F		15	—	D = 3.600 kms. = 32° 4

TOLEDO

iP	19	56	04	
ePP		57	21	
e		58	52	
e(S)	20	01	23	
e		02	21	
e		10	23	
L		28	45	
M		34	15	D = 3.735 kms. = 33° 6

153.—SISMO DE 21 DE MAYO DE 1959

H = 11h 34m 23s
Mag: 6 (Pasadena)
28° S., 69° W. h = 60 kms. ap.
Frontera N. de Chile y de Argentina. (U. S. C. G. S.)

ALICANTE

(P)	11h	47m	32s	
S		58	37	
F	12	10	—	D = 10.350 kms. = 93° 1

MALAGA

iP	11	47	26	
iPP		51	02	
iPPP		53	10	
iSKS		57	30	
eS		58	26	
L	12	21	00	
M		26	10	
F		33	—	D = 9.810 kms. = 88° 2

TOLEDO

eP	11	47	30	
eS		58	28	
iPS		58	59	
L	12	15	40	
M		25	40	D = 10.245 kms. = 92° 2

154.—SISMO DE 24 DE MAYO DE 1959

H = 13h 19m 32s
36° 3 N., 4° 8 E. (Argel y B. C. I. S.)

Argelia. Sentido (G. VII-VIII) en Guenzet y Zemmourah; G. VII en B. Arreridj; G. VI-VII en Galbois; G. V-VI en Blondel, Davoust, El Main, etc. (según Argel).

ALICANTE

Pn	13h	20m	46s	
Sn		21	37	
F		35	—	D = 460 kms. = 4° 1

MALAGA

ePn	13	21	25	
iSn		22	53	
iSg		23	20	
L		23	30	
M		25	10	
F		47	—	D = 845 kms. = 7° 6

TOLEDO

iPn	13	21	30	
i		21	37	
i		21	51	
e		22	30	
iSn		22	52	
i		23	08	
iSg		23	27	
M		24	15	
F	13	50	—	D = 740 kms. = 6° 6

155.—SISMO DE 24 DE MAYO DE 1959

H = 19h 17m 40s
Mag: 6 3/4-7 (Pasadena)
17° 1/2 N., 97° W. h = 100 kms. ap.
Oaxaca, Méjico. (U. S. C. G. S. y B. C. I. S.)

Destructor en el Estado de Oaxaca, en particular en Reyes Alta; 5 muertos y 10 heridos; daños poco importantes. Sentido también en Méjico, ciudad.

ALICANTE

iP	19h	30m	08s	
PPP		35	18	
iS		40	25	
SS		46	03	
L		57	58	
Mo	20	04	34	
F		24	—	D = 9.350 kms. = 84° 1

ALMERIA

iP	19	30	01	(dilatación)
(pP)		30	30	
PP		33	28	
PPP		35	23	
S		40	19	

pS	19h	40m	40s	
sP		41	14	
SSS		49	29	
P'P'		56	26	
L		56	30	D = 9.200 kms. = 83°

MALAGA

iP	19	29	54	
ipP		30	16	
iPP		33	10	
iPPP		34	58	
iS		40	04	
isS		40	42	
iPS		41	01	
iSS		45	22	
LQ		52	00	
LR		56	00	
M	20	01	00	
F	21	41	—	D = 9.070 kms. = 81° 6

TOLEDO

iP	19	29	51	(dilatación)
	Dilatación			
iPcP		29	56	
ipP		30	18	
iPP		33	02	
ipPP		33	20	
iS		40	00	
iPS		40	52	
iPPS		41	20	
iSS		45	16	
iSSS		48	51	
Lr		56	45	
M	20	05	15	D = 9.080 kms. = 81° 7

156.—SISMO DE 26 DE MAYO DE 1959

H = 04h 13m 04s
Mag: 6 1/2 - 6 3/4 (Pasadena)
27° 1/2 N., 127° 1/2 E. h = 100 kms. ap.
Región islas Ryukyu. (J M A, Japón)

ALICANTE

(P)	04h	26m	21s	
(S)		37	33	
F	05	10	—	D = 10.850 kms. = 97° 6

MALAGA

eP	04	26	46	
ePP		30	28	
ePPP		32	06	
eS		37	48	
esS		39	12	
eSS		43	34	
L	05	18	40	
M		22	40	
F		26	—	D = 11.160 kms. = 100° 4

TOLEDO

iP	04	26	37	(dilatación)
ePP		30	44	
e(SKS)	34h	37m	10s	
eS		37	48	
L	05	02	45	
M		09	45	
F		30	00	D = 11.020 kms. = 99° 2

157.—SISMO DE 26 DE MAYO DE 1959

H = 05h 27m 36s
Mag: 5,6 (Reykjavik)
17° N., 61° W. (U. S. C. G. S. y B. C. I. S.)
Pequeñas Antillas.

Sentido, G. V en Guadalupe; G. III-IV en Martinica.

MALAGA

iP	05h	37m	34s	
iPcP		38	11	

TOLEDO

iP	05	37	11	(dilatación)

158.—SISMO DE 26 DE MAYO DE 1959

H = 06h 36m 00s
Mag: 5 1/2 (Matsushiro)
37° 1/2 N., 70° E. (U. S. C. G. S. y B. C. I. S.)
Frontera Afganistán. Tadzhik, U. R. S. S.

MALAGA

iP	06h	45m	54s	
ePP		48	06	
ePPP		49	20	
L	07	14	40	
M		19	20	
F		22	—	D = 6.400 kms. = 57° 6

TOLEDO

iP	06h	45m	44s	
L	07	07	45	

159*.—SISMO DE 27 DE MAYO DE 1959

Local. Grado II (Alicante).

ALICANTE

Pg	16h	39m	49s	
Sg		39	52	
F		40	37	D = 16 kms. = 0° 1

160.—SISMO DE 27 DE MAYO DE 1959

H = 20h 38m 24s
Mag: 5 1/4 - 4 1/2 (Matsushiro)
45° 3/4 N., 21° 1/4 E. (B. C. I. S.)
Frontera Hungria-Rumania.

Sentido (G. VIII) en Timisoara (según Bucarest).

MALAGA

L	20h	51m	15s
M		55	10
F	21	02	—

TOLEDO

eP	20	42	48
L		49	44
M		51	15
F	21	05	00

161.—SISMO DE 28 DE MAYO DE 1959

H = 19h 14m 02s

34° 1/4 N., 21° 1/4 E. (B. C. I. S.)

Argelia, Atlas Sahariano al SW. de Djelfa.

ALICANTE

eP	19h	16m	08s
F	20	10	—

TOLEDO

eP	19	16	19
e(S)		18	13
e		18	13
M		19	07

162.—SISMO DE 29 DE MAYO DE 1959

H = 10h 42m 48s

Mag: 6 1/2 (Pasadena)

19° S., 169° 1/2 E. (U. S. C. G. S. y B. C. I. S.)

Nuevas Hébridas h = 100 kms. ap.

Sentido (G. V) en Tanna (Whitesands) y en Erromango; G. IV en Vate (Port Vila y Onessual) y en N'Guna (según Noumea).

ALICANTE

P'_1	11h	02m	30s	
PP		06	52	
SKS		09	13	D = 17.700 kms. = 159° 3
F	12	25	—	

MALAGA

iP'	11	02	45	
iP'_2		03	35	
iPP		07	13	
iSKS		09	43	
iPPP		11	09	
iSKKS		13	55	
iPPS		20	41	
LR	12	12	40	
M		25	10	
F		42	—	D = 17.940 kms. = 161° 3

TOLEDO

eP'_1	11	02	40
epP		03	08
$e(P'_2)$	11h	03m	41s
cPP		07	17
ePP		07	20
ePS		17	43
e		22	07
eSS		26	53
L	12	01	15
M		14	15
F		50	— D = 18.100 kms. = 163°

163.—SISMO DE 31 DE MAYO DE 1959

H = 09h 28m 09s

Mag: 6 1/2 (Pasadena)

6° 1/2 S., 155° E. h = 100 kms. ap.

Islas Salomón (U. S. C. G. S. y B. C. I. S.)

(Peking)

ALICANTE

(P')	09h	47m	41s
e		51	53
F	11	00	—

MALAGA

iP'	09	47	49	
iPP		51	02	
ePKS		51	37	
iPPP		54	22	
L	10	51	00	
M		58	40	
F	11	23	—	D = 16.010 kms. = 144°

TOLEDO

eP'	09	47	45	
e		51	08	
ePP		51	26	
ei		51	56	
e		54	08	
ePPP		54	56	
i(SKS)		56	10	
iSKKS		58	28	
eSKSP	10	01	34	
ePPS		04	12	
L		38	40	
M		51	10	
F	11	40	—	D = 16.620 kms. = 149° 6

164.—SISMO DE 31 DE MAYO DE 1959

H = 12h 15m 48s

46° N., 27° E. h = 100 kms. ap.

Rumania, al SE. de Tecuci. (Moskva)

Sentido (G. VI) en el epicentro (Bucarest).

ALICANTE

(P)	12h	20m	44s	
S		24	39	
L		26	42	
Mo		29	28	
F		40	—	D = 2.400 kms. = 21° 6

MALAGA

iP	12h	21m	11s	
eS		25	33	
L		31	00	
M		34	00	
F		36	—	D = 2.820 kms. = 25° 4

TOLEDO

iP	12	20	55	
i		21	07	
ePP		21	27	
i		22	53	
ePcP		24	58	
iS		25	34	
e(SS)		26	54	
L		29	40	
M		32	15	
F		37	00	D = 3.080 kms. = 27° 7

165.—SISMO DE 1 DE JUNIO DE 1959

H = 12h 32m 26s

6° 1/2 S., 155° E. h = 400 kms. ap.
Región islas Salomón. (U. S. C. G. S.)

Sentido en Rabaul, Nueva Bretaña.

MALAGA

iP'	12h	51m	19s	
ePP		54	35	D = 16.010 kms. = 144°

166.—SISMO DE 1 DE JUNIO DE 1959

H = 17h 07m 23s
Mag: 6 - 6 1/4 (Matsushiro)

6° 1/2 S., 155° 1/2 E. h = 100 kms. ap.
(U. S. C. G. S.)

MALAGA

iP'	17h	26m	55s	
i		29	39	
i(PKS)		30	31	
iPPP		33	29	D = 16.030 kms. = 144° 2

TOLEDO

(P'1)	17	26	54	
e		20	05	
e		31	10	
e		32	40	

167.—SISMO DE 2 DE JUNIO DE 1959

H = 00h 47m 17s
Mag: 5 - 4 (Matsushiro)

32° 1/2 N., 131° 1/2 E. (U. S. C. G. S. y B. C. I. S.)
Cerca de la costa de Kyushu, Japón

Sentido (G. V) en Miyazayi, Kagoshima. (J M A, Japón)

MALAGA

L	01h	50m	20s	
M		54	00	
F		59	—	

TOLEDO

L	01	39	40	
M		51	15	
F	02	10	—	

168.—SISMO DE 2 DE JUNIO DE 1959

H = 02h 37m 46s
Mag: 5,9 (Uppsala)

21° N., 121° E. (U. S. C. G. S. y B. C. I. S.)
Región islas Batán.

ALICANTE

L	03h	25m	36s	
Mo		33	18	
F	siguiente			D = 11.050 kms. = 99° 4

MALAGA

L	03	38	50	
M		45	40	
F	en el siguiente			

TOLEDO

L	03	30	40	
M		36	10	
F	04	10	00	

169.—SISMO DE 2 DE JUNIO DE 1959

H = 03h 23m 12s

25° S., 176° W. (U. S. C. G. S.)
Región islas Tonga.

ALICANTE

P'1	03h	43m	19s	
SKS		50	21	
PPP		52	08	
F	siguiente			D = 18.500 kms. = 166° 5

MALAGA

eP'2	03	44	28	
iPP		48	16	D = 18.500 kms. = 166° 4

170.—SISMO DE 2 DE JUNIO DE 1959

H = 03h 31m 55s

25° 1/2 S., 176° W. (U. S. C. G. S.)
Región islas Tonga. (B. C. I. S.)

Réplica del anterior.

ALICANTE

P'_1	03^h	52^m	02^s	
SKS		59	04	
F	siguiente			D = 18.500 kms. = 166° 5

MALAGA

eP′	03	52	02
iP'_2		53	08
iPP		56	52

TOLEDO

eP'_1	03	52	02
$e(P'_2)$		52	57
ePP		56	42
L	05	49	40
M		55	30
F	07	30	00

171.—SISMO DE 2 DE JUNIO DE 1959

H = 03^h 52^m 06^s
25° 1/2 S., 176° W. (U. S. C. G. S.)
Región islas Tonga. (B. C. I. S.)

Réplica del núm. 169.

ALICANTE

(P'_1)	04^h	12^m	13^s	
SKS		19	15	
F	siguiente			D = 18.500 kms. = 166° 5

MALAGA

iP′	04	12	17
iP'_2		13	19
iPP		17	10
iPPP		21	08
LQ		59	20
LR	05	08	06

172.—SISMO DE 2 DE JUNIO DE 1959

H = 04^h 57^m 18^s
Mag: 6,4 (Uppsala)
21° N., 121° 1/2 E. (U. S. C. G. S.)
Región de las islas Batán.

ALICANTE

P	05^h	11^m	04^s	
(S)		22	34	
L		44	48	
Mo		53	46	
F	06	25	—	D = 11.050 kms. = 99° 4

MALAGA

L	05	55	50
M	06	02	20
F		26	—

173.—SISMO DE 2 DE JUNIO DE 1959

H = 05^h 42^m 34^s
Mag: 6,0 (Uppsala)
21° 1/2 N., 121° 1/2 E. (U. S. C. G. S.)
Región de las islas Batán.. (B C. I. S.)

Réplica del anterior.

MALAGA

L	06^h	41^m	20^s
M		53	10
F	07	02	—

174.—SISMO DE 3 DE JUNIO DE 1959

H = 03^h 43^m 42^s
4° N., 17° W. (U. S. C. G. S.)
Cerca de la costa W. de Colombia.

Sentido desde Popayan hasta Medellin.

MALAGA

eP	03^h	55^m	19^s	
iPcP		55	35	D = 8.160 kms. = 73° 4

175.—SISMO DE 4 DE JUNIO DE 1959

H = 01^h 57^m 49^s
9° N., 84° 1/2 W. (U. S. C. G. S.)
Cerca de la costa de Costa Rica.

MALAGA

iP	02^h	09^m	43^s

176.—SISMO DE 4 DE JUNIO DE 1959

H = 12^h 31^m 56^s
Mag: 5 1/2 (Pasadena)
59° 1/2 N., 153° W. h = 100 kms. ap.
Bahía de Cook. (U. S. C. G. S.)

MALAGA

iP	12^h	43^m	41^s
i		44	09

177.—SISMO DE 5 DE JUNIO DE 1959

H = 20^h 37^m 15^s
12° N., 86° 1/2 W. h = 100 kms. ap.
Cerca de la costa de Nicaragua. (U. S. C. G. S.)

TOLEDO

L	21^h	16^m	10^s
M		24	10

178.—SISMO DE 7 DE JUNIO DE 1959

H = 13h 39m 38s
Mag: 6,1 (Uppsala)
1/2° N., 18° W. Océano Atlántico.

ALICANTE

(P)	13h	47m	27s	
PcP		49	26	
S		53	47	
L		59	53	
Mo	14	04	49	
F		35	—	D = 4.600 kms. = 41° 4

MALAGA

e(PP)	13	48	32	
iS		53	03	
L	14	01	10	
LR		03	00	
M		06	00	
F		17	—	

TOLEDO

eP	13	47	31	
i		48	02	
i		48	16	
ePP		49	09	
ePPP		49	34	
eiS		53	48	
L	14	04	20	D = 4.680 kms. = 42° 1

179*.—SISMO DE 8 DE JUNIO DE 1959

H = 19h 01m 00s
36° 15′ N., 2° 45′ W. (Alicante)
Mar de Alborán.

ALICANTE

Pg	19h	02m	00s	
Sg		02	35	
F		04	12	D = (308) kms. = 2° 8

MALAGA

iPg	19	01	38	
iSg		01	58	
F		22	—	D = 170 kms. = 1° 5

TOLEDO

ePg	19	02	19	
eSg		02	59	
M		03	06	
F		04	18	

180.—SISMO DE 10 DE JUNIO DE 1959

H = 04h 16m 03s
Mag: 5,7 (Uppsala)
35° 3/4 N., 24° 1/4 E. (B. C. I. S.)
En las proximidades de la costa N. de Creta.

Sentido en Creta, en las regiones de Chania, de Rethymne, de Heraklion, y en las islas de Milos, de Santorin y de Kythera, así como en el sur de Grecia. Superficie macrosísmica = 220.000 kilómetros cuadrados aproximadamente (según Atenas).

ALICANTE

P	04h	20m	27s	
PP		20	43	
S		23	55	
SS		24	20	
L		25	36	
F		35	—	D = 2.100 kms. = 18° 9

MALAGA

eP	04	21	07	
iPP		21	33	
iS		25	13	
F	impreciso			D = 2.560 kms. = 23°

TOLEDO

iP	04	21	04	
eiPP		21	35	
eS		25	05	
e		25	21	
eSS		25	44	
e		26	24	
M		34	10	D = 2.510 kms. = 22° 6

181.—SISMO DE 13 DE JUNIO DE 1959

H = 21h 56m 45s
46° 15′ N., 12° 34′ E.
Alpes Vénetos.

Sentido G. VII en Sappada (Prov. de Belluno), Forni de arriba y Forni de abajo (Prov. de Udina), G. VI en Lozzo di Cadore, Perarolo, Cibiana Lorenzago (Belluno) y Banis, Ampezzo (Udine) (según Roma).

ALICANTE

(P)	21h	59m	36s	
S	22	01	49	
L		02	50	
Mo		04	14	
F		14	—	D = 1.300 kms. = 11° 7

182.—SISMO DE 14 DE JUNIO DE 1959

H = 00h 11m 57s
Mag: 7,2-7,5 (Pasadena)
20° 1/2 S., 68° W. h = 100 kms. ap.
Suroeste de Bolivia. (U. S. C. G. S.)

Un muerto, ligeros daños en el norte de Chile. Sentido en Tarapaca y Antofagasta (según Santa Lucía).

ALICANTE

eP	00h	24m	39s	
PP		27	51	
iS		34	56	
L		52	45	
Mo	01	00	12	
F	02	40	—	D = 9.550 kms. = 85° 9

ALMERIA

eP	00h	24m	30s	
pP		25	02	
iS		34	42	
SP		35	40	
PS		35	58	
e		38	47	
SS		40	41	
L		52	40	D = 9.750 kms. = 84°

MALAGA

iP	00	24	21	
ipP		24	39	
iPP		27	33	
iPPP		29	40	
iS		34	36	
isS		35	12	
iSS		39	45	
LQ		45	50	
LR		52	00	
M	03	03	—	D = 9.210 kms. = 82° 8

TOLEDO

iP	00	24	29	
	Dilatación			
ipP		24	59	
iSP		25	16	
i		26	14	
iPP		28	57	
ePPP		29	53	
eSKS		34	30	
iS		34	46	
pS		35	19	
sS		35	33	
iPS		35	44	
iSS		40	20	
esSS		41	14	
i		42	17	
eSSS		44	26	
L		52	40	
F	03	00	—	D = 9.420 kms. = 84° 8

183.—SISMO DE 16 DE JUNIO DE 1959

H = 00h 32m 17s

42° 1/2 N., 24° E. (U. S. C. G. S.)
Bulgaria.

MALAGA

iP	00h	37m	17s	
ePP		37	44	D = 2.510 kms. = 22° 6

184.—SISMO DE 18 DE JUNIO DE 1959

H = 06h 50m 45s

55° S., 129° W. (U. S. C. G S.)
Océano Pacífico.

TOLEDO

L	08h	03m	10s	
M		08	30	

185.—SISMO DE 18 DE JUNIO DE 1959

H = 15h 31m 25s

Mag: 6 3/4 - 7 (Pasadena)

54° N., 160° E. (U. S. C. G. S.)
Cerca de la costa E. de Kamtchatka.

ALICANTE

P	15h	44m	10s	
iS		54	44	
SSS	16	03	57	
L		12	46	
Mo		21	34	
F		siguiente		D = 9.600 kms. = 86° 4

TOLEDO

iP	15	44	05	(compresión)
iPcP		44	10	
i		44	20	
i		44	45	
iS		54	38	
iPS		55	34	
iPPS		56	10	
i		58	03	
eSS	16	00	19	
L		09	10	
M		22	20	
F	17	20	—	D = 9.620 kms. = 86° 6

186.—SISMO DE 18 DE JUNIO DE 1959

H = 15h 58m 38s

Mag: 6 1/2 - 6 3/4 (Pasadena)

54° N., 161° E. (U. S. C. G. S.)
Cerca de la costa E. de Kamtchatka.

ALICANTE

P	16h	11m	23s	
(S)		21	58	
L		39	59	
Mo		48	47	
F	17	10	—	D = 9.600 kms. = 86° 4

ALMERIA

L	16	10	—	D = 9.550 kms. = 88°

TOLEDO

eP	16	11	14

187.—SISMO DE 19 DE JUNIO DE 1959

H = 01h 37m 51s

Mag: 5 1/2 - 5 3/4 (Matsushiro)

6° N., 82° 1/2 W. (U. S. C. G. S.
Sur de Panamá. y B. C. I. S.)

ALICANTE

L	02h	16m	38s	
Mo		22	50	
F		35	—	D = 8.900 kms. = 80° 1

TOLEDO

eP	01h	49m	59s	
eS		59	45	
L	02	14	10	D = 8.780 kms. = 79°

188*.—SISMO DE 19 DE JUNIO DE 1959

Grado II (Alicante).

Probable foco submarino próximo al cabo de Santa Pola.

ALICANTE

Pg	02h	18m	16s	
Sg		18	18	
F		19	13	D = 18 kms. = 0° 2

189.—SISMO DE 19 DE JUNIO DE 1959

H = 11h 58m 52s
Mag: 5 (Lwiro)
1/4° S., 30° E.
Orilla este del lago Eduardo.

ALICANTE

L	12h	23m	59s	
Mo		27	49	
F		40	—	

TOLEDO

eP	12	07	52	
M		31	30	

190*.—SISMO DE 19 DE JUNIO DE 1959

Local. Grado II (Alicante).

ALICANTE

Pg	18h	12m	41s	
F		14	09	

191*.—SISMO DE 19 DE JUNIO DE 1959

38° 4', 6 N., 0° 51', 2 W.

Sentido en Benejuzar (G. V) (Alicante).

ALICANTE

Pg	19h	38m	18s	
Sg		38	25,5	
F		39	49	D = 42 kms. = 0° 4

TOLEDO

e(Pg)	19	39	45	

192*.—SISMO DE 19 DE JUNIO DE 1959

Réplica del anterior (Alicante).

ALICANTE

Pg	20h	05m	39s	
F		06	19	

193.—SISMO DE 20 DE JUNIO DE 1959

H = 16h 42m 25s
32° N., 40° W. (U. S. C. G. S.
Océano Atlántico. y B. C. I. S.)

ALICANTE

P	16h	48m	59s	
PP		50	07	
(S)		54	13	
L		58	28	
F	17	15	—	D = 3.600 kms. = 32° 4

TOLEDO

eP	16	48	38	
e		49	21	
e(S)		53	36	
L		55	10	

194.—SISMO DE 23 DE JUNIO DE 1959

H = 14h 35m 02s
Mag: 6,2 (Pasadena)
39° N., 119° W. (U. S. C. G. S.)
U. S. A., W. de Nevada.

Intensidad máxima = VI epicentro a 70 millas al SE. de Reno; sentido en Reno, Fallon, Lovelock, Carson City, Yerington, Schurz, Hawthorne (Nevada) y en Loyalton, Plaurville, Sacramento y Turlock (California).

TOLEDO

eP	14h	47m	20s	
L	15	13	00	
M		30	—	

195.—SISMO DE 25 DE JUNIO DE 1959

H = 06h 46m 55s
Mag: 5,7 (Uppsala)
62° N., 27° 1/2 W. (U. S. C. G. S. y B. C. I. S.)
A lo largo del S. de Islandia.

ALICANTE

P	06h	52m	53s	
PP		53	50	
S		57	48	
L	07	01	15	
Mo		04	42	
F		30	—	D = 3.200 kms. = 28° 8

TOLEDO

eP	06h	52m	29s	
i		54	30	
i		55	05	
eS		57	08	
i		57	18	
eSS		58	08	
L		59	30	
M	07	02	10	
F		35	00	D = 3.100 kms. = 28°

196*.—SISMO DE 26 DE JUNIO DE 1959

Peninsular.

TOLEDO

ePg	12h	50m	24s
e(Sg)		50	42
F		51	30

197*.—SISMO DE 27 DE JUNIO DE 1959

Grado II.
Posible réplica del núm. 191. (Alicante)

ALICANTE

Pg	06h	19m	18s	
Sg		19	23	
F		20	42	D = 42 kms. = 0° 4

198.—SISMO DE 27 DE JUNIO DE 1959

H = 19h 04m 27s
Mag: 6 3/4 (Pasadena)
33° S., 179° W. h = 100 kms. ap.
Sur de las islas Kermadec. (U. S. C. G. S.)

Sentido desde Cabo Este hasta Wellington.

ALICANTE

P'_1	19h	24m	19s	
P_2		25	55	
SKS		31	03	
PPP		34	03	
PcSP'		36	39	
ScSP'		40	49	
F	20	25	—	D = 19.400 kms. = 174° 6

ALMERIA

iP'	19	24	29	
e		25	30	
iPP		30	04	
SKS		31	19	
e		36	53	
iSS		51	11	D = 19.400 kms. = 174° 5

TOLEDO

iP'_1	19	24	30	
epP'_1		24	49	
eiP'_2	19h	25m	59s	
ePP		29	48	
e		33	12	
iPPP		33	46	
e		34	00	
i(SKKS)		36	25	
e(SKSP)		38	52	
i		39	48	
iSS		50	50	
i		51	50	
i		54	24	
eSSS		57	52	
L	20	25	40	
F	21	00	—	D = 19.145 kms. = 172° 3

199.—SISMO DE 27 DE JUNIO DE 1959

H = 19h 11m 23s
Mag: 6 3/4 (Pasadena)
42° N., 80° E. (U. S. C. G. S.)
Frontera China-Rusia.

ALMERIA

eP	19h	21m	44s	D = 6.850 kms. = 61° 5

TOLEDO

eP	19	21	42

200.—SISMO DE 28 DE JUNIO DE 1959

H = 04h 23m 28s
Mag: 4,9 (Reykjavik)
63° 1/2 N., 20° W. (U. S. C. G. S. y B. C. I. S.)
Cerca de la costa S. de Islandia.

TOLEDO

eP	04h	29m	00s
L		36	50

201.—SISMO DE 28 DE JUNIO DE 1959

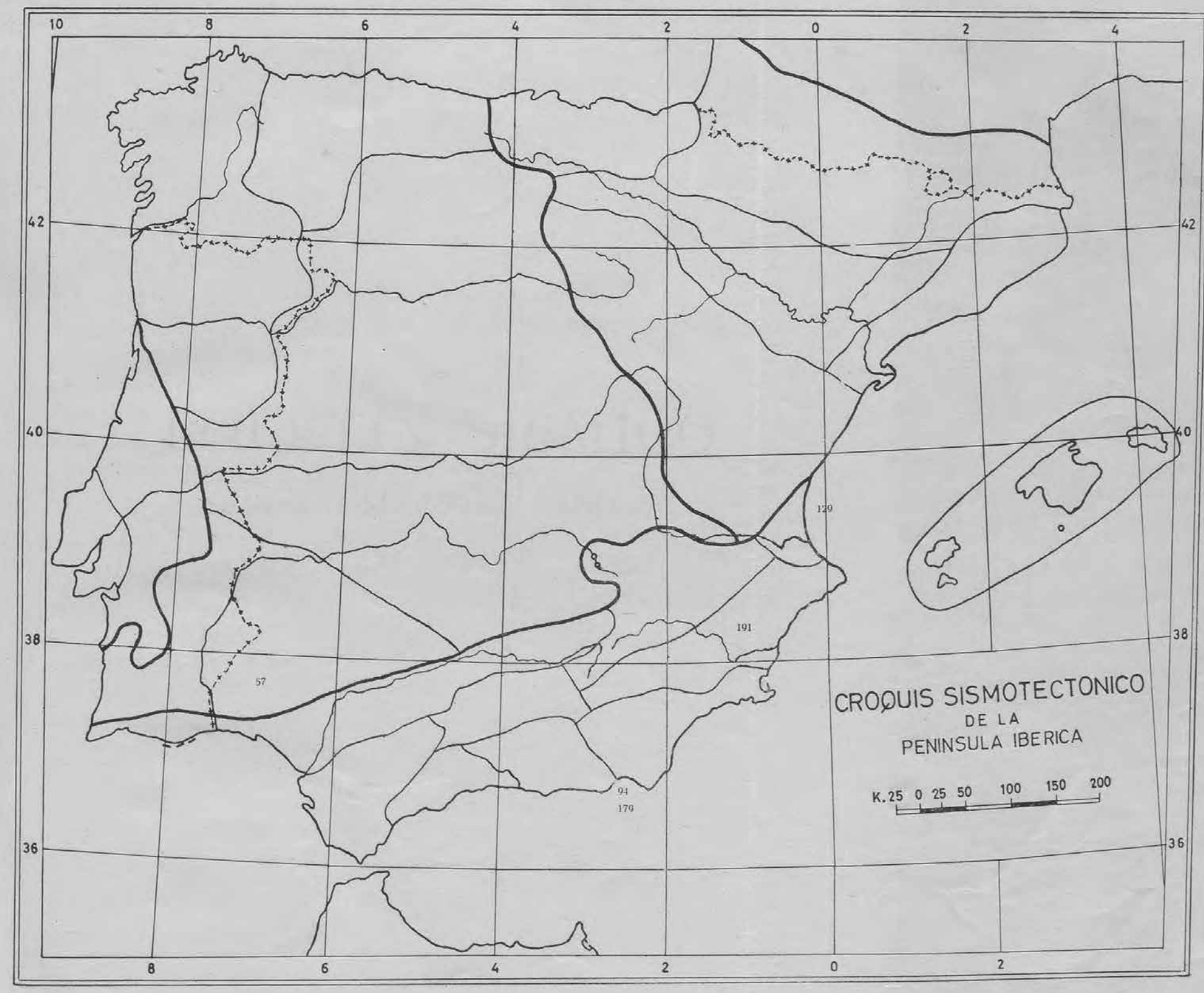
H = 19h 43m 45s
Mag: 6,4 (Uppsala)
9° S., 122° 1/2 E. h = 100 kms. ap.
Mar de Sawoe. (Moskva)

TOLEDO

eP'	20	02	26	
eSKKS		10	55	
ePS		14	07	
e		15	45	
L		44	45	

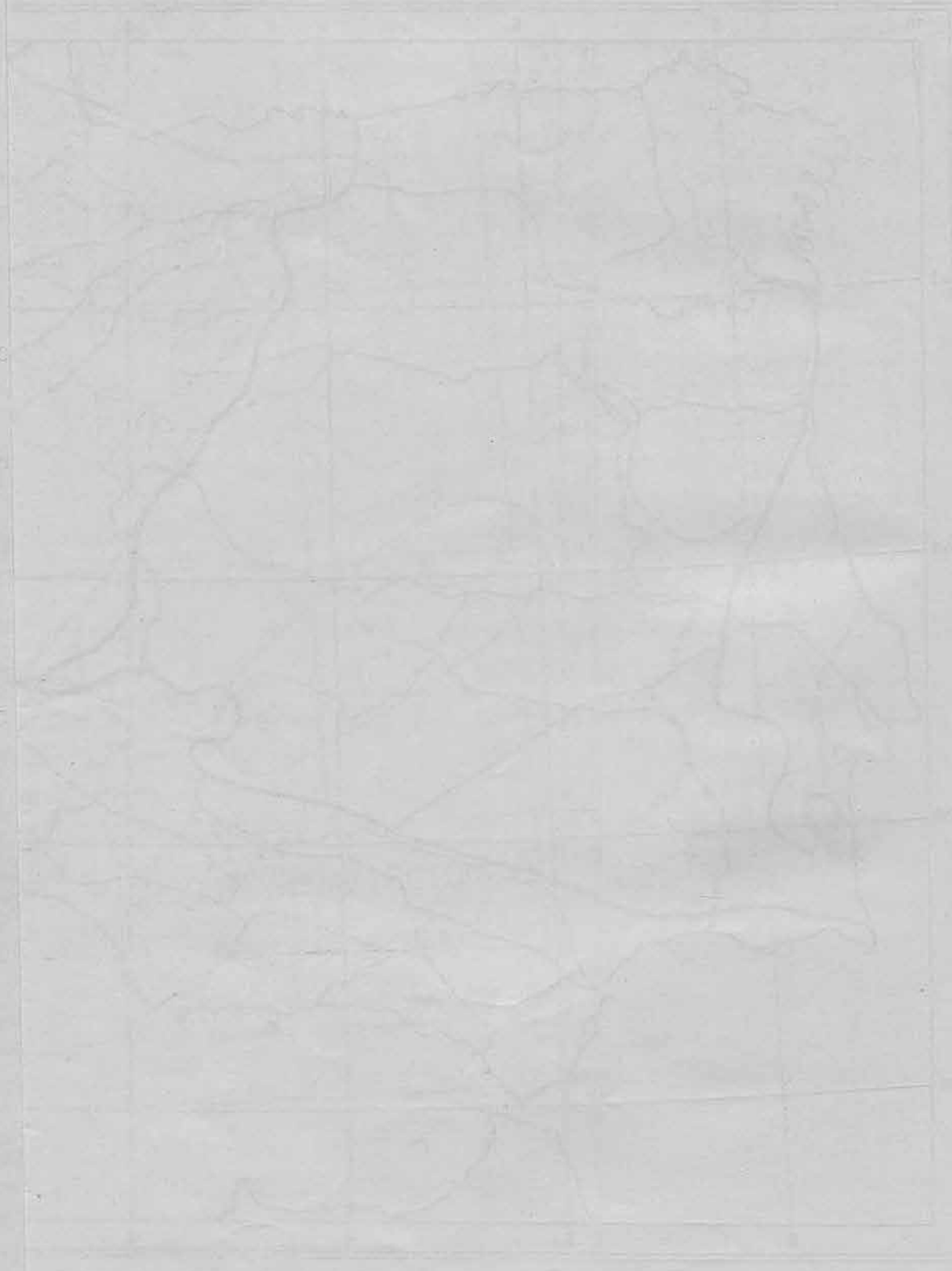
ALICANTE

(P')	20h	02m	17s	
PP		03	52	
SKS		09	15	
F		55	—	D = 13.500 kms. = 121° 5



Epicentros de sismos ibéricos localizados durante el **primer semestre de 1959.** Los números indican el orden con el cual figuran en el Boletín. Para sus coordenadas consultar el texto.

(Laboratorio Central de Sismología. Madrid.)



BOLETIN SISMICO

SEGUNDO SEMESTRE - AÑO 1959

MEMORIAS DEL INSTITUTO GEOGRAFICO Y CATASTRAL

Tomo XXXII

III

BOLETIN SISMICO

SEGUNDO SEMESTRE - AÑO 1959

DEPÓSITO LEGAL M-7387-1958



MADRID

TALLERES DEL INSTITUTO GEOGRAFICO Y CATASTRAL

1 9 6 3

LABORATORIO CENTRAL DE SISMOLOGIA

La situación geográfica y los equipos que constituyen los Observatorios dependientes del Laboratorio Central de Sismología, son los siguientes:

OBSERVATORIO SISMOLOGICO DE ALICANTE

COORDENADAS

Lat. = 38° 21' 19",22 N.
Long. = 0° 29' 14",06 W. Gr.
a = 35 metros.
Subsuelo = Cretáceo superior.

SISMOGRAFO	COMPONENTE	MASA — *Kgs.*	PERIODO — T_o	AMPLIFICACION — V	ROZAMIENTO — $\frac{r}{T_o^2}$	AMORTIGUAMIENTO — ε
Mainka	N.-S.	1.000	9	700	0,043	4,2
Mainka	E.-W.	1.000	9	392	0,030	4,0
Wiechert	Z	800	0,5	200	—	—

OBSERVATORIO GEOFISICO DE ALMERIA

COORDENADAS

Lat. = 36° 51' 09",07 N.
Long. = 2° 27' 35",18 W. Gr.
a = 65 metros.
Subsuelo = Tosca marina (Caliza del plioceno).

SISMOGRAFO	COMPONENTE	MASA — *Kgs.*	PERIODO — T_o	AMPLIFICACION — V	ROZAMIENTO — $\frac{r}{T_o^2}$	AMORTIGUAMIENTO — ε
Mainka	E.-W.	750	9,4	0,007	329	3,69
Mainka	N.-S.	750	9,2	0,011	529	3,33
Mainka	Z	500	5,8	0,007	233	1,09

OBSERVATORIO CENTRAL GEOFISICO DE TOLEDO

COORDENADAS

Lat. = 39° 52' 53" N.
Long. = 4° 02' 55" W. Gr.
a = 480,46 metros.
Subsuelo = Mioceno superior.
Sismógrafo Wiechert = Velocidad de registro: 20 mm. por minuto.

SISMOGRAFO	COMPONENTE	MASA — Kgs.	PERIODO — T_0	AMPLIFICACION — V	ROZAMIENTO — $\frac{r}{T_0^2}$	AMORTIGUAMIENTO — ε
Wiechert	Z	1.200	2,65	1.464	0,119	2,44
Wiechert	E'	1.000	10,0	568	0,027	2,42
Wiechert	N'	1.000	10,2	576	0,026	2,37
Wiechert	E''	800	4,57	538	0,042	4,18
Wiechert	N''	800	4,57	620	0,025	3,85

Sismógrafo Sprengnether = Velocidad de registro: 30 mm. por minuto.

SISMOGRAFO	COMPONENTE	PERIODO PENDULO — T_p	PERIODO GALVANOMETRO — T_g	AMPLIFICACION — V_m	AMORTIGUAMIENTO — μ^2
Sprengnether...	Z	1,70	1,70	—	0,38
Sprengnether...	E	14,3	14,3	1.780	0,30
Sprengnether...	N	13,0	13,0	1.735	0,31

NOTA: El Observatorio Sismológico de Málaga estuvo fuera de servicio durante este período de tiempo.

202.—SISMO DE 1 DE JULIO DE 1959

H = 02h 27m 41s
Mag: 6 1/2 (Matsushiro)
27° 3/4 N., 140° E. h = 500 kms.
Región de las islas Bonin, a lo largo del S. de Hondo, Japón. (J. M. A., Japón.)

TOLEDO

e(S)	02h	51m	27s
e		53	37
ePS		54	37
eSS		59	07
L	03	24	45

203.—SISMO DE 3 DE JULIO DE 1959

H = 17h 55m 12s
Mag: 6 1/4 - 6 1/2 (Pasadena)
16° 1 S., 172° 8 E. (B. C. I. S.)
Región Nuevas Hébridas.

NOTA.—Estas magnitudes se aplican, probablemente, al segundo impulso, producido 43 segundos más tarde.

ALICANTE

P'_1	18h	14m	55s	
PP		19	09	
SKS		21	35	
PPP		22	49	
L	19	09	53	
Mo		21	47	
F	20	20	—	D = 17.450 kms. = 157° 1

ALMERIA

eP'_1	18	15	12	
eP'_2		15	50	
e(PPP)		22	34	
L	19	13	20	D = 17.650 kms. = 159°

TOLEDO

e(P'_1)	18	15	07	
iP'_2		15	37	
i		15	57	
i(pP'_1)		16	18	
i		20	10	
eSKS		22	24	
SKKS		25	26	
i		26	55	
e		28	43	
i		30	27	
iSS		40	43	
e(SSP)		42	33	
e(SSS)	18h	46m	03s	
L	19	08	45	
M		22	15	
F	22	20	—	

204.—SISMO DE 6 DE JULIO DE 1959

H = 09h 10m 17s
Mag: 6 3/4 (Pasadena)
26° 1/2 S., 61° W. h = 600 kms. ap.
Provincia del Chaco, Argentina. (U. S. C. G. S.)

ALICANTE

iP	09h	21m	55s	
PP		25	21	
iS		31	31	
SS		37	28	
L		51	11	
Mo		57	53	
F		siguiente		D = 9.500 kms. = 85° 5

ALMERIA

(eP)	09	21	54	
iS		31	21	
e		32	39	
SS		37	30	
L		50	10	D = 9.350 kms. = 84°

TOLEDO

iP	09	21	59	(dilatación)
ipP		24	14	
isP		25	04	
iS		31	27	
i		32	38	
i		34	46	
e		36	26	
(G)		41	45	D = 9.180 kms. = 82° 6

205.—SISMO DE 6 DE JULIO DE 1959

H = 09h 23m 27s
Mag: 6 3/4 - 7 (Pasadena)
26° 1/2 S., 61° 1/2 W. h = 600 kms. ap.
Provincia del Chaco, Argentina. (U. S. C. G. S.)

ALICANTE

iP	09h	35m	05s	
PP		38	31	
iS		44	41	
L	10	04	21	
Mo		11	03	
F		52	—	D = 9.500 kms. = 85° 5

ALMERIA

iS	09h	44m	28s	
e		45	49	
L	10	05	00	D = 9.350 kms. = 84°

TOLEDO

iP	09	35	09	(dilatación)
ipP		37	22	
iS		44	36	
i		45	50	
i		49	37	
e		52	10	
(G)		54	45	
F	11	30	—	

206*.—SISMO DE 6 DE JULIO DE 1959

Local. Grado II.

ALICANTE

Pg	19h	18m	46s	
Sg		18	47	
F		19	23	D = 11 kms. = 0° 1

207.—SISMO DE 9 DE JULIO DE 1959

H = 16h 05m 18s
Mag: 6 3/4 (Pasadena)
20° 1/2 S., 68° W. h = 100 kms. ap.
Frontera Chile-Bolivia. (U. S. C. G. S.)

ALICANTE

eP	16h	17m	45s	
PP		21	10	
iS		28	13	
SS		34	04	
L		46	36	
Mo	16	53	24	
F	17	07	—	D = 9.600 kms. = 86° 4

ALMERIA

eP	16	17	47	
ipP		18	17	
PP		21	06	
eS		27	58	
SP		28	56	
PS		29	13	D = 9.350 kms. = 84°

TOLEDO

iP	16	17	47	
ipP		18	21	
i		18	44	
i		19	12	
iS		28	07	
iPS		29	03	
eSS		33	36	
e		34	57	
L		39	50	
F	17	20	—	D = 9.445 kms. = 85°

208.—SISMO DE 10 DE JULIO DE 1959

H = 04h 11m 40s
19° S., 69° W. (U. S. C. G. S.)
Frontera Chile-Bolivia.

TOLEDO

eP	04h	24m	19s	
e		24	32	
L	05	19	50	

209.—SISMO DE 11 DE JULIO DE 1959

H = 12h 01m 42s
Mag: 6 1/4 - 6 1/2 (Pasadena)
37° 1/2 S., 78° E. (B. C. I. S.)
Océano Indico.

ALICANTE

P	12h	15m	42s	
(S)		27	29	
L		51	12	
Mo	13	00	07	
F		45	—	D = 11.550 kms. = 103° 9

ALMERIA

L	12	54	20	D = 11.500 kms. = 103° 5

TOLEDO

e	12	30	01	
G		50	50	
L		53	50	
M	13	05	50	
F	14	25	—	

210.—SISMO DE 13 DE JULIO DE 1959

H = 12h 28m 46s
Mag: 6 1/2 (Pasadena)
51° 1/2 N., 172° W. (Moskva)
Aleutianas, Islas Andreanov.

ALICANTE

P	12h	41m	45s	
PP		45	18	
SKS		52	14	
S		52	34	
SSS	13	02	08	
L		11	35	
Mo		20	31	
F		54	—	D = 9.950 kms. = 89° 5

TOLEDO

iP	12	41	39	(dilatación)
iS		52	23	
L	13	04	55	
M		28	55	
F	14	25	—	D = 9.890 kms. = 89°

211.—SISMO DE 14 DE JULIO DE 1959

H = 11h 33m 51s

57° N., 158° W. h = 60 kms. ap.
Península de Alaska. (U. S. C. G. S.)

TOLEDO

iP	11h	46m	04s (dilatación)

212.—SISMO DE 16 DE JULIO DE 1959

H = 15h 17m 27s

50° 1/2 N., 177° W. (U. S. C. G. S.)
Región islas Andreanov, Aleutianas.

TOLEDO

eP	15h	30m	17s
i		30	28

213*.—SISMO DE 18 DE JULIO DE 1959

Local.

ALMERIA

e(Pn)	17h	12m	51s
e		13	12
L		13	30

214.—SISMO DE 18 DE JULIO DE 1959

H = 19h 54m 57s
Mag: 6,5 (Wellington)

15° 1/2 N., 120° 1/2 E. h = 150 kms. ap.
Luzón, Filipinas. (U. S. C. G. S.)

Sentido (G. VI) en Iba; G. V en Dagupan y Manila; G. IV en Baguio y Baler (según Manila).

ALICANTE

P	20h	08m	48s	
PP		13	06	
SKS_1		20	17	
S		20	32	
SS		27	48	
L		44	06	
Mo		53	02	
F	21	30	—	D = 11.500 kms. = 103° 5

ALMERIA

eP	20	08	57	
iPP		13	19	
PPP		15	36	
SKS		19	20	
S		20	39	
PS		22	39	
SS		27	57	
LQ		38	08	
LR		44	20	D = 11.650 kms. = 105°

TOLEDO

iP	20	08	53	(compresión)
iPP		13	12	
i	20h	13m	20s	
iSKS		19	21	
iS		20	33	
ePS		22	31	
iSS		27	55	
L		37	55	
M		51	55	
F	22	20	—	D = 11.420 kms. = 102° 8

215.—SISMO DE 19 DE JULIO DE 1959

H = 15h 06m 10s
Mag: 7 (Pasadena)

15° S., 70° 1/2 W. h = 200 kms. ap.
Perú. (U. S. C. G. S.)

ALICANTE

P	15h	18m	25s	
PPP		23	35	
iS		28	25	
L		46	40	
Mo		53	16	
F	16	47	—	D = 9.400 kms. = 84° 6

ALMERIA

iP	15h	18m	13s	
ipP		19	02	
iPP		21	22	
SKS		27	53	
iS		28	12	
SP		28	58	
(PS)		29	17	
e		29	06	
SS		33	24	
P′ P′		44	42	
L		45	40	
i		47	52	D = 9.100 kms. = 82°

TOLEDO

iP	15	18	15	(compresión)
ipP		19	09	
ePP		22	11	
iS		28	11	
ipS		29	23	
i		31	57	
iSS		35	05	
iSSS		39	02	
i(L)		40	21	
M		41	05	D = 9.200 kms. = 82° 8

216.—SISMO DE 20 DE JULIO DE 1959

H = 02h 41m 04s
Mag: 7,0 (Wellington)

6° S., 111° E. h = 500 kms. ap.
Mar de Java. (U. S. C. G. S.)

ALICANTE

P	02h	54m	41s	
SKS	03	05	24	
S		06	54	
SS		14	43	
Mo		41	23	
F		50	—	D = 12.200 kms. = 109° 8

217.—SISMO DE 21 DE JULIO DE 1959

H = 07h 43m 13s
Mag: 6 1/4 (Pasadena)
14° 1/2 S., 167° 1/2 E. (U. S. C. G. S. y B. C. I. S.)
Nuevas Hébridas.

ALICANTE

P_1	08h	03m	06s	
SKS		10	12	
SS		26	39	
F		siguiente		D = 17.100 kms. = 153° 9

TOLEDO

e(P)	08	03	15	
i		03	28	

218.—SISMO DE 21 DE JULIO DE 1959

H = 09h 17m 51s
Mag: 6 (Pasadena)
19° N., 68° 1/2 W. (U. S. C. G. S.)
Cerca de la costa de la República Dominicana.

Sentido en Puerto Rico.

ALICANTE

P	09h	28m	10s	
S		36	29	
F	10	03	—	D = 6.800 kms. = 61° 2

TOLEDO

eP	09	27	55	
eS		35	54	
eSS		40	45	
L		41	00	
M		47	—	D = 6.500 kms. = 58° 5

219.—SISMO DE 21 DE JULIO DE 1959

H = 12h 28m 56s
Mag: 6,4 (Tacubaya)
14° 43′ N., 97° 19′ W. (Tacubaya)
Méjico, cerca de la costa del Estado de Oaxaca.

ALICANTE

(P′)	12h	41m	52s	
S		52	25	
L	13	10	19	
Mo		19	06	
F		31	—	D = 9.550 kms. = 85° 9

TOLEDO

eP	12	41	37	
eS		51	55	
e		52	35	
eSS		57	25	
L	13	11	55	D = 9.255 kms. = 83° 3

220.—SISMO DE 22 DE JULIO DE 1959

H = 19h 24m 17s
Mag: 6 1/2 (Matsushiro)
53° N., 153° E. h = 650 kms. ap.
Mar de Okhotsk. (U. S. C. G. S. y B. C. I. S.)

TOLEDO

iP	19h	35m	48s	(dilatación)
epP		38	06	
iPP		39	20	
eS		45	26	
esS		49	22	D = 9.445 kms. = 85°

221.—SISMO DE 22 DE JULIO DE 1959

Datos poco concordantes. (B. C. I. S.)
Región de Kamtchatka.

TOLEDO

i(P_1)	19h	45m	17s	(compresión)
L	20	21	55	

222.—SISMO DE 22 DE JULIO DE 1959

H = 23h 02m 27s
Mag: 6,5 (Wellington)
5° S., 152° 1/2 E. h = 60 kms. ap.
Nueva Bretaña. (U. S. C. G. S.)

Sentido (G. IV) en Kokopo, Rangarero Karlai; G. III-IV en Gavit y Pomio (según Rabaul).

ALICANTE

P′	23h	21m	14s	
PP		24	41	
PKS		25	29	
(SKS)		28	43	
L		08	21	
Mo		18	51	
F	01	07	—	D = 15.400 kms. = 138° 6

ALMERIA

e	23	25	36	
(L)	00	14	50	D = 15.650 kms. = 141°

TOLEDO

iP′	23	21	46	
iPP		24	52	
i(pPP)		25	34	
i		29	18	
eSKKS		31	22	
e		36	54	
eSS		43	54	
e		48	54	
M		30	55	
F	01	27	00	D = 15.580 kms. = 140° 2

223.—SISMO DE 23 DE JULIO DE 1959

H = 14h 56m 45s
Mag: 5 3/4 (Matsushiro)
24° 1/2 S., 176° W. h = 60 kms. ap.
Región de las islas Tonga. (U. S. C. G. S.)

TOLEDO

eP_1	15h	16m	48s	
eP_2		17	39	
iPP		21	29	
eSKKS		28	07	
e		28	43	
ePPS		35	27	
iSS		41	53	
L	16	17	55	
F		45	—	D = 18.200 kms. = 163° 8

224.—SISMO DE 24 DE JULIO DE 1959

H = 01h 23m 09s
Mag: 5 3/4 (Pasadena)
41° N., 125° 1/2 N. (U. S. C. G. S.)
A lo largo de la costa del N. de California, U. S. A.

Sentido en la circunscripción de Humboldt.

ALICANTE

P	01h	35m	54s	
PPP		41	13	
S		46	29	
L	02	04	30	
Mo		13	18	
F		32	—	D = 9.600 kms. = 86° 4

ALMERIA

L	02	04	30	D = 9.850 kms. = 85° 5

TOLEDO

eP	01	35	40	
iS		46	08	
eSS		51	38	
L		54	50	
M	02	07	50	
F		55	—	D = 9.535 kms. = 85° 8

225.—SISMO DE 26 DE JULIO DE 1959

H = 17h 07m 03s
Mag: 5,1 (Uppsala)
40° 8 N., 27° 5 E. (B. C. I. S.)
NW. de Turquía.

Sentido en Istambul (U. S. C. G. S.). Sentido en Pithion (según Atenas).

ALICANTE

P	17h	11m	56s	
S		15	51	
SS		16	26	
L		17	54	
Mo		20	40	
F		30	—	D = 2.400 kms. = 21° 6

TOLEDO

eP	17h	12m	20s	
ePP		12	46	
e		13	24	
eS		16	46	
L		21	50	
F		40	—	D = 2.900 kms. = 26°

226*.—SISMO DE 30 DE JULIO DE 1959

H = 00h 00,7m
36° 3/4 N., 9° 3/4 W. (B. C. I. S.)
A lo largo del cabo San Vicente, Portugal.

ALICANTE

e	00h	05m	10s
e		05	40
F		06	46

TOLEDO

iPn	00	02	09	
e(P*)		02	24	
ePg		02	33	
eSn		03	20	
eSg		07	—	D = 630 kms. = 5° 7

227*.—SISMO DE 31 DE JULIO DE 1959

Local.

Sentido en Guardamar de Segura.

ALICANTE

Pg	14h	48m	23s
F		49	55

228*.—SISMO DE 31 DE JULIO DE 1959

Réplica del anterior.

ALICANTE

Pg	16h	10m	31s
F		11	15

229*.—SISMO DE 31 DE JULIO DE 1959

Réplica del núm. 227.

ALICANTE

Pg	17h	21m	27s
F		22	20

230.—SISMO DE 31 DE JULIO DE 1959

H = 19h 53m 10s
Mag: 5,9 (Uppsala)
38° 1/2 N., 70° E. (Moskva)
República de Aadzhik, U. R. S. S.

TOLEDO

eP	20h	02m	44s	
eS		10	23	
eSS		14	09	
L		26	49	
M		29	49	D = 6.140 kms. = 55° 2

231.—SISMO DE 2 DE AGOSTO DE 1959

H = 20h 29m 55s

20° N., 67° W. (U. S. C. G. S.)

250 kms. al N. de Puerto Rico. (B. I. C. S.)

TOLEDO

e(P)	20h	39m	53s	
L	21	10	45	

232*.—SISMO DE 4 DE AGOSTO DE 1959

Local. Posible preliminar del siguiente (Almeria).

ALMERIA

ePg	06h	06m	51s	
i		07	02	
eSg		07	07	D = 135 kms. = 1°

233*.—SISMO DE 4 DE AGOSTO DE 1959

Mar de Alborán.

Sentido en Melilla (G. III-IV) (Almería).

ALICANTE

e	07h	13m	41s	
F		15	54	

ALMERIA

iPg	07	12	31	
i		12	42	
(Sg)		12	48	
e		12	54	D = 145 kms. = 1° 3

TOLEDO

ePn	07	13	12	
ePg		13	27	
eSg		14	17	
F		17	—	D = 420 kms. = 3° 7

234*.—SISMO DE 5 DE AGOSTO DE 1959

Posible réplica del anterior (Toledo).

TOLEDO

ePn	03h	38m	53s

235*.—SISMO DE 5 DE AGOSTO DE 1959

Posible réplica del núm. 233 (Toledo).

TOLEDO

ePn	13h	12m	43s

236*.—SISMO DE 6 DE AGOSTO DE 1959

Posible réplica del núm. 233 (Toledo).

ALMERIA

iPg	15h	14m	53s	
(eSg)		15	10	D = 145 kms. = 1° 3

TOLEDO

ePn	15	15	36	

237.—SISMO DE 7 DE AGOSTO DE 1959

H = 10h 43m 32s

Mag: 5 3/4 (Pasadena)

56° N., 154° W. (U. S. C. G. S.)

Región de las islas Kodiak.

ALICANTE

(P)	10h	56m	01s	
S	11	06	21	
F		45	—	D = 9.250 kms. = 83° 2

238.—SISMO DE 7 DE AGOSTO DE 1959

H = 21h 45m 26s

Mag: 5 (Berkeley)

56° 1/2 N., 154° W. (U. S. C. G. S. y B. C. I. S.)

Islas Kodiak.

ALICANTE

(P)	21h	57m	55s	
S	22	08	15	
F		45	—	D = 9.250 kms. = 83° 2

239.—SISMO DE 8 DE AGOSTO DE 1959

H = 00h 47m 38s

Mag: 6 1/2 (Pasadena)

55° N., 162° 1/2 E. (U. S. C. G. S.)

Cerca de la costa E. de Kamtchatka.

ALICANTE

P	01h	00m	18s	
S		10	49	
F		42	—	D = 9.500 kms. = 85° 5

TOLEDO

eP	01	00	24	
i		00	43	
eS		10	44	
L		36	19	
M		43	50	D = 9.340 kms. = 84°

240.—SISMO DE 9 DE AGOSTO DE 1959

H = 20h 29m 28s
Mag: 5 3/4 - 6 (Matsushiro)
10° S., 161° E. h = 100 kms. ap.
Islas Salomón. (U. S. C. G. S.)

TOLEDO

eP′	20h	49m	06s
e	21	02	58
L		44	45
M		58	45

241.—SISMO DE 11 DE AGOSTO DE 1959

H = 21h 49m 42s
Mag: 5 3/4 - 6 (Matsushiro)
11° S., 163° E. (U. S. C. G. S. y B. C. I. S.)
Región de las islas Salomón

TOLEDO

eP′	22h	09m	36s
L	23	01	45
M		17	45

242.—SISMO DE 12 DE AGOSTO DE 1959

H = 00h 33m 38s
12° N., 86° W. h = 100 kms. ap.
Nicaragua. (U. S. C. G. S.)

TOLEDO

L	01h	12m	50s
M		20	50

243.—SISMO DE 12 DE AGOSTO DE 1959

H = 04h 05m 20s
Mag: 5 3/4 (Kew)
15° S., 28° E. (U. S. C. G. S.)
Norte de Rodesia.

Sentido en el Transvaal y Rodesia.

ALICANTE

L	04h	33m	47s	
Mo		40	46	
F		50	—	D = 6.500 kms. = 58° 9

TOLEDO

eP	04	15	38
i		15	42
L		40	15
M		45	45

244.—SISMO DE 12 DE AGOSTO DE 1959

H = 09h 58m 22s
Mag: 6 1/2 (Pasadena)
16° 1/2 S., 177° 1/2 W. (U. S. C. G. S.)
Región islas Fidji.

ALICANTE

P′1	10h	18m	20s	
SKS		25	25	
PPP		26	12	
L	11	13	03	
Mo		24	55	
F		40	—	D = 17.500 kms. = 157° 5

ALMERIA

eP′1	10	18	28	
SSS		49	10	
(L)		14	10	D = 17.700 kms. = 159° 5

TOLEDO

eP′1	10	18	24	
eP′2		19	04	
ePKS		21	56	
ePP		22	54	
i		24	14	
i		24	30	
ePPP		26	22	
eSKKS		30	16	
eSKSP		32	49	
i		38	52	
i		41	52	
eSS		42	22	
i		43	46	
iSSS		48	31	
L	11	04	45	
M		19	15	
F	13	00	—	D = (17.900) kms. = (161°)

245*.—SISMO DE 12 DE AGOSTO DE 1959

Local.

ALICANTE

Pg	12h	15m	15s
F		16	10

246*.—SISMO DE 12 DE AGOSTO DE 1959

Peninsular.

TOLEDO

e(Pn)	13h	35m	10s

247.—SISMO DE 15 DE AGOSTO DE 1959

H = 08h 56m 57s
Mag: 6 3/4 - 7 (Pasadena)
22° N., 120° E. (J. M. A., Japón)
Sur de Formosa.

16 muertos, numerosos heridos, daños materiales importantes (según la U. S. C. G. S.).

ALICANTE

P	09h	10m	44s
PP		14	45
PPP		16	53

SKS	09h	21m	22s	
S		22	09	
PS		23	37	
SS		28	55	
L		43	57	
Mo		52	56	
F	10	56	—	D = 10.900 kms. = 98° 1

ALMERIA

eP	09	10	51	
PP		15	02	
iSKS		21	30	
SKKS		21	53	
(PPS)		24	25	
SS		29	21	
i		30	12	
SSS		33	05	
L		43	30	
M		52	15	D = 11.050 kms. = 99° 5

TOLEDO

eP	09	10	48	
eiPP		14	57	
e(PPP)		17	19	
iSKS		21	19	
i(S)		21	53	
i		22	20	
iPS		23	50	
e(PPS)		24	51	
iSS		29	47	
eSSS		33	05	
L		44	45	
M		55	45	
F	12	00	—	D = 11.150 kms. = 100° 3

248.—SISMO DE 16 DE AGOSTO DE 1959

H = 00h 51m 40s
Mag: 6 (Berkeley)
21° S., 169° E. (U. S. C. G. S.)
Región de las islas de la Lealtad.

ALICANTE

(P'1)	01h	11m	41s	
SKS		18	45	
PPP		19	52	
F	02	40	—	D = 17.850 kms. = 160° 6

TOLEDO

eP'1	01	12	27	
eSS		36	25	
L	02	13	55	

249*.—SISMO DE 16 DE AGOSTO DE 1959

Peninsular.

TOLEDO

e(Pn)	13h	28m	55s

250.—SISMO DE 16 DE AGOSTO DE 1959

H = 18h 42m 00s
Mag: 5,5 (Uppsala)
37° 1/4 N., 22° E. (B. C. I. S.)
Peloponeso, Grecia.

Sentido en Messenia (G. VII en Kalliroi, G. VI-VII en Katsaros, G. VI en Diavolitsion, Zeugolatio, Authouza); en Elida (G. V-VI en Zacharo, Andritsaena, Katakolon, Letrinoe); en Arcadia y en Achaie, así como en la isla de Cefalonia. Ligeros daños en Kalliroi, Katsaros, Diavolitsion y Zacharo. Superficie macrosísmica: 90.000 kilómetros cuadrados (según Atenas).

TOLEDO

eP	18h	46m	41s
eS		50	33
e		53	09
(L)		54	45

251.—SISMO DE 17 DE AGOSTO DE 1959

H = 01h 33m 14s
Mag: 5,8 (Uppsala)
41° N., 19° 1/2 E. (B. C. I. S.)
Costa de Albania.

Sentido (G. IV) en Corfú (según Atenas).

ALICANTE

P	01h	37m	05s	
PP		37	18	
S		40	06	
SS		40	24	
SSS		40	37	
L		41	30	
Mo		43	35	
F	02	15	—	D = 1.800 kms. = 16° 2

ALMERIA

eP	01	37	24	
(eS)		40	52	
L		43	20	
M		44	00	D = 2.000 kms. = 18°

TOLEDO

iP	01	37	31	(compresión)
e		38	07	
iS		40	55	
iSS		41	14	
iSSS		41	39	
Li		42	07	
G		42	07	
M		46	55	
F	02	30	—	D = 2.080 kms. = 18° 7

252.—SISMO DE 17 DE AGOSTO DE 1959

H = 21h 04m 40s
Mag: 7 1/4 (Pasadena)
7°1/2 S., 156° E. (U. S. C. G. S.)
Islas Salomón.

Sentido en las islas Salomón (según Rabaul).

ALICANTE

P´	21h	24m	14s	
PP		27	24	
PPP		30	33	
SKS		31	22	
SS		45	55	
L	22	12	10	
Mo		22	52	
F	23	45	—	D = 15.800 kms. = 142° 2

ALMERIA

iP´	21	24	22	
ePP		27	42	
SKS		31	13	
L		10	20	D = 16.100 kms. = 145°

TOLEDO

iP´	21	24	18	(dilatación)
i		26	29	
eiPP		27	34	
e		28	58	
ePPP		30	55	
eSKS		31	34	
eSKKS		34	20	
iSS		45	57	
iSSS		51	27	
G		52	25	
L	22	08	15	
M		24	45	
F	02	00	—	D = 15.950 kms. = 143° 6

253.—SISMO DE 18 DE AGOSTO DE 1959

H = 06h 37m 15s
Mag: 7,5 (Pasadena)
44° 55′ N., 111° 05′ W. (U. S. C. G. S.)
Lago Hebgen, Montana, U. S. A.

Dos muertos, unos cien desaparecidos; algunos daños en el dique del lago Hebgen. Habitantes y campesinos del valle Madison evacuados hasta 150 kilómetros de distancia; importante deslizamiento del terreno; desplazamientos verticales del terreno de hasta 10 y 15 metros, así como de una montaña de 2.400 metros de altura, que bloqueó el valle de Madison, formando un lago.

Sentido desde Utah y Nevada hasta la Colombia británica, y desde la costa del Pacífico hasta el W. de Dakota del Norte.

Superficie macrosísmica: 1.400.000 Km², aproximadamente. Sismo seguido de más de 200 réplicas.

ALICANTE

iP	06h	49m	07s	
PcP		49	17	
PP		51	57	
iS		58	47	
SS	07	03	42	
L		13	45	
Mo		22	10	
F	siguiente			D = 8.450 kms. = 76°

ALMERIA

eP	06h	49m	07s	(compresión)
PcP		49	25	
PP		52	03	
PPP		53	47	
eS		58	44	
PPS		59	41	
i	07	00	26	
LQ		10	07	
iLR		13	51	
M		19	23	D = 8.450 kms. = 76°

TOLEDO

iP	06	48	48	
iPcP		49	08	
iPP		51	40	
ePPP		53	19	
i		54	47	
iS		58	27	
i(PS)		59	11	
iSS	07	03	17	
iSSS		06	43	
G		09	47	
Lr		10	45	
M		10	45	
F	11	00	00	D = 8.445 kms. = 76°

254.—SISMO DE 18 DE AGOSTO DE 1959

H = 07h 56m 18s
Mag: 6 1/2 (Berkeley)
45° N., 110° 1/2 W. (U. S. C. G. S.)
Lago Hebgen, Montana.

Réplica del anterior.

ALICANTE

L	08h	32m	35s	
Mo		41	00	
F	09	40	—	D = 8.400 kms. = 75° 6

255.—SISMO DE 18 DE AGOSTO DE 1959

H = 15h 26m 06,5s
Mag: 6,5 (Pasadena)
44° 53′ N., 110° 44′ W. (U. S. C. G. S.)
Lago Hebgen, Montana.

Réplica del núm. 253.

ALICANTE

P	15h	37m	57s	
PP		40	50	
S		47	40	
SS		52	35	
L	16	02	38	
Mo		11	03	
F		30	—	D = 8.450 kms. = 76°

ALMERIA

eP	15	37	57	
e		47	53	
L	16	02	30	D = 8.450 kms. = 76°

TOLEDO

iP	15h	37m	40s
i		41	04
iS		47	10
iSS		51	56
i		55	10
M	16	05	45

256.—SISMO DE 18 DE AGOSTO DE 1959

H = 22h 04m 00s
Mag: 5 1/4 (Kew)
41° N., 19° 1/2 E. (B. C. I. S.)
Costa de Albania.

Réplica del núm. 251.

ALICANTE

P	22h	07m	50s	
S		10	51	
L		12	15	
Mo		14	20	
F		25	—	D = 1.800 kms. = 16° 2

TOLEDO

iP	22	08	19
eS		12	02
L		14	45
M		16	45

257.—SISMO DE 19 DE AGOSTO DE 1959

H = 04h 04m 03s
Mag: 6 (Berkeley)
44° 54' N., 111° 38' W. (U. S. C. G. S.)
Lago Hebgen, Montana.

ALICANTE

P	04h	15m	54s	
(S)		25	37	
L		40	35	
Mo		49	00	
F	05	15	—	D = 8.450 kms. = 76°

TOLEDO

eP	04	15	39
eS		26	08
M		42	15

258.—SISMO DE 20 DE AGOSTO DE 1959

H = 12h 20m 15s
39° S., 78° E. (B. C. I. S.)
Océano Indico.

ALICANTE

L	13h	08m	17s	
Mo		15	59	
F		35	—	D = 11.150 kms. = 100° 3

TOLEDO

L	13h	17m	15s
M		27	45

259.—SISMO DE 21 DE AGOSTO DE 1959

H = 08h 03m 15s
Mag: 5 3/4 - 6 (Pasadena)
50° 1/2 S., 139° 1/2 E. (U. S. C. G. S.)
Océano Indico, al S. de Australia.

ALICANTE

P'1	08h	23m	01s	
PP		26	40	
SKS		30	08	
SS		45	52	
L	09	14	07	
Mo		25	22	
F	siguiente			D = 16.600 kms. = 149° 4

ALMERIA

L	09	19	—	D = 16.600 kms. = 149° 5

TOLEDO

eP'1	08	23	16
e(PP)		25	46
L	09	09	15
M		27	45
F	10	30	00

260.—SISMO DE 21 DE AGOSTO DE 1959

H = 09h 37m 49s
Mag: 6 (Kew)
50° 1/2 S., 140° E. (U. S. C. G. S.)
Océano Indico, al S. de Australia.

Réplica del anterior.

ALICANTE

P'1	09h	57m	35s	
PP	10	01	14	
(SKS)		04	42	
F	11	08	—	D = 16.600 kms. = 149° 4

TOLEDO

eP'	09	57	50
L	10	44	45
M	11	04	45

261*.—SISMO DE 21 DE AGOSTO DE 1959

Peninsular.

TOLEDO

ePg	17h	05m	37s	
eSg		05	51	
M		06	15	
F		07	15	D = 122 kms. = 1°

262*.—SISMO DE 23 DE AGOSTO DE 1959

Mar de Alborán. Premonitorio del siguiente (Alicante).

Sentido en Melilla (G. II) (según Almería).

ALICANTE

Pn	13^h	46^m	50^s	
Sn		48	15	
F		54	—	D = 515 kms. = 4° 6

ALMERIA

iPg	13	46	29	(dilatación)
i		46	39	
i		46	42	
iSg		46	44	
i		46	55	
e		47	—	D = 130 kms. = 1°

TOLEDO

ePn	13	47	04
eSg		48	11

263*.—SISMO DE 23 DE AGOSTO DE 1959

H = 22^h 21^m 30^s

Mag: 5 1/2 (Kew)

35° 1/2 N., 3° W. (U. S. C. G. S.)

Mediterráneo, región isla de Alborán.

Sentido en Melilla (G. VI), Almería y Dalias (G. II-III), según Almería.

ALICANTE

Pn	22^h	22^m	25^s	
Sn		23	21	
F		50	—	D = 515 kms. = 4° 6

ALMERIA

iPg	22	21	54	(compresión)
i		22	04	
iSg		22	11	D = 145 kms. = 1° 3

TOLEDO

iPn	22	22	35	
iPg		22	50	
i		22	57	
i		23	10	
iSg		23	39	
M		23	45	
F	23	00	—	D = 420 kms. = 3° 8

264.—SISMO DE 24 DE AGOSTO DE 1959

H = 00^h 33^m 56^s

Mediterráneo, región isla de Alborán. (B. C. I. S.)

Réplica del anterior. Sentido en Melilla (según Alicante).

ALICANTE

Pn	00^h	34^m	48^s	
Sn		35	48	
F		45	—	D = 515 kms. = 4° 6

ALMERIA

iPg	00^h	34^m	19^s	(compresión)
i		34	31	
iSg		34	35	
i		35	40	D = 135 kms. = 1° 2

TOLEDO

ePn	00	35	02
eSg		36	05

265.—SISMO DE 24 DE AGOSTO DE 1959

H = 15^h 41^m 40^s

Mag: 5 3/4 (Matsushiro)

10° 1/2 S., 161° 1/2 E. (U. S. C. G. S.)

Islas Salomón.

Premonitorio del siguiente.

TOLEDO

eP	16^h	01^m	28^s

266.—SISMO DE 24 DE AGOSTO DE 1959

H = 21^h 30^m 46^s

Mag: 7 - 7-1/4 (Matsushiro)

10° 1/2 S., 161° E. (U. S. C. G. S.)

Islas Salomón.

ALICANTE

P'_1	21^h	50^m	31^s	
PP		54	07	
SKS		57	38	
SSS	22	18	50	
L		41	13	
Mo		52	24	
F	00	10	—	D = 16.500 kms. = 148° 5

ALMERIA

eP'_1	21	50	42	
LQ	22	31	40	D = 16.600 kms. = 150°

TOLEDO

eP'_1	21	50	36	
eP'_2		50	47	
ePP		53	43	
i		55	50	
iSKS		57	17	
iSKKS	22	00	36	
iPS		04	11	
eSS		12	57	
L		37	45	
M		47	45	
F	00	10	—	

267.—SISMO DE 26 DE AGOSTO DE 1959

H = 08^h 25^m 31^s

Mag: 6,5 (Tacubaya)

18° 27′ N., 94° 16′ W. (Tacubaya)

20 muertos, varios heridos, daños en todo el istmo de Tehuantepec. Destrucción de Jaltipan, Coatzacalas, Acayucan (Veracruz) (según Tacubaya).

ALICANTE

iP	08h	37m	54s	
PP		41	01	
iS		48	10	
SS		53	25	
L	09	04	44	
Mo		13	23	
F		50	—	D = 9.100 kms. = 81° 9

ALMERIA

iP	08	37	46	
i		37	49	
iS		47	52	
L	09	03	30	D = 9.060 kms. = 81°

TOLEDO

iP	08	37	36	
ePP		40	28	
iS		47	35	
iSS		52	35	
eSSS		56	09	
L		57	45	
M	09	10	45	
F	10	00	—	D = 8.880 kms. = 79° 9

268.—SISMO DE 26 DE AGOSTO DE 1959

H = 10h 27m 41s
Mag: 6,5 (Kew)

51° N., 132° W. (U. S. C. G. S.)
Región de las islas de la Reina Carlota.

ALICANTE

eP	10h	39m	58s	
S		50	07	
SKS		50	13	
L	11	06	31	
Mo		15	07	
F		59	—	D = 9.000 kms. = 81°

ALMERIA

eP	10	39	56	
e(S)		50	13	
L	11	08	10	D = 9.000 kms. = 81°

TOLEDO

eP	10	39	45	
iS		49	41	
eSS		54	50	
L		59	45	
M	11	10	45	
F	12	00	—	D = 8.845 kms. = 79° 6

269*.—SISMO DE 29 DE AGOSTO DE 1959

H = 12h 43m 39s

35° 1/2 N., 3° 1/2 W. (B. C. I. S.)
Mediterráneo, al W. del cabo de Tres Forcas.

Sentido en Melilla (Almería).

ALICANTE

Pn	12h	44m	38s	
Sn		46	35	
F		55	—	D = 532 kms. = 4° 8

ALMERIA

iPg	12	44	06	(compresión)
i		44	13	
i		44	16	
iSg		44	23	D = 145 kms. = 1° 2

TOLEDO

ePn	12	44	49	

270*.—SISMO DE 29 DE AGOSTO DE 1959

H = 13h 31,6m

Mediterráneo, réplica del anterior. (B. C. I. S.)

ALMERIA

e(Pg)	13h	32m	02s	
i		32	06	
i		32	25	

TOLEDO

ePn	13	32	32	

271*.—SISMO DE 29 DE AGOSTO DE 1959

H = 13h 43m 44s

35° 1/2 N., 3° 1/2 W. (B. C. I. S.)
Mediterráneo, al W. del cabo de Tres Forcas.

ALICANTE

Pn	13h	44m	59s	
F	siguiente			D = 532 kms. = 4° 8

ALMERIA

iPg	13	44	10	(compresión)
i		44	14	
i		44	21	
iSg		44	26	
i		44	30	D = 140 kms. = 1° 2

TOLEDO

ePn	13	44	53	

272*.—SISMO DE 29 DE AGOSTO DE 1959

H = 13h 51m 51s

Mediterráneo, al W. del cabo de Tres Forcas. (B. C. I. S.)

Réplica del anterior.

ALICANTE

Pn	13h	52m	52s	
F	14	06	—	

ALMERIA

iPg	13h	52m	15s	(compresión)
i		52	22	
i		52	27	
(Sg)		52	30	
i		52	35	D = (130) kms. = 1° 1

TOLEDO

ePn	13	53	00

273*.—SISMO DE 29 DE AGOSTO DE 1959

H = 15h 28m 52s
Mediterráneo, al W. del cabo de Tres Forcas. (B. C. I. S.)

Réplica del núm. 271.

ALICANTE

Pn	15h	30m	24s
F		siguiente	

ALMERIA

e(Pg)	15	29	25	
i(Sg)		29	41	
i		29	56	D = (140) kms. = 1° 2

TOLEDO

ePn	15	30	08

274*.—SISMO DE 29 DE AGOSTO DE 1959

H = 15h 33m 00s
Mediterráneo, al W. del cabo de Tres Forcas. (B. C. I. S.)

Réplica del núm. 271.

ALICANTE

Pn	15h	34m	01s	
F		45	—	

ALMERIA

iPg	15	33	23	(dilatación)
e		33	30	
iSg		33	41	
i		33	44	D = 155 kms. = 1° 3

TOLEDO

ePn	15	34	05

275*.—SISMO DE 29 DE AGOSTO DE 1959

H = 15h 48m 50s
Mediterráneo, al W. del cabo de Tres Forcas. (B. C. I. S.)

Réplica del núm. 271.

ALMERIA

e	15h	49m	17s
e		49	20

TOLEDO

ePn	15	50	00

276*.—SISMO DE 29 DE AGOSTO DE 1959

Indicios. Mar de Alborán.
Réplica (Almería).

ALMERIA

ePg	16h	04m	21s

277*.—SISMO DE 29 DE AGOSTO DE 1959

Indicios. Mar de Alborán.
Réplica (Almería).

ALMERIA

e(Pg)	16h	38m	19s
e		38	29

278*.—SISMO DE 29 DE AGOSTO DE 1959

H = 16h 48,4m
Mediterráneo, al W. del cabo de Tres Forcas. (B. C. I. S.)

Réplica.

ALICANTE

Pn	16h	49m	39s
F		53	—

ALMERIA

e(Pg)	16	48	43	
(e)		48	47	
iSg		49	00	
e		49	04	D = 145 kms. = 1° 2

TOLEDO

ePn	16	49	24

279.—SISMO DE 29 DE AGOSTO DE 1959

H = 17h 03m 11s
Mag: 6 1/2 - 3/4 (Pasadena)
53° N., 106° 8 E. (B. C. I. S.)
Lago Baikal, U. R. S. S.

ALICANTE

P	17h	14m	23s	
S		23	31	
SS		28	01	
L		36	43	
Mo		44	55	
F	18	45	—	D = 7.750 kms. = 69° 7

ALMERIA

eP	17h	14m	28s	
iPcP		14	44	
SS		28	39	
SSS		31	58	
(L)		37	40	D = 7.950 kms. = 71° 5

TOLEDO

iP	17	14	28	(dilatación)
ePP		17	00	
ePPP		18	56	
iS		23	42	
iSS		27	54	
iSSS		31	22	
Ili		37	29	
iLgl		39	16	
iLg_2		42	19	
iRg		45	22	
M		50	10	
F	19	30	00	D = 7.010 kms. = 71° 2

280*.—SISMO DE 29 DE AGOSTO DE 1959

H = 20h 45m 59s
Mediterráneo, al W. del cabo de Tres Forcas. (B. C. I. S.)

Réplica. Sentido (G. III) en Melilla (Almería).

ALICANTE

Pn	20h	47m	07s	
F		58	—	

ALMERIA

ePg	20	46	26	
iSg		46	41	
i		46	46	
i		47	04	D = 130 kms. = 1°

TOLEDO

ePn	20	47	10	

281*.—SISMO DE 29 DE AGOSTO DE 1959

Indicios. Mar de Alborán.
Réplica (Almería).

ALMERIA

ePg	21h	20m	58s	

282*.—SISMO DE 29 DE AGOSTO DE 1959

H = 22h 13m 06s
Mediterráneo, al W. del cabo de Tres Forcas. (B. C. I. S.)

Réplica.

ALMERIA

e(Pg)	22h	14m	08s	

TOLEDO

ePn	22h	14m	49s	

283*.—SISMO DE 29 DE AGOSTO DE 1959

Indicios. Mar de Alborán.
Réplica (Almería).

ALMERIA

e(Pg)	23h	25m	22s	

284*.—SISMO DE 30 DE AGOSTO DE 1959

Mar de Alborán.
Réplica (Almería).

ALMERIA

iPg	03h	21m	31s	(compresión)
i		21	41	
iSg		21	46	D = 130 kms. = 1°

TOLEDO

ePn	02	21	53	

285*.—SISMO DE 30 DE AGOSTO DE 1959

H = 02h 51m 06s
Mediterráneo, al W. del cabo de Tres Forcas. (B. C. I. S.)

Réplica.

ALMERIA

i(Pg)	02h	52m	01s	
e		52	08	
(eSg)		52	17	
e		52	24	D = 140 kms. = 1° 2

TOLEDO

ePn	02	52	44	

286*.—SISMO DE 30 DE AGOSTO DE 1959

H = 03h 24m 54s
Mag: 5 1/4 (Kew)
35° 4' N., 3° 4' W. (B. C. I. S.)
Mediterráneo, al W. del cabo Tres Forcas.

Sentido (G. VI) en Melilla (según Alicante).

ALICANTE

Pn	03h	25m	49s	
Sn		26	47	
F		47	—	D = 532 kms. = 4° 8

ALMERIA

iPg	03	25	19	(compresión)
i		25	30	
(Sg)		25	37	D = 150 kms. = 1° 3

TOLEDO

iPn	03h	26m	01s	(dilatación)
iP+		26	07	
iPg		26	20	
iSn		26	48	
iS+		26	58	
iSg		27	06	
M		27	27	D = 422 kms. = 3° 7

287*.—SISMO DE 30 DE AGOSTO DE 1959

H = 03h 51m 07s

Mediterráneo, réplica del núm. 286. (B. C. I. S.)

ALMERIA

e(Pg)	03h	52m	09s

TOLEDO

ePn	03	52	55

288*.—SISMO DE 30 DE AGOSTO DE 1959

H = 04h 05m 08s

Mediterráneo, réplica del núm. 286. (B. C. I. S.)

ALMERIA

ePg	04h	06m	13s	
eSg		06	28	
i		06	31	D = 130 kms. = 1°

TOLEDO

ePn	04	06	54

289*.—SISMO DE 30 DE AGOSTO DE 1959

H = 04h 19m 08s

Mediterráneo. Réplica. (B. C. I. S.)

ALMERIA

e(Pg)	04h	20m	23s
e		21	09

TOLEDO

ePn	04	21	02

290*.—SISMO DE 30 DE AGOSTO DE 1959

H = 04h 21m 09s

Mediterráneo. Réplica. (B. C. I. S.)

ALICANTE

Pn	04h	22m	36s
F		35	—

ALMERIA

iPg	04	22	21	
iSg		22	39	D = 150 kms. = 1° 3

291*.—SISMO DE 30 DE AGOSTO DE 1959

H = 04h 30m 02s

Mediterráneo. Réplica. (B. C. I. S.)

ALMERIA

ePg	04h	30m	46s
e		30	56

TOLEDO

ePn	04	31	26

292*.—SISMO DE 30 DE AGOSTO DE 1959

Réplica del núm. 286.

TOLEDO

ePn	05h	55m	55s

293*.—SISMO DE 30 DE AGOSTO DE 1959

Indicios. Mar de Alborán. Réplica (Almería).

ALMERIA

e(Pg)	06h	45m	28s

294*.—SISMO DE 30 DE AGOSTO DE 1959

H = 08h 49m 13s

Mediterráneo. (B. C. I. S.)

Réplica del núm. 286.

ALICANTE

Pn	08h	50m	30s
F		57	—

ALMERIA

e(Pg)	08	49	39	
e		49	51	
iSg		49	56	
i		50	13	D = 145 kms. = 1° 2

TOLEDO

ePn	08	50	20

295*.—SISMO DE 30 DE AGOSTO DE 1959

Indicios. Mar de Alborán. Réplica (Almería).

ALMERIA

ePg	10h	41m	21s

TOLEDO

ePn	10	41	49

296*.—SISMO DE 30 DE AGOSTO DE 1959

H = 15h 59,5m

Mediterráneo. Réplica. (B. C. I. S.)

ALICANTE

Pn	16h	00m	47s
F		10	—

ALMERIA

Pg	interrumpido por señal horaria		
i	15	59	59
iSg	16	00	11
i		00	23

TOLEDO

ePn	16	00	38

297.—SISMO DE 30 DE AGOSTO DE 1959

H = 21h 45m 07s

Mag: 5 3/4 (Matsushiro)

36° 1/2 S., 78° 1/2 E. (U. S. C. G. S.)

Océano Indico.

ALICANTE

L	22h	35m	13s	
Mo		43	13	
F		58	—	D = 11.650 kms. = 104° 8

TOLEDO

L	22	37	10
M		49	40

298.—SISMO DE 30 DE AGOSTO DE 1959

H = 23h 36m 42s

Mag: 5 1/2 (Strasbourg)

56° N., 106° E. (U. S. C. G. S.)

Lago Baikal, U. R. S. S. (B. C. I. S.)

Réplica del núm. 279.

TOLEDO

M	00h	19m	40s

299*.—SISMO DE 31 DE AGOSTO DE 1959

Indicios. Mar de Alborán. Réplica (Almería).

ALMERIA

ePg	08h	32m	04s

300*.—SISMO DE 31 DE AGOSTO DE 1959

H = 08h 47,2m

Mediterráneo, al W. del cabo Tres Forcas. (B. C. I. S.)

Réplica.

ALICANTE

Pn	08h	48m	30s
F		55	—

ALMERIA

ePg	08	47	44	
e		47	52	
i		47	57	
iSg		48	01	
e		48	04	D = 145 kms. = 1° 2

TOLEDO

ePn	08	48	20

301.—SISMO DE 1 DE SEPTIEMBRE DE 1959

H = 00h 52m 04s

11° S., 74° 1/2 W. (U. S. C. G. S.)

Perú.

Sentido en Huancayo.

TOLEDO

eP	01h	04m	43s	
eS		14	54	
L		34	55	
M		39	55	D = 9.200 kms. = 83°

302*.—SISMO DE 1 DE SEPTIEMBRE DE 1959

Local. Grado II (Alicante).

ALICANTE

Pg	06h	18m	05s	
Sg		18	11	
F		19	15	D = 40 kms. = 0° 4

303.—SISMO DE 1 DE SEPTIEMBRE DE 1959

H = 10h 49m 43s

20° N., 64° 1/2 W. (U. S. C. G. S.)

Norte de Puerto Rico.

TOLEDO

eP	10h	59m	42s	
i		59	52	
eS	11	07	26	
L		13	34	D = 6.220 kms. = 56°

304.—SISMO DE 1 DE SEPTIEMBRE DE 1959

H = 11h 37m 40s

Mag: 6 1/2 (Praha)

41° N., 19° 6 E. (B. C. I. S.)

Dos muertos, 34 heridos, daños importantes en las regiones de Elvasan y Veration. Sentido en la región de Thesprotie (G. V en Paramythia, etc.), en la isla de Corfú (G. IV-V) y en las regiones de Jannina (G. IV en Platanos, etc.) y Florina (G. IV-V) (según Atenas). Superficie macrosísmica = 130.000 kilómetros cuadrados, aproximadamente.

ALICANTE

P	11h	41m	27s	
PP		41	40	
PPP		43	48	
S		44	23	
SS		44	42	
SSS		44	55	
L		45	46	
Mo		47	47	
M		50	39	
F	12	25	—	D = 1.750 kms. = 15° 7

ALMERIA

eP	11	41	53	
iS		45	12	D = 2.000 kms. = 18°

TOLEDO

eiP	11	42	11	
iS		45	32	
iSS		46	42	
Lr		48	25	
M		50	25	
F	12	50	—	D = 2.120 kms. = 19° 1

305.—SISMO DE 3 DE SEPTIEMBRE DE 1959

H = 04h 02m 00s
Mag: 6 (Kew)
41° N., 20° E. (U. S. C. G. S.)
Albania.

Réplica del anterior (B. C. I. S.).

TOLEDO

eP	04h	06m	18s	
ePP		06	29	
e(S)		09	39	
L		12	40	

306.—SISMO DE 3 DE SEPTIEMBRE DE 1959

H = 06h 27m 33s
Mag: 6 1/4 - 6 1/2 (Matsushiro)
4° 1/2 S., 122° 1/2 E. (B. C. I. S.)
Célebes.

TOLEDO

eP	06h	47m	57s	
ePP		50	32	
eS		57	45	
Lq	07	96	40	
Lr		10	40	D = (5.400) kms. = 48° 6

307*.—SISMO DE 4 DE SEPTIEMBRE DE 1959

H = 01h 36m 52s
Comarca de Caravaca. Sierra de Taibilla.

Grado II-III (Alicante).

ALICANTE

Pn	01h	37m	16s	
Sn		37	30	
F		38	50	D = 152 kms. = 1° 3

ALMERIA

iPg	01h	37m	24s	

TOLEDO

ePg	01	37	35	
e		37	59	
iSg		38	08	
F		39	10	D = 280 kms. = 2° 5

308*.—SISMO DE 4 DE SEPTIEMBRE DE 1959

Réplica del anterior. Grado II-III (Alicante).

ALICANTE

Pn	07h	01m	00s	
Sn		01	13	
F		02	20	D = 152 kms. = 1° 3

ALMERIA

ePg	07	01	01	
(iSg)		01	17	D = 17 kms. = 0° 2

TOLEDO

iPg	07	01	17	
iSg		01	50	
M		01	59	
F		02	50	D = 280 kms. = 2° 5

309.—SISMO DE 4 DE SEPTIEMBRE DE 1959

H = 18h 26m 41s
Mag: 6 1/4 (Roma)
1° S., 24° W. (U. S. C. G. S.)
Océano Atlántico.

ALICANTE

P	18h	35m	00s	
eS		41	39	
F	19	10	—	D = 5.000 kms. = 45°

TOLEDO

eP	18	34	59	
ePP		36	41	
eS		41	36	
eSS		45	03	
Lq		46	50	
Lr		50	50	D = 5.035 kms. = 45° 3

310.—SISMO DE 11 DE SEPTIEMBRE DE 1959

H = 12h 31m 01s
Mag: 5 1/4 (Strasbourg)
43° N., 29° W. (B. C. I. S.)
Cresta mediana del Atlántico.

ALICANTE

e	12h	36m	23s	
e		39	09	
L		40	35	
Mo		42	05	
F		50	—	

TOLEDO

eP	12h	35m	30s	
e		35	50	
e(S)		39	10	
M		41	05	
F	13	00	00	D = 2.220 kms. = 20° 2

311.—SISMO DE 11 DE SEPTIEMBRE DE 1959

H = 14h 18m 07s
Mag: 5 (Kew)
43° N., 29° W. (U. S. C. G. S. y B. C. I. S.)
Al N. de las Azores.

Réplica del anterior.

ALICANTE

L	14h	28m	25s
F		40	—

TOLEDO

eP	14	22	37	
e(S)		26	16	
M		28	05	D = 2.220 kms. = 20° 2

312*.—SISMO DE 12 DE SEPTIEMBRE DE 1959

Peninsular (Toledo).

ALMERIA

ePg	00h	46m	10s

TOLEDO

ePg	00	46	44
e(Sg)		47	40

313.—SISMO DE 12 DE SEPTIEMBRE DE 1959

H = 01h 41m 03s
20° S., 68° W. h = 150 kms. ap.
SW. de Bolivia. (U. S. C. G. S.)

TOLEDO

eP	01h	53m	29s	
epP		53	58	
e(S)	02	03	50	
L		54	35	
M	03	16	35	
F	04	30	00	

314.—SISMO DE 12 DE SEPTIEMBRE DE 1959

H = 01h 53m 47s
Mag: 6,5 (Uppsala)
3° S., 146° 1/2 E. (U. S. C. G. S.)
Mar de Bismarck.

ALICANTE

L	02h	57m	23s	
Mo	03	07	23	
F		20	—	D = 14.850 kms. = 133° 6

ALMERIA

L	02h	55m	20s	D = 15.100 kms. = 136°

TOLEDO

eP	02	15	49

315.—SISMO DE 12 DE SEPTIEMBRE DE 1959

H = 11h 24m 27s
Mag: 6,3 (Wellington)
9° 1/2 S., 156° E.
Región islas Salomón.

ALMERIA

(P)	11h	44m	19s

TOLEDO

eP′	11	44	08
e(PP)		48	00
L	12	37	55
M		51	35

316.—SISMO DE 12 DE SEPTIEMBRE DE 1959

H = 21h 20m 00s
36° 5′ N., 70° 5′ E. h = 220 kms. ap.
Hindu-Kush, foco periódico. (B. C. I. S.)

Sentido en Peshawar y Sargodha.

TOLEDO

eP	21h	29m	31s
epP		30	16

317.—SISMO DE 14 DE SEPTIEMBRE DE 1959

H = 13h 15m 49s
Mag: 6,2 (Wellington)
24° S., 178° 1/2 W. (U. S .C. G. S.)
Región de las islas Tonga.

TOLEDO

eP′1	13h	36m	29s

318.—SISMO DE 14 DE SEPTIEMBRE DE 1959

H = 14h 09m 39s
Mag: 7 3/4 (Pasadena)
28° 1/2 S., 177° W. (U. S .C. G. S.)

Sentido en las islas Raul.

ALICANTE

P′1	14h	29m	53s
P′2		31	05
PKS		33	19
PP		34	56
SKS		36	50
SKKS		41	42

SS	14h	55m	54s	
L	15	30	14	
Mo		43	04	
F	17	02	—	D = 18.900 kms. = 170° 1

ALMERIA

eP′1	14	29	47	
P′2		31	00	
(PP)		34	47	
eSKS		36	55	
e		39	28	
SKKS		41	28	
e!		47	09	
SS		55	22	
SSP		56	28	
L	15	31	50	D = 18.650 kms. = 168°

TOLEDO

eiP′1	14	29	48	
iP′2		31	14	
iPKS		33	16	
eiPP		34	52	
i(SKS)		35	55	
ePPP		39	21	
i		40	12	
iSKKS		41	58	
iSKSP		45	31	
i(PPS)		48	48	
iSS		56	01	
i(SSP)		57	10	
iSSS	15	02	52	
G		26	31	
Lr		29	00	
M		52	30	D = 18.800 kms. = 169° 2

319.—SISMO DE 14 DE SEPTIEMBRE DE 1959

H = 17h 06m 15s
Mag: 6,6 (Uppsala)
29° S., 176° 1/2 W. (U. S. C. G. S.)
Islas Kermadec.
Réplica del anterior.

Sentido en las islas Raul.

ALICANTE

P′1	17h	26m	24s	
P′2		27	41	
SKS		33	26	
PPP		35	37	
SS		52	30	
L	18	26	50	
Mo		39	40	
F		59	—	D = 18.900 kms. = 170° 1

ALMERIA

iP′	17	26	24	(compresión)
PP		31	33	
L	18	26	10	D = 19.000 kms. = 171°

TOLEDO

eiP′	17	26	24

320.—SISMO DE 14 DE SEPTIEMBRE DE 1959

H = 22h 23m 53s
Mag: 6,0 (Wellington)
29° S., 177° W. (U. S. C. G. S.)
Islas Kermadec.

Réplica del núm. 318.

TOLEDO

ePi	22h	44m	03s

321.—SISMO DE 15 DE SEPTIEMBRE DE 1959

H = 05h 59m 42s
Mag: 6 1/2 - 6 3/4 (Pasadena)
28° 1/2 S., 177° W. (U. S. C. G. S.)
Islas Kermadec.
Réplica del núm. 318.

ALICANTE

P′1	06h	19m	51s	
P′2		21	08	
PKS		23	22	
PP		24	59	
SKS		26	53	
PPP		29	04	
SS		45	57	
L	07	20	17	
Mo		33	07	
F	08	30	—	D = 18.900 kms. = 170° 1

ALMERIA

eP′1	06	19	51	(compresión)
ePP		24	59	
(eSKS)		26	43	
PPP		28	40	
SKKS		31	36	
SS		46	02	
L	07	18	50	D = 18.650 kms. = 168°

TOLEDO

eP′1	06	19	51

322.—SISMO DE 15 DE SEPTIEMBRE DE 1959

H = 11h 05m 33s
Mag: 6 1/2 (Pasadena)
21° 1/2 S., 179° W. h = 600 kms. ap.
Región islas Fidji. (U. S. C. G. S.)

ALICANTE

eP′1	11h	24m	23s	
PKS		29	07	
SKS		30	22	
F		45	—	D = 18.150 kms. = 163° 3

TOLEDO

eP′1	11	24	32
eiP′2		25	22
ipP		27	36
ePP		29	02

e(PPP)	11h	31m	32s
iSS		48	42
i		50	32

323.—SISMO DE 16 DE SEPTIEMBRE DE 1959

H = 05h 13m 52s

35° 3 N., 26° E. (B. C. I. S.)

Cerca de la costa N. de Creta.

Sentido en la isla de Creta (G. IV en Chrysopighi y Heraclion) (según Atenas).

ALICANTE

P	05h	18m	43s	
PP		19	07	
PPP		19	17	
(S)		22	38	
F		35	—	D = 2.400 kms. = 21° 6

TOLEDO

ePg	05	19	07

324.—SISMO DE 16 DE SEPTIEMBRE DE 1959

H = 15h 57m 03s

Mag: 6,2 (Uppsala)

28° 1/2 S., 176° W. (U. S. C. G. S.)

Islas Kermadec.

Réplica del núm. 318.

TOLEDO

eP'2	16h	18m	22s
e		20	11
e(SKS)		23	45
iSKKS		28	51
i		30	39
i(SKSP)		33	08
i		34	59
eSS		43	01
L	17	03	30
M		40	00
F	18	40	—

325*.—SISMO DE 16 DE SEPTIEMBRE DE 1959

Registrado en Cartuja (L. C. S., Madrid).

TOLEDO

ePg	16h	20m	22s

326.—SISMO DE 17 DE SEPTIEMBRE DE 1959

H = 14h 36m 11s

Mag: 5,6 (Uppsala)

28° 1/2 S., 176° W. (U. S. C. G. S.)

Islas Kermadec.

Réplica del núm. 318.

TOLEDO

eP'1	14h	56m	22s	
eP'2		57	25	
iSS	15	22	08	
e		23	48	
M	16	10	30	D = 18.680 kms. = 168° 1

327*.—SISMO DE 17 DE SEPTIEMBRE DE 1959

H = 21h 49m 02s

Mediterráneo. Región isla de Alborán.

Réplica del núm. 263. Sentido en Melilla (según Almería).

ALICANTE

Pn	21h	50m	01s	
Sn		50	51	
F	22	06	—	D = 452 kms. = 4° 1

ALMERIA

ePg	21	49	22	
i		49	31	
iSg		49	38	D = 135 kms. = 1° 2

TOLEDO

ePn	21	50	06	
e(Pg)		50	25	
e(Sn)		50	55	
iSg		51	14	
i(Lg)		51	26	
F	22	04	30	D = 450 kms. = 4°

328*.—SISMO DE 17 DE SEPTIEMBRE DE 1959

H = 21h 55,5m

Mediterráneo. Región isla de Alborán. (B. C. I. S.)

Réplica del núm. 263. Sentido en Melilla (según Almería).

ALMERIA

ePg	21h	55m	53s	
iSg		56	09	D = 135 kms. = 1° 2

TOLEDO

ePn	21	56	53
eSg		58	—

329*.—SISMO DE 17 DE SEPTIEMBRE DE 1959

Réplica del núm. 327 (Toledo).

TOLEDO

ePn	23h	59m	24s

330*.—SISMO DE 18 DE SEPTIEMBRE DE 1959

Réplica del núm. 327 (Toledo). Grado II (Alicante).

ALICANTE

Pg	01h	05m	10s	
Sg		05	20	
F		06	40	D = 88 kms. = 0° 8

TOLEDO

ePn	01	05	50	

331*.—SISMO DE 18 DE SEPTIEMBRE DE 1959

H = 02h 05m 06s

Mediterránea. Región de Alborán (Alicante).

Réplica del núm. 263.

Sentido (G. II) en Melilla (según Almería).

ALICANTE

Pn	02h	06m	00s	
Sn		06	50	
F		23	—	D = 456 kms. = 4° 1

ALMERIA

iPg	02	05	20	
i		05	30	
iSg		05	36	D = 135 kms. = 1° 2

TOLEDO

ePn	02	06	04	
eSg		07	11	
i(Lg)		07	23	

332.—SISMO DE 24 DE SEPTIEMBRE DE 1959

H = 05h 43m 38s

83° 1/2 N., 112° 1/2 E. (U. S. C. G. S.)

Océano Artico.

TOLEDO

eP	05h	53m	06s	

333.—SISMO DE 25 DE SEPTIEMBRE DE 1959

H = 02h 36m 48s

Mag: 6,8 (Uppsala)

22° N., 122° E. (U. S. C. G. S. y B. C. I. S.)

Cerca de la costa E. de Formosa.

Sentido en Hong-Kong.

ALICANTE

(P)	02h	50m	32s	
PP		54	46	
PPP		56	44	
SKS	03	01	10	
S		02	00	
SS		08	51	
L		24	06	
Mo		33	05	
F	04	06	—	D = 11.000 kms. = 99°

ALMERIA

(P)	02h	50m	35s	
PP		54	48	
(L)	03	28	40	D = 11.200 kms. = 101°

TOLEDO

eP	02	50	36	
iPP		54	43	
i(PPP)		57	02	
i(SKS)	03	01	37	
eS		02	29	
ePS		03	36	
ePPS		04	34	
iSS		08	56	
eSSS		12	36	
L		26	55	
M		36	55	
F	05	30	—	D = 11.080 kms. = 99° 7

334.—SISMO DE 26 DE SEPTIEMBRE DE 1959

H = 08h 20m 51s

Mag: 6,1 (Uppsala)

43° 1/2 N., 128° 1/2 W. (U. S. C. G. S.)

A lo largo de la costa de Oregón, U. S. A.

ALICANTE

P	08h	33m	32s	
PP		36	53	
S		44	03	
SS		49	41	
L	09	01	49	
Mo		10	36	
F		45	—	D = 9.500 kms. = 85° 5

ALMERIA

L	08	56	40	D = 9.860 kms. = 85° 5

TOLEDO

eP	08	33	26	
ePP		36	37	
eS		43	48	
iPS		44	27	
ePPS		44	58	
iSS		49	12	
L		54	55	
M	09	07	55	
F	10	30	—	D = 9.420 kms. = 84° 8

335.—SISMO DE 26 DE SEPTIEMBRE DE 1959

H = 10h 18m 20s

22° S., 68° 1/2 W. h = 160 kms. ap.

Norte de Chile.

Sentido en Antofagasta.

TOLEDO

eP	10h	31m	46s	
i		31	17	
eS		41	03	
L		59	55	D = 9.250 kms. = 83° 2

336.—SISMO DE 29 DE SEPTIEMBRE DE 1959

H = 15h 31m 57s
Mag: 6 1/2 - 6 3/4 (Pasadena)
Islas Kermadec. (U. S. C. G. S.)

Réplica del núm 318

ALICANTE

P'1	15h	52m	06s	
P'2		53	23	
SKS		59	08	
PPP	16	01	19	
SS		18	12	
L		52	32	
Mo	17	05	22	
F		55	—	D = 18.900 kms. = 170° 1

ALMERIA

eP'1	15	52	08	
PP		57	15	
(L)	17	00	50	D = 18.800 kms. = 169°

TOLEDO

eP'1	15	52	10	
eP'2		53	14	
iPP		57	01	
eSKS		59	06	
eSKKS	16	03	44	
eSKSP		07	42	
i		08	04	
i		09	52	
ePPS		11	00	
iSS		17	47	
eSSP		18	37	
eSSS		24	10	
L		41	50	
M	17	13	50	D = 18.465 kms. = 166° 2

337.—SISMO DE 29 DE SEPTIEMBRE DE 1959

Sin más datos. (L. C. S., Madrid).

TOLEDO

eP	17h	40m	25s
i		41	42

338*.—SISMO DE 30 DE SEPTIEMBRE DE 1959

H = 16h 57m 37s
Mag: 4 3/4 (Praha)
36° N., 3° 3 W. (B. C. I. S.)
Mediterráneo, región isla de Alborán.

Sentido en Melilla (G. II) (según Alicante).

ALICANTE

Pn	16h	58m	32s	
Sn		59	20	
F	17	14	—	D = (438 kms.) = 4° 0

ALMERIA

ePg	16h	57m	58s	
iSg		58	14	D = 135 kms. = 1° 2

TOLEDO

ePn	16	58	43
ePg		58	58
iSn		59	22
iSg		59	47
M	17	00	20
F		15	00

339.—SISMO DE 30 DE SEPTIEMBRE DE 1959

H = 20h 25m 58s
Mag: 6 1/2 (Pasadena)
18° S., 168° E.
Nuevas Hébridas.

Sentido (G. IV) en Bahía Dillon (Erromango), Puerto Vila (Vate), Forasi (Vate) y Eman (Nguna).

TOLEDO

eP	20h	46m	10s

340*.—SISMO DE 3 DE OCTUBRE DE 1959

Local. Grado I (Alicante).

ALICANTE

Pg	06h	08m	06s
F		09	10

341*.—SISMO DE 3 DE OCTUBRE DE 1959

Local.

ALICANTE

Pg	11h	29m	03s	
Sg		29	07	
F		30	40	D = 32 kms. = 0° 3

342*.—SISMO DE 5 DE OCTUBRE DE 1959

Epicentro probablemente marítimo.
Grado IV (Alicante).

ALICANTE

Pg	11h	15m	49s	
Sg		15	56	
F		17	39	D = 60 kms. = 0° 5

TOLEDO

ePg	11	16	46

343*.—SISMO DE 5 DE OCTUBRE DE 1959

Réplica del anterior (Alicante).

ALICANTE

Pg	11h	24m	07s	
Sg		24	14	
F		25	19	D = 60 kms. = 0° 5

344.—SISMO DE 5 DE OCTUBRE DE 1959

H = 18h 27m 47s
Mag: 5,9 (Uppsala)
83° 1/2 N., 112° 1/2 E. (U. S. C. G. S.)
Océano Artico.

ALICANTE

L	18h	56m	36s	
Mo	19	01	30	
F		20	—	D = 6.200 kms. = 55° 8

ALMERIA

eP	18	37	31	(compresión)
L		54	10	D = 6.200 kms. = 56°

TOLEDO

eP	18	37	12	
eS		44	45	
eSS		48	09	
L		56	20	
M	19	07	20	
F		30	00	D = 6.000 kms. = 54°

345.—SISMO DE 5 DE OCTUBRE DE 1959

H = 20h 34m 06s
Mag: 5,5 (Uppsala)
41° N., 19° 1/2 E. (B. C. I. S.)
Réplica del núm. 251.

ALICANTE

eP	20h	37m	55s	
PPP		38	22	
eS		41	01	
SS		41	19	
SSS		41	33	
L		42	19	
F		55	—	D = 1.750 kms. = 15° 7

TOLEDO

eP	20	38	21	
e(PP)		38	37	
eS		41	41	
eSS		42	05	
L		44	50	
M		47	20	
F	21	10	00	D = 2.035 kms. = 18° 3

346.—SISMO DE 7 DE OCTUBRE DE 1959

H = 08h 30m 41s
Mag: 5,9 (Uppsala)
41° N., 19° 3/4 E. (B. C. I. S.)
Albania.

Sentido (G. IV) en Castoria; G. III en Jannina (según Atenas).

ALICANTE

eP	08h	34m	23s	
PP		34	40	
PPP		34	48	
iS		37	38	
SS		37	57	
L		38	55	
Mo		40	07	
F		55	40	D = 1.750 kms. = 15° 7

ALMERIA

(P)	08	34	55	
e		35	03	
eS		38	13	
L		40	40	D = 2.000 kms. = 18°

TOLEDO

eiP	08	34	57	
iPP		35	10	
i		35	17	
i		35	27	
iS		38	15	
i(SS)		38	36	
iLi		39	00	
G		39	36	
iLg_2		40	18	
i		40	35	
M		43	25	
F	09	20	—	D = 2.110 kms. = 19°

347.—SISMO DE 8 DE OCTUBRE DE 1959

H = 00h 03m 28s
19° S., 169° E. (U. S. C. G. S.)
Nuevas Hébridas.

Sentido (G. IV) en Bahía Dillon (Erromango) (según Noumea).

TOLEDO

eiP'_1	00h	54m	06s	
eP'_2		54	18	
L	01	29	45	
M		34	45	

348*.—SISMO DE 8 DE OCTUBRE DE 1959

Mediterráneo. Grado II (Alicante).

ALICANTE

Pg	15h	23m	45s	
Sg		23	55	
F		25	27	D = 85 kms. = 0° 8

TOLEDO

ePg	15	24	30

349*.—SISMO DE 11 DE OCTUBRE DE 1959

Local.

ALMERIA

iPg	11h	54m	11s	
iSg		54	15	D = 35 kms. = 0° 3

TOLEDO

ePg	11	55	36	

350.—SISMO DE 12 DE OCTUBRE DE 1959

H = 03h 43m 44s

19° S., 68° 1/2 W. h = 150 kms. ap.
Frontera Chile del N.-Bolivia. (U. S .C. G. S.)

TOLEDO

eiP	03h	56m	04s	
ipP		56	37	
L	04	17	45	
M		24	45	

351.—SISMO DE 15 DE OCTUBRE DE 1959

H = 06h 15m 32s
Mag: 6 1/2 (Pasadena)
1/2° N., 120° 1/2 E. (U. S. C. G. S. y B. C. I. S.)
Célebes.

ALICANTE

P	06h	30m	21s	
PP		35	11	
S		42	46	
SS		50	56	
L	07	09	46	
Mo		18	36	
F		58	—	D = 12.650 kms. = 113° 8

ALMERIA

(P'1)	06	34	21	
ePP		35	17	
e!PS		44	55	
L	07	06	50	D = 12.850 kms. = 115° 5

TOLEDO

eP'	06	34	55	
i(PP)		35	23	
e(PPP)		37	46	
eSKS		41	14	
eSKKS		42	00	
iPS		45	08	
iPPS		45	52	
i		46	58	
i		48	15	
eSS		50	54	
i		52	37	
G	07	10	40	
M		32	10	
F	09	20	00	D = (12.400) kms. = 112°

352.—SISMO DE 16 DE OCTUBRE DE 1959

H = 16h 14m 53s

6° N., 125° E. (U. S. C. G. S.)
Cerca de la costa S. de Mindanao, Filipinas.

ALMERIA

e	17h	22m	27s	

353*.—SISMO DE 16 DE OCTUBRE DE 1959

Peninsular (Toledo)

TOLEDO

ePg	17h	23m	00s	
eiSg		23	13	
M		23	32	
F		25	00	D = 111 kms. = 0° 9

354.—SISMO DE 18 DE OCTUBRE DE 1959

H = 19h 42m 01s

44° N., 28° W. (B. C. I. S.)
Cresta mediana del Atlántico.

ALMERIA

iP	19h	46m	49s	
i		47	12	
i		53	17	

TOLEDO

eP	19	46	21	
M		53	40	

355.—SISMO DE 19 DE OCTUBRE DE 1959

H = 08h 27m 21s
Mag: 6 1/4 (Pasadena)
27° 1/2 S., 177° W. (U. S. C. G. S. y B. C. I. S.)
Islas Kermadec

ALMERIA

eP'1	08h	47m	31s	
ePP		52	36	
PPP		56	56	D = 18.900 kms. = 170°

TOLEDO

eP'1	08	47	31	
eP'2		48	33	
L	09	53	40	
M	10	04	40	
F		55	00	

356.—SISMO DE 19 DE OCTUBRE DE 1959

H = 15h 55m 30s
Mag: 6,4 (Uppsala)
54° 1/2 S., 29° W. (U. S. C. G. S. y B. C. I. S.)
Región de las islas Sandwich

ALICANTE

(P)	16h	09m	02s	
S		20	19	
PPS		22	24	
SS		26	56	

L	16h	41m	32s	
Mo		50	32	
F	17	10	—	D = 10.700 kms. = 96° 3

ALMERIA

iP	16	08	48	
PP		12	54	
(S)		19	48	
iPS		21	09	D = 10.500 kms. = 94° 5

TOLEDO

eP	16	09	04	
ePP		12	56	
e(SKS)		19	42	
ePS		21	44	
ePPS		22	22	
eSS		27	11	
L		41	35	
M		46	35	
F	18	50	00	D = 10.550 kms. = 95°

357.—SISMO DE 24 DE OCTUBRE DE 1959

H = 23h 40m 37s
Mag: 5 1/2 (Moskva)
41° 8 N., 69° 8 E. (Moskva y B. C. I. S.)
Kirghisia, U. R. S. S.

ALICANTE

(P)	23h	59m	49s	
S	00	07	13	
SS		10	49	
L		15	55	
Mo		22	06	
F		35	—	D = 5.800 kms. = 52° 2

TOLEDO

iP	23	50	05	(compresión)
i		50	10	
L	00	10	00	
M		15	30	
F		50	00	

358.—SISMO DE 25 DE OCTUBRE DE 1959

H = 06h 51m 18s
Mag: 5,5 (Kew)
45° N., 28° 5 W. (B. C. I. S.)
Cresta mediana del Atlántico, a 500 kms., aproximadamente, al N. de las Azores.

ALMERIA

eP	06h	56m	14s	

TOLEDO

eiP	06	55	43	(dilatación)
L	07	00	30	
M		01	30	
F		20	—	

359.—SISMO DE 25 DE OCTUBRE DE 1959

H = 15h 57m 52s
Mag: 6,2 (Uppsala)
39° 4 N., 41° 6 E. (B. C. I. S.)
E. de Turquía.

Dieciocho muertos y numerosos heridos; daños materiales importantes en Hiniss y Varto. Sentido igualmente en Erzeroum (Prensa).

TOLEDO

eP	16h	04m	45s
L		12	30
M		16	30

360.—SISMO DE 26 DE OCTUBRE DE 1959

H = 07h 35m 04s
Mag: 6 1/2 (Pasadena)
37° 6 N., 143° 2 E. (J. M. A., Japón)
Cerca de la costa de Hondo, Japón.

ALICANTE

P	07h	48m	36s	
PP		52	36	
SKS		59	06	
S		59	56	
SS	08	06	38	
L		21	24	
Mo		28	48	
F	09	10	—	D = 10.750 kms. = 96° 7

ALMERIA

L	08	24	20	D = 10.950 kms. = 98° 5

TOLEDO

iP	07	48	43	(compresión)
i(pP)		48	53	
e		51	53	
ePP		52	39	
ePPP		54	45	
eS		59	08	
iPS	08	01	48	
eSSS		10	23	
Lq		22	30	
M		31	30	D = 10.670 kms. = 96°

361.—SISMO DE 27 DE OCTUBRE DE 1959

H = 06h 52m 50s
Mag: 6 1/2 (Pasadena)
45° 1/2 N., 151° E. h = 100 kms. ap.
Islas Kuriles. (U. S. C. G. S. y B. C. I. S.)

ALICANTE

P	07h	05m	46s	
PP		09	30	
S		16	35	
PS		18	14	
SS		22	59	
L		36	56	
Mo		44	02	
F	08	30	—	D = 10.250 kms. = 92° 2

ALMERIA

(P)	07h	05m	57s	D = 10.500 kms. = 94° 5

TOLEDO

eiP	07	05	53	
iS		16	26	
i		20	46	
G		24	01	
L		29	30	
M		48	00	
F	09	30	—	D = 9.620 kms. = 86° 6

362.—SISMO DE 31 DE OCTUBRE DE 1959

H = 04h 27m 12s
Mag: 6 1/2 - 6 3/4 (Pasadena)
16° 1/2 S., 178° W. h = 450 kms. ap.
Islas Fidji. (U. S. C. G. S. y B. C. I. S.)

Sentido en Apia

ALMERIA

iP'1	04h	46m	24s	
(P'2)		47	02	D = 17.800 kms. = 160°

TOLEDO

eP'1	04	46	20
iP'2		46	50

363.—SISMO DE 2 DE NOVIEMBRE DE 1959

H = 20h 03m 30s
Mag: 6 3/4 (Pasadena)
5° 1/2 S., 151° 1/2 E. h = 60 kms. ap.
Nueva Bretaña. (U. S. C. G. S.)

Sentido (G. VI) en Pornio (5° 30 S., 151° 30 E.); G. IV en Karlai (5° 05 S., 152° E.). Grado III en Rabaul (según Rabaul).

ALICANTE

L	21h	09m	01s	
Mo		19	31	
F		35	—	D = 15.400 kms. = 138° 6

TOLEDO

eP'	20	22	57
e		26	08
e		39	28
L	21	19	30
M		26	30

364.—SISMO DE 3 DE NOVIEMBRE DE 1959

H = 09h 40m 05s
Mag: 6,4 (Uppsala)
10° 1/2 S., 111° E. (U. S. C. G. S. y B. C. I. S.)
Sur de Java.

ALMERIA

P'	09h	58m	51s	
iPP		59	50	
(PS)	10	09	40	D = 12.800 kms. = 115°

TOLEDO

eP'1	09	58	51	
iPP		59	49	
e(PS)	10	09	48	
L		47	30	D = 12.450 kms. = 112°

365.—SISMO DE 5 DE NOVIEMBRE DE 1959

H = 11h 50m 17s
Mag: 5,7 (Wellington)
13° S., 166° 1/2 E. h = 100 kms. ap.
Región Nuevas Hébridas. (U. S. C. G. S. y B. C. I. S.)

TOLEDO

eP'1	12h	10m	08s
iP'2		10	18
i(pP'1)		10	24
i		10	48
e(SSS)		42	37
L	13	12	00
M		25	30
F	14	00	—

366.—SISMO DE 5 DE NOVIEMBRE DE 1959

H = 17h 38m 08s
Mag: 6,2 (Wellington)
9° S., 157° 1/2 E. (U. S. C. G. S.)
Islas Salomón.

TOLEDO

eP	17h	57m	53s	

367.—SISMO DE 7 DE NOVIEMBRE DE 1959

H = 02h 32m 08s
Mag: 5 1/2 - 5 3/4 (Matsushiro)
36° 4 N., 2° 5 E. (Argel y B. C. I. S.)
Argelia, a 65 kms. al SW. de Argel, cadena de Zaccar.

Sentido (G. VIII-IX) en Bou-Medfa (importantes daños, dos heridos); G. VIII en Ameur-el Ain y Hamman-Righa; G. VII en Affreville, El Affroun, Qued-Djer, Vesoul-Benian; G. V en Blida; G. IV-V en Argel, etc.; radio macrosísmico: alrededor de los 100 kilómetros.

ALICANTE

iPn	02h	32m	56s	
Pg		33	05	
iSn		33	31	
Sg		33	43	
F		50	—	D = 312 kms. = 2° 8

ALMERIA

iPn	02h	33m	10s	(compresión) (?)
iSn		33	53	
(S*)		34	02	
iSg		34	07	
iL		34	27	D = 420 kms. = 3° 7

TOLEDO

iPn	02	33	42	(compresión)
iP*		33	55	
i(Pg)		34	07	
i		34	32	
iSn		34	42	
iSg		35	15	
Lr		35	25	
M		36	35	D = 590 kms. = 5° 3

368.—SISMO DE 7 DE NOVIEMBRE DE 1959

H = 22h 16m 15s
Mag: 6 1/4 (Pasadena)
23° 1/2 S., 175° 1/2 W. (U. S. C. G. S.)
Región islas Tonga.

TOLEDO

e(P')	22h	36m	34s
L	23	39	25
M		49	25

369.—SISMO DE 8 DE NOVIEMBRE DE 1959

H = 13h 54m 56s
Mag: 6,4 (Matsushiro)
43° 8 N., 140° 6 E. (J. M. A. y B. C. I. S.)
Cerca de la costa W. de Hokkaido, Japón.

Sentido (G. V) en Sapporo, Rumoi, Asahikawa, Tomakomai.

ALICANTE

P	14h	07m	59s	
PP		11	36	
SKS		18	29	
S		18	52	
SS		24	56	
L		38	11	
Mo		47	07	
F	15	10	—	D = 10.050 kms. = 90° 45

ALMERIA

(P)	14	08	15	
(L)		44	—	D = 10.200 kms. = 92°

TOLEDO

iP	14	08	04	(compresión)
e		11	12	
e		11	36	
iS		19	01	
eSS		24	24	
e		29	34	
Lg		33	34	
G	14h	37m	25s	
M		49	25	
F	16	00	—	D = 10.220 kms. = 92°

370.—SISMO DE 9 DE NOVIEMBRE DE 1959

H = 04h 18m 53s
57° S., 136° W. (B. C. I. S.)
S. del Océano Pacífico.

TOLEDO

eP	04h	38m	33s

371.—SISMO DE 15 DE NOVIEMBRE DE 1959

H = 10h 25m 14s
Mag: 6 (Peking)
37° 1/2 N., 75° E. (Peking)
Cadena de Kachgar, W. de la China.

ALICANTE

P	10h	34m	50s	
(S)		42	42	
L		52	30	
Mo		59	13	
F	11	15	—	D = 6.300 kms. = 56° 7

ALMERIA

iP	10	35	18	(compresión)
(eS)		43	23	D = 6.550 kms = 59°

TOLEDO

iP	10	35	15	(compresión)

372.—SISMO DE 15 DE NOVIEMBRE DE 1959

H = 17h 08m 41s
Mag: 6 1/2 - 6 3/4 (Pasadena)
37° 8 N., 20° 5 E. (B. C. I. S.)
Mar Jónico, al W. de la isla de Zante.

Sismo muy violento, sentido en las islas Jónicas (G. VII en Ani-Volimae, G. VI-VII en Gaitania en el NW. de Zante, donde hubo daños, grietas en el terreno, etcétera), en todo el W. de Grecia, hasta Atenas, y en las islas del mar Egeo. Sentido igualmente en el S. de Italia. Superficie macrosísmica: 1.200.000 kilómetros cuadrados, aproximadamente (según Atenas).

ALICANTE

iP	17h	12m	37s	
PP		12	52	
iS		15	42	
SS		16	03	
L		17	11	
Mo		19	21	
M		23	33	
P	19	05	—	D = 1.850 kms. = 16° 6

ALMERIA

iP	17h	12m	57s	(dilatación)
iS		16	21	
L		18	—	D = 2.000 kms. = 18°

TOLEDO

iP	17	13	09	(dilatación)
iPP		13	21	
i		14	48	
i		15	33	
iS		16	42	
iSS		17	06	
G		17	55	
iLi		18	15	
Lr		18	20	
iLg_1		19	00	
M		25	00	
F	19	00	—	D = 2.180 kms. = 19° 6

373.—SISMO DE 16 DE NOVIEMBRE DE 1959

H = 10h 21m 17s
Mag: 6 1/4 - 6 1/2 (Pasadena)
1° N., 26° 1/2 W (U. S. C. G. S.)
Cresta mediana del Atlántico.

ALICANTE

P	10h	29m	28s	
PP		31	12	
PPP		31	50	
(S)		36	01	
L		43	49	
F	11	05	—	D = 4.900 kms. = 44° 1

ALMERIA

iP	10	29	13	(compresión)
PP		30	53	
PPP		31	28	
L		43	40	D = 4.700 kms. = 42° 5

TOLEDO

iP	10	29	28	(compresión)
e		31	42	
iS		35	08	
i(SS)		39	28	
L		44	20	
M		46	20	D = 4.100 kms. = 37°

374.—SISMO DE 19 DE NOVIEMBRE DE 1959

H = 11h 08m 41s
Mag: 7 (Pasadena)
5° 1/2 S., 146° E. h = 100 kms. ap.
Cerca de la costa N. de Nueva Guinea.

Sentido (G. VI-VII) en el W. de Nueva Guinea y en Papouasia (según Port Moresby). Daños en Madang y Lae (según Charters Towers).

ALICANTE

L	12h	12m	39s	
Mo		22	51	
F		35	—	D = 15.050 kms. = 135° 4

ALMERIA

iP	11h	28m	00s	
i		28	32	
ePP		30	46	
i(PKS)		31	23	
L	12	11	50	D = 15.200 kms. = 137°

TOLEDO

e(P')	11	27	59	
e		28	47	
iPP		30	49	
e(PPP)		33	30	
i		40	15	
iSS		48	40	
eSSS		53	45	
e		57	35	
L	12	12	15	
M		19	15	

375.—SISMO DE 19 DE NOVIEMBRE DE 1959

H = 14h 00m 26s
Mag: 5,4 (Uppsala)
38° 8 N., 26° 5 E. (B. C. I. S.)
Costa W. de Turquía.

Sentido en las islas de Lesbos (G. VI en Plaghia, Messagros, Skopelos, Palacakipos, Lontra); de Oenoussae (G. V), de Chios, de Ikaria y de Samos. Superficie macrosísmica: 50.000 kilómetros cuadrados, aproximadamente (según Atenas).
Sentido (G. V-VI) en Edremit; G. IV en Burhaniye (según Istanbul Kand).

ALMERIA

(P)	14h	05m	35s	
i		05	40	
S		09	29	D = 2.550 kms. = 23°

376*.—SISMO DE 19 DE NOVIEMBRE DE 1959

Sin más datos (L. C. S., Madrid).

ALICANTE

Pg	15h	33m	59s	
F		34	17	

377*.—SISMO DE 22 DE NOVIEMBRE DE 1959

Local. Grado II (Alicante).

ALICANTE

Pg	14h	23m	06s	
Sg		23	14	
F		24	06	D = 68 kms. = 0° 6

TOLEDO

eP	14	23	42

378.—SISMO DE 22 DE NOVIEMBRE DE 1959

H = 16h 26m 34s
Mag: 6 1/4 (Matsushiro)
54° S., 136° W. (U. S. C. G. S.)
Sur del Océano Pacífico.

TOLEDO

e	16h	46m	20s
(L)	17	41	15
(M)		48	15
F	18	40	—

379.—SISMO DE 22 DE NOVIEMBRE DE 1959

H = 19h 34m 35s
Mag: 6 (Wellington)
21° 1/2 S., 178° 1/2 W. h = 550 kms. ap.
Región islas Fidji. (U. S. C. G. S.)

TOLEDO

iP'_1	19h	53m	41s	(compresión)
iP'_2		54	27	
epP'_2		56	34	

380.—SISMO DE 26 DE NOVIEMBRE DE 1959

H = 07h 06m 19s
Mag: 6 1/2 (Pasadena)
5° 1/2 S., 102° 1/2 E. (U. S. C. G. S.)
Cerca de la costa de Sumatra.

ALMERIA

e(P)	07h	20m	27s
L		57	10

TOLEDO

ePS	07	34	27
eSS		39	35
L		51	35
G		57	17
M	08	14	15

381.—SISMO DE 26 DE NOVIEMBRE DE 1959

H = 23h 09m 23s
Mag: 6 3/4 (Pasadena)
5° 1/2 S., 103° E. (U. S. C. G. S. y B. C. I. S.)
Cerca de la costa de Sumatra.

Réplica del anterior.

ALICANTE

(P)	23h	23m	30s	
SKS		34	10	
S		35	19	
SS		42	39	
L		59	09	
Mo	00	08	04	
F	siguiente			D = 11.600 kms. = 104° 4

ALMERIA

PP	23h	27m	55s	
S		35	14	
L		59	30	D = 11.700 kms. = 105° 5

TOLEDO

ePP	23	27	29	
e		28	37	
iS		35	37	
iPS		37	17	
ePPS		38	33	
iSS		43	02	
eSSS		46	17	
e		51	17	
G		59	17	
Lr		59	25	
M		59	40	D = 11.670 kms. = 105°

382.—SISMO DE 27 DE NOVIEMBRE DE 1959

H = 00h 22m 24s
Mag: 5 1/2 - 5 3/4 (Atenas)
37° 8 N., 20° 1 E. (B. C. I. S.)
A lo largo de la costa del Peloponeso, Grecia.

Sentido en la isla de Zante (G. IV en Zante) y en las regiones de Elida y de Aetolia (según Atenas).

ALICANTE

iP	00h	26m	15s	
PP		26	28	
S		29	16	
SS		29	34	
L		30	40	
Mo		32	45	
F		55	—	D = 1.800 kms. = 16° 2

TOLEDO

eiP	00	26	46	(compresión)

383.—SISMO DE 27 DE NOVIEMBRE DE 1959

H = 00h 26m 13s
Mag: 5 1/2 - 5 3/4 (Atenas)
A lo largo de la costa W. del Peloponeso, Grecia. (B. C. I. S.)
Réplica del anterior.

Sentido en la isla de Zante (G. IV en Zante) (según Atenas).

TOLEDO

eP	00h	30m	35s

384.—SISMO DE 28 DE NOVIEMBRE DE 1959

H = 02h 45m 45s
Mag: 6 (Wellington)
19° 1/2 S., 174° 1/2 E. (U. S. C. G. S.)
Región islas Fidji.

TOLEDO

e(P')	03h	06m	34s
L	04	05	15
M		16	15

385.—SISMO DE 28 DE NOVIEMBRE DE 1959

H = 12h 34m 53s
Mag: 6 1/2 (Pasadena)
28° 1/2 S., 71° W. (U. S. C. G. S.)
Chile.

ALICANTE

L	13h	19m	11s	
Mo		26	29	
F		40	—	D = 10.400 kms. = 93° 6

TOLEDO

eP	12	48	09	
e		56	06	
iS		58	56	
iPS	13	00	36	
L		19	15	
M		27	15	
F	14	30	—	D = 9.910 kms. = 89° 2

386.—SISMO DE 28 DE NOVIEMBRE DE 1959

H = 22h 39m 13s
13° S., 167° 1/2 E. (U. S. C. G. S.)
Nuevas Hébridas.

TOLEDO

iP	22h	59m	03s
i		59	13
i		59	22

387.—SISMO DE 1 DE DICIEMBRE DE 1959

H = 12h 38m 49s
Mag: 5,9 (Uppsala)
38° N., 20° 1 E. (B. C. I. S.)
Cerca de la costa W. de Grecia.

Sentido (G. IV) en la isla de Zante (según Atenas).

TOLEDO

eiP	12h	43m	08s
i		43	37

388.—SISMO DE 2 DE DICIEMBRE DE 1959

H = 09h 34m 00s
Mag: 6 1/2 - 6 3/4 (Pasadena)
1° S., 123° E. (U. S. C. G. S. y B. C. I. S.)
Célebes.

TOLEDO

eP'	09h	53m	12s
e	10	04	15
L		39	15
M		46	15

389.—SISMO DE 2 DE DICIEMBRE DE 1959

Local. Grado II (Alicante).

ALICANTE

Pg	11h	49m	49s	
Sn		49	52	
F		51	08	D = 25 kms. = 0° 2

390.—SISMO DE 6 DE DICIEMBRE DE 1959

Sin más datos. (L. C. S., Madrid.)

ALMERIA

iPg	07h	58m	54s	
e		58	58	
iSg		59	03	D = 80 kms. = 0° 7

391.—SISMO DE 12 DE DICIEMBRE DE 1959

H = 20h 00m 05s
35° 8 N., 0° 6 W. (Argel y B. C. I. S.)
Cerca de la costa de Argelia.

Sentido (G. VII) en Orán y Saint Cloud; G. VI-VII en Kristel; G. VI en Assi-Ameur, Kléber, La Senia, etc.

Sentido igualmente en Saint-Leu, Mezagran, Mostaganem, Mascara, etc.

ALICANTE

Pg	20h	00m	51s	
Sg		01	16	
F		15	—	D = 250 kms. = 2° 3

ALMERIA

iPg	20	00	37	(dilatación)
iSg		00	57	D = 170 kms. = 1° 5

TOLEDO

eiPn	20	01	21	
iPg		01	36	
i(Sn)		02	06	
iS+		02	25	
iSg		02	37	
M		03	34	
F		07	15	D = 490 kms. = 4°

392.—SISMO DE 14 DE DICIEMBRE DE 1959

H = 22h 00m 50s
Mag: 6 (Pasadena)
52° 1/2 N., 168° W. (U. S. C. G. S. y B. C. I, S)
Islas de los Zorros, Aleutianas

ALICANTE

P	22h	13m	44s	
PPP		19	10	
S		24	27	
PS		25	31	
SS		30	19	
L		43	02	
Mo		51	54	
F	23	25	—	D = 9.800 kms. = 88° 2

TOLEDO

eP	22	13	40	
iS		23	59	
e		25	51	
L		39	55	
M		56	55	D = 9.300 kms. = 83° 8

393.—SISMO DE 14 DE DICIEMBRE DE 1959

H = 23h 21m 55s
Mag: 7 (Pasadena)
60° 1/2 S., 27° 1/2 W. (B. C. I. S.)
Islas Sandwich.

ALICANTE

P	23h	35m	47s	
PP		39	57	
PPP		42	07	
SKS		46	26	
S		47	22	
PPS		49	44	
SS		54	22	
L		10	01	
Mo		18	59	
F	01	35	—	D = 11.200 kms. = 100° 8

ALMERIA

iP	23	35	40	(compresión)
PP		39	41	
PPP		41	51	
eSKS		46	11	
iS		47	16	
PS		47	50	
SS		54	00	
LQ	00	01	50	
LR		07	20	D = 11.050 kms. = 99° 5

TOLEDO

eP	23	35	51	
ePP		39	57	
ePPP		41	55	
iSKS		46	31	
iS		47	38	
iPS		48	59	
iPPS		50	05	
eSS		54	15	
eSSS		57	55	
L	00	04	15	
L		07	45	
M		15	15	D = 11.045 kms. = 99° 4

394.—SISMO DE 14 DE DICIEMBRE DE 1959

Probablemente onda PKKP del sismo precedente.

TOLEDO

e(P)	23h	48m	55s	

395*.—SISMO DE 15 DE DICIEMBRE DE 1959

Probablemente de origen artificial (Toledo).

TOLEDO

ePg	16h	39m	33s	
eSg		39	43	
M		40	02	
F		41	30	D = 88 kms. = 0° 8

396.—SISMO DE 18 DE DICIEMBRE DE 1959

H = 16h 24m 50s
Mag: 6 1/2 (Pasadena)
53° N., 168° 1/2 W. (U. S. C. G. S.)
Islas de los Zorros, Aleutianas.

ALICANTE

P	16h	37m	44s	
PP		41	13	
S		48	27	
L	17	07	02	
Mo		15	54	
F		35	—	D = 9.800 kms. = 88° 2

ALMERIA

P	16	37	53	D = 10.850 kms. = 97° 5 (compresión)

TOLEDO

iP	16	37	37	(compresión)
L	17	13	30	
M		19	30	

397.—SISMO DE 21 DE DICIEMBRE DE 1959

H = 11h 19m 13s
Mag: 6 1/2 - 6 3/4 (Pasadena)
13° 1/2 N., 52° E. (B. C. I. S.)
Golfo de Adén.

ALICANTE

eP	11h	28m	50s	
PP		30	53	
eS		36	34	
ScS		38	36	
SS		40	13	
SSS		42	12	
L		45	51	
Mo		52	22	
F	12	40	—	D = 6.100 kms. = 54° 9

ALMERIA

(P)	11	28	40	
i		29	47	
eS		36	16	
L		45	—	D = 5.950 kms. = 53° 5

TOLEDO

e(P)	11h	28m	50s	
ePcP		29	50	
eS		36	35	
e		37	41	
eSS		40	20	
L		41	50	
M		50	20	
F	13	00	—	D = 6.245 kms. = 56° 2

398.—SISMO DE 23 DE DICIEMBRE DE 1959

H = 09h 29m 02s

37° 8 N., 14° 7 E. h = 100 kms.

Costa N. de Sicilia. (B. C. I. S.)

Sentido en la mayor parte de Sicilia, en particular en Palermo, Catania y Syracuse, así como en Calabria. Ligeros daños en varias localidades sicilianas (prensa). F. VII en Acireale, Militello, Mineo (Catania); G. VI en Giane, Ramacca, Riposto (Catania), Farla Milelli (Siracusa), Bisacquino (Palermo), Scicli Chiaramonte Gulfi, Modica (Ragusa), Siculiana (Agrigento), etc., Roma.

ALICANTE

P	09h	31m	40s	
(S)		33	47	
L		34	47	
Mo		36	06	
F		50	—	D = 1.250 kms. = 11° 2

ALMERIA

iP	09	32	13	
PP		32	27	
(S)		34	43	D = 1.500 kms. = 13° 5

TOLEDO

eP	09	32	28	
ePP		32	37	

399.—SISMO DE 25 DE DICIEMBRE DE 1959

H = 10h 18m 47s

Mag: 6 1/2 - 6 3/4 (Pasadena)

25° 1/2 S., 67° W. h = 100 kms. ap.

Región frontera Chile-Argentina. (U. S. C. G. S. y B. C. I. S.)

Sentido en Antofagasta.

TOLEDO

eP	10h	31m	35s	
e		32	05	

400.—SISMO DE 26 DE DICIEMBRE DE 1959

H = 18h 19m 10s

Mag: 6 1/4 (Pasadena)

59° 1/2 N., 151° 1/2 W. (U. S. C. G. S.)

Peninsula de Kenai, Alaska.

TOLEDO

eP	18h	31m	06s	
ePP		33	58	D = 8.390 kms. = 75° 5

401.—SISMO DE 27 DE DICIEMBRE DE 1959

H = 12h 39m 09s

Mag: 6 (Tacubaya)

28° S., 63° W. h = 650 kms.

Santiago del Estero, Argentina. (U. S. C. G. S.)

TOLEDO

iP	12h	50m	57s	(dilatación)
ePP		52	44	

402.—SISMO DE 27 DE DICIEMBRE DE 1959

H = 15h 52m 55s

Mag: 6 3/4 - 7 (Pasadena)

56° N., 162° 1/2 E. (U. S. C. G. S.)

Cerca de la costa E. de Kamtchatka.

ALICANTE

iP	16h	05m	33s	
PP		08	52	
eS		16	02	
SS		21	37	
L		33	39	
Mo		42	24	
F		15	—	D = 9.450 kms. = 85°

ALMERIA

iP	16	05	40	
eS		16	01	
PS		16	34	
L		33	—	D = 9.550 kms. = 86°

TOLEDO

iP	16	05	28	(compresión)
ePP		08	43	
eS		15	54	
e		19	52	
eSS		21	37	
L		26	20	D = 9.450 kms. = 85° 1

403.—SISMO DE 28 DE DICIEMBRE DE 1959

H = 07h 20m 32s

Mag: 6 1/2 (Pasadena)

52° 1/2 N., 160° E. (U. S. C. G. S.)

Cerca de la costa E. de Kamtchatka.

ALICANTE

eP	07h	33m	24s	
S		44	05	
L	08	02	32	
Mo		11	24	
F		51	—	D = 9.750 kms. = 87° 7

ALMERIA

L	08^h	00^m	40^s	D = 3.760 kms. = 87° 5

TOLEDO

eP	07	33	21	
iS		43	51	
iPS		44	21	
eSS		45	51	
L	08	04	20	
M		17	20	
F	09	40	—	D = 9.555 kms. = 86°

404.—SISMO DE 28 DE DICIEMBRE DE 1959

H = 10^h 03^m 08^s

22° 1/2 S., 67° 1/2 W. h = 10 kms. ap.

Frontera Chile. Bolivia. (U. S. C. G. S.)

Sentido en Antofagasta.

TOLEDO

iP	10^h	15^m	47^s	(compresión)
ipP		16	13	

405.—SISMO DE 28 DE DICIEMBRE DE 1959

H = 13^h 29^m 15^s

18° S., 170° E. (U. S. C. G. S.)

Nuevas Hébridas.

TOLEDO

L	13^h	57^m	24^s	
M	14	00	24	

406.—SISMO DE 31 DE DICIEMBRE DE 1959

H = 20^h 52^m 57^s

Mag: 5 3/4 (Kew)

37° 9 N., 25° 2 W. (B. C. I. S.)

Azores.

Sentido fuertemente en las Azores, en la isla San Miguel (G. VI en Aqua Retorta), Ribeira Quente Faial de Terra, G. IV-V en Ribeira Grande, G. III en Punta Delgada.

ALICANTE

P	20^h	57^m	24^s	
PPP		57	41	
S	21	00	57	
L		02	40	
Mo		05	11	
F		15	—	D = 2.150 kms. = 19° 3

ALMERIA

(P)	20	57	04	
iPP		57	20	
L		02	10	D = 2.000 kms. = 18°
S	21	00	29	

TOLEDO

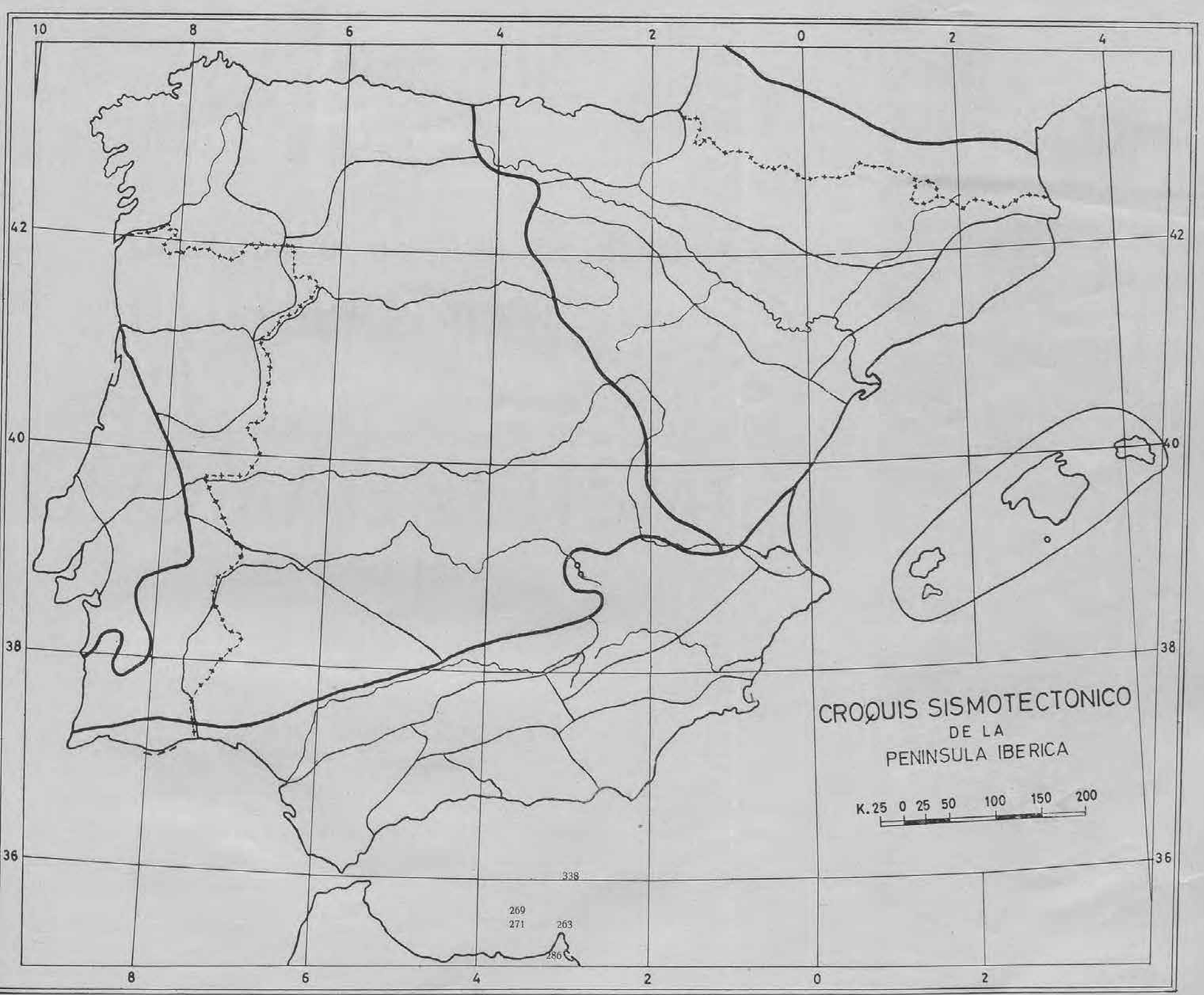
eP	20	56	48	
iS		58	56	
L	21	00	30	
M		01	05	
F		30	—	D = 1.300 kms. = 11° 7

NOTA.—Los números con asteriscos corresponden a sismos próximos.



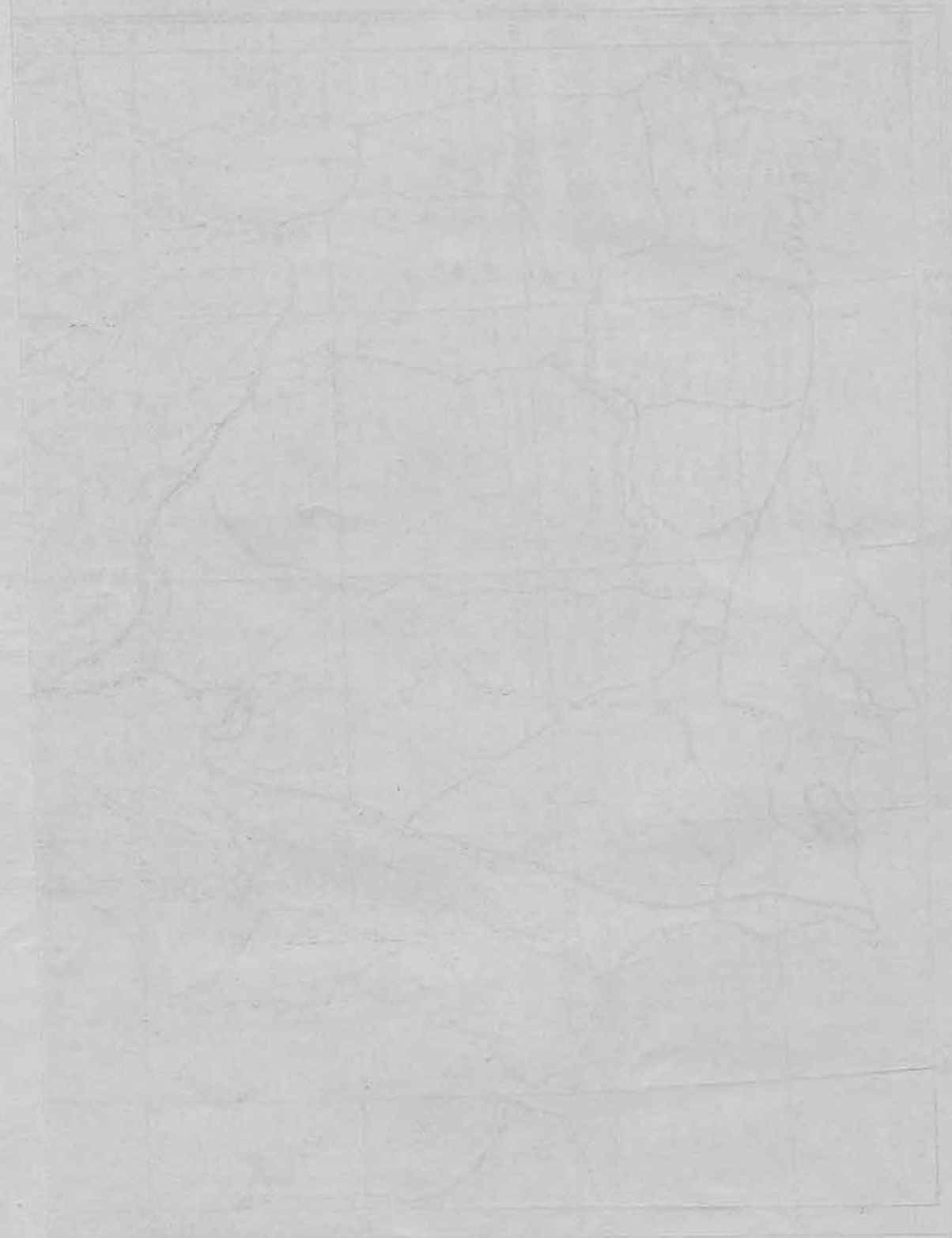
Epicent

INSTITUTO GEOGRAFICO - BIBLIOTECA



Epicentros de sismos ibéricos localizados durante el **segundo semestre de 1959.** Los números indican el orden con el cual figuran en el Boletín. Para sus coordenadas consultar el texto.

(Laboratorio Central de Sismología. Madrid.)



MEMORIAS DEL INSTITUTO GEOGRAFICO Y CATASTRAL

Tomo XXXII

IV

Observatorio Geofísico de Moca

Fernando Poo (ESPAÑA)

GEOMAGNETISMO

AÑO 1960

ANGEL GARCIA COGOLLOR
INGENIERO GEOGRAFO

MADRID 1962

MEMORIAS DEL INSTITUTO GEOGRÁFICO Y CATASTRAL

Tomo XXXII

IV

Observatorio Geofísico de Moca

Fernando Poo (ESPAÑA)

GEOMAGNETISMO

AÑO 1960

ANGEL GARCIA COSCOLLOR
INGENIERO GEOGRAFO

MADRID 1962



INSTITUTO
GEOGRAFICO
Y CATASTRAL

Observatorio Geofísico de Moca

Fernando Poo (ESPAÑA)

GEOMAGNETISMO

AÑO 1960

ANGEL GARCIA COGOLLOR
INGENIERO GEOGRAFO

MADRID 1962

Depósito legal M-10141-1961

Talleres del Instituto Geográfico y Catastral

OBSERVATORIO GEOFISICO DE MOCA

Fernando Poo

Coordenadas Geográficas:	L =	3°20'33",9 Norte
	M =	8°39'37",4 Este Gr.
	Altitud =	1.349,4 m (Pilar I)
Coordenadas Geomagnéticas:	Φ =	5°43'13" Norte
	Λ =	78°33'18" Este
	Ψ =	−11°17',3

INTRODUCCION

La descripción del Observatorio Geofísico de Moca ha sido objeto de la primera parte del Anuario de Geomagnetismo del mismo para 1958-1959.

Durante el año 1960, han continuado las obras de mejora y ampliación de instalaciones, construcción de un pabellón para sismógrafos, viviendas para empleados y pabellón para grupos electrógenos de carga de baterías y de iluminación. Estas obras se encuentran muy adelantadas al terminar el año 1960.

Ha continuado la labor de preservación de aparatos de la humedad. En la sala de variómetros se cambia diariamente del orden de dos a tres kilogramos de silicagel. En el interior de los variómetros de H y D se introduce silicagel seco una vez al mes. Todos los aparatos de Absolutas o accesorios de los mismos que puedan ser dañados por la humedad, se conservan en recipientes cerrados, con el mismo producto secador. Cuidados semejantes se tienen con otros aparatos propiedad del Observatorio, como cronómetros, relojes de péndulo, teodolitos, etc.

El corte ("chapeo") de la vegetación continúa exigiendo un trabajo constante para mantener en estado aceptable solares y caminos. Para las nuevas edificaciones se ha derribado un gran número de árboles y se han abierto solares y caminos.

Una mejora notable para la zona de Moca, ha sido la terminación del embetunado de la carretera de acceso.

Durante el año 1960 se ha hecho un número de observaciones para determinación de bases de los variómetros, superior al de las hechas en 1959. Se han llevado a cabo diversos ajustes en los variómetros para obtener magnetogramas más nítidos y seguros que los del año anterior.

Los resultados de Geomagnetismo que se publican son:

- Valores medios de los elementos magnéticos (mensuales y anual, todos los días, días de calma y perturbados).
- Valores medios horarios, máximos y mínimos, amplitudes, valores medios horarios mensuales de todos los días, de los días de calma y de los perturbados, de los tres elementos H, D y Z. Los valores medios horarios, centrados en las medias horas.
- Variaciones diurnas por medias horarias para los tres elementos H, D y Z, y para todos los días, días de calma y perturbados, con promedios para el año y estaciones de Lloyd.
- Variaciones diurnas medias de todos los días, calma y perturbados de X, Y, F e I. Estos valores calculados a partir de las variaciones medias anuales de H, D y Z.
- Números de carácter diario C. Frecuencias y números de carácter C, medias mensuales estacionales y anual. No se publican índices K.
- Resumen de la lista de variaciones rápidas mensualmente comunicadas al Comité correspondiente del I. A. G. A.

- Lista de temperaturas medias diarias correspondientes a cada magnetograma, empleadas en la corrección de temperatura .
- Curvas de variaciones diurnas, medias horarias para cada elemento H, D y Z, para estaciones de Lloyd y año. Las curvas correspondientes a todos los días, los de calma y perturbados, superpuestas en el mismo gráfico a diferencia del año pasado, que se publicaron separadas.
- Reproducción de magnetogramas.

El Observatorio ha contribuído al acopio internacional de datos con el envío a De Bilt de los números de carácter C y de la lista de variaciones rápidas al Comité correspondiente en Tortosa.

Además se han proporcionado datos numéricos y gráficos y reproducción de magnetogramas cuando han sido solicitados y respondido con regularidad a cuestionarios establecidos por los Comités del I. A. G. A.

Los magnetogramas del Observatorio y datos numéricos correspondientes, han sido utilizados por una misión portuguesa encargada del levantamiento magnético de las islas de Sao Tome y Príncipe.

Las horas empleadas en el Observatorio son de T. U.

P E R S O N A L

En el mes de diciembre se ha incorporado al equipo del Observatorio, con carácter permanente, un auxiliar europeo, lo que mejora notablemente las condiciones de trabajo en el mismo al permitir una repartición de tareas entre el jefe y él.

Ha continuado el adiestramiento de los auxiliares indígenas. De ellos, el auxiliar primero ha alcanzado un nivel de eficiencia muy satisfactorio Han contribuido a la formación del Anuario:

Auxiliar europeo: D. Virgilio Cabezón Martín .

Auxiliar primero indígena: D. Pedro Malest Ballovera.

además de un calculador, D. Modesto Balboa que se ocupa de la medición de ordenadas medias, etc.

DETERMINACION DE VALORES ABSOLUTOS

Se dispone del equipo siguiente, descrito en el Anuario 1958-59:

Equipo fundamental Askania: Base, caja de declinación, caja de oscilaciones, barras de desviaciones, inductor terrestre y galvanómetro filar. Ultimamente se ha añadido un galvanómetro con par astático suspendido, aún no puesto a punto.

Magnetométros de torsión QHM: Números 394 y 395. La observación se realiza sobre la base del equipo Askania. Ha sido preparada una base de teodolito Ertel y está en preparación otra Salmoiraghi, que permiten apreciaciones en el limbo del orden de los cinco segundos.

Balanzas magneticas BMZ: Se dispone de los números 163 y 164.

Otros aparatos: Cronómetros, receptor pare señales horarias, etc.

Determinaciones de H: Se han necho 57 determinaciones con QHM 395 y 15 con QHM 394 siguiendo la pauta descrita en el Anuario 1958-59. Todas ellas empleadas en la obtención de los valores de base de los magnetogramas.

Los resultados obtenidos con QHM se han comparado con los deducidos por el método de oscilaciones y desviaciones hecho con el teodolito magnético Askania. Los resultados se han llevado a un gráfico y de él deducido una corrección media para los valores QHM.

El cálculo de H por oscilaciones y desviaciones se hace mediante la fórmula

$$H = C \frac{1}{T \sqrt{\operatorname{sen} u}} \quad \text{en la que} \quad C^2 = \frac{\pi^2 k . 2\phi}{r^3}$$

se obtuvo en Toledo, con lo que los valores de Moca están relacionados con los de la Península.

El gráfico de correcciones medias para el QHM 395, está dibujado en el cuadro que contiene la curva de bases del variómetro H-134.

En este gráfico se observa una interrupción entre final de abril y final de mayo. En estas fechas se notaron irregularidades en el comportamiento de los dos QHM. Se dedujo, después de numerosas observaciones, que eran debidas a un excesivo desecamiento de los aparatos, que, en las fechas citadas, comenzaron a ser guardados bajo campana de cristal con una notable cantidad de silicagel, siempre con objeto de impedir que fuesen deteriorados por la temible humedad del país.

No fué posible deducir una ley que relacionase la variación de los valores dados por el QHM con el grado de humedad, por no disponer de aparato de medición de ésta suficientemente preciso y, sobre todo, por no contar con un recinto en el que se pudiesen mantener distintos grados de humedad durante el tiempo necesario para que el QHM alcanzase estabilidad y realizar las observaciones. En líneas generales se sabía que en el pabellón de absolutas la humedad era del orden de 85 a 90 por 100 y dentro de la campana disminuía rápidamente hasta 30 por 100.

Los hechos observados se ordenaron así:

- colocado un QHM bajo campana de vidrio, sufría los efectos desecadores del silicagel. Los valores obtenidos para H, después de permanencia del aparato bajo la campana, resultaban *menores* de lo normal.
- al ser extraído el aparato de la campana para realizar observaciones, la impregnación de humedad debía ser muy rápida, dado el alto grado de sequedad alcanzado. Los resultados sucesivos obtenidos, reducidos a un mismo instante, eran anormalmente desiguales y en el sentido de ser cada vez *mayores*.
- cuando los aparatos comenzaron a permanecer a la humedad ambiente, los resultados volvieron a ser normales y la dispersión también.

Todo sucedió como si la fibra de cuarzo, al impregnarse de humedad, experimentase una variación de su torsión en el sentido de disminuir su valor, lo que, a igualdad de condiciones, producía desviaciones menores y, por consiguiente, valores de H más grandes.

Esto coincide con el estudio hecho en Wingst sobre la influencia de la humedad en los QHM (Der Einfluss der Luftfuchtigkeit auf erdmagnetische Messungen mit dem QHM, von O.Meyer und D. Voppel), en el que se deduce que una fórmula completa para este aparato sería:

$$\log H = \log C - \log \operatorname{sen} \phi + c_1 (t - t_o) - c_2 (f - f_o) - c_3 H \cos \phi$$

en la cual c_2 = coeficiente de humedad, f_o = humedad inicial, f = humedad del momento de la observación.

Como consecuencia, los QHM se guardan actualmente en las condiciones de humedad ambiente, lo que produce inquietudes sobre su conservación sin por ello tener seguridad de que la ligera variación del grado de humedad que se experimenta en Moca entre la época de lluvias y la seca, no produzca influencia en los resultados de las observaciones.

Para evitar en lo posible los errores que por esta razón se produzcan, se hacen las comparaciones con el equipo Askania. El estudio de las correcciones obtenidas no permite deducir todavía consecuencias claras.

Observaciones con equipo Askania: Se han realizado 16 determinaciones de H por el método descrito en el Anuario 1958-59. Las comparaciones con los valores QHM presentan una dispersión normal (Gráfico citado).

Determinaciones de D: Han sido hechas 35 determinaciones con declinómetro Askania. Se utilizan en las observaciones dos agujas de momento magnético diferente. Las observaciones se ajustan a la pauta descrita en el Anuario citado.

La relación de momentos de las agujas es de 2,37. El coeficiente de torsión del orden de 0,73.

También se han hecho 50 determinaciones de D con QHM. Para el cálculo de la desviación a se utiliza la fórmula

$$\operatorname{tg} a = \frac{\operatorname{sen} a_1 - \operatorname{sen} a_2}{2 - (\cos a_1 + \cos a_2)}$$

simplificada así:

$$a' = \frac{a'_1 - a'_2}{2} \times \frac{\cos \phi}{1 - \cos \phi}$$

en la cual a_1 = desviación producida por torsión $+2\pi$, a_2 ídem por -2π y ϕ valor medio de la desviación.

Los valores QHM han sido reducidos a los obtenidos con declinómetro, gráficamente (Moca, Geomagnetismo, 1958-59).

Determinaciones de Z y de I: Se han hecho 67 determinaciones con BMZ (163 y 164).

EL BMZ 164 sufrió un ligero golpe que hizo salir la balanza de sus apoyos. El resultado fué que la constante varió en 42 gammas. Aparte de este cambio, el aparato continuó funcionando normalmente.

Para reducción a valores absolutos, se han comparado las medidas de Z con BMZ con las calculadas a partir de valores de I obtenidos con inductor terrestre.

El número de determinaciones de I ha sido de 12. Los resultados de la comparación se han llevado a un gráfico del que se ha deducido la corrección para cada QHM.

Los resultados numéricos de la comparación son en gammas:

BMZ 164: - 8,8 - 9,7 - 5,9 - 6,4 - 4,6 - 5,1 - 7,1 - 8,5 - 7,5 - 7,6
BMZ 163: - 13,2 - 15,0 - 10,1 - 16,4 .

Es decir, dispersiones normales, dadas las características de los aparatos.

VARIOMETROS - EFECTO DE TEMPERATURA

Ha funcionado sin interrupción el equipo de variómetros La Cour con registrador de marcha 15 milímetros/h, descrito en el Anuario 1958-59.

A lo largo del año se han realizado ajustes en los variómetros para conseguir aumento en la nitidez de las curvas y cambios en el valor de base. Los saltos en los valores de estas líneas, producidos por los ajustes, se aprecian claramente en el gráfico de bases de los variómetros.

Efecto de temperatura: Los variómetros H - 134 y Z - 146 tienen un dispositivo óptico (lámina bimetálica y prisma) para compensación del efecto de temperatura.

Para la obtención de los valores publicados en el Anuario 1958-59, se admitió que la compensación era suficiente o que el efecto residual de temperatura resultaba hasta cierto punto compensado en la sucesiva determinación de valores de base a lo largo del año.

Efectivamente, si la variación de temperatura en el interior de la sala de variómetros es muy regular, de la determinación de valores de base se deducirá una curva de variación de esta línea en la que estará incluida la producida por la temperatura, y los valores que se obtengan para el elemento magnético H o Z, a partir de dicha base, resultarán corregidos del efecto de temperatura.

En cuanto se dispuso de un número suficiente de datos se realizó un estudio más detenido de la cuestión y se llegó a las siguientes conclusiones:

- La variación de la temperatura en la sala de variómetros, a lo largo del año, no es regu-

lar. El aislamiento térmico reduce la amplitud diurna, que en el exterior llega a ser de diez grados, a uno en el interior. Pero, en cambio, la variación de la temperatura media interior, de un día para otro, puede ser considerable e irregular debido a las condiciones especiales del clima de Moca, en donde una serie de días con cielo cubierto, lluvias y nieblas que mantienen una temperatura media constante, es seguida por dos o tres de insolación intensa que aumenta bruscamente la temperatura o, a la inversa, temperaturas relativamente altas son rápidamente disminuídas por ciertos días de lluvias continuas.

- Estas variaciones, en casos extremos, pueden llegar a ser de 1° y hasta de 1,5°.

Para ilustrar esto se publica la lista de temperaturas medias diarias del variómetro de H (que realmente son las temperaturas medias que corresponden a los magnetogramas), y un cuadro que representa gráficamente esta lista.

Al examinar el gráfico se ve que es posible trazar una curva media de variación de temperatura. Puede admitirse que, si existe un efecto residual de temperatura, es esta variación media la que resultará compensada por las sucesivas determinaciones de base de las que también se deduce una curva media de bases. Ciertas temperaturas diarias se apartan de la curva media ideal hasta 1,5°, las bases que se atribuyan a estos días pueden tener un error igual al producto de la diferencia de temperatura por el efecto residual, en gammas por grado.

Faltaba por saber cual era el efecto residual de temperatura y para obtenerlo se hizo lo siguiente, para H y Z:

- Agrupación de valores de base de forma que correspondiesen a tramos de las curvas de base de pendiente uniforme.
- Reducción de los valores de cada grupo por eliminación de la variación debida a esta pendiente.
- Dibujo de un gráfico por cada grupo para hacer corresponder temperaturas y valores de base. Trazado de una línea de ajuste y deducción de su pendiente, es decir, del efecto de temperatura.
- Obtención de un valor medio ponderado. Los pesos iguales al número de determinaciones de cada grupo.

Los resultados son:

Para el variómetro H – 134 : 3,3 gammas por grado
Para el variómetro Z – 146 : 2,2 " " "

Las temperaturas se dedujeron de la curva de temperatura de H, de la que se halló un valor de escala y de base.

Uno de los gráficos empleados en la deducción de este valor de escala, es el señalado en la página siguiente:

Los gráficos A y B representan el efecto de temperatura (página 12 y 13).

Compensación del efecto de temperatura: Los efectos residuales de temperatura son tales que el efecto de compensación del dispositivo de lámina bimetálica resulta insuficiente, es decir, los variómetros están subcompensados.

La magnitud del efecto residual es tal que debe ser tenido en cuenta en los cálculos o eliminado por reajuste del sistema óptico u otro procedimiento.

Para el *variómetro H – 134*, cuando se trata de los casos extremos de magnetogramas cuya temperatura media se aparte de la de la curva media en un grado o más, el error que se comete en la adopción de la base es de 3,3 gammas o más.

Dado el valor de escala de la curva de temperatura de H de 0,54/mm. (adoptado hasta el 20 de abril de 1960) y de 3,88 gammas/mm. correspondiente a la curva de H, el efecto compensador de la lámina bimetálica es de $\frac{3,88}{0,54} = 7,2$ gammas por grado. La compensación total se obtendría si el efec-

to del dispositivo fuese de 7,2 + 3,3 = 10,5 gammas por grado. La lámina bimetálica está colocada con toda su longitud libre, de modo que no es posible alargarla para obtener la compensación completa.

Por consiguiente, es necesario realizar una corrección en los cálculos. El procedimiento adoptado para el año 1960, es el siguiente:

Determinación de base:

- medición de la ordenada de H del instante de la observación.
- medición de la curva de temperatura.
- deducción de la temperatura del variómetro mediante base y escala. Diferencia entre la temperatura del instante y 18° que se adopta como origen.
- deducción de base a 18°, mediante la fórmula:

$$\text{base a } 18° = H - \Delta H \cdot E - \Delta t°_{18} \cdot 3{,}3$$

con H = valor observado, E = escala de H, $\Delta t°_{18}$ = = temperatura del instante, menos 18°.

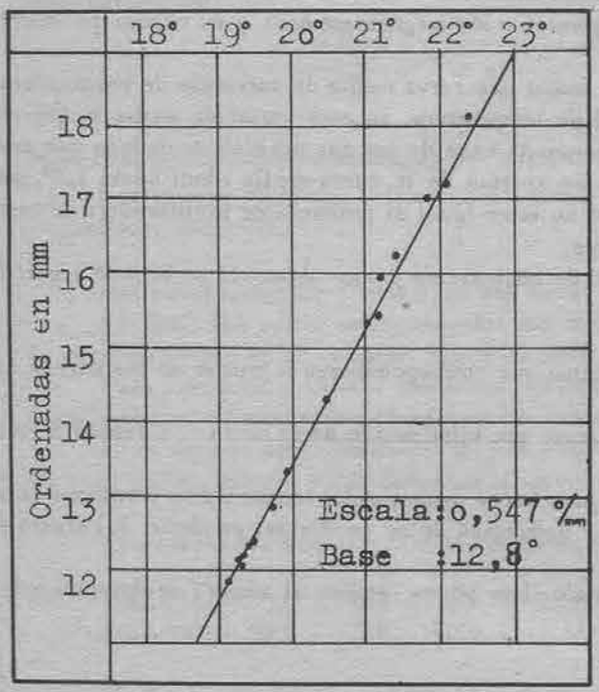
- trazado de un gráfico con una curva de ajuste. Esta curva proporciona los valores de base a 18° para cualquier día del año.

La fórmula que dá el valor de H para un instante cualquiera será:

$$H = \text{base a } 18° + \Delta H \text{ mm} \cdot E + \Delta t°_{18} \cdot 3{,}3$$

Con escala de t de 0,547 (a partir del 21 abril 60) y si se llama Δt^{mm}_{18} a la diferencia entre la ordenada de t del instante y la que corresponde a 18°, se tendrá:

$$H = \text{base a } 18° + \Delta H \text{ mm} \cdot E + \Delta t^{mm}_{18} \cdot 1{,}8$$



Valor de escala de la curva de temperatura del variómetro H - 134

Para la obtención de valores medios horarios, máximos, mínimos, etc, es decir, para el calculo de los datos de los magnetogramas que constituyen el grueso de lo que se publica en el Anuario, se ha adoptado una solución intermedia que consiste en obtener una base para cada magnetograma y que corresponde a la temperatura media leída en el mismo.

Las bases a 18° son las del gráfico y las temperaturas medias las de la lista de temperaturas del variómetro H – 134.

Los valores de base y escala de la curva de t son:

Hasta 20 abril 60 = Esc. = 0,54°/mm , base 13,5°
Desde 21 abril 60 = Esc. = 0,547°/mm , base 12,8°

Para el *variómetro Z - 146*, se tiene: Escala curva de temperatura = 1,43°/mm. Con el valor de escala de Z = 1,69 gammas/mm. el efecto compensador de la lámina bimetálica es:

$$\frac{1{,}69}{1{,}43} = 1{,}2$$

El efecto total de temperatura es de 1,2 + 2,2 = 3,4 gammas/grado; la longitud de la lámina es de 4 mm. Para obtener la compensación completa debe alargarse hasta:

$$L = \frac{4 \cdot 3{,}4}{1{,}2} = 11{,}3 \text{ mm}$$

lo cual es posible.

No obstante y para el año 1960, se adopta la misma solución que para H:

- Obtención de una base a 18 grados:

$$\text{base a } 18° = Z - \Delta Z \text{ mm} \cdot E - \Delta t^{\circ}_{18} \cdot 2{,}2$$

- Deducción de una base para cada magnetograma correspondiente a una temperatura media (la misma que para H).

Y deducción de un valor instantáneo de Z, si es necesario, con la fórmula:

$$Z = \text{base a } 18° + \Delta Z \text{ mm} \cdot E + \Delta t^{\circ}_{18} \cdot 2{,}2$$

En los casos extremos, las diferencias en cada magnetograma entre temperaturas máximas y mínimas y la media adoptada es del orden de 1/2°. En dichos casos el error cometido en la base será:

Para H = 1,6 gammas
Para Z = 1,1 gammas

LINEAS DE BASE

Ya ha quedado explicado que se obtienen curvas de bases de H y Z reducidas a 18°. Son las representadas en el gráfico.

En el mismo, aparece también la curva de bases del variómetro D – 125.

No se publica lista numérica de bases deducidas, adoptadas y discrepancias, porque se estima que la escala de los gráficos (un mm. = un día; 1 mm. = 1 gamma, ó, 0,1') permite una deducción inmediata de dichos valores.

VALORES DE ESCALA

Se han deducido por medio de bobinas de Helmholtz – Gaugin colocadas permanentemente sobre los variómetros.

Se hacen, normalmente, cuatro determinaciones mensuales para cada variómetro.

La lista de escalas que se publica contiene los valores medios mensuales, utilizados en todos los cálculos.

LOS NUMEROS DE CARACTER C

Durante el año 1960 se ha tratado de sistematizar en lo posible la asignación de números de carácter C a cada día.

Se ha llegado a un método subjetivo – objetivo, de la siguiente forma:

- Con los datos del Anuario 1958 - 59, se han trazado curvas de variación media diurna de cada componente y para cada estación Lloyd, en la misma escala que los magnetogramas.
- De todas ellas, se han utilizado preferentemente las de H por ser más expresivas que las de Z y mucho más que las de D.
- Trazadas en papel transparente, se han superpuesto a los magnetogramas de forma que las bases se mantuviesen paralelas, que las horas coincidiesen y que la separación entre la curva media y la del magnetograma fuese sensiblemente igual a un lado y a otro.
- La separación máxima entre curvas se ha anotado como dato numérico para utilizar en la asignación del número C.

A su vez, y para establecer la escala que relacione separaciones y números C, se han hecho diferentes consideraciones:

- Se ha partido de un criterio que consiste en utilizar como base el valor de la amplitud media máxima de los días de calma.
- Se ha asignado el valor 0 a los casos en que la separación entre curvas no sobrepase esta amplitud. Valor 1 a las separaciones comprendidas entre dicha amplitud y tres veces su valor. Valor 2 a las superiores.

Con este criterio se han obtenido números de carácter C que se han comparado sistemáticamente con los Ci publicados en los boletines del I.A.G.A. de que se disponía. De esta comparación ha resultado que los límites resultaban muy elevados.

Y por último, se han adaptado estos límites a valores que proporcionasen en conjunto valores parecidos a los Ci.

El cuadro utilizado en la clasificación de los días es el siguiente:

ΔHmm	0	1	2	3	4	5	6	7	8	9	10	11	12	13
	C = 0						C = 1						C = 2	
ΔHγ	0	3,9	7,8	11,6	15,5	19,4	23,2	27,1	31,0	34,9	38,8	42,7	46,5	50,0

En él las zonas rayadas son las de incertidumbre.

La asignación rígida de números C mediante el cuadro, se modera con consideraciones más subjetivas entre las que se entresacan las siguientes:

- Amplitudes en el límite de la calificación, pero de frecuencia elevada, aumentan el valor de C.
- Amplitudes ídem, ídem, de frecuencia menor, pero extendidas a lo largo de una fracción notable del día, ídem ídem.

CALCULO DE COMPONENTES NO TABULADAS

Se publica una tabla con los valores medios mensuales de X, Y, I y F.

Se puede obtener el valor correspondiente a una hora cualquiera por suma del valor medio mensual con el Δ X, Δ Y, Δ I, Δ F, calculado mediante las fórmulas:

$$\Delta X = \cos D \cdot \Delta H - H \cdot \operatorname{sen} D \cdot \operatorname{sen} 1' \, \Delta D$$
$$\Delta Y = \operatorname{sen} D \cdot \Delta H + H \cdot \cos D \cdot \operatorname{sen} 1' \cdot \Delta D$$
$$\Delta F = \cos I \cdot \Delta H + \operatorname{sen} I \cdot \Delta Z$$
$$\Delta I = Z \frac{\cos I}{F \operatorname{sen} 1'} - H \frac{\operatorname{sen} I}{F \operatorname{sen} 1'}$$

Los coeficiente de las fórmulas son:

CUADRO DE COEFICIENTES PARA EL CALCULO DE X, Y, F y I.

MOCA (FERNANDO POO) 1960

Coeficiente de =		ΔH	ΔD	Δ Z
Fórmula de	Δ X	0,991	1,171	
"	Δ Y	0,131	8,856	
"	Δ F	0,961		0,278
"	Δ I	0,0300		0,1033

En la asignación de signos debe tenerse en cuenta el de la Declinación Oeste y el de la componente vertical Z que es negativo..

VALORES MEDIOS ANUALES DE LOS ELEMENTOS MAGNETICOS

Aunque solamente se dispone de los resultados de los años 1959 y 1960, se inserta a continuación un cuadro y un gráfico de los valores de estos elementos.

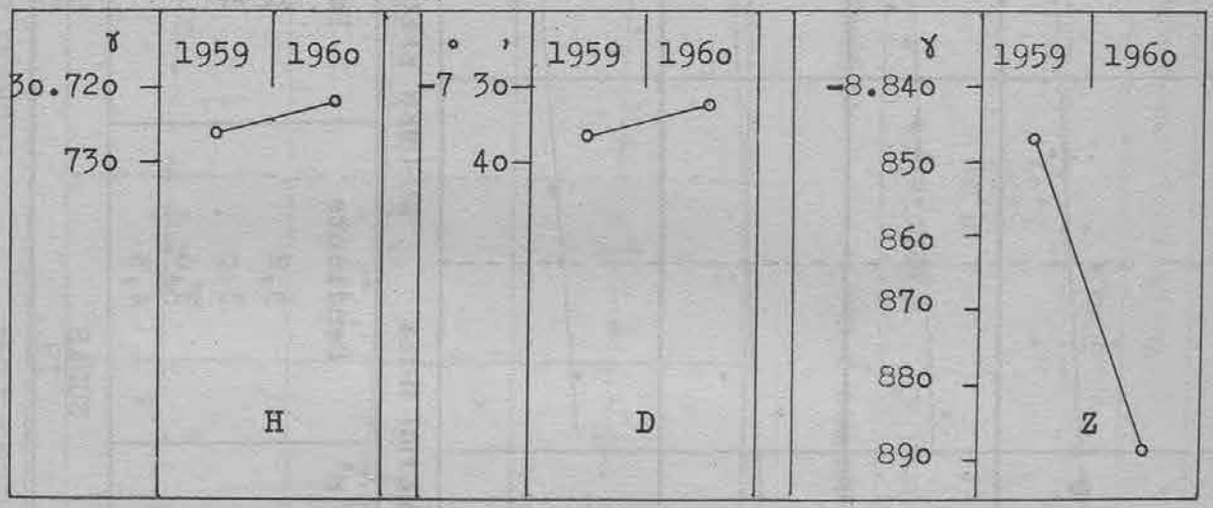
VALORES MEDIOS ANUALES DE LOS ELEMENTOS MAGNETICOS - 1959 - 1960

MOCA (FERNANDO POO)

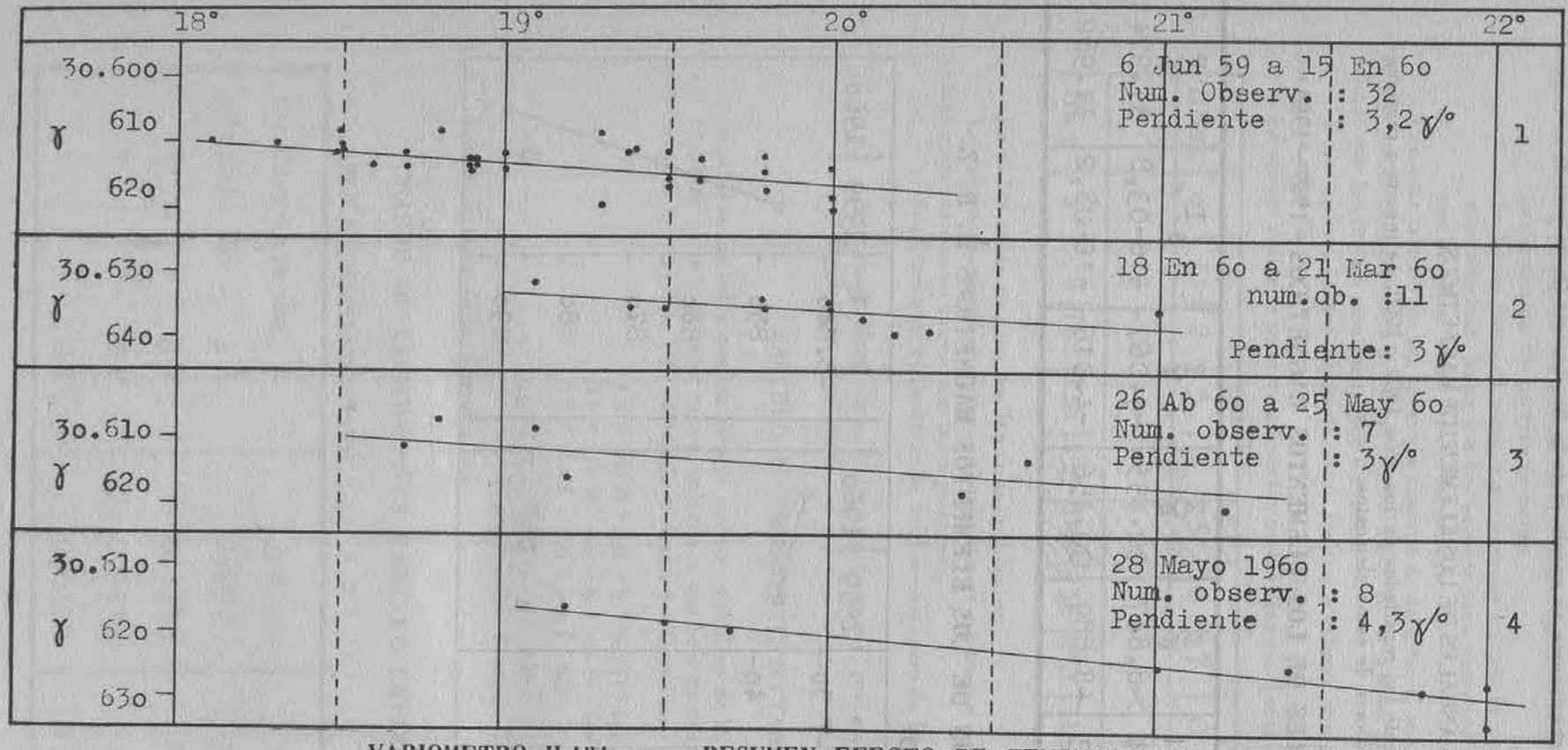
Año	H γ	D ° '	Z γ	X γ	Y γ	I ° '	F γ
1959	30.726	-7º-36,4	-8.847	30.455	-4.067	-16-03,8	31.974
1960	30.722	-7-32,3	-8.889	30.456	-4.016	-16-08,2	31.982

CURVAS DE VARIACION DE LOS ELEMENTOS MAGNETICOS H, D, Z.

MOCA (FERNANDO POO)



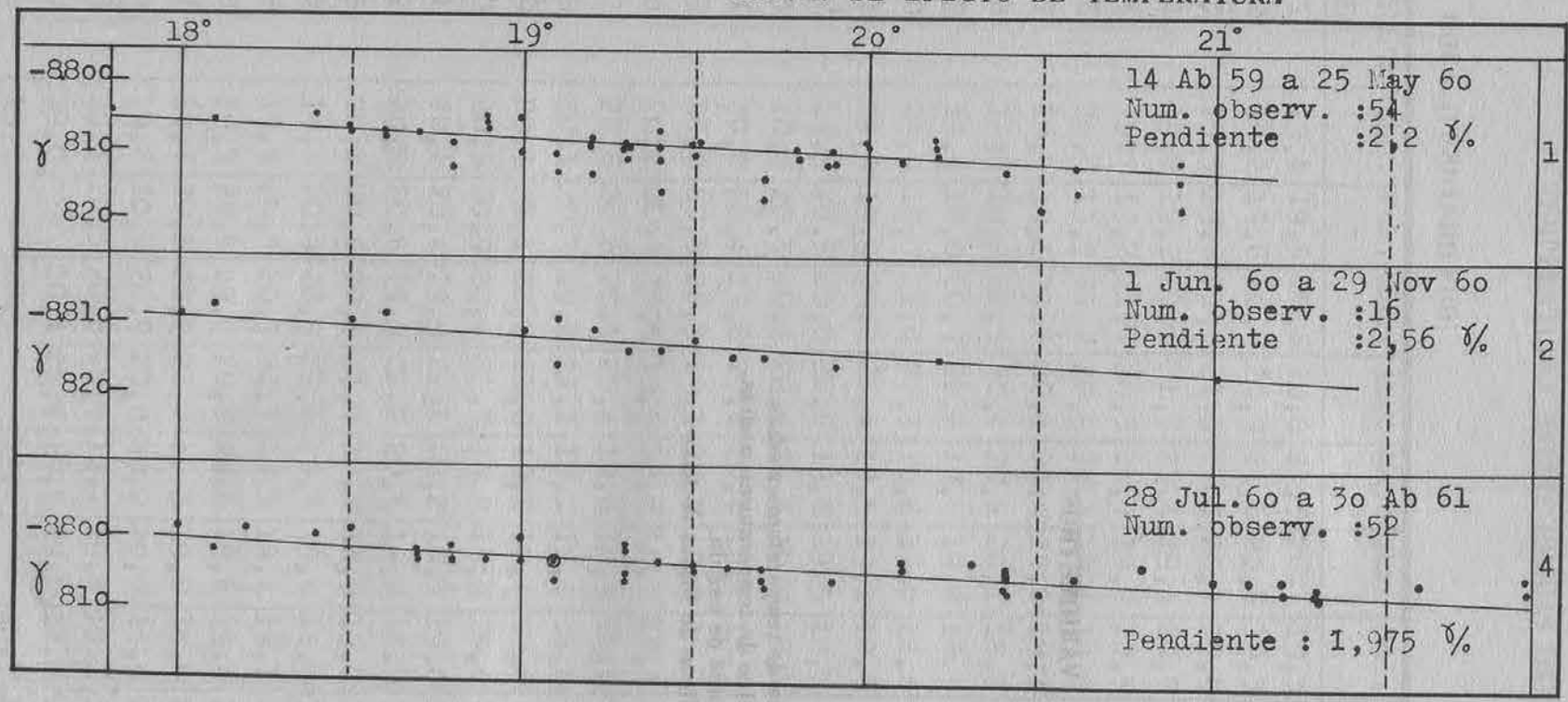
VARIOMETRO H-134 CURVAS DE EFECTO DE TEMPERATURA



VARIOMETRO H-134 RESUMEN EFECTO DE TEMPERATURA

Curva n°	Pendiente	Peso	Producto
1	3,2	32	1o2,4
2	3,o	11	33,o
3	3,o.	7	21,o
4	4,3	8	34,4
SUMAS		58	19o,8
Valor medio adoptado : 3,3 γ/°			

VARIOMETRO Z-146 **CURVAS DE EFECTO DE TEMPERATURA**



VARIOMETRO Z-146 **RESUMEN EFECTO TEMPERATURA**

Curva n°	Pendiente	Peso	Producto
1	2,25	54	121,6
2	2,56	16	4o,96
3	1,97	52	1o2,7o
SUMAS		122	265,26
Valor medio adoptado : 2,2 γ/oo			

VARIOMETROS

Lista de temperaturas medias.
Gráfico de temperaturas medias.
Valores de escala.
Gráficos de líneas de base.

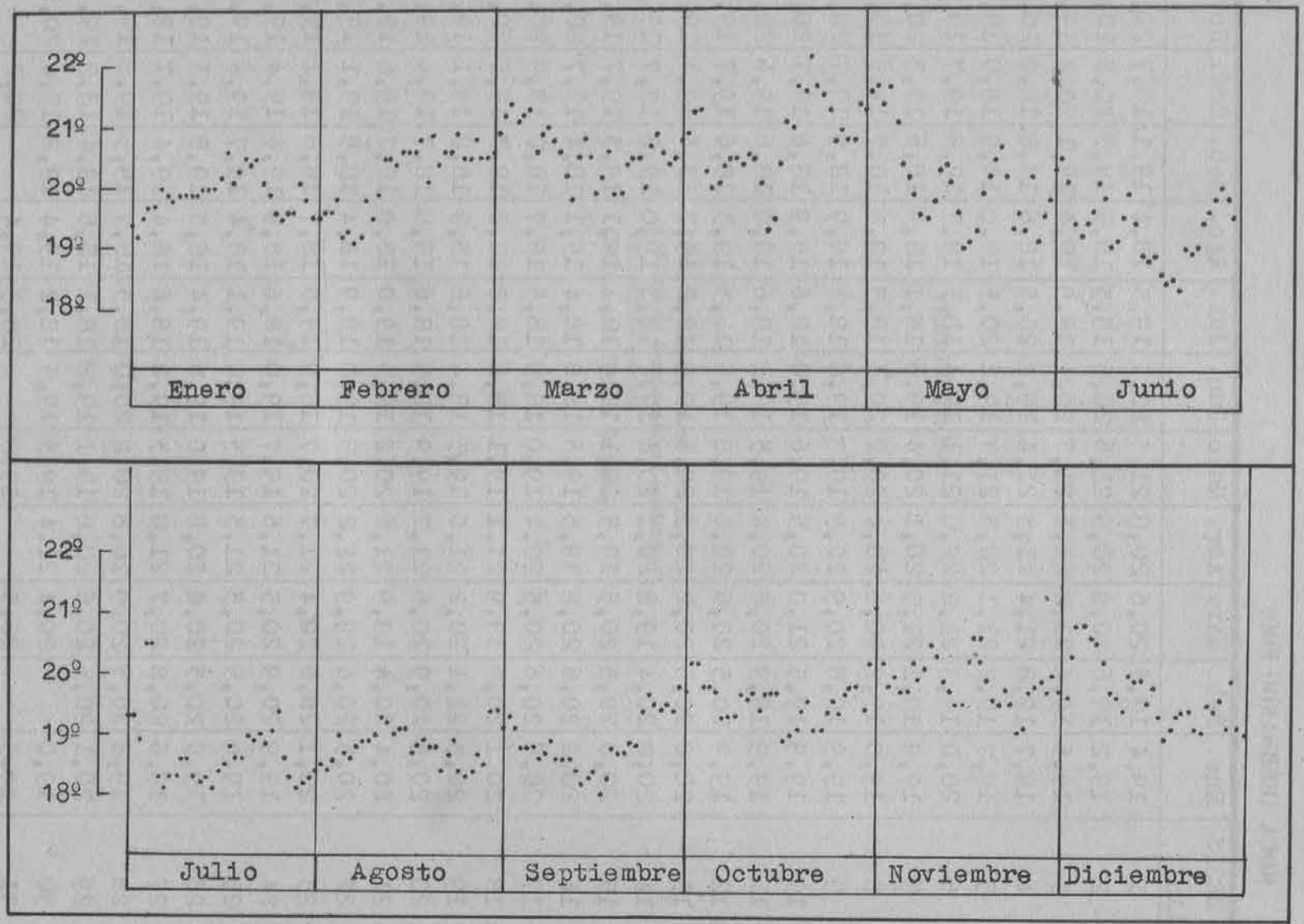
TEMPERATURAS MEDIAS DIARIAS DEL VARIOMETRO DE H-134

MOCA (FERNANDO POO) **1960**

MESES / DIAS	Ene.	Feb.	Mar.	Abr.	Mayo	Jun.	Jul.	Ago.	Sep.	Oct.	Nov.	Dic.
1	19,4	19,5	20,6	20,8	21,3	20,3	19,3	18,4	19,1	19,7	21,0	19,7
2	19,2	19,6	20,9	20,9	21,6	20,5	19,3	18,5	19,3	20,2	20,2	19,6
3	19,5	19,6	21,2	21,3	21,7	20,1	18,9	18,4	19,1	20,2	19,8	20,4
4	19,7	19,8	21,4	21,3	21,4	19,4	20,5	18,6	18,8	19,8	20,0	20,8
5	19,7	19,2	21,1	20,3	21,7	19,2	20,5	19,0	18,8	19,8	19,7	20,8
6	20,0	19,3	21,2	20,0	21,1	19,4	18,3	18,7	18,8	19,7	19,7	20,6
7	19,9	19,1	21,3	20,1	20,4	19,6	18,1	18,[illegible]	18,6	19,3	20,2	20,5
8	19,8	19,2	20,6	20,4	20,2	20,1	18,3	18,8	18,7	19,3	19,9	20,2
9	19,9	19,8	20,9	20,5	19,9	19,8	18,3	18,9	18,9	19,7	20,1	19,7
10	19,9	19,5	21,0	20,5	19,6	19,0	18,6	18,9	18,6	19,7	20,5	19,6
11	19,9	19,9	20,8	20,4	19,5	19,1	18,6	19,0	18,6	19,6	20,3	19,4
12	19,9	20,5	20,6	20,6	19,8	19,5	18,3	19,3	18,6	19,7	19,9	20,0
13	20,0	20,5	20,2	20,5	20,3	19,9	18,2	19,2	18,4	19,4	19,7	19,9
14	20,0	20,4	19,8	20,1	20,4	19,4	18,3	19,0	18,2	19,7	19,5	19,9
15	20,0	20,6	20,5	19,3	20,1	18,9	18,1	19,1	18,3	19,7	19,5	19,5
16	20,2	20,6	20,8	19,5	19,6	18,8	18,4	19,1	18,4	19,7	20,2	19,8
17	20,6	20,6	20,5	20,4	19,0	18,9	18,5	18,7	18,0	18,9	20,6	19,3
18	20,1	20,8	19,9	21,1	19,1	18,6	18,8	18,8	18,3	19,0	20,2	18,9
19	20,3	21,1	20,2	21,0	19,3	18,4	18,6	18,9	18,8	19,1	19,9	19,1
20	20,5	20,9	20,6	21,7	19,9	18,5	18,6	18,8	18,7	19,4	19,6	19,3
21	20,4	20,4	19,9	21,6	20,2	18,3	19,0	18,8	18,7	19,6	19,5	19,4
22	20,5	20,6	19,9	22,2	20,5	19,0	18,9	18,4	18,9	19,1	19,8	19,4
23	20,1	20,6	20,4	21,7	20,7	18,9	19,0	18,7	18,8	19,1	19,5	19,1
24	19,9	20,9	20,5	21,6	19,7	19,0	18,8	18,9	19,4	19,4	19,0	19,0
25	19,6	20,5	20,5	21,3	19,3	19,4	19,1	18,4	19,7	19,6	19,1	19,5
26	19,5	20,5	20,0	20,8	19,6	19,6	19,4	18,3	19,5	19,3	19,7	19,4
27	19,6	20,8	20,7	21,0	19,3	19,8	18,6	18,4	19,4	19,7	19,8	19,6
28	19,6	20,5	20,9	20,8	20,2	20,0	18,3	18,7	19,5	19,8	19,9	19,1
29	20,1	20,5	20,6	20,8	19,1	19,8	18,1	18,5	19,4	18,9	19,7	19,9
30	19,0		20,4	21,4	19,5	19,5	18,2	19,4	19,8	19,4	20,0	19,1
31	19,5		20,5		19,8		18,3	19,4		20,2		19,0

TEMPERATURAS MEDIAS DIARIAS DEL VARIOMETRO H-134

MOCA (FERNANDO POO) 1960



VALORES MEDIOS MENSUALES DE ESCALA DE LOS VARIOMETROS

MOCA (FERNANDO POO) **1960**

MESES	H-134	D-125	Z-146
Enero.....	3,87 γ/mm	0,90 γ/mm	1,65 γ/mm
Febrero.....	3,87	"	1,64
Marzo.....	3,89	"	1,61
Abril.....	3,86	"	1,59
Mayo.....	3,88	"	1,61
Junio.....	3,88	"	1,64
Julio.....	3,88	"	1,65
Agosto.....	3,89	"	1,67
Septiembre...	3,86	"	1,67
Octubre.....	3,88	"	1,65
Noviembre....	3,86	"	1,66
Diciembre....	3,88	"	1,67

ORDEN DE COLOCACION DE LAS TABLAS

1 - Valor medios mensuales y anual de los elementos magnéticos
2 - Tablas de Intensidad Horizontal, de enero a diciembre (12 tablas)
3 - ídem de Declinación ídem ídem
4 - ídem Vertical ídem ídem
5 - Variaciones diurnas por medias horarias - Intensidad Horizontal (tres tablas, todos calma y perturbados).
6 - ídem ídem - Declinación - Tres tablas, todos calma y perturbados.
7 - ídem ídem . - Componente Vertical - ídem ídem.
8 - Variaciones diurnas de X, Y y F. Una tabla.
9 - Números de cáracter diario C.
10 - Frecuencias de números ce cáracter C.
11 - Relación de variaciones rápidas.

VALORES MEDIOS MENSUALES Y ANUAL DE LOS ELEMENTOS MAGNETICOS

MOCA (FERNANDO POO) 1960

1960		Ene.	Feb.	Mar.	Abr.	May.	Jun.	Jul.	Ago.	Sep.	Oct.	Nov.	Dic.	Año
H=	30.000-	739	741	740	690	717	734	730	731	724	700	703	715	30.722
D=	- 7 -	339	337	334	330	328	326	321	327	318	307	306	308	-7-32,3
Z=	-8.000-	874	876	876	881	883	888	888	891	898	902	905	912	-8.889
X=	30.000-	471	474	473	424	451	468	465	465	459	436	440	451	30.456
Y=	-4.000-	47	45	42	32	34	35	30	35	26	13	13		-4.016
I=	- 16 -	62	63	63	84	77	78	79	81	91	102	105	108	-16-08,3
F=	31.000-	994	997	996	949	976	993	989	991	986	964	968	982	31.982

VALORES MEDIOS DE LOS CINCO DIAS CALMA INTERNACIONALES

1960		Ene.	Feb.	Mar.	Abr.	May.	Jun.	Jul.	Ago.	Sep.	Oct.	Nov.	Dic.	Año
H=	30.000-	760	754	755	733	740	745	750	750	742	747	727	733	30.745
D=	- 7 -	339	337	335	335	330	327	296	327	320	313	310	308	-7-32,3
Z=	-8.000-	871	877	876	881	882	887	887	892	898	900	905	912	-8.889

VALORES MEDIOS DE LOS CINCO DIAS PERTURBADOS INTERNACIONALES

1960		Ene.	Feb.	Mar.	Abr.	May.	Jun.	Jul.	Ago.	Sep.	Oct.	Nov.	Dic.	Año
H=	30.000-	710	725	706	603	680	718	697	702	686	641	633	725	30.685
D=	- 7 -	340	335	333	323	327	323	317	327	316	299	299	310	-7-32,1
Z=	-8.000-	876	876	876	881	885	889	888	892	897	906	903	911	-8.890

INTENSIDAD HORIZONTAL

Moca (Fernando Poo)

Mes de Enero de 1.960

T. U.

H = 30.000 + VALOR DE LA TABLA EXPRESADO EN GAMMAS

Día	S.	0-1	1-2	2-3	3-4	4-5	5-6	6-7	7-8	8-9	9-10	10-11	11-12	12-13	13-14	14-15	15-16	16-17	17-18	18-19	19-20	20-21	21-22	22-23	23-24	Media	C	Máximo h	Máximo m	Mínimo h	Mínimo m	Amplitud
1	C	728	733	734	732	732	735	748	759	773	790	795	788	769	754	746	742	741	740	734	730	729	729	730	729	747	0	10	18	797	0	13	728	69
2	C	729	728	729	730	733	739	755	773	793	815	825	817	799	779	763	754	747	741	730	726	728	725	723	721	754	0	10	39	825	23	19	721	104
3		722	727	729	730	730	735	746	761	781	798	810	815	807	780	749	730	730	738	735	736	735	735	730	730	751	0	11	48	819	23	49	729	90
4		728	729	729	732	732	728	732	747	774	789	790	801	787	787	769	756	753	754	749	741	739	732	732	737	752	1	12	29	819	1	02	727	92
5		740	737	746	718	717	730	732	743	752	749	770	768	737	715	711	716	727	719	708	711	707	706	704	698	727	1	10	49	782	23	51	691	91
6		701	706	706	707	707	709	708	719	736	759	768	770	765	755	743	732	730	728	724	723	719	719	719	720	728	0	10	49	773	0	17	693	80
7		719	719	718	718	719	721	725	716	727	743	755	758	767	762	755	753	751	741	726	724	722	725	727	729	734	0	12	49	772	3	49	718	56
8		727	725	723	723	724	726	730	745	759	742	786	794	791	779	767	757	753	750	745	738	731	736	733	734	746	0	11	30	797	3	05	722	75
9	C	734	734	732	731	733	734	741	754	769	784	791	797	790	773	764	762	757	754	749	744	742	738	732	734	753	0	11	29	800	3	48	731	69
10	P	737	744	750	752	762	766	791	800	769	759	736	721	708	705	793	671	646	658	672	667	685	676	656	660	720	2	7	19	841	16	35	643	198
11	P	674	682	691	694	697	702	713	728	735	729	730	727	717	692	680	691	689	701	698	698	698	699	702	704	703	1	7	54	742	0	0	669	73
12		714	715	708	706	709	716	727	738	759	769	771	756	744	735	729	720	709	710	713	705	696	718	705	704	724	1	10	09	776	20	43	730	46
13		695	709	713	716	716	721	732	753	772	782	776	764	765	757	744	730	722	719	718	741	718	712	719	727	734	1	9	58	784	0	37	707	77
14	P	721	718	717	711	711	722	731	761	814	800	762	737	733	764	759	746	739	744	741	664	632	623	592	585	718	2	8	25	853	23	24	579	274
15	P	607	610	652	665	658	666	688	711	725	737	737	733	716	707	690	675	684	687	683	682	689	694	701	701	687	1	10	0	752	0	0	593	159
16		702	701	696	697	703	704	713	770	751	768	773	760	747	736	725	720	712	707	706	708	703	708	701	698	721	0	10	05	778	22	25	694	84
17		700	703	705	704	704	709	718	735	754	778	803	794	804	815	778	755	743	747	739	738	737	735	740	740	745	2	13	0	839	0	0	699	140
18		736	732	738	741	746	753	761	812	804	791	772	738	738	764	761	742	729	725	718	708	707	705	703	703	743	2	7	35	805	23	10	702	103
19		715	722	719	717	717	719	722	741	757	773	786	791	788	768	751	741	734	741	733	730	730	729	737	734	741	0	12	33	792	0	0	710	82
20		735	738	743	755	759	746	743	757	785	796	803	783	775	769	769	742	730	727	727	730	724	719	716	723	750	1	10	31	814	22	02	711	103
21	P	731	707	711	713	722	725	743	763	770	785	794	784	765	746	731	716	688	661	654	661	681	677	670	692	720	2	10	43	812	20	25	646	166
22		684	689	700	704	704	707	713	717	736	759	766	759	775	764	758	735	716	713	714	712	716	713	712	711	724	1	12	27	780	0	14	684	96
23		708	713	715	714	714	715	707	711	722	741	760	770	765	741	732	722	722	719	716	708	707	708	714	713	723	1	11	40	777	21	07	703	74
24		711	714	715	720	723	721	721	729	740	759	760	767	760	714	745	736	731	727	723	721	721	722	726	729	731	1	12	05	774	0	27	710	64
25		727	728	732	728	728	731	739	749	762	785	790	798	798	784	764	753	743	737	736	735	735	735	733	732	749	1	11	37	802	0	32	726	76
26		734	732	730	731	736	739	750	768	790	799	805	797	787	777	771	760	752	744	740	739	735	728	728	731	754	0	10	10	809	21	35	725	84
27		732	732	731	732	731	738	747	759	778	797	809	809	790	778	771	763	758	755	748	744	743	739	735	732	756	1	10	46	815	0	0	732	83
28		731	734	738	735	735	738	749	773	796	804	804	793	777	766	762	758	755	754	746	751	750	748	746	745	758	1	10	05	810	0	53	731	79
29		748	751	762	753	750	746	753	787	816	827	841	821	803	800	780	767	761	754	745	746	748	742	737	741	770	1	10	19	849	22	37	736	113
30	C	742	739	739	739	742	746	758	783	810	831	840	832	809	785	769	761	762	762	755	750	748	746	745	745	768	1	10	31	843	1	22	739	104
31	C	743	744	747	750	754	758	764	787	812	831	843	842	830	808	787	773	770	768	758	754	750	750	752	754	776	1	10	50	851	0	24	744	107
Media ...		718	719	722	722	724	727	735	753	768	780	785	780	771	760	752	738	732	730	725	721	719	718	716	717	739								100
Media C.		735	736	736	736	739	742	753	771	791	810	819	815	799	780	766	758	755	753	745	741	739	738	736	737	760								91
Media P.		694	692	704	707	710	716	733	753	763	762	752	740	728	723	731	700	689	690	690	674	677	674	664	668	710								174

INTENSIDAD HORIZONTAL

Moca (Fernando Poo) — Mes de Febrero de 1.960

Imprenta Balcón — Santa Isabel

T. U. — H = 30.000 + VALOR DE LA TABLA EXPRESADO EN GAMMAS

Día	S.	0-1	1-2	2-3	3-4	4-5	5-6	6-7	7-8	8-9	9-10	10-11	11-12	12-13	13-14	14-15	15-16	16-17	17-18	18-19	19-20	20-21	21-22	22-23	23-24	Media	C	Máximo h m		Mínimo h m		Amplitud
1		755	753	752	752	755	759	755	752	771	779	787	779	733	753	751	751	748	743	740	741	746	746	744	741	753	1	10 06	788	18 32	739	49
2		744	741	740	737	736	744	751	768	791	814	833	829	822	810	783	763	736	714	670	645	675	686	693	695	747	1	10 47	845	19 09	639	206
3		701	705	705	705	710	713	717	732	748	776	786	789	797	749	744	715	713	701	694	706	701	705	707	714	726	1	11 38	795	18 03	691	104
4		707	709	714	711	706	717	728	734	744	765	784	787	782	775	763	744	736	721	701	702	702	696	707	717	731	1	11 21	791	18 55	693	98
5		718	720	719	717	715	715	715	747	750	769	797	773	754	751	736	692	698	707	698	690	692	693	699	692	723	2	10 32	804	19 34	686	118
6		688	684	701	714	714	711	708	729	748	742	753	756	760	762	757	738	718	706	708	714	717	718	724	730	725	1	14 10	765	1 54	684	81
7	C	725	724	729	734	732	722	729	737	750	764	776	777	773	772	765	762	755	751	745	741	739	740	739	738	747	0	11 03	781	1 20	722	59
8		737	737	741	743	745	749	753	769	782	784	783	791	776	778	772	760	740	730	725	727	730	730	731	731	752	1	11 05	800	18 10	724	76
9	C	721	726	731	736	736	738	742	751	765	771	782	794	801	797	790	781	777	770	759	747	746	749	750	750	759	0	11 46	805	1 04	720	85
10	C	754	751	754	754	755	749	757	772	783	795	804	802	792	782	774	770	765	759	750	747	746	747	747	748	765	1	11 02	813	20 19	744	69
11		747	748	748	747	748	755	766	784	800	810	813	805	798	790	785	778	762	731	709	709	698	685	703	716	754	1	10 39	824	21 35	683	141
12		713	723	725	727	733	734	739	756	766	766	772	773	774	769	764	761	760	756	749	745	741	742	741	741	749	0	12 05	777	0 32	713	64
13		745	746	749	752	756	761	773	783	797	808	808	809	810	794	782	770	764	760	753	727	682	653	623	637	752	1	10 02	816	22 53	619	197
14	C	673	682	686	694	692	696	700	706	719	737	752	748	740	726	709	704	711	711	690	670	687	697	689	694	705	1	10 46	758	20 02	663	95
15		701	703	706	708	710	715	726	745	761	777	787	787	783	762	723	711	713	701	697	703	715	719	722	722	729	1	10 30	791	18 49	696	95
16	P	721	716	730	724	714	715	719	728	747	787	819	789	769	767	726	705	724	726	726	727	727	712	722	723	736	2	10 57	824	15 0	691	133
17	P	721	727	732	734	738	738	741	719	734	770	788	787	781	784	757	745	740	711	684	688	690	698	705	707	734	1	10 21	796	18 32	680	116
18	P	699	696	711	718	711	715	709	704	719	749	759	766	753	744	738	719	707	707	691	690	709	709	711	713	719	1	11 13	775	18 48	683	92
19		715	716	716	713	716	719	719	729	754	769	781	791	774	777	760	768	722	712	707	673	671	692	681	692	728	1	11 10	796	20 13	656	140
20		691	705	703	699	700	702	702	712	729	744	764	769	764	753	745	730	720	721	722	721	719	714	714	724	724	1	11 24	773	0 46	694	79
21	P	718	716	723	730	728	723	723	740	755	772	762	755	755	747	727	725	715	725	724	721	729	728	723	724	733	1	9 30	782	16 35	709	73
22		725	728	725	726	725	727	724	735	748	760	769	764	772	766	756	751	745	740	735	728	717	722	724	726	739	0	11 52	782	20 42	716	66
23		724	725	731	731	728	730	739	748	763	775	789	797	787	774	758	748	724	719	723	725	724	723	725	730	743	0	11 12	802	16 59	717	85
24	C	730	730	728	729	729	735	739	744	752	767	774	775	772	766	759	755	748	744	739	736	733	730	730	730	745	0	11 41	778	21 19	729	49
25	C	726	726	730	730	730	732	742	758	774	789	799	800	793	781	823	766	758	754	749	741	733	725	735	738	755	0	11 27	804	21 30	725	79
26		730	741	740	741	741	744	749	768	788	805	820	830	822	801	782	772	767	758	750	748	740	736	731	724	764	1	10 56	839	0 0	722	117
27		720	719	720	717	729	719	727	742	751	777	785	796	799	778	761	761	744	742	723	727	727	722	734	736	744	1	12 22	813	2 24	712	101
28		730	727	729	741	748	742	741	767	779	795	743	792	787	777	810	764	756	751	745	740	740	737	736	737	755	1	10 38	809	0 52	726	83
29		725	726	733	741	742	740	747	752	769	795	810	813	803	786	768	747	749	745	733	732	709	691	690	706	748	1	11 36	818	21 37	685	133
30																																
31																																
Media . .		721	722	726	728	728	730	734	745	760	776	785	787	780	771	761	747	738	731	722	721	717	715	716	720	741						99
Media C.		731	731	734	737	736	735	742	752	765	777	787	790	786	780	782	767	761	756	748	742	739	738	740	741	754						68
Media P.		706	707	716	720	717	717	718	719	738	763	776	769	760	754	731	720	719	716	703	699	708	709	710	712	725						102

INTENSIDAD HORIZONTAL

Moca (Fernando Poo) — Mes de Marzo de 1.960

Imprenta Bobón. — Santa Isabel

T. U. — H = 30.000 + VALOR DE LA TABLA EXPRESADO EN GAMMAS

Día	S.	0-1	1-2	2-3	3-4	4-5	5-6	6-7	7-8	8-9	9-10	10-11	11-12	12-13	13-14	14-15	15-16	16-17	17-18	18-19	19-20	20-21	21-22	22-23	23-24	Media	C	Máximo h m		Mínimo h m		Amplitud
1		718	722	732	734	734	730	732	750	761	771	775	782	768	756	752	749	740	720	704	686	675	681	686	699	731	1	11 45	785	20 44	675	110
2	P	705	707	718	714	714	711	719	742	749	770	781	793	767	758	746	736	722	722	698	688	687	698	711	750	729	1	11 37	798	19 12	684	114
3	P	709	714	718	715	722	731	725	727	746	755	750	770	748	775	712	701	711	709	696	703	698	706	707	712	723	1	11 33	775	18 15	695	80
4		715	712	716	718	719	722	725	734	744	757	777	777	760	744	724	704	705	708	683	693	698	697	713	710	723	1	11 05	783	18 00	680	103
5		708	710	715	720	719	727	728	723	736	742	762	774	776	765	753	750	748	745	735	714	703	715	724	732	734	1	11 55	782	20 38	699	83
6		729	722	730	734	746	745	741	741	752	760	772	790	787	774	760	750	737	733	731	718	714	720	722	719	743	1	11 38	795	20 02	713	82
7	C	722	725	729	730	734	738	748	760	777	794	801	804	802	790	775	765	760	756	750	743	743	745	745	745	759	0	11 51	811	0 11	721	90
8		754	743	748	750	752	751	753	777	788	789	788	785	777	760	750	726	719	721	726	726	733	734	723	726	750	1	9 28	801	17 06	715	86
9		736	739	738	738	743	750	750	770	785	804	802	806	796	788	779	760	761	751	744	739	737	736	733	732	759	1	9 56	833	23 18	731	102
10		734	735	739	739	740	742	751	767	774	762	770	779	774	766	759	741	715	715	700	697	715	716	721	727	741	1	11 44	787	19 20	691	96
11	P	723	726	727	727	726	736	737	741	745	766	785	745	735	733	731	741	719	672	679	693	702	702	702	710	725	2	10 27	797	17 39	663	134
12		713	718	717	717	717	718	722	739	752	756	767	772	761	748	743	736	722	722	725	728	725	725	723	725	733	0	11 10	776	0 0	710	66
13	C	720	718	724	727	727	728	731	738	753	767	775	780	775	762	748	743	741	738	739	729	724	727	731	733	741	0	11 40	783	1 52	716	67
14		732	734	734	732	735	737	736	746	762	770	778	786	783	781	770	783	775	770	763	758	756	754	752	758	758	1	11 39	792	0 0	731	61
15		755	756	753	752	749	750	760	775	784	800	814	819	815	796	777	758	728	696	658	672	674	655	656	636	741	2	12 32	825	0 0	608	217
16	P	613	628	655	668	661	648	650	662	708	730	743	750	728	715	715	703	685	670	651	635	669	664	656	697	679	2	11 25	754	0 17	603	151
17		685	690	697	698	702	699	700	714	730	753	770	771	753	736	725	719	713	713	707	707	708	700	702	707	717	1	11 23	781	0 21	683	98
18		712	712	714	717	717	719	723	743	752	765	780	783	770	757	749	745	742	740	737	734	734	730	729	731	739	0	11 02	790	0 0	711	79
19		729	731	729	728	731	734	736	749	770	786	795	795	786	762	741	729	728	731	733	729	726	727	726	724	744	0	10 54	806	23 24	724	82
20	P	726	728	728	728	728	733	741	756	775	789	798	806	802	784	771	761	753	749	744	742	741	741	737	737	754	0	11 44	807	0 19	725	82
21		735	737	735	735	736	734	735	746	765	784	802	814	805	775	766	761	756	749	742	738	736	736	734	734	754	0	12 0	820	23 53	733	87
22	C	733	731	731	737	743	746	747	757	774	793	785	812	804	789	778	771	765	757	747	744	741	740	738	739	758	0	11 54	814	22 24	736	78
23	C	748	744	741	741	743	745	753	772	790	811	822	827	816	800	787	776	762	752	746	742	741	742	744	739	766	0	11 21	825	0 0	737	88
24		737	744	760	756	755	749	745	761	781	805	806	809	797	781	776	768	745	742	737	735	722	736	736	726	759	1	11 05	817	20 31	714	103
25		725	728	730	732	734	737	749	772	794	808	811	804	784	773	767	761	757	753	744	735	737	738	737	730	756	1	10 41	815	0 09	725	90
26		730	732	737	739	739	744	760	785	806	819	820	816	804	791	774	771	762	757	753	748	747	747	744	746	765	0	9 10	829	0 12	732	97
27		746	747	751	748	749	753	755	776	799	821	836	827	811	796	783	774	764	756	750	744	741	741	740	737	768	0	10 24	839	0 0	737	102
28		738	739	740	741	744	756	772	798	816	827	820	802	790	783	775	762	728	723	724	708	716	711	715	700	755	1	10 46	799	22 11	721	78
29		703	712	705	705	713	720	733	758	769	783	790	792	786	779	764	755	744	737	730	726	727	722	725	744	742	1	9 47	833	0 0	695	138
30		749	732	724	725	725	724	732	756	788	785	815	819	804	775	758	732	707	697	681	661	653	634	644	674	729	1	11 12	823	21 20	625	198
31	P	694	704	693	691	696	700	703	707	714	724	765	744	751	703	722	717	644	613	600	593	592	566	526	596	673	2	10 56	810	17 24	467	343
Media . .		722	723	726	727	729	731	735	750	766	779	789	791	781	767	756	747	734	726	718	713	713	712	712	718	740						109
Media C.		730	729	731	733	735	738	744	757	774	791	796	806	800	785	772	763	756	751	745	740	738	739	739	739	755						81
Media P.		689	696	702	703	704	705	707	716	732	749	765	760	746	737	725	720	696	677	665	662	670	667	660	693	706						164

INTENSIDAD HORIZONTAL

Moca (Fernando Poo)

Mes de Abril de 1.960

Imprenta Bebón. — Santa Isabel

T. U.

H = 30.000 + VALOR DE LA TABLA EXPRESADO EN GAMMAS

Día	S.	0-1	1-2	2-3	3-4	4-5	5-6	6-7	7-8	8-9	9-10	10-11	11-12	12-13	13-14	14-15	15-16	16-17	17-18	18-19	19-20	20-21	21-22	22-23	23-24	Media	C	Máximo h	Máximo m	Máximo	Mínimo h	Mínimo m	Mínimo	Amplitud
1	P	482	456	494	636	582	566	593	678	763	720	644	637	562	493	471	405	324	269	274	376	345	371	447	464	502	2	8	26	833	17	58	230	603
2		480	530	531	536	562	577	573	575	585	593	590	597	625	646	644	636	636	637	640	637	641	640	648	675	601	2	23	31	685	0	05	465	220
3	P	696	651	648	670	663	634	634	634	658	697	712	724	735	690	672	654	656	656	649	646	646	643	643	643	664	2	11	36	732	5	40	625	107
4		645	647	655	657	651	660	669	698	724	739	749	750	721	718	693	684	672	667	665	673	662	645	666	666	682	1	11	30	757	21	0	634	123
5		672	683	687	690	693	675	683	720	755	740	751	744	728	737	704	665	665	667	666	673	685	678	681	683	697	2	8	34	773	15	17	658	115
6		682	682	682	685	686	692	703	726	744	772	779	776	755	732	715	706	721	725	716	703	674	656	664	675	710	1	10	27	780	21	12	653	127
7		684	693	687	686	691	693	699	727	749	769	777	770	753	738	723	718	699	662	613	609	638	647	669	674	699	2	10	15	777	19	05	598	179
8		676	677	690	695	689	688	700	706	739	739	748	739	724	719	711	707	693	691	696	695	691	692	693	688	703	1	10	25	749	1	24	670	79
9	O	690	687	694	699	716	704	699	712	739	751	764	761	754	743	728	715	712	712	709	706	704	707	709	703	717	1	10	51	767	1	51	681	86
10		701	713	721	729	724	720	734	742	756	784	784	769	748	724	726	719	703	699	694	703	659	642	630	687	717	2	10	0	792	22	34	616	176
11		667	661	661	661	667	676	682	702	729	755	763	771	753	738	736	718	706	702	688	689	686	678	679	680	702	1	11	16	774	3	04	652	122
12		687	683	691	706	720	723	717	718	729	751	759	752	738	711	699	693	693	686	679	682	685	686	693	713	708	1	10	56	761	18	02	674	87
13		694	689	701	713	717	705	715	727	722	745	766	767	759	749	725	715	710	709	704	700	699	699	694	701	718	1	11	26	769	1	37	686	83
14		713	712	703	704	709	715	731	747	776	800	809	790	774	757	739	724	719	715	712	707	707	709	721	717	734	1	10	01	820	2	56	700	120
15		709	704	703	710	708	715	711	729	760	787	805	801	792	769	746	744	732	729	724	719	712	709	706	707	735	1	10	50	809	2	03	697	112
16		707	710	708	707	717	724	731	745	773	794	805	793	766	735	700	664	643	658	680	671	656	677	678	676	713	2	10	22	807	16	51	636	171
17		689	691	701	709	703	706	706	717	739	755	760	764	764	757	747	734	728	702	677	672	661	670	669	677	712	1	12	16	765	20	43	654	111
18		687	711	706	702	702	700	700	716	735	754	750	747	750	741	729	712	702	698	702	704	704	704	701	702	715	1	9	40	765	0	02	681	84
19	C	700	699	698	701	708	712	718	730	745	748	774	774	769	762	749	737	727	723	718	716	716	713	713	711	727	0	10	50	777	2	16	697	80
20	C	712	713	714	718	720	722	725	742	763	783	794	793	784	769	752	738	730	726	722	719	717	714	713	714	737	0	11	13	797	22	46	712	85
21	O	714	717	720	723	725	729	736	740	758	776	789	790	790	779	763	751	746	739	734	731	726	724	723	720	743	0	12	10	794	0	0	712	82
22	C	724	726	724	724	723	726	735	749	766	777	782	780	770	755	741	728	727	730	729	725	726	724	724	723	739	0	10	26	790	4	06	724	66
23		720	720	722	724	731	747	759	774	797	811	817	810	804	793	772	758	745	741	740	740	722	685	650	622	746	1	10	40	825	24	0	615	210
24	P	601	568	550	591	629	637	649	670	699	709	721	708	704	661	658	656	658	641	615	608	620	673	652	635	646	2	10	21	731	2	09	546	185
25		658	681	665	653	657	660	666	686	704	708	732	703	693	678	660	648	633	643	639	629	626	650	657	669	666	2	10	20	743	20	12	617	126
26		679	681	683	682	682	685	690	702	726	728	736	737	740	727	704	689	674	663	660	653	655	663	668	699	691	1	10	30	752	19	45	649	103
27		693	690	690	695	698	703	713	727	750	764	770	764	756	740	726	710	699	695	690	681	682	621	610	637	704	1	10	45	772	22	25	599	173
28	P	611	597	636	627	640	639	663	651	654	655	639	629	631	640	635	601	582	595	551	573	614	629	627	643	623	2	9	06	671	18	20	546	125
29		647	664	656	656	666	666	668	669	681	688	704	710	698	700	689	679	667	663	651	651	657	662	667	690	673	1	11	06	716	0	40	641	75
30	P	698	693	696	715	690	688	676	685	703	718	756	764	800	680	579	555	576	199	175	213	304	388	443	478	578	2	12	12	889	17	37	083	806
31																																		
Media . .		671	671	674	683	686	686	693	708	731	744	751	747	738	719	701	685	676	658	650	653	654	657	661	669	690								161
Media C.		708	708	710	713	718	719	723	735	754	767	781	780	773	762	747	734	728	726	722	719	718	716	716	714	733								80
Media P.		618	593	605	648	641	633	643	664	695	700	694	692	686	633	603	574	559	472	453	483	506	541	562	573	603								365

INTENSIDAD HORIZONTAL

Moca (Fernando Poo) — Mes de Mayo de 1.960

Imprenta Subirán. — Santa Isabel

T. U. — H = 30.000 + VALOR DE LA TABLA EXPRESADO EN GAMMAS

Día	S.	0-1	1-2	2-3	3-4	4-5	5-6	6-7	7-8	8-9	9-10	10-11	11-12	12-13	13-14	14-15	15-16	16-17	17-18	18-19	19-20	20-21	21-22	22-23	23-24	Media	C	Máximo h m		Mínimo h m		Amplitud
1	P	492	537	575	544	568	579	590	594	618	623	645	652	646	645	646	644	626	620	623	613	617	646	640	638	609	2	8 45	668	0 0	486	182
2		641	641	642	644	645	652	658	675	704	726	729	721	712	694	682	671	669	673	673	670	674	675	673	674	676	1	9 15	736	1 37	638	98
3		677	678	681	685	687	688	688	699	719	735	738	744	738	728	713	695	688	691	696	693	694	693	692	690	701	1	11 10	750	0 14	674	76
4	C	692	695	695	698	701	704	713	730	751	766	781	780	766	751	739	726	715	712	711	707	700	691	688	694	721	0	10 36	789	0 20	689	100
5		699	701	704	711	715	719	723	735	755	775	776	773	760	748	738	725	717	715	712	706	707	706	699	696	726	0	10 09	782	23 24	690	92
6	P	721	723	710	717	721	735	742	748	746	771	769	745	719	684	679	681	679	663	629	586	602	593	599	606	690	2	9 29	776	19 13	572	204
7	P	632	683	674	662	668	683	709	740	767	778	774	774	786	722	692	694	682	653	653	669	662	666	678	689	699	2	9 29	814	0 2	619	195
8	P	696	689	683	682	724	755	751	764	787	716	688	719	694	660	601	525	567	611	607	625	616	629	637	668	670	2	8 21	799	15 21	504	295
9		664	665	673	676	680	699	711	709	741	765	790	746	725	705	693	682	681	681	681	683	683	683	683	684	699	2	10 31	820	0 27	657	163
10		684	684	683	684	686	691	699	721	741	758	759	749	734	724	712	700	697	697	697	698	699	694	686	695	707	0	10 14	766	2 11	680	86
11		700	695	710	709	720	728	733	736	724	730	745	752	752	741	730	714	705	698	697	690	683	682	701	693	715	1	11 13	758	21 41	675	83
12		691	690	694	695	698	708	712	729	746	766	764	755	738	727	718	711	702	703	704	702	701	700	696	703	719	1	10 01	776	1 20	688	88
13		701	696	698	703	710	709	721	738	759	774	774	772	762	744	728	713	709	708	706	699	706	696	688	686	721	1	9 10	778	22 59	680	98
14		692	693	701	702	704	713	724	736	751	762	776	774	756	731	712	699	696	708	713	709	707	707	709	708	720	1	10 54	778	0 0	688	90
15		705	706	707	707	710	714	722	743	763	784	798	781	757	739	721	713	708	709	707	707	704	704	704	705	726	1	10 15	809	0 16	704	105
16		706	709	711	710	711	713	725	742	775	792	791	803	802	803	818	764	755	710	710	714	740	740	742	716	746	2	13 55	840	17 31	692	148
17		712	728	726	721	723	733	751	769	784	791	779	779	761	745	726	723	711	716	718	718	716	716	714	713	736	1	8 55	798	16 30	707	91
18	C	714	714	714	714	720	722	725	742	763	777	782	779	770	754	736	726	725	724	724	724	726	725	721	719	735	0	10 28	785	2 41	707	78
19	C	718	720	721	721	725	727	738	755	761	766	778	781	773	762	746	731	726	726	728	724	722	724	727	728	739	0	11 17	787	20 04	719	68
20	C	727	724	724	724	731	739	746	760	775	788	794	789	780	767	754	744	738	736	737	733	732	732	733	731	747	0	10 57	794	2 02	722	72
21		729	728	731	731	732	736	740	751	761	767	770	769	761	751	735	732	733	733	733	732	731	730	730	729	741	0	11 05	774	20 11	727	47
22	C	729	729	729	729	731	736	744	759	775	789	796	793	785	774	768	768	759	756	757	754	751	746	744	745	756	1	10 43	799	2 16	727	72
23		746	744	743	741	750	758	765	773	782	793	804	798	794	790	776	758	742	722	708	708	713	718	712	713	752	1	10 56	807	20 16	697	110
24		720	720	709	712	724	718	711	692	694	698	703	708	703	705	701	693	688	685	681	679	693	678	679	692	699	1	1 02	727	18 52	671	56
25		679	684	692	698	713	723	723	735	749	757	765	761	749	726	703	702	699	691	680	693	694	691	684	686	711	1	10 20	766	0 49	672	94
26		715	702	695	697	703	711	720	739	745	753	754	748	739	726	716	708	701	704	705	703	701	696	699	699	716	1	9 21	758	21 23	687	71
27		714	696	704	703	691	696	708	734	759	773	776	769	754	743	731	720	714	707	700	696	700	702	697	703	720	0	10 45	777	4 35	687	90
28		707	708	718	722	726	730	735	749	758	772	779	777	772	762	747	734	716	712	714	715	750	742	725	719	737	1	10 40	780	0 02	702	78
29	P	731	726	737	706	702	710	733	747	770	783	783	771	768	779	746	721	710	711	717	704	680	690	703	714	731	2	13 11	807	20 42	655	152
30		729	733	729	734	729	728	735	746	748	750	753	739	727	717	701	686	676	680	687	690	696	701	702	704	717	1	10 02	762	16 14	674	88
31		703	705	711	718	720	723	725	737	767	794	817	811	811	798	788	767	759	747	740	737	733	736	728	717	750	1	10 44	821	0 16	702	129
Media . .		696	698	701	700	705	712	720	733	750	760	765	762	751	737	722	709	703	700	698	696	698	698	700	699	717						110
Media C.		716	716	717	717	722	726	733	749	765	777	786	784	775	762	749	739	733	731	731	728	726	724	723	723	740						78
Media P.		654	672	676	662	677	692	705	719	738	734	732	732	723	698	673	653	653	652	646	639	635	645	651	663	680						206

INTENSIDAD HORIZONTAL

Moca (Fernando Poo)

Mes de Junio de 1.960

T. U. H = 30.000 + VALOR DE LA TABLA EXPRESADO EN GAMMAS

Día	S.	0-1	1-2	2-3	3-4	4-5	5-6	6-7	7-8	8-9	9-10	10-11	11-12	12-13	13-14	14-15	15-16	16-17	17-18	18-19	19-20	20-21	21-22	22-23	23-24	Media	C	Máximo h m		Mínimo h m		Amplitud
1		724	725	714	720	716	713	720	711	702	717	715	713	712	707	722	729	727	727	723	712	710	712	712	712	716	1	15 23	730	8 28	697	33
2	C	716	716	711	713	716	719	732	751	775	787	780	778	766	758	749	740	733	732	732	726	721	723	723	722	738	0	9 49	794	1 34	710	84
3		721	721	720	723	726	732	742	757	777	788	795	797	787	772	757	751	750	745	733	726	717	715	721	710	745	1	11 44	799	21 23	708	91
4	P	705	708	715	752	729	725	695	680	716	719	709	726	736	726	709	704	698	689	688	687	691	690	677	683	706	2	3 26	757	7 0	665	92
5		665	664	669	669	695	689	677	687	683	695	688	688	690	685	688	688	680	675	677	681	695	700	696	695	684	2	9 06	703	1 05	652	51
6		686	698	714	711	702	701	704	723	728	739	749	729	734	721	719	714	706	707	705	708	711	711	712	708	714	1	10 11	753	0 02	681	72
7		711	718	711	709	711	717	732	745	758	748	737	748	755	754	738	729	762	718	715	723	721	716	716	714	729	1	8 45	765	0 19	704	61
8		711	707	708	734	722	715	711	729	735	748	768	758	760	760	753	737	725	716	706	696	687	686	698	706	724	1	10 35	779	21 10	682	97
9		705	725	715	712	712	719	725	743	757	754	763	757	756	735	722	720	716	716	717	714	713	713	714	717	727	1	10 10	767	0 43	698	69
10	C	717	716	720	720	725	735	743	751	761	775	784	779	770	758	745	735	728	723	723	721	717	714	711	716	737	0	10 42	784	1 50	709	75
11	C	720	720	727	730	733	739	751	765	777	789	789	785	773	761	749	743	739	734	730	729	730	728	728	730	746	0	9 50	789	0 1	719	70
12	C	730	729	734	735	741	746	760	775	790	806	814	814	805	790	774	762	762	747	743	738	734	735	736	736	760	0	11 08	817	1 16	728	89
13		734	732	736	736	739	744	754	767	779	793	803	804	797	779	763	749	745	742	740	740	741	740	740	740	756	0	11 35	805	1 35	731	74
14		740	740	745	750	749	751	756	772	787	800	810	814	783	752	732	727	725	727	724	723	717	712	717	720	749	1	11 25	818	21 12	708	110
15		721	724	731	732	735	739	751	762	774	770	794	790	777	761	747	739	729	728	724	719	722	723	725	727	743	0	9 51	797	19 36	716	81
16	C	727	731	731	732	734	736	742	752	763	773	777	775	770	762	747	739	738	735	732	735	732	734	732	731	744	0	10 56	777	3 05	725	52
17		733	733	731	728	732	731	751	766	783	799	810	806	800	791	779	759	737	725	729	733	737	736	733	736	754	0	10 32	810	17 10	722	88
18		736	728	742	739	738	743	755	772	785	790	790	778	777	761	743	743	751	755	747	751	747	746	751	745	755	1	9 54	798	0 34	721	77
19		746	741	735	739	732	732	743	751	748	743	752	750	743	734	716	708	749	707	708	701	699	744	710	716	731	1	10 14	753	20 01	696	57
20		694	716	721	729	727	730	739	747	765	774	776	776	769	754	742	731	729	734	734	730	728	726	724	723	738	0	10 59	773	0 42	711	62
21		730	734	731	719	739	742	750	753	755	761	764	753	743	740	737	729	712	708	704	703	708	702	706	713	731	1	10 30	769	18 59	693	76
22		718	720	726	743	735	744	758	766	776	778	788	781	770	755	745	740	735	737	736	734	722	721	712	705	743	1	10 25	789	23 59	700	89
23		708	718	711	718	726	742	757	765	781	799	807	801	786	771	757	748	728	720	716	713	717	718	722	721	744	1	10 18	808	0 0	700	108
24		721	725	725	728	733	745	756	770	774	783	788	782	775	775	763	747	735	728	715	716	726	725	725	725	745	1	10 02	790	19 17	706	84
25		728	727	736	735	739	744	752	772	785	788	788	790	782	757	748	730	719	729	705	696	692	701	718	706	740	1	10 30	791	20 26	680	111
26		705	718	741	729	721	718	729	731	745	758	764	760	759	756	751	737	732	730	734	731	723	722	735	726	736	1	10 29	767	0 37	699	68
27	P	725	733	756	718	708	698	697	706	721	727	745	748	739	727	715	710	716	700	680	676	683	690	714	709	714	2	2 28	763	18 55	662	101
28	P	702	713	711	709	706	736	764	756	787	806	805	782	744	736	725	713	697	684	674	681	687	686	682	690	724	2	10 29	832	18 44	670	162
29	P	697	700	711	724	735	744	732	762	755	767	785	790	784	770	755	737	724	729	719	730	745	758	708	669	739	2	11 55	791	23 52	657	134
30	P	677	676	668	689	684	672	681	702	720	737	744	748	749	727	717	710	697	713	710	722	683	694	703	695	705	2	17 09	756	2 45	657	99
31																																
Media ...		715	718	721	724	725	728	735	746	758	767	773	770	763	751	740	732	727	722	717	716	715	717	717	715	734						84
Media C.		722	722	725	726	730	735	746	759	773	786	789	787	777	766	753	744	740	734	732	730	727	727	726	727	745						74
Media P.		701	706	712	718	712	715	714	721	740	751	758	759	750	737	724	715	706	703	694	699	698	704	697	689	718						118

INTENSIDAD HORIZONTAL

Moca (Fernando Poo) — Mes de Julio de 1.960

Imprenta Estela. — Santa Isabel

T. U. — H = 30.000 + VALOR DE LA TABLA EXPRESADO EN GAMMAS

Día	S.	0-1	1-2	2-3	3-4	4-5	5-6	6-7	7-8	8-9	9-10	10-11	11-12	12-13	13-14	14-15	15-16	16-17	17-18	18-19	19-20	20-21	21-22	22-23	23-24	Media	C	Máximo h m		Mínimo h m		Amplitud
1		703	699	718	713	710	717	710	725	752	756	762	767	771	755	722	697	690	694	698	682	678	692	694	697	717	1	12 47	784	20 04	674	110
2		702	709	709	709	709	715	712	721	714	747	764	777	753	754	733	720	714	712	712	712	712	710	711	711	722	1	10 45	769	0 0	696	73
3		712	715	716	724	720	721	726	731	752	770	782	776	759	746	735	731	726	721	722	717	705	711	717	715	731	1	10 27	785	20 47	700	85
4		718	736	723	722	720	727	728	744	750	767	767	774	778	763	743	730	724	717	721	719	714	709	716	724	735	1	11 55	775	21 30	701	74
5		725	732	731	728	731	732	736	744	748	755	763	770	763	652	737	727	720	719	723	717	713	713	716	718	730	1	12 06	768	21 20	706	62
6		725	722	720	722	728	736	746	755	772	786	775	768	756	744	732	720	717	717	722	725	721	718	717	718	736	1	9 32	788	2 56	710	78
7	C	717	717	717	719	725	729	737	750	766	778	786	790	788	770	752	740	736	735	732	733	733	732	731	731	743	0	12 06	791	2 46	715	76
8	C	732	729	729	729	732	739	747	765	780	794	802	803	800	793	773	752	738	734	734	734	732	733	735	736	753	0	11 05	803	3 14	728	75
9	C	733	737	741	741	744	748	754	764	775	791	806	800	795	788	779	764	756	751	748	745	744	740	739	736	759	0	10 23	806	20 14	731	75
10		736	736	737	736	734	737	741	749	764	784	797	794	790	780	772	758	753	749	743	742	734	723	719	718	751	0	10 50	799	24 0	714	85
11		723	734	734	742	746	753	761	769	784	804	812	809	805	792	777	760	749	743	737	735	726	716	722	726	757	1	10 51	819	21 02	714	105
12		729	730	737	738	736	741	749	766	775	779	787	782	775	761	745	732	729	735	732	732	732	732	728	729	746	1	10 13	787	23 50	724	63
13		731	729	732	733	731	736	749	760	765	770	777	775	769	759	747	739	732	729	731	732	733	728	727	729	743	0	11 01	778	17 01	724	54
14	P	730	728	731	736	740	747	759	764	772	781	784	774	753	737	734	729	721	714	705	713	709	737	737	744	741	2	10 28	787	17 51	690	97
15	P	744	744	741	744	744	740	742	743	743	740	732	728	689	647	638	621	611	604	599	596	612	650	613	604	682	2	1 04	748	17 53	588	160
16	P	597	645	650	634	651	646	646	666	666	671	671	667	666	659	651	647	636	620	624	624	620	624	628	612	642	2	1 49	682	0 10	586	96
17		636	651	675	678	668	671	683	692	710	722	718	723	719	749	698	687	672	671	672	672	681	679	673	694	687	1	9 01	726	0 17	629	97
18		689	683	688	696	699	700	708	720	738	757	770	774	767	755	731	716	715	711	708	704	707	704	707	707	719	1	11 34	778	1 39	680	98
19	P	708	712	715	719	727	731	727	731	737	731	702	683	688	703	700	687	679	671	667	687	685	675	683	696	702	2	9 20	740	18 10	662	78
20		712	698	691	691	698	708	722	738	757	770	788	776	757	742	726	702	702	702	691	682	681	683	701	699	717	1	10 32	795	19 39	676	119
21		695	700	700	699	710	726	722	730	744	762	777	774	763	745	736	727	720	708	706	712	715	713	711	715	725	1	10 51	778	0 0	693	85
22		717	708	708	707	712	719	727	735	754	774	784	781	778	774	762	746	733	724	717	712	708	704	711	715	734	0	10 44	786	21 50	701	85
23		723	716	708	710	715	719	724	738	754	766	778	781	772	762	749	739	734	727	722	720	720	723	724	720	735	0	11 16	781	21 50	704	77
24		731	733	730	727	732	735	745	763	774	790	801	795	782	770	760	750	742	731	725	723	721	719	720	727	747	1	10 49	801	21 21	715	86
25	C	724	723	724	729	735	735	740	751	767	783	790	788	783	778	763	749	741	739	735	731	730	731	732	732	747	0	10 15	790	1 02	724	66
26		729	728	728	729	734	740	744	760	772	783	788	787	775	757	745	745	743	739	733	729	730	719	698	694	743	1	11 16	700	23 17	687	13
27	C	706	716	722	729	733	741	746	752	762	780	790	788	787	780	764	750	738	737	738	737	735	737	737	733	747	0	10 36	792	0 01	698	94
28		735	734	736	739	745	746	747	756	772	793	811	810	795	782	775	768	764	764	757	745	737	740	741	748	760	1	10 49	818	1 02	729	89
29		746	746	729	724	721	728	733	732	735	762	771	774	774	766	755	728	705	681	676	678	688	712	713	695	732	2	12 25	778	17 50	661	117
30		709	692	698	710	725	732	733	745	756	763	768	754	741	743	737	729	721	718	713	717	721	725	729	729	729	1	10 33	768	1 02	702	66
31	P	716	715	749	724	717	713	717	725	731	743	743	733	729	724	717	704	694	682	695	701	698	698	714	709	716	1	2 10	755	17 16	675	80
Media . .		714	716	718	719	722	726	731	741	753	766	772	770	762	749	738	726	718	713	711	710	709	711	711	715	730						84
Media C.		722	724	727	729	734	738	745	756	770	785	795	794	791	782	766	751	742	739	737	736	735	735	735	734	750						77
Media P.		699	709	717	711	716	715	718	726	730	733	726	717	705	694	688	678	668	658	658	664	665	677	675	673	697						102

INTENSIDAD HORIZONTAL

Moca (Fernando Poo) — Mes de Agosto de 1.960

Imprenta Babón. — Santa Isabel

T. U. — H = 30.000 + VALOR DE LA TABLA EXPRESADO EN GAMMAS

Día	S.	0-1	1-2	2-3	3-4	4-5	5-6	6-7	7-8	8-9	9-10	10-11	11-12	12-13	13-14	14-15	15-16	16-17	17-18	18-19	19-20	20-21	21-22	22-23	23-24	Media	C	Máximo h	Máximo m	Mínimo h	Mínimo m	Amplitud
1		714	713	714	716	716	725	729	733	741	753	765	764	764	751	742	729	721	718	714	713	714	712	717	716	729	1	10	23	22	05	59
2		712	714	71	718	732	729	724	727	739	748	748	749	751	742	727	715	715	712	705	712	714	716	722	712	725	1	12	40	18	17	50
3		713	712	718	719	722	728	736	749	764	776	779	772	760	742	732	725	726	723	722	722	721	721	719	720	734	0	10	13	1	11	72
4	C	726	730	733	729	728	734	730	743	753	757	764	764	771	762	746	729	721	722	722	722	720	719	718	720	736	0	12	20	21	41	54
5	C	722	720	720	725	729	735	748	762	768	773	774	775	772	761	752	744	738	732	730	729	731	729	731	731	743	0	11	05	2	02	56
6		731	733	734	739	745	747	753	761	775	781	792	792	782	770	753	742	738	738	742	743	741	735	735	737	752	1	11	15	0	20	65
7		739	737	746	743	736	735	741	754	775	788	796	792	782	769	753	745	747	742	743	743	743	740	740	740	753	1	10	25	1	09	65
8		740	739	740	745	748	747	750	754	759	785	796	788	784	768	743	730	704	694	691	682	681	692	699	706	736	1	10	31	19	47	126
9		730	721	719	719	722	726	728	720	717	738	757	747	753	751	738	727	718	712	707	707	712	715	716	719	726	1	10	32	18	42	60
10		718	727	731	735	741	742	742	746	765	771	774	774	775	767	757	742	731	718	696	696	704	709	715	718	737	1	10	45	18	50	88
11		718	721	721	727	739	731	726	733	744	764	779	769	769	763	751	738	737	740	734	727	730	728	727	725	739	1	10	37	0	07	68
12		721	731	729	733	728	729	731	736	758	758	770	762	752	741	726	716	714	722	722	721	721	715	719	721	732	1	10	30	16	40	59
13		720	719	725	724	729	729	731	739	758	776	787	789	779	754	741	726	722	726	732	726	723	721	719	712	738	0	11	42	23	04	81
14		715	719	722	729	734	735	741	749	768	783	793	796	790	782	760	762	762	758	743	734	731	713	722	725	748	1	11	40	21	10	92
15		735	723	720	734	732	735	740	753	772	776	776	768	767	760	749	741	736	737	737	739	745	743	740	736	745	1	10	30	2	37	64
16	P	735	737	735	736	740	745	755	767	792	807	812	811	799	776	761	685	619	619	616	608	604	631	659	670	717	2	9	58	20	25	215
17	P	709	672	651	680	658	678	677	679	703	726	716	698	700	724	701	687	637	611	585	567	576	590	646	651	663	2	8	48	20	16	175
18		657	668	670	675	677	687	688	711	727	729	749	753	744	727	704	690	686	687	690	692	691	693	694	696	699	1	11	32	0	0	112
19		695	693	698	696	700	705	716	733	762	779	778	783	779	758	741	733	746	723	707	673	640	641	681	692	719	2	9	40	20	52	157
20		700	705	711	716	711	693	704	687	703	711	722	742	746	734	716	705	699	691	678	667	676	680	693	691	703	1	12	27	19	12	95
21	P	701	700	704	703	703	711	719	727	738	737	751	755	751	745	728	711	713	704	689	694	699	704	711	721	717	1	10	50	18	22	75
22		704	718	712	706	707	720	731	745	762	768	776	777	770	753	737	729	723	721	715	719	717	719	718	721	732	1	11	48	0	59	85
23		726	726	724	725	725	725	729	746	761	780	788	790	783	773	759	747	731	722	726	727	728	726	727	726	742	0	11	24	17	56	71
24	C	728	732	739	742	742	746	753	766	786	794	797	797	788	778	769	757	744	731	728	729	729	728	727	725	752	0	10	29	23	48	76
25	C	727	730	731	734	736	742	751	763	784	800	804	804	795	781	774	761	753	751	750	747	744	744	746	745	758	0	10	56	0	21	84
26	C	745	744	744	744	744	748	753	769	796	816	823	820	809	793	776	762	758	756	748	742	733	729	733	726	763	0	10	38	23	49	101
27		742	744	746	748	747	751	760	768	765	798	804	805	801	796	784	773	754	717	702	716	711	740	736	741	756	1	11	55	20	13	119
28		741	739	734	739	747	732	728	737	758	767	779	783	769	740	725	721	721	725	723	721	723	729	733	731	739	1	11	31	6	12	63
29	P	757	777	776	780	749	736	714	678	698	752	762	769	761	749	741	739	731	716	702	686	666	656	667	674	726	2	9	54	21	16	122
30	P	693	699	703	695	705	697	684	678	684	708	713	714	706	676	662	658	676	672	662	674	678	685	685	681	687	2	10	12	18	15	61
31		693	695	692	704	713	709	708	724	735	746	756	755	740	728	713	706	704	706	706	704	703	707	711	707	715	0	11	02	0	0	76
Media ...		719	720	721	724	725	727	730	737	752	766	773	773	767	755	741	728	720	714	709	706	705	708	713	714	731						89
Media C.		730	731	733	735	736	741	747	761	777	788	792	792	787	775	763	751	743	738	736	734	731	730	731	729	750						74
Media P.		719	717	714	719	711	713	710	706	723	746	751	749	743	734	719	696	675	664	651	646	645	653	674	679	702						130

INTENSIDAD HORIZONTAL

Moca (Fernando Poo) — Mes de **Septiembre de 1.960**

Imprenta Rabán. — Sierra Isabe

T. U. — H = 30.000 + VALOR DE LA TABLA EXPRESADO EN GAMMAS

Día	S.	0-1	1-2	2-3	3-4	4-5	5-6	6-7	7-8	8-9	9-10	10-11	11-12	12-13	13-14	14-15	15-16	16-17	17-18	18-19	19-20	20-21	21-22	22-23	23-24	Media	C.	Máximo h m		Mínimo h m		Amplitud
1	C	705	708	711	712	717	720	727	741	755	764	767	769	769	759	746	737	729	723	721	720	719	718	719	720	732	0	12 34	771	21 50	714	57
2		719	721	721	722	722	729	740	757	773	783	782	776	785	760	735	716	719	727	703	698	711	706	675	669	731	2	12 06	789	23 01	664	125
3	P	676	727	713	703	699	709	698	729	742	746	755	761	745	729	711	704	706	705	699	704	703	702	706	707	716	1	11 20	764	0 0	671	93
4	P	708	713	727	733	725	734	726	685	682	678	682	687	686	674	673	650	663	655	648	594	550	598	614	597	670	2	2 51	741	21 0	543	198
5	P	643	651	631	636	656	652	660	669	623	592	588	592	605	623	618	609	637	620	608	619	628	638	639	670	629	2	7 27	681	9 57	572	109
6		643	647	670	679	675	666	665	677	688	715	731	738	734	723	703	687	678	673	674	677	684	681	686	708	687	1	11 51	740	0 33	635	105
7	P	686	681	686	687	689	690	696	710	734	752	753	749	712	718	706	700	700	687	689	688	678	685	688	691	702	1	9 41	761	20 45	673	88
8		696	688	691	699	701	703	705	722	737	753	765	758	757	738	714	702	690	691	701	703	702	704	706	703	714	1	10 30	768	1 24	685	83
9		698	695	688	695	701	696	695	711	736	750	759	749	738	722	723	714	706	704	691	692	697	694	699	701	710	0	10 16	762	18 50	686	76
10		708	708	712	713	709	712	719	734	754	781	791	790	787	771	750	716	698	692	678	669	688	697	696	693	723	1	10 54	793	19 27	666	127
11		699	703	715	711	710	712	719	735	758	781	795	793	787	767	750	738	727	710	695	699	707	700	693	697	729	1	10 41	799	18 39	690	109
12		699	715	721	715	710	715	725	740	756	758	768	774	765	750	734	712	707	710	711	707	707	713	718	717	727	0	11 40	775	0 02	692	83
13		717	722	712	710	711	714	703	716	727	737	735	737	744	733	725	725	721	718	714	713	698	697	690	678	716	1	12 19	744	23 51	674	70
14		713	696	696	696	708	714	713	725	756	773	786	781	772	757	744	733	731	730	724	716	714	714	714	713	730	0	10 49	711	1 37	693	18
15	C	715	716	716	718	722	725	733	747	766	782	798	793	786	771	760	750	744	737	732	730	728	725	725	728	744	0	10 23	801	0 0	713	88
16	C	730	734	734	733	737	737	739	757	782	801	810	805	790	777	769	758	749	743	740	736	734	731	727	730	753	0	10 49	812	0 15	725	87
17		732	732	731	731	736	734	734	747	768	786	791	791	789	777	762	755	757	753	751	747	737	741	729	709	751	0	11 55	792	24 0	698	94
18		694	686	704	710	709	722	724	738	750	770	769	778	774	761	744	735	731	725	721	716	715	713	711	714	730	1	12 06	782	1 32	684	98
19	C	717	714	715	715	715	719	734	748	767	784	789	791	786	773	758	746	742	739	733	731	729	728	728	725	743	0	11 14	793	1 21	713	80
20		726	726	726	728	732	736	744	762	786	804	807	799	786	771	760	750	744	742	742	745	749	749	737	747	754	0	10 22	809	1 02	724	85
21		747	739	736	733	736	739	748	767	796	815	816	809	793	774	756	735	723	716	711	714	709	708	708	718	748	0	10 06	818	22 35	705	113
22		717	716	718	716	717	721	729	748	767	779	781	776	767	753	760	752	740	733	728	729	728	721	709	701	738	1	9 54	772	24 0	694	78
23		698	704	709	716	720	727	742	756	783	785	781	778	774	768	758	754	746	739	736	732	728	725	720	722	742	1	10 04	796	0 09	693	103
24		716	697	699	723	715	714	719	746	763	750	745	747	756	757	761	751	715	684	693	702	703	706	702	703	724	1	8 25	766	17 20	678	88
25	C	678	704	706	706	710	714	725	746	773	792	800	795	784	767	749	742	743	739	730	718	712	713	711	714	736	0	10 06	803	0 38	699	104
26		716	722	732	734	734	734	734	738	753	765	772	774	771	758	750	748	749	748	740	733	717	699	687	694	737	1	12 15	775	22 57	680	95
27		699	700	696	701	706	711	708	713	728	741	749	753	750	741	733	725	721	720	708	693	694	699	702	710	717	0	11 06	755	19 35	690	65
28		714	712	713	717	721	726	732	745	759	764	772	770	764	755	740	728	727	716	709	705	709	713	713	713	730	0	10 34	775	19 15	705	70
29		717	721	721	724	728	734	744	753	772	791	786	776	760	744	732	732	728	713	701	694	694	695	682	676	730	1	9 26	792	23 12	672	120
30	P	701	704	706	717	723	724	734	744	763	779	786	775	752	720	697	694	701	686	674	678	674	662	682	689	715	1	10 43	789	21 37	655	134
31																																
Media . .		704	707	708	711	713	716	720	733	750	762	767	765	759	746	734	723	719	713	707	703	701	702	700	702	724						95
Media C.		709	715	716	717	720	723	732	748	769	785	793	791	783	769	756	747	741	736	731	727	724	723	722	723	742						83
Media P.		683	695	693	695	698	702	703	707	709	709	713	713	700	693	681	671	681	671	664	657	647	657	666	671	686						124

INTENSIDAD HORIZONTAL

Moca (Fernando Poo)

Mes de Octubre de 1.960

T. U. H = 30.000 + VALOR DE LA TABLA EXPRESADO EN GAMMAS

Día	S.	0-1	1-2	2-3	3-4	4-5	5-6	6-7	7-8	8-9	9-10	10-11	11-12	12-13	13-14	14-15	15-16	16-17	17-18	18-19	19-20	20-21	21-22	22-23	23-24	Media	C	Máximo h m		Mínimo h m		Amplitud
1	P	697	709	702	700	702	702	714	712	710	712	724	724	712	735	678	672	665	674	660	665	661	699	689	690	696	1	10 58	735	18 35	650	85
2		689	693	710	722	713	706	704	704	712	705	705	701	673	663	644	638	637	657	648	671	674	681	686	692	684	2	2 53	724	16 22	629	85
3		692	688	687	689	694	700	710	725	745	752	739	747	732	728	725	720	710	711	713	714	710	710	705	703	714	1	9 04	758	2 39	685	73
4		706	708	710	713	716	720	728	742	760	769	766	766	759	746	733	692	665	635	642	625	604	640	646	708	704	2	9 21	770	19 53	589	181
5		678	689	697	689	683	689	696	717	733	749	762	768	758	733	711	705	711	703	712	716	717	707	703	712	714	1	10 59	770	23 59	660	110
6	P	677	685	707	760	731	671	654	683	707	769	758	709	665	638	590	527	503	469	539	500	482	452	475	557	621	2	9 48	788	22 25	430	358
7	P	477	590	569	550	585	562	575	565	576	580	596	593	598	572	541	549	549	596	601	601	654	669	660	659	586	2	20 37	677	0 55	457	220
8		659	682	672	670	660	662	673	697	714	739	733	739	721	690	671	667	664	651	648	649	652	652	656	674	679	1	9 52	746	9 01	637	109
9		671	673	672	665	673	662	662	671	689	715	719	711	703	723	663	671	669	654	659	675	668	662	690	674	679	1	10 0	724	18 03	643	81
10		662	662	665	670	667	665	675	697	718	731	743	746	733	718	703	696	697	691	677	671	671	672	680	685	691	0	11 02	748	0 15	633	115
11		692	700	695	694	694	695	693	700	724	738	761	764	749	722	703	702	703	698	691	689	689	691	688	691	707	0	11 14	770	0 0	679	91
12	C	695	695	697	702	702	706	718	736	759	779	792	793	785	768	751	740	734	727	720	715	711	712	727	729	733	0	10 52	795	0 42	695	100
13	C	723	723	725	724	717	715	730	752	774	792	802	800	790	785	775	762	752	743	735	732	729	730	736	733	749	1	10 46	805	5 23	711	94
14	C	730	731	733	736	735	738	751	771	792	806	821	810	795	771	751	744	744	742	737	734	730	730	728	726	753	0	10 20	826	1 01	723	103
15		724	727	730	734	735	740	754	773	791	807	803	787	759	741	729	731	709	658	640	646	664	677	689	693	727	1	10 04	817	18 42	631	186
16		691	694	693	696	702	703	714	727	740	752	754	753	743	729	724	728	732	728	722	718	716	711	706	706	720	0	10 18	755	0 17	688	67
17		706	708	712	711	714	714	725	735	749	763	768	770	762	750	732	730	729	725	713	711	712	711	708	710	728	0	11 33	770	0 27	698	72
18		704	711	720	727	719	715	720	732	733	737	741	737	734	725	698	695	692	663	640	644	663	663	662	671	702	1	10 09	743	18 37	635	108
19		679	682	684	685	689	698	701	713	727	747	764	767	757	743	731	720	709	705	695	689	685	692	695	701	711	0	10 58	774	0 0	675	99
20		703	701	701	702	706	707	712	726	737	744	753	761	759	744	728	706	698	702	705	707	705	696	691	687	716	0	11 52	763	23 29	683	80
21		697	701	701	702	707	716	730	745	761	773	778	773	762	748	739	734	727	718	704	701	702	711	707	710	727	0	10 27	778	0 0	689	89
22	C	713	715	716	717	719	724	735	753	774	791	800	797	785	769	757	751	747	744	738	736	733	730	729	730	746	0	10 27	800	0 0	709	91
23	C	729	732	734	737	738	743	753	769	789	804	808	798	779	763	755	750	747	748	742	734	735	735	731	730	753	0	10 24	808	0 52	728	80
24		725	727	728	729	732	731	737	757	774	792	802	794	773	758	752	745	662	620	629	641	678	678	681	688	722	2	10 21	804	17 30	610	194
25	P	693	699	711	722	726	722	704	716	699	677	675	669	649	641	621	602	576	487	488	544	578	624	621	632	645	2	5 58	731	18 19	477	254
26	P	638	642	649	659	662	659	654	668	668	673	668	661	647	650	624	631	628	641	657	682	678	669	694	687	658	2	22 35	698	14 40	610	88
27		680	682	677	713	672	675	687	706	719	734	717	707	692	694	678	667	642	642	655	639	650	679	677	669	681	1	9 17	736	16 54	620	116
28		675	682	702	694	692	691	694	686	686	684	668	640	624	630	623	616	621	642	646	656	670	679	692	687	666	1	2 23	706	15 44	609	97
29		685	718	701	704	700	700	707	722	723	733	715	699	700	674	687	686	642	656	667	685	667	677	693	689	693	2	9 15	734	16 25	622	112
30		690	692	697	693	696	698	710	717	717	731	727	710	704	704	687	676	678	685	674	674	677	683	685	700	696	1	9 39	734	15 59	667	67
31		717	700	692	692	694	704	711	720	740	748	742	743	744	729	706	696	694	682	673	673	694	687	684	698	707	1	11 03	755	19 15	664	91
Media . .		687	695	696	700	699	698	704	717	730	743	745	740	727	716	697	689	678	671	670	672	676	681	684	691	700						119
Media C.		718	719	721	723	722	725	737	756	778	794	805	800	787	771	758	749	745	741	734	730	728	727	730	730	747						94
Media P.		636	665	668	678	681	663	660	669	672	682	684	671	654	647	611	596	584	573	589	598	611	623	628	645	641						201

INTENSIDAD HORIZONTAL

Moca (Fernando Poo)

Mes de Noviembre de 1.960

Imprenta Bobón — Santa Isabel

T. U. H = 30.000 + VALOR DE LA TABLA EXPRESADO EN GAMMAS

Día	S.	0-1	1-2	2-3	3-4	4-5	5-6	6-7	7-8	8-9	9-10	10-11	11-12	12-13	13-14	14-15	15-16	16-17	17-18	18-19	19-20	20-21	21-22	22-23	23-24	Media	C	Máximo h	Máximo m	Máximo	Mínimo h	Mínimo m	Mínimo	Amplitud
1		689	696	694	698	696	704	710	721	740	756	761	756	744	732	718	715	716	718	715	707	699	705	708	707	717	0	10	12	764	21	23	693	71
2		706	707	709	713	715	722	728	731	736	740	737	731	717	709	715	713	707	707	709	706	705	713	704	702	716	0	9	11	741	0	07	703	38
3		711	721	717	711	717	725	741	761	774	778	767	753	749	742	740	732	726	714	710	701	700	674	662	676	725	1	8	59	781	22	17	655	126
4	P	683	676	681	688	695	686	693	695	705	710	718	704	683	677	652	665	667	658	666	683	677	677	677	686	683	1	10	34	725	14	28	643	82
5		702	695	692	691	696	699	702	716	724	732	732	728	719	706	703	705	707	706	702	702	704	704	703	705	707	0	10	42	733	3	06	688	45
6		705	704	704	702	707	713	721	735	755	769	780	778	760	743	734	728	726	725	716	709	713	712	714	713	728	0	11	04	783	3	35	701	82
7	C	710	706	708	714	716	715	721	733	745	752	760	759	755	749	742	736	732	730	726	722	723	722	724	725	730	0	10	34	761	2	13	702	59
8	C	725	723	722	726	730	737	746	764	782	804	812	810	799	781	764	752	744	740	733	731	725	717	710	710	749	1	11	01	815	23	23	706	109
9	C	715	712	714	717	721	724	731	748	763	771	778	770	761	753	747	742	741	737	732	729	725	723	723	723	737	0	10	46	780	1	34	710	70
10		724	723	724	727	730	735	749	782	804	821	828	826	805	788	770	760	768	750	747	743	743	740	743	744	761	1	10	40	834	2	17	723	111
11		746	738	746	751	762	772	775	768	781	813	798	770	753	747	740	735	831	726	719	724	728	724	716	716	753	1	9	37	831	23	0	706	125
12		714	714	718	721	725	732	743	754	764	775	783	778	773	789	812	790	782	724	574	539	554	578	582	571	708	2	14	01	825	22	52	501	324
13	P	577	632	605	627	652	557	518	554	427	469	515	543	596	547	550	461	502	552	581	592	538	557	602	600	556	2	3	58	744	8	16	404	340
14	P	588	608	590	590	601	623	641	650	672	691	706	691	682	674	657	657	653	640	643	647	639	639	640	647	644	2	10	23	718	0	32	574	144
15	P	649	644	655	655	651	652	662	677	693	703	712	709	696	684	651	625	592	581	592	613	602	597	696	638	651	2	22	12	717	21	10	574	143
16	P	582	610	563	587	594	598	611	632	646	659	664	666	658	634	627	626	642	635	636	642	645	647	646	646	629	2	12	11	680	2	34	520	160
17		657	664	659	656	658	662	681	707	721	731	723	714	701	691	680	670	673	661	650	655	658	650	652	660	676	1	9	36	736	18	11	644	92
18	C	662	666	671	665	666	671	680	693	708	718	721	718	710	702	694	692	693	691	690	689	688	686	686	687	689	0	10	12	722	0	35	658	64
19	C	690	690	691	693	698	717	736	759	781	787	802	806	779	761	728	716	715	713	711	711	709	715	714	715	731	1	10	51	814	0	0	687	127
20		712	702	707	714	717	715	716	726	737	745	754	739	728	717	707	716	714	716	712	709	708	706	707	712	718	1	10	29	760	1	46	700	60
21		712	714	717	717	712	716	736	724	721	705	715	710	709	699	686	647	617	585	582	621	654	671	686	680	685	2	6	40	756	18	0	558	198
22		666	673	697	686	676	677	705	723	722	741	746	731	717	707	695	683	669	664	668	678	684	683	703	695	695	1	10	03	749	17	45	659	90
23		691	693	700	703	700	701	707	725	733	740	743	741	733	721	705	700	695	696	698	699	696	693	693	691	708	0	9	55	745	24	0	646	99
24		687	691	700	695	692	711	717	724	739	751	760	765	763	757	742	740	737	741	735	735	726	705	683	699	725	1	12	56	769	22	35	674	95
25		697	696	696	670	671	669	665	716	709	718	713	690	695	690	657	656	660	667	663	656	653	657	669	686	680	1	3	44	724	20	53	643	81
26		682	686	688	68	694	700	702	710	721	734	737	730	714	712	711	708	706	705	702	694	674	684	693	698	703	0	10	34	739	20	35	669	70
27		707	705	704	705	713	718	725	739	740	761	772	769	758	739	713	698	681	664	669	678	688	699	694	694	714	1	10	05	772	17	58	652	120
28		710	701	700	701	703	713	712	710	708	717	727	730	727	717	706	709	711	708	712	704	702	701	703	706	710	1	11	37	731	1	53	695	36
29		711	708	710	710	710	714	723	739	746	760	769	766	757	749	738	729	725	727	722	714	711	706	712	716	728	0	10	34	769	21	45	700	69
30		712	708	708	713	729	724	728	735	747	757	761	761	749	739	730	728	725	715	707	726	715	700	673	673	723	2	11	02	763	24	0	657	106
31																																		
Media . .		687	690	690	691	695	697	704	718	725	737	743	738	730	718	707	698	698	690	684	685	683	683	687	687	703								111
Media C.		700	699	701	703	706	713	723	739	756	766	775	773	761	749	735	728	725	722	718	716	714	713	711	712	727								86
Media P.		616	634	619	629	639	623	625	642	629	646	663	663	663	643	627	607	611	613	624	635	620	623	652	643	633								174

INTENSIDAD HORIZONTAL

Moca (Fernando Poo) — Mes de Diciembre de 1.960

T. U. — H = 30.000 + VALOR DE LA TABLA EXPRESADO EN GAMMAS

Día	S.	0-1	1-2	2-3	3-4	4-5	5-6	6-7	7-8	8-9	9-10	10-11	11-12	12-13	13-14	14-15	15-16	16-17	17-18	18-19	19-20	20-21	21-22	22-23	23-24	Media	C	Máximo h m		Mínimo h m		Amplitud
1		697	688	698	730	710	690	661	668	691	679	684	670	669	642	605	568	556	561	576	581	633	634	629	626	648	2	3 25	740	16 12	555	185
2		645	650	655	657	665	671	681	702	702	711	714	727	706	688	694	687	675	674	680	686	694	700	694	685	685	1	11 37	728	0 0	638	90
3		684	685	687	689	699	706	714	729	745	753	759	755	745	733	724	718	712	709	704	700	703	704	702	705	715	0	10 26	760	0 0	683	77
4	C	706	706	707	706	706	711	717	727	743	757	763	759	749	733	720	707	705	699	693	690	696	699	703	706	717	0	10 55	765	19 15	685	80
5		706	705	705	702	710	717	725	736	751	765	775	765	747	737	727	723	718	713	713	713	720	724	725	729	727	1	10 56	780	19 11	702	78
6		731	731	734	734	734	740	748	756	763	772	775	762	737	714	691	670	649	631	610	610	644	680	680	686	707	1	10 39	778	19 02	600	178
7		686	691	700	701	708	721	728	735	741	753	767	769	748	715	709	703	700	703	724	703	687	687	700	693	715	2	11 10	775	20 29	676	99
8	P	668	667	682	695	705	723	737	755	758	764	755	750	744	735	724	720	724	721	718	718	715	715	720	722	722	2	10 00	773	0 44	659	114
9	P	721	722	706	716	715	707	713	734	746	750	766	762	752	740	714	715	704	707	704	714	710	704	710	717	723	1	10 26	769	16 55	699	70
10		721	715	710	713	713	715	721	733	748	763	771	764	755	749	737	730	726	724	721	715	718	734	727	728	731	0	10 48	772	2 48	706	66
11	C	727	724	726	723	727	728	732	739	751	752	755	756	754	743	736	728	735	738	735	733	722	706	707	707	733	0	11 50	757	21 38	702	55
12		716	715	713	711	717	724	731	737	749	759	757	754	753	749	737	719	694	685	683	676	675	679	698	691	717	1	9 18	762	20 56	666	96
13		691	698	696	704	702	705	708	716	723	732	738	738	732	735	734	728	723	718	717	719	719	719	722	726	718	0	11 30	740	2 25	692	48
14	C	729	731	735	735	737	739	746	758	766	791	795	817	813	791	777	755	745	741	739	736	734	735	735	734	755	1	11 31	821	0 11	727	94
15		733	734	739	743	743	738	733	726	715	707	695	683	666	653	622	635	572	553	541	527	570	588	624	636	661	1	3 19	743	18 16	534	209
16		633	643	750	660	661	662	670	657	655	657	665	664	669	681	692	689	683	684	688	687	689	686	679	685	674	1	14 53	731	0 21	624	107
17	C	695	695	700	700	702	707	715	729	734	741	739	740	740	736	727	721	719	718	718	714	714	716	722	724	719	0	12 00	741	0 0	689	52
18		725	724	727	733	733	744	736	716	721	720	706	714	709	705	698	668	634	652	668	671	689	695	696	711	704	1	5 20	748	16 30	627	121
19	P	715	711	709	712	718	733	733	734	736	747	737	738	739	741	741	732	721	727	728	724	715	721	726	723	727	1	9 17	747	1 59	705	42
20	P	720	720	724	724	728	733	737	743	760	767	769	752	741	735	734	729	724	717	708	702	717	696	706	709	729	1	10 30	773	21 53	685	88
21		719	728	725	720	721	723	720	731	749	756	753	747	752	748	725	683	692	700	708	710	702	703	697	702	721	1	9 11	759	15 36	673	86
22	P	715	721	713	715	712	712	713	722	732	738	742	745	738	737	733	721	706	710	716	718	711	718	718	725	722	1	11 05	747	16 27	700	47
23		734	723	718	716	714	718	728	741	754	767	769	751	737	722	722	717	720	720	719	724	729	732	734	732	731	1	9 55	771	4 10	712	59
24		730	728	733	732	731	729	733	747	766	783	790	788	764	726	715	725	721	703	716	727	726	720	731	729	737	1	10 40	792	17 35	695	97
25	C	726	726	726	725	724	725	734	748	767	779	787	786	777	760	747	740	736	732	725	724	733	729	728	726	742	0	10 49	789	19 45	723	66
26		741	740	732	740	739	736	736	745	754	767	783	784	775	771	765	752	738	739	739	740	746	743	742	746	750	1	15 27	786	0 0	726	60
27		750	751	744	753	753	752	738	751	762	755	763	743	709	679	666	640	634	601	581	607	621	662	668	666	698	2	10 30	802	18 55	577	225
28		669	670	676	680	685	688	692	690	698	696	696	691	715	714	687	684	671	684	695	707	703	702	703	706	692	1	13 08	717	0 56	664	53
29		706	706	718	712	707	709	708	706	718	729	734	742	737	731	719	696	668	682	698	697	701	702	707	708	710	1	11 24	742	16 26	660	82
30		712	712	671	712	710	718	733	746	760	777	788	776	760	745	726	726	727	717	697	698	706	706	711	715	727	1	10 37	787	19 15	690	97
31		718	715	714	716	715	718	720	735	736	750	757	756	738	728	720	697	693	686	703	701	697	695	698	702	717	1	10 54	758	17 35	680	78
Media . .		709	709	712	713	714	717	721	729	738	746	750	747	738	726	715	704	694	692	692	693	698	701	704	706	715						93
Media C.		717	716	719	718	719	722	729	740	752	764	768	772	767	753	741	730	728	726	722	719	720	717	719	719	733						69
Media P.		708	708	707	712	716	722	727	738	746	753	754	749	743	738	729	723	716	716	715	715	714	711	716	719	725						72

DECLINACION OESTE

Moca (Fernando Poo)

Mes de Enero de 1.960

T. U. D. OESTE = 7ª + VALOR DE LA TABLA EXPRESADO EN DECIMAS DE MINUTOS

Día	S	0-1	1-2	2-3	3-4	4-5	5-6	6-7	7-8	8-9	9-10	10-11	11-12	12-13	13-14	14-15	15-16	16-17	17-18	18-19	19-20	20-21	21-22	22-23	23-24	Media	C	Máximo h	m		Mínimo h	m		Amplitud
1	C	337	340	344	345	354	366	376	373	364	349	343	341	334	327	340	347	351	348	338	331	332	335	332	337	345	0	5	52	377	12	17	320	57
2	C	338	340	344	347	352	364	372	367	346	329	319	319	310	302	314	332	351	350	338	330	331	334	337	337	337	0	7	10	372	13	26	301	71
3		338	341	347	349	348	355	367	373	367	357	354	343	323	312	328	345	346	350	337	332	334	334	334	332	343	0	7	25	373	13	35	311	62
4		331	333	335	339	342	343	348	343	354	343	337	333	330	330	329	335	306	343	337	333	335	337	333	334	335	1	8	21	354	13	0	321	33
5		332	337	337	343	348	337	340	350	350	356	357	354	346	343	343	344	341	345	342	332	332	333	333	322	341	1	10	16	362	23	11	315	47
6		327	334	326	328	334	334	345	352	352	359	367	370	363	355	355	348	348	352	343	338	339	336	334	334	344	0	11	26	370	0	06	317	53
7		335	332	334	334	335	341	349	345	331	330	331	325	320	321	327	337	336	357	349	339	338	334	337	335	335	0	17	25	357	12	31	317	40
8		334	334	330	336	342	346	347	345	343	337	339	341	339	332	335	343	352	353	343	339	342	340	338	334	340	0	17	03	354	1	44	327	27
9	C	334	334	335	342	345	348	355	352	341	338	329	319	312	310	320	332	346	347	337	337	338	334	332	332	335	0	7	11	352	13	20	307	45
10	P	334	337	346	345	355	358	368	362	349	355	356	351	335	329	328	328	335	331	332	334	331	325	327	332	340	2	5	42	370	21	13	317	53
11	P	335	336	342	339	346	355	357	355	346	341	343	342	332	331	331	333	336	331	333	335	334	333	332	334	338	1	6	43	358	18	25	326	32
12		335	337	343	343	348	354	357	349	331	314	307	321	320	313	316	329	342	342	336	337	334	331	331	332	333	1	6	27	358	10	24	298	60
13		334	339	343	348	348	361	372	366	348	337	346	337	318	307	316	327	334	334	328	322	318	319	321	325	335	1	6	46	373	13	36	303	70
14	P	335	342	339	348	353	363	368	352	338	327	325	333	336	339	346	348	352	343	339	348	336	330	325	326	341	2	6	21	370	10	10	316	54
15	P	334	332	331	341	352	358	366	357	348	340	334	321	320	329	331	342	348	345	338	337	334	334	333	334	339	1	6	12	367	12	54	310	57
16		335	336	341	345	346	353	360	357	343	334	321	319	321	316	316	328	343	347	339	337	337	337	334	332	336	0	7	0	361	10	43	315	46
17		337	342	343	343	348	350	360	338	348	349	348	328	319	319	329	331	330	332	332	332	335	335	332	334	337	2	9	46	349	0	0	303	46
18		333	335	341	348	351	355	365	367	366	340	308	292	299	313	325	330	337	332	333	333	333	333	333	333	334	2	3	38	371	11	58	279	92
19		332	333	335	336	339	339	346	342	335	344	356	357	344	339	333	332	331	338	339	338	339	339	337	332	338	0	11	0	358	15	07	311	47
20		331	333	339	342	348	335	339	343	337	341	332	340	336	319	332	345	355	348	335	332	332	333	333	339	337	1	16	42	355	13	51	317	38
21	P	342	335	348	348	348	363	371	360	343	346	348	345	336	333	327	328	332	332	331	329	333	336	331	327	340	2	7	12	371	23	26	321	50
22		332	336	339	340	341	344	348	339	339	348	349	348	343	334	330	330	339	344	335	334	330	332	331	335	338	1	10	0	355	15	06	322	33
23		339	340	339	341	347	340	349	360	348	350	371	357	333	330	339	332	330	336	332	332	331	333	332	332	340	1	10	39	374	20	31	323	51
24		339	346	345	346	347	348	348	359	358	348	346	344	353	348	348	352	345	340	335	332	331	332	335	336	344	1	9	08	361	19	30	328	33
25		338	341	341	344	343	348	349	340	320	308	308	303	295	299	304	312	322	331	332	331	330	332	334	338	326	1	6	37	351	12	52	294	57
26		338	339	342	348	348	355	357	351	344	335	335	335	332	330	339	348	348	344	335	331	330	335	333	339	340	0	6	17	359	13	36	324	35
27		339	339	343	345	348	357	375	375	359	334	315	304	304	322	326	341	347	344	339	339	333	335	332	332	340	1	7	12	374	11	24	302	72
28		333	339	340	347	349	362	375	375	348	327	304	290	298	312	323	335	343	344	338	335	332	333	333	333	335	1	6	47	377	11	33	285	92
29		336	339	341	348	354	367	382	384	373	348	330	314	311	320	330	340	347	344	336	334	332	331	330	330	341	1	7	27	384	12	37	303	81
30	C	342	335	340	348	353	365	383	393	393	369	340	326	313	303	309	322	339	340	336	333	330	332	330	332	342	1	8	06	394	13	12	302	92
31	C	333	336	339	346	352	361	371	380	366	340	317	306	303	312	321	328	337	339	333	332	331	335	335	335	337	1	7	40	380	12	37	301	79
Media . .		335	337	340	343	347	352	360	358	349	341	336	331	325	323	329	336	341	342	336	334	333	333	332	333	339								55
Media C.		337	337	340	346	351	361	371	373	362	345	330	322	314	311	321	332	345	345	336	333	332	334	333	335	339								68
Media P.		336	336	341	344	351	359	366	357	345	342	341	338	332	332	333	336	341	336	335	337	334	332	330	331	340								49

DECLINACION OESTE

Moca (Fernando Poo)

Mes de Febrero de 1.960

T. U. D. OESTE = 7º + VALOR DE LA TABLA EXPRESADO EN DECIMAS DE MINUTOS

Día	S.	0-1	1-2	2-3	3-4	4-5	5-6	6-7	7-8	8-9	9-10	10-11	11-12	12-13	13-14	14-15	15-16	16-17	17-18	18-19	19-20	20-21	21-22	22-23	23-24	Media	C	Máximo h m		Mínimo h m		Amplitud
1		339	339	343	348	348	344	359	368	362	348	336	324	323	332	334	339	338	339	335	330	329	333	334	333	339	1	7 52	369	12 01	312	57
2		337	332	332	334	340	348	344	375	376	375	369	356	338	341	340	346	356	350	348	345	335	332	330	325	346	1	8 54	376	23 20	317	59
3		329	330	330	326	330	335	353	368	369	362	350	339	323	328	333	339	344	344	335	334	333	330	329	320	338	1	8 32	371	23 11	315	56
4		325	329	332	335	333	339	348	356	356	351	347	334	340	337	335	331	339	348	347	341	339	338	333	332	339	1	7 50	358	0 10	320	38
5		337	338	337	339	339	342	350	352	348	358	358	354	358	356	351	352	348	342	343	337	329	332	333	329	344	2	10 02	360	23 25	321	39
6		322	326	328	329	332	342	351	358	359	355	357	358	349	335	334	337	340	340	333	330	327	330	330	331	338	1	7 48	359	0 59	319	40
7	C	338	344	346	348	346	345	357	364	363	355	348	348	348	346	345	343	338	335	335	331	329	331	333	335	343	0	8 05	364	20 10	326	38
8		335	337	342	345	346	348	353	348	340	330	323	321	322	329	334	332	331	334	330	339	330	330	330	331	335	1	6 49	355	12 0	313	42
9	C	335	338	333	343	344	347	346	340	331	326	323	319	322	324	331	333	337	337	333	330	331	337	335	336	333	0	6 19	344	11 10	315	29
10	C	339	342	348	350	356	356	351	357	339	337	328	325	330	337	331	337	339	339	333	329	332	333	335	335	339	1	4 52	357	11 06	318	39
11		339	341	343	346	348	353	362	361	348	340	338	329	322	330	339	339	339	341	335	331	330	331	330	330	339	1	6 52	362	12 35	319	43
12		334	335	342	348	349	358	366	368	368	362	357	350	344	341	338	341	346	344	337	328	331	335	335	335	345	0	8 15	368	19 45	326	42
13		335	339	341	346	348	357	372	376	375	365	348	338	330	330	330	330	330	332	330	330	334	339	330	326	342	1	7 49	376	13 49	321	55
14	P	330	339	340	341	344	349	358	360	357	342	322	321	321	324	330	339	342	341	339	335	330	329	330	331	337	1	7 25	358	11 02	312	46
15		331	332	335	338	339	352	365	363	343	328	323	322	312	310	313	319	325	328	332	330	331	336	335	334	332	1	7 05	365	13 06	305	60
16	P	330	330	328	335	333	339	348	358	344	337	339	338	328	329	328	330	330	330	330	326	330	290	335	330	332	2	7 20	353	14 54	317	36
17	P	330	335	341	348	347	349	359	357	354	348	347	340	335	348	348	331	339	348	343	339	340	341	333	326	342	1	6 35	366	14 55	323	43
18	P	329	334	330	330	330	331	344	348	348	349	348	339	333	332	332	331	330	332	335	323	330	331	335	332	334	1	9 50	352	18 55	317	35
19		330	330	335	331	332	338	348	351	353	352	348	340	330	322	321	322	335	342	332	330	330	326	330	330	334	1	8 43	353	14 49	316	37
20		326	330	322	332	330	330	345	344	341	339	335	335	330	326	328	326	330	339	335	329	331	331	331	332	332	1	6 44	347	2 32	317	30
21	P	333	333	331	333	338	341	348	342	339	331	324	312	306	313	319	324	326	332	331	330	330	331	332	332	329	1	6 15	349	12 25	312	37
22		332	332	335	338	340	346	348	345	339	333	328	330	330	334	333	335	337	339	335	330	330	330	332	331	335	0	6 42	348	10 43	324	24
23		333	335	336	340	342	347	348	350	348	340	335	331	330	329	330	328	328	330	330	330	331	330	331	333	335	0	6 55	349	16 31	321	28
24	C	332	335	339	339	339	339	339	339	334	330	330	330	335	338	330	329	335	339	337	330	331	331	332	335	334	0	4 57	339	9 29	322	17
25	C	335	333	334	335	338	337	357	358	357	346	339	330	322	322	325	323	330	335	335	332	332	330	331	332	335	0	6 51	360	13 0	321	39
26		334	335	335	335	335	340	347	339	337	329	321	320	320	328	330	331	339	339	338	331	331	332	334	336	333	1	6 19	344	11 36	311	33
27		336	335	339	339	340	348	346	368	365	357	348	338	337	339	339	339	338	337	326	324	327	328	332	333	338	1	7 39	373	18 42	320	53
28		335	333	335	339	341	337	341	344	348	342	348	348	348	347	338	334	336	338	335	335	328	330	330	330	338	1	10 40	348	24 0	327	21
29		331	330	333	331	332	337	344	346	344	337	330	335	332	326	327	330	333	337	338	332	335	330	331	332	335	1	7 36	346	13 57	321	25
30																																
31																																
Media ...		334	334	336	339	340	345	352	355	351	345	339	335	331	332	333	334	336	338	335	332	331	330	332	331	337						39
Media C.		336	338	340	343	345	345	350	352	345	339	334	330	331	333	332	333	336	337	335	330	331	332	333	335	337						32
Media P.		330	334	334	337	338	342	351	353	348	341	336	330	325	329	331	331	333	337	336	331	332	324	333	330	335						39

DECLINACION OESTE

Moca (Fernando Poo)

Mes de Marzo de 1.960

T. U. D. OESTE = 7º + VALOR DE LA TABLA EXPRESADO EN DECIMAS DE MINUTOS

Día	S.	0-1	1-2	2-3	3-4	4-5	5-6	6-7	7-8	8-9	9-10	10-11	11-12	12-13	13-14	14-15	15-16	16-17	17-18	18-19	19-20	20-21	21-22	22-23	23-24	Media	C	Máximo h	Máximo m		Mínimo h	Mínimo m		Amplitud
1		331	329	325	330	333	336	347	349	342	338	328	326	323	321	328	335	339	342	340	340	338	328	332	331	333	1	7	25	348	12	54	317	31
2	P	330	322	322	330	329	332	336	341	336	334	326	326	331	339	338	330	334	333	333	330	330	334	336	332	331	1	7	31	342	2	30	321	21
3	P	330	324	326	322	321	317	324	339	333	332	336	336	338	341	335	331	324	335	333	328	331	333	334	333	330	1	7	47	341	16	05	323	18
4		331	330	330	332	332	329	326	326	320	315	306	303	314	324	339	330	333	336	335	330	333	333	335	332	327	1	14	35	348	11	53	298	50
5		332	331	329	328	326	324	330	339	339	339	338	331	332	336	335	332	335	341	340	337	333	332	329	330	333	1	7	57	351	5	40	330	21
6		334	336	336	343	339	339	349	358	359	349	339	336	339	343	341	336	332	333	334	329	324	332	332	333	338	1	8	24	369	20	34	331	38
7	C	334	334	336	337	339	338	340	341	337	330	325	332	343	354	354	349	339	335	334	331	331	333	334	334	336	0	13	52	365	10	01	330	35
8		336	336	339	343	343	345	348	342	340	336	332	326	339	348	347	339	332	329	326	326	338	332	335	335	336	1	6	12	360	10	55	333	27
9		334	336	343	345	344	344	343	336	328	325	326	332	343	344	342	336	335	335	333	327	328	331	335	336	335	1	3	55	354	9	15	330	24
10		337	339	339	342	339	342	342	343	340	331	315	324	339	346	342	339	334	330	325	318	325	331	333	333	334	1	13	25	356	10	45	322	34
11	P	335	339	339	341	345	348	345	357	353	339	339	325	333	336	335	328	326	328	321	323	327	333	333	330	335	2	7	02	369	11	41	325	44
12		334	335	336	337	336	343	343	353	352	344	337	337	338	342	342	337	328	326	332	330	328	332	332	332	336	0	7	12	362	17	11	333	29
13	C	330	331	334	335	336	339	339	335	328	323	316	321	332	336	329	329	332	333	331	330	327	328	331	335	330	0	6	03	351	10	39	320	31
14		334	333	334	338	336	336	344	348	348	344	339	344	354	357	348	339	348	340	335	334	331	331	331	339	340	1	13	07	365	23	05	338	27
15		331	330	333	333	336	339	350	354	360	360	358	357	351	344	353	357	359	350	339	327	327	331	330	328	343	2	9	23	371	19	39	326	45
16	P	310	309	304	314	318	324	334	346	344	339	336	339	349	361	363	355	349	336	325	316	315	326	324	330	331	2	14	17	372	20	06	303	69
17		333	335	336	343	342	346	351	354	351	339	335	335	338	335	333	335	339	335	327	329	324	324	330	333	336	1	7	56	363	20	02	324	39
18		333	330	325	334	335	345	351	353	353	342	327	319	325	325	332	333	336	335	331	331	331	332	332	332	334	0	7	25	364	10	49	327	37
19		333	332	332	332	335	343	352	361	360	353	339	335	335	336	329	326	332	334	332	330	326	331	333	339	337	0	7	41	361	14	36	321	40
20	C	336	333	334	335	335	335	339	338	334	326	322	328	339	342	333	324	330	333	330	330	330	334	334	334	332	0	13	06	342	10	45	317	25
21		334	333	334	334	333	334	342	342	339	335	326	333	344	344	342	333	335	335	332	331	331	331	332	333	335	0	12	52	345	10	11	325	20
22	C	334	333	333	333	334	337	343	351	350	339	332	339	343	343	333	325	326	328	329	330	329	332	329	334	334	0	7	42	351	15	54	320	31
23	C	333	332	333	333	333	337	345	351	349	343	333	339	352	358	357	342	330	331	333	332	331	331	330	332	338	0	13	59	360	17	44	326	34
24		333	335	327	330	334	337	345	349	352	352	342	336	345	350	350	344	333	326	331	330	328	330	333	334	337	1	9	11	352	20	35	323	29
25		329	332	333	332	330	335	334	324	315	306	303	321	349	352	344	336	331	328	324	326	327	329	332	332	329	1	12	50	359	10	22	299	60
26		330	327	330	332	332	340	354	360	352	341	327	330	332	332	329	328	324	326	330	332	330	330	332	330	333	0	7	30	360	16	29	321	39
27		339	326	329	328	328	335	344	348	340	325	312	326	343	342	333	328	333	334	334	335	333	332	330	331	332	0	7	18	348	10	28	308	40
28		339	328	330	331	331	339	347	356	353	339	333	343	350	351	349	352	348	334	334	333	325	319	326	328	338	1	6	49	357	21	07	314	43
29		322	319	319	321	326	328	328	332	325	321	324	333	333	333	328	328	336	334	328	330	330	330	330	326	327	1	12	46	334	10	06	316	18
30		316	320	326	329	329	333	345	356	357	345	333	333	338	333	335	335	330	326	330	330	331	327	324	320	332	1	7	40	355	0	42	310	45
31	P	321	311	305	310	312	308	313	325	326	324	335	320	339	366	369	377	391	360	358	364	344	335	304	280	333	2	16	39	398	23	36	253	145
Media . .		331	330	330	332	333	336	341	345	342	336	330	331	339	342	341	337	336	334	332	331	329	330	330	330	334								38
Media C.		333	333	334	335	335	337	341	343	340	332	326	332	342	347	341	334	331	332	331	331	330	332	332	334	335								31
Media P.		325	321	319	323	325	326	330	342	338	334	334	329	338	349	348	344	345	338	334	332	329	332	326	321	333								59

DECLINACION OESTE

Moca (Fernando Poo) — Mes de Abril de 1.960

T. U. — D. OESTE = 7ª + VALOR DE LA TABLA EXPRESADO EN DECIMAS DE MINUTOS

Día	S.	0-1	1-2	2-3	3-4	4-5	5-6	6-7	7-8	8-9	9-10	10-11	11-12	12-13	13-14	14-15	15-16	16-17	17-18	18-19	19-20	20-21	21-22	22-23	23-24	Média	C.	Máximo h m		Mínimo h m		Amplitud
1	P	253	321	311	300	315	328	333	318	295	269	327	352	363	343	342	334	332	332	302	306	336	298	307	316	318	2	12 20	386	0 15	231	155
2		310	306	297	310	315	299	289	284	287	290	295	324	348	356	355	324	358	350	344	340	337	335	332	331	321	2	15 28	365	7 21	285	80
3	P	328	324	334	335	336	333	312	304	305	301	307	321	329	333	336	336	338	332	333	336	336	334	333	333	327	2	3 58	354	9 02	298	56
4		333	331	330	333	335	335	342	354	351	347	345	347	346	346	337	332	328	319	324	333	329	318	326	333	335	1	7 51	358	21 20	318	40
5		334	331	328	335	335	325	326	337	333	327	325	332	339	335	332	327	331	330	331	336	338	336	333	335	332	2	7 56	343	2 33	328	15
6		333	332	331	332	328	325	325	328	333	339	335	332	339	346	343	339	336	331	336	333	324	323	328	330	332	1	13 20	347	21 35	322	25
7		325	326	321	318	317	323	328	336	332	324	329	342	351	345	343	342	333	313	310	314	315	319	320	327	327	2	12 45	355	18 0	309	46
8		332	331	328	328	331	330	331	334	343	333	335	348	355	351	343	335	323	325	326	329	332	335	336	337	334	1.	12 25	360	16 41	324	36
9	C	335	333	334	336	332	335	334	336	330	324	327	337	339	341	342	338	332	326	330	337	334	334	335	334	333	1	11 29	345	9 31	323	22
10		332	333	333	333	325	325	330	335	324	317	327	343	346	346	348	342	337	330	327	327	326	324	314	309	330	2	14 08	355	23 26	307	48
11		317	322	319	330	332	331	329	333	327	330	334	333	335	339	343	340	332	327	332	337	337	330	328	327	331	1	14 45	346	0 0	315	31
12		326	321	319	320	328	336	330	324	317	311	314	323	335	341	343	342	333	325	327	333	336	331	333	328	328	1	15 30	345	10 04	313	32
13		327	332	330	327	327	327	319	332	334	326	324	333	341	347	347	342	337	328	331	335	336	337	333	333	332	1	14 49	351	6 05	318	33
14		328	327	327	329	332	328	333	332	331	333	338	344	341	342	342	337	332	323	324	330	333	332	332	330	332	1	11 26	348	17 42	321	27
15		327	328	330	332	335	326	319	334	343	340	339	347	348	342	342	339	334	328	330	338	338	335	335	334	335	1	11 45	350	6 15	319	31
16		333	330	331	332	331	330	324	318	316	315	321	334	342	341	341	342	337	319	328	334	330	330	332	332	330	2	12 54	350	17 32	318	32
17		328	336	332	329	324	310	305	306	317	333	343	353	361	360	360	351	348	338	333	334	334	330	324	331	334	1	12 59	363	6 29	306	57
18		334	325	326	334	330	325	327	321	326	335	342	346	344	344	347	339	330	327	329	335	335	336	334	335	333	1	14 14	350	17 30	327	23
19	C	333	336	335	331	325	317	316	318	324	330	339	339	339	337	337	332	328	327	328	336	336	337	335	334	331	0	12 0	343	6 04	316	27
20	C	335	334	335	335	331	321	315	318	328	327	326	336	344	342	343	342	334	327	332	338	336	336	335	334	332	0	12 32	346	6 30	314	32
21	C	333	335	335	334	333	327	327	331	334	336	341	348	341	332	327	322	323	332	333	338	339	338	338	336	333	0	11 31	351	15 42	319	32
22	C	335	336	336	337	335	335	333	344	353	356	361	371	372	362	348	335	324	324	327	332	335	335	333	333	341	0	11 40	378	16 45	323	55
23		331	331	331	329	323	310	308	317	332	342	351	362	358	348	341	332	327	324	327	334	332	324	320	321	314	1	11 40	365	6 10	307	58
24	P	315	305	305	316	317	306	308	308	312	325	346	367	370	359	339	330	324	315	317	317	322	310	312	312	323	2	12 48	370	5 32	300	70
25		306	309	318	328	312	296	300	324	339	349	362	366	368	369	352	342	327	312	316	326	320	319	322	319	329	2	13 10	377	6 0	292	85
26		323	319	324	326	317	300	295	303	317	327	340	351	356	357	348	335	326	322	325	326	324	325	324	312	325	1	13 01	360	6 23	292	68
27		324	326	325	325	315	304	301	308	323	333	336	342	344	346	347	340	328	324	328	329	335	336	327	304	327	1	14 59	350	23 56	292	58
28	P	294	288	277	272	296	290	292	307	320	334	351	361	359	337	336	336	333	339	339	330	319	321	324	322	319	2	12 17	371	3 30	264	107
29		324	307	311	315	309	303	300	323	341	343	346	347	345	339	335	334	329	330	326	327	328	330	324	318	326	1	10 42	354	6 12	298	56
30	P	315	317	291	286	308	296	288	303	317	323	332	343	353	366	332	369	392	344	323	333	347	334	328	328	327	2	10 26	421	4 14	278	143
31																																
Media . .		323	324	323	324	324	319	317	322	326	327	335	344	348	346	342	338	334	327	327	331	332	329	328	327	330						52
Media C.		334	335	335	335	331	327	325	329	334	335	339	346	347	343	339	334	328	327	330	336	336	336	335	334	335						34
Media P.		301	311	304	302	314	311	307	308	310	310	333	349	355	348	337	341	344	332	323	324	332	319	321	322	323						110

DECLINACION OESTE

Moca (Fernando Poo) — Mes de Mayo de 1.960

T. U. — D. OESTE = 7º + VALOR DE LA TABLA EXPRESADO EN DECIMAS DE MINUTOS

Día	S.	0-1	1-2	2-3	3-4	4-5	5-6	6-7	7-8	8-9	9-10	10-11	11-12	12-13	13-14	14-15	15-16	16-17	17-18	18-19	19-20	20-21	21-22	22-23	23-24	Media	C	Máximo h	Máximo m		Mínimo h	Mínimo m		Amplitud
1	P	327	318	310	315	308	287	273	287	316	337	359	374	372	359	345	335	327	324	328	327	324	316	328	329	326	2	11	48	383	6	36	272	111
2		330	329	327	329	320	318	315	320	326	331	328	329	324	320	316	313	313	320	323	325	327	328	330	331	323	1	11	58	333	6	25	312	21
3		330	330	330	332	327	326	329	343	350	346	338	327	326	321	318	315	314	321	325	326	334	334	334	334	329	1	8	13	354	16	04	315	39
4	C	334	334	331	330	325	323	326	339	348	351	343	335	334	324	321	325	325	321	324	328	332	325	326	327	330	0	9	30	352	14	11	322	30
5		330	331	332	328	324	310	310	324	334	343	341	337	335	331	320	316	317	324	327	332	328	325	328	328	327	0	10	06	347	6	01	309	38
6	P	326	331	332	327	321	309	309	323	330	331	331	339	349	350	343	337	333	331	312	319	325	322	319	310	327	2	13	10	355	18	45	305	50
7	P	314	320	314	312	303	308	313	325	329	326	323	320	330	339	334	339	343	334	327	331	328	327	328	326	324	2	15	50	348	4	15	302	46
8	P	329	329	327	325	315	303	316	327	324	325	325	335	357	342	344	338	347	338	328	335	332	326	325	323	329	2	12	28	368	5	10	299	69
9		332	326	324	322	315	308	315	333	347	345	343	349	336	326	32o	317	318	317	322	330	331	331	330	329	327	2	11	06	358	5	13	308	50
10		329	330	331	326	322	319	325	326	344	337	338	338	335	333	332	327	323	323	325	330	332	333	326	328	329	0	8	27	348	5	21	318	30
11		326	326	325	324	319	312	295	325	328	339	344	348	348	339	335	333	333	325	322	325	330	327	324	325	328	1	10	52	352	6	12	290	62
12		324	320	319	320	315	310	314	326	330	324	323	325	326	326	333	330	328	328	329	335	334	332	329	326	325	1	14	40	337	5	19	309	28
13		326	327	324	326	321	301	308	320	322	325	333	333	333	332	326	325	322	324	326	330	332	329	321	321	324	1	11	19	338	5	41	291	47
14		327	330	330	331	326	311	298	302	304	299	303	314	322	324	329	333	329	321	327	335	339	333	333	332	322	1	15	10	338	9	56	297	41
15		332	332	331	329	320	306	304	308	320	332	339	338	332	329	328	324	328	323	324	331	332	332	333	333	326	1	10	43	346	6	02	303	43
16		331	328	328	326	320	308	304	319	336	343	351	344	341	339	346	351	369	351	339	343	334	333	333	332	335	2	16	46	376	6	14	306	70
17		326	329	328	326	315	302	296	305	320	333	345	350	347	332	330	329	332	322	323	332	333	332	332	332	327	1	11	42	355	6	36	294	61
18	C	331	332	332	327	322	315	312	324	335	345	339	332	328	324	321	316	316	321	325	330	332	335	336	334	327	0	9	30	346	6	28	312	34
19	C	332	331	326	322	315	303	299	308	322	333	337	336	328	323	321	322	323	322	323	330	332	330	333	334	324	0	9	36	339	6	27	299	40
20	C	335	334	333	328	321	308	312	332	347	357	359	356	347	336	333	333	330	324	326	330	330	330	333	335	333	0	10	54	362	5	50	307	55
21		336	335	331	330	323	317	318	324	333	342	355	355	349	342	334	330	327	326	328	332	331	332	328	330	332	0	10	49	362	5	34	317	45
22	C	330	330	330	330	324	311	308	315	328	339	350	351	348	347	343	342	338	338	335	335	332	331	329	330	333	1	11	02	357	6	15	308	49
23		332	330	330	326	318	306	305	322	333	331	333	339	343	343	346	345	344	342	335	330	331	329	332	330	331	1	14	15	352	5	55	302	50
24		330	327	329	330	324	315	308	309	326	343	355	355	355	347	338	336	337	339	334	326	324	329	328	324	332	1	12	43	359	7	0	299	60
25		320	316	318	316	312	304	303	316	327	350	355	353	345	344	343	342	338	330	325	325	326	326	328	324	328	1	11	13	360	6	09	302	58
26		315	319	317	316	315	298	294	315	339	359	354	348	350	347	348	349	341	333	327	332	332	327	324	321	330	1	9	29	369	6	01	301	68
27		315	317	307	313	316	300	299	315	329	339	343	340	333	332	333	337	333	330	330	328	328	330	325	326	324	0	10	28	351	5	56	297	54
28		326	324	325	328	323	308	308	324	338	351	362	369	361	354	348	342	339	332	332	333	333	327	327	325	334	1	11	40	370	5	57	308	62
29	P	312	297	296	308	315	298	296	315	328	346	360	352	342	343	335	334	324	325	327	334	331	322	329	331	325	2	10	33	362	6	01	291	71
30		333	331	332	327	321	308	306	311	331	339	343	343	333	335	323	312	310	318	321	329	335	334	335	335	326	1	11	31	352	6	08	306	46
31		333	333	334	331	321	306	298	302	316	331	335	335	325	317	325	334	338	334	333	334	333	328	325	325	326	1	11	32	352	5	54	298	54
Media		327	327	325	324	319	308	307	319	330	338	341	342	340	335	333	331	330	328	327	330	331	329	329	328	328								51
Media C.		332	332	330	327	321	312	311	324	336	345	346	342	337	331	328	328	326	325	327	331	332	330	331	332	330								41
Media P.		322	319	316	317	312	301	301	315	325	333	340	344	350	347	340	337	335	330	324	329	328	323	326	324	327								47

DECLINACION OESTE

Moca (Fernando Poo) — Mes de Junio de 1.960

T. U. — D. OESTE = 7ª + VALOR DE LA TABLA EXPRESADO EN DECIMAS DE MINUTOS

Día	S.	0-1	1-2	2-3	3-4	4-5	5-6	6-7	7-8	8-9	9-10	10-11	11-12	12-13	13-14	14-15	15-16	16-17	17-18	18-19	19-20	20-21	21-22	22-23	23-24	Media	C	Máximo h	m		Mínimo h	m		Amplitud
1		323	323	317	308	311	299	305	318	326	326	346	338	331	325	327	329	338	338	338	336	334	333	333	332	326	1	10	56	352	7	0	315	37
2	C	327	327	328	326	323	314	313	314	321	321	341	348	347	336	330	325	325	330	330	334	334	334	332	330	329	0	11	45	352	7	04	312	40
3		330	329	329	327	322	318	318	322	327	327	334	332	331	334	341	340	336	333	334	338	337	327	326	324	330	1	15	16	343	6	02	318	25
4	P	322	320	312	293	281	277	277	282	309	309	348	354	351	349	350	351	350	346	343	338	332	329	322	325	324	2	14	45	359	6	35	273	86
5		331	327	327	334	325	306	290	292	306	306	341	346	353	351	344	342	340	333	330	330	326	332	333	331	328	2	12	25	359	5	43	290	69
6		321	323	317	314	313	299	296	308	327	327	360	362	364	360	346	337	335	332	332	333	330	331	330	333	330	1	10	42	367	6	15	296	71
7		323	328	329	322	318	305	301	303	313	313	333	346	348	350	342	342	335	335	328	325	328	329	328	329	327	1	12	06	356	6	39	300	56
8		328	326	326	323	321	302	299	316	331	331	346	353	358	354	349	342	334	325	327	324	321	320	324	323	329	1	11	51	361	5	43	257	104
9		330	326	331	326	315	291	288	291	310	310	331	338	327	330	332	333	332	324	328	321	330	330	336	328	322	1	11	21	345	5	51	286	59
10	C	328	327	326	325	316	303	300	318	332	332	346	337	328	331	330	327	323	320	326	328	327	326	327	327	325	0	10	31	346	5	59	334	12
11	C	327	327	321	325	315	294	289	297	318	318	261	348	341	336	333	333	331	325	326	333	332	332	332	331	322	0	10	34	351	6	01	288	63
12	C	329	329	325	326	315	298	295	312	332	332	350	340	336	336	340	342	345	336	333	339	336	332	332	331	330	0	10	13	352	6	02	294	58
13		330	329	325	323	322	312	308	318	329	329	336	336	327	320	319	322	324	330	336	336	336	333	332	332	327	0	10	47	337	6	11	309	28
14		331	332	330	324	321	313	312	315	321	321	338	340	338	334	334	337	333	326	327	327	329	332	332	330	328	1	11	45	348	6	08	312	36
15		329	332	331	327	322	312	310	315	323	323	323	322	319	323	321	327	332	329	329	329	327	329	331	333	325	0	1	45	336	5	53	309	27
16	C	332	329	330	331	326	316	314	318	322	322	342	342	338	333	326	327	326	321	323	331	331	331	332	333	328	0	11	17	348	6	30	313	35
17		326	329	327	327	320	307	305	316	327	327	331	328	327	331	330	334	335	336	331	330	330	329	334	331	327	0	16	02	340	6	01	305	35
18		329	329	328	326	321	312	302	313	331	331	351	352	352	345	331	329	330	328	333	331	331	330	331	330	330	1	10	59	358	6	24	301	57
19		325	327	327	324	322	309	309	326	336	336	356	353	353	350	340	332	327	323	323	327	325	326	329	328	330	1	10	34	360	5	36	306	54
20		328	325	324	323	319	303	294	312	329	329	349	356	353	345	340	337	333	328	329	334	332	332	331	330	330	0	11	37	358	6	10	294	64
21		327	328	327	322	312	304	299	303	315	315	339	348	353	354	339	336	338	334	336	330	333	332	328	326	328	1	13	35	360	6	26	297	63
22		321	314	316	307	304	288	284	289	304	304	336	353	366	365	358	358	350	340	339	337	334	336	333	327	328	1	13	02	370	6	23	282	88
23		323	319	314	313	305	297	295	308	326	326	336	331	333	331	329	336	340	335	337	333	333	328	327	321	324	1	10	11	338	5	59	294	44
24		322	319	318	312	314	301	296	306	320	320	343	346	344	347	344	350	345	337	338	328	330	331	327	324	327	1	13	22	354	6	02	295	59
25		321	315	320	320	318	304	303	308	320	320	327	328	335	335	334	343	340	328	328	333	333	331	326	324	325	1	15	38	349	5	53	302	47
26		321	312	306	311	306	293	286	304	314	314	335	332	339	340	340	346	343	338	337	338	334	332	325	326	324	1	15	30	347	6	22	286	61
27	P	322	311	326	299	290	285	290	306	321	321	342	337	334	337	342	337	337	338	336	330	331	326	319	319	322	2	10	13	348	5	30	284	64
28	P	319	319	318	316	319	301	286	286	294	294	321	336	343	347	339	337	338	334	331	325	322	321	321	322	320	2	13	23	350	6	54	282	68
29	P	322	321	310	303	311	300	301	307	317	323	347	347	339	328	323	326	330	329	328	332	343	337	319	313	323	2	10	50	349	5	50	295	54
30	P	311	314	319	325	326	305	297	297	302	302	329	337	336	342	342	342	340	337	333	337	331	325	325	327	324	2	14	54	345	6	36	295	50
31																																		
Media ...		325	324	323	319	315	302	299	307	320	320	337	342	341	340	336	337	335	332	332	331	331	330	328	327	326								54
Media C.		329	328	326	327	319	305	302	312	325	325	328	343	338	334	332	331	330	326	328	333	332	331	331	330	327								42
Media P.		319	317	317	308	305	294	290	296	309	310	337	342	341	341	339	339	339	337	334	332	332	328	321	321	323								64

DECLINACION OESTE

Moca (Fernando Poo)

Mes de Julio de 1.960

T. U. D. OESTE = 7° + VALOR DE LA TABLA EXPRESADO EN DECIMAS DE MINUTOS

Día	S.	0-1	1-2	2-3	3-4	4-5	5-6	6-7	7-8	8-9	9-10	10-11	11-12	12-13	13-14	14-15	15-16	16-17	17-18	18-19	19-20	20-21	21-22	22-23	23-24	Media	C	Máximo h m		Mínimo h m		Amplitud
1		326	317	319	317	311	303	292	286	299	313	322	331	330	326	332	324	321	314	310	317	317	326	326	323	317	1	12 17	338	7 44	285	53
2		325	321	324	327	323	316	305	312	316	326	325	326	322	321	322	332	333	326	320	328	328	326	325	323	323	1	16 36	337	6 27	304	33
3		323	325	326	326	323	315	314	317	327	335	330	335	333	328	324	320	323	326	325	326	323	320	323	326	325	1	12 20	338	7 0	312	26
4		327	311	320	321	317	299	282	291	305	311	321	330	336	334	331	330	327	323	320	326	326	326	327	326	319	1	13 03	338	6 40	281	57
5		331	328	328	321	321	309	305	318	326	332	326	327	329	328	336	335	329	321	321	322	322	324	328	325	325	1	14 25	340	6 35	302	38
6		326	320	316	319	311	298	293	299	319	337	352	355	354	348	346	332	327	326	326	327	328	327	327	326	327	1	12 07	357	7 01	293	64
7	C	326	327	327	325	318	308	300	305	320	335	348	355	353	348	335	329	324	320	320	323	326	328	319	327	327	0	11 41	361	6 27	300	61
8	C	325	325	323	318	310	296	289	292	305	318	335	344	338	336	336	337	331	329	329	328	327	325	326	327	323	0	11 18	346	6 45	288	58
9	C	327	326	328	325	323	297	291	293	305	318	332	339	330	329	332	334	337	335	333	333	329	328	328	325	324	0	11 14	344	6 15	289	55
10		323	323	326	320	322	307	301	302	316	323	336	348	353	353	345	345	344	333	332	330	325	326	327	326	329	0	13 10	357	6 42	300	57
11		321	323	322	317	309	292	288	287	301	312	319	325	335	344	343	341	343	336	328	328	327	323	325	323	321	1	14 03	349	7 16	287	62
12		321	323	320	319	318	308	301	304	319	320	336	337	330	331	336	338	333	327	327	332	328	329	327	325	324	1	10 37	339	6 50	299	40
13		322	324	321	319	318	311	305	311	320	324	319	315	316	316	316	320	326	325	325	332	325	324	328	328	320	0	0 10	330	6 13	305	25
14	P	327	326	325	323	323	313	295	299	308	318	322	325	319	320	321	323	325	321	326	332	334	334	325	323	321	2	11 22	332	6 40	293	39
15	P	318	319	321	324	326	309	306	313	317	328	329	322	323	332	339	335	326	308	305	307	302	316	301	300	318	2	14 28	346	24 0	290	56
16	P	292	304	310	309	303	284	274	283	300	312	326	340	345	338	346	341	334	319	319	317	318	319	320	321	315	2	12 16	354	6 10	273	81
17		321	319	318	317	307	291	281	290	311	328	338	348	358	351	343	340	329	319	319	325	326	326	322	319	323	1	12 30	359	6 31	280	79
18		318	316	309	305	304	289	275	281	289	299	309	321	323	323	328	320	324	332	332	332	328	328	328	322	314	1	12 05	335	6 10	275	60
19	P	319	319	319	318	312	292	291	302	316	327	331	336	339	338	331	327	331	324	319	311	315	324	324	318	320	2	13 0	344	6 07	291	53
20		319	315	309	311	303	290	288	300	319	338	354	366	361	351	343	327	323	323	322	318	318	320	316	315	323	1	11 35	370	6 08	288	82
21		327	311	311	307	289	282	280	295	313	324	324	329	333	338	332	332	332	326	321	325	327	325	321	317	317	1	13 29	339	6 25	280	59
22		317	317	315	314	306	297	297	309	320	329	335	334	336	336	335	336	333	329	328	326	325	322	323	320	322	0	10 36	337	6 03	295	42
23		310	311	307	317	313	304	302	311	316	328	333	339	336	330	331	330	331	327	324	325	324	324	322	319	321	0	11 40	345	6 14	301	44
24		318	316	316	316	311	306	303	308	316	319	327	333	338	335	335	328	327	330	324	324	321	318	318	317	321	1	12 30	342	6 02	301	41
25	C	317	317	316	315	312	303	305	308	316	322	330	337	331	326	326	324	321	321	326	323	322	319	282	317	319	0	11 45	343	5 50	306	37
26		315	315	315	315	310	299	299	316	334	344	350	346	340	328	326	330	334	327	324	324	325	317	317	297	323	1	9 55	352	5 55	298	54
27	C	310	313	310	307	302	290	288	303	317	326	326	325	319	319	322	325	326	324	323	323	323	320	282	317	314	0	11 04	331	6 02	285	46
28		317	315	315	314	306	285	290	300	315	330	344	351	344	335	326	330	335	332	331	327	325	324	320	316	322	1	11 35	353	6 01	290	63
29		312	311	315	315	317	315	304	306	315	320	333	338	328	324	326	319	319	313	315	321	316	322	325	321	319	2	11 10	344	7 4	302	42
30		314	302	304	310	313	297	289	297	310	324	328	336	327	321	324	325	323	324	322	319	323	320	321	315	316	1	11 42	345	6 12	289	56
31	P	316	306	297	305	306	295	285	289	310	320	316	327	320	316	318	313	313	312	313	318	318	315	314	316	311	1	11 15	329	7 0	283	46
Media ...		320	317	317	317	312	300	294	301	313	324	331	336	335	332	332	330	328	324	323	324	323	323	320	320	321						52
Media C.		321	322	321	318	313	299	295	300	313	324	334	340	334	332	330	330	328	326	326	326	325	324	307	323	296						51
Media P.		314	315	314	316	314	299	290	297	310	321	325	330	329	329	331	328	326	317	316	317	317	322	317	316	317						55

DECLINACION OESTE

Moca (Fernando Poo) — Mes de Agosto de 1.960

T. U. — D. OESTE = 7ª + VALOR DE LA TABLA EXPRESADO EN DECIMAS DE MINUTOS

Día	S.	0-1	1-2	2-3	3-4	4-5	5-6	6-7	7-8	8-9	9-10	10-11	11-12	12-13	13-14	14-15	15-16	16-17	17-18	18-19	19-20	20-21	21-22	22-23	23-24	Media	C	Máximo h m		Mínimo h m		Amplitud
1		313	313	311	312	307	299	299	303	305	313	323	322	320	316	315	321	321	321	317	320	319	319	315	315	314	1	11 09	327	5 55	298	29
2		315	312	314	320	314	299	289	287	296	305	312	323	320	319	320	320	317	316	312	319	318	319	314	313	312	1	12 0	327	7 0	285	42
3		311	312	312	313	307	296	292	301	318	330	337	338	332	333	333	324	317	317	320	320	319	316	317	315	317	0	10 10	340	5 58	291	49
4	C	315	315	312	314	313	301	294	300	310	319	328	328	325	325	321	320	319	319	318	318	319	317	315	315	315	0	10 55	337	6 15	294	43
5	C	316	316	312	310	304	297	299	311	322	331	338	337	332	321	316	313	313	320	319	320	320	319	320	320	317	0	10 40	339	5 40	297	42
6		318	317	314	311	305	294	293	302	318	332	337	332	327	322	317	316	317	322	322	325	325	320	318	317	317	1	9 20	339	5 59	292	47
7		318	318	314	313	311	295	294	310	324	325	335	336	333	338	337	334	329	325	326	324	324	322	321	320	321	1	13 58	340	5 57	293	47
8		321	319	317	316	308	290	291	312	332	340	349	350	330	327	327	328	332	323	320	314	316	316	322	317	321	1	11 25	355	6 03	285	70
9		312	319	319	315	314	301	290	299	318	335	349	363	368	357	346	337	335	330	329	332	329	326	326	327	328	1	12 14	370	6 30	289	81
10		326	322	323	317	315	302	296	298	315	333	354	365	359	352	353	356	346	333	330	329	323	327	327	327	330	1	11 28	370	6 10	294	76
11		323	322	323	323	312	303	300	316	339	356	370	370	351	340	340	340	335	336	336	335	334	331	331	332	333	1	11 12	379	6 03	299	80
12		326	322	322	322	321	309	302	318	327	341	349	360	348	342	342	339	335	332	331	339	335	332	329	329	331	1	11 11	364	6 19	300	64
13		330	328	330	330	327	311	302	302	315	325	334	343	340	330	327	328	328	328	328	328	334	336	335	334	332	327	0	12 29	345	6 45	299	46
14		332	332	332	329	323	304	302	313	337	349	356	356	349	340	335	335	333	328	331	340	329	329	334	335	332	1	10 39	358	5 34	296	62
15		335	335	335	334	325	307	299	312	343	366	381	374	363	356	346	343	338	331	332	334	334	334	337	335	338	1	10 53	386	6 15	299	87
16	P	333	330	329	327	319	310	310	328	347	359	359	353	351	348	342	339	328	319	319	317	311	320	328	333	331	2	10 16	363	20 19	307	56
17	P	332	332	324	307	325	294	286	302	305	324	353	367	361	359	353	353	340	319	306	318	324	327	329	332	328	2	11 58	374	6 08	284	90
18		329	326	319	319	315	304	297	322	355	372	382	385	376	362	352	345	341	331	328	335	336	337	336	333	339	1	11 20	393	6 11	298	95
19		332	328	325	322	315	298	294	304	320	333	344	351	346	343	350	349	349	341	338	330	323	325	321	328	329	2	12 05	358	6 07	293	65
20		331	330	328	323	313	295	283	291	329	357	375	377	374	362	348	337	336	333	336	329	329	330	331	330	333	1	11 14	384	6 33	281	103
21	P	330	324	321	317	310	304	309	332	355	372	384	373	357	346	336	327	323	333	324	326	334	335	335	329	334	1	10 44	391	5 19	304	87
22		328	318	321	318	311	297	298	315	334	346	359	368	360	351	339	336	335	336	334	329	332	330	329	327	331	1	11 42	372	5 57	297	75
23		328	327	324	322	318	303	301	316	342	355	364	368	362	356	346	337	336	330	323	327	328	329	332	330	333	0	10 40	371	6 06	300	71
24	C	329	330	328	327	317	298	289	301	318	340	352	359	349	343	335	330	332	332	330	333	332	334	333	333	329	0	11 08	362	6 15	289	73
25	C	331	329	329	327	319	305	299	310	331	349	361	368	376	364	351	344	343	339	339	339	334	332	333	331	336	0	12 33	379	6 10	298	81
26	C	329	329	330	328	322	313	313	323	335	350	361	357	350	349	346	344	344	337	332	330	332	331	332	330	335	0	10 35	362	6 01	312	50
27		323	323	327	325	323	308	308	316	327	335	350	368	362	353	348	351	341	325	329	329	325	332	331	330	332	1	11 34	374	5 50	307	67
28		325	325	322	316	316	290	284	299	317	332	349	352	353	346	338	335	332	330	330	330	332	333	334	333	327	1	11 13	359	6 10	281	78
29	P	331	325	320	323	324	283	271	296	310	316	323	342	329	326	326	328	327	323	321	319	316	314	310	324	317	2	4 30	334	6 07	269	65
30	P	321	319	326	322	314	288	273	279	298	310	325	339	346	343	342	342	339	328	325	330	331	328	328	328	321	2	12 34	354	6 50	271	83
31		328	324	326	325	320	311	310	319	332	335	341	346	340	331	330	330	329	326	323	330	332	327	327	327	327	0	11 18	342	6 14	309	33
Media ...		325	323	322	320	316	300	296	308	325	339	349	354	348	342	337	335	332	328	326	327	327	327	327	327	327						66
Media C.		324	324	322	321	315	303	299	309	323	338	348	350	346	340	334	330	330	329	328	328	327	327	327	326	327						58
Media P.		329	326	324	319	318	296	290	307	323	336	349	355	349	344	340	338	331	324	319	322	323	325	326	329	327						76

DECLINACION OESTE

Moca (Fernando Poo) — Mes de Septiembre de 1.960

T. U. — D. OESTE = 7º + VALOR DE LA TABLA EXPRESADO EN DECIMAS DE MINUTOS

Día	S.	0-1	1-2	2-3	3-4	4-5	5-6	6-7	7-8	8-9	9-10	10-11	11-12	12-13	13-14	14-15	15-16	16-17	17-18	18-19	19-20	20-21	21-22	22-23	23-24	Media	C	Máximo h m		Mínimo h m		Amplitud
1	C	325	325	325	323	320	308	305	309	317	328	338	342	340	343	337	329	328	331	330	330	330	328	327	327	327	0	11 06	344	7 0	306	38
2		328	326	326	321	315	301	295	307	321	330	344	357	350	340	328	321	322	334	325	328	329	330	322	319	326	2	11 29	360	6 10	294	66
3	P	319	315	318	318	316	300	294	294	311	327	343	356	352	345	329	322	319	319	318	322	324	324	327	325	322	1	12 05	367	7 10	291	76
4	P	322	320	315	316	319	294	288	302	302	318	342	350	334	331	334	322	321	318	310	306	314	319	310	316	318	2	11 47	362	5 58	283	79
5	P	306	300	288	284	273	262	266	297	311	328	351	364	363	349	338	322	323	322	309	314	326	326	318	320	315	2	11 24	373	6 26	258	115
6		313	316	313	311	301	283	265	288	316	340	356	368	373	356	340	330	324	321	322	322	325	327	319	316	323	1	12 16	377	6 30	264	113
7	P	315	315	316	315	305	290	284	298	311	325	335	339	337	322	313	304	305	314	318	323	320	320	324	323	315	1	12 06	351	6 03	285	66
8		317	312	318	318	310	291	283	291	305	318	335	350	351	349	336	327	321	317	319	320	325	326	325	325	320	1	12 11	358	6 12	283	75
9		319	317	319	319	309	286	273	289	304	317	332	347	352	343	333	326	324	316	318	322	324	323	325	323	319	0	12 11	353	6 21	273	80
10		320	320	328	317	313	300	300	312	325	332	335	348	341	326	316	317	313	312	309	311	317	322	323	317	320	1	11 50	351	5 50	298	53
11		319	323	316	316	311	297	299	303	317	326	332	344	343	339	334	334	331	322	320	321	323	320	319	317	322	1	11 05	346	5 32	296	50
12		318	323	323	321	315	307	305	304	312	323	339	348	348	337	329	328	326	320	320	318	317	319	322	324	323	0	11 57	356	6 26	303	53
13		319	319	318	315	309	289	283	287	292	302	316	329	337	339	330	322	317	314	314	316	314	314	316	315	313	1	13 10	346	6 27	284	62
14		310	313	318	316	313	296	291	295	301	306	315	323	331	323	322	316	316	316	322	321	321	321	323	322	315	0	12 28	333	6 50	291	42
15	C	321	319	321	320	313	305	303	313	324	335	339	341	339	340	331	323	320	320	321	321	322	322	323	321	323	0	12 02	343	6 16	302	41
16	C	318	320	320	320	313	299	298	299	301	301	307	319	325	327	325	325	326	321	321	322	320	321	321	318	316	0	13 50	331	6 22	296	35
17		317	315	314	316	312	307	308	316	324	327	333	343	344	340	333	326	324	321	322	323	316	313	312	307	321	0	12 16	349	5 25	306	43
18		305	301	306	315	312	301	303	314	322	329	330	340	344	333	330	328	322	318	318	318	320	319	320	315	319	1	12 23	348	5 42	300	48
19	C	313	315	316	316	313	307	312	329	331	328	319	322	317	312	304	303	312	315	319	318	318	319	317	315	316	0	7 20	335	14 04	301	34
20		314	316	319	317	314	310	315	332	342	336	334	337	340	330	326	324	314	320	319	319	319	321	318	315	323	0	12 09	309	5 26	308	01
21		315	316	316	316	313	312	314	321	332	333	332	334	336	336	329	328	327	324	325	319	316	317	314	311	322	0	12 45	338	5 11	312	26
22		308	311	312	313	311	307	306	318	328	336	340	341	345	337	334	336	337	330	328	323	319	319	314	310	323	1	12 21	349	5 55	306	43
23		305	315	307	312	314	313	312	310	316	315	313	314	322	322	322	326	332	323	322	319	319	320	315	304	316	1	16 31	334	0 56	305	29
24		299	299	298	308	314	315	323	329	337	333	328	328	333	338	329	325	322	318	319	318	314	314	316	312	319	1	9 05	341	2 39	297	44
25	C	309	312	311	313	313	309	311	313	314	316	317	323	332	326	317	316	317	317	317	313	313	316	316	314	316	0	12 30	332	5 29	309	23
26		311	312	312	315	315	307	318	317	316	314	316	319	316	306	306	314	317	316	317	316	310	310	309	299	313	1	12 38	332	1 33	301	31
27		301	302	303	307	310	303	307	310	311	316	316	325	329	319	317	316	317	317	316	314	313	314	316	319	313	0	12 20	334	2 08	312	22
28		316	317	316	315	311	309	307	298	293	294	298	307	315	314	309	309	311	316	315	313	313	316	317	314	310	0	13 01	321	9 10	293	28
29		315	318	318	318	314	314	315	318	316	315	320	319	324	327	320	309	308	313	308	308	310	309	302	303	314	1	13 26	331	22 36	302	29
30	P	306	308	308	307	304	302	299	300	302	302	302	310	320	328	325	327	322	313	311	310	311	302	302	314	310	1	13 30	329	6 58	297	32
31																																
Media ...		314	315	315	315	311	301	299	307	315	322	328	336	338	332	326	322	321	319	318	318	319	319	318	316	318						49
Media C.		317	318	319	318	314	306	306	313	317	322	324	329	331	330	323	319	321	321	322	321	321	321	321	319	320						34
Media P.		314	312	309	308	303	290	286	298	307	320	335	344	341	335	328	319	318	317	313	315	319	318	316	320	316						74

DECLINACION OESTE

Moca (Fernando Poo) — Mes de Octubre de 1.960

T. U. — D. OESTE = 7ª + VALOR DE LA TABLA EXPRESADO EN DECIMAS DE MINUTOS

Día	S.	0-1	1-2	2-3	3-4	4-5	5-6	6-7	7-8	8-9	9-10	10-11	11-12	12-13	13-14	14-15	15-16	16-17	17-18	18-19	19-20	20-21	21-22	22-23	23-24	Media	C.	Máximo h	Máximo m	Máximo	Mínimo h	Mínimo m	Mínimo	Amplitud
1	P	310	306	302	311	311	302	300	301	293	293	293	303	312	309	302	307	309	311	307	309	306	297	310	309	305	1	13	10	318	21	14	288	30
2		306	310	314	309	310	311	313	316	315	308	299	301	310	316	301	290	296	299	296	309	310	310	310	308	307	2	8	30	320	15	40	281	39
3		309	312	312	313	308	308	308	314	314	317	311	307	305	305	313	320	312	312	314	314	312	310	312	310	311	1	15	22	325	12	40	303	22
4		308	311	316	318	321	323	324	316	305	301	312	307	310	310	308	302	307	305	295	305	297	306	306	298	309	2	6	50	328	18	19	279	49
5		300	306	308	311	310	311	308	309	312	315	323	328	329	326	325	331	325	312	312	315	314	316	306	299	315	1	15	59	332	23	02	297	35
6	P	308	305	310	309	297	301	303	300	293	295	290	293	316	310	304	304	320	298	271	306	277	286	268	250	296	2	16	49	341	23	24	245	96
7	P	255	249	279	263	264	244	256	276	295	313	320	332	343	334	311	299	304	302	311	310	309	309	301	305	295	2	12	46	350	1	29	223	127
8		297	300	305	306	306	298	298	308	321	330	328	328	335	329	328	325	315	309	308	299	297	299	298	301	311	1	12	31	337	0	46	296	41
9		302	304	304	310	309	300	306	307	318	327	323	320	320	314	304	305	309	308	308	306	305	308	302	301	309	1	9	26	329	22	35	300	29
10		301	301	302	306	306	299	300	304	304	305	306	310	320	317	307	309	311	309	304	305	305	306	307	307	306	0	12	53	327	5	32	298	29
11		310	308	311	313	315	315	316	310	303	296	295	294	298	307	306	307	314	313	311	309	309	309	312	312	308	0	6	17	320	10	55	284	36
12	C	312	314	315	316	315	315	318	315	306	295	295	305	309	315	315	312	315	315	315	312	311	314	310	314	311	0	7	15	322	9	51	295	27
13	C	315	316	318	319	316	315	314	314	307	307	308	310	316	326	324	322	320	313	310	309	311	311	308	308	316	1	13	35	330	8	58	306	24
14	C	307	311	316	316	316	316	325	317	309	307	307	311	317	326	327	322	315	313	313	313	311	311	313	313	315	0	13	34	330	10	12	307	23
15		310	307	308	312	308	313	317	316	311	308	309	308	316	323	316	319	325	324	317	311	306	301	299	305	312	1	15	48	328	23	12	299	29
16		305	308	306	313	312	318	326	325	315	312	308	310	316	323	315	312	312	313	311	309	309	309	307	305	312	0	6	51	331	0	22	303	28
17		306	308	309	316	319	315	316	315	314	315	311	309	315	322	315	308	307	307	305	306	307	307	308	307	311	0	13	32	326	0	56	305	21
18		306	308	305	304	310	314	313	324	318	314	311	311	314	322	313	305	302	305	299	298	296	296	302	303	308	1	7	20	327	21	02	296	31
19		305	307	310	310	310	297	291	293	293	299	297	296	305	316	311	310	315	310	307	304	305	301	304	307	304	0	13	56	320	7	58	291	29
20		311	314	316	320	318	316	311	297	288	289	290	293	299	309	317	318	315	312	308	308	313	308	302	306	307	0	6	30	323	8	43	288	35
21		307	308	312	315	320	323	316	304	292	292	301	299	310	322	316	316	316	313	308	307	309	306	306	309	309	0	13	24	324	9	02	292	32
22	C	309	310	312	315	319	316	323	315	306	302	301	302	305	312	308	310	315	312	307	307	306	306	308	309	310	0	6	29	324	11	29	301	23
23	C	308	308	310	314	316	320	330	335	328	323	316	315	316	318	313	306	310	309	310	308	308	310	311	306	314	0	7	10	340	19	03	307	33
24		306	307	308	309	308	304	306	316	313	308	307	305	306	317	323	324	323	311	308	307	306	309	310	308	310	2	16	50	331	17	45	303	28
25	P	307	307	308	315	315	312	305	294	286	283	284	274	290	303	292	281	288	295	286	296	292	293	301	292	296	2	5	44	322	11	28	271	51
26	P	292	304	294	305	305	305	294	302	301	303	308	308	306	310	304	303	303	308	305	301	304	306	301	302	303	2	10	53	315	2	28	288	27
27		304	308	310	307	307	313	310	296	283	283	279	268	279	296	287	283	291	300	295	297	299	298	298	298	295	1	5	06	317	11	38	268	49
28		306	307	308	308	314	317	328	329	319	308	301	296	295	297	297	297	298	295	295	304	305	307	305	306	306	1	6	42	337	12	19	292	45
29		301	300	305	309	310	304	305	305	298	297	292	287	301	296	296	296	296	298	296	299	306	300	301	301	300	2	3	45	315	11	05	285	30
30		306	312	313	312	313	310	308	296	283	285	288	290	304	306	296	296	301	303	300	295	297	302	301	302	301	1	2	35	322	8	56	283	39
31		304	306	307	311	315	316	311	304	293	288	283	285	292	286	284	284	305	301	292	300	301	306	306	305	299	1	6	01	319	13	59	281	38
Media		304	306	308	310	310	309	310	310	304	304	303	303	310	314	309	307	309	307	304	306	305	305	304	303	307								38
Media C.		310	312	314	316	316	316	322	327	311	307	305	309	313	319	317	314	315	312	311	310	309	310	310	310	313								26
Media P.		294	294	299	301	298	293	292	295	294	297	299	302	314	313	303	299	305	303	296	304	298	298	296	292	299								66

DECLINACION OESTE

Moca (Fernando Poo)

Mes de Noviembre de 1.960

T. U. D.OESTE = 7º + VALOR DE LA TABLA EXPRESADO EN DECIMAS DE MINUTOS

Día	S.	0-1	1-2	2-3	3-4	4-5	5-6	6-7	7-8	8-9	9-10	10-11	11-12	12-13	13-14	14-15	15-16	16-17	17-18	18-19	19-20	20-21	21-22	22-23	23-24	Media	C	Máximo h m		Mínimo h m		Amplitud
1		306	306	312	318	323	322	319	310	304	305	307	305	305	310	301	304	308	310	308	306	306	307	305	307	309	0	5 48	327	14 44	302	25
2		309	314	315	317	318	326	326	312	302	302	298	299	309	317	320	324	317	313	308	307	306	304	303	308	311	0	6 26	332	10 39	298	34
3		308	311	313	316	321	327	320	310	303	305	305	300	305	313	321	314	312	307	302	302	302	297	293	302	309	1	5 20	329	9 24	299	30
4	P	305	309	311	316	317	314	316	308	303	298	298	289	298	313	320	314	314	304	294	295	301	299	301	297	305	1	6 03	329	11 12	289	40
5		301	309	312	318	318	320	331	331	323	313	313	310	307	308	313	310	309	294	301	302	302	305	306	306	311	0	6 50	336	0 0	341	35
6		307	308	310	312	316	320	332	323	307	297	298	294	296	306	310	303	305	305	302	305	302	306	304	304	307	0	6 25	332	11 42	293	39
7	C	307	309	313	311	316	326	338	333	318	301	302	304	305	307	308	310	314	311	308	307	308	308	307	306	311	0	6 26	343	9 50	300	43
8	C	308	311	313	316	319	320	325	315	307	302	302	298	299	300	299	302	311	307	306	303	307	306	306	305	312	1	6 35	325	11 46	298	27
9	C	306	307	313	313	316	317	321	322	317	316	314	316	319	323	324	318	314	307	307	305	306	307	307	308	313	0	7 23	327	19 35	305	22
10		309	309	311	314	316	319	323	318	305	292	273	257	268	288	304	314	316	316	305	303	303	306	305	305	303	1	6 05	325	11 38	255	70
11		309	316	321	322	331	341	348	344	329	305	286	276	282	288	295	303	307	305	304	304	305	306	305	298	309	1	7 11	356	11 05	273	83
12		302	307	311	316	320	327	334	324	309	296	290	293	295	283	302	315	319	338	327	331	313	298	299	296	310	2	19 11	354	13 35	266	88
13	P	310	282	304	317	319	308	359	352	279	245	191	257	262	285	292	305	307	299	305	307	301	304	300	296	295	2	7 0	431	10 48	132	299
14	P	280	289	307	311	316	322	311	299	287	276	272	269	273	286	295	296	302	302	297	304	304	307	297	296	296	2	4 45	329	11 41	269	60
15	P	293	296	288	299	306	307	319	308	293	273	264	270	272	287	297	309	325	307	313	309	300	293	307	321	298	2	23 25	336	10 22	264	72
16	P	293	303	318	302	332	342	335	315	296	281	273	277	282	288	290	297	299	301	300	302	304	304	300	298	301	2	5 25	353	10 49	271	82
17		298	304	312	313	319	328	334	334	325	317	307	305	306	305	309	307	309	303	298	304	302	301	298	297	314	1	6 35	338	18 28	298	40
18	C	297	298	302	303	308	317	324	309	293	279	272	269	272	280	297	309	316	309	303	304	303	304	304	302	299	0	6 28	327	11 39	269	58
19	C	304	305	307	308	315	326	341	351	345	332	309	297	297	305	307	305	310	307	304	303	304	304	306	306	312	1	7 40	353	11 31	294	59
20		308	312	313	314	314	318	327	317	307	298	297	299	304	298	297	302	306	302	298	300	300	302	305	305	306	1	6 26	331	9 56	296	35
21		307	308	311	315	316	313	311	316	307	304	296	293	297	304	309	313	308	290	286	282	292	293	293	289	302	2	6 55	329	19 06	279	50
22		298	308	315	315	319	254	312	309	305	305	299	298	301	307	309	313	316	305	297	298	298	305	298	301	303	1	4 33	329	18 49	296	33
23		305	310	315	313	316	322	325	315	311	305	305	308	302	296	300	307	309	300	296	296	298	305	311	299	311	0	6 22	331	19 05	295	36
24		301	302	311	315	315	316	317	318	317	308	300	298	305	304	305	302	303	297	294	291	294	305	300	295	305	1	6 11	325	19 24	290	35
25		307	311	315	318	319	319	331	325	307	286	287	292	294	302	296	301	300	294	297	296	300	298	294	295	303	1	6 18	337	9 34	284	53
26		300	303	307	308	309	309	316	307	293	291	296	315	312	307	305	312	314	317	304	305	302	304	304	305	306	0	6 29	322	9 20	290	32
27		305	308	310	312	316	321	329	324	315	306	297	297	296	298	298	301	298	300	289	296	299	298	296	302	305	1	6 42	335	18 08	289	46
28		300	305	307	311	314	307	316	319	311	305	305	313	315	306	307	313	314	310	309	304	303	303	302	300	308	1	7 02	328	23 13	299	29
29		299	307	308	313	311	315	332	332	323	308	294	294	299	311	313	310	313	305	304	298	296	301	296	296	307	0	6 55	338	11 43	293	45
30		302	304	307	310	313	317	325	325	316	305	298	302	310	316	321	314	314	308	304	303	297	296	293	306	308	2	7 08	337	22 32	289	48
31																																
Media ...		303	306	310	313	317	318	327	321	309	298	292	293	296	301	309	308	310	306	302	302	302	302	301	308	306						55
Media C.		304	306	310	310	315	321	330	326	316	306	300	297	298	303	327	309	313	308	306	304	306	306	306	305	310						42
Media P.		296	296	306	309	318	319	328	316	292	275	260	272	277	292	299	304	309	303	302	304	302	301	301	302	299						111

DECLINACION OESTE

Moca (Fernando Poo)

Mes de Diciembre de 1.960

T. U. D. OESTE = 7ª + VALOR DE LA TABLA EXPRESADO EN DECIMAS DE MINUTOS

Día	S.	0-1	1-2	2-3	3-4	4-5	5-6	6-7	7-8	8-9	9-10	10-11	11-12	12-13	13-14	14-15	15-16	16-17	17-18	18-19	19-20	20-21	21-22	22-23	23-24	Media	C	Máximo h	Máximo m		Mínimo h	Mínimo m		Amplitud
1		312	313	323	325	323	334	333	315	308	306	304	304	304	304	308	307	323	312	297	293	287	290	270	278	307	2	6	28	353	22	58	261	92
2		296	302	299	307	313	314	323	326	322	315	313	316	311	315	323	314	313	306	298	299	299	299	298	299	309	1	7	30	333	0	0	296	37
3		303	305	314	318	317	322	323	307	299	290	282	285	287	292	300	308	309	308	303	303	302	303	305	305	304	0	6	07	329	10	48	281	48
4	C	305	308	308	314	317	325	334	342	333	317	308	304	295	296	297	301	305	307	305	301	302	304	305	305	310	0	7	55	344	12	31	295	49
5		305	307	308	314	316	314	332	335	323	313	299	290	288	289	290	299	314	308	304	298	298	305	305	304	306	1	6	44	343	12	07	287	56
6		305	307	309	314	322	325	335	344	335	323	310	296	293	293	305	317	319	313	305	303	302	296	300	312	312	1	7	36	347	11	58	292	55
7		305	305	306	308	316	317	320	323	322	314	311	304	303	298	305	307	307	305	306	307	300	292	290	292	307	2	6	34	327	22	33	288	39
8	P	304	309	319	325	322	330	348	354	343	340	327	316	303	301	309	316	312	304	299	298	299	302	304	306	316	2	7	28	362	19	29	298	64
9	P	309	310	315	316	317	316	316	314	315	323	331	321	309	300	301	300	309	302	294	294	301	302	302	299	309	1	10	25	338	19	03	293	45
10		303	302	307	311	314	314	316	317	323	328	326	323	316	315	312	313	314	308	306	304	298	302	307	307	312	0	10	10	330	20	38	296	34
11	C	306	308	309	311	314	313	313	308	309	312	313	314	310	314	309	306	308	306	303	301	299	303	298	298	308	0	6	14	318	22	51	298	20
12		303	303	[illegible]	309	314	314	308	307	306	299	291	298	302	303	304	304	312	315	306	299	303	303	298	297	304	1	17	13	322	22	14	296	26
13		306	311	[illegible]	310	310	314	304	302	300	302	306	309	310	314	316	311	311	306	305	305	304	306	305	307	308	0	5	49	318	8	12	301	17
14	C	310	312	315	318	320	324	327	327	327	328	322	315	310	307	306	305	307	304	302	302	302	307	310	312	313	1	9	16	333	20	01	301	32
15		313	315	316	320	321	325	318	310	309	310	309	304	300	302	298	307	305	301	297	289	293	283	292	279	305	1	5	35	328	23	54	273	55
16		279	283	292	297	308	308	318	328	334	336	336	323	317	318	318	317	317	315	308	304	305	302	299	295	311	1	10	10	339	0	0	274	65
17	C	296	301	304	311	312	321	322	315	305	301	293	284	281	283	296	301	311	312	311	306	304	303	301	299	303	0	6	32	326	12	27	281	45
18		318	310	314	312	316	317	327	323	307	314	319	313	304	305	311	304	308	300	297	292	296	305	306	306	309	1	7	16	339	19	46	292	47
19	P	305	302	307	306	319	329	325	327	305	304	300	296	293	295	302	311	313	311	311	310	311	307	307	308	308	1	5	44	335	12	25	292	43
20	P	307	305	302	314	312	317	325	327	327	328	325	314	303	300	302	309	310	304	303	297	297	306	303	306	310	1	10	21	333	19	53	293	40
21		302	301	306	315	319	318	323	326	329	329	325	309	293	291	300	308	310	309	309	306	304	297	303	307	310	1	8	47	333	13	05	291	42
22	P	304	304	307	312	317	313	324	330	331	331	317	297	288	284	291	307	305	303	305	303	308	305	308	307	308	1	8	03	338	13	30	283	55
23		303	307	308	310	310	314	326	333	329	323	321	308	292	279	282	291	302	303	302	303	305	318	308	306	308	1	7	01	343	13	35	279	64
24		306	305	309	310	308	302	304	321	333	343	326	302	281	278	289	297	311	302	302	307	309	309	306	306	307	1	9	35	342	13	30	277	65
25	C	306	308	310	310	312	310	316	320	329	331	320	306	290	286	286	296	308	312	310	308	309	310	309	308	309	0	8	47	334	13	05	286	48
26		310	306	311	312	312	300	294	311	326	343	344	323	309	309	313	313	315	314	306	306	305	308	308	307	313	1	10	02	351	6	02	288	63
27		302	306	306	309	306	306	308	316	323	321	319	309	293	290	292	294	293	290	286	288	289	290	293	297	301	2	8	31	330	19	01	285	45
28		302	305	309	312	308	306	312	308	311	320	319	307	302	303	297	296	298	300	297	284	303	305	305	306	305	1	10	03	329	19	21	295	34
29		306	309	310	312	309	306	308	308	308	312	314	325	321	310	303	303	307	308	303	302	301	305	304	305	308	1	11	50	332	20	45	299	33
30		315	309	310	312	313	303	303	308	308	309	314	315	304	298	297	297	305	306	304	303	302	304	301	304	306	1	11	11	321	14	39	296	25
31		304	306	312	312	313	312	317	322	319	312	309	311	311	307	302	296	303	303	306	303	305	300	298	298	307	1	7	17	330	15	37	296	34
Media . .		305	306	309	312	314	315	319	321	319	319	315	308	301	299	302	305	309	306	303	300	301	302	301	302	308								46
Media C.		305	307	309	313	315	319	322	322	321	318	311	305	297	297	299	302	308	308	306	304	303	305	305	304	308								39
Media P.		306	306	310	315	317	321	328	330	324	325	320	309	299	296	301	309	310	305	302	300	303	304	305	305	310								49

INTENSIDAD VERTICAL

Moca (Fernando Poo) — Mes de Enero de 1.960

T. U. — Z = − 8.000 − VALOR DE LA TABLA EXPRESADO EN GAMMAS

Día	S.	0-1	1-2	2-3	3-4	4-5	5-6	6-7	7-8	8-9	9-10	10-11	11-12	12-13	13-14	14-15	15-16	16-17	17-18	18-19	19-20	20-21	21-22	22-23	23-24	Media	C	Máximo h	Máximo m	Máximo	Mínimo h	Mínimo m	Mínimo	Amplitud
1	C	877	877	878	878	879	880	877	866	856	849	849	858	865	870	880	883	882	855	871	874	875	874	875	876	871	0	10	02	848	15	06	885	37
2	C	877	877	878	878	878	879	873	861	846	834	830	839	852	870	871	892	889	878	874	875	876	877	877	877	869	0	10	12	829	15	41	894	65
3		876	876	877	878	879	877	878	868	863	859	852	845	847	857	870	877	878	873	871	872	874	874	875	875	870	0	11	50	844	16	10	880	36
4		876	876	878	879	880	876	876	872	866	858	860	863	868	872	869	871	875	873	873	875	876	876	876	877	872	1	9	40	856	4	19	881	25
5		877	877	878	881	880	877	886	887	881	878	868	863	861	862	871	871	868	868	871	871	874	874	872	873	874	1	13	12	859	7	0	891	32
6		874	877	877	880	883	882	886	889	884	878	878	878	872	868	867	867	869	871	872	873	873	873	874	874	876	0	14	44	867	7	22	890	23
7		873	874	875	876	877	877	875	865	855	854	849	846	853	860	867	869	871	874	872	872	872	873	874	874	868	0	11	12	844	5	03	878	34
8		874	874	874	875	876	877	875	874	873	874	878	879	874	870	876	877	878	876	873	874	875	876	875	875	875	0	13	16	869	11	03	880	11
9	C	875	876	877	877	878	878	877	866	856	852	855	868	873	876	879	879	878	873	873	874	876	876	876	876	873	0	10	04	852	15	06	881	29
10	P	875	876	877	878	880	881	875	869	875	872	874	888	888	883	876	874	874	870	873	876	874	874	875	877	876	2	7	57	866	11	29	893	27
11	P	877	876	879	879	879	880	875	861	854	856	863	868	875	878	875	872	871	866	872	877	876	877	877	877	872	1	8	26	854	13	28	879	25
12		876	878	880	880	880	880	875	867	856	854	863	876	881	880	883	886	884	876	876	878	877	875	878	878	876	1	9	09	853	15	07	887	34
13		878	878	879	879	879	880	874	860	849	847	851	844	849	864	876	878	875	872	874	875	879	880	880	880	870	1	11	36	842	23	48	882	40
14	P	882	883	884	882	882	882	876	862	855	862	877	892	906	904	901	891	881	872	876	882	878	878	878	879	881	2	8	26	846	12	35	910	64
15	P	881	882	883	883	881	880	877	871	867	870	867	867	868	886	891	882	873	871	873	875	877	878	878	879	877	1	11	07	863	14	30	895	32
16		879	880	881	882	882	882	879	870	862	854	847	856	863	872	875	878	880	878	877	877	877	875	879	879	873	0	10	27	847	6	0	883	36
17		881	882	882	882	883	882	883	878	873	868	857	846	857	879	883	864	876	874	865	876	878	878	879	880	874	2	11	32	845	14	20	889	44
18		879	880	880	882	882	884	885	877	865	853	851	865	878	890	891	887	882	876	875	876	878	862	878	876	876	2	10	30	848	14	16	895	47
19		877	879	880	880	881	881	881	880	875	869	864	858	859	862	869	875	874	874	875	877	878	877	875	877	874	0	11	50	858	6	26	882	24
20		878	878	879	886	886	882	884	885	879	878	871	877	877	883	885	887	884	879	875	877	879	881	881	881	880	1	10	34	868	15	10	888	20
21	P	881	886	883	883	881	882	876	882	866	864	860	849	847	860	866	871	877	877	877	878	880	881	878	875	873	2	12	02	844	1	14	888	44
22		877	878	878	879	879	879	878	875	872	873	865	850	842	842	852	869	876	875	874	876	877	878	876	876	871	1	13	20	841	3	51	880	39
23		878	879	881	881	880	881	886	881	880	865	867	853	836	854	859	864	871	878	878	878	880	880	879	878	873	1	12	17	844	6	32	888	44
24		877	878	880	880	880	880	884	890	893	894	897	896	885	876	875	874	872	875	875	878	880	880	880	879	881	1	16	14	871	10	28	899	28
25		879	880	880	880	880	880	875	866	859	857	857	848	839	844	853	862	871	879	880	880	880	880	881	880	869	1	12	24	838	22	40	881	43
26		879	880	880	881	881	883	882	876	868	868	871	872	868	867	869	874	877	875	876	879	879	880	881	881	876	0	13	08	866	5	55	885	19
27		871	882	883	883	884	884	882	867	851	843	850	864	861	874	879	880	877	874	875	878	878	880	880	880	873	1	9	27	842	5	51	886	44
28		880	881	881	882	882	884	881	865	849	847	865	862	864	890	888	880	876	873	874	876	879	879	879	879	873	1	9	22	847	13	54	892	45
29		882	882	884	887	888	880	882	870	853	841	838	843	855	865	878	881	877	873	874	877	878	870	879	880	871	1	10	34	837	5	50	890	53
30	C	880	881	883	884	884	885	883	871	884	835	825	823	833	849	865	876	878	875	875	877	876	876	877	879	869	1	11	25	821	6	0	887	66
31	C	880	880	881	883	885	887	887	880	866	848	839	847	862	877	884	885	883	879	876	878	879	878	878	880	875	1	10	10	837	6	30	888	51
Media . .		878	879	880	880	881	881	879	873	865	860	859	861	863	870	875	877	877	874	874	876	877	876	877	878	874								37
Media C.		878	878	879	880	881	882	879	869	862	844	840	847	857	868	876	883	882	872	874	876	876	876	877	878	871								50
Media P.		879	881	881	881	881	881	876	869	863	865	868	873	877	882	882	878	875	871	874	878	877	878	877	877	876								38

INTENSIDAD VERTICAL

Moca (Fernando Poo)

Mes de **Febrero de 1.960**

T. U. Z = − 8.000 − . VALOR DE LA TABLA EXPRESADO EN GAMMAS

Día	S.	0-1	1-2	2-3	3-4	4-5	5-6	6-7	7-8	8-9	9-10	10-11	11-12	12-13	13-14	14-15	15-16	16-17	17-18	18-19	19-20	20-21	21-22	22-23	23-24	Media	C	Máximo h m		Mínimo h m		Amplitud
1		881	882	882	882	882	882	887	886	872	857	843	868	863	874	876	873	872	874	875	877	879	880	879	879	875	1	10 43	842	7 18	890	48
2		881	881	881	883	885	886	894	892	882	873	860	853	854	853	861	867	871	871	876	876	876	878	877	878	874	1	12 33	850	6 52	897	47
3		878	879	881	882	883	885	890	891	887	876	865	857	855	863	870	872	874	874	873	875	877	878	877	876	876	1	12 10	853	6 52	893	40
4		878	879	880	882	883	883	888	891	889	888	882	877	871	861	860	866	872	876	876	876	878	877	878	879	878	1	13 50	859	7 26	893	34
5		881	881	881	880	881	883	886	891	889	882	876	872	874	871	868	872	872	872	877	879	879	863	878	879	878	2	14 45	867	7 37	894	27
6		880	882	880	883	885	885	889	884	882	878	868	863	857	855	858	863	871	874	875	877	879	880	879	878	875	1	12 56	854	6 28	890	36
7	C	880	882	883	883	883	881	883	883	880	878	878	877	870	861	853	855	863	869	874	877	879	880	880	880	875	0	12 50	852	6 41	886	34
8		881	881	882	883	884	885	886	879	873	871	872	866	867	871	874	876	875	876	878	878	879	880	880	881	877	1	11 28	865	6 30	887	22
9	C	883	883	884	884	884	884	884	880	875	879	885	892	883	885	879	870	868	872	876	880	880	880	881	881	880	0	16 01	868	11 12	896	28
10	C	881	882	883	882	882	883	879	874	871	870	864	867	877	882	878	876	876	874	875	877	879	880	880	880	877	1	11 03	863	5 24	885	22
11		883	883	884	883	883	884	883	874	867	866	867	867	866	871	875	876	876	877	875	878	880	878	876	879	876	1	12 29	866	6 02	885	19
12		882	883	883	883	884	884	881	876	871	879	881	867	869	869	869	871	873	872	890	876	878	879	878	879	877	0	10 55	864	5 49	885	21
13		881	883	885	884	885	885	883	877	870	855	850	850	852	862	871	877	878	878	878	881	883	881	880	878	874	1	10 03	849	5 41	885	36
14	P	879	881	882	880	879	879	879	876	873	866	866	873	874	873	873	879	880	878	878	878	877	878	879	880	877	1	9 56	865	15 50	883	18
15		881	882	882	881	881	884	881	867	855	855	854	853	857	862	866	871	877	877	878	878	879	880	878	879	872	1	11 28	852	5 54	886	34
16	P	881	881	882	883	884	885	886	885	878	872	866	862	855	859	867	871	874	876	877	878	881	882	880	881	876	2	12 41	853	6 52	888	35
17	P	882	883	886	886	887	885	885	883	881	870	865	865	863	869	875	873	873	875	877	876	875	874	875	871	876	1	12 37	862	6 45	889	27
18	P	879	880	879	879	880	881	886	885	875	864	860	858	858	861	864	866	868	873	877	878	879	880	880	880	874	1	12 02	857	7 19	889	32
19		880	881	882	883	885	886	889	889	883	876	870	870	872	869	870	876	880	883	881	881	880	880	879	878	879	1	13 34	868	7 27	890	22
20		879	879	880	881	881	882	881	882	882	879	877	871	863	860	863	868	871	876	878	878	880	881	880	879	876	1	13 15	860	8 0	884	24
21	P	879	880	880	881	882	883	881	869	863	878	861	865	871	869	870	870	874	877	879	880	880	881	880	879	875	1	9 31	856	6 02	885	29
22		881	882	882	883	883	885	882	876	868	858	857	863	866	868	867	873	876	878	879	881	883	882	881	882	876	0	9 54	856	5 40	885	29
23		882	883	884	885	885	886	887	885	881	879	875	866	862	861	863	866	870	876	880	881	882	882	882	882	878	0	12 56	860	6 50	888	28
24	C	882	882	883	883	883	884	886	890	887	879	874	875	875	872	868	867	873	878	879	881	881	882	882	882	879	0	15 14	866	7 37	892	26
25	C	883	882	883	884	885	886	888	882	871	856	847	841	847	856	864	868	873	879	881	881	881	882	881	882	873	0	11 35	841	6 25	889	48
26		883	883	884	884	884	884	884	879	868	859	852	848	851	856	863	870	875	879	880	881	881	883	883	884	874	1	11 55	846	5 51	885	39
27		884	883	883	884	883	887	889	887	879	859	844	837	849	854	861	868	875	877	878	879	879	882	882	882	873	1	11 51	834	6 46	891	57
28		882	881	881	881	883	884	891	897	894	887	879	873	865	862	865	862	877	878	880	880	880	882	882	881	879	1	13 20	862	7 32	899	37
29		883	883	883	884	885	887	887	883	869	852	843	844	850	861	872	881	880	880	881	881	882	882	881	881	875	1	10 17	843	5 59	889	46
30																																
31																																
Media . .		881	882	882	883	883	884	885	882	876	870	865	863	863	865	868	870	874	876	878	878	879	879	879	880	876						32
Media C.		882	882	883	883	883	884	884	882	877	872	870	870	870	871	868	867	871	874	877	879	880	881	881	881	877						32
Media P.		880	881	882	882	882	883	883	880	874	870	864	865	864	866	870	872	874	876	878	878	878	879	879	878	876						28

INTENSIDAD VERTICAL

Moca (Fernando Poo)

Mes de Marzo de 1.960

T. U. Z = - 8.000 - VALOR DE LA TABLA EXPRESADO EN GAMMAS

Día	S.	0-1	1-2	2-3	3-4	4-5	5-6	6-7	7-8	8-9	9-10	10-11	11-12	12-13	13-14	14 15	15-16	16-17	17-18	18-19	19-20	20-21	21-22	22-23	23-24	Media	C.	Máximo h m		Mínimo h m		Amplitud
1		881	882	881	882	883	886	887	879	865	852	842	840	844	852	864	876	876	877	877	877	878	878	880	879	871	1	11	10 840	6	38 888	48
2	P	879	878	879	881	880	882	887	889	880	868	867	861	860	867	873	874	877	877	878	877	878	878	879	879	876	1	12	11 859	7	15 892	33
3	P	880	880	881	882	881	883	889	892	889	879	874	862	860	863	867	870	873	877	878	878	879	879	880	879	877	1	11	54 859	7	19 894	35
4		879	880	882	882	881	882	884	885	881	875	875	881	884	881	878	873	876	879	878	879	879	878	878	880	879	1	15	35 872	7	17 887	15
5		880	880	880	881	882	884	888	893	892	887	880	873	868	867	873	871	873	877	879	880	880	879	880	881	879	1	13	03 867	7	35 895	28
6		881	882	881	884	883	885	889	889	881	867	853	846	848	857	862	866	869	873	877	879	879	879	879	880	877	1	11	39 845	6	53 892	47
7	C	880	881	882	882	882	883	887	888	882	883	859	862	867	869	869	869	870	874	877	879	879	880	881	880	877	0	10	44 859	7	06 890	31
8		879	881	882	882	882	884	882	876	872	863	857	859	866	869	866	866	869	875	878	880	880	880	882	881	875	1	10	46 856	5	55 886	30
9		881	882	883	883	882	882	884	883	880	874	872	875	876	880	878	876	875	876	878	880	880	881	881	883	879	1	10	0 869	6	44 886	17
10		883	882	882	883	883	884	885	882	874	864	869	870	873	875	874	874	876	878	880	879	880	882	882	883	878	1	9	46 862	6	50 887	25
11	P	882	882	884	883	883	882	883	877	863	849	840	840	848	862	865	868	872	875	875	876	878	881	880	878	871	2	10	50 837	6	30 886	49
12		881	881	882	882	882	884	887	881	869	859	852	854	860	859	858	862	865	871	876	878	878	880	881	882	873	0	10	36 851	6	19 888	37
13	C	880	880	880	882	882	883	883	876	865	852	842	842	851	853	857	867	864	877	878	878	878	878	880	881	870	0	11	0 839	5	57 885	46
14		879	880	880	881	881	882	884	881	868	857	851	856	862	863	865	868	876	877	878	879	878	880	880	880	873	1	10	24 849	6	38 886	37
15		883	884	885	885	885	887	890	888	880	868	858	858	860	868	873	875	879	878	878	877	879	879	879	882	877	2	11	10 857	6	52 892	35
16	P	881	882	882	883	883	884	889	889	881	876	867	867	873	872	872	876	878	876	878	878	875	879	879	881	878	2	10	57 864	7	11 892	28
17		880	880	881	882	882	882	885	884	877	870	866	865	869	870	872	878	879	878	879	880	879	879	881	884	877	1	11	26 864	7	12 886	22
18		882	882	882	881	885	886	886	881	869	856	846	847	851	857	864	870	874	877	879	880	879	879	880	881	873	0	11	02 845	5	54 889	44
19		882	882	882	884	884	886	886	878	861	846	840	840	847	850	853	863	871	877	880	881	880	880	881	883	871	0	10	55 837	5	59 888	51
20	C	883	882	883	884	884	886	887	882	872	865	864	865	868	867	866	873	880	883	884	884	884	884	883	883	878	0	10	53 863	6	35 888	25
21		881	880	882	882	882	885	891	890	878	869	866	864	867	867	866	869	876	879	880	881	881	881	881	881	877	0	11	30 864	6	46 894	30
22	C	881	881	881	882	883	886	889	887	894	870	871	873	873	870	866	870	876	880	881	882	882	882	881	882	879	0	14	14 865	7	0 891	26
23	C	882	882	883	884	884	886	889	887	875	865	863	868	877	874	867	860	863	873	879	881	881	880	881	881	877	0	15	54 858	6	53 891	33
24		881	881	881	882	883	885	885	877	869	861	862	868	877	881	878	871	869	875	880	882	881	880	881	881	877	1	9	36 859	5	59 887	28
25		879	880	881	880	880	881	877	869	859	855	859	877	886	880	879	881	879	879	881	882	883	882	882	884	877	1	9	49 855	12	35 889	34
26		882	882	883	883	883	886	886	872	856	846	844	854	866	871	875	876	876	877	879	881	880	880	881	880	874	0	10	24 842	5	49 888	46
27		882	882	884	884	884	887	889	883	871	858	856	864	867	869	869	874	877	878	881	882	881	881	881	882	877	0	10	02 854	6	55 889	35
28		882	883	884	885	884	885	884	877	868	858	855	870	881	878	875	875	873	873	881	882	882	883	884	883	878	1	10	25 853	5	47 887	34
29		882	885	887	886	885	886	887	883	873	873	874	879	884	886	888	889	889	885	885	885	884	884	883	881	883	1	8	42 871	15	53 890	19
30		881	884	885	885	887	892	896	892	876	861	855	855	860	872	874	877	875	876	881	881	880	878	879	878	877	1	11	13 854	6	46 898	44
31	P	880	881	883	883	883	881	890	887	881	878	877	872	887	910	890	882	878	870	869	874	873	873	867	868	880	2	22	35 854	13	07 920	66
Media ...		881	881	882	883	883	884	887	883	874	865	860	861	866	870	870	872	874	877	879	880	879	880	880	881	876						35
Media C.		881	881	882	883	883	885	887	884	878	867	860	862	867	867	865	868	871	877	880	881	881	881	881	881	876						32
Media P.		880	881	882	882	882	882	888	887	879	870	865	860	866	875	873	874	876	875	876	877	877	878	877	877	876						42

INTENSIDAD VERTICAL

Moca (Fernando Poo) — Mes de Abril de 1.960

T. U. — Z = − 8.000 − VALOR DE LA TABLA EXPRESADO EN GAMMAS

Día	S.	0-1	1-2	2-3	3-4	4-5	5-6	6-7	7-8	8-9	9-10	10-11	11-12	12-13	13-14	14-15	15-16	16-17	17-18	18-19	19-20	20-21	21-22	22-23	23-24	Media	C	Máximo h	Máximo m		Mínimo h	Mínimo m		Amplitud
1	P	878	887	881	872	878	881	874	859	860	902	937	920	882	866	880	887	883	884	884	882	888	871	872	875	883	2	8	26	841	10	21	942	101
2		874	873	873	874	873	870	871	879	891	902	919	928	921	909	895	884	878	876	878	877	877	878	878	878	886	2	4	56	867	11	29	928	61
3	P	881	883	881	881	882	883	880	882	883	877	880	882	879	880	883	886	884	877	882	882	881	882	881	881	881	2	9	0	868	1	18	888	20
4		880	880	882	883	886	888	895	893	879	865	865	864	861	859	863	868	873	877	879	880	881	879	878	880	877	1	13	39	855	6	50	896	41
5		876	877	880	881	883	882	891	895	890	881	873	872	870	871	874	875	876	876	880	880	880	880	881	883	879	2	13	02	866	6	49	897	31
6		881	881	883	884	886	886	890	892	889	884	881	879	879	881	883	881	876	876	881	883	882	881	880	879	882	1	16	30	867	7	55	893	26
7		879	880	883	884	883	884	888	886	878	873	877	884	883	877	877	877	876	875	880	880	880	879	878	881	880	2	9	26	871	6	41	889	18
8		883	883	881	881	881	882	886	886	876	869	870	879	882	884	881	881	878	877	881	882	880	880	879	880	880	1	9	54	866	7	0	888	22
9	C	880	882	881	882	882	883	883	880	870	870	874	876	875	879	881	879	877	879	882	881	881	879	879	878	879	1	8	51	882	7	0	884	2
10		879	883	882	882	884	885	884	880	870	880	866	870	873	876	880	878	877	877	880	881	882	880	879	877	878	2	9	10	861	5	19	886	25
11		882	882	884	884	883	883	886	884	880	875	870	870	870	872	875	877	875	877	880	881	879	878	879	880	878	1	12	05	868	6	39	886	18
12		871	883	886	884	881	878	877	877	868	864	868	878	883	885	888	886	881	879	882	882	882	880	880	880	879	1	9	30	863	14	29	888	25
13		881	881	881	883	885	889	886	886	878	869	871	881	891	898	898	881	884	880	882	883	883	882	882	881	883	1	9	51	865	14	01	899	34
14		878	879	880	883	884	884	887	890	890	881	874	873	879	881	884	882	880	879	883	883	882	869	881	882	881	1	11	06	872	7	46	890	18
15		881	881	882	883	885	886	885	884	875	867	863	867	867	869	875	879	878	877	879	882	881	881	880	889	878	1	10	14	862	5	05	887	25
16		880	881	882	883	884	884	885	883	876	871	866	862	864	872	878	884	884	877	879	877	876	877	878	880	878	2	11	39	860	6	27	885	25
17		881	882	881	882	882	882	886	893	893	888	885	885	882	881	883	876	873	875	879	880	878	877	878	878	882	1	16	38	872	8	01	895	23
18		881	879	882	882	882	883	886	889	881	888	883	872	865	866	869	868	872	882	880	882	882	881	881	881	879	1	12	43	863	8	40	891	28
19	C	880	881	884	883	883	883	888	894	893	890	888	885	881	876	875	875	876	880	884	886	884	883	882	882	883	0	15	37	873	8	01	894	21
20	C	885	886	886	886	887	887	890	891	886	880	876	872	867	867	871	873	873	876	883	885	885	883	881	881	881	0	13	20	864	7	0	891	27
21	C	882	883	884	886	886	887	891	897	897	890	880	871	864	861	863	867	873	882	887	886	885	883	883	883	881	0	13	30	861	8	58	898	37
22	C	886	886	887	888	888	890	891	890	884	881	885	874	873	866	860	859	864	875	884	886	886	886	884	884	881	0	15	29	858	6	53	891	33
23		883	885	886	886	886	886	891	896	897	896	892	884	875	880	871	869	870	876	885	887	887	887	887	886	884	1	15	06	868	8	17	897	29
24	P	886	885	886	885	886	881	887	883	880	882	884	887	878	864	860	863	868	873	879	880	879	877	880	881	879	2	14	02	858	11	40	888	30
25		879	878	883	884	882	885	882	901	901	895	887	884	880	875	868	867	865	870	878	880	878	880	880	881	881	2	16	33	863	7	24	902	39
26		882	882	883	883	882	882	888	892	888	885	884	887	885	882	880	873	872	876	881	882	881	880	880	880	882	1	15	45	870	7	24	893	23
27		881	883	887	886	886	887	890	890	885	878	877	881	885	884	884	881	875	876	881	881	879	877	875	875	882	1	22	55	871	6	55	891	20
28	P	876	875	875	878	881	882	890	896	892	890	888	883	880	871	873	867	865	874	877	877	875	876	879	879	879	2	16	14	863	7	46	897	34
29		881	881	882	883	883	887	897	903	902	891	888	878	873	875	878	879	877	878	882	882	882	881	880	878	883	1	12	43	871	8	0	905	34
30	P	883	884	883	888	890	886	891	896	890	882	877	883	879	883	882	876	871	876	877	883	881	875	875	876	882	2	12	15	869	7	20	897	28
31																																		
Media . .		880	881	882	883	883	884	886	888	884	881	881	880	877	876	877	876	875	877	881	882	881	879	880	880	881								30
Media C.		883	884	884	885	885	886	889	890	886	882	881	875	872	870	870	871	873	878	884	885	884	883	882	882	881								24
Media P.		881	883	881	881	883	883	884	883	881	887	893	891	880	873	876	876	874	877	880	881	881	876	877	878	881								43

INTENSIDAD VERTICAL

Moca (Fernando Poo)

Mes de Mayo de 1.960

T. U. Z =- 8.000 — VALOR DE LA TABLA EXPRESADO EN GAMMAS

Día	S.	0-1	1-2	2-3	3-4	4-5	5-6	6-7	7-8	8-9	9-10	10-11	11-12	12-13	13-14	14-15	15-16	16-17	17-18	18-19	19-20	20-21	21-22	22-23	23-24	Media	C	Máximo h m		Mínimo h m		Amplitud
1	P	876	875	875	880	878	876	888	908	922	935	922	904	890	881	873	868	869	875	881	883	882	880	884	882	887	2	2 31	866	9 27	936	70
2		882	882	884	887	889	887	888	889	881	873	868	866	864	866	872	875	880	883	885	885	884	883	883	883	880	1	12 33	861	4 15	889	28
3		883	884	885	887	888	888	890	892	892	886	878	876	876	874	870	872	878	885	885	885	884	884	885	885	883	1	14 30	869	8 34	893	24
4	C	884	884	885	886	886	887	888	890	885	875	881	860	858	860	870	875	878	883	886	888	887	885	885	884	880	0	13 01	856	7 17	890	34
5		885	885	886	887	888	889	892	894	888	881	879	878	873	865	865	866	870	879	884	885	884	883	883	882	881	0	13 35	863	6 54	894	31
6	P	882	885	885	887	888	885	891	894	893	892	894	898	885	883	879	873	872	875	881	884	881	883	882	883	886	2	16 13	870	11 25	903	33
7	P	880	879	883	882	882	883	881	877	872	873	875	879	878	886	885	882	880	881	881	884	884	882	882	882	880	2	9 30	864	13 36	888	24
8	P	882	882	882	883	883	885	891	893	887	877	889	884	889	887	884	876	874	876	880	879	878	877	881	879	882	2	23 35	867	6 47	895	28
9		883	882	882	884	883	885	890	892	885	874	868	870	867	865	866	870	873	878	884	885	884	884	883	883	879	2	10 35	861	7 11	893	32
10		883	884	884	885	885	885	884	882	876	869	866	869	873	876	879	875	872	877	883	884	884	883	883	883	879	0	10 22	865	5 15	876	11
11		884	883	883	884	882	886	886	890	888	892	892	890	886	883	888	884	883	880	882	884	883	883	883	884	885	1	4 36	861	9 49	894	33
12		883	884	884	886	887	887	887	883	875	869	870	873	873	875	878	877	876	877	881	883	882	881	881	880	880	1	8 53	868	6 35	888	20
13		881	882	883	885	885	887	896	901	890	876	877	876	877	877	875	877	877	877	881	883	882	881	882	881	882	1	14 27	874	7 49	902	28
14		882	882	882	884	886	884	890	894	887	880	878	876	877	881	886	887	882	881	884	885	884	882	883	882	883	1	12 01	875	6 55	894	19
15		883	884	886	886	886	886	892	893	882	870	859	850	856	864	874	882	886	883	885	886	884	883	883	884	879	1	11 41	848	7 10	895	47
16		884	885	886	888	888	887	890	894	889	876	864	857	856	864	866	873	880	880	881	882	879	878	876	879	878	2	12 34	854	7 41	895	41
17		879	881	883	883	882	881	884	892	896	896	894	890	891	894	897	893	887	884	886	888	886	885	884	884	887	1	0 26	877	14 05	898	21
18	C	884	884	885	886	886	885	886	886	883	879	874	869	871	874	877	879	882	883	885	885	884	885	884	884	882	0	11 40	867	6 55	886	19
19	C	883	883	883	884	884	884	886	890	890	886	881	875	870	873	879	884	886	887	887	887	887	885	886	886	883	0	12 50	869	8 22	890	21
20	C	884	885	885	886	886	885	890	895	892	880	869	863	865	868	872	877	876	879	884	885	884	884	884	884	881	0	12 04	861	7 35	895	34
21		883	883	883	883	884	884	886	891	890	889	887	887	885	878	879	880	882	884	886	886	885	885	886	885	885	0	13 38	877	8 0	891	14
22	C	884	886	887	889	888	886	889	893	892	887	885	887	886	884	882	876	875	879	884	885	885	884	884	884	885	1	16 20	872	8 10	893	21
23		884	884	885	886	886	884	887	893	893	895	896	892	894	896	895	892	893	889	885	884	883	886	886	884	889	1	20 28	880	10 14	897	17
24		884	886	886	886	886	885	884	892	894	893	897	898	897	888	879	877	880	883	884	883	884	884	884	884	886	1	15 41	875	12 02	898	23
25		886	884	885	885	886	886	886	883	880	875	879	876	873	874	875	875	875	876	880	880	881	883	883	884	880	1	12 35	872	5 13	886	14
26		883	886	885	885	885	883	889	895	899	890	884	889	889	890	887	881	878	878	881	882	882	882	883	882	885	1	17 02	876	8 21	900	24
27		882	883	881	883	885	883	891	898	901	900	891	883	876	875	880	882	882	881	883	883	883	884	884	884	885	0	13 02	873	8 56	902	29
28		883	885	886	888	887	887	894	901	900	897	892	882	873	865	865	873	876	879	884	886	882	885	884	883	884	1	14 24	862	7 34	901	39
29	P	878	881	885	891	889	884	893	900	906	906	908	906	895	894	891	884	884	884	887	887	888	884	884	884	890	2	1 16	874	10 39	910	36
30		886	885	887	887	887	886	892	899	901	899	891	881	878	881	880	877	880	887	889	889	887	888	888	887	887	1	15 41	875	8 02	902	27
31		887	888	886	886	886	887	892	897	897	893	886	875	867	873	884	889	888	886	886	886	886	886	885	885	884	1	12 21	863	8 51	900	37
Media . .		883	883	884	885	885	885	889	893	890	886	883	879	877	877	878	878	879	881	884	884	883	883	883	883	883						28
Media C.		884	884	885	886	886	885	888	891	888	881	878	871	870	872	876	878	879	882	885	886	885	885	885	884	882						26
Media P.		880	880	882	885	884	883	889	894	896	897	898	894	887	886	882	877	876	878	882	883	883	881	883	882	885						38

INTENSIDAD VERTICAL

Moca (Fernando Poo)

Mes de Junio de 1.960

T. U. Z = − 8.000 − VALOR DE LA TABLA EXPRESADO EN GAMMAS

Día	S.	0-1	1-2	2-3	3-4	4-5	5-6	6-7	7-8	8-9	9-10	10-11	11-12	12-13	13-14	14-15	15-16	16-17	17-18	18-19	19-20	20-21	21-22	22-23	23-24	Media	C	Máximo h m		Mínimo h m		Amplitud
1		886	887	889	891	891	889	897	908	908	894	877	877	871	871	873	880	886	888	888	889	887	887	887	886	887	1	13 49	868	8 13	925	57
2	C	888	889	890	890	890	891	896	902	900	893	886	881	881	884	887	885	882	883	887	889	889	888	888	888	889	0	11 46	879	7 29	902	23
3		887	888	889	890	891	890	888	887	884	883	883	883	880	881	883	884	883	883	885	888	887	887	887	888	886	1	12 54	877	4 30	891	14
4	P	888	888	888	890	896	896	904	912	927	924	910	898	889	881	875	881	886	886	887	887	886	887	886	886	893	2	14 32	872	8 43	933	61
5		888	886	886	885	884	885	897	907	922	922	915	908	902	897	888	885	884	883	885	886	886	886	887	886	893	2	3 48	881	9 0	924	43
6		886	885	887	889	889	885	893	901	909	907	899	893	885	883	883	880	878	881	885	886	886	886	886	886	889	1	16 15	876	8 34	911	35
7		884	885	886	885	885	881	884	888	889	888	895	895	890	886	879	877	876	880	886	887	887	887	886	886	885	1	16 19	874	10 31	896	22
8		887	887	886	887	891	886	890	901	905	902	897	904	903	896	897	892	883	882	887	889	889	888	887	888	892	1	17 16	880	11 43	906	26
9		887	887	888	887	887	884	892	901	906	908	898	892	887	892	895	894	888	886	887	888	889	889	888	889	891	1	1 02	883	9 15	910	27
10	C	889	889	889	890	890	888	895	901	900	889	876	869	866	870	874	874	874	878	883	886	885	885	885	884	884	0	12 11	865	7 52	902	37
11	C	885	885	885	887	886	883	887	896	894	891	889	884	880	886	891	891	887	884	887	887	886	886	887	887	887	0	12 44	879	7 45	897	18
12	C	887	886	887	889	889	888	896	908	907	901	890	879	874	879	881	883	885	884	885	888	887	886	885	885	888	0	12 36	872	7 54	909	37
13		885	886	887	888	888	888	892	898	901	895	887	885	888	887	886	887	888	887	888	887	886	886	886	886	888	0	11 11	882	8 11	901	19
14		887	888	887	887	887	888	894	900	903	902	887	867	861	862	874	882	881	881	885	888	888	888	886	884	885	1	13 21	857	8 51	903	46
15		886	888	887	888	888	886	890	894	896	899	896	893	890	889	890	889	886	887	889	888	886	886	887	887	889	0	5 42	884	9 23	899	15
16	C	887	886	888	888	889	888	892	896	898	897	895	890	881	876	874	878	881	883	886	889	888	888	887	887	887	0	14 25	873	8 56	898	25
17		887	887	888	887	887	889	896	905	902	900	895	885	881	879	878	877	879	883	886	887	886	887	887	885	888	0	15 10	876	7 45	905	29
18		886	886	885	886	887	888	892	897	895	891	884	879	873	866	867	872	876	881	886	886	885	885	885	885	883	1	13 39	864	7 49	898	34
19		885	887	887	887	888	887	897	907	909	902	893	883	878	867	865	868	874	879	882	884	885	884	884	884	885	1	14 49	863	8 30	910	47
20		884	884	884	885	885	883	884	889	890	887	883	889	894	890	882	879	883	881	884	886	885	886	885	885	885	0	15 14	877	12 07	895	18
21		885	885	885	884	883	886	886	889	891	886	884	890	889	886	882	883	882	882	883	883	883	883	883	883	885	1	14 45	879	8 15	891	12
22		883	884	884	885	887	883	890	900	895	894	894	902	911	915	914	907	896	889	886	887	887	886	886	886	893	1	5 30	883	13 30	915	32
23		884	885	885	887	888	887	892	898	895	886	882	883	886	888	887	885	883	883	885	885	884	885	885	885	886	1	10 54	881	7 47	899	18
24		886	886	887	888	888	886	893	899	900	894	889	886	886	881	879	877	878	880	882	884	885	885	884	884	886	1	16 05	876	8 14	902	26
25		885	885	885	887	887	886	890	892	893	890	886	882	878	884	890	893	890	885	886	886	886	887	886	887	887	1	12 41	878	14 59	894	16
26		887	885	885	888	889	887	893	903	907	905	897	897	898	893	888	889	886	884	886	887	887	887	886	888	891	1	17 40	883	6 13	907	24
27	P	887	885	885	891	890	891	902	909	898	887	881	879	882	887	887	884	880	879	883	882	884	882	882	884	887	2	11 20	876	7 18	910	34
28	P	886	886	888	888	889	885	893	906	908	906	900	901	904	903	900	895	891	886	886	887	886	885	885	885	893	2	0 34	881	10 07	913	32
29	P	886	887	886	887	889	890	894	899	904	902	894	888	881	876	873	878	882	885	887	888	888	885	885	883	887	2	14 19	872	8 13	905	33
30	P	880	883	884	884	886	882	887	893	896	895	891	882	881	884	886	887	888	882	883	883	884	880	882	884	885	2	0 21	877	8 43	897	20
31																																
Media . .		886	886	886	887	888	887	892	899	901	897	891	887	885	884	884	884	883	883	885	886	886	886	886	886	888						29
Media C.		887	887	888	889	889	888	893	901	900	894	887	881	876	879	881	882	882	882	886	888	887	887	886	886	887						28
Media P.		885	886	886	888	890	889	896	904	907	903	895	890	887	886	884	885	885	884	885	885	886	884	884	884	889						36

INTENSIDAD VERTICAL

Moca (Fernando Poo)

Mes de Julio de 1.960

T. U. Z = − 8.000 − VALOR DE LA TABLA EXPRESADO EN GAMMAS

Día	S.	0-1	1-2	2-3	3-4	4-5	5-6	6-7	7-8	8-9	9-10	10-11	11-12	12-13	13-14	14-15	15-16	16-17	17-18	18-19	19-20	20-21	21-22	22-23	23-24	Media	C	Máximo h m		Mínimo h m		Amplitud
1		882	884	885	889	888	887	892	898	905	904	893	880	868	869	877	881	879	882	887	889	888	887	887	886	886	1	12 49	861	8 41	907	46
2		887	887	889	888	888	888	891	900	903	897	892	892	888	885	882	882	887	884	886	889	888	887	885	885	889	1	15 01	879	8 10	903	24
3		886	887	887	887	888	888	891	896	894	887	879	871	861	857	863	869	875	880	885	887	887	885	887	886	882	1	13 25	856	7 55	897	41
4		885	884	887	886	886	886	892	903	906	899	900	898	890	883	886	892	893	890	891	892	892	891	891	890	891	1	13 32	881	8 31	906	25
5		889	889	890	889	889	888	894	901	899	893	892	892	894	888	885	884	886	887	890	891	891	891	891	890	890	1	15 43	883	8 02	905	22
6		890	890	891	890	890	888	889	889	894	892	888	890	891	888	887	880	877	880	885	888	887	887	887	887	888	1	16 10	876	8 55	895	19
7	C	887	886	887	888	889	888	891	893	892	884	883	882	874	873	876	877	880	884	886	887	888	888	888	888	885	0	13 02	870	7 43	893	23
8	C	887	886	887	887	887	886	888	896	898	894	892	888	890	890	884	880	881	885	887	887	886	886	886	887	888	0	16 01	878	8 13	898	20
9	C	887	887	887	887	887	887	889	894	894	888	882	883	881	883	888	890	887	886	888	887	887	887	886	887	887	0	12 42	879	8 11	896	17
10		887	888	889	891	888	887	889	896	902	903	899	891	880	878	877	885	888	886	886	887	887	886	887	888	888	0	14 23	875	9 11	903	28
11		887	888	889	887	887	887	892	903	903	897	889	883	880	883	884	885	887	885	887	888	888	887	888	888	888	1	12 13	879	7 53	904	25
12		888	888	888	888	888	889	897	907	909	903	881	888	886	886	887	889	888	886	888	889	888	888	888	887	890	1	12 57	884	8 24	910	26
13		887	888	888	889	889	889	893	896	891	885	875	875	878	880	884	883	885	887	888	889	889	888	887	887	886	0	11 52	872	7 22	907	35
14	P	888	888	889	889	888	888	892	888	909	899	886	878	879	882	884	885	884	881	883	884	886	881	881	881	886	2	21 35	872	8 25	910	38
15	P	882	884	887	888	888	887	890	898	898	891	890	885	876	881	891	892	882	876	882	885	883	885	886	883	886	2	17 36	872	7 54	900	28
16	P	882	876	882	883	882	877	884	895	906	908	905	901	892	891	888	886	877	876	881	886	887	886	886	886	888	2	16 46	872	9 31	908	36
17		886	884	884	886	887	886	889	899	898	895	894	889	884	877	874	870	870	875	881	884	884	885	884	884	884	1	15 53	868	8 01	900	32
18		886	885	885	886	887	887	892	901	903	902	897	893	894	891	892	890	893	892	890	889	887	888	888	887	891	1	20 49	886	8 85	903	17
19	P	887	887	889	890	890	888	895	901	901	893	887	888	897	894	888	885	887	887	886	886	889	889	888	887	890	2	11 02	880	8 05	902	22
20		887	887	887	889	889	887	893	903	907	903	896	892	886	880	873	870	874	881	886	887	886	886	886	887	888	1	15 22	868	8 15	907	39
21		887	887	887	888	889	889	896	909	911	906	901	900	897	901	901	898	892	889	889	890	889	888	888	888	894	1	17 43	887	8 11	912	25
22		889	891	890	891	891	891	894	898	898	896	887	885	887	890	892	888	887	888	889	889	889	887	887	888	890	0	10 46	882	8 51	898	16
23		888	890	890	889	890	890	893	898	895	889	894	881	883	887	891	893	892	890	891	891	890	890	890	890	890	0	11 51	879	7 37	898	19
24		890	891	892	892	893	893	898	903	898	892	885	886	888	890	890	888	889	890	889	889	888	888	889	890	891	1	10 28	883	7 25	903	20
25	C	890	891	892	892	892	895	900	907	906	900	886	877	871	877	881	882	892	887	889	888	887	888	889	890	889	0	12 43	869	7 54	907	38
26		890	891	891	891	892	892	900	906	904	896	889	885	879	868	871	880	883	886	888	889	887	888	889	888	888	1	13 45	865	7 19	907	42
27	C	888	888	889	891	891	889	895	905	903	890	878	871	879	878	883	886	887	887	889	890	889	889	889	889	888	0	12 10	866	8 02	906	40
28		891	891	892	892	892	893	903	915	921	914	898	883	875	872	872	879	885	889	890	891	889	888	888	888	891	1	14 04	869	8 49	921	52
29		888	888	891	893	893	891	895	898	895	888	886	885	878	876	878	883	884	885	885	887	885	885	887	888	887	2	13 37	874	7 44	898	24
30		887	887	887	887	888	887	893	900	902	905	904	901	897	894	897	892	888	886	888	890	889	889	889	888	892	1	0 11	883	10 0	906	23
31	P	888	887	887	890	890	889	894	903	905	911	903	895	887	883	880	879	883	886	890	890	890	889	888	889	891	1	15 10	876	9 18	912	36
Media . .		887	887	888	889	889	888	893	900	902	897	890	887	883	882	883	884	884	885	887	888	888	887	887	887	888						29
Media C.		888	888	888	889	889	889	893	899	899	891	884	880	879	880	882	883	885	886	888	888	887	888	888	888	887						28
Media P.		885	884	887	888	888	886	891	897	904	900	894	889	886	886	886	885	883	881	884	886	887	886	886	885	888						32

INTENSIDAD VERTICAL

Moca (Fernando Poo) — Mes de Agosto de 1.960

T. U. — Z = − 8.000 − VALOR DE LA TABLA EXPRESADO EN GAMMAS

Día	S.	0-1	1-2	2-3	3-4	4-5	5-6	6-7	7-8	8-9	9-10	10-11	11-12	12-13	13-14	14-15	15-16	16-17	17-18	18-19	19-20	20-21	21-22	22-23	23-24	Media	C	Máximo h m		Mínimo h m		Amplitud
1		890	890	891	892	892	891	895	904	907	907	901	894	889	884	883	884	886	887	889	889	889	888	889	890	892	1	13 57	881	9 28	908	27
2		890	889	890	891	892	891	893	897	898	895	891	887	881	879	879	880	883	887	888	889	889	889	889	890	889	1	14 24	878	8 13	898	20
3		890	890	890	891	891	890	895	903	906	903	895	890	889	892	892	888	886	889	891	891	891	890	891	890	892	0	16 31	884	8 53	906	22
4	C	890	890	891	892	892	892	898	904	899	892	890	880	874	872	871	874	878	885	890	890	889	889	889	889	887	0	14 46	870	7 30	904	34
5	C	889	890	890	890	890	891	895	895	888	879	879	884	882	881	882	887	888	891	892	892	892	891	892	891	888	0	9 51	875	7 0	897	22
6		891	891	892	892	892	893	900	907	899	883	877	876	867	872	882	882	884	888	890	891	889	889	889	890	888	1	12 51	865	7 38	908	43
7		890	890	891	892	892	891	897	905	902	894	887	879	876	879	883	885	886	889	890	890	890	890	891	891	889	1	12 52	873	7 54	907	34
8		891	891	892	892	892	891	898	901	896	888	882	877	867	869	870	871	878	884	887	888	887	888	890	889	886	1	12 49	863	7 22	902	39
9		889	891	891	890	891	891	894	902	907	902	894	890	890	885	878	877	879	883	888	888	888	888	888	889	890	1	14 59	875	8 15	908	33
10		890	889	890	889	889	889	890	894	896	896	896	893	888	887	888	888	887	887	888	890	888	886	888	889	890	1	12 34	886	9 59	898	12
11		889	890	892	892	893	891	897	908	914	909	903	901	895	897	898	896	893	890	893	890	891	890	891	891	895	1	17 41	889	8 30	914	25
12		892	892	892	892	893	892	897	907	908	907	899	890	884	884	881	878	882	887	891	893	893	892	891	891	892	1	15 33	877	8 43	909	32
13		892	892	893	894	893	893	899	908	907	898	892	885	882	880	884	886	885	889	893	894	893	893	892	892	892	0	13 17	878	8 0	909	31
14		892	894	895	895	895	894	904	917	918	905	884	872	865	863	866	875	884	888	892	893	892	892	889	891	890	1	13 15	860	8 01	920	60
15		891	892	891	891	890	888	891	903	908	909	902	892	886	882	877	874	877	883	889	891	890	890	890	890	890	1	15 32	872	9 03	909	37
16	P	890	893	891	892	892	892	896	901	899	896	889	886	883	879	874	877	876	878	888	889	890	890	889	889	888	2	14 15	868	7 30	901	33
17	P	888	893	892	889	890	881	887	893	895	915	923	915	901	890	884	878	878	880	885	888	888	888	887	890	891	2	15 21	874	10 08	924	50
18		887	888	888	887	888	890	897	913	918	914	911	903	894	885	878	876	882	885	889	892	892	891	890	889	893	1	15 05	874	8 30	918	44
19		889	889	890	890	891	889	893	900	890	901	906	900	886	879	886	894	891	889	891	893	893	888	889	889	891	2	13 11	877	10 51	906	29
20		889	890	891	891	892	892	896	909	911	909	901	895	881	870	866	870	877	882	889	890	889	889	889	890	889	1	14 40	864	8 0	913	49
21	P	890	891	891	892	892	893	896	902	896	889	887	876	878	880	885	884	886	890	889	889	890	890	889	889	889	1	13 08	876	7 39	903	27
22		889	888	891	892	892	890	894	899	897	895	891	890	888	885	883	879	880	884	889	889	890	890	891	891	889	1	15 26	877	7 55	899	22
23		892	892	890	893	894	893	901	905	896	887	888	892	887	883	880	880	886	890	891	893	893	892	893	893	891	0	15 11	878	7 05	906	28
24	C	892	894	895	895	895	893	899	905	903	900	898	900	902	899	900	898	895	895	893	893	893	892	893	893	896	0	5 45	892	7 25	906	14
25	C	894	895	895	895	895	894	898	903	901	893	889	890	888	883	879	883	888	888	891	892	891	891	891	893	892	0	14 33	878	7 33	904	26
26	C	893	894	895	895	896	895	897	900	895	887	886	891	895	895	897	897	896	895	894	893	893	893	893	893	894	0	10 10	884	7 26	900	16
27		892	894	893	894	894	893	900	906	903	898	897	890	883	884	889	891	891	889	889	889	889	888	889	890	892	1	12 20	882	7 45	906	24
28		890	892	893	893	894	893	897	908	909	904	899	891	883	884	885	890	895	894	895	896	894	894	894	895	894	1	12 54	882	8 31	910	28
29	P	892	894	895	896	900	897	905	915	908	896	891	887	884	884	888	893	898	898	896	896	896	895	894	894	895	2	12 50	881	7 25	916	35
30	P	893	893	893	892	891	887	895	912	916	918	915	911	906	901	899	897	895	891	892	893	895	893	893	893	898	2	5 40	886	9 43	918	32
31		892	893	893	893	894	895	900	903	898	895	895	888	881	876	876	879	885	891	894	893	894	893	893	893	891	0	13 51	874	7 11	903	29
Media . .		890	891	892	892	892	891	896	904	903	899	895	890	885	883	883	883	886	888	890	891	891	890	890	891	891						31
Media C.		892	893	893	893	894	893	897	901	897	890	888	889	888	886	886	888	889	891	892	892	892	891	892	892	892						22
Media P.		891	893	892	892	893	890	896	905	903	903	901	895	890	887	886	886	887	887	890	891	892	891	890	891	892						35

INTENSIDAD VERTICAL

Moca (Fernando Poo) — Mes de Septiembre de 1.960

T. U. — Z = − 8.000 − VALOR DE LA TABLA EXPRESADO EN GAMMAS

Día	S.	0-1	1-2	2-3	3-4	4-5	5-6	6-7	7-8	8-9	9-10	10-11	11-12	12-13	13-14	14-15	15-16	16-17	17-18	18-19	19-20	20-21	21-22	22-23	23-24	Media	C	Máximo h m		Mínimo h m		Amplitud
1	C	894	895	895	896	896	896	902	910	909	902	900	903	900	896	892	889	892	895	895	897	897	896	896	895	897	0	15 09	888	7 59	911	23
2		894	895	896	896	897	897	900	901	894	884	879	878	874	879	885	890	893	895	896	896	896	896	895	893	892	2	12 05	871	7 21	900	29
3	P	893	892	894	894	892	891	894	904	907	906	901	894	886	875	872	877	885	892	895	895	896	895	894	894	892	1	14 02	869	7 49	911	42
4	P	894	893	893	896	897	895	907	918	918	914	915	910	893	895	896	898	898	897	895	897	897	894	898	897	900	2	21 45	885	8 02	923	38
5	P	895	894	893	891	891	887	898	906	910	912	915	913	899	891	887	885	886	889	891	892	891	891	891	893	895	2	15 51	882	10 49	916	34
6		895	892	892	896	896	895	905	923	933	930	925	920	910	899	889	881	883	889	894	896	895	895	894	894	901	1	15 29	880	8 27	934	54
7	P	895	896	896	897	897	897	901	901	892	882	882	884	886	892	893	892	894	896	896	896	895	894	893	895	893	1	10 23	878	6 55	902	24
8		895	896	896	897	896	894	897	901	899	898	895	896	897	898	898	897	896	895	897	898	897	896	896	896	897	1	5 25	894	7 17	901	7
9		898	900	900	900	899	895	904	917	917	911	904	902	896	895	895	894	893	894	897	897	896	896	896	896	900	0	17 18	892	8 05	919	27
10		896	896	897	898	900	899	901	901	892	877	877	878	877	873	879	889	893	895	897	897	896	895	896	896	891	1	13 38	872	7 36	901	29
11		897	899	898	898	897	898	908	915	910	902	902	901	895	895	894	896	895	895	898	897	897	897	897	896	899	1	12 48	893	7 37	915	22
12		897	898	899	899	899	900	905	906	903	905	904	898	892	885	883	883	886	891	896	897	897	896	896	896	896	0	15 07	881	7 10	907	26
13		896	897	899	898	898	897	903	904	907	908	911	911	905	899	894	892	894	896	898	900	900	899	899	899	900	1	15 23	891	10 57	913	22
14		897	898	899	900	900	899	905	916	915	910	905	903	900	896	894	893	891	895	899	899	898	898	897	897	900	0	16 19	889	7 54	918	29
15	C	897	898	900	900	900	899	903	909	907	898	890	888	892	892	889	887	886	893	899	900	899	900	899	897	897	0	15 57	884	7 45	910	26
16	C	897	898	901	902	902	902	911	920	917	907	902	902	902	902	905	907	902	898	901	901	901	900	900	899	903	0	17 29	896	7 40	920	24
17		900	901	902	902	901	903	910	916	914	905	901	896	889	883	881	883	888	894	899	899	900	899	899	899	898	0	14 30	880	7 36	916	36
18		897	898	898	900	900	899	889	915	911	899	896	900	898	893	892	893	895	897	899	899	899	899	899	897	898	1	14 13	890	7 24	915	25
19	C	898	900	900	900	901	901	902	900	888	877	871	870	872	877	882	885	889	894	899	898	899	898	899	899	892	0	11 39	869	6 36	903	34
20		901	902	902	902	902	905	911	911	906	898	894	895	892	885	884	886	887	893	899	900	900	900	899	898	898	0	14 03	883	6 55	912	29
21		900	903	903	903	902	903	889	910	906	899	896	898	899	895	887	888	891	894	898	898	898	898	898	898	898	0	14 30	885	7 17	910	25
22		900	900	901	902	901	902	903	906	902	898	895	896	906	893	890	893	895	895	897	898	897	898	897	898	898	1	14 11	886	7 25	906	20
23		899	900	900	899	900	901	902	897	884	877	874	884	890	894	900	903	903	901	900	900	900	900	898	898	896	1	10 06	869	16 0	903	34
24		901	903	902	903	904	907	909	904	899	891	890	899	901	898	890	890	893	896	898	898	897	899	898	898	899	1	10 25	886	6 20	911	25
25	C	900	903	903	903	903	904	907	909	906	897	890	893	896	892	889	893	896	899	900	902	902	901	900	899	899	0	14 31	888	7 36	909	21
26		900	901	903	904	904	905	905	900	889	877	872	872	869	872	882	892	897	899	902	902	903	902	902	902	894	1	12 16	868	5 52	905	37
27		901	903	903	903	899	906	911	912	908	902	896	895	886	879	882	888	893	897	901	902	901	900	901	901	899	0	13 34	878	7 20	913	35
28		901	902	902	903	902	902	904	900	898	897	899	906	903	897	896	897	900	903	904	903	902	902	903	902	901	0	14 02	886	11 17	906	20
29		903	904	904	904	904	906	909	908	901	895	898	908	912	903	891	889	891	899	903	902	902	902	903	902	902	1	15 37	887	12 24	913	26
30	P	901	903	902	902	901	900	902	906	905	901	907	914	918	913	907	906	904	902	905	905	905	905	901	903	905	1	9 41	898	12 11	918	20
31																																
Media ..		898	899	899	900	899	899	903	908	905	899	896	897	894	891	890	891	893	896	898	899	898	898	898	897	898						28
Media C.		897	899	900	900	900	900	905	910	905	896	891	891	892	892	891	892	893	896	899	900	900	899	899	898	898						26
Media P.		896	896	896	896	896	894	900	907	906	903	904	903	896	893	891	892	893	895	896	897	897	896	895	896	897						32

INTENSIDAD VERTICAL

Moca (Fernando Poo)

Mes de Octubre de 1.960

T. U. — Z = − 8.000 − VALOR DE LA TABLA EXPRESADO EN GAMMAS

Día	S.	0-1	1-2	2-3	3-4	4-5	5-6	6-7	7-8	8-9	9-10	10-11	11-12	12-13	13-14	14-15	15-16	16-17	17-18	18-19	19-20	20-21	21-22	22-23	23-24	Media	C	Máximo h	Máximo m	Máximo	Mínimo h	Mínimo m	Mínimo	Amplitud
1	P	902	901	902	902	902	902	905	907	902	896	910	918	918	910	897	899	904	903	904	903	903	902	903	902	904	1	9	02	893	11	59	922	29
2		903	905	904	904	904	904	906	905	901	895	899	906	901	905	898	893	894	901	902	900	900	902	900	902	901	2	9	40	891	6	55	907	16
3		903	904	903	903	904	905	911	912	906	899	898	907	912	911	908	903	901	901	903	904	904	905	905	906	905	1	10	42	894	12	15	913	19
4		906	907	907	907	907	908	911	896	888	882	882	889	897	900	899	900	903	902	901	907	901	901	903	903	900	2	9	51	881	19	15	911	30
5		906	903	903	903	904	904	902	900	895	890	888	890	893	896	901	903	902	900	901	902	902	904	903	906	900	1	9	59	887	0	30	906	19
6	P	905	905	903	907	911	906	905	902	902	900	901	892	912	911	906	908	906	902	900	907	902	903	894	900	904	2	22	39	878	12	38	915	37
7	P	905	896	902	901	899	904	910	926	925	922	930	930	919	910	900	894	895	896	901	900	898	901	902	901	907	2	1	06	878	10	42	935	57
8		902	901	904	906	905	905	908	912	909	902	898	893	892	885	881	884	892	897	899	900	900	900	898	901	899	1	14	38	879	7	59	913	34
9		902	903	904	905	904	902	904	903	893	883	875	875	880	883	887	890	898	900	900	901	901	902	900	902	896	1	10	56	872	6	42	906	34
10		902	903	902	904	904	905	912	911	904	897	894	899	906	905	900	901	899	901	903	902	902	904	904	904	903	0	10	15	892	7	0	912	20
11		904	905	904	904	905	908	914	906	897	887	879	882	890	894	893	898	901	900	901	901	901	901	901	901	899	0	10	45	877	6	24	912	35
12	C	902	903	903	903	904	905	907	903	890	880	881	882	886	889	891	895	900	901	902	902	903	903	903	903	897	0	9	41	878	6	32	909	31
13	C	904	905	906	906	908	909	912	909	899	895	895	898	905	906	903	903	903	903	903	903	903	902	902	904	903	1	10	15	894	7	0	912	18
14	C	905	904	905	906	906	909	912	909	899	895	890	889	896	899	897	896	897	901	902	903	903	903	903	904	901	0	10	50	887	6	41	914	27
15		904	904	905	906	907	909	913	912	907	903	897	897	904	912	912	909	906	904	904	903	901	900	902	902	905	1	10	41	895	6	53	914	19
16		902	905	907	907	908	908	907	901	890	880	878	880	886	888	885	881	888	895	901	902	904	903	902	904	896	0	10	18	876	5	27	909	33
17		904	904	906	907	908	908	907	903	901	901	900	900	903	900	892	890	895	901	904	904	904	904	904	906	902	0	14	59	888	5	40	906	18
18		907	907	906	905	906	908	908	903	896	894	896	899	899	893	883	881	888	899	902	902	901	901	903	903	899	1	15	15	879	5	26	909	30
19		903	903	903	903	902	902	911	912	912	908	907	908	913	910	902	901	906	905	904	903	903	903	904	905	905	0	15	02	898	12	22	913	15
20		905	906	906	906	904	903	903	903	902	900	900	904	907	906	902	905	906	904	903	905	905	904	904	905	904	0	9	55	899	13	15	908	9
21		906	905	905	906	906	907	904	894	886	889	895	904	912	913	909	903	901	902	903	904	905	904	905	905	903	0	8	36	901	12	50	914	13
22	C	906	906	907	907	907	908	907	897	889	886	883	887	894	900	902	902	903	902	904	904	904	904	905	907	901	0	10	38	881	5	38	907	26
23	C	906	906	908	908	909	912	913	906	892	880	875	879	887	890	889	895	900	902	903	903	903	903	905	904	899	0	10	19	873	6	12	914	41
24		905	906	906	907	907	907	910	907	898	891	889	894	903	913	915	917	912	903	904	902	904	907	905	905	905	2	10	33	888	15	26	917	29
25	P	904	904	905	906	906	906	906	905	906	906	905	911	927	926	918	912	909	913	906	908	908	903	904	903	909	2	20	58	900	12	52	931	31
26	P	906	906	905	904	904	904	907	908	915	914	911	905	904	900	913	895	902	904	904	903	904	904	902	904	905	2	14	57	893	8	36	917	24
27		904	906	906	905	905	904	902	895	887	883	882	882	888	891	888	893	902	905	906	906	906	907	906	905	898	1	10	52	878	1	58	907	29
28		906	906	906	906	907	910	914	905	894	882	873	871	873	883	890	891	895	901	903	904	905	905	903	907	897	1	11	32	869	6	27	915	46
29		904	903	904	905	906	909	914	913	907	903	902	902	904	903	899	899	902	905	905	909	910	906	905	905	905	2	14	46	897	6	46	915	18
30		907	906	907	907	906	907	907	906	908	912	916	916	919	916	905	903	903	906	906	907	908	907	907	906	908	1	14	55	903	12	58	920	17
31		907	908	908	908	907	907	903	898	893	894	894	897	901	896	892	897	902	906	907	907	907	908	906	906	902	1	14	47	891	4	24	910	19
Media . .		904	904	905	905	905	906	908	905	900	895	894	896	901	901	900	898	900	902	903	903	903	903	903	904	902								27
Media C.		905	905	906	906	907	909	910	905	894	887	885	887	894	897	896	898	901	902	903	903	903	903	904	904	900								29
Media P.		904	902	903	904	904	904	907	910	910	908	911	911	916	911	907	902	903	904	903	904	903	903	901	902	906								36

INTENSIDAD VERTICAL

Moca (Fernando Poo) — Mes de Noviembre de 1.960

T. U. — Z = - 8.000 - VALOR DE LA TABLA EXPRESADO EN GAMMAS

Día	S.	0-1	1-2	2-3	3-4	4-5	5-6	6-7	7-8	8-9	9-10	10-11	11-12	12-13	13-14	14-15	15-16	16-17	17-18	18-19	19-20	20-21	21-22	22-23	23-24	Media	C	Máximo h	m		Mínimo h	m		Amplitud
1		909	909	910	910	910	912	913	908	904	903	904	901	896	894	896	903	903	904	904	905	906	906	907	908	905	0	14	0	891	6	32	907	16
2		908	908	908	909	909	910	907	897	890	890	890	892	898	902	902	901	900	901	903	906	906	906	907	907	902	0	10	56	888	5	35	910	22
3		908	909	909	909	908	908	905	904	897	893	895	899	906	912	912	908	906	906	906	908	909	909	907	909	906	1	9	16	892	14	02	904	12
4	P	910	910	909	909	909	908	904	899	891	889	898	904	912	913	878	906	904	902	902	904	907	907	907	907	904	1	9	11	886	13	05	914	28
5		907	907	908	908	909	915	916	907	894	885	883	883	885	890	894	899	902	903	904	906	907	908	908	908	901	0	10	35	881	6	06	917	36
6		909	909	908	908	909	912	910	899	886	881	879	878	884	895	896	895	901	904	905	906	907	907	906	909	900	0	11	05	876	5	37	912	36
7	C	909	910	910	908	909	911	909	900	889	887	892	894	888	885	889	894	900	902	904	905	906	906	905	906	901	0	13	15	883	5	36	911	28
8	C	909	910	910	909	910	910	909	902	900	897	894	893	894	898	900	904	909	908	907	909	909	909	908	908	905	1	11	21	891	5	57	910	19
9	C	909	909	906	910	910	914	915	914	910	907	905	909	914	915	913	907	905	905	907	908	909	908	908	909	909	0	10	48	903	6	19	915	12
10		909	910	910	911	911	911	909	903	897	888	880	871	879	896	902	906	909	907	906	907	910	911	909	911	903	1	11	48	869	24	0	912	43
11		913	913	913	913	916	917	916	909	897	883	879	888	902	903	905	902	903	905	907	907	908	908	909	907	905	1	10	40	877	5	36	918	41
12		908	909	910	911	911	911	910	895	885	878	878	883	885	879	872	886	897	908	911	908	908	915	924	917	900	2	13	54	858	22	47	933	75
13	P	920	917	921	919	926	920	920	914	910	885	890	912	903	905	896	913	907	907	901	907	908	904	904	906	909	2	12	11	864	12	04	941	77
14	P	906	907	909	908	908	907	904	900	901	903	902	905	905	902	900	900	901	903	905	906	906	904	904	903	904	2	10	24	897	1	55	912	15
15	P	904	906	905	907	909	911	905	892	877	873	869	872	882	887	893	902	905	903	902	907	907	903	899	907	897	2	11	06	867	23	45	911	44
16	P	908	906	909	905	907	908	897	892	889	891	897	902	899	892	896	902	907	907	906	908	909	909	907	908	902	2	8	59	887	2	31	915	28
17		906	908	909	909	911	913	910	904	898	894	897	902	902	901	901	901	901	904	905	906	907	906	906	907	904	1	9	35	892	5	35	914	22
18	C	908	909	909	909	911	912	906	894	886	886	889	897	905	909	911	913	911	907	906	907	908	908	909	909	905	0	8	47	884	15	30	914	30
19	C	909	911	911	911	914	918	921	912	896	885	880	887	892	895	899	899	902	904	905	906	907	907	909	909	904	1	10	38	877	6	15	922	45
20		911	910	909	907	908	909	903	894	884	880	882	889	891	892	896	902	904	904	906	909	909	910	910	910	901	1	9	24	878	0	50	911	33
21		911	911	912	913	912	911	912	913	904	901	906	909	910	910	911	913	911	909	908	910	911	910	913	913	910	2	8	34	896	7	08	917	21
22		913	912	912	914	914	910	906	908	908	900	895	896	897	899	902	908	908	906	906	906	908	909	908	910	906	1	10	30	894	3	35	914	20
23		910	911	912	911	912	912	910	901	899	893	896	899	898	900	904	907	910	908	906	908	909	910	908	909	906	0	9	22	891	5	42	912	21
24		911	912	912	912	912	913	917	912	903	891	885	886	888	888	893	898	907	907	908	910	912	913	912	910	905	1	10	46	883	6	32	918	35
25		912	912	911	910	912	911	910	902	894	886	885	890	895	901	901	902	906	907	907	908	908	907	905	907	904	1	9	53	882	1	50	912	30
26		907	908	908	908	908	909	910	908	906	902	901	902	903	902	904	907	909	907	907	910	911	908	908	910	907	0	10	19	899	6	15	910	11
27		910	911	912	912	913	914	912	908	905	901	899	900	899	901	902	908	911	911	909	910	911	911	909	909	908	1	12	11	897	5	27	915	18
28		900	911	911	911	912	912	917	915	910	909	907	902	898	896	896	901	905	906	907	908	908	908	909	910	907	1	13	52	894	6	46	902	8
29		912	912	912	913	914	915	913	900	891	879	880	887	892	895	899	902	905	904	907	909	911	912	909	910	903	0	9	56	875	5	48	916	41
30		912	913	913	913	914	916	917	922	917	913	912	914	914	915	912	909	910	912	913	914	917	919	919	918	914	2	19	13	906	6	16	917	11
31																																		
Media ...		909	910	910	910	911	912	910	904	897	892	892	895	879	899	899	903	905	906	906	908	909	909	908	909	905								29
Media C.		909	910	909	909	911	913	912	904	896	892	892	896	899	900	902	903	905	905	906	907	908	908	908	908	905								27
Media P.		910	909	911	910	912	911	906	899	894	888	891	899	900	900	893	905	905	904	903	906	907	905	904	906	903								38

INTENSIDAD VERTICAL

Moca (Fernando Poo)

Mes de Diciembre de 1.960

T. U. Z = - 8.000 - VALOR DE LA TABLA EXPRESADO EN GAMMAS

Día	S.	0-1	1-2	2-3	3-4	4-5	5-6	6-7	7-8	8-9	9-10	10-11	11-12	12-13	13-14	14-15	15-16	16-17	17-18	18-19	19-20	20-21	21-22	22-23	23-24	Media	C	Máximo h m		Mínimo h m		Amplitud
1		921	923	920	920	919	920	921	911	911	903	898	899	898	903	905	907	911	910	909	910	910	911	911	910	911	2	10 16	889	7 16	913	24
2		912	913	913	913	915	916	917	915	914	916	918	918	911	904	904	901	904	905	907	910	911	911	910	911	911	1	15 37	900	11 16	918	18
3		911	913	914	914	913	911	904	900	898	899	897	901	904	905	905	904	906	907	909	910	911	912	912	912	907	0	10 27	896	3 31	914	18
4	C	912	912	913	914	915	918	917	912	904	898	900	903	896	895	896	901	906	908	911	912	911	912	913	912	908	0	14 09	893	6 0	919	26
5		912	913	914	915	915	916	918	912	897	886	886	893	899	903	904	910	913	910	910	912	913	914	915	915	908	1	9 51	883	6 05	918	35
6		915	916	916	917	918	916	913	905	893	886	882	882	890	904	913	912	911	910	911	912	912	912	912	912	907	1	11 06	880	4 30	918	38
7		912	913	913	914	916	915	917	915	917	915	907	903	902	904	907	908	909	908	909	913	916	913	912	915	911	2	12 40	900	8 51	917	17
8	P	917	916	916	918	916	917	921	917	909	897	911	895	897	898	904	908	907	908	910	912	912	912	913	915	910	2	10 01	888	6 16	922	34
9	P	914	916	918	916	916	916	915	911	909	908	902	894	893	898	901	905	906	912	912	913	915	914	913	913	909	1	12 02	891	2 05	918	27
10		894	915	917	916	915	915	912	906	904	900	899	897	895	899	899	899	905	907	909	910	911	912	910	911	906	0	12 30	894	2 49	917	23
11	C	911	912	913	914	914	913	912	910	911	910	906	904	904	905	906	909	910	911	911	913	914	915	915	914	911	0	12 45	903	4 23	914	11
12		914	915	916	917	916	914	912	913	913	913	914	916	917	915	911	908	911	913	914	914	915	915	914	915	914	1	15 41	907	3 20	918	11
13		916	916	916	916	916	915	912	907	907	911	915	913	909	910	910	911	914	914	914	915	916	916	915	916	913	0	8 0	906	24 0	917	11
14	C	917	917	917	918	918	919	918	918	918	916	913	911	911	913	917	919	917	917	916	918	919	919	919	919	917	1	11 02	905	6 0	919	14
15		918	917	917	916	916	916	914	916	918	917	919	924	927	920	913	910	912	913	915	915	917	914	915	915	916	1	15 50	908	12 04	917	9
16		915	916	917	918	919	919	920	926	926	920	916	913	907	909	906	900	901	908	911	911	913	913	913	914	914	1	15 55	897	8 04	929	32
17	C	916	917	918	918	919	918	916	910	905	908	915	919	920	923	921	917	915	915	915	915	916	917	917	919	916	0	8 20	903	13 55	923	20
18		918	919	919	919	918	917	922	918	912	913	924	929	937	936	926	920	915	917	916	917	917	918	918	918	920	1	9 09	909	13 04	939	30
19	P	918	918	917	918	919	918	911	906	905	905	904	904	914	922	923	917	913	909	913	912	912	912	913	914	913	1	11 0	902	13 58	924	22
20	P	915	916	916	916	915	914	908	902	893	893	895	902	907	914	918	916	912	910	914	916	915	918	916	917	911	1	8 55	890	14 44	918	28
21		916	916	917	917	917	916	914	909	900	894	890	895	902	917	926	923	913	910	913	916	917	915	915	915	912	1	10 21	888	14 33	927	39
22	P	915	916	916	917	917	918	919	915	906	904	895	888	896	912	922	921	911	907	910	912	913	912	912	912	911	1	11 34	886	14 48	923	37
23		912	913	914	915	917	916	913	897	901	875	878	883	890	901	911	913	910	908	910	912	913	913	913	913	906	1	9 50	889	4 47	917	28
24		913	914	915	916	916	915	918	916	909	902	895	890	895	902	911	917	915	911	911	914	914	914	914	914	910	1	11 23	887	6 55	919	32
25	C	914	914	915	915	916	916	913	909	901	889	883	882	888	906	918	922	924	900	914	913	914	915	915	915	909	0	10 51	880	16 22	923	43
26		914	915	916	915	917	915	919	921	917	917	917	904	902	909	917	920	919	912	911	913	914	915	915	914	914	1	12 15	899	7 23	922	23
27		915	917	920	920	919	915	914	918	929	928	930	924	914	916	920	916	918	917	917	917	919	917	917	916	919	2	15 33	912	11 03	932	20
28		916	915	915	914	916	917	916	910	905	900	892	887	890	895	900	903	908	909	912	915	917	916	916	916	908	1	11 30	883	20 26	917	34
29		916	917	916	916	915	915	918	914	907	901	910	918	910	898	897	905	909	910	912	914	915	916	915	916	912	1	14 13	894	11 39	918	24
30		916	916	915	915	915	914	917	920	917	908	905	904	904	913	920	920	917	915	916	915	916	915	915	916	914	1	12 32	902	14 49	920	18
31		916	917	917	917	918	917	918	914	911	899	907	913	911	907	908	908	910	911	913	916	916	914	914	915	913	1	10 25	905	4 35	916	11
Media . .		914	915	916	916	916	916	915	912	909	904	904	903	904	908	911	911	911	910	912	913	914	914	914	914	912						24
Media C.		914	914	915	916	916	917	915	912	908	904	903	904	904	908	912	914	914	910	913	914	915	916	916	916	912						25
Media P.		916	916	917	917	917	917	915	910	904	901	901	897	901	909	914	913	910	909	912	913	913	914	913	914	911						30

VARIACION DIURNA POR MEDIAS HORARIAS

Moca (Fernando Poo) — Todos los días — Año 1.960

T. U. — Intensidad Horizontal — UNIDAD: 0,1

	0-1	1-2	2-3	3-4	4-5	5-6	6-7	7-8	8-9	9-10	10-11	11-12	12-13	13-14	14-15	15-16	16-17	17-18	18-19	19-20	20-21	21-22	22-23	23-24
Enero	- 210	- 198	- 164	- 164	-140	-117	- 35	+142	+295	+407	+466	+412	+322	+210	+ 132	- 09	- 72	- 91	- 137	-175	-194	- 205	- 228	- 217
Febrero	- 201	- 185	- 151	- 132	-126	-113	- 72	+ 43	+189	+353	+445	+461	+393	+305	+ 200	+ 58	- 25	- 94	- 189	-199	-242	- 256	- 244	- 211
Marzo	- 184	- 170	- 142	- 133	-114	- 94	- 50	+ 95	+255	+387	+486	+511	+409	+273	+ 156	+ 65	- 61	- 139	- 223	-271	-269	- 278	- 279	- 217
Abril	- 196	- 193	- 153	- 68	- 46	- 40	+ 24	+179	+405	+534	+607	+569	+478	+291	+ 110	- 48	-143	- 322	- 398	-368	-362	- 336	- 290	- 212
Mayo	- 215	- 189	- 164	- 171	-117	- 49	+ 29	+160	+325	+432	+483	+445	+343	+198	+ 53	- 84	-141	- 171	- 188	-210	-193	- 193	- 167	- 185
Junio	- 188	- 154	- 124	- 98	- 93	- 59	+ 14	+124	+241	+331	+388	+361	+291	+172	+ 63	- 23	- 65	- 119	- 165	-174	-187	- 166	- 172	- 191
Julio	- 161	- 140	- 118	- 113	- 84	- 40	+ 10	+114	+229	+361	+424	+401	+319	+193	+ 83	- 44	-121	- 172	- 191	-201	-212	- 194	- 190	- 152
Agosto	- 116	- 106	- 100	- 67	- 58	- 43	- 15	+ 55	+209	+348	+424	+417	+363	+241	+ 95	- 29	-110	- 168	- 225	-253	-263	- 244	- 181	- 171
Septiembre	- 194	- 169	- 151	- 125	-105	- 75	- 32	+ 99	+263	+381	+433	+418	+353	+227	+ 104	- 04	- 46	- 110	- 168	-202	-221	- 211	- 231	- 217
Octubre	- 132	- 54	- 38	- 02	- 11	- 24	+ 40	+171	+301	+425	+450	+397	+270	+154	- 32	- 116	-217	- 294	- 302	-281	-242	- 193	- 159	- 92
Noviembre	- 153	- 125	- 131	- 116	- 78	- 60	+ 14	+156	+221	+342	+404	+353	+269	+158	+ 44	- 49	- 42	- 129	- 187	-174	-199	- 199	- 155	- 154
Diciembre	- 68	- 66	- 34	- 23	- 11	+ 20	+ 52	+132	+231	+309	+345	+313	+223	+109	- 04	- 114	-211	- 235	- 230	-228	-174	- 144	- 109	- 90
Invierno	- 158	- 143	- 120	- 109	- 89	- 67	- 10	+118	+234	+353	+415	+385	+302	+195	+ 93	- 28	- 87	- 137	- 186	-194	-202	- 201	- 184	- 168
Equinoccios	- 176	- 146	- 123	- 82	- 69	- 58	- 04	+136	+306	+432	+494	+474	+377	+236	+ 84	- 26	-117	- 216	- 273	-280	-273	- 254	- 240	- 184
Verano	- 170	- 147	- 126	- 112	- 88	- 48	- 9	+113	+251	+368	+430	+406	+329	+201	+ 73	- 45	-109	- 157	- 192	-209	-214	- 199	- 177	- 175
Año	- 168	- 145	- 123	- 101	- 82	- 58	- 02	+122	+264	+384	+446	+422	+336	+210	+ 83	- 33	-104	- 170	- 217	-228	-230	- 218	- 200	- 176

VARIACION DIURNA POR MEDIAS HORARIAS

Moca (Fernando Poo) — Días de calma internacionales — Año 1.960

T. U. — Intensidad Horizontal — UNIDAD: 0,1

	0-1	1-2	2-3	3-4	4-5	5-6	6-7	7-8	8-9	9-10	10-11	11-12	12-13	13-14	14-15	15-16	16-17	17-18	18-19	19-20	20-21	21-22	22-23	23-24
Enero	-244	- 240	- 234	-232	- 210	- 172	- 64	+ 116	+318	+ 506	+592	+ 556	+398	+ 202	+ 62	- 12	- 42	- 66	- 144	- 188	- 202	- 220	- 232	- 230
Febrero	-229	- 227	- 197	-175	- 177	- 189	-123	- 17	+107	+ 231	+329	+ 355	+321	+ 255	+281	+ 127	+ 65	+ 15	- 57	- 117	- 147	- 159	- 139	- 133
Marzo	-255	- 261	- 247	-227	- 203	- 173	-113	+ 13	+185	+ 355	+409	+ 505	+445	+ 297	+165	+ 79	+ 09	- 47	- 101	- 153	- 173	- 163	- 163	- 167
Abril	-249	- 245	- 229	-199	- 145	- 143	-103	+ 17	+213	+ 341	+477	+ 467	+405	+ 287	+137	+ 09	- 45	- 69	- 105	- 135	- 151	- 165	- 165	- 187
Mayo	-236	- 232	-230	-224	- 180	- 140	- 64	+ 96	+254	+ 376	+466	+ 448	+352	+ 220	+ 90	- 06	- 70	- 88	- 32	- 112	- 134	- 160	- 170	- 162
Junio	-230	- 226	- 204	-190	- 152	- 100	+ 06	+ 138	+282	+ 410	+438	+ 412	+318	+ 208	+ 78	- 12	- 50	- 108	- 130	- 152	- 182	- 182	- 190	- 180
Julio	-276	- 256	- 234	-206	- 162	- 116	- 52	+ 64	+200	+ 352	+448	+ 438	+406	+ 318	+162	+ 10	- 82	- 108	- 126	- 140	- 152	- 154	- 152	- 164
Agosto	-208	- 192	- 170	-156	- 146	- 94	- 34	+ 102	+270	+ 376	+420	+ 416	+366	+ 246	+130	+ 02	- 76	- 120	- 148	- 166	- 190	- 206	- 194	- 210
Septiembre	-326	- 264	- 252	-248	- 214	- 186	-100	+ 62	+270	+ 430	+512	+ 490	+414	+ 278	+148	+ 50	- 02	- 54	- 104	- 146	- 172	- 186	- 196	- 182
Octubre	-290	- 280	- 260	-236	- 248	- 218	- 96	+ 92	+306	+ 474	+576	+ 526	+398	+ 242	+108	+ 24	- 22	- 62	- 126	- 168	- 194	- 196	- 168	- 174
Noviembre	-270	- 280	- 262	-244	- 212	- 146	- 46	+ 120	+284	+ 390	+472	+ 452	+334	+ 218	+ 76	+ 02	- 24	- 52	- 90	- 110	- 134	- 148	- 160	- 154
Diciembre	-165	- 167	- 143	-153	- 139	- 111	- 43	+ 71	+191	+ 309	+347	+ 385	+335	+ 195	+ 83	- 29	- 51	- 75	- 111	- 137	- 133	- 161	- 141	- 137
Invierno	-227	- 228	- 209	-201	- 184	- 154	- 69	+ 72	+225	+ 359	+435	+ 437	+347	+ 217	+125	+ 22	- 13	- 44	- 100	- 138	- 154	- 172	- 168	- 163
Equinoccios	-280	- 262	- 247	-227	- 202	- 180	-103	+ 46	+243	+ 400	+493	+ 497	+415	+ 276	+139	+ 40	- 15	- 58	- 109	- 150	- 172	- 177	- 173	- 177
Verano	-237	- 226	- 209	-194	- 160	- 112	- 36	+ 100	+251	+ 378	+443	+ 428	+360	+ 248	+115	- 01	- 69	- 106	- 121	- 142	- 164	- 175	- 176	- 179
Año	-248	- 239	- 222	-207	- 182	- 149	- 69	+ 73	+240	+ 379	+457	+ 454	+374	+ 247	+126	+ 20	- 32	- 69	- 110	- 143	- 163	- 175	- 172	- 173

VARIACION DIURNA POR MEDIAS HORARIAS

Moca (Fernando Poo)

Días perturbados internacionales

Año 1.960

T. U.

Intensidad Horizontal

UNIDAD: 0.1

	0-1	1-2	2-3	3-4	4-5	5-6	6-7	7-8	8-9	9-10	10-11	11-12	12-13	13-14	14-15	15-16	16-17	17-18	18-19	19-20	20-21	21-22	22-23	23-24
Enero	- 156	- 174	- 54	- 26	+ 04	+ 66	+ 236	+ 430	+ 530	+ 524	+ 422	+ 308	+ 182	+ 132	+ 210	- 98	- 204	- 194	- 200	- 352	- 326	- 358	- 454	- 492
Febrero	- 190	- 180	- 90	- 54	- 88	- 80	- 70	- 60	+ 130	+ 376	+ 506	+ 436	+ 332	+ 282	+ 60	- 58	- 60	- 94	- 224	- 262	- 176	- 166	- 154	- 132
Marzo	- 172	- 102	- 38	- 30	- 22	- 08	+ 08	+ 98	+ 264	+ 430	+ 588	+ 544	+ 398	+ 308	+ 192	+ 136	- 98	- 288	- 412	- 436	- 364	- 388	- 456	- 130
Abril	+ 147	- 99	+ 19	+ 499	+ 379	+ 299	+ 401	+ 607	+ 925	+ 969	+ 915	+ 895	+ 835	+ 299	+ 01	- 287	- 437	- 1309	- 1501	- 1197	- 971	- 621	- 405	- 303
Mayo	- 257	- 85	- 43	- 179	- 35	+ 123	+ 249	+ 385	+ 575	+ 541	+ 517	+ 521	+ 425	+ 179	- 73	- 271	- 273	- 285	- 343	- 407	- 447	- 353	- 287	- 171
Junio	- 164	- 116	- 54	+ 08	- 52	- 26	- 38	+ 36	+ 222	+ 336	+ 400	+ 412	+ 328	+ 196	+ 66	- 28	- 112	- 146	- 234	- 184	- 198	- 140	- 208	- 284
Julio	+ 23	+ 121	+ 205	+ 147	+ 191	+ 187	+ 215	+ 291	+ 331	+ 365	+ 297	+ 203	+ 83	- 27	- 87	- 191	- 285	- 385	- 387	- 325	- 319	- 199	- 217	- 237
Agosto	+ 167	+ 147	+ 115	+ 165	+ 87	+ 111	+ 75	+ 35	+ 207	+ 437	+ 485	+ 471	+ 411	+ 317	+ 163	- 63	- 271	- 279	- 515	- 565	- 577	- 491	- 287	- 229
Septiembre	- 37	+ 87	+ 61	+ 87	+ 119	+ 153	+ 163	+ 209	+ 223	+ 229	+ 263	+ 263	+ 135	+ 63	- 55	- 151	- 51	- 159	- 229	- 299	- 399	- 295	- 207	- 157
Octubre	- 48	+ 238	+ 264	+ 370	+ 400	+ 220	+ 190	+ 276	+ 308	+ 410	+ 430	+ 300	+ 130	+ 60	- 304	- 450	- 570	- 678	- 522	- 428	- 306	- 186	- 134	+ 38
Noviembre	- 171	+ 11	- 141	- 35	+ 57	- 97	- 79	+ 87	- 43	+ 135	+ 301	+ 297	+ 301	+ 103	- 55	- 261	- 217	- 197	- 93	+ 25	- 127	- 95	+ 193	+ 105
Diciembre	- 169	- 165	- 179	- 123	- 91	- 31	+ 19	+ 129	+ 217	+ 285	+ 291	+ 247	+ 181	+ 129	+ 45	- 13	- 89	- 83	- 99	- 95	- 111	- 139	- 87	- 55
Invierno	- 171	- 127	- 116	- 59	- 29	- 35	+ 26	+ 146	+ 208	+ 330	+ 380	+ 322	+ 249	+ 161	+ 65	- 107	- 142	- 142	- 154	- 172	- 183	- 189	- 125	- 123
Equinoccios	- 27	+ 31	+ 76	+ 231	+ 219	+ 166	+ 190	+ 297	+ 430	+ 509	+ 549	+ 500	+ 374	+ 182	- 41	- 188	- 289	- 608	- 666	- 590	- 510	- 372	- 300	- 138
Verano	- 58	+ 17	+ 56	+ 35	+ 48	+ 99	+ 125	+ 187	+ 334	+ 420	+ 425	+ 402	+ 312	+ 166	+ 17	- 138	- 235	- 274	- 370	- 370	- 385	- 296	- 250	- 230
Año	- 85	- 26	+ 05	+ 69	+ 79	+ 77	+ 114	+ 210	+ 324	+ 420	+ 451	+ 408	+ 312	+ 170	+ 14	- 144	- 222	- 311	- 397	- 377	- 359	- 286	- 225	- 164

VARIACION DIURNA POR MEDIAS HORARIAS

Moca (Fernando Poo) — Todos los días — Año 1.960

T. U. — Declinación Oeste — UNIDAD: 0,01'

	0-1	1-2	2-3	3-4	4-5	5-6	6-7	7-8	8-9	9-10	10-11	11-12	12-13	13-14	14-15	15-16	16-17	17-18	18-19	19-20	20-21	21-22	22-23	23-24
Enero	- 34	- 15	+ 11	+ 46	+ 86	+138	+215	+195	+106	+ 24	- 27	- 77	- 136	-151	- 99	- 30	+ 29	+ 35	- 22	- 45	- 55	- 54	- 63	- 58
Febrero	- 33	- 33	- 14	+ 12	+ 25	+ 72	+142	+178	+138	+ 75	+ 21	- 28	- 65	- 53	- 48	- 38	- 10	+ 09	- 28	- 57	- 62	- 69	- 53	- 62
Marzo	- 33	- 49	- 45	- 21	- 16	+ 12	+ 67	+108	+ 79	+ 12	- 49	- 34	+ 43	+ 78	+ 62	+ 25	+ 20	- 03	- 23	- 39	- 50	- 40	- 40	- 42
Abril	- 65	- 55	- 71	- 57	- 56	-107	-126	- 76	- 38	- 26	+ 47	+142	+ 184	+165	+124	+ 77	+ 43	- 25	- 27	+ 12	+ 20	- 12	- 20	- 30
Mayo	- 03	- 12	- 26	- 33	- 90	-198	-209	- 90	+ 25	+100	+137	+141	+ 120	+ 76	+ 48	+ 32	+ 24	- 01	- 10	+ 25	+ 30	+ 10	+ 09	+ 02
Junio	- 12	- 26	- 36	- 70	-113	-242	-277	-191	- 63	- 61	+108	+158	+ 150	+135	+101	+ 102	+ 91	+ 52	+ 52	+ 51	+ 46	+ 34	+ 21	+ 09
Julio	- 11	- 32	- 36	- 41	- 83	-207	-266	-199	- 72	+ 31	+101	+154	+ 141	+116	+110	+ 90	+ 78	+ 35	+ 21	+ 34	+ 25	+ 26	- 08	- 07
Agosto	- 26	- 42	- 52	- 72	-117	-272	-317	-198	- 25	+118	+220	+264	+ 206	+145	+ 99	+ 74	+ 45	+ 04	- 14	+ 01	- 06	- 08	- 07	- 08
Septiembre	- 44	- 39	- 39	- 39	- 74	-177	-191	-114	- 34	+ 31	+100	+177	+ 192	+140	+ 73	+ 33	+ 21	+ 07	- 01	- 03	+ 02	+ 05	- 08	- 25
Octubre	- 26	- 10	+ 13	+ 33	+ 36	+ 19	+ 28	+ 32	- 25	- 30	- 38	- 35	+ 32	+ 68	+ 21	+ 03	+ 26	+ 07	- 28	- 11	- 22	- 18	- 26	- 34
Noviembre	- 36	- 07	+ 40	+ 65	+105	+116	+202	+144	+ 22	- 79	-148	-133	- 102	- 50	+ 24	+ 18	+ 39	- 06	- 41	- 40	- 45	- 39	- 49	+ 20
Diciembre	- 33	- 22	+ 10	+ 43	+ 64	+ 74	+113	+129	+111	+105	+ 65	- 04	- 74	- 88	- 64	- 31	+ 10	- 18	- 52	- 76	- 68	- 59	- 66	- 61
Invierno	- 34	- 19	+ 12	+ 41	+ 70	+100	+168	+161	+ 94	+ 31	- 22	- 60	- 94	- 85	- 47	- 20	+ 17	+ 05	- 36	- 54	- 57	- 55	- 58	- 40
Equinoccios	- 42	- 38	- 35	- 21	- 27	- 63	- 55	- 12	- 04	- 03	+ 15	+ 62	+ 113	+113	+ 70	+ 34	+ 27	- 03	- 20	- 10	- 12	- 16	- 23	- 33
Verano	- 13	- 28	- 37	- 54	-101	-230	-267	-169	- 34	+ 47	+141	+179	+ 154	+118	+ 89	+ 74	+ 59	+ 22	+ 12	+ 28	+ 24	+ 15	+ 04	- 01
Año	- 30	- 28	- 20	- 11	- 19	- 64	- 51	- 07	+ 19	+ 25	+ 45	+ 60	+ 58	+ 49	+ 37	+ 29	+ 34	+ 08	- 15	- 12	- 15	- 19	- 26	- 25

VARIACION DIURNA POR MEDIAS HORARIAS

Moca (Fernando Poo) — Días de calma internacionales — Año 1.960

T. U. — Declinación Oeste — UNIDAD: 0,01'

	0-1	1-2	2-3	3-4	4-5	5-6	6-7	7-8	8-9	9-10	10-11	11-12	12-13	13-14	14-15	15-16	16-17	17-18	18-19	19-20	20-21	21-22	22-23	23-24
Enero	- 26	- 24	+ 10	+ 62	+ 118	+214	+320	+336	+226	+ 56	- 98	-172	-250	-286	-186	- 72	+ 54	+ 54	- 30	- 68	- 70	- 54	- 62	- 48
Febrero	- 14	+ 12	+ 28	+ 58	+ 74	+ 76	+128	+144	+ 76	+ 16	- 36	- 68	- 58	- 38	- 48	- 42	- 14	- 02	- 26	- 68	- 62	- 48	- 40	- 26
Marzo	- 14	- 22	- 08	- 02	+ 06	+ 24	+ 64	+ 84	+ 48	- 26	- 92	- 30	+ 70	+118	+ 64	- 10	- 34	- 28	- 34	- 42	- 52	- 32	- 32	- 10
Abril	- 04	+ 02	+ 04	00	- 34	- 76	- 96	- 52	- 08	00	+ 42	+116	+124	+ 82	+ 48	- 08	- 64	- 74	- 46	+ 16	+ 14	+ 14	+ 06	- 04
Mayo	+ 26	+ 24	+ 06	- 24	- 84	-178	-184	- 62	+ 62	+152	+158	+122	+ 72	+ 10	- 20	- 22	- 34	- 46	- 32	+ 08	+ 18	+ 04	+ 16	+ 22
Junio	+ 18	+ 10	- 08	- 02	- 78	-218	-246	-150	- 18	- 18	+ 12	+162	+112	+ 76	+ 50	+ 40	+ 32	- 04	+ 08	+ 62	+ 52	+ 42	+ 42	+ 36
Julio	+252	+ 258	+250	+ 222	+ 172	+ 30	- 12	+ 44	+168	+280	+384	+442	+384	+358	+344	+340	+ 320	+300	+ 304	+ 302	+296	+ 282	+116	+268
Agosto	- 30	- 32	- 48	- 58	- 120	-242	-282	-180	- 38	+108	+210	+228	+194	+134	+ 68	+ 32	+ 32	+ 24	+ 06	+ 10	+ 04	- 04	- 04	- 12
Septiembre	-124	- 14	- 10	- 12	- 52	-140	-138	- 70	- 22	+ 20	+ 44	+ 98	+110	+100	+ 32	- 04	+ 10	+ 12	+ 20	+ 12	+ 10	+ 16	+ 12	- 06
Octubre	- 30	- 14	+ 10	+ 28	+ 32	+ 32	+ 88	+140	- 20	- 64	- 78	- 46	- 06	+ 62	+ 42	+ 12	+ 18	- 08	- 22	- 34	- 38	- 28	- 32	- 32
Noviembre	- 52	- 36	00	+ 06	+ 52	+116	+202	+164	+ 64	- 36	- 98	-128	-112	- 66	+174	- 08	+ 34	- 14	- 40	- 52	- 40	- 38	- 36	- 42
Diciembre	- 39	- 11	+ 07	+ 43	+ 65	+101	+139	+139	+121	+ 93	+ 27	- 39	-113	-113	- 97	- 67	- 07	- 03	- 23	- 49	- 53	- 31	- 39	- 41
Invierno	- 33	- 15	+ 11	+ 42	+ 77	+127	+197	+196	+122	+ 32	- 51	-102	-133	-126	- 39	- 47	+ 17	+ 09	- 30	- 59	- 56	- 43	- 44	- 39
Equinoccios	- 43	- 12	- 01	+ 03	- 12	- 40	- 20	+ 25	00	- 17	- 21	+ 34	+ 74	+ 90	+ 46	- 02	- 17	- 24	- 20	- 12	- 16	- 07	- 11	- 13
Verano	+ 66	+ 65	+ 50	+ 34	- 27	-152	-181	- 87	+ 43	+130	+191	+238	+190	+144	+110	+ 97	+ 87	+ 68	+ 71	+ 95	+ 92	+ 81	+ 42	+ 78
Año	- 03	+ 13	+ 20	+ 26	+ 13	- 22	- 01	+ 45	+ 55	+ 48	+ 40	+ 57	+ 44	+ 36	+ 39	+ 16	+ 29	+ 18	+ 07	+ 08	+ 07	+ 10	- 04	+ 09

VARIACION DIURNA POR MEDIAS HORARIAS

Moca (Fernando Poo) — Días perturbados internacionales — Año 1.960

T. U. — Declinación Oeste — UNIDAD: 0,01'

	0-1	1-2	2-3	3-4	4-5	5-6	6-7	7-8	8-9	9-10	10-11	11-12	12-13	13-14	14-15	15-16	16-17	17-18	18-19	19-20	20-21	21-22	22-23	23-24
Enero	- 40	- 36	+ 12	+ 42	+ 108	+ 194	+ 260	+172	+ 48	+ 18	+ 12	- 16	- 82	- 78	- 74	- 42	+ 06	- 36	- 54	- 34	- 64	- 84	-104	- 94
Febrero	- 49	- 11	- 13	+ 21	+ 31	+ 65	+ 161	+177	+131	+ 61	+ 07	- 53	-107	- 61	- 39	- 43	- 19	+ 13	+ 03	- 47	- 33	- 109	- 23	- 51
Marzo	- 74	-116	-134	- 92	- 76	- 68	- 22	+ 90	+ 58	+ 10	+ 18	- 34	+ 54	+160	+154	+116	+ 122	+ 58	+ 14	- 04	- 32	- 04	- 64	- 116
Abril	-222	-122	-196	- 214	- 88	- 126	- 166	-152	-134	-128	+ 94	+256	+316	+244	+138	+178	+ 206	+ 92	- 04	+ 12	+ 88	- 38	- 24	- 10
Mayo	- 50	- 76	-108	- 92	- 142	- 256	- 252	-112	- 12	+ 64	+130	+174	+234	+200	+136	+100	+ 82	+ 38	- 22	+ 26	+ 14	- 40	- 08	- 28
Junio	- 35	- 57	- 57	- 151	- 173	- 291	- 325	-271	-141	-129	+147	+195	+179	+179	+165	+109	+ 163	+141	+ 115	+ 97	+ 91	+ 49	- 15	- 15
Julio	- 26	- 22	- 26	- 12	- 30	- 184	- 268	-198	- 68	+ 40	+ 78	+130	+122	+118	+140	+108	+ 88	- 02	- 06	00	+ 04	+ 46	- 02	- 14
Agosto	+ 26	- 08	- 28	- 76	- 84	- 310	- 370	-194	- 38	+ 94	+220	+280	+220	+176	+130	+110	+ 46	- 24	- 78	- 48	- 36	- 20	- 08	+ 24
Septiembre	- 24	- 44	- 70	- 80	- 126	- 264	- 298	-178	- 86	+ 40	+186	+278	+252	+190	+118	+ 34	+ 20	+ 12	- 28	- 10	+ 30	+ 22	+ 02	+ 36
Octubre	- 46	- 48	- 04	+ 16	- 06	- 62	- 74	- 44	- 54	- 16	00	+ 30	+148	+142	+ 36	- 02	+ 58	+ 38	- 30	+ 54	- 14	- 08	- 28	- 74
Noviembre	- 30	- 34	+ 64	+ 98	+ 188	+ 194	+ 288	+172	- 76	-246	-396	-268	-218	- 74	- 04	+ 50	+ 102	+ 34	+ 26	+ 44	+ 28	+ 22	+ 18	+ 24
Diciembre	- 46	- 44	- 04	+ 42	+ 70	+ 106	+ 172	+200	+138	+148	+ 96	- 16	-112	-144	- 94	- 18	- 06	- 56	- 80	- 100	- 72	- 60	- 56	- 52
Invierno	- 41	- 31	+ 15	+ 51	+ 99	+ 140	+ 220	+180	+ 60	- 05	- 70	- 88	-130	- 89	- 53	- 13	+ 21	- 11	- 26	- 34	- 35	- 57	- 41	- 43
Equinoccios	- 91	- 82	-101	- 92	- 74	- 130	- 140	- 71	- 54	- 23	+ 74	+132	+192	+184	+111	+ 81	+ 101	+ 50	- 12	+ 13	+ 18	- 07	- 28	- 41
Verano	- 21	- 41	- 55	- 83	- 107	- 260	- 304	-196	- 65	+ 17	+144	+195	+189	+168	+143	+107	+ 95	+ 38	+ 02	+ 19	+ 18	+ 08	- 08	- 08
Año	- 51	- 51	- 47	- 41	- 27	- 83	- 75	- 29	- 20	- 04	+ 49	+ 80	+ 84	+ 88	+ 67	+ 58	+ 72	+ 26	- 12	- 01	00	- 19	- 26	- 31

VARIACION DIURNA POR MEDIAS HORARIAS

Moca (Fernando Poo) — Todos los días — Año 1.960

T. U. — Intensidad Vertical — UNIDAD: 0,1

	0-1	1-2	2-3	3-4	4-5	5-6	6-7	7-8	8-9	9-10	10-11	11-12	12-13	13-14	14-15	15-16	16-17	17-18	18-19	19-20	20-21	21-22	22-23	23-24
Enero	- 39	- 51	- 59	- 70	- 72	- 70	- 57	+ 11	+ 82	+ 139	+ 145	+ 130	+ 106	+ 33	- 12	- 29	- 29	+ 01	- 03	- 24	- 33	- 27	- 37	- 39
Febrero	- 49	- 55	- 61	- 65	- 71	- 79	- 92	- 64	- 02	+ 58	+ 113	+ 127	+ 128	+ 110	+ 85	+ 57	+ 25	+ 03	- 17	- 24	- 34	- 33	- 34	- 35
Marzo	- 46	- 51	- 58	- 64	- 65	- 81	- 103	- 68	+ 21	+ 117	+ 165	+ 148	+ 99	+ 67	+ 62	+ 41	+ 21	- 03	- 24	- 34	- 32	- 36	- 39	- 43
Abril	+ 04	- 08	- 16	- 21	- 27	- 31	- 58	- 75	- 33	- 08	- 02	+ 04	+ 32	+ 44	+ 37	+ 48	+ 56	+ 37	- 02	- 10	- 05	+ 13	+ 11	+ 04
Mayo	+ 04	- 02	- 08	- 22	- 23	- 18	- 56	- 94	- 73	- 27	+ 02	+ 39	+ 62	+ 60	+ 48	+ 48	+ 41	+ 23	- 05	- 13	- 03	00	- 02	+ 01
Junio	+ 19	+ 17	+ 13	+ 03	- 03	+ 10	- 47	- 117	- 132	- 95	- 33	+ 04	+ 28	+ 39	+ 42	+ 40	+ 46	+ 47	+ 23	+ 13	+ 16	+ 19	+ 22	+ 21
Julio	+ 14	+ 13	+ 03	- 03	- 04	+ 03	- 45	- 114	- 131	- 84	- 18	+ 18	+ 50	+ 61	+ 51	+ 46	+ 40	+ 36	+ 15	+ 03	+ 08	+ 13	+ 11	+ 12
Agosto	+ 06	- 03	- 07	- 09	- 13	- 03	- 54	- 130	- 117	- 77	- 36	+ 10	+ 61	+ 85	+ 85	+ 76	+ 55	+ 32	+ 06	00	+ 01	+ 08	+ 06	+ 03
Septiembre	- 01	- 10	- 15	- 20	- 17	- 19	- 56	- 106	- 73	- 10	+ 14	+ 07	+ 31	+ 64	+ 77	+ 64	+ 47	+ 20	- 06	- 11	- 08	- 04	- 02	+ 01
Octubre	- 23	- 22	- 28	- 31	- 34	- 41	- 61	- 33	+ 24	+ 70	+ 79	+ 58	+ 11	+ 07	+ 22	+ 41	+ 17	+ 01	- 08	- 14	- 12	- 13	- 09	- 18
Noviembre	- 46	- 54	- 56	- 56	- 66	- 74	- 58	+ 04	+ 74	+ 129	+ 130	+ 98	+ 74	+ 56	+ 55	+ 14	- 07	- 11	- 14	- 30	- 40	- 40	- 38	- 44
Diciembre	- 26	- 39	- 44	- 46	- 48	- 44	- 38	- 04	+ 30	+ 74	+ 77	+ 82	+ 71	+ 34	+ 07	+ 04	+ 03	+ 13	- 04	- 18	- 27	- 26	- 24	- 28
Invierno	- 40	- 50	- 55	- 59	- 64	- 67	- 61	- 13	+ 46	+ 100	+ 116	+ 109	+ 95	+ 58	+ 34	+ 11	- 02	+ 01	- 09	- 24	- 33	- 31	- 33	- 36
Equinoccios	- 16	- 23	- 29	- 34	- 36	- 43	- 69	- 70	- 15	+ 42	+ 64	+ 54	+ 43	+ 45	+ 49	+ 48	+ 35	+ 14	- 10	- 17	- 14	- 10	- 10	- 14
Verano	+ 11	+ 06	00	- 08	- 11	- 02	- 50	- 114	- 113	- 71	- 21	+ 18	+ 50	+ 61	+ 56	+ 52	+ 45	+ 34	+ 10	+ 01	+ 05	+ 10	+ 09	+ 09
Año	- 15	- 22	- 28	- 34	- 37	- 37	- 60	- 66	- 27	+ 24	+ 53	+ 60	+ 63	+ 55	+ 46	+ 37	+ 26	+ 16	- 03	- 13	- 14	- 10	- 11	- 14

VARIACION DIURNA POR MEDIAS HORARIAS

Moca (Fernando Poo) — Días de calma Internacionales — Año 1.960

Imprenta Balear. — Santa Isabel

T. U — Intensidad Vertical — UNIDAD: 0,1

	0-1	1-2	2-3	3-4	4-5	5-6	6-7	7-8	8-9	9-10	10-11	11-12	12-13	13-14	14-15	15-16	16-17	17-18	18-19	19-20	20-21	21-22	22-23	23-24
Enero	- 65	- 69	- 81	- 87	- 95	-105	- 81	+ 25	+ 97	+277	+317	+243	+143	+ 29	- 45	- 117	- 107	- 07	- 25	- 43	- 51	- 49	- 53	- 63
Febrero	- 46	- 50	- 60	- 60	- 62	- 64	- 68	- 46	+ 04	+ 48	+ 76	+ 68	+ 68	+ 60	+ 88	+ 100	+ 66	+ 28	+ 02	- 20	- 28	- 36	- 36	- 38
Marzo	- 49	- 49	- 55	- 65	- 67	- 85	-107	- 77	- 13	+ 93	+165	+143	+ 91	+ 97	+113	+ 85	+ 57	- 11	- 35	- 45	- 45	- 45	- 49	- 51
Abril	- 17	- 27	- 35	- 41	- 43	- 51	- 77	- 95	- 51	- 13	+ 03	+ 59	+ 89	+111	+109	+ 103	+ 83	+ 25	- 31	- 39	- 33	- 19	- 09	- 07
Mayo	- 15	- 21	- 27	- 39	- 37	- 31	- 55	- 85	- 61	+ 09	+ 43	+115	+123	+105	+ 63	+ 41	+ 29	+ 01	- 29	- 37	- 31	- 23	- 23	- 21
Junio	- 03	- 01	- 09	- 19	- 19	- 07	- 63	-137	-129	- 73	- 03	+ 63	+105	+ 79	+ 55	+ 47	+ 51	+ 45	+ 13	- 09	- 01	+ 03	+ 05	+ 07
Julio	- 04	- 02	- 10	- 16	- 18	- 16	- 52	-116	-112	- 38	+ 32	+ 72	+ 84	+ 72	+ 50	+ 44	+ 20	+ 16	- 04	- 04	00	- 02	- 02	- 08
Agosto	00	- 10	- 16	- 18	- 20	- 14	- 58	- 98	- 56	+ 14	+ 32	+ 26	+ 34	+ 56	+ 58	+ 38	+ 26	+ 08	- 04	- 04	00	+ 04	00	- 02
Septiembre	+ 05	- 11	- 21	- 25	- 27	- 27	- 73	-119	- 77	+ 15	+ 71	+ 65	+ 53	+ 59	+ 63	+ 55	+ 47	+ 19	- 11	- 19	- 19	- 13	- 11	- 01
Octubre	- 42	- 44	- 54	- 56	- 64	- 82	- 96	- 44	+ 66	+132	+156	+134	+ 68	+ 36	+ 40	+ 22	- 02	- 14	- 24	- 26	- 28	- 26	- 32	- 40
Noviembre	- 41	- 51	- 45	- 47	- 61	- 83	- 73	+ 03	+ 85	+123	+127	+ 87	+ 61	+ 43	+ 23	+ 13	- 07	- 05	- 11	- 23	- 31	- 29	- 31	- 35
Diciembre	- 19	- 23	- 31	- 37	- 43	- 47	- 31	+ 03	+ 43	+ 79	+ 87	+ 83	+ 83	+ 37	+ 05	- 15	- 23	+ 19	- 13	- 21	- 27	- 35	- 37	- 37
Invierno	- 43	- 48	- 54	- 58	- 65	- 75	- 63	- 04	+ 57	+132	+152	+120	+ 89	+ 42	+ 18	- 05	- 18	+ 09	- 12	- 27	- 34	- 37	- 39	- 43
Equinoccios	- 26	- 33	- 41	- 47	- 50	- 61	- 88	- 84	- 19	+ 57	+ 99	+100	+ 75	+ 76	+ 81	+ 66	+ 46	+ 05	- 25	- 32	- 31	- 26	- 25	- 25
Verano	- 05	- 08	- 15	- 23	- 23	- 17	- 57	-109	- 89	- 22	+ 26	+ 69	+ 86	+ 78	+ 56	+ 42	+ 31	+ 17	- 06	- 13	- 08	- 04	- 05	- 06
Año	- 25	- 30	- 37	- 43	- 46	- 51	- 69	- 66	- 17	+ 56	+ 92	+ 96	+ 83	+ 65	+ 52	+ 34	+ 20	+ 10	- 14	- 24	- 24	- 22	- 23	- 25

VARIACION DIURNA POR MEDIAS HORARIAS

Moca (Fernando Poo) — Días perturbados internacionales — Año 1.960

T. U. — Intensidad Vertical — UNIDAD: 0,1

	0-1	1-2	2-3	3-4	4-5	5-6	6-7	7-8	8-9	9-10	10-11	11-12	12-13	13-14	14-15	15-16	16-17	17-18	18-19	19-20	20-21	21-22	22-23	23-24
Enero	- 33	- 47	- 53	- 51	- 47	- 51	+ 01	+ 69	+ 125	+111	+ 77	+ 31	- 09	- 63	- 59	- 21	+ 07	+ 47	+ 17	- 17	- 20	- 17	- 13	- 15
Febrero	- 44	- 54	- 62	- 62	- 68	- 70	- 78	- 40	+ 16	+ 56	+120	+110	+114	+ 94	+ 58	+ 38	+ 18	- 02	- 20	- 24	- 28	- 34	- 32	- 26
Marzo	- 39	- 41	- 53	- 59	- 55	- 59	-111	-103	- 23	+ 65	+115	+161	+109	+ 17	+ 31	+ 25	+ 09	+ 15	+ 09	- 01	- 01	- 15	- 05	- 05
Abril	00	- 20	- 04	00	- 26	- 18	- 36	- 24	- 02	- 58	-124	-102	+ 12	+ 80	+ 52	+ 50	+ 66	+ 40	+ 10	00	00	+ 46	+ 34	+ 24
Mayo	+ 54	+ 46	+ 30	+ 04	+ 10	+ 24	- 38	- 94	- 110	-116	-126	- 92	- 25	- 12	+ 26	+ 84	+ 92	+ 68	+ 30	+ 16	+ 24	+ 38	+ 24	+ 30
Junio	+ 37	+ 33	+ 29	+ 11	- 09	+ 03	- 69	-147	- 175	-137	- 61	- 05	+ 17	+ 29	+ 49	+ 41	+ 37	+ 55	+ 39	+ 37	+ 35	+ 53	+ 51	+ 47
Julio	+ 27	+ 37	+ 13	+ 01	+ 05	+ 23	- 29	- 89	- 157	-123	- 61	- 13	+ 19	+ 19	+ 19	+ 27	+ 55	+ 69	+ 37	+ 19	+ 11	+ 21	+ 23	+ 29
Agosto	+ 19	- 03	+ 01	+ 03	- 01	+ 25	- 33	-121	- 103	-103	- 85	- 25	+ 21	+ 57	+ 65	+ 67	+ 59	+ 51	+ 25	+ 15	+ 07	+ 13	+ 21	+ 15
Septiembre	+ 16	+ 16	+ 16	+ 12	+ 16	+ 32	- 30	- 98	- 92	- 58	- 68	- 58	+ 08	+ 40	+ 62	+ 56	+ 38	+ 20	+ 08	+ 02	+ 04	+ 14	+ 18	+ 08
Octubre	+ 13	+ 33	+ 23	+ 17	+ 13	+ 13	- 09	- 39	- 43	- 19	- 57	- 55	-103	- 57	- 11	+ 41	+ 25	+ 21	+ 27	+ 15	+ 27	+ 31	+ 47	+ 37
Noviembre	- 64	- 60	- 74	- 64	- 86	- 76	- 28	+ 38	+ 96	+150	+120	+ 42	+ 30	+ 34	+106	- 14	- 16	- 12	00	- 32	- 42	- 22	- 10	- 30
Diciembre	- 49	- 55	- 57	- 61	- 57	- 57	- 39	+ 07	+ 65	+ 95	+ 95	+143	+ 95	+ 21	- 27	- 25	+ 11	+ 17	- 09	- 21	- 25	- 27	- 25	- 33
Invierno	- 47	- 54	- 61	- 59	- 64	- 63	- 36	+ 18	+ 75	+102	+103	+ 81	+ 57	+ 21	+ 19	- 05	+ 05	+ 12	- 03	- 23	- 29	- 25	- 20	- 26
Equinoccios	- 02	- 03	- 04	- 07	- 13	- 08	- 46	- 66	- 40	- 17	- 33	- 13	+ 06	+ 20	+ 33	+ 43	+ 34	+ 24	+ 13	+ 04	+ 07	+ 19	+ 23	+ 16
Verano	+ 34	+ 28	+ 18	+ 05	+ 01	+ 19	- 42	-113	- 136	-120	- 83	- 34	+ 08	+ 23	+ 40	+ 55	+ 56	+ 61	+ 33	+ 22	+ 19	+ 31	+ 30	+ 30
Año	- 05	- 10	- 16	- 20	- 25	- 17	- 41	- 54	- 34	- 12	- 04	+ 11	+ 24	+ 21	+ 31	+ 31	+ 32	+ 32	+ 14	+ 01	- 01	+ 08	+ 11	+ 07

VARIACION DIURNA POR MEDIAS HORARIAS

Moca (Fernando Poo)

1960

T. U.

MEDIAS ANUALES DE ΔX, ΔY, ΔF.

UNIDAD: 0,1

	0-1	1-2	2-3	3-4	4-5	5-6	6-7	7-8	8-9	9-10	10-11	11-12	12-13	13-14	14-15	15-16	16-17	17-18	18-19	19-20	20-21	21-22	22-23	23-24
ΔX Todos	-162	-141	-120	- 99	- 79	- 50	+ 04	+122	+260	+378	+437	+411	+326	+202	+ 78	- 36	-107	-169	-213	-225	-226	-214	-195	-171
Calma	-246	-239	-222	-208	-182	-145	- 68	+ 67	+232	+370	+449	+443	+366	+241	+120	+ 18	- 35	- 70	-110	-143	-163	-174	-170	-170
Perturb.	- 78	- 20	+ 11	+ 73	+ 81	+ 86	+122	+211	+323	+416	+441	+395	+299	+158	+ 06	-150	-228	-341	-392	-374	-356	-281	-220	-159
ΔY Todos	+ 48	+ 44	+ 34	+ 23	+ 28	+ 65	+ 45	- 10	- 18	- 72	- 98	-108	- 95	- 70	- 44	- 22	- 16	+ 15	+ 41	+ 41	+ 43	+ 46	+ 49	+ 45
Calma	+ 35	+ 19	- 11	+ 04	+ 12	+ 39	+ 10	- 50	- 80	- 92	- 95	-109	- 88	- 64	- 51	- 17	- 22	- 07	+ 08	+ 12	+ 15	+ 14	+ 26	+ 15
Perturb.	+ 56	+ 48	+ 41	+ 27	+ 14	+ 63	+ 51	- 01	- 24	- 51	-102	-124	-115	-100	- 61	- 32	- 35	+ 22	+ 63	+ 50	+ 47	+ 54	+ 52	+ 48
ΔF Todos	-157	-133	-110	- 88	- 69	- 46	+ 15	+135	+262	+362	+414	+389	+305	+187	+ 67	- 42	-107	-167	-208	-215	-217	-206	-189	-165
Calma	-231	-222	-203	-187	-162	-129	- 47	+ 88	+236	+348	+413	+409	+336	+219	+107	+ 10	- 37	- 69	-102	-130	-150	-162	-159	-159
Perturb.	- 81	- 22	+ 09	+ 72	+ 83	+ 79	+121	+217	+320	+407	+434	+389	+299	+157	+ 04	-147	-222	-337	-386	-362	-345	-277	-219	-160

MEDIAS ANUALES DE ΔI.

UNIDAD: 0,01

ΔI Todos	- 65	- 66	- 66	- 65	- 63	- 55	- 63	- 31	+ 51	+140	+189	+189	+166	+120	+ 73	+ 28	- 04	- 34	- 68	- 81	- 83	- 75	- 71	- 67
Calma	-100	-103	-105	-106	-103	- 98	- 92	- 46	+ 54	+172	+232	+235	+198	+141	+ 92	+ 41	+ 11	- 11	- 47	- 68	- 74	- 75	- 76	- 78
Perturb.	- 30	- 18	- 15	00	- 02	+ 05	- 08	- 07	+ 62	+114	+131	+133	+119	+ 73	+ 36	- 11	- 34	- 69	-105	-112	-109	- 78	- 56	- 42

NUMEROS DE CARACTER DIARIO C.

MOCA (FERNANDO POO) 1960

MESES \ DIAS	1	2	3	4	5	6	7	8	9	10	11	12	13	14	15	16	17	18	19	20	21	22	23	24	25	26	27	28	29	30	31
Enero.....	0	0	0	1	1	0	0	0	0	2	1	1	1	2	1	0	2	2	0	1	2	1	1	1	1	0	1	1	1	1	1
Febrero.....	1	1	1	1	2	1	0	1	0	1	1	0	1	1	1	2	1	1	1	1	1	0	0	0	0	1	1	1	1		
Marzo.....	1	1	1	1	1	1	0	1	1	1	2	0	0	1	2	2	1	0	0	0	0	0	0	1	1	0	0	1	1	1	2
Abril.....	2	2	2	1	2	1	2	1	1	2	1	1	1	1	1	2	1	1	0	0	0	0	1	2	2	1	1	2	1	2	
Mayo.....	2	1	1	0	0	2	2	2	2	0	1	1	1	1	1	2	1	0	0	0	0	1	1	1	1	1	0	1	2	1	1
Junio.....	1	0	1	2	2	1	1	1	1	0	0	0	0	1	0	0	0	1	1	0	1	1	1	1	1	1	2	2	2	2	
Julio.....	1	1	1	1	1	1	0	0	0	0	1	1	0	2	2	2	1	1	2	1	1	0	0	1	0	1	0	1	2	1	1
Agosto.....	1	1	0	0	0	1	1	1	1	1	1	1	0	1	1	2	2	1	2	1	1	1	0	0	0	0	1	1	2	2	0
Septiembre..	0	2	1	2	2	1	1	1	0	1	1	0	1	0	0	0	0	1	0	0	0	1	1	1	0	1	0	0	1	1	
Octubre.....	1	2	1	2	1	2	2	1	1	0	0	0	1	0	1	0	0	1	0	0	0	0	0	2	2	2	1	1	2	1	1
Noviembre...	0	0	1	1	0	0	0	1	0	1	1	2	2	2	2	2	1	0	1	1	2	1	0	1	1	0	1	1	0	2	
Diciembre...	2	1	0	0	1	1	2	2	1	0	0	1	0	1	1	1	0	1	1	1	1	1	1	1	0	1	2	1	1	1	1

FRECUENCIAS DE NUMEROS DE CARACTER C

MOCA (FERNANDO POO) 1960

MESES	0	1	2	Cm
Enero.....	10	16	5	0,84
Febrero.....	7	20	2	0,83
Marzo.....	11	16	4	0,77
Abril.....	4	15	11	1,23
Mayo.....	8	16	7	0,97
Junio.....	9	15	6	0,90
Julio.....	9	17	5	0,87
Agosto.....	9	17	5	0,87
Septiembre....	13	14	3	0,67
Octubre.....	11	12	8	0,90
Noviembre.....	10	13	7	0,90
Diciembre.....	7	20	4	0,90
Invierno.....	34	69	18	0,87
Equinoccios...	39	57	26	0,89
Verano.....	35	65	23	0,90
Año.....	108	191	67	0,89

RESUMEN DE LA LISTA DE VARIACIONES RAPIDAS OBSERVADAS Y COMUNICADAS AL COMITE DE VARIACIONES RAPIDAS DEL I. A. G. A.

MOCA (FERNANDO POO) **1960**

MES Y DIA	HORA	CLASE	MES Y DIA	HORA	CLASE
	h m			h m	
Enero..... 5	12 19	si-sfe?	Marzo..... 22	22 43	pt
6	2 02	si	22	23 02	bp
10	7 17	ssc	23	21 24	bp
11	10 56	bp	23	21 38	pt
12	20 57	b	24	10 50	b
13	18 51	si	24	14 45	ssc
14	8 17	ssc	25	23 34	bp
16	21 14	bs	31	10 36	ssc
17	12 26	bps-sfe?			
18	6 41	ssc	Abril..... 2	23 11	ssc
19	22 07	bps	4	4 03	ssc
28	19 16	si	5	8 42	si
29	2 05	ssc	5	12 58	ssc
29	12 22	pt	6	11 33	si-sfe?
29	22 03	pt	6	16 26	si
30	11 13	sfe?	7	15 09	ssc
			9	10 50	sfe
Febrero... 2	22 24	b	10	1 25	ssc
3	22 45	bps	12	22 24	b
4	19 00	bp	14	10 02	si
5	11 33	si	15	14 40	si
10	11 38	sfe?	16	23 10	bp
11	10 40	sfe?	17	0 06	bp
19	23 17	b	17	2 11	bp
25	21 44	pt	18	1 11	bps
26	10 43	si	18	9 27	sfe
			21	23 39	pt
Marzo..... 2	1 35	bp	22	10 20	sfe
2	21 57	bs	23	5 10	si
4	22 02	bs	25	1 05	bs
5	17 46	si	26	23 10	bp
4	4 07	bs	27	20 00	ssc
8	3 09	bp	30	1 31	ssc
8	9 20	sfe?	30	12 13	ssc
9	9 28	b-sfe?			
11	1 10	bs	Mayo..... 1	21 06	b
11	10 15	ssc	5	20 00	pt
11	23 03	bp	6	17 20	ssc
14	15 00	bs	7	9 23	ssc
14	16 19	si	8	4 23	ssc
15	8 20	si-sfe?	11	1 51	b
15	12 26	si	11	4 34	ssc
15	15 52	si-sfe?	11	21 43	bp
17	20 02	b	15	10 10	sfe
18	22 41	bp	16	13 52	ssc
19	9 20	sfe?	20	23 39	pt

(Continuación).- RESUMEN DE LA LISTA DE VARIACIONES RAPIDAS OBSERVADAS Y COMUNICADAS AL COMITE DE VARIACIONES RAPIDAS DEL I. A. G. A.

MOCA (FERNANDO POO) 1960

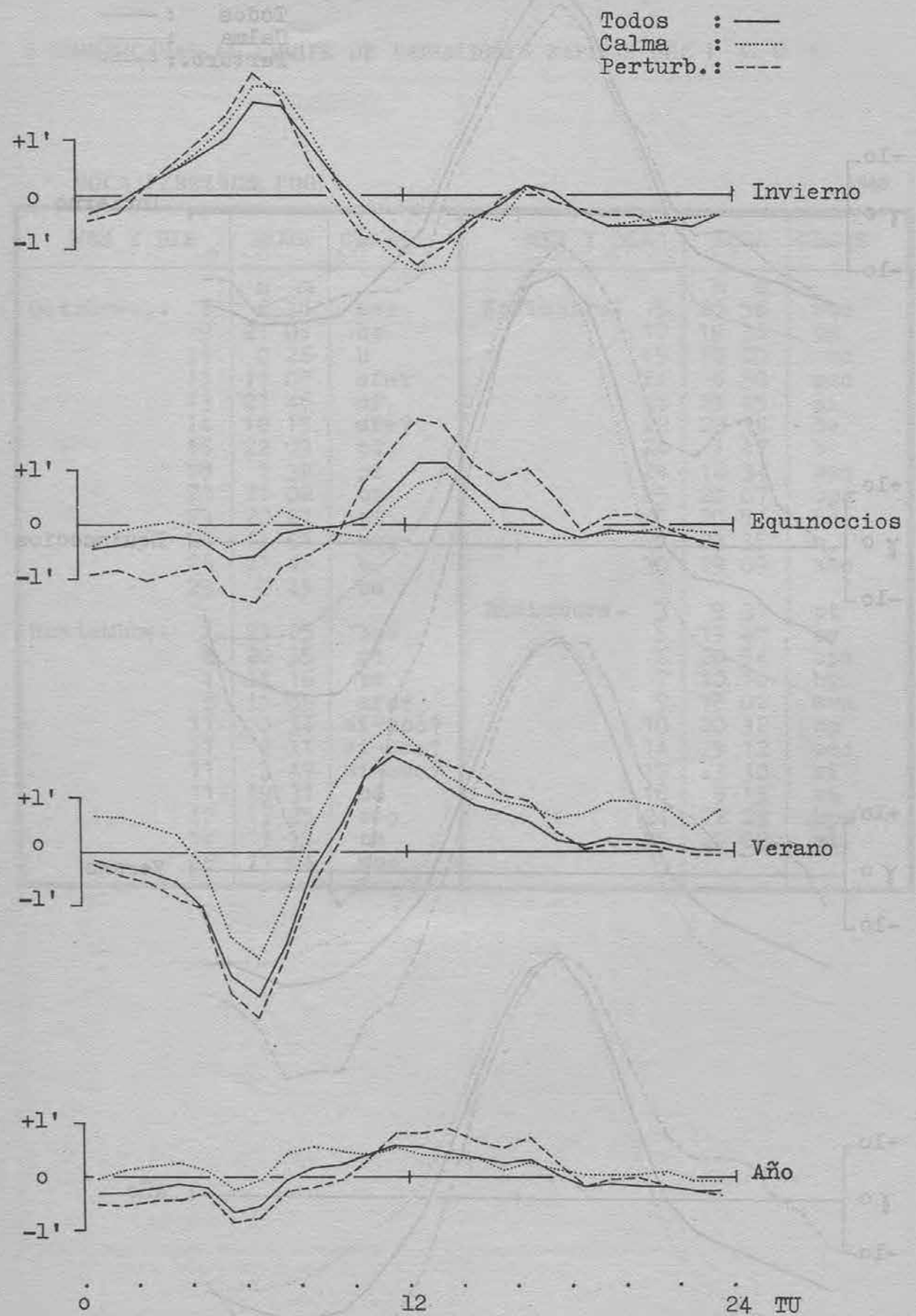
MES Y DIA	HORA	CLASE	MES Y DIA	HORA	CLASE
	h m			h m	
Mayo..... 22	14 38	si	Julio..... 25	20 35	pt
25	23 52	b	28	22 39	pt
26	9 13	sfe?	29	0 50	bp
28	20 19	ssc	29	23 58	bs
			31	1 39	b
Junio..... 2	9 36	sfe			
3	21 40	b	Agosto.... 2	21 40	b
4	2 50	ssc	7	16 31	sfe
4	20 39	bs	14	13 07	sfe
4	21 18	si	14	15 09	ssc
8	2 56	bs	16	14 08	ssc
9	0 42	b	19	16 15	ssc
17	0 06	pt	21	0 16	b
18	1 35	b	21	22 36	bp
22	2 42	b	22	1 05	bps
25	16 36	b	22	18 40	pt
25	19 30	bs	27	20 05	si
25	20 59	b	28	5 25	si
26	1 37	b	29	0 20	ssc
27	1 45	ssc	29	14 27	si
27	21 17	si	29	15 20	si
28	0 30	si	31	21 25	b
28	5 21	ssc			
29	19 38	ssc	Septiembre 2	11 56	ssc
30	12 41	si	2	16 42	ssc
30	17 20	ssc	3	0 47	bps
			4	2 30	ssc
Julio..... 1	7 40	ssc	4	11 44	si
1	12 10	sfe	6	22 06	b
1	12 39	sfe	11	1 50	bp
2	0 36	bps	11	21 04	pt
4	0 55	b	13	0 00	bp
9	1 34	pt	13	23 49	bp
9	22 30	pt	16	0 52	pt
10	1 32	pt	17	20 35	pt
11	9 40	sfe	20	22 55	bp
11	20 59	pt	22	14 05	si
14	4 47	si	24	2 35	bps
14	17 01	ssc	24	20 24	bp
14	21 30	ssc	29	8 35	si
17	22 54	b	30	0 11	bs
19	19 24	b			
19	23 25	b	Octubre... 1	20 58	b
20	7 14	sfe	2	16 42	bps
20	22 09	b	2	22 40	bp
22	10 35	sfe	4	18 20	ssc

(Continuación).- RESUMEN DE LA LISTA DE VARIACIONES RAPIDAS OBSERVADAS Y COMUNICADAS AL COMITE DE VARIACIONES RAPIDAS DEL I. A. G. A.

MOCA (FERNANDO POO) 1960

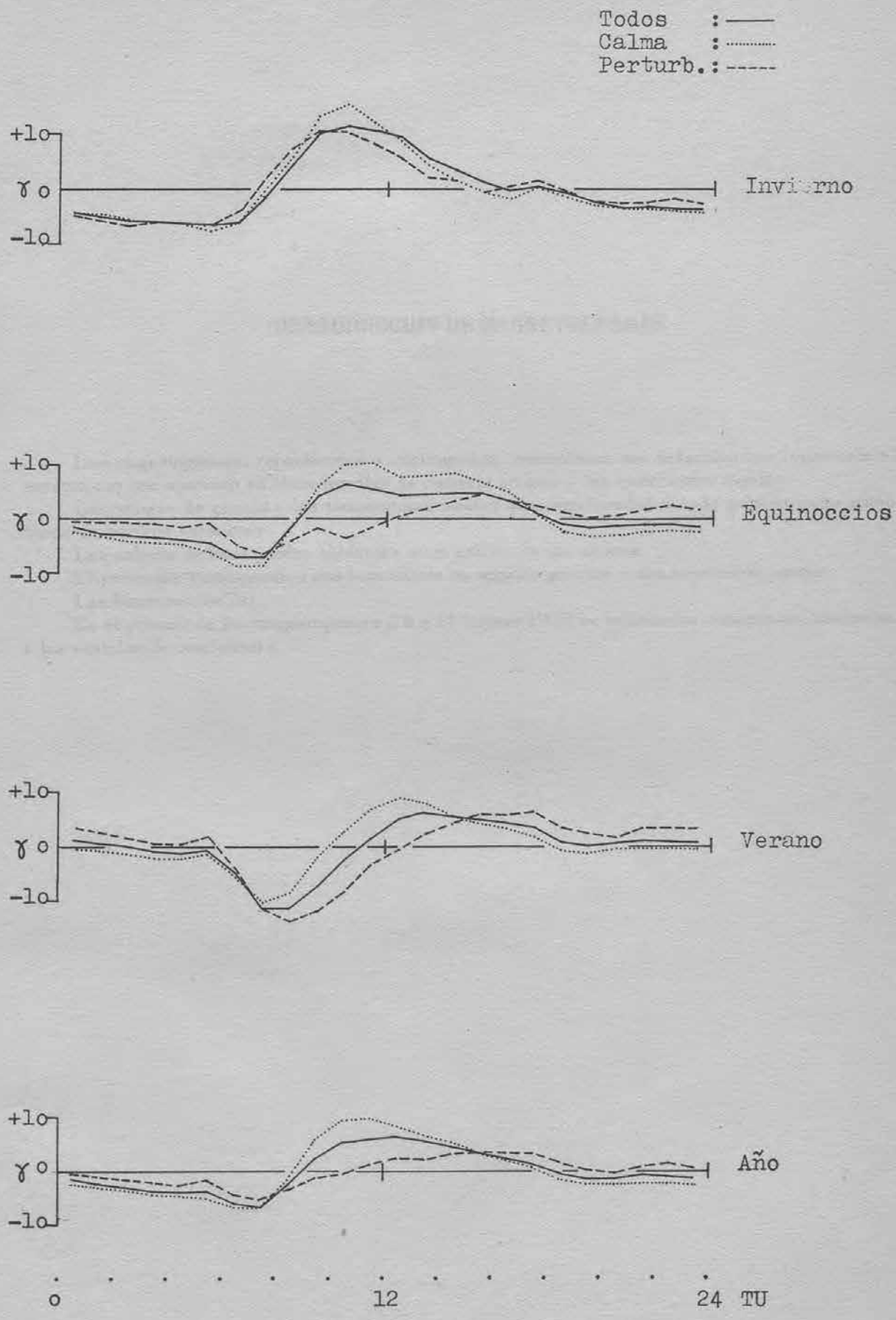
MES Y DIA	HORA	CLASE	MES Y DIA	HORA	CLASE
	h m			h m	
Octubre... 6	2 38	ssc	Noviembre. 15	20 56	ssc
9	21 05	bp	17	19 36	bs
11	0 26	b	19	10 20	ssc
11	11 07	sfe?	21	6 30	ssc
13	21 46	si	21	21 45	si
14	10 15	sfe?	22	22 15	bs
16	22 09	pt	24	1 47	b
18	1 39	pt	24	12 34	ssc
21	21 02	bp	25	20 07	bps
23	20 21	pt	25	20 54	bs
24	14 51	ssc	27	23 35	b
26	21 45	b	30	19 09	ssc
29	0 45	bs			
			Diciembre. 3	9 31	pt
Noviembre. 1	21 25	bps	5	19 41	bs
2	20 35	pt	6	20 54	bps
4	23 16	bs	7	10 10	bp
8	11 05	sfe?	7	18 02	ssc
11	0 34	si-ssc?	10	20 32	bp
11	2 11	si-ssc?	14	9 12	ssc
11	3 47	si-ssc?	17	23 30	si
11	19 31	bs	18	5 15	si
12	13 25	ssc	24	22 23	bps
14	19 19	bs	25	20 02	si
15	13 04	ssc			

D - VARIACION DIURNA - 1960

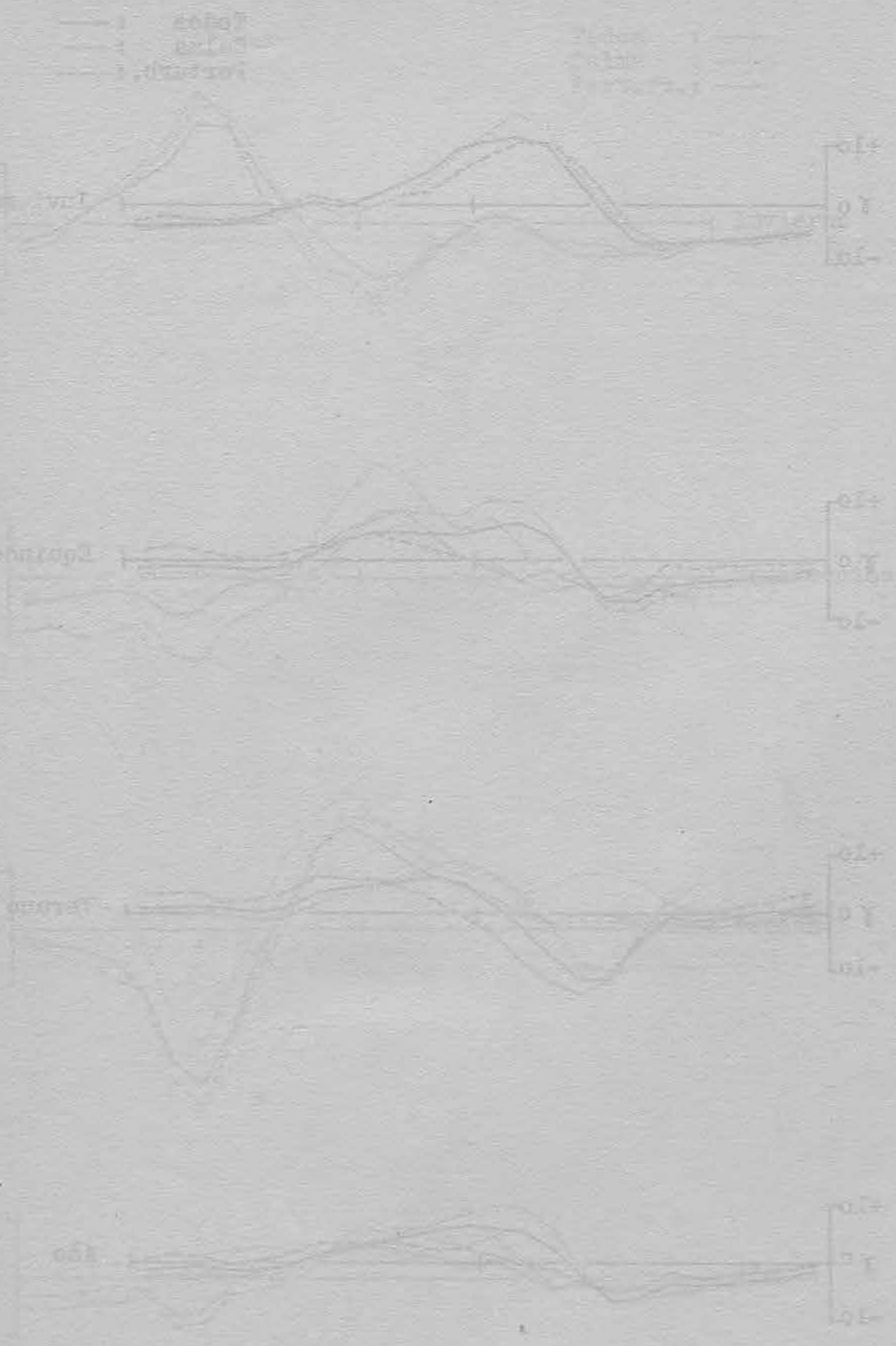


MOCA - (FERNANDO POO)

Z - VARIACION DIURNA - 1960



MOCA - (FERNANDO POO)



REPRODUCCION DE MAGNETOGRAMAS

Los magnetogramas, reproducidos a continuación, constituyen una selección que representa el aspecto con que aparecen en Moca los días de carácter diverso y las variaciones rápidas.

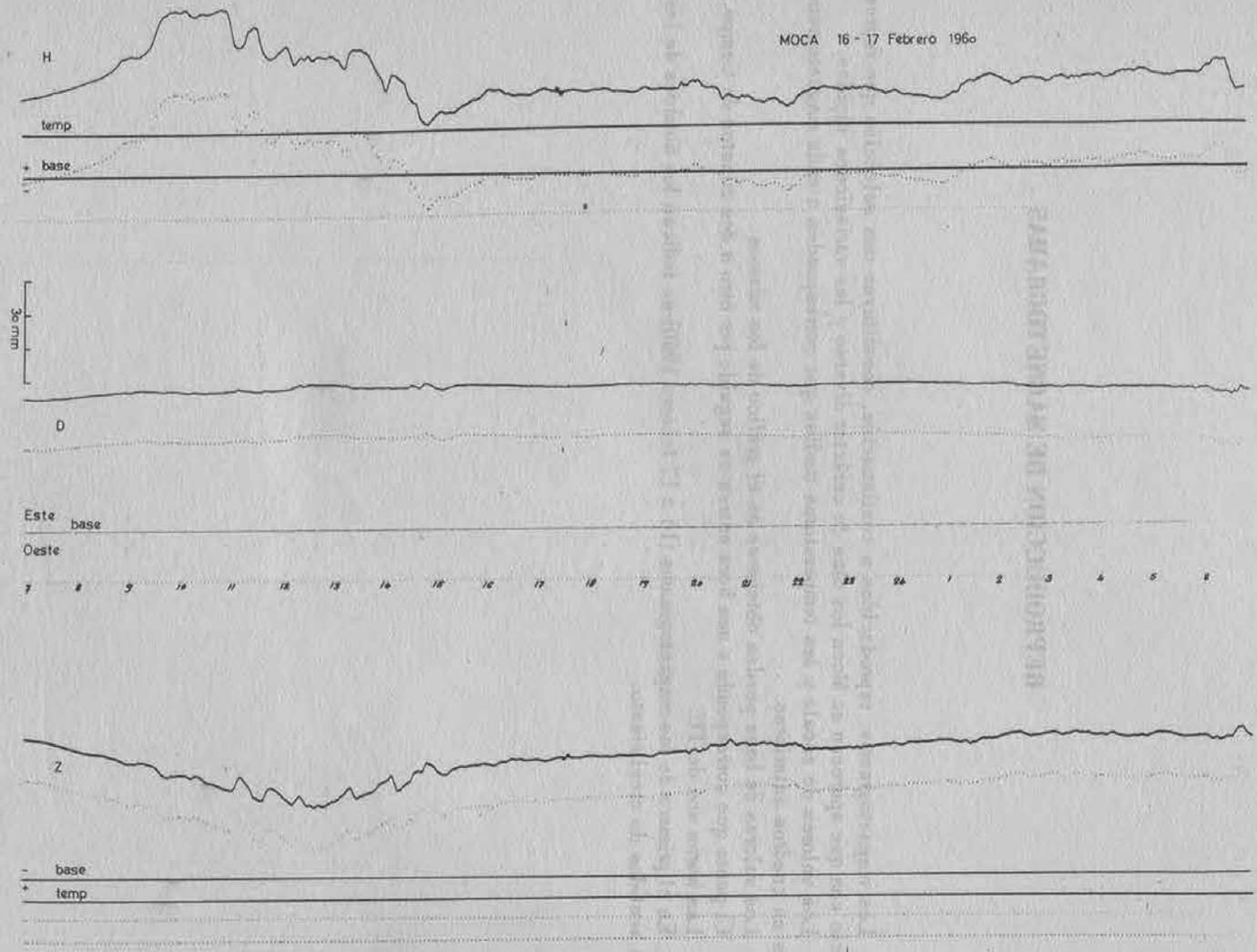
Los valores de escala y las temperaturas medias que corresponden a cada magnetograma están dados en cuadros anteriores.

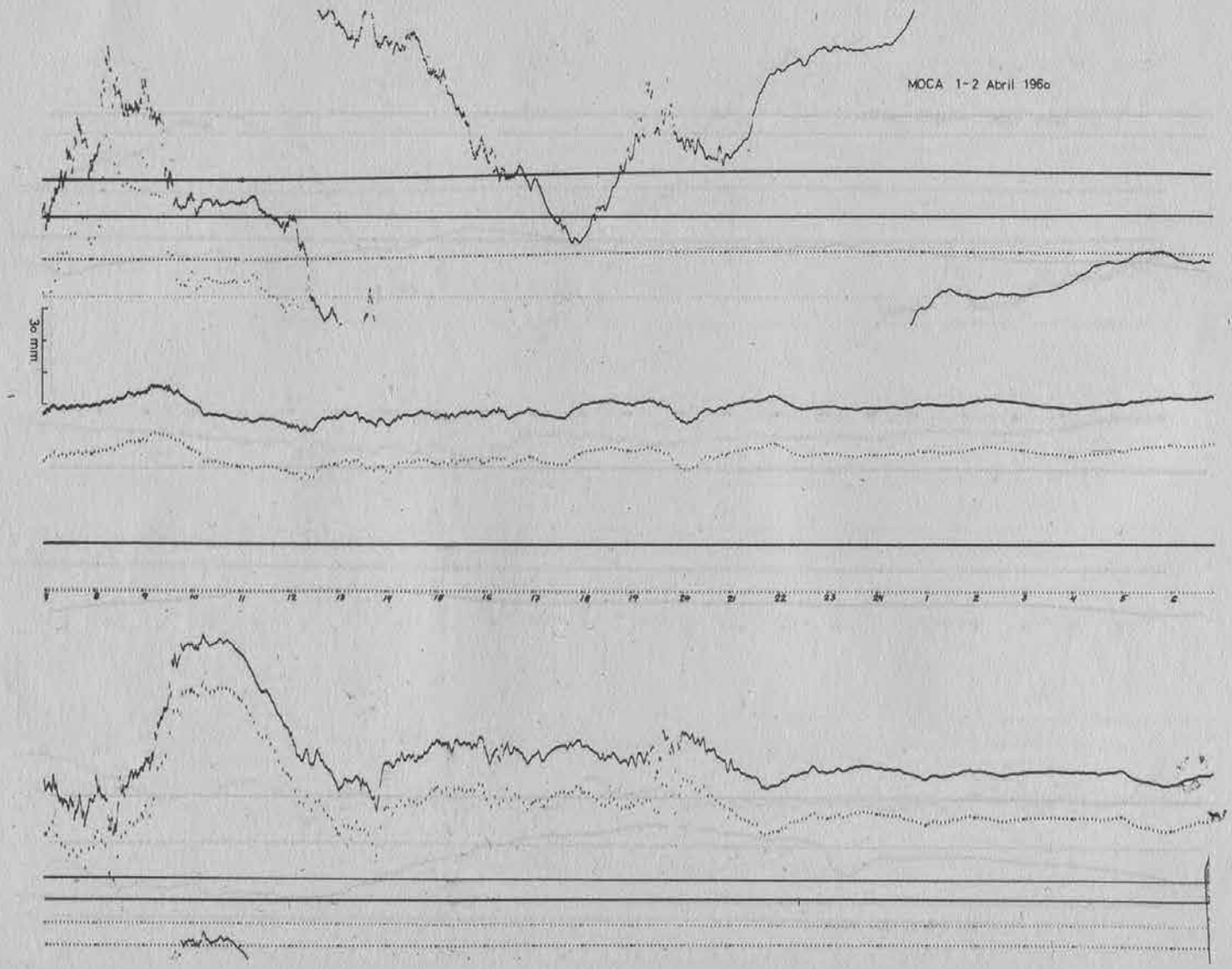
Los valores de base pueden obtenerse en el gráfico de los mismos.

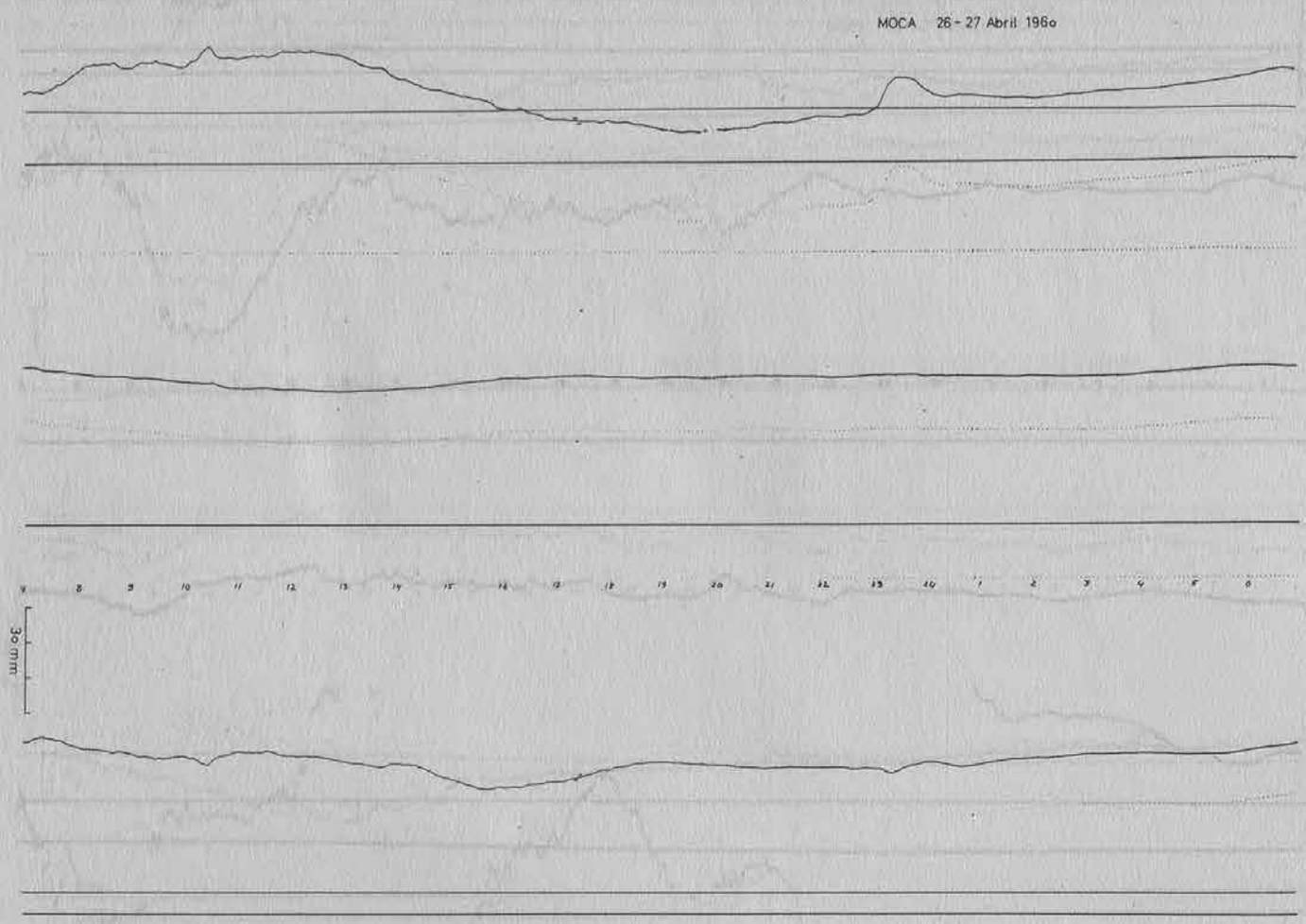
El punto que corresponde a una hora entera es seguido por otro a dos minutos de tiempo.

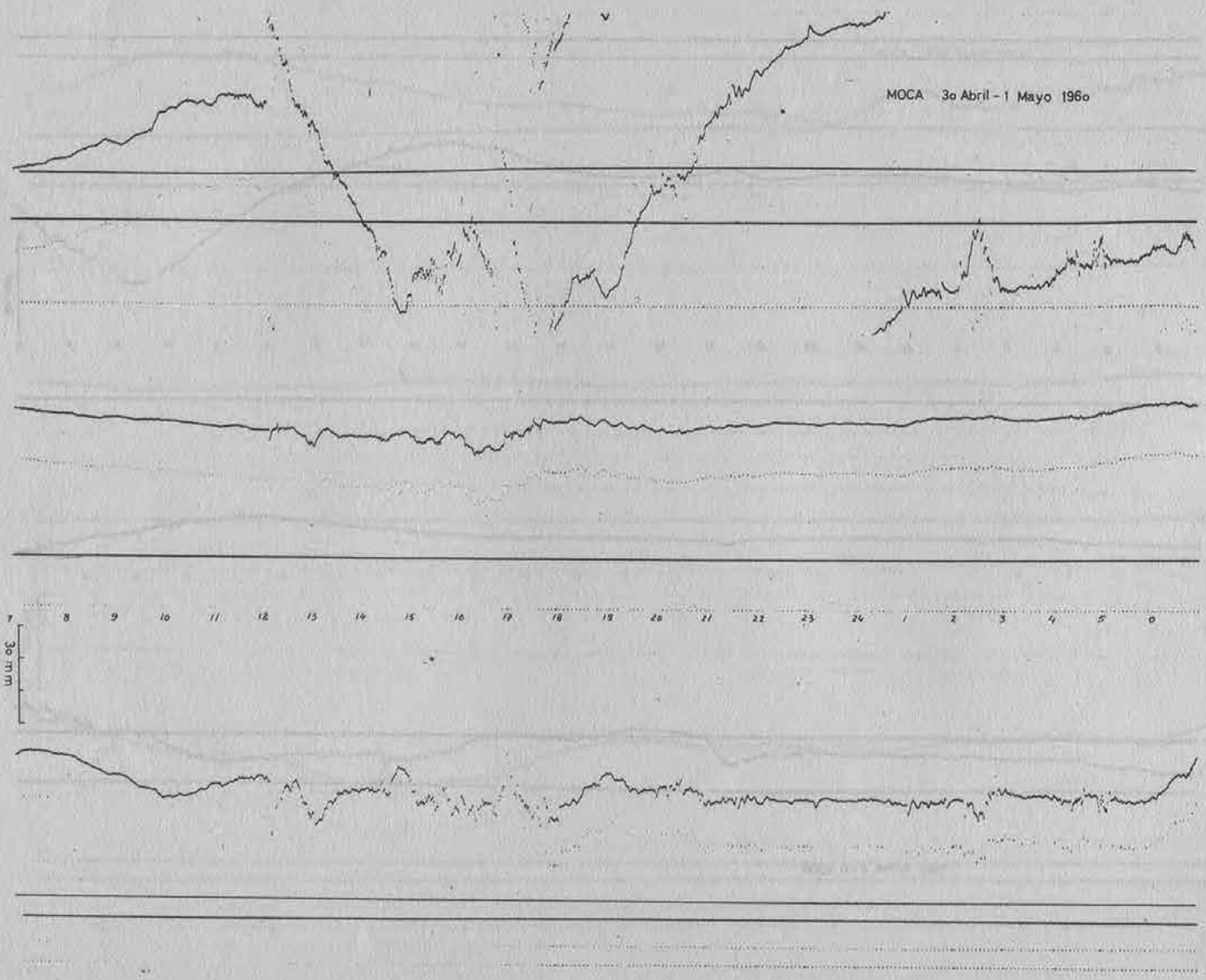
Las horas son de TU.

En el primero de los magnetogramas (16 a 17 febrero 1960) se indican los nombres de las curvas y los sentidos de crecimiento.

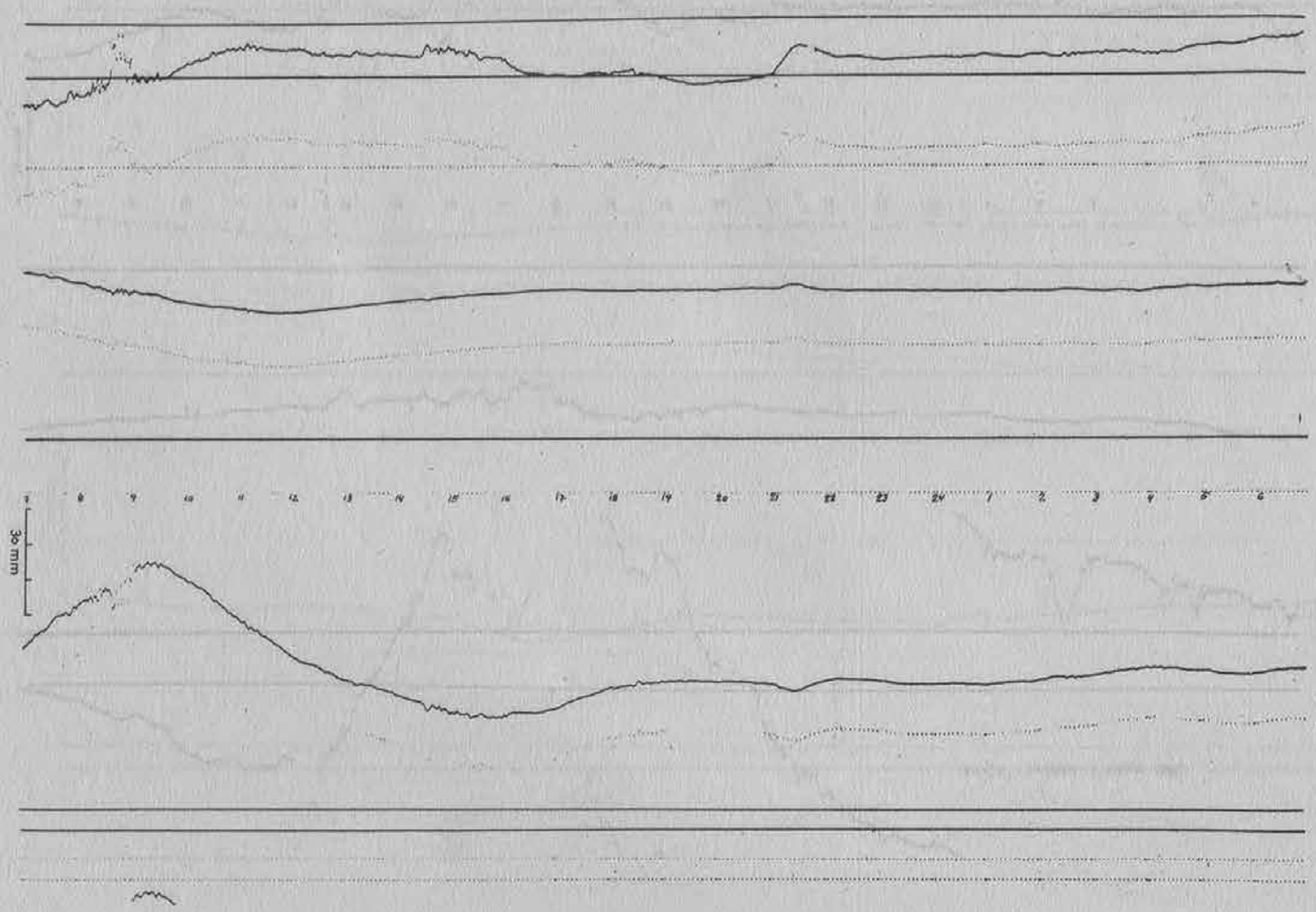

MOCA 16 - 17 Febrero 1960
H
temp
+ base
-
30 mm
D
Este
base
Oeste
7 8 9 10 11 12 13 14 15 16 17 18 19 20 21 22 23 24 1 2 3 4 5 6
Z
- base
+ temp

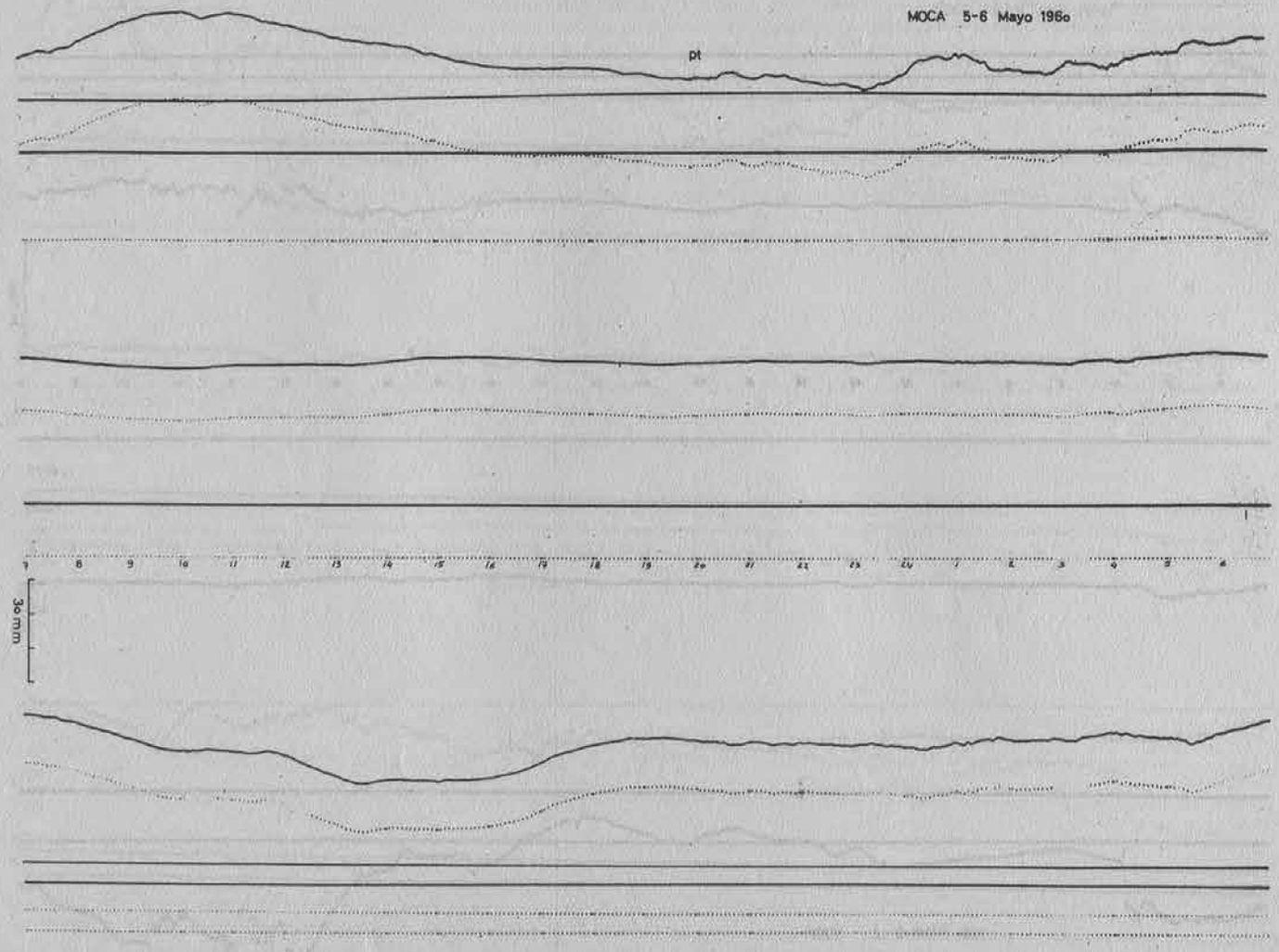

MOCA 1-2 Abril 1960
30 mm

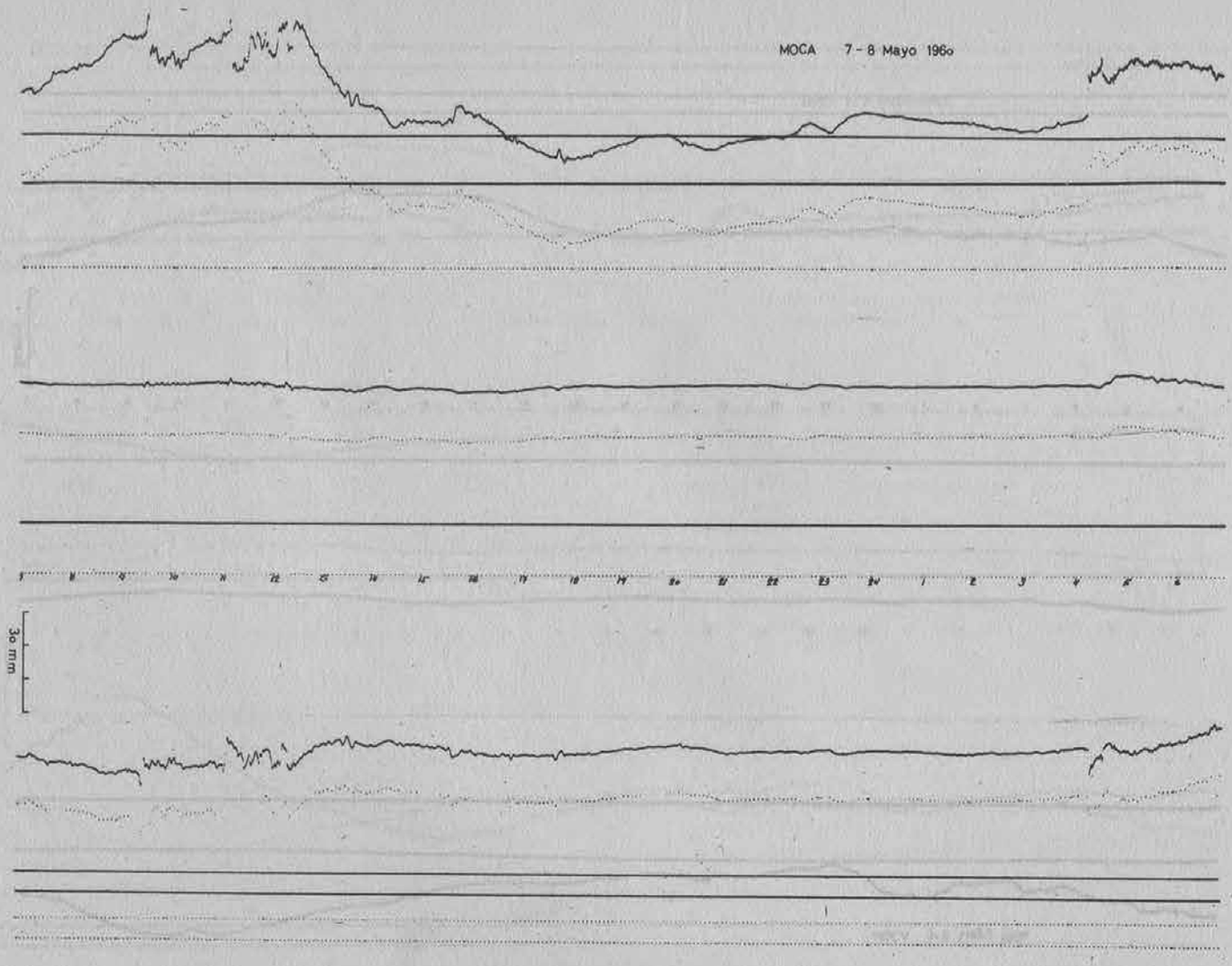

MOCA 26 - 27 Abril 1960
8 9 10 11 12 13 14 15 16 17 18 19 20 21 22 23 24 1 2 3 4 5 6
30 mm

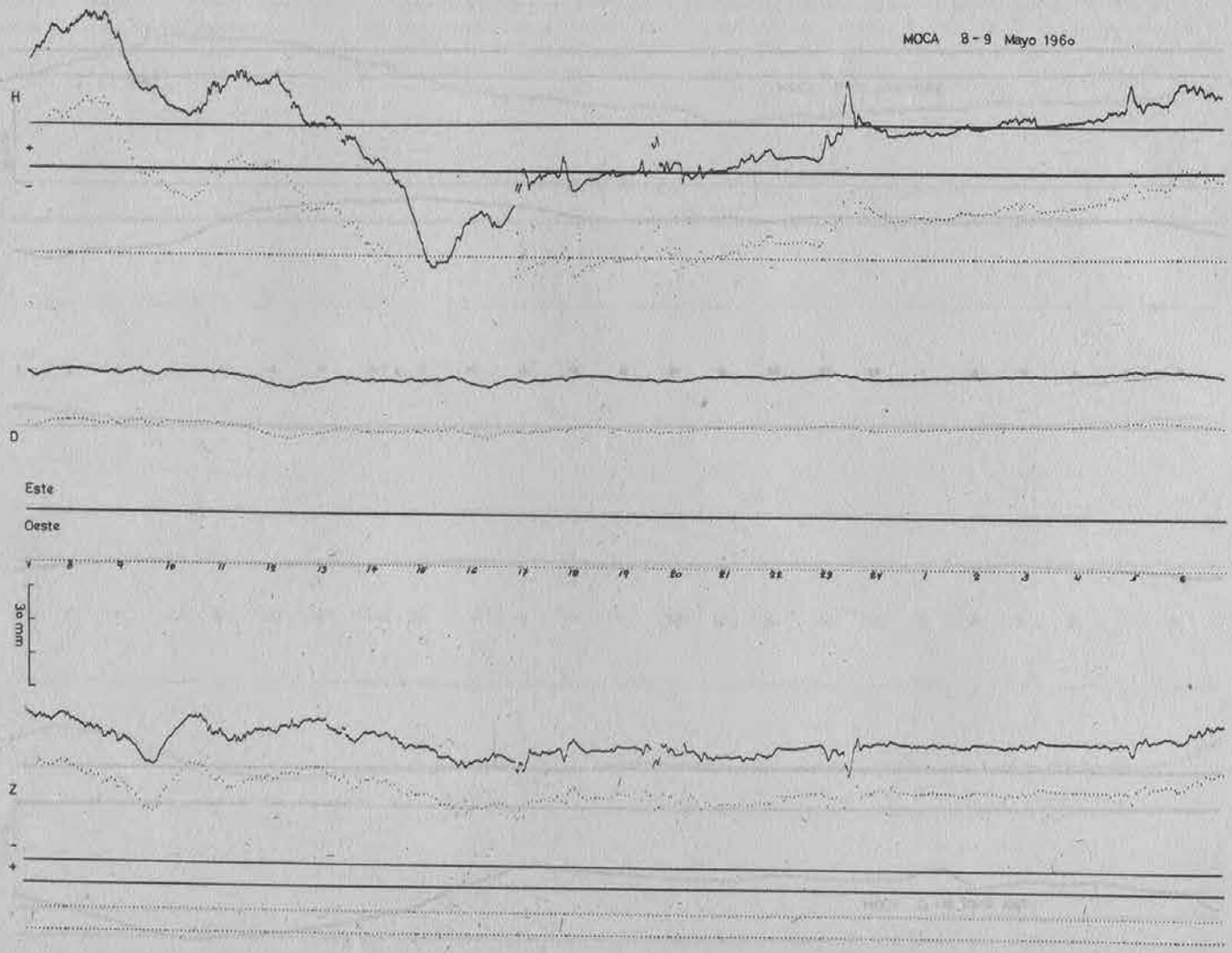

MOCA 30 Abril - 1 Mayo 1960
7 8 9 10 11 12 13 14 15 16 17 18 19 20 21 22 23 24 1 2 3 4 5 6
30 mm

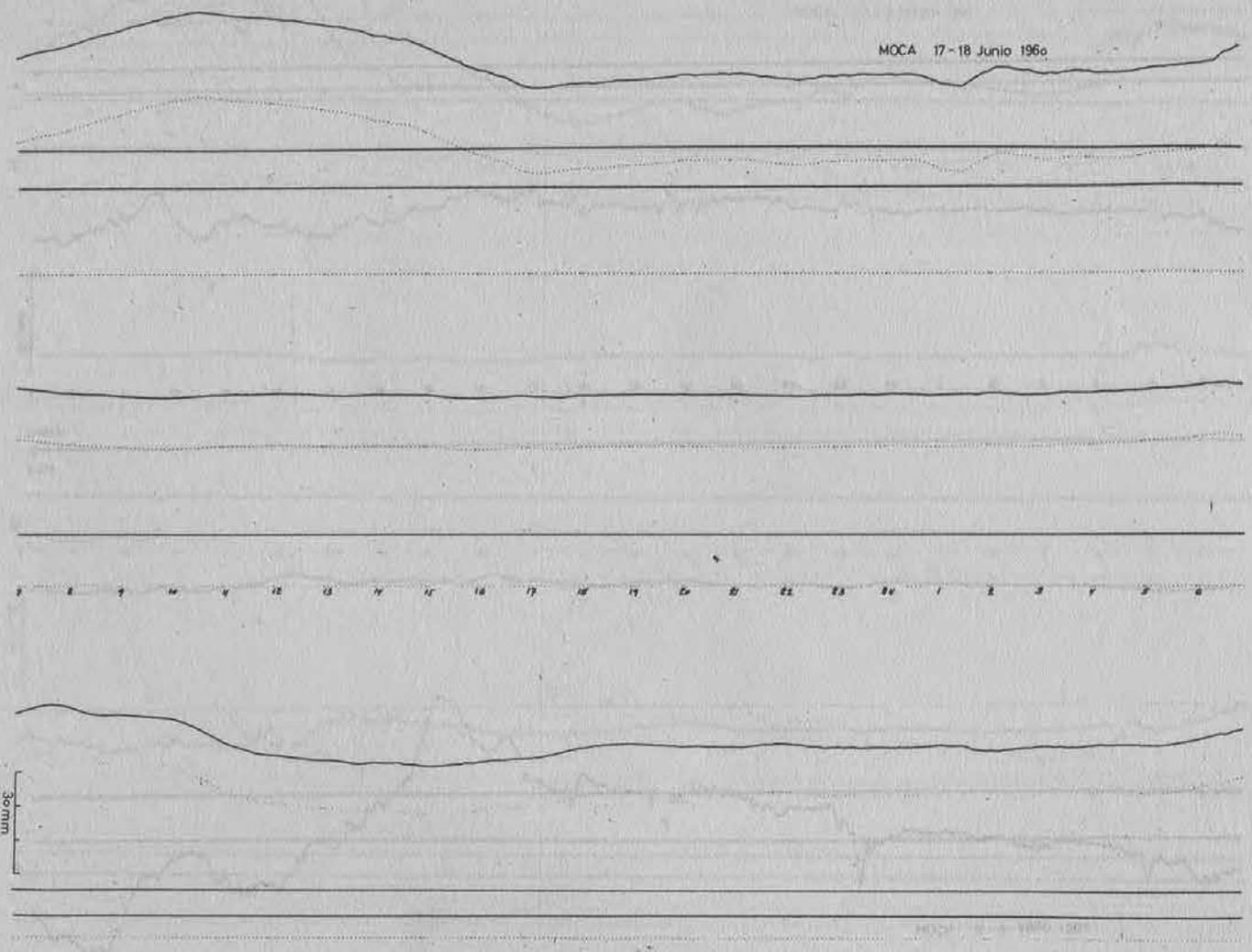
MOCA 1-2 Mayo 1960

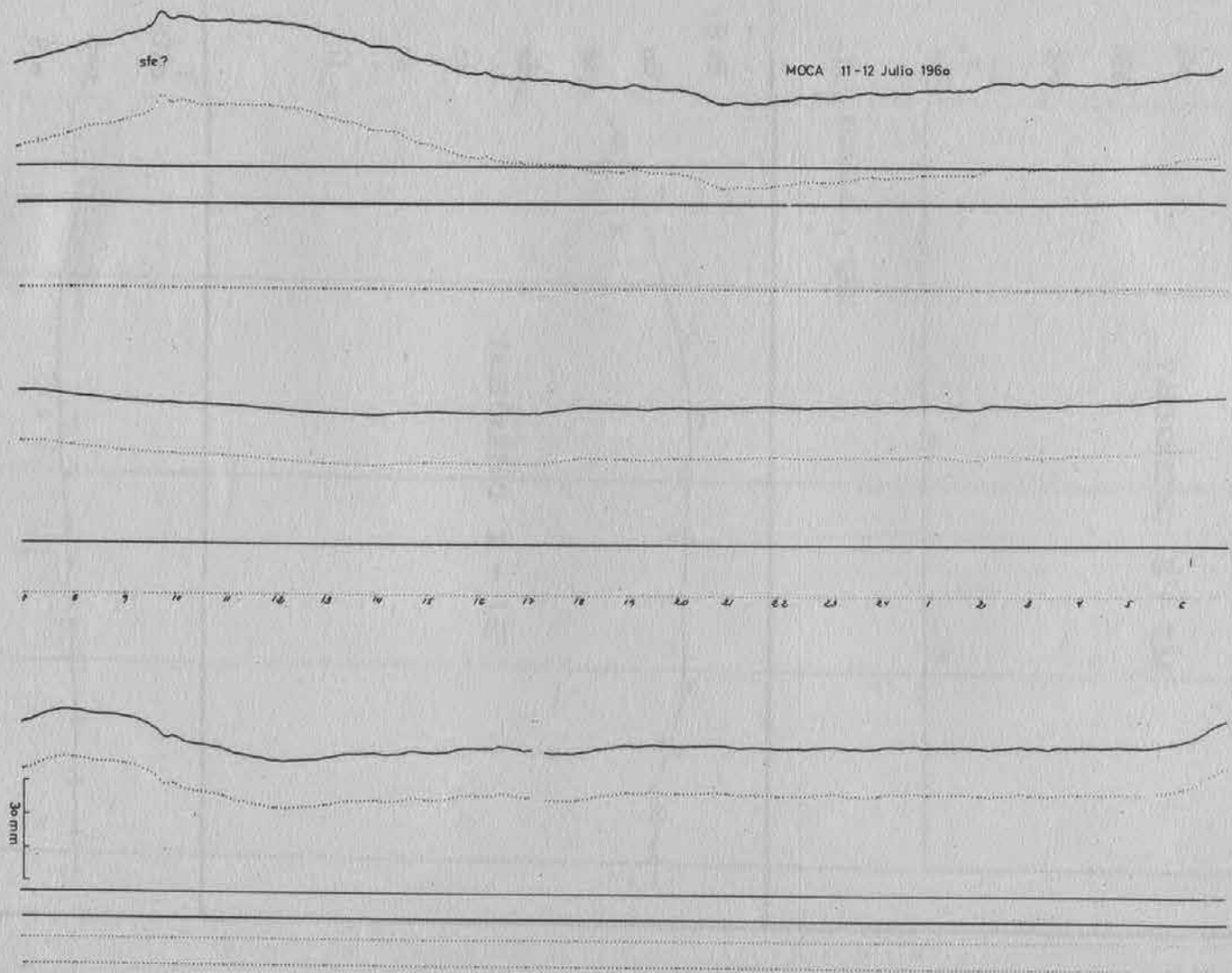



MOCA 5-6 Mayo 1960
pt
30 mm

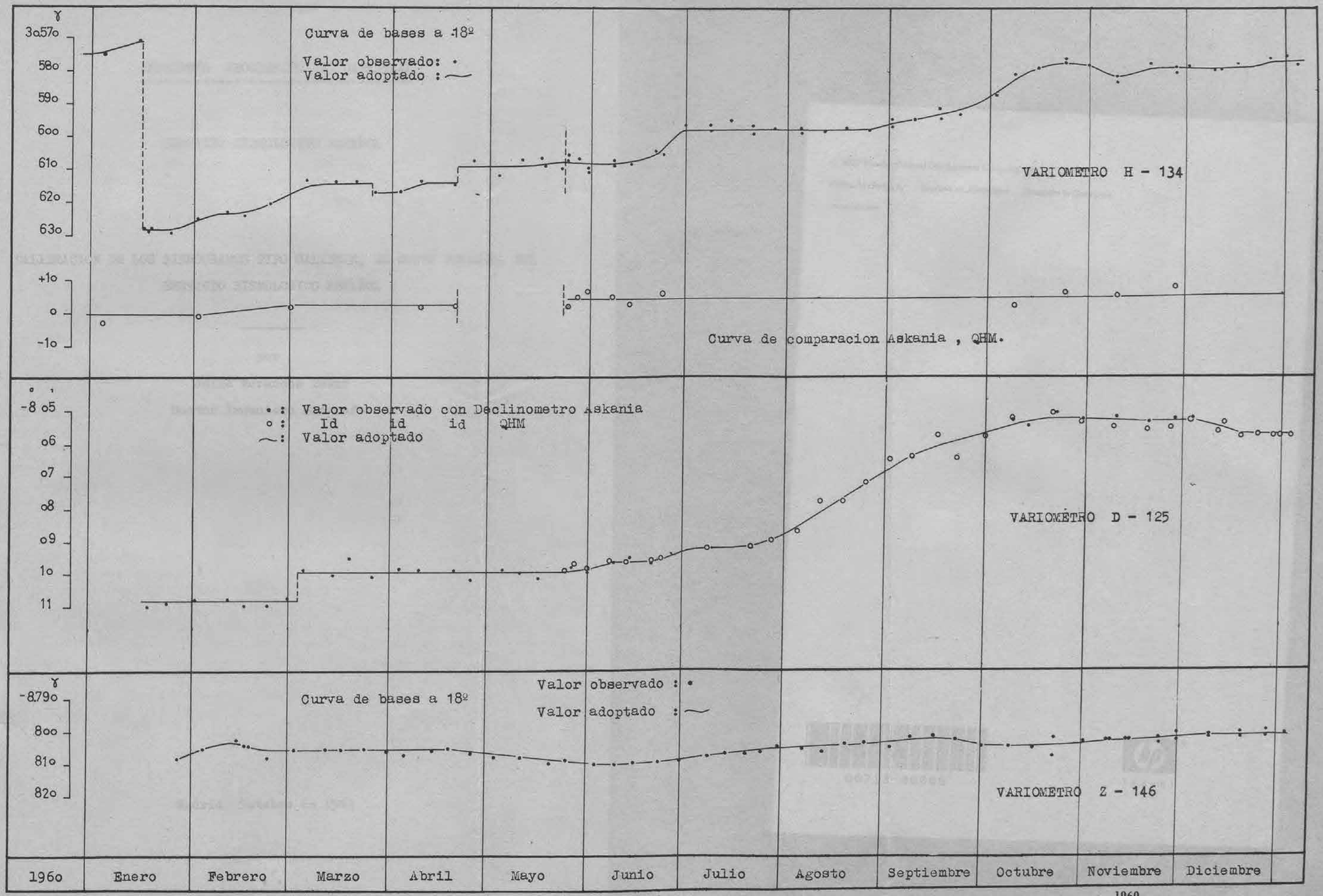

MOCA 7 - 8 Mayo 1960
30 mm


MOCA 8 - 9 Mayo 1960
H
+
-
D
Este
Oeste
30 mm
Z
-
+

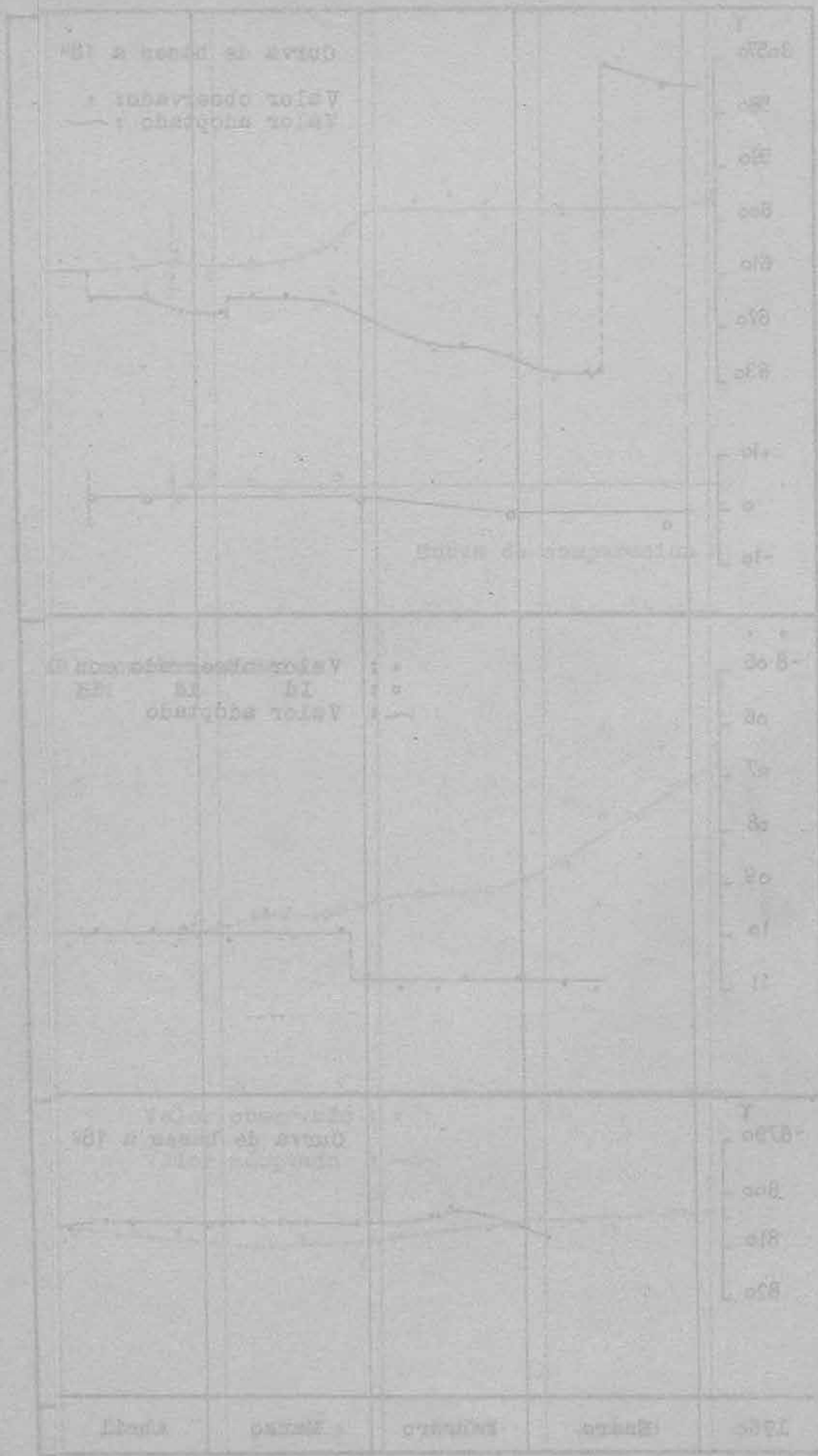

MOCA 17-18 Junio 1960
30mm


sfe?
MOCA 11-12 Julio 1960
30 mm





MOCA (FERNANDO POO) CURVAS DE BASES DE LOS VARIOMETROS 1960



INSTITUTO GEOGRAFICO Y CATASTRAL

SERVICIO SISMOLOGICO ESPAÑOL

CALIBRACION DE LOS SISMOGRAFOS TIPO GALITZIN, DE CORTO PERIODO, DEL SERVICIO SISMOLOGICO ESPAÑOL

---

por

Julio Morencos Tévar

Doctor Ingeniero Geógrafo

Madrid. Octubre de 1963

S U M A R I O

En este trabajo se efectúa un estudio teórico-practico del método utilizado en el Servicio Sismológico del Instituto Geográfico y Catastral para la calibración de los sismógrafos electromagnéticos tipo clásico Galitzin, de corto periodo; suponiendo despreciable la reacción del galvanómetro, se determina el factor de transformación aplicando el "release test".

Se desarrolla primero la teoría general del sismógrafo electromagnético, sin shunt eléctrico en su circuito, para adaptarla sucesivamente al tipo clásico Galitzin, y a las condiciones iniciales del test de calibración. Este estudio se aplica inmediatamente a los seis equipos de este tipo que posee actualmente el Servicio Sismológico, aparatos proyectados por W. Hiller y construídos en serie por la casa Askania-Werke, por lo que sus características mecánicas son prácticamente iguales, estableciéndose las fórmulas prácticas que les corresponden.

El autor hace un estudio detallado de los errores del método, referido al equipo ideal cuyas constantes numéricas estuviesen representadas por unos valores medios. Supone que se verifican rigurosamente las condiciones de Galitzin, y tiene en cuenta el método, equipo auxiliar y procedimiento operatorio empleado, exponiendo durante su desarrollo, y como consecuencia de la teoría, las normas prácticas por las que se han de regir estos últimos. Obtiene así la fórmula que expresa el error probable de la amplificación dinámica, como una función de T (periodo de las ondas registradas). Dibuja las dos curvas que corresponden a los límites probables, superior e inferior, de dicha amplificación, cuya zona intermedia denomina "curva gruesa".

Finalmente, tiene en cuenta el error de medida del periodo T sobre la gráfica, para estudiar su influencia sobre la amplitud del movimiento del suelo deducida de los datos de registro, en función de las constantes instrumentales y de sus errores, ya estudiados, deduciendo las correspondientes curvas de error probable, en tantos por ciento, de la amplificación y, por tanto, de la amplitud del movimiento del suelo; una tabla correctiva introduce el error cometido en la medida de la amplitud sobre el registro.

Se dibujan las curvas de error, como funciones de T, para varios valores del error probable correspondiente a la medida de T. Estas curvas muestran claramente que los errores son prácticamente inadmisibles para valores de T inferiores a 0,5 segundos, y que el mejor rendimiento de los instrumentos estudiados se obtendrá en el intervalo $0,5 < T < 1,5$, en el que puede esperarse un error en la amplificación, y en la amplitud del movimiento del suelo, inferior por lo general al 10 %.

.....

I N D I C E

	Página
I.- INTRODUCCION	1
II.- PRINCIPALES CARACTERISTICAS DE LOS EQUIPOS	2
II-1.- Montaje eléctrico para la calibración	2
II-2.- Montaje óptico para la calibración	3
III.- PRACTICA DE LA CALIBRACION	3
IV.- TEORIA DEL METODO	5
IV-1.- Ecuaciones de movimiento de un sismógrafo electromagnético sin shunt en su circuito eléctrico	5
IV-2.- Aplicación al caso Galitzin	8
IV-3.- Aplicación de las fórmulas al caso del "release test"	11
IV-4.- Fórmulas prácticas	13
V.- ERRORES DEL METODO	16
V-1.- Error en la determinación de la constante de la bobina de excitación del sismómetro	17
V-2.- Error en la determinación del factor de transformación	19
V-3.- Error en la determinación del factor de amplificación	21
V-4.- Comprobación de las fórmulas de error	22
V-5.- Campo de aplicación de las fórmulas de error	23
VI.- ERROR PROBABLE EN LA DETERMINACION DE LA AMPLIFICACION	25
VII.- APLICACIONES: INFLUENCIA DE LOS ERRORES DE MEDIDA DEL PERIODO Y LA AMPLITUD DE LA RESPUESTA, SOBRE LA AMPLITUD DEDUCIDA DEL MOVIMIENTO DEL SUELO	27
VIII.- CONCLUSIONES FINALES	30
ANEXO 1: Características aproximadas de los equipos del Servicio Sismológico Español	32
ANEXO 2: Nomenclatura y notaciones auxiliares	33
ANEXO 3: Tabla de correcciones	36
APENDICE I: Optica de la calibración	37
APENDICE II: Notas al cálculo	41
BIBLIOGRAFIA	46

o—o—o—o

CALIBRACION DE LOS SISMOGRAFOS TIPO GALITZIN DE CORTO PERIODO DE LA RED SISMOLOGICA ESPAÑOLA

I.- INTRODUCCION

El programa de investigación proyectado por el Servicio Sismológico del Instituto Geográfico y Catastral, incluye en primer lugar un estudio de las circunstancias locales que afectan a los registros de cada estación, por razón de su emplazamiento, subsuelo y equipo instrumental, con vistas al empleo de dichos registros, con criterio suficiente, en estudios sobre sismicidad, estructura de la corteza, etc., de la Península Ibérica.

Por ello, hemos considerado imprescindible efectuar primeramente una revisión general de las calibraciones de todos los equipos que componen actualmente la red sismológica nacional, analizando los métodos empleados y el orden de precisión a esperar en los resultados, con el fin de dar peso a los datos básicos de observación.

Es éste, sin duda, un asunto urgente, toda vez que el plan de estudios está ya en marcha y exige una gran masa de datos sobre el movimiento del suelo, obtenidos por vía instrumental, que es preciso analizar. Concedemos mucha importancia al establecimiento de criterios realistas sobre el valor que debe atribuirse a estos datos en cada caso, ya que éste es el único medio de que disponemos, por el momento, para homogeneizar la red.

En el Anexo 1 se relacionan los equipos actualmente en servicio en las estaciones peninsulares del Servicio Sismológico; se observará inmediatamente que existen cuatro equipos tipo Galitzin, de las mismas características, en Málaga, Alicante, Almería y Logroño, a los que habría que añadir el que se encuentra en periodo de montaje en el Observatorio Astronómico de Fabra (Barcelona), centro no dependiente del I.G.C., pero vinculado a él por muchos lazos amistosos. Además, otros dos equipos idénticos se hallan instalados en las estaciones de Tenerife (Islas Canarias) y Moca (Guinea Española).

Todos estos equipos -siete en total- corresponden al proyecto de W. Hiller, y han sido construídos en serie por la casa Askania-Werke, razón por la cual sus valores característicos son prácticamente iguales, suministrando datos de una gran homogeneidad. Es posible, por tanto, partiendo de valores promedios instrumentales, sentar conclusiones muy concretas para to-

dos ellos. Tendremos así analizadas, en un solo estudio, siete fuentes de información instrumental, lo que será muy beneficioso para los estudios en curso.

Por estas razones, este primer trabajo -que constituye la Nota Técnica 2 del plan de investigación antes citado- se refiere exclusivamente a dicho modelo de aparatos. Posteriormente, intentaremos efectuar semejantes análisis sobre los equipos restantes, hasta completar el estudio de la red.

II.- PRINCIPALES CARACTERISTICAS DE LOS EQUIPOS

Estos aparatos han sido proyectados para su instalación según el modelo clásico Galitzin. Aunque, naturalmente, esta instalación podría variarse a voluntad, nos hemos atenido a ella, por la simplicidad que reporta a la resolución de las ecuaciones diferenciales del movimiento; por otra parte, el proceso de astatización de los péndulos solo permite una estrecha variabilidad en sus periodos, la precisa para ponerlos de acuerdo con el de los correspondientes galvanómetros. La unidad de registro, en caja cerrada totalmente autónoma a prueba de luz, y con galvanómetro incorporado, nos haría asimismo desistir de cualquier intento para modificar el tipo de estos aparatos, ya que sería preciso abordar modificaciones sustanciales que redundarían en perjuicio de su homogeneidad, y para las cuales no parece haber actualmente justificación.

El periodo de péndulos y galvanómetros es de 1,5 segundos, y su amplificación, muy selectiva, de 8.000 á 10.000 en el máximo. Son pués equipos aptos principalmente para el registro de sismos próximos, si bien proporcionan también buenas inscripciones de las fases longitudinales de los telesismos.

El amortiguamiento de los péndulos es electromagnético; el de los galvanómetros se obtiene mediante un shunt magnético regulable, que controla el flujo del campo. Dispositivos ópticos adecuados permiten observar independientemente la oscilación de cada elemento; inmovilizando el péndulo artificialmente, puede observarse la oscilación del galvanómetro por vía visual, en circuito de trabajo, sin perjuicio de que esta oscilación sea simultáneamente registrada. Se regula así el grado de amortiguamiento obtenido.

II-1.- Montaje eléctrico para la calibración

El circuito eléctrico, como corresponde al sistema Galitzin, carece de shunt; los terminales de las bobinas de inducción del sismómetro y del galvanómetro están simplemente unidos, sin que, por lo antes dicho, sean precisas resistencias eléctricas adicionales de amortiguamiento; la resistencia total de este circuito, R, equivale por tanto a la suma de las resistencias internas del sismómetro y del galvanómetro.

Todos los sismómetros llevan una bobina independiente de excitación; a esta bobina se envían corrientes controladas mediante un circuito excitador, totalmente independiente del de trabajo, con objeto de dar al péndulo pequeños impulsos regulados y conocidos.

Hemos proyectado este circuito excitador en dos versiones, ambas con cuadro de mando portátil, para permitir su uso, simultáneamente con la observación óptica, a un mismo operador.

La primera (figura 1) es útil para dar al péndulo o al galvanómetro, por circuitos distintos, pequeños impulsos regulables que no es preciso medir. Tiene su aplicación en la medida de periodos y, especialmente, en la regulación de los amortiguamientos.

La segunda (figura 2) consiste en un circuito de medida, mediante el cual pueden enviarse a la bobina de excitación del sismómetro impulsos controlados; consta de un miliamperímetro a dos escalas (0-20 mA y 0-5 mA), y tiene su aplicación en la determinación del factor de transformación.

II-2. - Montaje óptico para la calibración

En el brazo del péndulo y muy próximo a su eje de giro, existe un espejo inclinado 45º respecto al plano de dicho brazo; paralelo a éste, y próximo al primero, hay un contraespejo fijo al soporte. Mediante este dispositivo, con un anteojo dotado de escala, pueden medirse los desplazamientos aparentes del péndulo, por triple reflexión de la escala en los dos espejos mencionados, lo que presenta la ventaja de reducir a la mitad la distancia necesaria para lograr una buena observación. En efecto, según se razona en el Apéndice I de este trabajo, la fórmula (VII) que liga los desplazamientos lineales, $\overline{\varphi}$, leídos sobre la escala, con los ángulos, φ , girados por el péndulo, es, a la distancia D de observación

$$\varphi = \frac{\overline{\varphi}}{4\,D}$$

En caso de reflexión única, la expresión correspondiente sería

$$\varphi = \frac{\overline{\varphi}}{2\,D}$$

III.- PRACTICA DE LA CALIBRACION

Efectuamos la determinación del factor de transformación en estos aparatos por el método del "release test", es decir: logrado el equilibrio del sistema en una posición inicial forzada del péndulo, definida por su ángulo, φ_0 , respecto a la de equilibrio natural, lo liberamos súbitamente, para registrar la respuesta.

El desplazamiento del péndulo a la posición inicial se obtiene enviando una corriente constante conocida, I_o, a su bobina de excitación, mediante el circuito auxiliar de la figura 2. Para determinar el factor de transformación es preciso conocer el ángulo inicial del péndulo, así como la amplitud, $\overline{\theta}_m$, de la respuesta del galvanómetro sobre la gráfica, cuando el péndulo, libremente, recupera su posición natural de equilibrio.

Pero, si hemos de registrar sobre la banda fotográfica dicha respuesta, el ángulo inicial debe ser muy pequeño, ya que de otro modo, con una amplificación de 8.000 á 10.000, rebasaríamos la anchura del registro (30 cm). Aunque dicho ángulo podría ser medido directamente mediante el dispositivo óptico, sería precisa una distancia de observación considerable, para obtener un error relativo aceptable en la medida.

Por ello, reemplazamos la medida directa del ángulo inicial por la de la corriente I_o que lo origina. Esto exige la determinación previa de la constante, c, de la bobina de excitación que, dentro de ciertos límites, expresa la proporcionalidad existente entre las corrientes que la recorren, en miliamperios, y los ángulos de giro del péndulo, en radianes.

Elegimos primero una magnitud de corriente, I, tal que produzca un desplazamiento lineal aparente sobre la escala de aproximadamente 5 mm; la constante c vendrá expresada por la relación

$$c = \frac{\varphi}{I} \cong \frac{\varphi}{4DI} \qquad (1)$$

Con el sismógrafo en condiciones de registro, damos después impulsos al péndulo, con corrientes $I_o < I$, capaces de producir respuestas de unos 120 mm de amplitud sobre la gráfica. El ángulo inicial podrá entonces conocerse, sin necesidad de nueva observación visual, por el producto

$$\varphi_o = c\, I_o \qquad (2)$$

La figura 3 muestra gráficamente las respuestas del péndulo y del galvanómetro, cuando se libera a aquél desde un ángulo inicial $\varphi_o = 12 \times 10^{-5}$ radianes. Las curvas representan las leyes de variación de los ángulos del péndulo, φ, y del galvanómetro, θ, con respecto a las variables $\tau = \omega_o t$ y t (siendo ω_o la pulsación, común, del péndulo y del galvanómetro); las ordenadas corresponden a los ángulos θ en radianes, o bien a los φ, multiplicados por 10^2, también en radianes; es decir, que la curva del movimiento del péndulo se ha realzado cien veces, con objeto de hacerla ostensible.

.....

IV.- TEORIA DEL METODO

IV-1.- Ecuaciones de movimiento de un sismógrafo electromagnético sin shunt en su circuito eléctrico

Solo recordaremos aquí, brevemente, los pasos que definen la obtención del sistema de ecuaciones de movimiento, con el fin de fijar las ideas y la nomenclatura para trabajos posteriores.

En la nota bibliográfica se reseñan los trabajos en que nos hemos inspirado y que, con objeto de abreviar, no citaremos de nuevo en el texto. En cuanto a la nomenclatura, hemos respetado en su mayor parte la que figura en los trabajos de Wenner, Eaton, Duclaux, etc., y que ya va siendo clásica en la materia; nosotros hemos introducido algunas ligeras variaciones, tales como la que distingue la derivación con respecto a la variable auxiliar τ, o los desplazamientos lineales y angulares del péndulo y del galvanómetro, por considerar que facilitan intuitivamente la comprensión de las fórmulas, ahorrando trabajo a la memoria.

En el Anexo 2 puede consultarse la nomenclatura y notaciones auxiliares adoptadas en este trabajo.

.....

Los movimientos propios del péndulo y del galvanómetro, considerados independientemente, cuando no están sometidos a ninguna acción exterior, mecánica o eléctrica, vienen expresados por las ecuaciones clásicas conocidas

$$\begin{aligned} K\frac{d^2\varphi}{dt^2} + D\frac{d\varphi}{dt} + U\varphi &= 0 \qquad \text{para el péndulo} \\ k\frac{d^2\theta}{dt^2} + d\frac{d\theta}{dt} + u\theta &= 0 \qquad \text{para el galvanómetro} \end{aligned} \tag{3}$$

Si las bobinas de inducción de ambos se conectan, mediante un circuito sencillo, sin shunt, de resistencia R, ambos elementos, péndulo y galvanómetro, constituyen ya un sistema electrodinámico, cuyos movimientos vienen definidos por el sistema de ecuaciones

$$\begin{aligned} K\frac{d^2\varphi}{dt^2} + D\frac{d\varphi}{dt} + U\varphi &= -Gi \\ k\frac{d^2\theta}{dt^2} + d\frac{d\theta}{dt} + u\theta &= gi \end{aligned} \tag{4}$$

donde G y g representan las constantes electrodinámicas de las bobinas del péndulo y del galvanómetro, respectivamente, y i la corriente resultante en el circuito, debida a las fuerzas electromotrices opuestas que los movimientos del péndulo y del galvanómetro inducen en sus respectivos arrollamientos; dichas f.e.m. son proporcionales a las correspondientes velocidades de variación del flujo en dichos arrollamientos, y por tanto, en nuestro caso, a las velocidades angulares respectivas. En consecuencia

$$i = \frac{G}{R}\frac{d\varphi}{dt} - \frac{g}{R}\frac{d\theta}{dt}$$

y sustituyendo en (4)

$$\begin{cases} K\dfrac{d^2\varphi}{dt^2} + (D + \dfrac{G^2}{R})\dfrac{d\varphi}{dt} + U\varphi = K\dfrac{d^2\varphi}{dt^2} + \Delta\dfrac{d\varphi}{dt} + U\varphi = \dfrac{Gg}{R}\dfrac{d\theta}{dt} \\ k\dfrac{d^2\theta}{dt^2} + (d + \dfrac{g^2}{R})\dfrac{d\theta}{dt} + u\theta = k\dfrac{d^2\theta}{dt^2} + \delta\dfrac{d\theta}{dt} + u\theta = \dfrac{Gg}{R}\dfrac{d\varphi}{dt} \end{cases} \qquad (5)$$

En este sistema, D y d representan las constantes de amortiguamiento del péndulo y del galvanómetro a circuito abierto, y G^2/R y g^2/R las constantes de amortiguamiento adicionales, debidas a la resistencia del circuito eléctrico, siendo por tanto Δ y δ las constantes que corresponden a circuito de trabajo.

Los segundos miembros de cada ecuación representan la excitación producida en cada elemento por el movimiento del otro.

Dividiendo por K y k, respectivamente, estas ecuaciones, y adoptando las notaciones

$$\begin{cases} \dfrac{U}{K} = \Omega_o^2 & \dfrac{u}{k} = \omega_o^2 \\ \dfrac{D}{K} = 2\beta_o\sqrt{\dfrac{U}{K}} & \dfrac{d}{k} = 2\alpha_o\sqrt{\dfrac{u}{k}} \\ \dfrac{G^2}{RK} = 2\beta_1\sqrt{\dfrac{U}{K}} & \dfrac{g^2}{Rk} = 2\alpha_1\sqrt{\dfrac{u}{k}} \\ \beta = \beta_o + \beta_1 & \alpha = \alpha_o + \alpha_1 \\ \dfrac{Gg}{RK} = 2\beta\Omega_o\sigma_s & \dfrac{Gg}{Rk} = 2\alpha\omega_o\sigma_g \end{cases} \qquad (6)$$

se obtiene

$$\begin{cases} \dfrac{d^2\varphi}{dt^2} + 2\beta\Omega_o\dfrac{d\varphi}{dt} + \Omega_o^2\varphi = 2\beta\Omega_o\sigma_s\dfrac{d\theta}{dt} \\ \dfrac{d^2\theta}{dt^2} + 2\alpha\omega_o\dfrac{d\theta}{dt} + \omega_o^2\theta = 2\alpha\omega_o\sigma_g\dfrac{d\varphi}{dt} \end{cases} \qquad (7)$$

donde β y α son los amortiguamientos, en circuito de trabajo, del péndulo y del galvanómetro; Ω_o y ω_o las pulsaciones correspondientes, siendo T_o y t_o los periodos; σ_s y σ_g los factores de transformación, según Eaton, constantes que proporcionan un criterio sobre la interacción de ambos movimientos.

Para simplificar el cálculo, se efectúa el cambio de variable independiente

$$\tau = t\sqrt{\Omega_o\,\omega_o} \tag{8}$$

con lo cual, después de dividir ambas ecuaciones por $\Omega_o\,\omega_o$ y de adoptar la nueva notación

$$\rho = \sqrt{\frac{\Omega_o}{\omega_o}} \tag{9}$$

queda el sistema de ecuaciones reducido a la forma (*)

$$\begin{cases} \ddot{\varphi} + 2\beta\rho\dot{\varphi} + \rho^2\varphi = 2\beta\rho\,\sigma_s\,\dot{\theta} \\ \ddot{\theta} + 2\alpha\frac{1}{\rho}\dot{\theta} + \frac{1}{\rho^2}\theta = 2\alpha\frac{1}{\rho}\,\sigma_g\,\dot{\varphi} \end{cases} \tag{10}$$

Este es el sistema que define los movimientos propios de un sismógrafo electromagnético sin shunt eléctrico, no sometido a excitación exterior.

.....

Si ahora suponemos que el suelo, que constituye el sistema de referencia, y con él el eje del péndulo, está animado de un movimiento cuya componente, en la dirección en que el sismómetro es sensible, viene definida por la función

$$x = f(t)$$

actuará sobre la masa móvil una fuerza de inercia, que puede considerarse aplicada en su centro de gravedad, opuesta al movimiento, y de momento

$$-\,M\,L\,\frac{d^2x}{dt^2}$$

Este par deberá incorporarse a la ecuación de momentos del péndulo (3-1ª); y teniendo en cuenta las transformaciones efectuadas en aquella ecuación, hasta llegar a la correspondiente del sistema (10), es fácil comprobar que habrá que sumar al segundo miembro de esta última el término

$$+\,\frac{M\,L}{K}\,\ddot{x}$$

que llamaremos "término excitador"; y adoptando la notación

$$\frac{M\,L}{K} = \frac{1}{\ell}$$

(*) Hemos adoptado el símbolo punteado para expresar la derivación con respecto a τ, con objeto de distinguir de un modo sencillo cuándo las derivadas lo son respecto a τ o a t, ya que en este último caso respetamos la notación clásica.

queda el sistema en su forma definitiva

$$\begin{cases} \ddot{\varphi} + 2\beta\rho\dot{\varphi} + \rho^2\varphi = 2\beta\rho\sigma_s\dot{\theta} + \frac{1}{\ell}\ddot{x} \\ \ddot{\theta} + 2\alpha\frac{1}{\rho}\dot{\theta} + \frac{1}{\rho^2}\theta = 2\alpha\frac{1}{\rho}\sigma_g\dot{\varphi} \end{cases} \qquad (11)$$

Este es el sistema que define los movimientos de un sismógrafo electromagnético sin shunt eléctrico, cuando el soporte del péndulo está sometido a un movimiento expresado por la ecuación $x = f(t)$.

IV-2.- Aplicación al caso Galitzin

Las tres hipótesis fundamentales en que se basa el sistema clásico Galitzin son:

a) A circuito abierto y sin amortiguamiento, los periodos del péndulo y del galvanómetro son iguales.

(Por tanto, sus pulsaciones serán también iguales, y $\rho = 1$).

b) En circuito de trabajo, tanto el péndulo como el galvanómetro están críticamente amortiguados.

(Por cuya razón será $\beta = \alpha = 1$).

c) La reacción del galvanómetro sobre el péndulo puede ser despreciada.

(Y por ello, puede admitirse $\sigma_s = 0$).

Aceptando estas hipótesis, el sistema (11) adopta la sencilla forma

$$\begin{cases} \ddot{\varphi} + 2\dot{\varphi} + \varphi = \frac{1}{\ell}\ddot{x} \\ \ddot{\theta} + 2\dot{\theta} + \theta = 2\sigma_g\dot{\varphi} \end{cases} \qquad (12)$$

Si llamamos a al brazo de palanca óptico existente entre el espejo del galvanómetro y la generatriz del tambor de registro, parámetro que participa en la amplificación, y adoptamos como variable dependiente, en la segunda ecuación, las elongaciones, $\bar{\theta}$, del punto luminoso sobre el registro, tendremos, según la fórmula (VIII) del Apéndice I

$$\theta = \frac{\bar{\theta}}{2a}$$

con lo que el sistema adopta la forma

$$\begin{cases} \ddot{\varphi} + 2\dot{\varphi} + \varphi = \frac{1}{\ell}\ddot{x} \\ \ddot{\bar{\theta}} + 2\dot{\bar{\theta}} + \bar{\theta} = 4a\sigma_g\dot{\varphi} \end{cases} \qquad (13)$$

que determina la relación entre los movimientos del suelo, x , y las elongaciones del registro, $\bar{\theta}$,por intermedio de los ángulos girados por el péndulo, φ . Se piensa inmediatamente que, si eliminamos esta última incógnita, tendremos expresada en una única ecuación la ley que liga los desplazamientos del suelo con su correspondiente respuesta final sobre el registro, objetivo final de la teoría.

Esta eliminación de la variable φ es sencilla, y la integración de la ecuación resultante, de cuarto grado, posible. En el Apéndice II que acompaña a este trabajo desarrollamos, solo en parte, el cálculo consiguiente; aquí solo expondremos que la ecuación que se obtiene, en el caso particular que nos ocupa, es

$$\ddddot{\bar{\theta}} + 4\dddot{\bar{\theta}} + 6\ddot{\bar{\theta}} + 4\dot{\bar{\theta}} + \bar{\theta} = \frac{4\,a\,\sigma_g}{\ell}\dddot{x} \tag{14}$$

y que, si atribuímos al suelo un movimiento armónico entretenido, de la forma

$$x = x_m\, e^{i(\omega t + \psi_x)} \tag{15}$$

que, para el cambio de variable (8), que corresponde en nuestro caso particular al

$$\tau = \omega_o\, t \tag{16}$$

y adoptando la notación

$$u = \frac{\omega_o}{\omega} = \frac{T}{T_o} \tag{17}$$

siendo ω y T la pulsación y el periodo del suelo, toma la forma equivalente

$$x = x_m\, e^{i(\frac{1}{u}\tau + \psi_x)} \tag{18}$$

al integrar la ecuación (14) se llega a la expresión

$$\frac{\bar{\theta}}{x} = \frac{\bar{\theta}_m}{x_m}\, e^{i(\psi_{\bar{\theta}} - \psi_x)} = X + iY \tag{19}$$

siendo

$$\begin{cases} X = + \dfrac{4\,a\,\sigma_g}{\ell}\ \dfrac{4\,u^2\,(1-u^2)}{(1+u^2)^4} \\[2ex] Y = - \dfrac{4\,a\,\sigma_g}{\ell}\ \dfrac{u\,(1-6\,u^2+u^4)}{(1+u^2)^4} \end{cases} \tag{20}$$

Se observa en la ecuación (19) que en el exponente del número e no figura la variable τ , y por tanto la respuesta del sismógrafo debe tener igual pulsación que el movimiento del suelo, y en consecuencia iguales serán también los periodos correspondientes.

Dicha expresión es un cociente de dos números complejos, que representan los movimientos del punto luminoso sobre el registro y del suelo, respectivamente; el módulo de este cociente será, por tanto, el cociente de los módulos de ambos, lo que equivale a decir el de sus elongaciones máximas, que es precisamente lo que llamamos amplificación dinámica

$$V = \frac{\bar{\theta}_m}{x_m} = \frac{4\, a\, \sigma_g}{\ell} \frac{u}{(1+u^2)^2} \qquad (21)$$

Asimismo, el argumento de aquel cociente será la diferencia entre los argumentos de ambos números complejos, es decir, el defasaje

$$\psi = \psi_{\bar{\theta}} - \psi_x = 2 \text{ arc tg } \frac{2u}{1-u^2} - \frac{\pi}{2} \qquad (22)$$

lo que representa una diferencia entre los tiempos que corresponden a las elongaciones máximas

$$t_{\bar{\theta}} - t_x = \Delta t = u\, T_o \left[\frac{\text{arc tg } \frac{2u}{1-u^2}}{\pi} - \frac{1}{4} \right] \qquad (23)$$

con todo lo cual, queda perfectamente definida la relación existente entre ambos movimientos.

.....

Según todo lo expuesto, la ecuación (14) resuelve por completo el problema de la respuesta del sismógrafo a un movimiento, $x = f(t)$, del suelo. Y cuando este movimiento es armónico entretenido, la ecuación (19) -y las (21) y (22), que se deducen de élla- nos proporciona todos los elementos necesarios para el cálculo de la respuesta.

Los únicos parámetros instrumentales que intervienen explícitamente en estas ecuaciones son a, ℓ y σ_g ; implícitamente, el periodo T_o del sismógrafo, que está contenido en la variable independiente adoptada, $\tau = \omega_o t$, y en la variable auxiliar $u = T/T_o$.

En cuanto a esta variable u, conoceremos en cada caso su valor, por ser el periodo T del movimiento del suelo igual al de la respuesta, y éste fácilmente medible sobre el registro; la función que define este movimiento, $x = f(t)$, ha de ser, naturalmente, conocida.

Los parámetros a, ℓ y T_o constituyen constantes intrínsecas

del sismógrafo, que pueden ser medidas directamente. El valor de a viene dado en estos aparatos por la casa constructora (a = 1.400 mm), ya que el galvanómetro, y todo el dispositivo óptico del registro, son solidarios del soporte del tambor. El valor de la longitud reducida, ℓ , se obtuvo en la fase de instalación de cada aparato, como función del periodo natural, T_n , de los péndulos; es decir, su periodo propio de oscilación cuando el eje de giro se coloca en posición horizontal (posibilidad que está prevista mecánicamente en este tipo de sismómetros), y se le libera de toda acción mecánica o electromagnética que no sea la de la gravedad; la longitud reducida viene dada entonces, como longitud del péndulo simple de igual periodo, por la fórmula

$$\ell = \frac{g}{4\pi^2} T_n^2 \qquad (24)$$

siendo aquí g la aceleración de la gravedad. El valor promedio de este parámetro, en los equipos instalados, es aproximadamente ℓ = 170 mm.

El valor del periodo del sismógrafo, T_o , se obtiene acordando el periodo astatizado del péndulo con el periodo natural del galvanómetro, t_o , que es de 1,5 segundos, aproximadamente, en todos los instrumentos.

Queda pués solamente por determinar el valor de la constante σ_g , factor de transformación, según Eaton, para hacer posible la aplicación de las fórmulas deducidas. Es aquí donde tiene su aplicación el método del "release test".

IV-3.- Aplicación de las fórmulas al caso del "release test".

Si en el sistema de ecuaciones (13) suponemos nulo el término excitador, quedará de la forma

$$\begin{cases} \ddot{\varphi} + 2\dot{\varphi} + \varphi = 0 \\ \ddot{\bar{\theta}} + 2\dot{\bar{\theta}} + \bar{\theta} = 4 a \sigma_g \dot{\varphi} \end{cases} \qquad (25)$$

La integral general de la primera ecuación se obtiene inmediatamente por el método clásico (véase el Apéndice II), y es de la forma

$$\varphi = e^{-\tau}(C_1 \tau + C_2) \qquad (26)$$

El test de calibración exige que las constantes arbitrarias C_1 y C_2 cumplan la doble condición

$$\text{Si} \quad \tau = 0 \begin{cases} \varphi = \varphi_o \\ \dot{\varphi} = 0 \end{cases}$$

es decir: el péndulo inicia su movimiento desde un ángulo inicial, φ_o , con velocidad inicial nula.

De (26) y de su primera derivada

$$\dot{\varphi} = -e^{-\tau}(C_1\tau - C_1 + C_2) \qquad (27)$$

se deduce inmediatamente

$$C_1 = C_2 = \varphi_o$$

con lo que la integral (26), para las condiciones iniciales de movimiento señaladas, es

$$\varphi = \varphi_o \; e^{-\tau}(\tau + 1) \qquad (28)$$

Su primera derivada, sustituída en la segunda ecuación (25), nos da

$$\ddot{\bar{\theta}} + 2\,\dot{\bar{\theta}} + \bar{\theta} = -4\,a\,\sigma_g\,\varphi_o\,e^{-\tau}\tau \qquad (29)$$

La integral general de esta ecuación es de la forma (véase Apéndice II)

$$\bar{\theta} = e^{-\tau}\left[-\frac{2\,a\,\sigma_g\,\varphi_o}{3}\,\tau^3 + C_3\tau + C_4\right] \qquad (30)$$

donde falta introducir los valores de C_3 y C_4 que verifiquen las condiciones iniciales de la experiencia

$$\text{Si} \quad \tau = 0 \begin{cases} \bar{\theta} = 0 \\ \dot{\bar{\theta}} = 0 \end{cases}$$

Haciendo pués $\tau = 0$ en (30) y en su primera derivada, se obtiene

$$C_3 = C_4 = 0$$

con lo que el sistema de ecuaciones que corresponde a las condiciones del test de calibración, recordando (28), queda de la forma

$$\begin{cases} \varphi = \varphi_o \; e^{-\tau}(\tau + 1) \\ \bar{\theta} = \dfrac{2}{3}\,a\,\sigma_g\,\varphi_o\,\tau^3\,e^{-\tau} \end{cases} \qquad (31)$$

prescindiendo del signo negativo, que no tiene significado en nuestro caso.

Este sistema relaciona cualquier posición instantánea, φ , del péndulo, con su correspondiente elongación, $\bar{\theta}$, simultánea, de la respuesta registrada, para lo cuál solo habrá que dar a $\tau = \omega_o t$, el valor que corresponda al instante, t , deseado. Este proceso, aunque posible, sería más penoso y erróneo que el de comparar los valores máximos de ambas funciones, φ_o y $\bar{\theta}_m$, ya que entonces podríamos efectuar ambas medidas prescindiendo de la variable tiempo.

Igualando a cero la primera derivada de (31-2ª) se obtiene inmediatamente

$$\begin{cases} \tau_m = 3 \\ \bar{\theta}_m = \dfrac{18}{e^3}\, a\, \sigma_g\, \varphi_o \end{cases}$$

y de aquí el valor del factor de transformación de Eaton

$$\sigma_g = \frac{e^3}{18a}\,\frac{\bar{\theta}_m}{\varphi_o} \tag{32}$$

y como φ_o está dado en la práctica por el producto $c\, I_o$, según (2)

$$\sigma_g = \frac{e^3}{18a}\,\frac{\bar{\theta}_m}{c I_o} \tag{33}$$

Galitzin y otros autores llaman factor de transformación, o de acoplamiento, al producto

$$\mathcal{K} = 2\, \omega_o\, \sigma_g \tag{34}$$

y como $\omega_o = 2\pi/T_o$, de (33) se deduce

$$2\, \omega_o\, \sigma_g = \mathcal{K} = \frac{2\, e^3 \pi\, \bar{\theta}_m}{9\, a\, T_o\, c\, I_o} \tag{35}$$

.....

IV-4.- Fórmulas prácticas

Conviene elaborar algunas de las fórmulas teóricas deducidas y, desde luego, efectuar en ellas cuantas sustituciones y operaciones numéricas sean posibles, para establecer así unas fórmulas cómodas y de inmediata aplicación en los cálculos. Estas fórmulas prácticas, que damos a continuación, son las que analizaremos en el apartado siguiente.

1) Longitud reducida (24)

Si adoptamos para la aceleración de la gravedad el valor $g = 9.810\ \text{mm} \times \text{seg}^{-2}$, se obtiene

$$\ell = 248{,}49\ T_n^2 \tag{36}$$

2) Constante de la bobina de excitación (1)

Si se expresa esta constante en radianes $\times\, \text{mA}^{-1}$, su valor es demasiado pequeño, por lo que en la práctica lo multiplicaremos por 10^7, adoptando la notación

$$C = c\,10^7 = 25\times10^5\,\frac{\bar{\varphi}}{D\,I} \tag{37}$$

3) Factor de transformación (33) y (35)

Para el valor a = 1.400 mm, se tiene, según (33)

$$\sigma_g = \frac{e^3\,10^7}{18\,a}\,\frac{\bar{\theta}_m}{C\,I_o} = 7{,}970\,\frac{\bar{\theta}_m}{C\,I_o} \tag{38}$$

o, si se emplea el factor de Galitzin, en vez del de Eaton

$$\mathcal{K} = \frac{2\times10^7\,e^3\,\pi}{9\,a\,T_o}\,\frac{\bar{\theta}_m}{C\,I_o} = 66{,}773\,\frac{\bar{\theta}_m}{C\,I_o} \tag{39}$$

4) Amplificación dinámica (21)

Para el valor a = 1.400 mm, se obtiene inmediatamente

$$V = 5{,}600\,\frac{\sigma_g}{\ell}\,\frac{u}{(1+u^2)^2} \tag{40}$$

y si empleamos el factor de transformación de Galitzin (34), tendremos

$$V = \frac{a\mathcal{K}}{\pi\ell}\,T_o\,\frac{u}{(1+u^2)^2} = \frac{a\mathcal{K}}{\pi\ell}\,\frac{T}{\left[1+\left(\frac{T}{T_o}\right)^2\right]^2} \tag{41}$$

En la práctica, hemos adoptado las notaciones

$$\begin{cases} E = \dfrac{a\mathcal{K}}{\pi\ell} \\ U_T = \dfrac{T}{\left[1+\left(\dfrac{T}{T_o}\right)^2\right]^2} \end{cases} \tag{42}$$

y llamamos a E "factor de amplificación"; con todo lo cual, la fórmula práctica es

$$V = E\,.\,U_T \tag{43}$$

5) Amplitud del movimiento del suelo (21) y (43)

De (21) recordaremos que $V = \bar{\theta}_m/x_m$, de donde, sustituyendo en (43) y expresando x_m en micrones y $\bar{\theta}_m$ en milímetros

$$(x_m)_\mu = \frac{1{,}000}{V} \; (\bar{\theta}_m)_{mm} \tag{44}$$

6) Amplificación máxima (21)

Para hallar el máximo valor de V , igualaremos a cero su derivada con respecto a la variable auxiliar u en (21), y se tiene

$$\frac{d}{du}\left[\frac{u}{(1+u^2)^2}\right] = \frac{1}{(1+u^2)^2} - \frac{u}{(1+u^2)^4}\; 2\,(1+u^2)\; 2\,u = \frac{1-3u^2}{(1+u^2)^3} = 0$$

de donde

$$\begin{cases} u_m = \dfrac{1}{\sqrt{3}} \\ \left[\dfrac{u}{(1+u^2)^2}\right]_m = \dfrac{9}{16\sqrt{3}} \end{cases} \tag{45}$$

y sustituyendo en (21), para a = 1.400

$$V_m = 1{,}818.654 \; \frac{\sigma_g}{\ell} \tag{46}$$

o bien, empleando el factor de amplificación, E, y para $T_o = 1{,}5$

$$V_m = 0{,}4871\; E \tag{47}$$

.....

V.- ERRORES DEL METODO

Teniendo en cuenta las circunstancias en que se verifican las medidas, y las fórmulas prácticas del apartado IV, intentaremos establecer un criterio sobre la precisión que puede esperarse obtener con estos instrumentos, este equipo auxiliar y este método, en los datos finales sobre el movimiento del suelo.

Simultáneamente, este estudio nos proporcionará un mejor conocimiento sobre el modo de operar y precisión que debemos exigir a cada fase.

Partimos de unos valores del error medio cuadrático de cada una de las medidas directas, que han sido deducidos de una serie constituída por 20 observaciones independientes, realizada con anterioridad a este trabajo (Alicante, Mayo de 1963), la cual fué tomada como modelo.

Llamando N al elemento medido, se aplicó, para cada componente, la fórmula del error medio en función de los errores residuales

$$\varepsilon(N) = \sqrt{\frac{[\Delta'(N)^2]}{19}} \tag{48}$$

Componiendo luego cuadráticamente los de las tres componentes, por la expresión

$$\varepsilon_c(N) = \sqrt{\frac{\varepsilon_Z(N)^2 + \varepsilon_{N-S}(N)^2 + \varepsilon_{E-W}(N)^2}{3}} \tag{49}$$

se obtuvieron los valores de partida

$$\begin{cases} \varepsilon_c(\bar{\varphi}) = 0.1 \text{ mm} \\ \varepsilon_c(I) = \varepsilon_c(I_o) = 0.05 \text{ mA} \\ \varepsilon_c(\bar{\theta}_m) = 0.5 \text{ mm} \end{cases} \tag{50}$$

En cuanto a la distancia D , la influencia de su error es tan pequeña, que hemos preferido fijar un límite amplio

$$\varepsilon_c(D) = 10 \text{ mm}$$

que, sin duda, rebasará al real.

Como valor de las constantes instrumentales, muy semejantes en todos los equipos, hemos adoptado los siguientes promedios

$$\begin{cases} T_o = 1{,}5 \text{ seg.} \\ a = 1.400 \text{ mm} \\ \ell = 170 \text{ mm} \end{cases} \qquad \begin{cases} C = 300 \\ \mathcal{K} = 6.700 \\ E = 17.550 \end{cases} \tag{51}$$

Hemos supuesto que se verifican rigurosamente las tres hipótesis de Galitzin, sin entrar, por ahora, en el estudio de las causas de error que se introducirían en caso contrario, y que afectarían a las mismas fórmulas empleadas.

V-1.- Error en la determinación de C

La constante C viene dada por la fórmula práctica (37)

$$C = 25 \times 10^5 \frac{\bar{\varphi}}{DI}$$

El error absoluto de C equivaldrá a la diferencial total de esta fórmula

$$dC = 25 \times 10^5 \left[\frac{1}{DI} d\bar{\varphi} - \frac{\bar{\varphi}}{DI^2} dI - \frac{\bar{\varphi}}{D^2 I} dD \right] \tag{52}$$

Y aproximadamente, si tenemos en cuenta el valor promedio experimental, C = 300 , se obtendrá de (37)

$$\bar{\varphi} = 12 \times 10^{-5} D I$$

y finalmente

$$dC \cong \frac{25 \times 10^5}{D I} d\bar{\varphi} - \frac{300}{I} dI - \frac{300}{D} dD \tag{53}$$

Suponiendo que $d\bar{\varphi}$, dI y dD representan los errores medios cuadráticos, $\varepsilon_c(\bar{\varphi})$, $\varepsilon_c(I)$ y $\varepsilon_c(D)$, de las medidas de $\bar{\varphi}$, I y D , independientes entre sí, el error medio de C vendrá dado por la expresión

$$\varepsilon_c(C) = \sqrt{\left[\frac{25 \times 10^5}{D I} \varepsilon_c(\bar{\varphi})\right]^2 + \left[\frac{300}{I} \varepsilon_c(I)\right]^2 + \left[\frac{300}{D} \varepsilon_c(D)\right]^2} \tag{54}$$

Para juzgar de la influencia de cada error en la práctica, pongamos un ejemplo numérico, con los valores normales I = 15 y D = 4.000; entonces

$$\varepsilon_c(C) = \sqrt{1{,}736 \left[\varepsilon_c(\bar{\varphi})\right]^2 + 400 \left[\varepsilon_c(I)\right]^2 + 0.005 \left[\varepsilon_c(D)\right]^2}$$

y se ve claramente que el error en $\bar{\varphi}$ influye bastante más que el de I , y que la influencia de $\varepsilon_c(D)$ es casi despreciable.

Sustituyendo ahora los valores numéricos (50)

$$\varepsilon_c(C) = \sqrt{17{,}4 + 1{,}0 + 0{,}5}$$

y como los términos subradicales representan, en su orden, los errores debidos a $\bar{\varphi}$, I y D , respectivamente, se obtiene una idea clara de la influencia, en el caso normal, de cada error.

Como consecuencia, debemos anotar:

a) Es conveniente, ante todo, afinar en la medida de $\bar{\varphi}$; para ello, se aprovechará al máximo la amplificación óptica del anteojo, aproximando su objetivo al espejo del sismómetro, ya que esta distancia es independiente de la medida (véase Apéndice I).

b) No tendría objeto el tratar de medir I con una exactitud excesiva, ya que el error en $\bar{\varphi}$, de todos modos, dará la pauta del error total. Ello condiciona el tipo de miliamperímetro a emplear: tanto por su sensibilidad como por su sistema de lectura, basta que aprecie con seguridad la décima de miliamperio; es imprescindible su contraste, en este mismo orden de precisión, para evitar errores sistemáticos, que no han sido considerados en las hipótesis.

c) La distancia entre el espejo del sismómetro y la escala puede medirse con cinta, simplemente, y basta con apreciar el centímetro.

La fórmula (54) representa la expresión teórica aproximada del error medio de C , siempre que se utilice el sistema óptico de triple reflexión en la medida de $\bar{\varphi}$, y el valor de C sea aproximadamente 300, como ocurre en el caso real.

Sustituyendo en ella los valores numéricos (50) que corresponden, y efectuando operaciones, se llega a la fórmula práctica

$$\varepsilon_c(C) = \frac{5 \times 10^4}{DI} \sqrt{25 + \frac{9\,D^2}{10^8} + \frac{36\,I^2}{10^4}} \qquad (55)$$

Esta fórmula se expresa gráficamente, dentro de los límites habituales en las medidas ($5.000 \geqslant D \geqslant 3.000$; $25 \geqslant I \geqslant 5$), en el Gráfico 1.

A la vista de dicho gráfico, se observa que el error disminuye más rápidamente al aumentar I que al aumentar D. Cabe hacer sobre él las siguientes consideraciones:

d) Es importante operar con la mayor corriente posible; pero esta conveniencia es puramente teórica, y viene limitada por las circunstancias siguientes:

- Es indudable que no convendrá medir C en condiciones muy desemejantes a aquéllas en las que el sismómetro ha de trabajar; la proporcionalidad expresada por esta constante entre los ángulos de giro del péndulo y las corrientes de excitación que los originan solo es válida, además, para valores muy pequeños del ángulo φ .

- Corrientes grandes producirían oscilaciones excesivas del péndulo, que podrían perturbar sus condiciones de equilibrio.

Por ello, un valor de I de 15 á 20 mA parece lo más razonable.

e) También disminuye el error, teóricamente, con distancias grandes, pero otra circunstancia práctica limita este aumento de D , y es el obtener en el campo del anteojo una imagen de la escala suficientemente ampliada y clara, con objeto de poder leer sobre ella seguramente la décima de milímetro (condición a). La conveniencia de aproximar el anteojo al espejo del sismómetro, expuesta en a), no es incompatible con la de separar la escala de dicho espejo (aumentar D) que ahora propugnamos, ya que el anteojo y su escala no han de ser necesariamente solidarios, y la distancia a que esté colocado aquél no interviene para nada en las fórmulas.

Por ello, resumiendo las recomendaciones hechas en a) y en e), deberá separarse la escala del sismómetro, montándola en un soporte adecuado, y acercar en cambio el anteojo, con lo que conseguiremos aumentar D , como conviene al error en la medida, compaginándolo al máximo con la necesidad de una buena apreciación en la lectura. Una combinación muy plausible es colocar la escala a una distancia de 4 metros, y el anteojo a solo 1 metro del sismómetro.

V-2.- Error en la determinación de $\mathcal{K}$

Con objeto de no variar normas anteriores, hemos adoptado en el cálculo práctico el factor de transformación de Galitzin, dado por la fórmula (39)

$$\mathcal{K} = 66{,}773 \frac{\bar{\theta}_m}{C\, I_o}$$

Comenzaremos por hacer la observación de que la aplicación, en este caso, del cálculo diferencial no es absolutamente correcta; los errores que manejamos tienen una magnitud considerable, respecto a las cantidades con que se les compara. La fórmula diferencial es, por ello, solo aproximada, pero basta al objeto de este estudio, como más adelante se razona.

Esto advertido, el error absoluto de $\mathcal{K}$ supondremos que viene dado por la diferencial total de (39)

$$d\mathcal{K} \cong 66{,}773 \left[\frac{1}{CI} d\bar{\theta}_m - \frac{\bar{\theta}_m}{CI_o^2} dI_o - \frac{\bar{\theta}_m}{C^2 I_o} dC \right] \qquad (56)$$

y aproximadamente, si tenemos en cuenta los valores (51) que corresponden

$$\mathcal{K}\, C \cong 201 \times 10^4$$

y de (39) se obtiene

$$\frac{\bar{\theta}_m}{I_o} \cong 30$$

Sustituyendo este valor, y el de C = 300 , en la expresión diferencial

$$d\mathcal{K} \cong \frac{223}{I_o}\, d\bar{\theta}_m - \frac{6,677}{I_o}\, dI_o - 22\, dC \qquad (57)$$

y suponiendo que $d\bar{\theta}_m$, dI_o y dC representan los correspondientes errores medios, el de $\mathcal{K}$ vendrá dado por

$$\varepsilon_c(\mathcal{K}) = \sqrt{\left[\frac{223}{I_o}\,\varepsilon_c(\bar{\theta}_m)\right]^2 + \left[\frac{6,677}{I_o}\,\varepsilon_c(I_o)\right]^2 + \left[22\,\varepsilon_c(C)\right]^2} \qquad (58)$$

Como antes, y para juzgar de la influencia de cada error, pondremos un ejemplo numérico, a base del valor normal $I_o = 4$

$$\varepsilon_c(\mathcal{K}) = \sqrt{3,108\left[\varepsilon_c(\bar{\theta}_m)\right]^2 + 2,786,396\left[\varepsilon_c(I_o)\right]^2 + 484\left[\varepsilon_c(C)\right]^2}$$

observándose la importancia que ha de tomar $\varepsilon_c(I_o)$, debido a su gran coeficiente; sustituyendo aún los valores de $\varepsilon_c(\bar{\theta}_m)$ y $\varepsilon_c(I_o)$ dados en (50), y $\varepsilon_c(C) = 4,3$ (corresponde a la fórmula (55) o Gráfico 1, para los valores, también normales, $I_o = 15$ y $D = 4.000$), tendremos

$$\varepsilon_c(\mathcal{K}) = \sqrt{777 + 6,966 + 8,950}$$

y como los términos subradicales representan, en su orden, los errores debidos a $\varepsilon_c(\bar{\theta}_m)$, $\varepsilon_c(I_o)$ y $\varepsilon_c(C)$, respectivamente, se obtiene una idea clara de la influencia de cada error, en el caso normal.

Como consecuencia, debemos anotar:

f) Es preciso rebajar el error $\varepsilon_c(C)$, y no siendo esto posible en las circunstancias de la medida, será preciso acudir a series de reiteraciones. (En el ejemplo propuesto, para diez reiteraciones, sería $\varepsilon_c(C) = 4,3/\sqrt{10} = 1,4$, y el tercer término subradical se reduciría a 949).

g) Debe afinarse mucho en la medida de I_o. Son válidas las consideraciones hechas en el párrafo b).

Si sustituímos en (58) los valores (50) que corresponden, efectuando operaciones se llega a la fórmula práctica

$$\varepsilon_c(\mathcal{K}) = 22\sqrt{\frac{256}{I_o^2} + \left[\varepsilon_c(C)\right]^2} \qquad (59)$$

Esta fórmula se representa gráficamente en el Gráfico 2, para los valores $5 \geqslant I_o \geqslant 1$; los valores de $\varepsilon_c(C)$ son los correspondientes, según (55) o Gráfico 1, a los diversos pares de valores de D e I, entre los límites señalados al pie de aquella fórmula.

A la vista de dicho gráfico, cabe hacer las siguientes observaciones:

h) Conviene teóricamente operar con corrientes I_o grandes; pero esto viene limitado en la práctica por la conveniencia de registrar, sobre una banda fotográfica de 30 cm de anchura, las oscilaciones del galvanómetro, en uno y otro sentido, cuando se invierte la polaridad del circuito excitador, precaución ésta muy conveniente. Si centramos exactamente el punto luminoso sobre dicha banda, teniendo en cuenta la relación aproximada antes establecida, $\theta_m/I_o \cong 30$, podemos deducir que el máximo valor posible de I_o , si queremos registrar íntegramente las dobles oscilaciones, es de 5 mA.

Para dar algún margen de seguridad, en la práctica no deberá pasarse de 4 mA. Además, a la vista del gráfico, se observa que a partir de este valor la ventaja que se obtiene decrece rápidamente, sobre todo si el valor $\varepsilon_c(C)$ es algo elevado.

V-3.- Error en la determinación de E

El factor de amplificación E viene dado por la fórmula (42) que, para a = 1.400, toma la forma

$$E = 445.634 \frac{\mathcal{K}}{\ell} \tag{60}$$

El error absoluto de E vendrá dado por la diferencial total

$$dE = \frac{445.634}{\ell^2} (\ell \, d\mathcal{K} - \mathcal{K} \, d\ell) \tag{61}$$

y aproximadamente, teniendo en cuenta los valores (51) que corresponden

$$dE \cong 2.6 \, d\mathcal{K} - 103 \, d\ell \tag{62}$$

siendo preciso investigar ahora la magnitud de $d\ell$.

Este error, $d\ell$, aunque es accidental y dependiente de la medida del periodo natural, T_n , del péndulo, una vez establecido el valor de ℓ , al instalar los aparatos, actuará en las determinaciones posteriores como sistemático, y como tal hemos de tratarlo; para ello, supondremos que su magnitud es igual a la del error medio correspondiente, $\varepsilon_c(\ell)$, y su signo corresponde al caso más desfavorable, en que $d\mathcal{K}$ tiene signo opuesto a $d\ell$. Por tanto, atendiendo solo al orden de magnitud

$$\varepsilon_c(E) = 2.6 \; \varepsilon_c(\mathcal{K}) + 103 \; \varepsilon_c(\ell) \tag{63}$$

La fórmula que nos da ℓ en función de T_n es la (36)

$$\ell = 248,49 \; T_n^2$$

y por consiguiente, el error absoluto de ℓ

$$d\ell = 497 \; T_n \, dT_n$$

y teniendo en cuenta el valor promedio experimental, $T_n = 0,830$, y suponiendo los errores absolutos $d\ell$ y dT_n iguales a sus errores medios, tendremos finalmente

$$\varepsilon_c(\ell) = 413\ \varepsilon_c(T_n) \qquad (64)$$

El error medio $\varepsilon_c(T_n)$ se determinó experimentalmente, a base de las series efectuadas en Alicante (Julio, 1962), por las fórmulas (48) y (49); sustituído su valor en (64) se obtuvo

$$\varepsilon_c(\ell) = 0.25 \qquad (65)$$

valor que, sustituído a su vez en (63), nos da la expresión teórica del error medio de E

$$\varepsilon_c(E) = 2.6\ \varepsilon_c(\mathcal{K}) + 26 \qquad (66)$$

En el Gráfico 3 se representa esta fórmula, entre los límites de valores $5 \geqslant I_o \geqslant 1$, y $18 \geqslant \varepsilon_c(C) \geqslant 2$; naturalmente, siendo $\varepsilon_c(E)$ una función lineal de $\varepsilon_c(\mathcal{K})$, las curvas de este gráfico son análogas a las del nº 2, y todas las observaciones hechas entonces para disminuir $\varepsilon_c(\mathcal{K})$ son válidas ahora para disminuir $\varepsilon_c(E)$.

V-4.- Comprobación de las fórmulas de error

Con objeto de controlar los resultados de la aplicación de las fórmulas aproximadas deducidas, y juzgar sobre su grado de adaptación a la realidad, se determinaron directamente los errores medios de C , $\mathcal{K}$ y E , aplicando las expresiones (48) y (49) a una serie de 10 medidas independientes, efectuadas con los valores

$$\begin{cases} D_Z = 3.280 \text{ mm} \\ D_{N-S} = 3.480 \text{ mm} \\ D_{E-W} = 3.320 \text{ mm} \end{cases} \qquad \begin{aligned} I &= 15 \text{ mA} \\ I_o &= 2 \text{ mA} \end{aligned}$$

En el cuadro siguiente se exponen los resultados, y sus diferencias, adoptando la notación ε' para los valores directos, y la ε para los obtenidos por nuestras fórmulas:

COMPONENTE	ERRORES	C	$\mathcal{K}$	E
Z	ε' =	2,30	180	465
	ε =	5,25	210	575
	Difª =	- 2,95	- 30	- 110
N-S	ε' =	4,95	185	480
	ε =	5,20	210	570
	Difª =	- 0,25	- 25	- 90
E-W	ε' =	3,15	150	390
	ε =	4,95	205	565
	Difª =	- 1,80	- 55	- 175
MEDIAS	ε' =	3,65	170	445
	ε =	5,15	210	570
	Difª =	- 1,50	- 40	- 125

Las diferencias entre ambos valores del error son, para las tres componentes, del orden de 0,5%, 0,6% y 0,7% de los valores de C, $\mathcal{K}$ y E , respectivamente, y siempre superior el calculado por nuestras fórmulas. Esto mani-

fiesta un sensible acuerdo entre ambos grupos de fórmulas, en el caso real elegido, y demuestra además que las expresiones aproximadas aquí establecidas proporcionan un margen de garantía adecuado en la determinación "a priori" de los errores.

V-5.- Campo de aplicación de las fórmulas de error

En las expresiones (55), (59) y (66) existen, por razón de las hipótesis admitidas y por su método mismo de obtención, dos causas de error:

a) Hemos partido de los valores experimentales (51), por lo que solo darán el valor exacto del error cuando los valores de C, $\mathcal{K}$ y ℓ sean precisamente aquéllos; en caso contrario, las fórmulas serán erróneas, y es preciso investigar su campo de aplicación.

b) Al emplear los métodos del cálculo diferencial, hemos supuesto tácitamente que los incrementos dC, $d\mathcal{K}$ y $d\ell$ son suficientemente pequeños respecto a las magnitudes de C, $\mathcal{K}$ y ℓ, lo que no es totalmente cierto.

Los valores de dichas constantes instrumentales, en los equipos de este tipo instalados, fluctúan próximamente entre unos límites:

$$\begin{cases} 330 \geqslant C \geqslant 270 \\ 7.200 \geqslant \mathcal{K} \geqslant 6.200 \\ 175 \geqslant \ell \geqslant 165 \end{cases} \qquad (67)$$

Por tanto, para que las fórmulas establecidas sean válidas para todos los equipos, deberán serlo dentro de estos límites.

Consideremos solo el caso normal, en que los valores empleados en las medidas, y sus correspondientes errores, son:

$$\begin{cases} I = 15 \text{ mA} \\ D = 4.000 \text{ mm} \\ I_o = 4 \text{ mA} \end{cases} \qquad \begin{array}{l} \varepsilon_c(C) = 4{,}3 \\ \varepsilon_c(\mathcal{K}) = 129 \\ \varepsilon_c(\ell) = 0{,}25 \\ \varepsilon_c(E) = 361 \end{array} \qquad (68)$$

La fórmula exacta del error se obtendría dando unos incrementos finitos, $\Delta\bar{\varphi}$, ΔI, ΔD, $\Delta\bar{\theta}_m$, ΔI_o en las fórmulas teóricas, y obteniendo las consiguientes expresiones de ΔC, $\Delta\mathcal{K}$, y ΔE, como expresión del error medio cuadrático, según formas análogas a las (54), (58) y (61).

Restando estas expresiones de las (55), (59) y (66), según correspondiese, obtendríamos la expresión del error absoluto de estas últimas, que serían de la forma

$$\begin{cases} \Delta\varepsilon_c(C) = f_1\,(C, \Delta\bar{\varphi}, \Delta I, \Delta D) \\ \Delta\varepsilon_c(\mathcal{K}) = f_2\,\left[\mathcal{K},\ \varepsilon_c(C), \Delta\bar{\theta}_m, \Delta I_o\right] \\ \Delta\varepsilon_c(E) = f_3\,\left[\mathcal{K},\ \varepsilon_c(\mathcal{K}),\ \ell,\ \varepsilon_c(\ell)\right] \end{cases} \qquad (69)$$

y si en estas expresiones sustituyésemos los valores

$$\begin{cases} \Delta\bar{\varphi} = \pm\ 0{,}1 \\ \Delta I = \pm\ 0{,}05 \\ \Delta D = \pm\ 10 \\ \Delta\bar{\theta}_m = \pm\ 0{,}5 \\ \Delta I_o = \pm\ 0{,}05 \end{cases} \qquad \begin{aligned} \varepsilon_c(C) &= 4{,}3 \\ \varepsilon_c(\ell) &= 0{,}25 \\ \varepsilon_c(\mathcal{K}) &= 129 \end{aligned} \qquad (70)$$

que corresponden a los (50) y (68), y simultáneamente hacemos C, $\mathcal{K}$ y ℓ iguales a los límites (67), eligiendo en cada caso los signos de los valores (70) de modo que las funciones (69) adopten sus valores máximo y mínimo, tendríamos expresados los límites del error de las fórmulas (55), (59) y (66) cuando se aplican a los casos (67), y podríamos juzgar de su validez en dichos casos.

Efectuados los cálculos correspondientes, que omitimos por laboriosos y faltos de interés, hemos obtenido los siguientes valores:

$$\begin{cases} +\ 0{,}06 \geqslant \Delta\varepsilon_c(C) \geqslant -\ 0{,}06 & \text{cuando} \quad 330 \geqslant C \geqslant 270 \\ +\ 16 \geqslant \Delta\varepsilon_c(\mathcal{K}) \geqslant -\ 23 & \text{cuando} \quad 7.200 \geqslant \mathcal{K} \geqslant 6.200 \\ +\ 10 \geqslant \Delta\varepsilon_c(E) \geqslant -\ 17 & \text{cuando} \quad \begin{cases} 7.200 \geqslant \mathcal{K} \geqslant 6.200 \\ 175 \geqslant \ell \geqslant 165 \end{cases} \end{cases} \qquad (71)$$

Límites de error que bastan a nuestro objeto, por lo que las fórmulas de error establecidas pueden considerarse válidas, dentro de su carácter aproximado, para todos los equipos de este tipo hasta ahora instalados en España.

==========

VI.- ERROR PROBABLE EN LA DETERMINACION DE V

La amplificación dinámica viene dada por la fórmula práctica (43)

$$V = E \cdot U_T$$

Considerando solo el caso normal definido en (68), el error medio del factor de amplificación es $\varepsilon_c(E) = 361$; y aceptando la relación usual entre los errores medio y probable:

$$\varepsilon_p(E) \cong \frac{2}{3} \varepsilon_c(E) = 240 \qquad (72)$$

La función (42)

$$U_T = \frac{T}{\left[1 + \left(\frac{T}{T_o}\right)^2\right]^2}$$

viene afectada por el error en la adopción del valor T_o.

Partimos del supuesto de que se verifica la primera hipótesis de Galitzin; es decir, que el periodo del péndulo es igual al del galvanómetro. Pero, según (51), partimos también de la hipótesis $T_o = 1,5$, y esto no es rigurosamente exacto para todos los equipos.

Si pretendemos que las conclusiones que se deduzcan a base de este valor numérico sean válidas para todos ellos, deberemos dar cierta flexibilidad a nuestras fórmulas; el problema equivale a suponer en ellas un error, ΔT_o , tal que, para cualquier equipo de periodo T_o' se tenga

$$1,5 + \Delta T_o \geqslant T_o' \geqslant 1,5 - \Delta T_o \qquad (73)$$

En este orden de ideas, ΔT_o equivale a un error máximo, y admitiendo, como es usual, que este error sea el triplo del probable

$$\varepsilon_p(T_o) \cong \frac{1}{3} \varepsilon_m(T_o) \cong \frac{1}{3} \Delta T_o$$

Próximamente, para los equipos instalados, el valor de ΔT_o que cumple la condición (73) es $\Delta T_o = 0,075$, y tendremos por tanto

$$\varepsilon_p(T_o) \cong 0,025 \qquad (74)$$

El error absoluto de la función U_T , para cada valor de T , equivaldrá a la diferencial de (42) con respecto a T_o

$$dU_T = -\frac{T}{\left[1+\left(\frac{T}{T_o}\right)^2\right]^4} 2\left[1+\left(\frac{T}{T_o}\right)^2\right] 2\,\frac{T}{T_o}\left(-\frac{T}{T_o^2}\right) dT_o = \frac{u^3}{(1+u^2)^3}\,4\,dT_o$$

y en errores probables

$$\varepsilon_p(U_T) = \frac{u^3}{(1+u^2)^3}\,4\,\varepsilon_p(T_o) \qquad (75)$$

y sustituyendo el valor numérico (74)

$$\varepsilon_p(U_T) = 0.1\,\frac{u^3}{(1+u^2)^3} \qquad (76)$$

El error absoluto de V, para cada valor de T, se obtendrá igualmente por la diferencial total de (43)

$$dV = U_T\,dE + E\,d(U_T)$$

o, en errores probables y sustituyendo los valores (72) y (76), y el valor de E dado en (51)

$$\varepsilon_p(V) = 240\,U_T + 1,755\,\frac{u^3}{(1+u^2)^3} \qquad (77)$$

y expresado en tanto por ciento

$$\varepsilon_p(V)\% = 24,000\,\frac{U_T}{V} + 175,500\,\frac{1}{V}\,\frac{u^3}{(1+u^2)^3}$$

pero como, según (43), es

$$\frac{U_T}{V} = \frac{1}{E} \cong \frac{1}{17,550}$$

se obtiene finalmente

$$\varepsilon_p(V)\% = 1.37 + 175,500\,\frac{1}{V}\,\frac{u^3}{(1+u^2)^3} \qquad (78)$$

Esta expresión está representada en el Gráfico 4, como correspondiente a la curva acotada con el valor $\varepsilon_p(T) = 0$, ya que, efectivamente, no hemos supuesto error en el valor de T.

.....

VII.- APLICACIONES: INFLUENCIA DE LOS ERRORES DE MEDIDA DEL PERIODO Y LA AMPLITUD DE LA RESPUESTA, SOBRE LA AMPLITUD DEDUCIDA DEL MOVIMIENTO DEL SUELO

Para la aplicación de la fórmula (44) es preciso entrar en ella con unos datos de medida, T y $\overline{\theta}_m$, naturalmente sujetos a error. Todo el estudio hasta ahora efectuado no pasaría de tener un valor teórico, y quedaría incompleto, si no determinásemos la influencia de estos errores en dicha fórmula y, por consiguiente, el error final con que realmente obtenemos el valor x_m.

Supondremos en todo lo que sigue x_m expresado en micrones y $\overline{\theta}_m$ en milímetros, de acuerdo con las unidades de la fórmula (44) antes citada.

El error relativo de x_m equivaldrá a la diferencial logarítmica total de dicha fórmula

$$\frac{dx_m}{x_m} = -\frac{dV}{V} + \frac{d\,\overline{\theta}_m}{\overline{\theta}_m}$$

y en errores probables

$$\frac{\varepsilon_p(x_m)}{x_m} = \frac{\varepsilon_p(V)}{V} + \frac{\varepsilon_p(\overline{\theta}_m)}{\overline{\theta}_m} \qquad (79)$$

o, en tantos por ciento

$$\varepsilon_p(x_m)\% = \varepsilon_p(V)\% + 100\,\frac{\varepsilon_p(\overline{\theta}_m)}{\overline{\theta}_m} \qquad (80)$$

Pero ahora, en el término $\varepsilon_p(V)\%$, debemos considerar el error en la medida de T.

No es fácil fijar "a priori" valores numéricos a $\varepsilon_p(\overline{\theta}_m)$ y $\varepsilon_p(T)$, ya que dependerán de muchas circunstancias, tales como la velocidad del registro, claridad de la inscripción, de los mismos valores de $\overline{\theta}_m$ y T y, muy especialmente, del procedimiento empleado en la lectura; suponiendo una velocidad de registro de un milímetro por segundo, cabe atribuir errores de la misma magnitud a ambas medidas, a los que asignaremos unos valores arbitrarios

$$\begin{cases} \varepsilon_p(T) = 0 & \\ \varepsilon_p(T) = \pm\ 0{,}05 & \varepsilon_p(\overline{\theta}_m) = \pm\ 0{,}05 \\ \varepsilon_p(T) = \pm\ 0{,}10 & \varepsilon_p(\overline{\theta}_m) = \pm\ 0{,}10 \\ \varepsilon_p(T) = \pm\ 0{,}15 & \varepsilon_p(\overline{\theta}_m) = \pm\ 0{,}15 \end{cases}$$

de forma que cada observador, en cada caso concreto, pueda adoptar el que crea que mejor corresponde a las condiciones de su observación.

Incluímos el valor $\varepsilon_p(T) = 0$ como correspondiente a la fórmula (78), ya que ésta se dedujo en la suposición de un valor T teórico, sin error.

En la expresión (80), el término

$$100\ \frac{\varepsilon_p(\bar{\theta}_m)}{\bar{\theta}_m}$$

representa la corrección que debemos aplicar a $\varepsilon_p(V)\%$ para hallar $\varepsilon_p(x_m)\%$, habida cuenta de todos los errores instrumentales previsibles, y de los de medida de $\bar{\theta}_m$ sobre el registro.

Este término figura tabulado en el Anexo 3.

En el Gráfico 4 se ha dibujado la curva "gruesa" de amplificación media de estos equipos, para los valores (51); denominamos "curva gruesa" a la zona comprendida entre las curvas $V + \varepsilon_p(V)$ y $V - \varepsilon_p(V)$, conforme al valor de $\varepsilon_p(V)$ dado en (77); resulta cómodo, a la hora de expresarnos, considerar a esta zona como una verdadera curva de amplificación, cuyo grosor, en el sentido de las ordenadas, es precisamente el doble del error probable, y por tanto, según (77), una función de T.

Si en esta curva "gruesa" entramos con un valor teórico de la abcisa T, supuesto exacto, obtendremos, por sus intersecciones con la ordenada correspondiente, dos valores de V, o límites probables de V, dados por

$$\begin{cases} V + \varepsilon_p(V) \\ V - \varepsilon_p(V) \end{cases}$$

Su semidiferencia, $\varepsilon_p(V)$, expresada en tanto por ciento de V, corresponde a la fórmula (78), es decir, al caso en que $\varepsilon_p(T) = 0$, como ya dijimos; es el error que pudiéramos llamar instrumental de la amplificación, para los periodos teóricos T del suelo. Esta curva aparece representada, de trazos, en el Gráfico 4.

Pero si suponemos que en está curva "gruesa" se entra con una abcisa, T, cuyo error probable es $\varepsilon_p(T) = h$, al área de la curva comprendida entre las ordenadas $T+h$ y $T-h$, corresponderán un máximo y un mínimo valores de V (*), o límites probables de V; la semidiferencia entre ambos representará el error probable, $\varepsilon_p(V)$, para los valores de T y de $\varepsilon_p(T)$ que se consideren. Esta semidiferencia, expresada en tanto por ciento de V (siendo V el valor que corresponde a la ordenada central, T), nos dará en cada caso el valor de $\varepsilon_p(V)\%$.

(*) Hay que hacer constar que, presentando la curva un máximo muy próximo al valor $T = 0{,}85$, en el caso en que se verifique

$$T + h \gg 0{,}85 \gg T - h$$

el límite probable superior de V puede corresponder a una ordenada intermedia, $T \pm h'$, siendo $h' < h$.

Este proceso podría efectuarse gráficamente, sobre el mismo Gráfico 4, sin más que representar en él el eje de la curva "gruesa" de amplificación, y adoptar una escala de abcisas más adecuada.

Nosotros hemos preferido efectuarlo analíticamente, para lo cual, sobre una relación de valores de V , $V+\varepsilon_p(V)$ y $V-\varepsilon_p(V)$, calculada según las fórmulas (43) y (77) para $u = T/1,5$ y dando a T valores intervalados en 0,05, hemos seleccionado, para cada valor de T , los límites superior e inferior de $V \pm \varepsilon_p(V)$ en el intervalo $T \pm \varepsilon_p(T)$, cuya semidiferencia, multiplicada por el factor $100/V$, nos da el valor de $\varepsilon_p(V)\%$ que corresponde a los de T y $\varepsilon_p(T)$ considerados.

De este modo, y ateniéndonos a la escala de ordenadas de la derecha, se han trazado las curvas de error en el Gráfico 4 (de trazos, y acotadas con el valor de $\varepsilon_p(T)$ que corresponde). Según todo lo dicho, dichas curvas representan el error probable, en tantos por ciento, de la amplificación, habida cuenta de todos los errores instrumentales previsibles, y del de medida de T sobre el propio registro.

Considerando estas curvas, vemos que constituyen una familia bien caracterizada, con un mínimo en las proximidades de $T = 0,85$, que es precisamente, como debía esperarse, el valor que hace máxima la curva de amplificación; este mínimo, para valores muy pequeños de $\varepsilon_p(T)$, se convierte en punto de inflexión, al abrirse rápidamente las dos alas de las curvas, especialmente la de la izquierda.

Las convexidades y pendientes de esta familia son sistemáticamente opuestas a las de la curva de amplificación.

Todas las curvas presentan un máximo secundario bien caracterizado, en las proximidades de los valores $T = 2,6$, $T = 2,8$, $T = 3,5$ y $T = 4,1$, respectivamente.

En las proximidades del mínimo, los valores de $\varepsilon_p(V)\%$ difieren poco en todas ellas, lo que indica que, en esta zona, la influencia de $\varepsilon_p(T)$ pesa poco en el error total.

Por último, señalaremos respecto a la curva "gruesa" de amplificación que, aunque su máximo grosor (en sentido normal a la curva) corresponde al máximo, el error absoluto $\varepsilon_p(V)$ (grosor en el sentido de las ordenadas) tiene su máximo en la ordenada $T = 1,35$.

o—o—o—o

VIII.- CONCLUSIONES FINALES

A la vista del Gráfico 4 que, con la tabla del Anexo 3, resume todo el trabajo efectuado, cabe establecer las siguientes conclusiones:

A) En el intervalo

$$0 < T \leq 0{,}5$$

la influencia del error en la medida de T es decisiva. Y como se da el caso de que, precisamente en esta zona, contando con velocidades de registro de uno a medio milímetros por segundo, no será fácil medir T con un error probable inferior a $\pm$ 0,10 ó $\pm$ 0,15, respectivamente, los datos que se obtengan sobre la amplitud del movimiento del suelo serán prácticamente inaceptables, puesto que sus errores probables no bajarán del 20% o el 30% , o incluso bastante más si el error en la medida de T fuese ligeramente superior, o muy pequeña la amplitud sobre el registro.

B) En el intervalo

$$0{,}5 \leq T \leq 1{,}5$$

se obtiene el mejor rendimiento de estos aparatos, puesto que se aprovecha bien su amplificación, y los errores en la medida de T no tienen una influencia excesiva, pudiendo esperarse un error probable en la amplitud del movimiento del suelo del 3% al 15% , siempre que el valor de la amplitud de la respuesta no sea inferior a 5 mm, lo que ocurrirá normalmente en sismos de cierta energía, ya que es grande la amplificación.

C) En el intervalo

$$1{,}5 \leq T \leq 4{,}5$$

las curvas presentan su máximo secundario, siendo entonces muy notable la influencia del error en la medida de T . Para $T > 2{,}3$ esta influencia se mantiene prácticamente hasta el final de la zona útil de la curva de amplificación, que hemos considerado en $T = 4{,}5$. El error en la amplitud del movimiento del suelo será muy variable, entre el 8% y el 18% , y habrá que considerarlo en cada caso particular.

Respecto al error adicional introducido en la amplitud del movimiento del suelo por el de la medida de la correspondiente amplitud de la respuesta, basta una ojeada a la tabla del Anexo 3 para juzgar de su influencia; solo diremos que, para amplitudes del registro inferiores a 5 mm, habrá que tenerlo muy presente, pero prácticamente podrá despreciarse en sismos fuertes, e incluso medios, siempre que dicha amplitud sea superior a 10 mm.

Resumiendo todo lo expuesto, puede afirmarse que los aparatos estudiados son muy selectivos, y que su zona útil de medida está en el intervalo

$$0{,}5 < T < 1{,}5$$

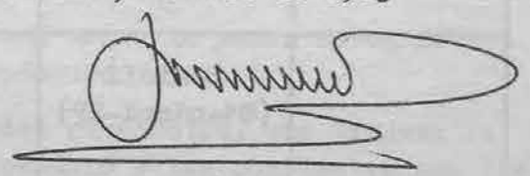
con amplitudes registradas superiores a 5 mm, en cuyo caso puede esperarse un error probable en la amplitud del movimiento del suelo del orden del 10% , siempre que se acepte este dato como un criterio muy general.

Nota final

Esta Nota Técnica nº 2, la segunda del estudio en curso, contiene las siguientes partes: sumario (1 p), índice (1 p), texto (31 pp), tres Anexos (5 pp), dos Apéndices (9 pp), cinco figuras (3 pp), cuatro gráficos (4 pp) y bibliografía (1 p); en total, 55 páginas.

La investigación a que se refiere el presente documento ha sido financiada por AIR FORCE OFFICE OF SCIENTIFIC RESEARCH, OAR, por intermedio de su Oficina Europea, Office of Aerospace Research, como parte del Advanced Research Project Agency's, Project VELA UNIFORM, de acuerdo con el Contrato AF 61 (052) - - 657.

Alicante, Octubre de 1963



Julio MORENCOS

ADVERTENCIAS

1.—El texto español lleva como Apéndice I la Optica de Calibración, que no se incluye en el texto inglés.

2.—Las figuras y gráficos están en el texto inglés, excepción de las figuras 4 y 5, que se refieren únicamente al Apéndice I del texto español.

3.—Tanto en el Anexo 1 (español) como en el Apendix 1 (inglés) se ha deslizado errata en el nombre Sprengnether.

A N E X O 1

CARACTERISTICAS APROXIMADAS DE LOS EQUIPOS DEL SERVICIO SISMOLOGICO ESPAÑOL

(Estaciones peninsulares)

ESTACIONES	T I P O	COMPO-NENTES	PERIODOS		AMPLIFICACION	
			Pénd.	Galv.	Estática	Máxima
TOLEDO	Benioff (Standard-SP)	ZS	1,0	0,75		50,000
		NS	1,0	0,75		25.000
		ES	1,0	0,75		25.000
	Sprengnheter (Standard-LP)	ZL	30,0	100,0		1.500
		NL	30,0	100,0		1.500
		EL	30,0	100,0		1.500
	Sprengnheter	ZG	1,7	1,7		2.000
		NG	13,5	13,5		2.000
		EG	13,5	13,5		2.000
	Wiechert	ZT	3,0		1.500	
		NT	11,0		800	
		ET	11,0		800	
	Wiechert	NX	8,0		450	
		EX	8,0		450	
MALAGA	Benioff (Standard-SP)	ZS	1,0	0,75		50.000
		NS	1,0	0,75		25.000
		ES	1,0	0,75		25.000
	Sprengnheter (Standard-LP)	ZL	30,0	100,0		1.500
		NL	30,0	100,0		1.500
		EL	30,0	100,0		1.500
	Hiller (Galitzin)	ZH	1,5	1,5		8.000
		NH	1,5	1,5		8.000
		EH	1,5	1,5		8.000
ALMERIA	Hiller (Galitzin)	ZH	1,5	1,5		8.000
		NH	1,5	1,5		8.000
		EH	1,5	1,5		8.000
	Mainka	ZM	5,5		300	
		NM	9,5		450	
		EM	9,5		450	
ALICANTE	Hiller (Galitzin)	ZH	1,5	1,5		8.000
		NH	1,5	1,5		8.000
		EH	1,5	1,5		8.000
	Mainka	NM	12,0		450	
		EM	12,0		450	
LOGROÑO	Hiller (Galitzin)	ZH	1,5	1,5		8.000
		NH	1,5	1,5		8.000
		EH	1,5	1,5		8.000

A N E X O 2

NOMENCLATURA Y NOTACIONES AUXILIARES

(Relacionadas en el mismo orden, aproximadamente, en que aparecen en el texto)

R = Resistencia total del circuito eléctrico del sismógrafo.

$\overline{\varphi}$ = Desplazamiento lineal aparente que, a través del dispositivo óptico de calibración, corresponde al giro φ del péndulo, a la distancia D.

φ = Angulo del péndulo, respecto a su posición de equilibrio natural, en el instante t.

D = Distancia de observación entre el espejo del sismómetro y la escala del anteojo, en las observaciones ópticas de calibración.

I = Corriente en el circuito auxiliar de calibración.

θ = Angulo del galvanómetro, respecto a su posición de equilibrio natural, en el instante t.

$\overline{\theta}$ = Desplazamiento lineal del punto luminoso sobre la banda fotográfica, correspondiente al giro θ del galvanómetro.

c = Constante de la bobina de excitación del sismómetro, que expresa la proporcionalidad entre los giros del péndulo y las corrientes que los originan, en las operaciones de calibración ($c = \varphi / I$, en radianes $\times$ mA^{-1}).

C = 10^7 c

τ = $t\sqrt{\Omega_o \omega_o}$. Variable auxiliar de tiempo ($\tau = \omega_o t$ en los sismógrafos Galitzin).

ω_o = $2\pi/t_o = \sqrt{u/k}$. Pulsación del movimiento del galvanómetro, sin amortiguamiento (igual a la pulsación del movimiento del péndulo, en el caso Galitzin).

t_o = Periodo natural del galvanómetro, sin amortiguamiento.

t = Variable tiempo.

K = Momento de inercia del péndulo respecto a su eje de rotación.

U = Coeficiente del par antagonista del péndulo, proporcional al ángulo.

D = Coeficiente de amortiguamiento del péndulo, a circuito abierto, o coeficiente del par correspondiente, proporcional a la velocidad angular (esta misma letra figura más arriba con distinto significado, pero no ha lugar a incertidumbre).

k = Momento de inercia de la masa móvil del galvanómetro, con relación a su eje de giro.

d = Coeficiente del par de amortiguamiento del galvanómetro, a circuito abierto, proporcional a la velocidad angular.

u = Coeficiente del par antagonista del galvanómetro, proporcional al ángulo (torsión, etc.).

G = Constante electrodinámica de la bobina de inducción del sismómetro.

i = Corriente en el circuito eléctrico del sismógrafo.

g = Constante electrodinámica de la bobina del galvanómetro.

$\Delta = D + G^2/R$ = Coeficiente del par de amortiguamiento del péndulo, en circuito de trabajo.

$\delta = d + g^2/R$ = Coeficiente del par de amortiguamiento del galvanómetro, en circuito de trabajo.

$\Omega_o = 2\pi/T_o = \sqrt{U/K}$. Pulsación del péndulo, sin amortiguamiento.

T_o = Periodo del péndulo, sin amortiguamiento (en el caso Galitzin, periodo del sismógrafo, ya que los del péndulo y el galvanómetro son iguales).

$\beta_o = D/2\,\Omega_o K$. "Amortiguamiento" del péndulo, a circuito abierto.

$\beta_1 = G^2/2\,\Omega_o RK$. "Amortiguamiento" adicional del péndulo, producido por el circuito eléctrico.

$\beta = \beta_o + \beta_1 = \Delta/2\,\Omega_o K$. "Amortiguamiento" total del péndulo, en circuito de trabajo. ($\beta = 1$ en el caso Galitzin).

$d_o = d/2\,\omega_o k$. "Amortiguamiento" del galvanómetro, a circuito abierto.

$d_1 = g^2/2\,\omega_o Rk$. "Amortiguamiento" adicional del galvanómetro, producido por el circuito eléctrico.

$d = d_o + d_1 = \delta/2\,\omega_o k$. "Amortiguamiento" total del galvanómetro, en circuito de trabajo.($d = 1$ en el caso Galitzin).

$\sigma_s = Gg/2\,\beta\Omega_o RK$. Factor de transformación del sismómetro, según Eaton.

$\sigma_g = Gg/2\,d\omega_o Rk$. Factor de transformación del galvanómetro, según Eaton

$\rho = \sqrt{\Omega_o/\omega_o}$. ($\rho = 1$ en el caso Galitzin).

x = Desplazamiento lineal del suelo, en sentido normal al plano de equilibrio del péndulo.

M = Masa móvil del péndulo.

L = Distancia del centro de gravedad del péndulo a su eje de rotación.

ℓ = K/ML . Longitud reducida del péndulo (longitud del péndulo simple de periodo T_n).

T_n = "Periodo natural" del péndulo; es el periodo libre del mismo, cuando su eje de giro se coloca en posición horizontal, y se le libera de toda acción que no sea la de la gravedad.

a = Brazo de la palanca óptica del registrador, constituído por la distancia entre el espejo del galvanómetro y la generatriz del tambor de registro, medida sobre la trayectoria del rayo luminoso.

ψ_x = Fase inicial del movimiento sinusoidal del suelo.

T = Periodo del movimiento sinusoidal del suelo.

$\omega = 2\pi/T$. Pulsación del movimiento sinusoidal del suelo.

$u = \omega_o/\omega = T/T_o$. (Esta misma letra figura más arriba con distinto significado, pero no ha lugar a incertidumbre).

$\psi_{\bar{\delta}}$ = Fase inicial de la respuesta del sismógrafo.

$\psi = \psi_{\bar{\delta}} - \psi_x$. Defasaje entre los movimientos sinusoidales de la respuesta y del suelo.

V = Amplificación dinámica del sismógrafo.

$\mathcal{K} = Gg/Rk = 2\,d\,\omega_o\,\sigma_g$. Factor de transformación del galvanómetro, según Galitzin. ($\mathcal{K} = 2\,\omega_o\,\sigma_g$ en el caso Galitzin).

$E = a\mathcal{K}/\pi\ell$. "Factor de amplificación".

$U_T = T_o\,u/(1+u^2)^2$.

$\Delta'(N)$ = Error residual del elemento N ; es la diferencia entre cada valor particular de N con el promedio de la serie.

$\varepsilon_c(N)$ = Error medio cuadrático del elemento N .

$\varepsilon_p(N)$ = Error probable del elemento N .

$\varepsilon_m(N)$ = Error máximo del elemento N .

$\varepsilon_p(N)\%$ = Error probable relativo del elemento N , expresado en tanto por ciento de N .

o—o—o—o

A N E X O 3

TABLA DE LOS VALORES $100 \frac{\varepsilon_p(\bar{\theta}_m)}{\bar{\theta}_m}$ (Fórmula 80)

$\bar{\theta}_m$	$\varepsilon_p(\bar{\theta}_m)$ =			$\bar{\theta}_m$	$\varepsilon_p(\bar{\theta}_m)$ =		
	0,05	0,10	0,15		0,05	0,10	0,15
1,0	5,0	10,0	15,0	7,0	0,7	1,4	2,1
1,1	4,6	9,1	13,6	7,5	0,7	1,3	2,0
1,2	4,2	8,3	12,5	8,0	0,6	1,3	1,9
1,3	3,9	7,7	11,5	8,5	0,6	1,2	1,8
1,4	3,6	7,1	10,7	9,0	0,6	1,1	1,7
1,5	3,3	6,7	10,0	9,5	0,5	1,1	1,6
1,6	3,1	6,3	9,4				
1,7	2,9	5,9	8,8	10,0	0,5	1,0	1,5
1,8	2,8	5,6	8,3	11,0	0,4	0,9	1,4
1,9	2,6	5,3	7,9	12,0	0,4	0,8	1,3
2,0	2,5	5,0	7,5	13,0	0,4	0,8	1,2
2,1	2,4	4,8	7,1	14,0	0,4	0,7	1,1
2,2	2,3	4,5	6,8	15,0	0,3	0,7	1,0
2,3	2,2	4,4	6,5				
2,4	2,1	4,2	6,2	16,0	0,3	0,6	0,9
2,5	2,0	4,0	6,0	18,0	0,3	0,6	0,8
2,6	1,9	3,9	5,8	20,0	0,2	0,5	0,7
2,7	1,8	3,7	5,6	22,0	0,2	0,5	0,7
2,8	1,8	3,6	5,4	24,0	0,2	0,4	0,6
2,9	1,7	3,4	5,2	26,0	0,2	0,4	0,6
				28,0	0,2	0,4	0,5
3,0	1,7	3,3	5,0				
3,2	1,6	3,1	4,7	30,0	0,2	0,3	0,5
3,4	1,5	2,9	4,4	35,0	0,1	0,3	0,4
3,6	1,4	2,8	4,2	40,0	0,1	0,2	0,4
3,8	1,3	2,6	4,0	45,0	0,1	0,2	0,3
4,0	1,3	2,5	3,8				
4,2	1,2	2,4	3,6	50,0	0,1	0,2	0,3
4,4	1,1	2,3	3,4	60,0	0,1	0,2	0,3
4,6	1,1	2,2	3,3	70,0	0,1	0,1	0,2
4,8	1,0	2,1	3,1	80,0	0,1	0,1	0,2
5,0	1,0	2,0	3,0	90,0	0,1	0,1	0,2
5,2	1,0	1,9	2,9				
5,4	0,9	1,9	2,8	100,0	0,1	0,1	0,2
5,6	0,9	1,8	2,7	125,0	0,0	0,1	0,1
5,8	0,9	1,7	2,6				
6,0	0,8	1,7	2,5	150,0	0,0	0,1	0,1
6,2	0,8	1,6	2,4	200,0	0,0	0,1	0,1
6,4	0,8	1,6	2,3	250,0	0,0	0,0	0,1
6,6	0,8	1,5	2,3	300,0	0,0	0,0	0,0
6,8	0,7	1,5	2,2				

A P E N D I C E I

OPTICA DE LA CALIBRACION

Relación entre los ángulos de giro del péndulo y las graduaciones medidas en la escala del anteojo

(Figura 4)

Sea J el eje de giro del péndulo, y R_1J una posición del brazo del mismo, a la que corresponde la $R_1R'_1$ del espejo solidario; si el péndulo gira un ángulo φ sobre su eje, las posiciones del péndulo y del espejo serán, respectivamente, R_2J y $R_2R'_2$. Las normales en el centro del espejo, en ambas posiciones, se cortarán en un punto H ; los triángulos R_1QJ y R_2QH son, evidentemente, semejantes; luego dichas normales se cortarán según el mismo ángulo, φ , girado por el péndulo.

Si en el punto R_1 trazamos una paralela a $R_2R'_2$, dada por R_1r , el ángulo R'_1R_1r será igual al $R_1HR_2 = \varphi$, por tener sus lados perpendiculares.

Siendo φ un ángulo muy pequeño, podemos despreciar el efecto de desplazamiento de los rayos luminosos que se reflejan en el espejo móvil, para tomar en cuenta solamente sus direcciones; a este objeto, el efecto del giro del péndulo R_1R_2 es equivalente al del espejo R'_1r , suponiendo inmóvil el punto R_1 .

Podemos, pués, reemplazar los giros del péndulo por giros de igual magnitud del espejo, respecto a un punto de su zona central, R_1 .

(Figura 5)

Sean T el anteojo, E_1E_2 la escala, R_oR_1 y R_oR_2 dos posiciones del espejo móvil (que equivalen a un giro φ del péndulo), $R'_1R'_2$ el contraespejo fijo al soporte, y E_oR_o la línea de colimación del anteojo.

Consideremos la posición R_oR_1 del espejo móvil: la lectura que efectuaremos entonces en el campo del anteojo, coincidiendo con la imagen directa del retículo, corresponderá a una graduación E_1 tal que el rayo emergente de la escala que a ella corresponde, E_1R_1 , tenga su salida del sistema óptico según el rayo R_oE_o , coincidente con la línea de colimación; la trayectoria de un tal rayo es $E_1R_1R'_1R_oE_o$ (de trazo lleno en la figura).

Consideremos ahora la posición R_oR_2 del espejo móvil, que corres-

ponde a un giro φ del péndulo respecto a la posición anterior: en el campo del anteojo aparecerá ahora sobre el retículo una nueva graduación, E_2, que corresponderá a un rayo de trayectoria $E_2R_2R'_2R_oE_o$ que, como el anterior, tendrá su salida según la línea de colimación del anteojo.

La graduación leída sobre la escala, en milímetros, es por tanto $E_2 - E_1 = \overline{\varphi}$, que corresponde al ángulo φ de giro del péndulo. Vamos a relacionar ambas magnitudes; para ello, estableceremos la condición que han de cumplir los rayos E_1R_1 y E_2R_2, dados por sus ángulos de emergencia de la escala, α_1 y α_2, para que en ambos casos su salida del sistema óptico tenga lugar según el rayo R_oE_o.

Posición R_oR_1

Triángulo $E_1R_1M_1$

$$\left.\begin{aligned} \hat{E}_1 &= \alpha_1 \\ \hat{R}_1 &= \frac{\pi}{2} - i_1 \\ \hat{M}_1 &= \beta_1 \end{aligned}\right\} \quad \alpha_1 + \frac{\pi}{2} - i_1 + \beta_1 = \pi ; \quad i_1 = \alpha_1 + \beta_1 - \frac{\pi}{2}$$

Triángulo $R_1N_1R'_1$

$$\left.\begin{aligned} \hat{R}_1 &= i_1 = \alpha_1 + \beta_1 - \frac{\pi}{2} \\ \hat{N}_1 &= \pi - \gamma_1 \\ \hat{R'}_1 &= i'_1 \end{aligned}\right\} \quad \alpha_1 + \beta_1 - \frac{\pi}{2} + \pi - \gamma_1 + i'_1 = \pi$$

$$i'_1 = \frac{\pi}{2} - \alpha_1 - \beta_1 + \gamma_1 \qquad (I)$$

Triángulo $R_1R'_1R_o$

$$\left.\begin{aligned} \hat{R}_1 &= \frac{\pi}{2} + i_1 = \frac{\pi}{2} + \alpha_1 + \beta_1 - \frac{\pi}{2} = \alpha_1 + \beta_1 \\ \hat{R'}_1 &= 2\, i'_1 = \pi - 2\alpha_1 - 2\beta_1 + 2\gamma_1 \\ \hat{R}_o &= \frac{\pi}{2} - i''_1 \end{aligned}\right\} \quad \text{De donde:}$$

$$\alpha_1 + \beta_1 + \pi - 2\alpha_1 - 2\beta_1 + 2\gamma_1 + \frac{\pi}{2} - i''_1 = \pi$$

$$i''_1 = \frac{\pi}{2} - \alpha_1 - \beta_1 + 2\gamma_1 \qquad (II)$$

Esta última expresión, que liga el ángulo de emergencia de la escala, α_1, con el de salida del sistema óptico, i''_1, puede generalizarse para todos los rayos procedentes de la escala que incidan en el espejo móvil del péndulo dentro del semiplano de la derecha, de los que en la figura determina la recta $R_oR'_o$, perpendicular al contraespejo, pues entonces los triángulos considerados no varían de forma. Para generalizarla por completo, debemos aplicarla al semiplano de la izquierda, lo que haremos por un procedimiento totalmente análogo, utilizando la notación de la figura, donde la construcción (de trazos) se ha referido esta vez a la posición R_oR_2 del espejo móvil, que corresponde a un giro φ del péndulo, respecto a la anterior.

Posición R_oR_2

Triángulo $E_2R_2M_2$

$$\left.\begin{aligned}\widehat{E_2} &= \alpha_2\\ \widehat{R_2} &= \frac{\pi}{2} - i_2\\ \widehat{M_2} &= \beta_2\end{aligned}\right\} \quad \alpha_2 + \frac{\pi}{2} - i_2 + \beta_2 = \pi \;;\; i_2 = \alpha_2 + \beta_2 - \frac{\pi}{2}$$

Triángulo $R_2N_2R'_2$

$$\left.\begin{aligned}\widehat{R_2} &= \pi - i_2 = \pi - \alpha_2 - \beta_2 + \frac{\pi}{2} = \frac{3\pi}{2} - \alpha_2 - \beta_2\\ \widehat{N_2} &= \gamma_2\\ \widehat{R'_2} &= i'_2\end{aligned}\right\} \text{ De donde:}$$

$$\frac{3\pi}{2} - \alpha_2 - \beta_2 + \gamma_2 + i'_2 = \pi \;;\; i'_2 = \alpha_2 + \beta_2 - \gamma_2 - \frac{\pi}{2} \qquad \text{(III)}$$

Triángulo $R_2R'_2R_o$

$$\left.\begin{aligned}\widehat{R_2} &= \frac{\pi}{2} - i_2 = \pi - \alpha_2 - \beta_2\\ \widehat{R'_2} &= 2\,i'_2 = 2\,\alpha_2 + 2\,\beta_2 - 2\,\gamma_2 - \pi\\ \widehat{R_o} &= \frac{\pi}{2} + i''_2\end{aligned}\right\} \text{ De donde:}$$

$$\pi - \alpha_2 - \beta_2 + 2\,\alpha_2 + 2\,\beta_2 - 2\,\gamma_2 - \pi + \frac{\pi}{2} + i''_2 = \pi$$

$$i''_2 = \frac{\pi}{2} - \alpha_2 - \beta_2 + 2\,\gamma_2 \qquad \text{(IV)}$$

Fórmula idéntica a la anterior (II), que la generaliza.

Restando ahora (II) - (IV) tenemos

$$i''_1 - i''_2 = \alpha_2 - \alpha_1 + \beta_2 - \beta_1 + 2\,(\gamma_1 - \gamma_2)$$

Ahora bien: como se comprueba fácilmente en la figura:

$$\left.\begin{aligned}i''_1 - i''_2 &= \varphi\\ \beta_2 - \beta_1 &= -\varphi\\ \gamma_1 - \gamma_2 &= -\varphi\end{aligned}\right\} \text{ De donde: } \alpha_2 - \alpha_1 = \lambda = 4\,\varphi \qquad \text{(V)}$$

Como $E_1E_2 = \overline{\varphi}$, si llamamos D' a la distancia desde el punto V a la escala, tendremos aproximadamente

$$\lambda \cong \frac{\overline{\varphi}}{D'} \qquad \text{(VI)}$$

Y diferenciando con respecto a D' , siendo $\overline{\varphi}$ constante:

$$d\lambda = -\frac{\overline{\varphi}}{D'^2}\,dD'$$

que, para valores de D' del orden de 4 metros, se convierte en

$$d\lambda = - \frac{\bar{\varphi}}{16 \times 10^6} dD'$$

El ángulo λ varía muy poco con la distancia D'; teniendo además en cuenta que el ángulo φ es muy pequeño (la relación entre E_1E_2 y E_oR_o es, en la práctica, del orden de uno a mil), es lícito sustituir en la expresión (VI) la distancia D' por la $D = E_oR_o$, con lo que tendremos

$$\lambda \cong \frac{\bar{\varphi}}{D}$$

Y, teniendo siempre en cuenta la pequeñez de los ángulos que consideramos, se obtiene finalmente, según (V)

$$\varphi \cong \frac{\bar{\varphi}}{4\,D} \qquad \text{(VII)}$$

estando el ángulo φ expresado, naturalmente, en radianes.

Observaremos que en la determinación de este ángulo no interviene la distancia a que se encuentre emplazado el anteojo, sinó solo la que existe entre la escala y el espejo móvil del sismómetro.

Relación entre los ángulos de giro del espejo del galvanómetro y las elongaciones del registro.

(Figura 5)

Consideremos ahora situada en T, en vez del anteojo, la lámpara de iluminación del registrador, y sea R_o el espejo del galvanómetro, y $R'_1R'_2$ la generatriz del tambor que soporta la banda fotográfica.

En la posición R_oR_1 del espejo, el rayo luminoso seguirá la trayectoria $E_oR_oR'_1$, y en la posición R_oR_2 la trayectoria $E_oR_oR'_2$; se trata, pués, de relacionar ahora la distancia $R'_1R'_2 = \bar{\theta}$, medida en milímetros sobre la gráfica, con el correspondiente ángulo de giro del espejo, θ.

En el triángulo $R'_1R_oR'_2$ tenemos aproximadamente

$$i'_1 + i'_2 \cong \frac{R'_2R'_1}{R_oR'_o} = \frac{\bar{\theta}}{a}$$

siendo $\bar{\theta}$ la elongación medida sobre la gráfica, y $a = R_oR'_o$ la distancia entre el espejo del galvanómetro y la generatriz del tambor de registro, o brazo de la palanca óptica del registrador.

De las expresiones (I) y (III) obtenidas anteriormente para i'_1 y i'_2, teniendo presente que, ahora, por ser uno solo el rayo incidente, será $d_1 = d_2$, obtenemos

$$i'_1 + i'_2 = \beta_2 - \beta_1 + \gamma_1 - \gamma_2 = -2\theta$$

y por tanto, atendiendo solo al orden de magnitud

$$\theta \cong \frac{\bar{\theta}}{2\,a} \qquad \text{(VIII)}$$

donde θ representa ahora el giro del espejo del galvanómetro, expresado en radianes.

o—o—o—o

A P E N D I C E I I

NOTAS AL CALCULO

1.- Deducción de la ecuación (14)

Derivando una vez la primera ecuación (13)

$$\dddot{\varphi} + 2\,\ddot{\varphi} + \dot{\varphi} = \frac{1}{\ell}\,\dddot{x} \qquad \text{(I)}$$

Despejando ahora $\dot{\varphi}$ en la segunda ecuación (13), y derivando dos veces la expresión correspondiente

$$\begin{cases} \dot{\varphi} = \dfrac{1}{4\,a\,\sigma_g}\,(\ddot{\bar{\theta}} + 2\,\dot{\bar{\theta}} + \bar{\theta}) \\ \ddot{\varphi} = \dfrac{1}{4\,a\,\sigma_g}\,(\dddot{\bar{\theta}} + 2\,\ddot{\bar{\theta}} + \dot{\bar{\theta}}) \\ \dddot{\varphi} = \dfrac{1}{4\,a\,\sigma_g}\,(\ddddot{\bar{\theta}} + 2\,\dddot{\bar{\theta}} + \ddot{\bar{\theta}}) \end{cases}$$

valores que, sustituídos en (I), dan directamente la ecuación (14).

2.- Deducción de la ecuación (19)

Derivando tres veces (18) con respecto a τ , y sustituyendo el valor de esta tercera derivada en (14), se obtiene

$$\ddddot{\bar{\theta}} + 4\,\dddot{\bar{\theta}} + 6\,\ddot{\bar{\theta}} + 4\,\dot{\bar{\theta}} + \bar{\theta} = \frac{4\,a\,\sigma_g}{\ell}\left(\frac{i}{u}\right)^3 x_m\, e^{i\left(\frac{1}{u}\tau + \psi_x\right)}$$

La solución de esta ecuación, con segundo miembro (omitimos el desarrollo de la integración) es de la forma

$$\bar{\theta} = \bar{\theta}_m\, e^{i\left(\frac{1}{u}\tau + \psi_{\bar{\theta}}\right)}$$

Y sus cuatro primeras derivadas:

$$\begin{cases} \dot{\bar{\theta}} = \left(\frac{1}{u}\right) \bar{\theta}_m \, e^{i\left(\frac{1}{u}\tau + \psi_{\bar{\theta}}\right)} \\ \ddot{\bar{\theta}} = \left(\frac{1}{u}\right)^2 \bar{\theta}_m \, e^{i\left(\frac{1}{u}\tau + \psi_{\bar{\theta}}\right)} \\ \dddot{\bar{\theta}} = \left(\frac{1}{u}\right)^3 \bar{\theta}_m \, e^{i\left(\frac{1}{u}\tau + \psi_{\bar{\theta}}\right)} \\ \ddddot{\bar{\theta}} = \left(\frac{1}{u}\right)^4 \bar{\theta}_m \, e^{i\left(\frac{1}{u}\tau + \psi_{\bar{\theta}}\right)} \end{cases}$$

Valores que, sustituídos en la ecuación anterior, nos proporciona

$$\bar{\theta}_m \, e^{i\left(\frac{1}{u}\tau + \psi_{\bar{\theta}}\right)} \left[\left(\frac{1}{u}\right)^4 + 4\left(\frac{1}{u}\right)^3 + 6\left(\frac{1}{u}\right)^2 + 4\left(\frac{1}{u}\right) + 1\right] =$$

$$= \frac{4\,a\,\sigma_g}{\ell} x_m \, e^{i\left(\frac{1}{u}\tau + \psi_x\right)} \left(\frac{1}{u}\right)^3$$

de donde

$$\frac{\bar{\theta}}{x} = \frac{\bar{\theta}_m}{x_m} e^{i(\psi_{\bar{\theta}} - \psi_x)} = \frac{\frac{4\,a\,\sigma_g}{\ell}}{\frac{i}{u} + 4 + 6\,\frac{u}{i} + 4\,\frac{u^2}{i^2} + \frac{u^3}{i^3}} =$$

$$= \frac{4\,a\,\sigma_g}{\ell} \frac{1}{4\,(1 - u^2) + i\left(\frac{1}{u} - 6\,u + u^3\right)}$$

Y adoptando provisionalmente, para mayor claridad del cálculo, las notaciones

$$\begin{cases} A = 4\,(1 - u^2) \\ B = \frac{1}{u} - 6\,u + u^3 \end{cases} \qquad \text{(II)}$$

tendremos

$$\frac{\bar{\theta}}{x} = \frac{\bar{\theta}_m}{x_m} e^{i(\psi_{\bar{\theta}} - \psi_x)} = \frac{\frac{4\,a\,\sigma_g}{\ell}}{A + iB} = \frac{4\,a\,\sigma_g}{\ell}\left(\frac{A}{A^2 + B^2} - i\,\frac{B}{A^2 + B^2}\right) \qquad \text{(III)}$$

Desarrollando ahora $A^2 + B^2$, según los valores (II), tenemos

$$A^2 + B^2 = \frac{1}{u^2} + 4 + 6\,u^2 + 4\,u^4 + u^6 =$$

$$= \frac{1 + 4\,u^2 + 6\,u^4 + 4\,u^6 + u^8}{u^2} = \frac{(1 + u^2)^4}{u^2}$$

y por lo tanto

$$\begin{cases} \dfrac{A}{A^2+B^2} = \dfrac{4u^2(1-u^2)}{(1+u^2)^4} \\ \dfrac{B}{A^2+B^2} = \dfrac{u(1-6u^2+u^4)}{(1+u^2)^4} \end{cases}$$

con lo que, adoptando ahora la notación (20), al sustituir en (III) se llega inmediatamente a la ecuación (19).

3.- Deducción de la ecuación (21)

El módulo del complejo (19) es evidentemente, según (20)

$$\frac{\overline{\theta}_m}{x_m} = \sqrt{X^2+Y^2} = \frac{4a\sigma_g}{\ell}\sqrt{\frac{16u^4(1-u^2)^2+u^2(1-6u^2+u^4)^2}{(1+u^2)^8}} =$$

$$= \frac{4a\sigma_g}{\ell}\sqrt{\frac{u^2(1+4u^2+6u^4+4u^6+u^8)}{(1+u^2)^8}} = \frac{4a\sigma_g}{\ell}\,\frac{u}{(1+u^2)^2}$$

4.- Deducción de la ecuación (22)

El argumento del complejo (19) es evidentemente

$$\operatorname{tg}\psi = \frac{Y}{X} = -\frac{1-6u^2+u^4}{4u(1-u^2)}$$

Pero puede obtenerse una expresión práctica, partiendo de los valores de $\operatorname{sen}\psi$ y $\cos\psi$; como V es el módulo, tenemos

$$\begin{cases} \operatorname{sen}\psi = \dfrac{Y}{V} = -\dfrac{1-6u^2+u^4}{(1+u^2)^2} \\ \cos\psi = \dfrac{X}{V} = +\dfrac{4u(1-u^2)}{(1+u^2)^2} \end{cases}$$

y de la relación trigonométrica

$$\operatorname{tg}\frac{1}{2}\left(\psi+\frac{\pi}{2}\right) = \frac{1+\operatorname{sen}\psi}{\cos\psi}$$

se obtiene

$$\operatorname{tg}\frac{1}{2}\left(\psi+\frac{\pi}{2}\right) = \frac{2u}{1-u^2}$$

y de aquí directamente (22).

5.- Deducción de la ecuación (23)

El defasaje ψ se traduce en un retardo de la respuesta en acusar los máximos y mínimos del movimiento del suelo; y puesto que la pulsación, ω , de ambos movimientos es la misma, y puede ser considerada en el movimiento armónico como una velocidad angular, el tiempo que corresponde al defasaje ψ será

$$\Delta t = \frac{\psi}{\omega} = \frac{\psi}{2\pi} T = \frac{\psi}{2\pi} u\, T_o$$

y de aquí se obtiene directamente (23).

6.- Deducción de la ecuación (26)

Llamando $f(\varphi)$ al primer miembro de la primera ecuación (25), y haciendo, según el método clásico, $\varphi = e^{\alpha\tau}$, tendremos

$$f(\varphi) = f(e^{\alpha\tau}) = e^{\alpha\tau} F(\alpha) \qquad (IV)$$

donde $F(\alpha)$ es la función característica, de la forma

$$F(\alpha) = \alpha^2 + 2\alpha + 1 \qquad (V)$$

que, igualada a cero, admite la raíz doble $\alpha = -1$; por tanto, derivando (IV) con respecto a α

$$\frac{d\left[f(\alpha)\right]}{d\alpha} = f(\tau e^{\alpha\tau}) = e^{\alpha\tau} \frac{d\left[F(\alpha)\right]}{d\alpha} + \tau e^{\alpha\tau} F(\alpha)$$

Para $\alpha = -1$ se anularán las expresiones (IV) y (V), por anularse $F(\alpha)$ y su primera derivada; se verificará por tanto

$$\begin{cases} f(e^{-\tau}) = 0 \\ f(\tau e^{-\tau}) = 0 \end{cases}$$

Esto nos indica que sustituciones de los tipos

$$\begin{cases} \varphi = C_2 e^{-\tau} \\ \varphi = C_1 \tau e^{-\tau} \end{cases}$$

serán soluciones de la primera ecuación (25), cuya integral general será por consiguiente

$$\varphi = C_1 \tau e^{-\tau} + C_2 e^{-\tau}$$

que es la misma ecuación (26).

7.- Deducción de la ecuación (30)

La integral general de (29), cuyo segundo miembro es una función de τ, será igual a la del primer miembro, considerando nulo el segundo, más una cierta integral particular, z, que satisfaga a la ecuación completa; y como este primer miembro tiene la misma forma que el de la primera ecuación (25), recordando (26), tendremos

$$\bar{\theta} = e^{-\tau} (C_3 \tau + C_4) + z \qquad (VI)$$

Llamando $f(\bar{\theta})$ al primer miembro de (29), y haciendo $\bar{\theta} = e^{\alpha \tau}$, tendremos

$$f(\bar{\theta}) = f(e^{\alpha \tau}) = e^{\alpha \tau} F(\alpha) \qquad (VII)$$

donde $F(\alpha)$ es la misma característica (V), que ya vimos admitía la raíz doble $\alpha = -1$; derivando (VII) cuatro veces con respecto a α

$$\frac{d^4 [f(\alpha)]}{d\alpha^4} = f(\tau^3 e^{\alpha \tau}) = e^{\alpha \tau} \left[\frac{d^3 [F(\alpha)]}{d\alpha^3} + 3\tau \frac{d^2 [F(\alpha)]}{d\alpha^2} + \right.$$

$$\left. + 3\tau^2 \frac{d[F(\alpha)]}{d\alpha} + \tau^3 F(\alpha) \right] \qquad (VIII)$$

Por ser $F(\alpha)$ de segundo grado, según (V), su segunda derivada será 2, y su tercera derivada nula, para todos los valores de α; para $\alpha = -1$ se anularán también $F(\alpha)$ y su primera derivada, con lo que la expresión (VIII) quedará reducida, para este valor de α, a la forma

$$f(\tau^3 e^{-\tau}) = 6 \tau e^{-\tau} \qquad (IX)$$

Lo que nos indica que si en (29) hiciésemos

$$\bar{\theta} = z = C \tau^3 e^{-\tau} \qquad (X)$$

quedaría su primer miembro reducido a

$$f(C \tau^3 e^{-\tau}) = 6 C \tau e^{-\tau}$$

y para que dicha ecuación (29), con segundo miembro, se verifique, deberá ser

$$6 C \tau e^{-\tau} = -4 a \sigma_g \varphi_o \tau e^{-\tau}$$

es decir

$$C = -\frac{2 a \sigma_g \varphi_o}{3}$$

y sustituyendo este valor en (X)

$$z = -\frac{2 a \sigma_g \varphi_o}{3} \tau^3 e^{-\tau}$$

valor que, sustituído en (VI), da directamente (30).

o—o—o—o—o

B I B L I O G R A F I A

J. COULOMB y G. GRENET (1935)

"Nouveaux principes de construction de séismographes électromagnétiques". Annales de Physique, 2e série, t. 3

Mme F. DUCLAUX (1960)

"Séismométrie Théorique". Memorial des Sciences Physiques, fasc. LXIV. Paris

J. P. EATON (1954)

"Theory of the Electromagnetic Seismograph". Bulletin of the Seismological Society of America, 47: 37-75

B. GALITZIN (1914)

"Vorlesungen über Seismometrie". Leipzig, Teubner

A. ROUAUD (1948)

"Sur la determination des constants des séismographes électromagnétiques". Annales de Geophysique, 4, fasc. 2

J. RYBNER (1937)

"The determination of the instrumental constants of the Galitzin seismograph, in presence of reaction". Gerlands Beiträge zur Geophysik, vol. 51

F. W. SOHON, S.J. (1932)

"Introduction to the Theoretical Seismology", Part II: "Seismometry". Saint Louis University

F. WENNER y H. E. McCOMB (1937)

"Le séismomètre Galitzine: Sur les divergences entre la théorie de Galitzine et les résultats expérimentaux d'un séismomètre Wilip-Galitzine". U.G.G.I. Asociation de Séismologie, série A, fasc. 15

o—o—o—o—o

SPANISH SEISMOLOGICAL SURVEY, INSTITUTO GEOGRAFICO Y CATASTRAL, MADRID

"A STUDY OF SEISMICITY ON THE PENINSULA IBERICA AREA"

Project Director: Dr. J. M. Munuera

Technical Note No. 2:

CALIBRATION OF THE GALITZIN TYPE, SHORT PERIOD SEISMOGRAPHS OF THE SPANISH SEISMOLOGICAL SURVEY

by J. Morencos, October - 1963

The research has been sponsored by:

AIR FORCE OFFICE OF SCIENTIFIC RESEARCH, OAR

through the European Office,
Office of Aerospace Research

Contract: AF 61 (052) - 657.

A B S T R A C T

In this paper has been carried out a theoretic and practical study of the method used in the Spanish Seismological Survey for the calibration of the classic Galitzin type, short period, electromagnetic seismographs; supposing the reaction of the galvanometer to be negligible, the transference factor is determined by applying the release test.

Firstly, the general theory of the electromagnetic seismograph without shunt in its electric circuit is briefly developed, in order to apply it next to the classic Galitzin type, and to the initial conditions of the calibration test.

This study is immediately applied to the equipments of this type possessed by the S.S.S., seismographs designed by W. Hiller and constructed in series, for which reason their mechanical characteristics are practically identical, establishing the practical formulae which correspond to them.

The author makes a detailed study of the errors of the method, referring to the ideal equipment the numeric constants of which could be represented by some average values. Supposing that the conditions of Galitzin are rigorously carried out, and taking into account the method, auxiliary equipment and the process of operation employed, deduce during its development, as a consequence of the theory, the practical specifications by which these last have to be governed. Thus is obtained the formula that expresses the probable error of the dynamic magnification, as a function of the period, T, of the waves recorded. The two curves which correspond to the probable higher and lower limits of said magnification are drawn, the intermediate zone of which is denominated "heavy line".

Finally, taking into account the error in measuring T, in order to study its influence on the ground motion amplitude deduced, in performance of the instrumental constants and of its errors already studied, is deduced the corresponding curve of probable error, in percentages, of the dynamic magnification, and therefore of the ground motion amplitude. A corrective table introduces the error made in the measurement of the amplitude on the record.

The probable error curves are drawn as functions of T for several values of the probable error to be expected in measuring T. These curves clearly show that the errors are practically unacceptable for values of T lower than 0.5 sec., and that the best use of the instruments is obtained in the interval $0.5 < T < 1.5$, in which a probable error of less than 10% can be expected in the calculated ground motion amplitude.

.....

S U M M A R Y

	Page
I.- INTRODUCTION	1
II.- MAIN CHARACTERISTICS OF THE INSTRUMENTS	2
II-1.- Electric mounting for calibration	2
II-2.- Optical mounting for calibration	3
III.- CALIBRATION PROCEDURE	3
IV.- THEORY OF THE METHOD	4
IV-1.- Equations of motion of an electromagnetic seismograph, without shunt in the electric circuit.....	4
IV-2.- Application to Galitzin case	7
IV-3.- Application of formulae to the release test	10
IV-4.- Practical formulae	12
V.- ERRORS OF THE METHOD	15
V-1.- Error in the determination of the constant of the excitation coil of the seismometer	16
V-2.- Error in the determination of the transference factor of the galvanometer	18
V-3.- Error in the determination of the magnification factor	19
V-4.- Checking of the error formulae	21
V-5.- Range of applicability of the error formulae	22
VI.- PROBABLE ERROR IN THE DETERMINATION OF THE DYNAMIC MAGNIFICATION	24
VII.- APPLICATIONS: INFLUENCE OF THE ERRORS IN MEASURING THE RECORDED PERIOD AND AMPLITUDE ON THE DEDUCED GROUND MOTION AMPLITUDE	26
VIII.- FINAL CONCLUSIONS	29
APPENDIX 1: Main characteristics of the instruments of the S.S.S. in Iberian Peninsula area	31
APPENDIX 2: Symbols and auxiliary notations	32
APPENDIX 3: Table of corrections	35
BIBLIOGRAPHY	36

o—o—o—O—o—o—o

"A STUDY OF SEISMICITY ON THE PENINSULA IBERICA AREA", TECHNICAL NOTE No. 2

CALIBRATION OF THE GALITZIN TYPE, SHORT PERIOD SEISMOGRAPHS OF THE SPANISH SEISMOLOGICAL SURVEY

I.- INTRODUCTION

The research program undertaken by the Spanish Seismological Survey includes first the study of all local circumstances affecting the recording at each station, such as location, ground conditions and equipment, in order that the records are properly used in the study of seismicity, crustal structure, etc., of the Iberian Peninsula.

Thus we have considered it necessary to make first a general revision of the calibration of the equipment actually operating in the Spanish seismological net, carefully analyzing the methods used and the degree of accuracy to be expected, in order to give adequate weight to the basic observational data.

This is, of course, an important matter since the research plan has already started and it calls for a large amount of data on the ground motion, obtained through instrumental records, which has to be analysed. We attach much importance to establishing realistic criteria about the weight which has to be assigned to these data, for each case, since this is the only way we have now for standardizing the net.

Appendix 1 shows the equipment actually operating in the penninsular stations of the S.S.S.; it can be seen that there are four seismographs Galitzin type, of similar characteristics, in Málaga, Alicante, Almería and Logroño; on the other hand, the Astronomical Observatory of Fabra, Barcelona (not belonging to the S.S.S., but closely cooperating with it) is setting up a new seismograph of the same type and identical equipment, as is already working in Tenerife (Canary Islands) and Moca (Spanish Guinea).

All these instruments -a total of seven- correspond to the design of W. Hiller and were built on a standard basis; hence, their characteristics are practically alike, and they provide very homogeneous data. It is possible, therefore, to arrive at practical conclusions for all of them, starting from average instrumental values. We will have in this way analysed, in one study only,

seven possible sources of instrumental information, and this will be very helpful for the research undertaken.

For these reasons, the present paper refers only to such short period seismographs of Hiller design. Later on we will make similar analysis of the other equipment, completing the study of the Spanish net.

II.- MAIN CHARACTERISTICS OF THE INSTRUMENTS

These instruments have been designed to be set up following the classical Galitzin model. Although, as it is obvious, such installation could be changed, we have adopted it because of the simplicity it provides to the solution of the differential equations of motion; on the other hand, the process of astatization of the pendulums permits only a narrow variability in their periods, just enough for making them agree with the periods of the corresponding galvanometers; the recording unit, in a light-proof autonomous case which includes the galvanometer, would have made us desist from any effort to modify the features of these instruments, because such modification would require important changes, not justified up to now.

The period of pendulums and galvanometers is 1.5 sec., and the magnification, very selective, of 8,000 to 10,000 at its maximum. They are therefore instruments suited mainly for recording near earthquakes, although they also provide good records of the longitudinal phases of distant earthquakes.

The pendulum damping is electromagnetic; the galvanometer damping is obtained by means of a magnetic shunt. Adequate optical devices permit one to observe, independently, the oscillation of each element; if the pendulum is clamped, the oscillation of the galvanometer can be observed visually, in working circuit, while it is also being recorded. The degree of damping can be adjusted in this way.

II-1.- Electric mounting for calibration

The electric circuit does not have shunt, as corresponds to the Galitzin model; the terminals of the seismometer's transducer and those of the galvanometer are simply connected, without any additional damping resistance; the total resistance of the circuit, R, is equal therefor to the internal resistance of the seismometer plus that of the galvanometer.

All seismometers have an independent excitation coil; the currents applied to this coil are set up and controlled by a circuit completely independent of the working circuit, with the object of giving small known pulses to the pendulum.

We have designed two excitation circuits, both with a portable control panel, so that the readings can be made by the same observer who is taking the optical observations.

The first circuit (Figure 1) is useful for giving to the seismometer or the galvanometer, through different circuits, small pulses which do not need

to be measured. It can be applied for measuring periods and in adjusting the dampings.

The second (Figure 2) is a measuring circuit, through which known pulses can be applied to the excitation coil. It has a miliamperimeter of two scales (0-20 mA and 0-5 mA); it is used for obtaining the transference factor.

II-2.- Optical mounting for calibration

On the pendulum arm, very near to the axis, there is a mirror inclined at 45º with respect to the arm; parallel to this and near to it, there is another mirror fixed to the frame. This device permits one to measure the pendulum displacements, with a telescope and a scale attached to it, by triple reflection of the scale on the two mirrors, with the advantage of reducing by half the distance for a good observation. This can be seen by comparison of the formula

$$\varphi = \frac{\bar{\varphi}}{4\,D}$$

relating linear displacements, $\bar{\varphi}$, read on the scale, to the angles, φ , of displacements of the pendulum rod (D is observation distance), with

$$\varphi = \frac{\bar{\varphi}}{2\,D}$$

formula corresponding to the case of simple reflection.

III.- CALIBRATION PROCEDURE

The transference factor is obtained by using the release test method, i.e.: the pendulum rod is displaced to an initial position, φ_o , and released suddenly, recording the response.

The displacement of the pendulum rod to this initial position is obtained by sending a known current, I_o, to the excitation coil through the auxiliary circuit of Figure 2. For calculating the transference factor, this initial angle, φ_o , must be known and also the amplitude, $\bar{\theta}_m$, of the galvanometer response on the record, when the pendulum returns, freely, to its natural equilibrium position.

However, if we have to record such galvanometer response, the initial angle φ_o must be very small, since otherwise -with a magnification of 8,000 to 10,000- the image will be partly out of the record, 30 cm. wide. Although such an angle could be measured directly by means of the optical device, a large observation distance will be necessary to obtain the reading with an acceptable relative error.

Therefore, we replace the direct measurement of the angle φ_o by the measurement of the current I_o. Then we must calculate first the excitation coil constant, c, which -between certain limits- defines the proportionality of current through the coil, in miliamperes, and pendulum displacement, in radians.

We chose firstly a current, I, so that the apparent linear displacement on the scale is close to 5 mm; the constant c will be given by the relation

$$c = \frac{\varphi}{I} \cong \frac{\overline{\varphi}}{4DI} \qquad (1)$$

With the seismograph in recording conditions, we give afterwards pulses, using currents $I_o < I$, which will produce displacements of about 120 mm on the record. The angle φ_o can then be computed from the relation

$$\varphi_o = c\, I_o \qquad (2)$$

Figure 3 shows graphically the response of pendulum and galvanometer when the first is released from a initial angle, $\varphi_o = 12 \times 10^{-5}$ radians. The curves represent the variation laws of the angles of pendulum, φ , and galvanometer, θ , with $\tau = \omega_o t$ (ω_o is the angular frequency of both) and t; the angles θ or $\varphi \times 10^2$, in radians, are given on the ordinate axis.

IV.- THEORY OF THE METHOD

IV-1.- Equations of motion of an electromagnetic seismograph, without shunt in the electric circuit

We will summarize here, briefly, the method of obtaining the equations of motion, in order to give the terminology to be used in future works.

The bibliographic note contains the papers from which we have taken the ideas; such papers will not be quoted in the text for brevity. Regarding terminology, we have taken most of it from the works of Wenner, Eaton, Duclaux, etc., which are obtaining almost universal acceptance; we have introduced a few abbreviations, such as those related with the derivation with respect to τ , or with the apparent linear displacements of pendulum and galvanometer, in order to facilitate the understanding of the formulæ.

All symbols used are quoted in Appendix 2.

.....

The motion of pendulum and galvanometer, considered independently, when they are not forced by any mechanical or electromagnetical external force, is governed by the well known equations

$$\begin{aligned} K\frac{d^2\varphi}{dt^2} + D\frac{d\varphi}{dt} + U\varphi &= 0 \qquad \text{for the pendulum} \\ k\frac{d^2\theta}{dt^2} + d\frac{d\theta}{dt} + u\theta &= 0 \qquad \text{for the galvanometer} \end{aligned} \qquad (3)$$

If we connect the transducer of both through a simple circuit, without shunt, of resistance R, the two elements, pendulum and galvanometer, form an electrodynamic system, the motions of which are defined by the system of equations

$$\begin{cases} K\dfrac{d^2\varphi}{dt^2} + D\dfrac{d\varphi}{dt} + U\varphi = -Gi \\ k\dfrac{d^2\theta}{dt^2} + d\dfrac{d\theta}{dt} + u\theta = gi \end{cases} \tag{4}$$

where G, g represents the electrodynamic constants of the seismometer and galvanometer, respectively, and i the current in the circuit due to the opposed e.m.f. that the movement of pendulum and galvanometer induce on the transducers; such e.m.f. are proportional to the respective velocities of flux variation in the coils and, therefore, in our case, to the corresponding angular velocities. Hence

$$i = \frac{G}{R}\frac{d\varphi}{dt} - \frac{g}{R}\frac{d\theta}{dt}$$

and substituting in (4)

$$\begin{cases} K\dfrac{d^2\varphi}{dt^2} + (D + \dfrac{G^2}{R})\dfrac{d\varphi}{dt} + U\varphi = K\dfrac{d^2\varphi}{dt^2} + \Delta\dfrac{d\varphi}{dt} + U\varphi = \dfrac{Gg}{R}\dfrac{d\theta}{dt} \\ k\dfrac{d^2\theta}{dt^2} + (d + \dfrac{g^2}{R})\dfrac{d\theta}{dt} + u\theta = k\dfrac{d^2\theta}{dt^2} + \delta\dfrac{d\theta}{dt} + u\theta = \dfrac{Gg}{R}\dfrac{d\varphi}{dt} \end{cases} \tag{5}$$

In this system, D and d are the damping constants of pendulum and galvanometer in open circuit, and G^2/R, g^2/R the additional damping constants due to the resistance of the electric circuit; consequently, Δ and δ are the constants corresponding to the working circuit.

The right hand members of each equation represent the effect produced on each element by the motion of the other.

Dividing by K and k, respectively, equations (5) and writing

$$\begin{cases} \dfrac{U}{K} = \Omega_o^2 & \dfrac{u}{k} = \omega_o^2 \\ \dfrac{D}{K} = 2\beta_o\sqrt{\dfrac{U}{K}} & \dfrac{d}{k} = 2\alpha_o\sqrt{\dfrac{u}{k}} \\ \dfrac{G^2}{RK} = 2\beta_1\sqrt{\dfrac{U}{K}} & \dfrac{g^2}{Rk} = 2\alpha_1\sqrt{\dfrac{u}{k}} \\ \beta = \beta_o + \beta_1 & \alpha = \alpha_o + \alpha_1 \\ \dfrac{Gg}{RK} = 2\beta\Omega_o\sigma_s & \dfrac{Gg}{Rk} = 2\alpha\omega_o\sigma_g \end{cases} \tag{6}$$

we obtain

$$\begin{cases} \dfrac{d^2\varphi}{dt^2} + 2\beta\Omega_o \dfrac{d\varphi}{dt} + \Omega_o^2 \varphi = 2\beta\Omega_o \sigma_s \dfrac{d\theta}{dt} \\ \dfrac{d^2\theta}{dt^2} + 2\alpha\omega_o \dfrac{d\theta}{dt} + \omega_o^2 \theta = 2\alpha\omega_o \sigma_g \dfrac{d\varphi}{dt} \end{cases} \tag{7}$$

where β and α are the damping, in working circuit, of pendulum and galvanometer, Ω_o and ω_o the respective angular frequencies, and σ_s and σ_g the transference factors, according to Eaton, which give an expression of the interaction between both motions.

Making the change of variable

$$\tau = t\sqrt{\Omega_o \omega_o} \tag{8}$$

we obtain, after dividing through equations (7) by $\Omega_o \omega_o$ and writing

$$\rho = \sqrt{\frac{\Omega_o}{\omega_o}} \tag{9}$$

the following system (*)

$$\begin{cases} \ddot{\varphi} + 2\beta\rho\dot{\varphi} + \rho^2\varphi = 2\beta\rho\sigma_s\dot{\theta} \\ \ddot{\theta} + 2\alpha\dfrac{1}{\rho}\dot{\theta} + \dfrac{1}{\rho^2}\theta = 2\alpha\dfrac{1}{\rho}\sigma_g\dot{\varphi} \end{cases} \tag{10}$$

This is the system of equations defining the motion of an electromagnetic seismograph, without electric shunt, not forced by any external excitation.

.....

Let us assume now that the ground, which is taken as the reference system, is affected by a movement defined by the function

$$x = f(t)$$

in the direction to which the seismometer is sensitive. An inertial force will act on the moving mass, opposing the motion, of moment

$$-\,M\,L\,\frac{d^2x}{dt^2}$$

which can be assumed to apply on the center of gravity. This torque must be added in the pendulum equation (3); considering the transformations made for

---

(*).- We adopt dots for expressing derivatives of the dependents variables with respect to τ, in order to distinguish in an easy way such derivatives of those with respect to t.

obtaining the corresponding equation of system (10), it is easily seen that the term

$$+ \frac{M L}{K} \ddot{x}$$

must be added to equation of the pendulum (10); this may be called "excitation term". Making now

$$\frac{M L}{K} = \frac{1}{\ell}$$

the system takes the form

$$\begin{cases} \ddot{\varphi} + 2\beta\rho\dot{\varphi} + \rho^2\varphi = 2\beta\rho\sigma_s\dot{\theta} + \frac{1}{\ell}\ddot{x} \\ \ddot{\theta} + 2\alpha\frac{1}{\rho}\dot{\theta} + \frac{1}{\rho^2}\theta = 2\alpha\frac{1}{\rho}\sigma_g\dot{\varphi} \end{cases} \tag{11}$$

System (11) defines, therefore, the motion of an electromagnetic seismograph, without shunt, when the pendulum frame is forced to move according to the law $x = f(t)$.

IV-2.- Application to Galitzin case

This is based on the three following fundamental hypothesis:

a) In open circuit and without damping, the periods of pendulum and galvanometer are identical.

(Therefore, the angular frequencies are also equal, and $\rho = 1$).

b) In working conditions, both, pendulum and galvanometer, are critically damped.

(Consequently, $\beta = \alpha = 1$).

c) The galvanometer reaction on the seismometer can be neglected.
(Hence, $\sigma_s = 0$).

Accepting these hypothesis, equations (11) take the simple form

$$\begin{cases} \ddot{\varphi} + 2\dot{\varphi} + \varphi = \frac{1}{\ell}\ddot{x} \\ \ddot{\theta} + 2\dot{\theta} + \theta = 2\sigma_g\dot{\varphi} \end{cases} \tag{12}$$

Denoting by a the optical lever arm between the galvanometer mirror and the generatrix of the recording drum (a parameter influencing the magnification) and taking the deviation, $\bar{\theta}$, of the light spot on the drum as dependent variable in the second equation, we obtain, according to formula

$$\theta = \frac{\bar{\theta}}{2a}$$

system (12) changes then to

$$\begin{cases} \ddot{\varphi} + 2\dot{\varphi} + \varphi = \frac{1}{\ell}\ddot{x} \\ \ddot{\bar{\theta}} + 2\dot{\bar{\theta}} + \bar{\theta} = 4\,a\,\sigma_g\,\dot{\varphi} \end{cases} \tag{13}$$

stating the relation between ground motion, x, and deviation on the record, $\bar{\theta}$, by means of the angles φ. It appears immediately that, by elimination of this last unknown, we may obtain an equation relating the ground displacements with the final response on the record, which is the goal of our theory.

The elimination of the variable φ is straight forward, and it is also possible to integrate the resulting equation, of degree 4. We will only indicate here that, in our particular case, the equation becomes

$$\dddot{\bar{\theta}} + 4\ddot{\bar{\theta}} + 6\dot{\bar{\theta}} + 4\bar{\theta} + \bar{\theta} = \frac{4\,a\,\sigma_g}{\ell}\dddot{x} \tag{14}$$

Let us assume the ground motion to be harmonic

$$x = x_m\, e^{i(\omega t + \psi_x)} \tag{15}$$

Introducing the change of variable (8), which in our case is

$$\tau = \omega_o\, t \tag{16}$$

and writing

$$u = \frac{\omega_o}{\omega} = \frac{T}{T_o} \tag{17}$$

where ω and T are ground angular frequency and period, respectively, (15) takes the form

$$x = x_m\, e^{i(\frac{1}{u}\tau + \psi_x)} \tag{18}$$

By substituting in equation (14) and integrating, we obtain

$$\frac{\bar{\theta}}{x} = \frac{\bar{\theta}_m}{x_m}\, e^{i(\psi_{\bar{\theta}} - \psi_x)} = X + iY \tag{19}$$

Being

$$\begin{cases} X = +\dfrac{4\,a\,\sigma_g}{\ell}\,\dfrac{4\,u^2\,(1-u^2)}{(1+u^2)^4} \\ Y = -\dfrac{4\,a\,\sigma_g}{\ell}\,\dfrac{u\,(1-6\,u^2+u^4)}{(1+u^2)^4} \end{cases} \tag{20}$$

Equation (19) shows that the variable τ does not appear in the exponent of the number e; therefore, the response of the seismograph must have the sa-

me angular frequency as the ground motion, and the corresponding periods being therefore also equal. This equation represents the ratio of the two complex numbers representative of the motion of the light spot on the record and the ground; the modulus of such ratio is, therefore, the ratio of the corresponding maximum deviations, i.e., the dynamic magnification:

$$V = \frac{\bar{\theta}_m}{x_m} = \frac{4\, a\, \sigma_g}{\ell} \frac{u}{(1+u^2)^2} \qquad (21)$$

In the same way, the argument of such ratio is the difference between the arguments of both complex numbers, i.e., the phase lag:

$$\psi = \psi_{\bar{\theta}} - \psi_x = 2 \text{ arc tg } \frac{2u}{1-u^2} - \frac{\pi}{2} \qquad (22)$$

between the motions. That represents also a time lag between the maximum deviations:

$$t_{\bar{\theta}} - t_x = \Delta t = u\, T_o \left[\frac{\text{arc tg } \frac{2u}{1-u^2}}{\pi} - \frac{1}{4} \right] \qquad (23)$$

These formulae define completely the relation of both movements.

.....

According to what has been said, equation (14) solves the problem of obtaining the response of the seismograph to a motion, $x = f(t)$, of the ground. And, for a harmonic ground motion, equation (19) -and (21), (22) deduced from it- provide all necessary elements for the computation of the response.

The only instrumental parameters appearing explicitely in these equations are a, ℓ, σ_g; the seismograph period, T_o, appears also implicitely in the independent variable, $\tau = \omega_o t$, and in the auxiliary variable $u = T/T_o$.

Regarding this variable u, its value will be known in every case, since the period of the ground motion is equal to that of the seismograph response, and this can be measured on the record. The function $x = f(t)$ must naturally be known.

The parameters a, ℓ, T_o are intrinsic constants of the seismograph, which can be measured directly. The value of a for the instruments studied in the present paper is given by the manufacturer (a = 1,400 mm) because the galvanometer and the whole optical system are fixed to the frame of the recording drum. The value of the reduced length was obtained, for each instrument, at the time of their installation as a function of the natural period of the pendulums, T_n, i.e. the period of oscillation when the axis is brought

to a horizontal position (possible in this type of seismometers) and they swing free of any mechanical or electromagnetic action, except gravity; the reduced length is then given as the length of the simple pendulum of equal period, by the formula

$$\ell = \frac{g}{4\pi^2} T_n^2 \tag{24}$$

where g is now the acceleration of gravity. The approximate mean reduced length for the instruments already installed is $\ell = 170$ mm.

The seismograph period T_o is obtained by adjusting the astatic period of the pendulum to the natural period of the galvanometer, t_o, which is 1.5 sec., approximately, for all instruments.

Then, only the transference factor, σ_g , is left to be obtained, in order to be able to apply the formulæ deduced in precedent paragraphs. The release test is useful for obtaining such factor.

IV-3.- Application of formulæ to the release test

If we assume the excitation term to be null in equations (13), the system becomes

$$\begin{cases} \ddot{\varphi} + 2\dot{\varphi} + \varphi = 0 \\ \ddot{\bar{\theta}} + 2\dot{\bar{\theta}} + \bar{\theta} = 4 a \sigma_g \dot{\varphi} \end{cases} \tag{25}$$

The general integral of the first equation is immediately obtained by the classical method, and has the form

$$\varphi = e^{-\tau}(C_1 \tau + C_2) \tag{26}$$

The calibration test requires the arbitrary constants C_1 and C_2 to fulfil the conditions

$$\text{If } \tau = 0 \begin{cases} \varphi = \varphi_o \\ \dot{\varphi} = 0 \end{cases}$$

i.e., the motion starts from an angle, φ_o , with zero velocity.

From (26) and its first derivative

$$\dot{\varphi} = -e^{-\tau}(C_1 \tau - C_1 + C_2) \tag{27}$$

and hence

$$C_1 = C_2 = \varphi_o$$

The integral (26), taking into account the initial conditions, is therefore

$$\varphi = \varphi_o \; e^{-\tau}(\tau + 1) \tag{28}$$

Substituting the first derivative of this equation in the second equation (25), we obtain

$$\ddot{\bar{\theta}} + 2\,\dot{\bar{\theta}} + \bar{\theta} = -\,4\,a\,\sigma_g\,\varphi_o\,e^{-\tau}\tau \tag{29}$$

The general integral of this equation has the form

$$\bar{\theta} = e^{-\tau}\left[-\frac{2\,a\,\sigma_g\,\varphi_o}{3}\,\tau^3 + C_3\,\tau + C_4\right] \tag{30}$$

where C_3 and C_4 must fulfil the initial conditions

$$\text{If} \quad \tau = 0 \begin{cases} \bar{\theta} = 0 \\ \dot{\bar{\theta}} = 0 \end{cases}$$

Taking $\tau = 0$ in (30) and its first derivative, we obtain immediately

$$C_3 = C_4 = 0$$

Therefore, the system of equations corresponding to the conditions of the calibration test becomes

$$\begin{cases} \varphi = \varphi_o \; e^{-\tau}(\tau + 1) \\ \bar{\theta} = \dfrac{2}{3}\,a\,\sigma_g\,\varphi_o\,\tau^3\,e^{-\tau} \end{cases} \tag{31}$$

where the negative sign has been dropped, because it has no meaning in our case.

This system of equations relates any instantaneous position of the pendulum with the corresponding simultaneous deviation of the record response, for any given particular time, $\tau = \omega_o\,t$, will take the correlative values in equations (31). This procedure, although possible, will be much more tiresome and erroneous than just to compare the maximum values of both functions, φ_o and $\bar{\theta}_m$, because the measurement of such values can be made without taking into account the time variable.

Equating to zero the first derivative of second equation (31), we obtain immediately

$$\begin{cases} \tau_m = 3 \\ \bar{\theta}_m = \dfrac{18}{e^3}\, a\, \sigma_g\, \varphi_o \end{cases}$$

and from here the Eaton transference factor

$$\sigma_g = \frac{e^3}{18a}\,\frac{\bar{\theta}_m}{\varphi_o} \tag{32}$$

As φ_o is given practically by the product $c\, I_o$, according to (2)

$$\sigma_g = \frac{e^3}{18a}\,\frac{\bar{\theta}_m}{c I_o} \tag{33}$$

Galitzin and some other authors call transference or coupling factor the product

$$\mathcal{K} = 2\, \omega_o\, \sigma_g \tag{34}$$

and from (33) and $\omega_o = 2\pi/T_o$, we obtain

$$2\,\omega_o\,\sigma_g = \mathcal{K} = \frac{2\, e^3\, \pi\, \bar{\theta}_m}{9\, a\, T_o\, c\, I_o} \tag{35}$$

.....

IV-4.- Practical formulae

It is very convenient to work out some of the theoretical formulae deduced in precedent paragraphs, in order to write them in practical form ready for immediate application to the computations. Such practical formulae, given below, are analyzed in the following paragraph.

1) Reduced pendulum length (24)

Taking $g = 9{,}810$ mm $\times$ sec^{-2} as the value of the acceleration of gravity

$$\ell = 248.49\, T_n^2 \tag{36}$$

2) Excitation coil constant (1)

If this constant is given in radians $\times$ mA^{-1}, its numerical value will be too small; therefore we will multiply such value by 10^7, writing

$$C = c\, 10^7 = 25 \times 10^5\, \frac{\bar{\varphi}}{D\, I} \tag{37}$$

3) Transference factor (33), (35)

Taking a = 1,400, we obtain, according to (33)

$$\sigma_g = \frac{e^3\, 10^7}{18\, a}\ \frac{\bar{\theta}_m}{C\, I_o} = 7{,}970\ \frac{\bar{\theta}_m}{C\, I_o} \tag{38}$$

or, using Galitzin factor, instead of Eaton's

$$\mathcal{K} = \frac{2 \times 10^7\, e^3\, \pi}{9\, a\, T_o}\ \frac{\bar{\theta}_m}{C\, I_o} = 66{,}773\ \frac{\bar{\theta}_m}{C\, I_o} \tag{39}$$

4) Dynamic magnification (21)

Taking a = 1,400

$$V = 5{,}600\ \frac{\sigma_g}{\ell}\ \frac{u}{(1+u^2)^2} \tag{40}$$

or using Galitzin transference factor (34)

$$V = \frac{a\mathcal{K}}{\pi \ell}\ T_o\ \frac{u}{(1+u^2)^2} = \frac{a\mathcal{K}}{\pi \ell}\ \frac{T}{\left[1 + \left(\frac{T}{T_o}\right)^2\right]^2} \tag{41}$$

In practice we have adopted the notations

$$\begin{cases} E = \dfrac{a\mathcal{K}}{\pi \ell} \\ U_T = \dfrac{T}{\left[1 + \left(\frac{T}{T_o}\right)^2\right]^2} \end{cases} \tag{42}$$

and called E "magnification factor"; hence

$$V = E \cdot U_T \tag{43}$$

5) Ground motion amplitude (21), (43)

From (21), we recall that $V = \bar{\theta}_m / x_m$; substituting in (43) and writing x_m in microns and $\bar{\theta}_m$ in milimeters

$$(x_m)_\mu = \frac{1{,}000}{V} \; (\bar{\theta}_m)_{mm} \tag{44}$$

6) Maximum magnification (21).

In order to get the maximum value of V, we take the derivative with respect to u of (21) and equate to zero, obtaining

$$\frac{d}{du}\left[\frac{u}{(1+u^2)^2}\right] = \frac{1}{(1+u^2)^2} - \frac{u}{(1+u^2)^4}\, 2\,(1+u^2)\, 2\,u = \frac{1-3u^2}{(1+u^2)^3} = 0$$

Hence

$$\begin{cases} u_m = \dfrac{1}{\sqrt{3}} \\ \left[\dfrac{u}{(1+u^2)^2}\right]_m = \dfrac{9}{16\sqrt{3}} \end{cases} \tag{45}$$

Substituting now in (21), for a = 1,400

$$V_m = 1{,}818.654 \; \frac{\sigma_g}{\ell} \tag{46}$$

or, using the magnification factor E, and for $T_o = 1.5$

$$V_m = 0.4871\, E \tag{47}$$

o..o..o..o

V.- ERRORS OF THE METHOD

Taking into consideration the circumstances in which the measurements are made, and the practical formulæ of paragraph IV, we will try now to establish a criterion regarding the accuracy of the final data of ground motion that can be expected from the instruments, the auxiliary equipment and the method.

Simultaneously, this study will provide us with a better understanding of the operational procedure and of the accuracy we must seek for in every step of such procedure.

We start with the value of the quadratic mean error of each one of the direct measurements, obtained in a series of independent observations made previously (Alicante, May 1963).

Calling N the measured element, we applied, for each component, the formula of the mean error

$$\varepsilon(N) = \sqrt{\frac{[\Delta'(N)^2]}{19}} \tag{48}$$

Combining the three components by means of the formula

$$\varepsilon_c(N) = \sqrt{\frac{\varepsilon_Z(N)^2 + \varepsilon_{N-S}(N)^2 + \varepsilon_{E-W}(N)^2}{3}} \tag{49}$$

we obtained the values

$$\begin{cases} \varepsilon_c(\bar{\varphi}) = 0.1 \text{ mm} \\ \varepsilon_c(I) = \varepsilon_c(I_o) = 0.05 \text{ mA} \\ \varepsilon_c(\bar{\theta}_m) = 0.5 \text{ mm} \end{cases} \tag{50}$$

As with regard to the distance D, the influence of its error is so small that we have preferred to fix a limit

$$\varepsilon_c(D) = 10 \text{ mm}$$

which is surely larger than the actual value in any case.

For the instrumental constants, very similar in all instruments, we have taken the following averages

$$\begin{cases} T_o = 1.5 \text{ sec.} \\ a = 1{,}400 \text{ mm} \\ \ell = 170 \text{ mm} \end{cases} \qquad \begin{cases} C = 300 \\ \mathcal{K} = 6{,}700 \\ E = 17{,}550 \end{cases} \tag{51}$$

We have assumed throughout the study that the three Galitzin conditions are strictly fulfilled, and no discussion is made of the errors introduced by departures from such conditions.

V-1.- Error in the determination of C

The constant C is given by the practical formula (37)

$$C = 25 \times 10^5 \frac{\bar{\varphi}}{DI}$$

The absolute error of C will be equivalent to the total differential of this formula

$$dC = 25 \times 10^5 \left[\frac{1}{DI} d\bar{\varphi} - \frac{\bar{\varphi}}{DI^2} dI - \frac{\bar{\varphi}}{D^2 I} dD \right] \tag{52}$$

And approximately, considering the experimental average value C = 300, from (37)

$$\bar{\varphi} = 12 \times 10^{-5} D I$$

and, finally

$$dC \cong \frac{25 \times 10^5}{D I} d\bar{\varphi} - \frac{300}{I} dI - \frac{300}{D} dD \tag{53}$$

Assuming that $d\bar{\varphi}$, dI, dD express the mean quadratic errors, $\varepsilon_c(\bar{\varphi})$, $\varepsilon_c(I)$, $\varepsilon_c(D)$, in the measurements of $\bar{\varphi}$, I and D, mutually independent, the mean quadratic error of C will be given by

$$\varepsilon_c(C) = \sqrt{\left[\frac{25 \times 10^5}{D I} \varepsilon_c(\bar{\varphi})\right]^2 + \left[\frac{300}{I} \varepsilon_c(I)\right]^2 + \left[\frac{300}{D} \varepsilon_c(D)\right]^2} \tag{54}$$

In order to judge the influence of each error in practice, let us take a numerical example with the normal values I = 15 and D = 4,000. Then,

$$\varepsilon_c(C) = \sqrt{1{,}736 \left[\varepsilon_c(\bar{\varphi})\right]^2 + 400 \left[\varepsilon_c(I)\right]^2 + 0.005 \left[\varepsilon_c(D)\right]^2}$$

We see immediately that the error in $\bar{\varphi}$ is of much larger influence than the error in I; on the other hand, the influence of $\varepsilon_c(D)$ is almost negligible. Substituting now the numerical values (50)

$$\varepsilon_c(C) = \sqrt{17.4 + 1.0 + 0.5}$$

an expression that gives a clear idea about the influence of each error in the normal case.

As a consequence of this discussion we may say:

a) It is of the outmost importance to measure $\bar{\varphi}$ with the best possible accuracy; hence, we must take advantage of the maximum magnification of the telescope, placing its objetive as near as possible to the seismometer mirror, because this distance is independent of the measurement.

b) It is of no use to measure I with great accuracy, since the error in $\bar{\varphi}$ is of much more importance in the total error. This consequence gives a clue about the miliamperimeter to be employed: it is enough to use a meter reaching an accuracy of one tenth of a miliampere.

c) The distance D between scale and seismometer mirror can be measured with a rod and it is enough to read the centimeter.

Formula (54) is the theoretical expression of the mean error of C, when the optical system of triple reflection is used for measuring $\bar{\varphi}$, and if C is sufficiently close to 300, as in the real case.

Substituting in (54) the numerical values (50), we obtain the following practical formula

$$\varepsilon_c(C) = \frac{5 \times 10^4}{DI} \sqrt{25 + \frac{9\ D^2}{10^8} + \frac{36\ I^2}{10^4}} \qquad (55)$$

Graph 1 shows graphically this formula in the usual ranges of measurement ($5{,}000 \geqslant D \geqslant 3{,}000$; $25 \geqslant I \geqslant 5$). It is seen that the error reduces more rapidly when increasing I than when increasing D. The graph suggests the following considerations:

d) It is important to use the maximum allowed current. But the value of such current is limited by the following circumstances:

- It is clear that C should not be measured in conditions very dissimilar to those in which the seismometer is normally working; the proporcionality expressed by C between pendulum deviations and excitation current is valid only for very small angles.

- Large currents could produce too wide oscillations of the pendulum, disturbing, probably, its equilibrium conditions.

Therefore, a value of I between 15 and 20 mA seems to be most adequate.

e) The error also decreases when increasing the distance D, but there is one operational circumstance bounding the practical value of D: the telescope must provide an image of the scale sufficiently clear and magnified, in order to read the tenth of the milimeter (condition a). The convenience of approximating the telescope to the seismometer mirror (explained in a) is compatible with the advantage of separating the scale from the mirror (increase D), since telescope and scale need not move together, and the distance to the telescope does not appear in the formulæ.

Therefore, summarizing the recomendations given in a) and e), the scale

must be separated from the seismometer, setting it on a special frame, and the telescope must be placed close to the seismometer mirror. A very good combination is to place the scale at a distance D = 4 meters and the objetive of the telescope at only 1 meter from the seismometer.

V-2.- Error in the determination of $\mathcal{K}$

In order to keep to previous standards, we have adopted the Galitzin transference factor in the practical computations, given by (39)

$$\mathcal{K} = 66{,}773 \frac{\bar{\theta}_m}{C\, I_o}$$

We must note first that the application to this case of the differential calculus is not absolutely correct, since the errors have considerable values in relation to the quantities to which they are compared. The differential formula is, therefore, only approximative; but it is sufficient for our purpose, as we shall explain later.

This warning given, let us assume that the absolute error of $\mathcal{K}$ is given by the total differential of (39)

$$d\mathcal{K} \cong 66{,}773 \left[\frac{1}{CI} d\bar{\theta}_m - \frac{\bar{\theta}_m}{CI_o^2} dI_o - \frac{\bar{\theta}_m}{C^2 I_o} dC \right] \qquad (56)$$

Taking into account the values (51), we have approximately

$$\mathcal{K}\, C \cong 201 \times 10^4$$

and from (39)

$$\frac{\bar{\theta}_m}{I_o} \cong 30$$

Substituting this value and that of C = 300 in the differential expression

$$d\mathcal{K} \cong \frac{223}{I_o} d\bar{\theta}_m - \frac{6{,}677}{I_o} dI_o - 22\, dC \qquad (57)$$

and the quadratic mean error of $\mathcal{K}$ will be given by

$$\varepsilon_c(\mathcal{K}) = \sqrt{\left[\frac{223}{I_o}\, \varepsilon_c(\bar{\theta}_m)\right]^2 + \left[\frac{6{,}677}{I_o}\, \varepsilon_c(I_o)\right]^2 + \left[22\, \varepsilon_c(C)\right]^2} \qquad (58)$$

where $\varepsilon_c(\bar{\theta}_m)$, $\varepsilon_c(I_o)$, $\varepsilon_c(C)$ are the mean errors of $\bar{\theta}_m$, I_o and C, respectively.

As in the previous paragraph, let us take a numerical example, in order to judge the influence of each error: assuming the normal value $I_o = 4$

$$\varepsilon_c(\mathcal{K}) = \sqrt{3{,}108 \left[\varepsilon_c(\bar{\theta}_m)\right]^2 + 2{,}786{,}396 \left[\varepsilon_c(I_o)\right]^2 + 484 \left[\varepsilon_c(C)\right]^2}$$

This expression shows the importance of the term $\varepsilon_c(I_o)$; substituting

$\varepsilon_c(\bar{\theta}_m)$ and $\varepsilon_c(I_o)$ by the values given in (50) and taking $\varepsilon_c(C) = 4.3$ (obtained from formula (55) or graph 1, for the normal values $I_o = 15$ and $D = 4{,}000$), we will have

$$\varepsilon_c(\mathcal{K}) = \sqrt{777 + 6{,}966 + 8{,}950}$$

which gives a clear idea of the influence of each error, since the terms under the square root express the errors due to $\varepsilon_c(\bar{\theta}_m)$, $\varepsilon_c(I_o)$ and $\varepsilon_c(C)$, respectively, in the normal case.

Consequently, we must note:

f) It is neccesary to reduce the value of the error $\varepsilon_c(C)$; as such reduction is not possible in the circumstances of the measurement, it is necessary to make various series of measurements. (In the example given above, for ten measurements, we will have $\varepsilon_c(C) = 4.3/\sqrt{10} = 1.4$, and the third term under the square root will decrease to 949).

g) I_o must be measured with great accuracy. The considerations made in paragraph b) are valid.

If we substitute the values (50) in (58), we arrive, after some computation, to practical formula

$$\varepsilon_c(\mathcal{K}) = 22 \sqrt{\frac{256}{I_o^2} + \left[\varepsilon_c(C)\right]^2} \qquad (59)$$

This formula is shown graphically in graph 2 for the values $5 \geqslant I_o \geqslant 1$. $\varepsilon_c(C)$ takes the values corresponding to the pair of values D, I (according to formula (55) or graph 1), in the range written below that formula.

The following conclusions can be drawn from this graph:

h) It is convenient, theoretically, to operate with large currents I_o; however, this is limited in practice by the convenience of recording on a paper 30 cm. wide the galvanometer oscillation in both ways, when the polarity of the excitation circuit is changed; Centering accurately the light spot on the record, and remembering the approximate relation previously established, $\bar{\theta}_m/I_o \cong 30$, we may deduce that the maximum possible value of I_o is 5 mA, if we intend to record the oscillation from end to end.

In practice, we should not work with more than 4 mA. On the other hand, graph 2 shows that the advantage of large values of I_o decreases rapidly, in particular if $\varepsilon_c(C)$ is fairly large.

V-3.- Error in the determination of E

The magnification factor, E, is given by formula (42), which, for a = 1,400, takes the practical form

$$E = 445.634 \frac{\mathcal{K}}{\ell} \qquad (60)$$

Hence, the absolute error of E will be given by the total differential

$$dE = \frac{445.634}{\ell^2} (\ell \, d\mathcal{K} - \mathcal{K} \, d\ell) \qquad (61)$$

and approximately, taking into consideration the values (51)

$$dE \cong 2.6 \, d\mathcal{K} - 103 \, d\ell \qquad (62)$$

where the magnitude of $d\ell$ must be discussed.

This error, $d\ell$, although an accidental error depending upon the measurement of the natural period, T_n, of the pendulum, once the value of ℓ has been established at the time of installation of the instruments, will act in later determinations as a sistematic error, and in such a way we must treat it, having an unknown sign and assuming for it a value equal to the corresponding mean error $\varepsilon_c(\ell)$; we will assume also for the sign the most unfavorable case, i.e., that in which $d\mathcal{K}$ and $d\ell$ have opposite signs. Then, considering only the order of magnitude

$$\varepsilon_c(E) = 2.6 \; \varepsilon_c(\mathcal{K}) + 103 \; \varepsilon_c(\ell) \qquad (63)$$

The formula relating ℓ to T_n is (36)

$$\ell = 248.49 \; T_n^2$$

and, therefore, the absolute error of ℓ

$$d\ell = 497 \, T_n \, dT_n$$

and taking into account the average experimental value, $T_n = 0.83$, and assuming that the absolute errors $d\ell$ and dT_n are equal to their mean errors, we will have finally

$$\varepsilon_c(\ell) = 413 \; \varepsilon_c(T_n) \qquad (64)$$

The mean error $\varepsilon_c(T_n)$ was obtained experimentaly using formulæ (48) and (49) for the series made in Alicante (July, 1962); by substitution of this value in (64) we get

$$\varepsilon_c(\ell) = 0.25 \qquad (65)$$

Substituting again in (63) we have the theoretical expression of the quadratic mean error of E

$$\varepsilon_c(E) = 2.6 \; \varepsilon_c(\mathcal{K}) + 26 \qquad (66)$$

Graph 3 shows the behaviour of this formula for the ranges $5 \geqslant I_o \geqslant 1$ and $18 \geqslant \varepsilon_c(C) \geqslant 2$. As $\varepsilon_c(E)$ is a linear fuction of $\varepsilon_c(\mathcal{K})$, the curves shown in this graph are analogous to those of graph 2, and all considerations made in that case in order to decrease $\varepsilon_c(\mathcal{K})$ are valid here for $\varepsilon_c(E)$.

.....

V-4.- Checking of the error formulæ

In order to check the results of the application of formulæ (55), (59) and (66) which give the theoretical errors of $C, \mathcal{K}$ and E, and judge their adequacy to the real cases, we obtained directly such errors, by application of formulæ (48) and (49) to a series of independent measurements made with the values

$$\begin{cases} D_Z = 3{,}280 \text{ mm} \\ D_{N-S} = 3{,}480 \text{ mm} \\ D_{E-W} = 3{,}320 \text{ mm} \end{cases} \qquad \begin{aligned} I &= 15 \text{ mA} \\ I_o &= 2 \text{ mA} \end{aligned}$$

We obtained in that way two values of the quadratic mean error of the magnitudes $C, \mathcal{K}$ and E, for every component: the first, ε', given by formulae (48), (49), and the second, ε, derived from the expressions (55), (59), (66). The table below shows the results

COMPONENT	ERRORS	C	$\mathcal{K}$	E
Z	$\varepsilon' =$	2.30	180	465
	$\varepsilon =$	5.25	210	575
	Diff.=	- 2.95	- 30	- 110
N-S	$\varepsilon' =$	4.95	185	480
	$\varepsilon =$	5.20	210	570
	Diff.=	- 0.25	- 25	- 90
E-W	$\varepsilon' =$	3.15	150	390
	$\varepsilon =$	4.95	205	565
	Diff.=	- 1.80	- 55	- 175
AVERAGE	$\varepsilon' =$	3.65	170	445
	$\varepsilon =$	5.15	210	570
	Diff.=	- 1.50	- 40	- 125

The differences between ε' and ε are, for the three components, of the order of the 0.5%, 0.6% and the 0.7% of $C, \mathcal{K}$ and E, respectively; the values obtained from (48), (49) are always lower than those derived from our formulæ. Therefore we have a very good agreement between both groups of formulæ in the actual case; this shows also that the formulæ established here

provide "a priori" larger errors than those obtained in practice.

.....

V-5.- Range of applicability of the error formulae

There are two causes of error introduced in expressions (55), (59) and (66), derivated from the adopted simplification hypothesis and the method of their obtention:

a) We started from the average experimental values (51); therefore, the formulae are exact only for such values, and we must investigate their range of applicability.

b) The application of the differential calculus to the theoretical formulae assumes that the increments dC, $d\mathcal{K}$, $d\ell$ are sufficiently small as compared with the corresponding magnitudes, and this is not absolutely correct.

The values of $C, \mathcal{K}, \ell$ in the instruments already installed of this type in Spain vary approximately within the limits

$$\begin{cases} 330 \geqslant C \geqslant 270 \\ 7{,}200 \geqslant \mathcal{K} \geqslant 6{,}200 \\ 175 \geqslant \ell \geqslant 165 \end{cases} \tag{67}$$

Therefore, if expressions established have to be valid for all instruments, they must apply correctly in this ranges (67).

Let us consider only the normal case in which the values used in the measurements and their respective errors are

$$\begin{cases} I = 15 \text{ mA} & \varepsilon_c(C) = 4.3 \\ D = 4{,}000 \text{ mm} & \varepsilon_c(\mathcal{K}) = 129 \\ I_o = 4 \text{ mA} & \varepsilon_c(\ell) = 0.25 \\ & \varepsilon_c(E) = 361 \end{cases} \tag{68}$$

The exact formula of the error will be obtained by giving finite increments, $\Delta\bar{\varphi}$, ΔI, ΔD, $\Delta\bar{\theta}_m$, ΔI_o in the theoretical formulae and deriving the corresponding of ΔC, $\Delta\mathcal{K}$, and ΔE (as the quadratic mean errors), similary to (54), (58) and (61).

If we subtract these expressions from (55), (59) and (66), we will obtain the absolute errors of these last formulae, having the following form

$$\begin{cases} \Delta\varepsilon_c(C) = f_1\,(C, \Delta\bar{\varphi}, \Delta I, \Delta D) \\ \Delta\varepsilon_c(\mathcal{K}) = f_2\left[\mathcal{K},\ \varepsilon_c(C), \Delta\bar{\theta}_m, \Delta I_o\right] \\ \Delta\varepsilon_c(E) = f_3\left[\mathcal{K},\ \varepsilon_c(\mathcal{K}),\ \ell,\ \varepsilon_c(\ell)\right] \end{cases} \tag{69}$$

If we substitute now the values

$$\begin{cases} \Delta \bar{\rho} = \pm 0.1 & \varepsilon_c(C) = 4.3 \\ \Delta I = \pm 0.05 & \varepsilon_c(\ell) = 0.25 \\ \Delta D = \pm 10 & \varepsilon_c(\mathcal{K}) = 129 \\ \Delta \bar{\theta}_m = \pm 0.5 & \\ \Delta I_o = \pm 0.05 & \end{cases} \tag{70}$$

corresponding to (50) and (68), and give to C, $\mathcal{K}$, and ℓ the limiting values (67), chosing for each case the signs of (70) in order that the functions (69) take their maximum and minimum value, we will have the expressions of the limits of error of the formulae (55), (59) and (66) when they apply to cases (67); we can then judge the validity of this formulae for such cases.

After some computation, omited here for its lack of interest, we obtained the following values

$$\begin{cases} +0.06 \geqslant \Delta\, \varepsilon_c(C) \geqslant -0.06 & \text{if} \quad 330 \geqslant C \geqslant 270 \\ +16 \geqslant \Delta\, \varepsilon_c(\mathcal{K}) \geqslant -23 & \text{if} \quad 7{,}200 \geqslant \mathcal{K} \geqslant 6{,}200 \\ +10 \geqslant \Delta\, \varepsilon_c(E) \geqslant -17 & \text{if} \quad \begin{cases} 7{,}200 \geqslant \mathcal{K} \geqslant 6{,}200 \\ 175 \geqslant \ell \geqslant 165 \end{cases} \end{cases} \tag{71}$$

These error limits allow us to extend the validity of the error formulae established (not forgetting their approximative character) for all instruments of the type studied installed in Spain.

o—o—o—o—o

VI.- PROBABLE ERROR IN THE DETERMINATION OF V

The dynamic magnification is given by the practical formula (43)

$$V = E \cdot U_T$$

Considering only the normal case defined in (68), the quadratic mean error of the magnification factor is $\varepsilon_c(E) = .361$. And accepting the usual relation

$$\varepsilon_p(E) \cong \frac{2}{3} \varepsilon_c(E) = 240 \qquad (72)$$

The function (42)

$$U_T = \frac{T}{\left[1 + \left(\frac{T}{T_o}\right)^2\right]^2}$$

is influenced by the error in the accepted value of T_o.

We started from the assumption that the first Galitzin condition is fulfilled, i.e., pendulum and galvanometer have equal period. But, according to (51), we assumed also $T_o = 1.5$, and this is not exactly true for all instruments.

Therefore, if we wish that the conclusions we reached based on this numeric value be valid without exceptions, we must give some flexibility to our formulæ. The problem is equivalent to assuming in the formulæ an error, ΔT_o, such that for any equipment of period T_o' is

$$1.5 + \Delta T_o \geqslant T_o' \geqslant 1.5 - \Delta T_o \qquad (73)$$

In this way of reasoning, ΔT_o is equivalent to a maximum error, and we can apply the usual relation

$$\varepsilon_p(T_o) \cong \frac{1}{3} \varepsilon_m(T_o) \cong \frac{1}{3} \Delta T_o$$

For the instruments already installed, the value ΔT_o fulfilling condition (73) is approximately $\Delta T_o = 0.075$; hence

$$\varepsilon_p(T_o) \cong 0.025 \qquad (74)$$

The absolute error of the function U_T, for each value of T, will be equal to the differential of (42) with respect to T_o

$$dU_T = -\frac{T}{\left[1+\left(\frac{T}{T_o}\right)^2\right]^4} 2\left[1+\left(\frac{T}{T_o}\right)^2\right] 2\frac{T}{T_o}\left(-\frac{T}{T_o^2}\right) dT_o = \frac{u^3}{(1+u^2)^3} 4\, dT_o$$

And in probable errors

$$\varepsilon_p(U_T) = \frac{u^3}{(1+u^2)^3} 4\ \varepsilon_p(T_o) \tag{75}$$

and substituting the numerical value (74)

$$\varepsilon_p(U_T) = 0.1\ \frac{u^3}{(1+u^2)^3} \tag{76}$$

The absolute error of V, for each value of T, can be likewise obtained as the total differential of (43)

$$dV = U_T\, dE + E\, d(U_T)$$

or, in probable errors, making the substitution of values (72), (76) and the value of E given by (51)

$$\varepsilon_p(V) = 240\ U_T + 1,755\ \frac{u^3}{(1+u^2)^3} \tag{77}$$

In percentages

$$\varepsilon_p(V)\% = 24,000\ \frac{U_T}{V} + 175,500\ \frac{1}{V}\ \frac{u^3}{(1+u^2)^3}$$

and, since (43)

$$\frac{U_T}{V} = \frac{1}{E} \cong \frac{1}{17,550}$$

we will obtain

$$\varepsilon_p(V)\% = 1.37 + 175,500\ \frac{1}{V}\ \frac{u^3}{(1+u^2)^3} \tag{78}$$

This expression is shown graphically in graph 4, for the value $\varepsilon_p(T) = 0$,

since we have not assumed any error in the value of T.

.....

VII.- APPLICATIONS: INFLUENCE OF THE ERROR IN MEASURING T AND $\bar{\theta}_m$ ON THE DEDUCED GROUND MOTION AMPLITUDE

For the practical application of formula (44) it is necessary to have some observational data of T and $\bar{\theta}_m$, which can be, of course, affected by error. The whole study we have developped up to now would have nothing more than a theoretical value and would be incomplete if we do not deduce the influence of those measurement errors in formula (44), and the final error with which x_m is obtained.

We will assume in the following that x_m is given in microns and $\bar{\theta}_m$ in milimeters, according to the units of the quoted formula (44).

The relative error of x_m will be equal to the logarithmic total differential of this formula

$$\frac{dx_m}{x_m} = -\frac{dV}{V} + \frac{d\,\bar{\theta}_m}{\bar{\theta}_m}$$

or, in probable errors

$$\frac{\varepsilon_p(x_m)}{x_m} = \frac{\varepsilon_p(V)}{V} + \frac{\varepsilon_p(\bar{\theta}_m)}{\bar{\theta}_m} \qquad (79)$$

or, in percentages

$$\varepsilon_p(x_m)\% = \varepsilon_p(V)\% + 100\,\frac{\varepsilon_p(\bar{\theta}_m)}{\bar{\theta}_m} \qquad (80)$$

But now we have to take into consideration the error in the measurement of T in the term $\varepsilon_p(V)\%$.

It is not easy to give "a priori" numerical values to $\varepsilon_p(\bar{\theta}_m)$ and $\varepsilon_p(T)$, since they will depend on many circumstances, such as recording speed, clearness of the record, the actual values of $\bar{\theta}_m$ and T, and, chiefly, on the method used for taking the readings. With a recording speed of 1 mm. per sec., we may assume errors of the same order in both measurements; let us give them the arbitrary values

$$\begin{cases} \varepsilon_p(T) = 0 & \\ \varepsilon_p(T) = \pm\ 0.05 & \varepsilon_p(\bar{\theta}_m) = \pm\ 0.05 \\ \varepsilon_p(T) = \pm\ 0.10 & \varepsilon_p(\bar{\theta}_m) = \pm\ 0.10 \\ \varepsilon_p(T) = \pm\ 0.15 & \varepsilon_p(\bar{\theta}_m) = \pm\ 0.15 \end{cases}$$

Every observer may adopt, for each particular case, the error best fitting the conditions of its observation.

We include the value $\varepsilon_p(T) = 0$ as corresponding to (78), because this formula was obtained in the assumption that T had no error.

In formula (80), the term

$$100\ \frac{\varepsilon_p(\bar{\theta}_m)}{\bar{\theta}_m}$$

expresses the correction that we must apply to $\varepsilon_p(V)\%$ in order to obtain $\varepsilon_p(x_m)\%$, taking into consideration all instrumental errors, and those derived from the measurement of $\bar{\theta}_m$ on the record.

This correction term is tabulated in Appendix 3.

The shadowed zone of graph 4 (which we will designate from now on as "heavy line") shows the mean magnification of the equipment for the values (51); this "heavy line" is bounded by the curves $V + \varepsilon_p(V)$ and $V - \varepsilon_p(V)$, with the value of $\varepsilon_p(V)$ given by the formula (77); it represents a magnification curve with variable thickness, as a function of T.

If we enter in this "heavy line" with a value of T assumed to be exact, we will obtain, in the intersection of the corresponding ordinate with the bounding curves, two values of V, given by

$$\begin{cases} V + \varepsilon_p(V) \\ V - \varepsilon_p(V) \end{cases}$$

representing the probable limits of V.

Their half difference, $\varepsilon_p(V)$, in percentages of V, corresponds to formula (78), i.e., to the case $\varepsilon_p(T) = 0$, as we have said above. It represents the error that we may call instrumental error of the magnification, for the theoretical values T of the ground motion. It is shown as a broken line in graph 4.

But if we enter in the "heavy line" with an abscissa, T, having a probable error $\varepsilon_p(T) = h$, the area intercepted between the ordinates $T + h$

and $T - h$ will present a maximum and a minimum values of V (*), or probable limits of V; their half difference is the probable error $\varepsilon_p(V)$ corresponding to the given values of T and $\varepsilon_p(T)$. Such half difference, expressed in percentages of V, (being V the value corresponding to the central ordinate T), will give us, for each case, the value of $\varepsilon_p(V)\%$.

The procedure just described could be made graphically, directly on graph 4, if we draw in it the axis of the "heavy line", and adopt a more adequate scale in the abscissas.

But we have preferred to make it analytically. For that, we have computed a table of values V, $V + \varepsilon_p(V)$ and $V - \varepsilon_p(V)$, by means of formulæ (43) and (77), for the value

$$u = \frac{T}{1.5}$$

and T varying in 0.05.

From such table we have selected, for each value of T, the upper and lower limits of $V \pm \varepsilon_p(V)$ in the interval $T \pm \varepsilon_p(T)$, the half difference of which, multiplied by $100/V$, gives the value of $\varepsilon_p(V)\%$ corresponding to the pair T and $\varepsilon_p(T)$ considered.

In this way, with the ordinate axis of the right hand side, we have drawn the error curves in graph 4 (broken lines), labelling each one with the corresponding value of $\varepsilon_p(T)$. According to what has been said, these curves represent the probable error, in percentages, of the magnification, after taking into account all instrumental errors, and the one coming from the measurement of T on the record.

These curves form a well defined family, with a minimum in the neighborhood of $T = 0.85$, which is, as could be expected, the value corresponding to the maximum of the magnification curve. This minimum becomes a point of inflection for very small values of $\varepsilon_p(T)$, since the two sides of the curve spread rapidly, especially to the left, for such values.

The convexities and slopes of this family are sistematically opposite to those of the magnification curve.

(*).- It is necessary to note that, the curve displaying a maximum very close to the value $T = 0.85$, in the case in which occurs

$$T + h \geqslant 0.85 \geqslant T - h$$

the probable higher limit of V can correspond to an intermediate ordinate, $T \pm h'$, being $h' < h$.

All curves present a secondary maximum well defined in the neighborhood of the values $T = 2.6$, $T = 2.8$, $T = 3.5$ and $T = 4.1$, respectively.

Near to the minimum, the values of $\varepsilon_p(V)\%$ differ very little for all curves; therefore, in that zone $\varepsilon_p(T)$ has little influence in the total error.

Finally, we must say in relation to the "heavy line" of magnification that, although its maximum width (in the sense perpendicular to the curve) corresponds to the maximum, the absolute error $\varepsilon_p(V)$, given by formula (77), has its maximum for the value $T = 1.35$.

o..o..o..o

VIII.- FINAL CONCLUSIONS

Considering graph 4, which with the Table of Appendix 3 summarizes all the work done, the following conclusions can be established:

A) In the interval

$$0 < T \ll 0.5$$

the influence of the error in the measurement of T is decisive. And, since in this range, with a recording speed of 1 or 0.5 mm/sec., T cannot be measured with a probable error lower than $\pm$ 0.10 or $\pm$ 0.15 respectively, the data on ground motion amplitudes obtained are practically unacceptable, because their probable error will be higher than 20 or 30 %, even much higher if T is slightely shorter or the amplitude on the record is smaller.

B) The instruments are best suited for the range

$$0.5 \ll T \ll 1.5$$

because for such interval their magnification is large and the errors in the measurement of T do not have an excesive influence; we may expect a probable error of the ground motion amplitude of the order of 3 to 15 %, if the recorded amplitude is not smaller than 5 mm.

Moreover, the conditions are the best for T close to the value corresponding to the maximum magnification, $T = 0.85$; for such value the data will be practically independent of the error in measuring T.

C) The curves present their secondary maximum in the range

$$1.5 \ll T \ll 4.5$$

for which the influence of the error in measuring T is very large. For $T > 2.3$ this influence is practically constant up to the end of the useful part of the magnification curve, considered here as $T = 4.5$. The resulting error of the ground motion amplitude will vary between 8 and 18%, and it must be derived for each particular case.

The Table of Appendix 3 permits one to know the influence on the derived ground motion amplitude of the error introduced when measuring the record amplitude. We will say here only that such error must be taken into consideration for record amplitudes smaller than 5 mm, but its influence will be negligible for amplitudes larger than 10 mm.

Summarizing, we may say that the response of the instruments studied in this paper is very selective; these instruments are best suited for the range

$$0.5 < T < 1.5$$

For such range and record amplitudes larger than 5 mm, the probable error to be expected in measuring ground motion amplitude is of the order of about 10%.

Final note

This Technical Note No. 2, the second of the study in progress, contains the following parts: abstract (1 p), summary (1 p), explanatory text (30 pp), three Appendix (5 pp), three figures (2 pp), four graphs (3 pp) and bibliography (1 p); total, 43 pages.

The research reported in this document has been sponsored by AIR FORCE OFFICE OF SCIENTIFIC RESEARCH, OAR, through the European Office, Office of Aerospace Research, as part of the Advanced Research Project Agency's Project VELA UNIFORM, according the Contract AF 61 (052) - 657.

Alicante, October, 1963

Julio MORENCOS

A P P E N D I X 1

MAIN CHARACTERISTICS OF THE INSTRUMENTS OF THE S.S.S., IN IBERIAN PENINSULA AREA

STATIONS	T Y P E	COMP.	PERIOD		MAGNIFICATION	
			Pend.	Galv.	Statics	Maximum
TOLEDO	Benioff (Standard-SP)	ZS	1.0	0.75		50,000
		NS	1.0	0.75		25,000
		ES	1.0	0.75		25,000
	Sprengnheter (Standard-LP)	ZL	30.0	100.0		1,500
		NL	30.0	100.0		1,500
		EL	30.0	100.0		1,500
	Sprengnether	ZG	1.7	1.7		2,000
		NG	13.5	13.5		2,000
		EG	13.5	13.5		2,000
	Wiechert	ZT	3.0		1,500	
		NT	11.0		800	
		ET	11.0		800	
	Wiechert	NX	8.0		450	
		EX	8.0		450	
MALAGA	Benioff (Standard-SP)	ZS	1.0	0.75		50,000
		NS	1.0	0.75		25,000
		ES	1.0	0.75		25,000
	Sprengnether (Standard-LP)	ZL	30.0	100.0		1,500
		NL	30.0	100.0		1,500
		EL	30.0	100.0		1,500
	Hiller (Galitzin)	ZH	1.5	1.5		8,000
		NH	1.5	1.5		8,000
		EH	1.5	1.5		8,000
ALICANTE	Hiller (Galitzin)	ZH	1.5	1.5		8,000
		NH	1.5	1.5		8,000
		EH	1.5	1.5		8,000
	Mainka	NM	12.0		450	
		EM	12.0		450	
ALMERIA	Hiller (Galitzin)	ZH	1.5	1.5		8,000
		NH	1.5	1.5		8,000
		EH	1.5	1.5		8,000
	Mainka	ZM	5.5		300	
		NM	9.5		450	
		EM	9.5		450	
LOGROÑO	Hiller (Galitzin)	ZH	1.5	1.5		8,000
		NH	1.5	1.5		8,000
		EH	1.5	1.5		8,000

APPENDIX 2

SYMBOLS AND AUXILIARY NOTATIONS

(Given in the same order of appearance in the text)

R = Total resistance of the seismograph electric circuit.

$\overline{\varphi}$ = Apparent linear displacement corresponding, through the optical system of calibration, to the angular deviation φ of the pendulum, at the distance D.

φ = Angular deviation of the pendulum with respect to its equilibrium position, at the time t.

D = Observation distance, corresponding to the linear displacement $\overline{\varphi}$, in the optical measurements of calibration.

I = Current in the auxiliary excitation circuit.

θ = Angular deviation of the galvanometer, with respect to its equilibrium position, at the time t.

$\overline{\theta}$ = Linear displacement of the light spot on the record, corresponding to the angle θ of the galvanometer.

c = Constant of the excitation coil of the seismometer, expressing the proportionality between the current and the corresponding rotation of the pendulum during the calibration ($c = \varphi / I$, in radians $\times$ mA^{-1}).

$C = 10^7 c$

$\tau = t\sqrt{\Omega_o \omega_o}$, auxiliary time variable ($\tau = \omega_o t$ in the Galitzin seismograph).

$\omega_o = 2\pi / t_o = \sqrt{u/k}$, angular frequency of the galvanometer motion, without damping (equal to angular frequency of the seismograph in the Galitzin case).

t_o = Natural period of the galvanometer, without damping.

t = Time variable.

K = Moment of inertia of the pendulum with respect to the axis of rotation.

D = Damping coefficient, or damping constant, of the pendulum, in open circuit, or coefficient of the corresponding torque, when this is proportional to the angular velocity. (The same symbol is used above with different meaning, but there is no possibility of misinterpretation).

U = Coefficient of the restoring torque of the pendulum, when this is proportional to the angle.

k = Moment of inertia of the galvanometer with respect to the axis of rotation.

d = Coefficient of the damping torque of the galvanometer, in open circuit,

when this is proportional to the angular velocity.

u = Coefficient of the restoring torque of the galvanometer, when this is proportional to the angle.

G = Electrodynamic constant of the transducer coil of the seismometer.

i = Current through the electric circuit of the seismograph.

g = Electrodynamic constant of the galvanometer coil.

Δ = Coefficient of the damping torque of the pendulum, in working circuit ($\Delta = D + G^2/R$).

δ = Coefficient of the damping torque of the galvanometer, in working circuit ($\delta = d + g^2/R$).

$\Omega_o = 2\pi/T_o = \sqrt{U/K}$, angular frequency of the pendulum motion, without damping.

T_o = Astatic period of the pendulum, without damping (equal to working period of the seismograph, in the Galitzin case).

$\beta_o = D/2\Omega_o K$, "damping" of the pendulum, in open circuit.

$\beta_1 = G^2/2\Omega_o RK$, additional "damping" of the pendulum, produced by the electric circuit.

$\beta = \beta_o + \beta_1 = \Delta/2\Omega_o K$, total "damping" of the pendulum, in working circuit ($\beta = 1$ in the Galitzin seismograph).

$\alpha_o = d/2\omega_o k$, "damping" of the galvanometer, in open circuit.

$\alpha_1 = g^2/2\omega_o Rk$, additional "damping" of the galvanometer, produced by the electric circuit.

$\alpha = \alpha_o + \alpha_1 = \delta/2\omega_o k$, total "damping" of the galvanometer, in working circuit ($\alpha = 1$ in the Galitzin seismograph).

$\sigma_s = Gg/2\beta\Omega_o RK$, Transference factor -or coupling factor- of the seismometer (following Eaton).

$\sigma_g = Gg/2\alpha\omega_o Rk$, Transference factor -or coupling factor- of the galvanometer (following Eaton).

$\rho = \sqrt{\Omega_o/\omega_o}$ ($\rho = 1$ in the Galitzin seismograph).

x = Linear displacement of ground, normal to the equilibrium plane of the pendulum.

M = Pendulum mass.

L = Distance from the center of mass of the pendulum to the axis of rotation.

ℓ = K/ML, reduced pendulum length, equal to the length of the simple pendulum of period T_n.

T_n = Natural period of the pendulum. It is the free period of the pendulum,

when the axis of rotation is placed in a horizontal position, and no force is acting, except gravity.

a = Optical lever arm of the recorder.

Ψ_x = Initial phase of the sinusoidal motion of the ground.

T = Period of the sinusoidal motion of the ground.

$\omega = 2\pi/T$, angular frequency of the sinusoidal motion of the ground.

$u = \omega_o/\omega = T/T_o$ (The same symbol is used above with different meaning, but there is no possibility of misinterpretation).

$\Psi_{\bar{\theta}}$ = Initial phase of the sinusoidal response of the galvanometer.

$\Psi = \Psi_{\bar{\theta}} - \Psi_x$, phase lag between the sinusoidal motions of the ground and the galvanometer response.

V = Dynamic magnification of the seismograph.

$\mathcal{K} = Gg/Rk = 2\,\alpha\omega_o\sigma_g$, transference factor -or coupling factor- of the galvanometer, according to Galitzin ($\mathcal{K} = 2\,\omega_o\,\sigma_g$ in the Galitzin seismograph).

$E = a\mathcal{K}/\pi\ell$, "magnification factor", according to author, in the Galitzin seismograph.

$U_T = T_o\,u/(1+u^2)^2$

$\Delta'(N)$ = Residual error of the element N; it is the difference between each particular value of N and the series average, N_m.

$\varepsilon_c(N)$ = Quadratic mean error of the element N.

$\varepsilon_p(N)$ = Probable error of the element N.

$\varepsilon_m(N)$ = Maximum error of the element N.

$\varepsilon_p(N)\%$ = Probable relative error of the element N, in percentages.

o - - O - - o

APPENDIX 3

TABLE OF THE VALUES $100\,\frac{\varepsilon_p(\bar{\theta}_m)}{\bar{\theta}_m}$ (Formula 80)

$\bar{\theta}_m$	$\varepsilon_p(\bar{\theta}_m)$ =			$\bar{\theta}_m$	$\varepsilon_p(\bar{\theta}_m)$ =		
	0.05	0.10	0.15		0.05	0.10	0.15
1.0	5.0	10.0	15.0	7.0	0.7	1.4	2.1
1.1	4.6	9.1	13.6	7.5	0.7	1.3	2.0
1.2	4.2	8.3	12.5	8.0	0.6	1.3	1.9
1.3	3.9	7.7	11.5	8.5	0.6	1.2	1.8
1.4	3.6	7.1	10.7	9.0	0.6	1.1	1.7
1.5	3.3	6.7	10.0	9.5	0.5	1.1	1.6
1.6	3.1	6.3	9.4				
1.7	2.9	5.9	8.8	10.0	0.5	1.0	1.5
1.8	2.8	5.6	8.3	11.0	0.4	0.9	1.4
1.9	2.6	5.3	7.9	12.0	0.4	0.8	1.3
2.0	2.5	5.0	7.5	13.0	0.4	0.8	1.2
2.1	2.4	4.8	7.1	14.0	0.4	0.7	1.1
2.2	2.3	4.5	6.8	15.0	0.3	0.7	1.0
2.3	2.2	4.4	6.5				
2.4	2.1	4.2	6.2	16.0	0.3	0.6	0.9
2.5	2.0	4.0	6.0	18.0	0.3	0.6	0.8
2.6	1.9	3.9	5.8	20.0	0.2	0.5	0.7
2.7	1.8	3.7	5.6	22.0	0.2	0.5	0.7
2.8	1.8	3.6	5.4	24.0	0.2	0.4	0.6
2.9	1.7	3.4	5.2	26.0	0.2	0.4	0.6
				28.0	0.2	0.4	0.5
3.0	1.7	3.3	5.0				
3.2	1.6	3.1	4.7	30.0	0.2	0.3	0.5
3.4	1.5	2.9	4.4	35.0	0.1	0.3	0.4
3.6	1.4	2.8	4.2	40.0	0.1	0.2	0.4
3.8	1.3	2.6	4.0	45.0	0.1	0.2	0.3
4.0	1.3	2.5	3.8				
4.2	1.2	2.4	3.6	50.0	0.1	0.2	0.3
4.4	1.1	2.3	3.4	60.0	0.1	0.2	0.3
4.6	1.1	2.2	3.3	70.0	0.1	0.1	0.2
4.8	1.0	2.1	3.1	80.0	0.1	0.1	0.2
5.0	1.0	2.0	3.0	90.0	0.1	0.1	0.2
5.2	1.0	1.9	2.9				
5.4	0.9	1.9	2.8	100.0	0.1	0.1	0.2
5.6	0.9	1.8	2.7	125.0	0.0	0.1	0.1
5.8	0.9	1.7	2.6				
6.0	0.8	1.7	2.5	150.0	0.0	0.1	0.1
6,2	0.8	1.6	2.4	200.0	0.0	0.1	0.1
6.4	0.8	1.6	2.3	250.0	0.0	0.0	0.1
6.6	0.8	1.5	2.3	300.0	0.0	0.0	0.0
6.8	0.7	1.5	2.2				

B I B L I O G R A P H Y

J. COULOMB & G. GRENET (1935)
"Nouveaux principes de construction de séismographes électromagnétiques".
Annales de Physique, 2e série, t.3

Mme F. DUCLAUX (1960)
"Séismometrie Théorique"
Memorial des Sciences Physiques, fasc. LXIV

J. P. EATON (1954)
"Theory of the electromagnetic seismograph"
Bulletin of the Seismological Society of America, 47: 37-75

B. GALITZIN (1914)
"Vorlesungen über Seismometrie"
Leipzig, Teubner

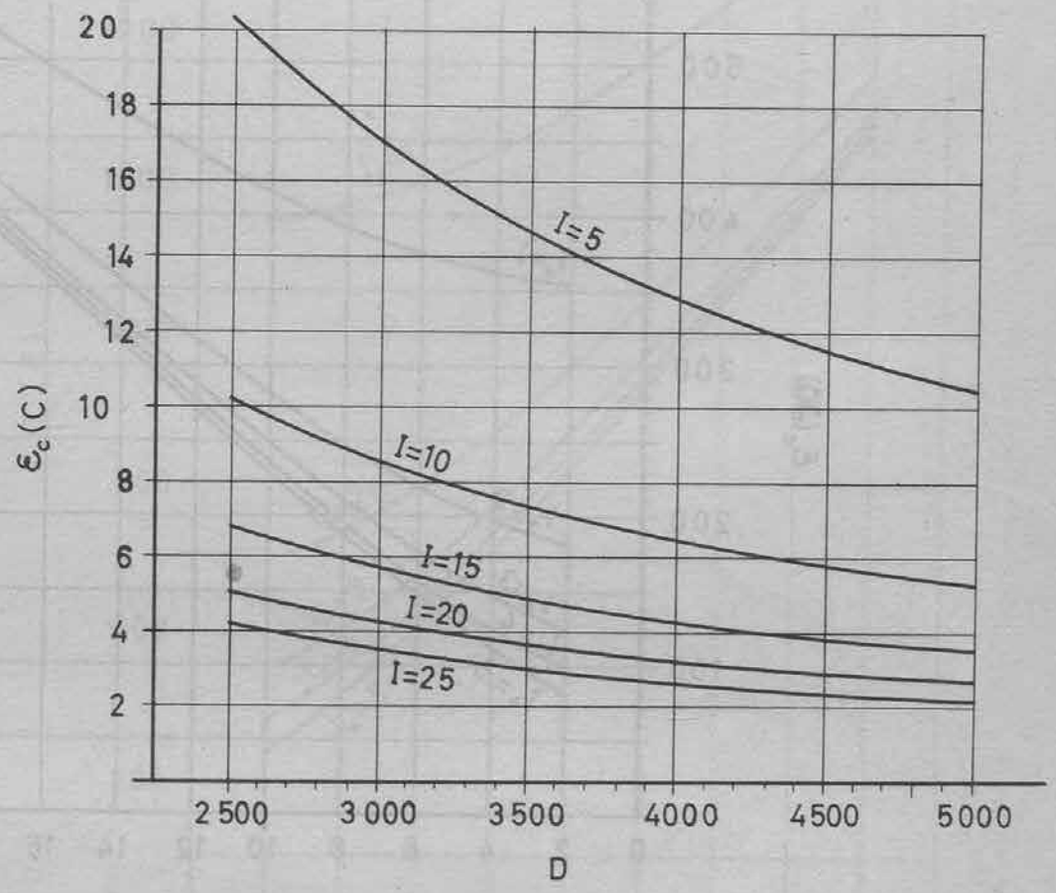
A. ROUAUD (1948)
"Sur la détermination des constants des séismographes électromagnétiques"
Annales de Geophysique, 4, fasc. 2

J. RYBNER (1937)
"The determination of the instrumental constants of the Galitzin seismograph, in presence of reaction"
Gerlands Beiträge zur Geophysik, vol. 51

F. W. SOHON, S.J. (1932)
"Introduction to the Theoretical Seismology", Part II: "Seismometry"
Saint Louis University

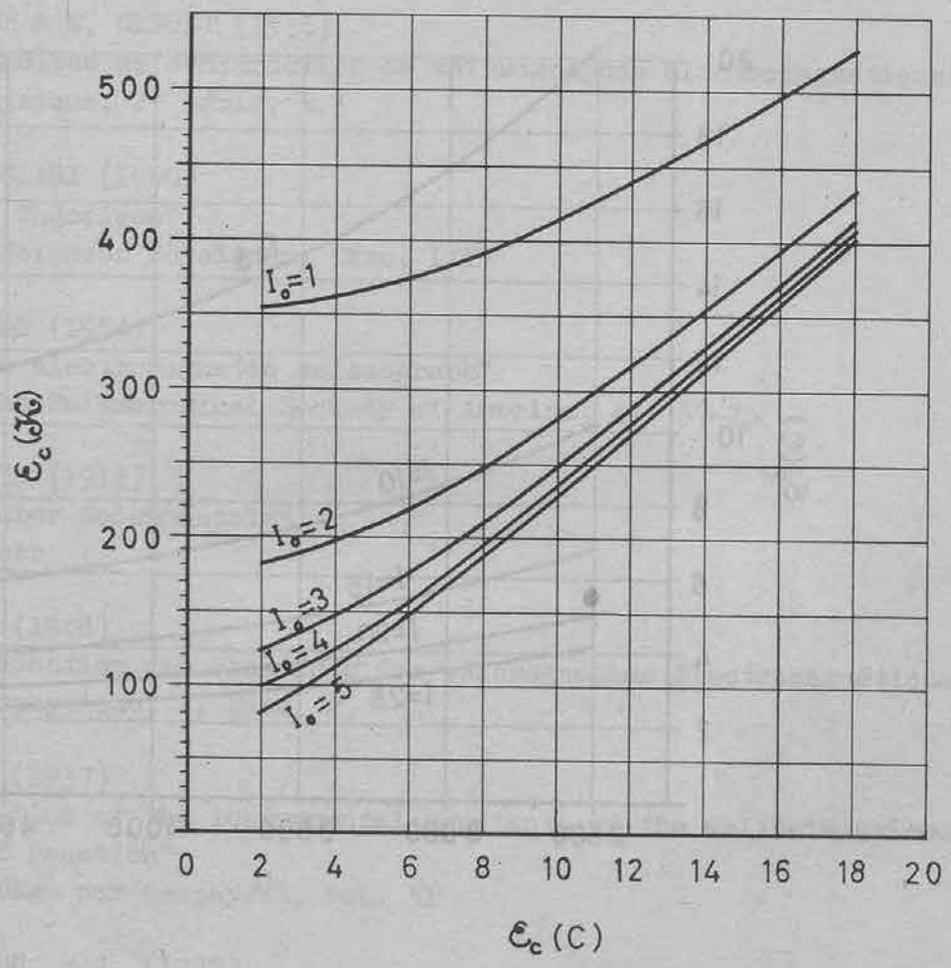
F. WENNER & H. E. McCOMB (1937)
"Le séismomètre Galitzine: Sur les divergences entre la théorie de Galitzine et les résultats expérimentaux d'un séismomètre Wilip-Galitzine"
U.G.G.I. Asociation de Séismologie. Série A, fasc. 15

GRAPH Nº. 1.



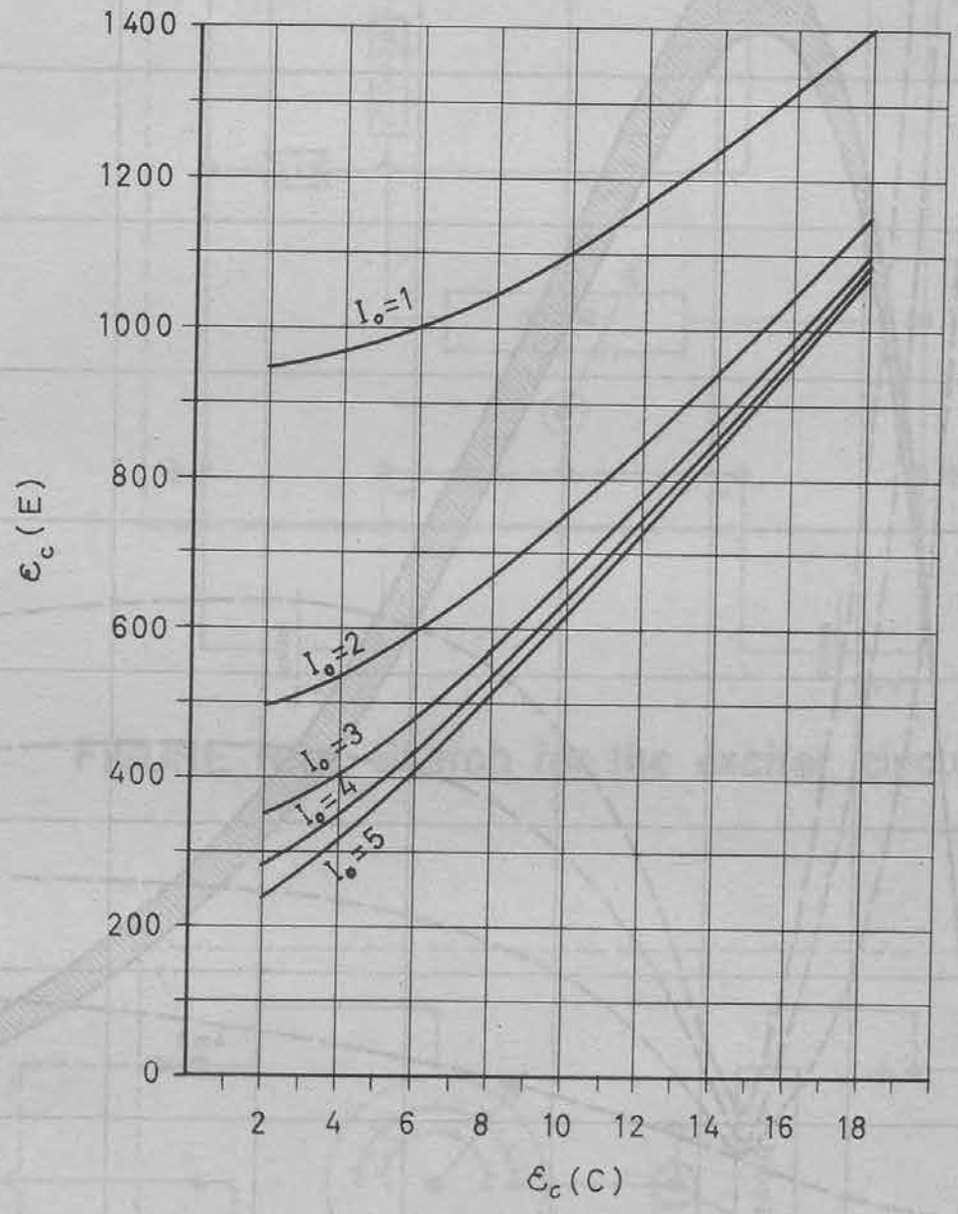
VARIATION OF THE MEAN ERROR
$\varepsilon_c(C)$ WITH D AND I

GRAPH Nº. 2.

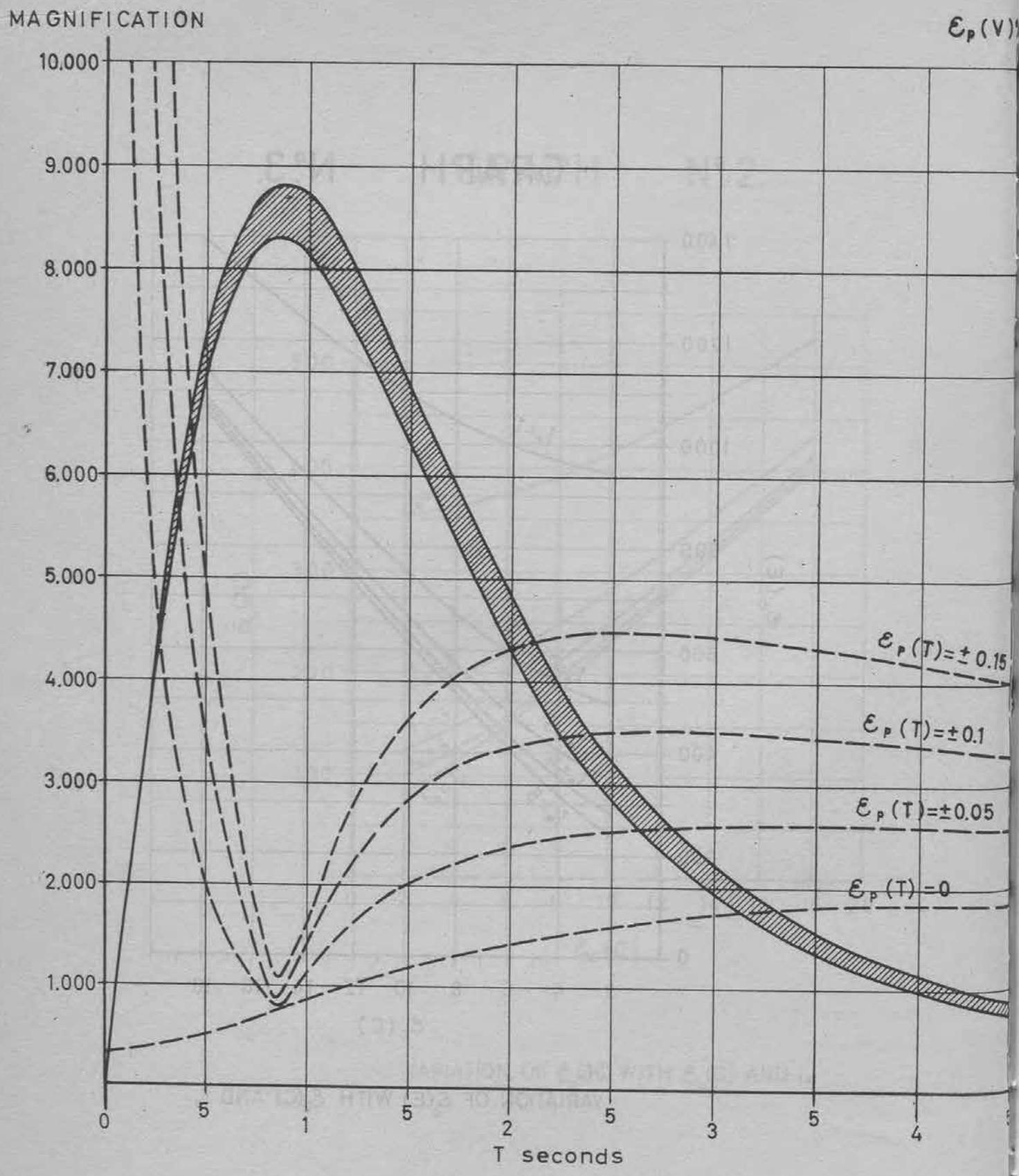


VARIATION OF $\mathcal{E}_c(\mathcal{K})$ WITH $\mathcal{E}_c(C)$ AND I_o

GRAPH Nº.3.



VARIATION OF ε_c(E) WITH ε_c(C) AND I_o



GRAPH Nº.4.

MAGNIFICATION AND ERROR CURVES

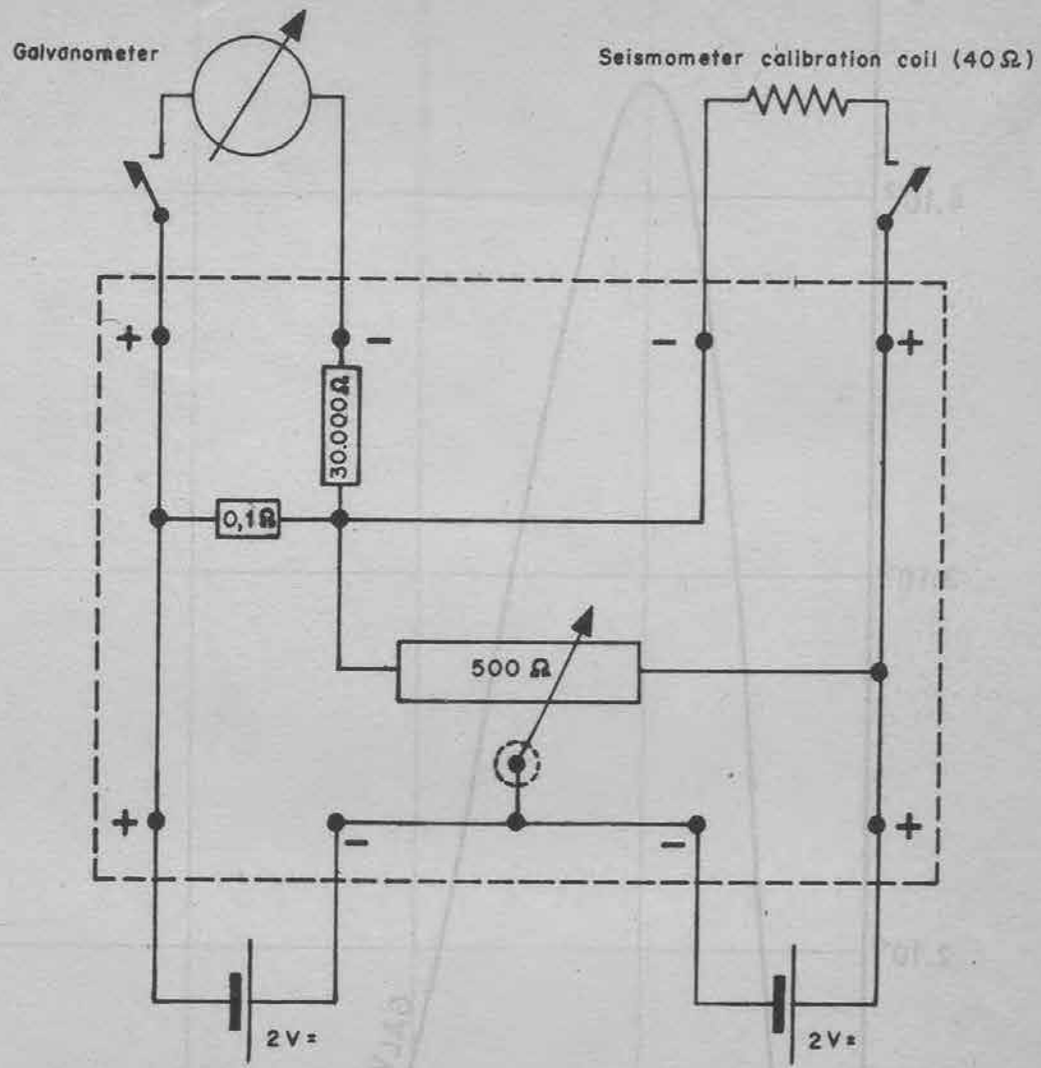


FIGURE Nº. 1. Sketch for the exciter circuit.

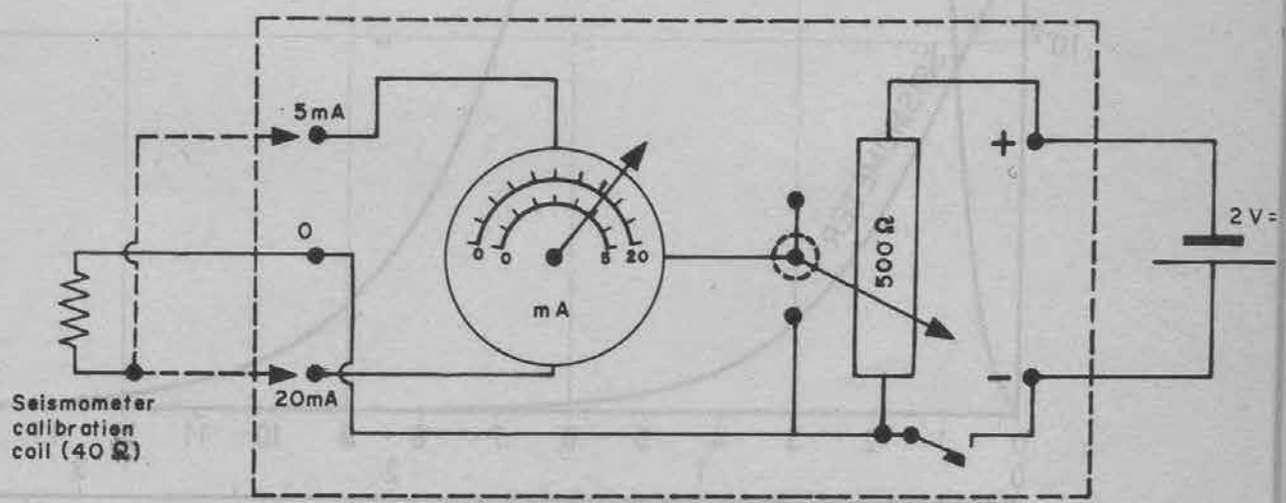


FIGURE Nº. 2. Sketch for the measurer circuit.

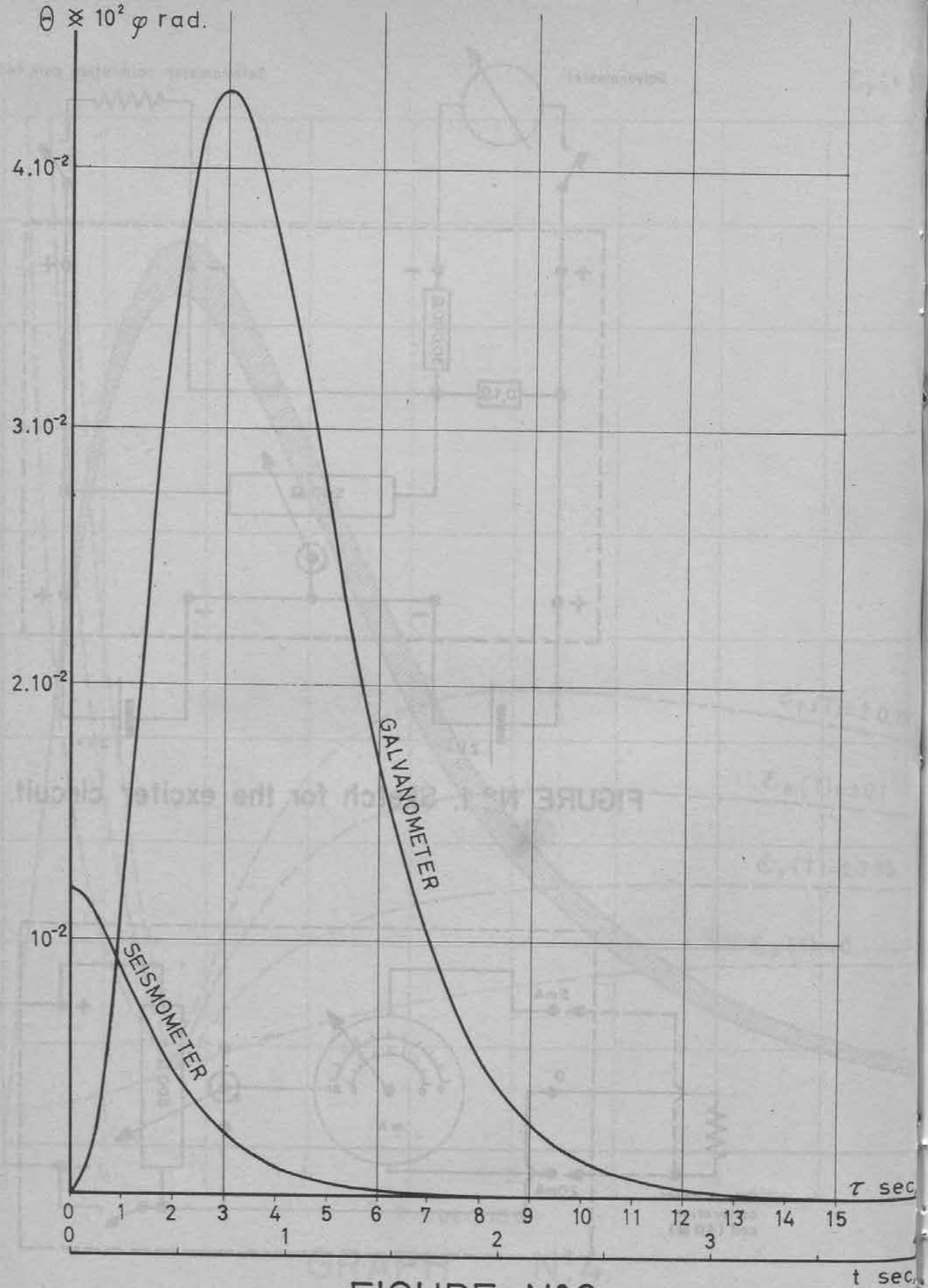


FIGURE Nº.3.

Caracteristic response of seismometer and galvanometer in the release test



FIG N°4

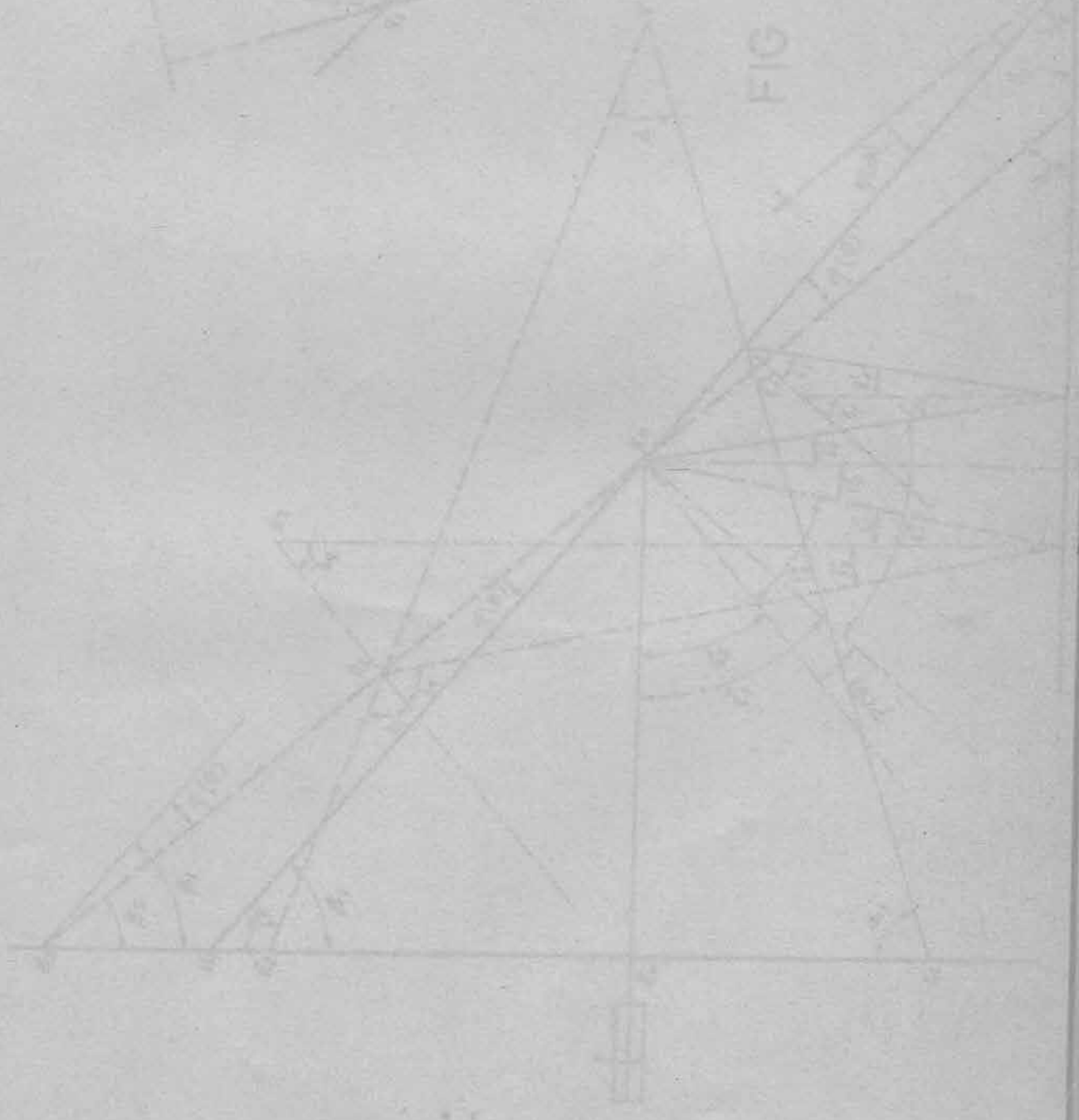


FIG N°5

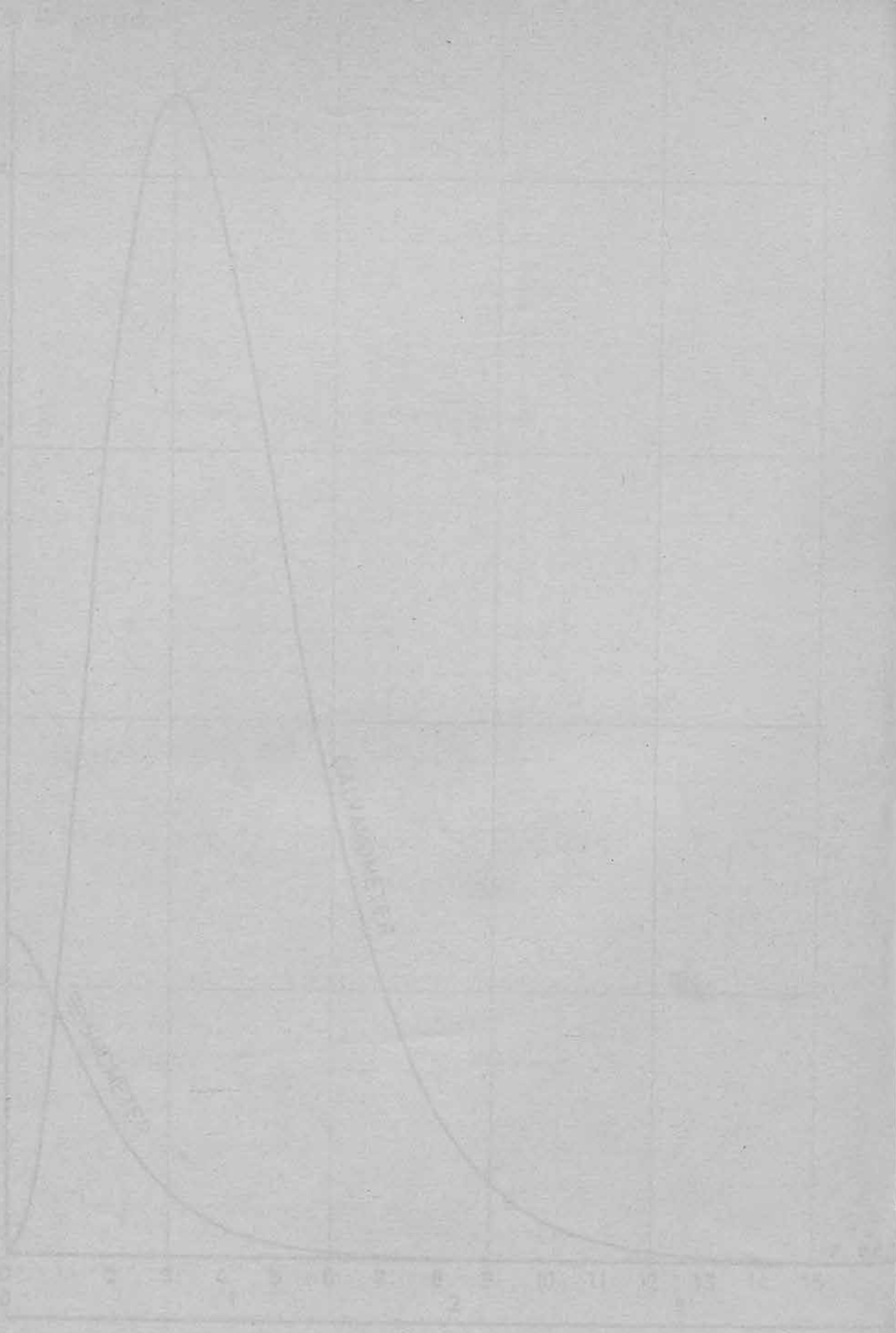


FIGURE N°3

Characteristic response of seismometer
and galvanometer in the Pasajes tour

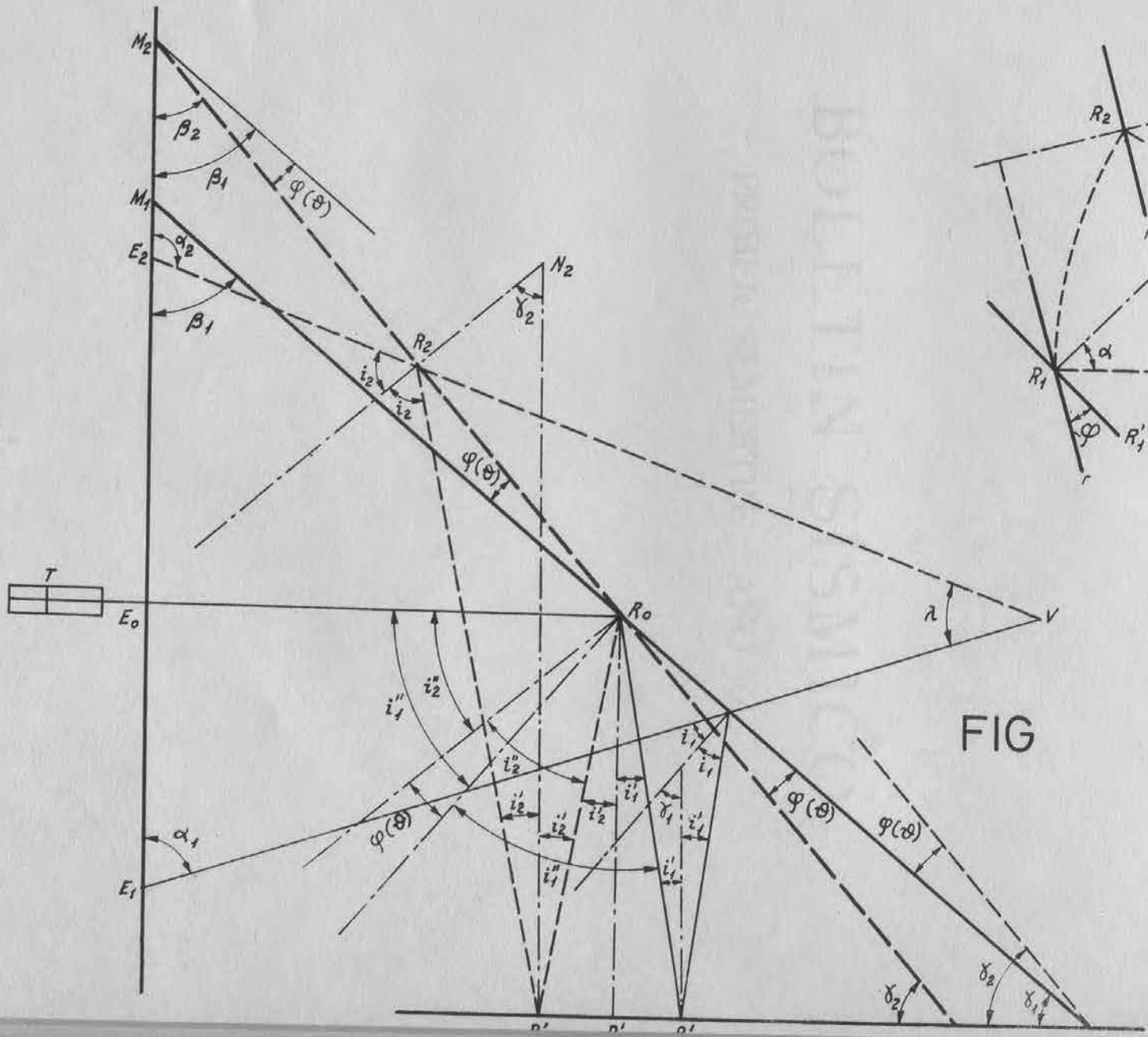


FIG Nº5

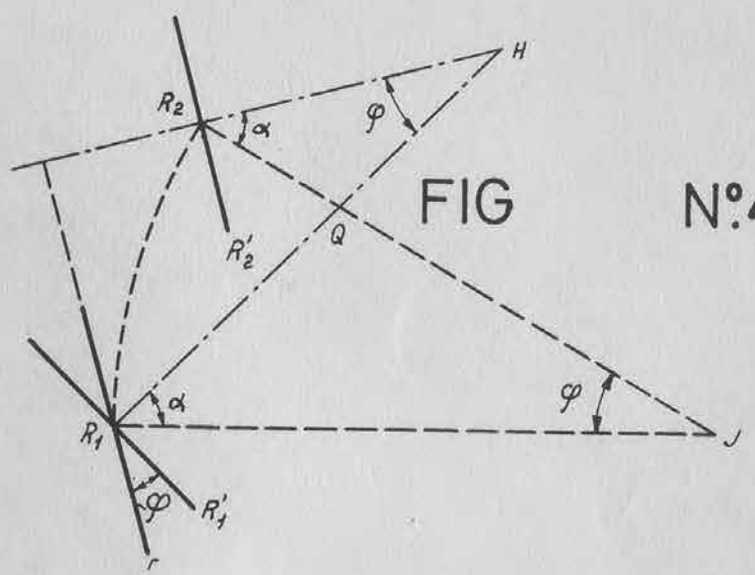


FIG Nº4

BOLETIN SISMICO

PRIMER SEMESTRE · AÑO 1960

BOLETIN SISMICO

PRIMER SEMESTRE - AÑO 1976

MEMORIAS DEL INSTITUTO GEOGRAFICO Y CATASTRAL

Tomo XXXII

VI

BOLETIN SISMICO

PRIMER SEMESTRE - AÑO 1960

DEPÓSITO LEGAL M-7387-1958



MADRID

TALLERES DEL INSTITUTO GEOGRAFICO Y CATASTRAL

1 9 6 4

BOLETIN SISMICO

PRIMER SEMESTRE - AÑO 1960

LABORATORIO CENTRAL DE SISMOLOGIA

La situación geográfica y los equipos que constituyen los Observatorios dependientes del Laboratorio Central de Sismología, son los siguientes:

OBSERVATORIO SISMOLOGICO DE ALICANTE

COORDENADAS

Lat. = 38° 21' 19",22 N.
Long. = 0° 29' 14",06 W. Gr.
a = 35 metros.
Subsuelo = Cretáceo superior.

CONSTANTES

Aparato de registro mecánico

SISMOGRAFO	COMPONENTE	MASA — Kgs.	PERIODO — T_o	AMPLIFICACION — V	ROZAMIENTO — $\frac{r}{T_o^2}$	AMORTIGUAMIENTO — ε
Mainka	N.-S.	1.000	9	700	0,004	4,2
Mainka	E.-W.	1.000	9	392	0,003	4,0
Wiechert	Z	800	0,5	200	—	—

Un equipo "Askania" en período de montaje.

OBSERVATORIO GEOFISICO DE ALMERIA

COORDENADAS

Lat. = 36° 51' 09",1 N.
Long. = 2° 27' 35",2 W. Gr.
a = 65 metros.
Subsuelo = Tosca marina (caliza del plioceno).

CONSTANTES

Aparato de registro mecánico

SISMOGRAFO	COMPONENTE	MASA — Kgs.	PERIODO — T_o	AMPLIFICACION — V	ROZAMIENTO — $\frac{r}{T_o^2}$	AMORTIGUAMIENTO — ε
Mainka	Z	500	5s,5	218	0,010	1,06
Mainka	E.-W.	750	9s,4	471	0,007	4,09
Mainka	N.-S.	750	9s,2	397	0,212	4,25

Aparato de registro galvanométrico.

SISMOGRAFO	COMPONENTE	PER. GAL. — T_g (seg)	PER. PEND. — T_p (seg)	AMORTIGUAMIENTO — μ^2	FACTOR TRANSF. — K	AMPLIFICACION $\frac{AK}{\pi l}$	AMPLIFICACION V máx.
Stuttgart	Z	1,5	1,5	0	7,000	18.350	8.950
Stuttgart	E.-W.	1,5	1,5	0	6,000	15.600	7.600
Stuttgart	N.-S.	1,5	1,5	0	6,700	17.550	8.550

OBSERVATORIO SISMOLOGICO DE MALAGA

COORDENADAS

Lat. = 36° 43' 39" N.
Long. = 4° 24' 40" W. Gr.
a = 60,3 metros.
Subsuelo = Caliza triásica.

CONSTANTES

SISMOGRAFO	COMPONENTE	MASA — Kgs.	PERIODO — T_o	PERIODO — T_g	AMPLIFICACION — V	AMORTIGUAMIENTO — ε
Victoria.	Z	100	0,3	7	1.600	30
Wiechert.	Z	80	12,5	7	1.600	5
Askania.	Z	En pruebas.				
Askania.	Z					
Askania.	Z					

NOTA: Por estar en obras esta estación, funcionó solamente los meses de mayo y junio.

OBSERVATORIO CENTRAL GEOFISICO DE TOLEDO

COORDENADAS

Lat. = 39° 52' 53" N.
Long. = 4° 02' 55" W. Gr.
a = 480,46 metros.
Subsuelo = Mioceno superior.
Sismógrafo Wiechert = Velocidad de registro: 20 mm. por minuto.

CONSTANTES

SISMOGRAFO	COMPONENTE	MASA — Kgs.	PERIODO — T_0	AMPLIFICACION — V	ROZAMIENTO — $\frac{r}{T_0^2}$	AMORTIGUAMIENTO — ε
Wiechert	Z	1.200	2,72	1.539	0,099	2,67
Wiechert	E.-W. (E')	1.000	10,4	650	0,019	3,16
Wiechert	N.-S. (N')	1.000	10,6	741	0,028	3,13
Wiechert	E.-W. (E")	800	6,28	465	0,026	3,99
Wiechert	N.-S. (N")	8 0	5,98	510	0,024	3,97

Sismógrafo Sprengnether = Velocidad de registro: 30 mm. por minuto.

SISMOGRAFO	COMPONENTE	PERIODO PENDULO — T_p	PERIODO GALVANOMETRO — T_g	AMPLIFICACION — V_m	AMORTIGUAMIENTO — μ^2
Sprengnether...	Z	1,7	1,7	—	0,38
Sprengnether...	E.-W.	14,3	14,3	1.780	0,30
Sprengnether...	N.-S.	13,0	13,0	1.735	0,31

1.—SISMO DE 2 DE ENERO DE 1960

H = 12h 21m 50s
Mag: 6,1 (Uppsala)
56° S., 2° W. (B. C. I. S.)
S. del Océano Atlántico, al W. de la isla Bouvet.

ALICANTE

(P)	12h	35m	06s	
S		46	09	
L	13	06	12	
Mo		15	09	
F		40	—	D = 10.300 kms. = 92° 7

ALMERIA

e	12	35	31	
L	13	04	—	D = 10.200 kms. = 92°

TOLEDO

e(S)	12	46	54
e		56	39
e		59	44
L	13	04	55
M		15	55
F	14	00	—

2.—SISMO DE 3 DE ENERO DE 1960

H = 11h 24m 04s
Mag: 6,7 (Uppsala)
43° 1/2 N., 84° 1/2 S. (Quetta)
Provincia de Sinkiang, China.

TOLEDO

eiP	11h	34m	30s
i		34	36
L		58	55

3.—SISMO DE 3 DE ENERO DE 1960

H = 20h 19m 34s
Mag: 6,2 (Uppsala)
39° 15′ N., 15° 15′ E. h = 290 kms.
Mar Tirreno. (B. C. I. S.)

Sentido (G.-V) en Bivongi, así como en Calabria y Lucania (según Roma).

ALICANTE

eP	20h	22m	18s
iS		24	40
eL	20h	25m	30s
Mo		26	26
F		32	— D = 1.350 kms. = 12° 1

ALMERIA

eP	20	22	43	
PP		22	50	
iS		25	19	D = 1.550 kms. = 14°

TOLEDO

iP	20	22	52	(dilatación)
i(pP)		22	58	
i(PP)		23	10	
e		23	47	
iS		25	36	
iS		25	38	
i		26	40	
F		32	—	D = 1.655 kms. = 14° 9

4.—SISMO DE 4 DE ENERO DE 1960

Sin más datos. (L. C. S., Madrid)

TOLEDO

e(Pg)	01h	14m	59s
e(Sg)		15	44
F		17	54

5*.—SISMO DE 4 DE ENERO DE 1960

Sin más datos. (L. C. S., Madrid)

ALMERIA

ePg	01h	17m	31s	
eSg		17	40	D = 77 kms. = 0° 7

6.—SISMO DE 4 DE ENERO DE 1960

H = 06h 16m 35s
11° 6 N., 42° 8 E. (B. C. I. S.)
Costa de Somalia.

Sentido en Arta (daños en los inmuebles), en Tadjourah Ali Sabieh y Djibouti (Servicio Meteorológico de la costa francesa de Somalia).

ALICANTE

L	06h	38m	31s
Mo		44	51
F	07	05	—

ALMERIA

L	06	37	10

TOLEDO

eP	06	25	29
e		35	55
e		38	15
e		39	05
L		40	25
M		48	25

7.—SISMO DE 4 DE ENERO DE 1960

H = 12h 51m 55s
Mag: 5,9 (Uppsala)
45° 5 N., 27° 0 E. (B. C. I. S.)
Cárpatos, Rumania.

ALMERIA

iP	12h	57m	05s	
iPP		57	27	D = 2.550 kms. = 23°

TOLEDO

iP	12	57	02	(dilatación)

8.—SISMO DE 5 DE ENERO DE 1960

H = 05h 13m 48s
Mag: 5 3/4 - 6 (Matsushiro)
19° S., 69° 1/2 W. (U. S. C. G. S.)
Norte de Chile.

TOLEDO

eP	05h	26m	31s

9.—SISMO DE 6 DE ENERO DE 1960

H = 13h 11m 00s
10° 1/2 S., 167° E. (U. S. C. G. S.)
Islas Santa Cruz.

TOLEDO

eP	13h	30m	52s

10*.—SISMO DE 6 DE ENERO DE 1960

ALMERIA

ePg	20h	26m	19,6s	
iSg		26	21	D = 12 kms. = 0° 1

11.—SISMO DE 7 DE ENERO DE 1960

H = 13h 28m 13s
Mag: 6 1/4 - 6 1/2 (Pasadena)
56° S., 27° 1/2 W. (B. C. I. S.)
Islas Sandwich.

ALICANTE

P	13h	41m	48s	
(S)		53	05	
SS		59	42	
L	14	14	18	
Mo		23	18	
F	15	09	—	D = 10.700 kms. = 96° 3

TOLEDO

eP	13	41	48	
e		42	00	
e		42	55	
eiS		53	21	
ePS		54	34	
eSS		59	20	
L	14	11	30	
M		22	30	D = 11.250 kms. = 101° 3

12*.—SISMO DE 7 DE ENERO DE 1960

Local.

ALMERIA

ePg	20h	02m	25,2s	
iSg		02	26,2	D = 8 kms. = 0° 1

13.—SISMO DE 8 DE ENERO DE 1960

H = 11h 29m 18s
Mag: 5 3/4 (Matsushiro)
55° S., 27° 1/2 W. (U. S. C. G. S.)
Islas Sandwich.

Réplica del núm. 11. (B. C. I. S.)

TOLEDO

eP	11h	42m	53s
L	12	19	30
M		23	30
F		40	—

14.—SISMO DE 8 DE ENERO DE 1960

H = 14h 45m 53s
Mag: 6 - 6 1/4 (Matsushiro)
55° 1/2 S., 27° 1/2 W. (U. S. C. G. S.)
Islas Sandwich.

Réplica del núm. 11. (B. C. I. S.)

TOLEDO

e(P)	14h	59m	32s
e	15	10	57
e		13	10
e(SS)		16	58
L		29	30
M		39	30
F	16	20	—

15.—SISMO DE 8 DE ENERO DE 1960

H = 21h 42m 37s
36° 1/2 S., 17° 1/2 W. (B. C. I. S.)
Atlántico Sur. Región isla de Tristán de Cunha.

TOLEDO

eP	21h	54m	31s	
e		55	07	
L	22	23	30	

16.—SISMO DE 9 DE ENERO DE 1960

H = 03m 58h 48s
Mag: 5 1/2 - 5 3/4 (Kew)
37° 2 N., 29° W. (B. C. I. S.)
Sudoeste de Turquía.

ALMERIA

e(P)	04m	04h	01s	
e		05	02	D = 2.700 kms. = 24° 5

TOLEDO

ieP	04	04	21	
eS		08	46	
i		09	01	
L		14	10	
M		17	00	
F		30	—	D = 2.840 kms. = 25° 9

17.—SISMO DE 9 DE ENERO DE 1960

H = 07m 23h 50s
Mag: 6,9 (Uppsala)
36° N., 69° E. h = 150 kms. ap.
Hindu-Kush. (U. S. C. G. S.)
Sentido en Warsak, Peshawar, Lyallpur (Quetta).

ALICANTE

P	07m	32h	56s	
PcP		34	02	
PP		35	02	
(S)		40	18	
F		59	—	D = 6.000 kms. = 54°

ALMERIA

iP	07	33	25	
ipP		33	59	
i(PcP)		34	19	
iPP		35	37	
i		42	33	
iS		41	01	D = 6.200 kms. = 56°

TOLEDO

iP	07	33	25	(compresión)
i(pP)		34	22	
i		34	37	
e(PP)		35	36	
iS		40	57	
esS		42	01	
(L)		48	30	D = 6.000 kms. = 54°

18.—SISMO DE 13 DE ENERO DE 1960

H = 15m 40h 30s
Mag: 7 1/4 (Pasadena)
15° 46′ S., 72° 46′ W. h = 120 kms. ap.
Sur del Perú.

Numerosos muertos e importantes daños en Arequipa. Sentido igualmente en La Paz (La Paz).

ALICANTE

P	15h	53m	04s	
iS	16	03	34	
SS		09	04	
L		21	40	
Mo		28	16	
F	17	30	—	D = 9.550 kms. = 85° 9

ALMERIA

iP	15	52	53	
ipP		53	26	
PP		56	18	
sPP		57	42	
iS	16	03	11	
eSP		03	51	
iPS		04	24	
eSPS		05	13	
SSS		12	03	
iLq		15	59	
iLr		19	28	
M		26	03	D = 9.300 kms. = 84°

TOLEDO

iP	15	52	53	(dilatación)
ipP		53	27	
iPP		56	03	
epPP		56	30	
ePPP		57	49	
iS	16	03	18	
isS		04	02	
iPS		04	18	
i		07	42	
iSS		08	35	
Lr		14	30	
M		21	30	

19.—SISMO DE 15 DE ENERO DE 1960

H = 09h 30m 24s
Mag: 7 (Pasadena)
15° S., 75° W. h = 150 kms. ap.
Cerca de la costa S. del Perú. (U. S. C. G. S.)

Cuatro heridos y daños ligeros en la provincia de Ica. Sentido en la región de Lima (U. S. C. G. S.). Sentido (G. II) en La Paz (La Paz).

ALICANTE

P	09h	42m	52s
S		53	33
SS		59	24

L	10h	12m	18s	
Mo		19	12	
F		51	—	D = 9.750 kms. = 87° 7

ALMERIA

iP	09	42	45	
eS		53	29	
isS		53	42	
e		56	03	
L	10	12	30	D = 9.650 kms. = 87°

TOLEDO

iP	09	42	53	(compresión)
ipP		43	05	
iPP		46	27	
iS		53	30	
isS		53	45	
L	10	06	30	
		22	30	

20.—SISMO DE 16 DE ENERO DE 1960

H = 20h 49m 31s

63° N., 151° W. h = 150 kms. ap.
Alaska. (U. S. C. G. S.)

Sentido en College.

TOLEDO

iP	21h	00m	53s
ipP		01	22

21.—SISMO DE 16 DE ENERO DE 1960

H = 21h 41m 44s

10° S., 161° 1/2 E. (U. S. C. G. S.)
Islas Salomón.

TOLEDO

eP	22h	01m	33s

22.—SISMO DE 17 DE ENERO DE 1960

H = 02h 57m 58s
Mag: 6 1/2 (Pasadena)

14° 1/2 S., 74° 1/2 W. h = 150 kms. ap.
Cerca de la costa S. del Perú. (U. S. C. G. S.)

Réplica del núm. 19.

TOLEDO

eP	03h	10m	25s
epP		10	40
eS		20	11
L		44	30
M		50	30
F	04	00	—

23.—SISMO DE 18 DE ENERO DE 1960

H = 19h 30m 18s

9° N., 77° W. h = 100 kms. ap.
A lo largo de la costa de Panamá. (U. S. C. G. S.)

Sentido (G. III) en Balboa Heights.

TOLEDO

eP	19h	41m	38s

24.—SISMO DE 19 DE ENERO DE 1960

H = 02h 16m 52s
Mag: 6 1/4 - 6 1/2 (Pasadena)

52° N., 158° E. (U. S. C. G. S.)
Cerca de la costa SE. de Kamtchatka.

TOLEDO

eP	02h	29m	42s

25.—SISMO DE 22 DE ENERO DE 1960

H = 11h 27m 30s

36° 4 N., 5° 1 E. (B. C. I. S.)
Argelia.

Sentido (G. VI) en Kerrata (Argel).

ALMERIA

iPn	11h	29m	04,5s	
(Sn)		30	01	
L		31	—	D = 550 kms. = 5°

TOLEDO

ePn	11	29	33

26.—SISMO DE 23 DE ENERO DE 1960

H = 04h 40m 56s
Mag: 6,5 (Pasadena)

4° S., 127° 1/2 E. (U. S. C. G. S.)
Región de la isla Céram.

Premonitorio del núm. 28.

ALMERIA

iP'$_1$	05h	01m	17s	
iPP		01	44	D = 13.800 kms. = 124°

TOLEDO

eP'	05	00	07
ePP		01	41
e		13	57
eSS		18	00
L		48	40

27.—SISMO DE 23 DE ENERO DE 1960

Sin más datos. (L. C. S., Madrid)

TOLEDO

ePn	07h	33m	10s

28.—SISMO DE 23 DE ENERO DE 1960

H = 07h 31m 14s
Mag: 6 3/4 (Pasadena)
4° S., 127° 1/2 E. (U. S. C. G. S.)
Región de la isla de Céram.

ALMERIA

iP'1	07h	50m	16s	
iPP		52	00	
i		52	49	
e(PPP)		54	29	D = 13.800 kms. = 124°

TOLEDO

eP'	07	50	16	
ePP		51	53	
e	08	02	40	
eSS		08	20	
L		37	30	D = 13.500 kms. = 121° 6

29*.—SISMO DE 23 DE ENERO DE 1960

Sin más datos. (L. C. S., Madrid).

ALICANTE

Pg	07h	42m	23s
e		42	28
e		42	38
F		45	26

30*.—SISMO DE 23 DE ENERO DE 1960

Registrado en el Observatorio del Ebro (Madrid).

TOLEDO

ePg	09h	39m	00s

31.—SISMO DE 23 DE ENERO DE 1960

H = 17h 56m 30s
Mag: 6 1/2 - 6 3/4 (Pasadena)
4° S., 127° 1/2 E. (U. S. C. G. S.)
Región de la isla Céram.

Réplica del núm. 28 (B. C. I. S.)

ALMERIA

iP'1	18h	15m	34s	
iPP		17	16	D = 13.800 kms. = 124°

TOLEDO

eP'	18	15	36	
e		16	30	
ePP		17	13	
e(SS)		34	30	
L	19	08	30	

32.—SISMO DE 24 DE ENERO DE 1960

H = 04h 21m 42s
Mag: 6 1/4 - 6 1/2 (Pasadena)
15° 1/2 S., 179° W. (U. S. C. G. S.)
Islas Fidji.

ALICANTE

P'1	04h	41m	40s	
PP		45	54	
SKS		48	45	
SSS	05	11	50	
L		36	23	
Mo		48	15	
F	06	46	—	D = 17.500 kms. = 157° 5

ALMERIA

(L)	05	43	10	D = 17.650 kms. = 159°

TOLEDO

e(P'1)	04	42	01	
eSKS		48	33	
eSS	05	03	43	
L		35	30	
M		41	30	

33*.—SISMO DE 25 DE ENERO DE 1960

Local. Grado II (Alicante).

ALICANTE

Pg	14h	49m	10s	
Sg		49	16	
F		50	24	D = 50 kms. = 0° 5

34.—SISMO DE 25 DE ENERO DE 1960

H = 16h 29m 26s
Mag: 6 1/4 (Pasadena)
16° S., 179° W. (U. S. C. G. S.)
Islas Fidji.

TOLEDO

L	17h	47m	30s
M		56	30

35.—SISMO DE 26 DE ENERO DE 1960

H = 09h 52m 10s
Mag: 6,1 (Uppsala)
40° N., 39° E. (B. C. I. S.)
Turquía.

TOLEDO

eP	09h	58m	42s
L	10	09	30

36.—SISMO DE 26 DE ENERO DE 1960

H = 13h 05m 38s
Mag: 5 1/2 (Atenas)
36° 3/4 N., 29° 1/4 E. (B. C. I. S.)
Turquía.

TOLEDO

ePn	13h	11m	08s

37.—SISMO DE 26 DE ENERO DE 1960

H = 20h 27m 05s
Mag: 5,6 (Uppsala)
46° N., 26° 9 E. h = 160 kms.
Vrancea, Rumania. (B. C. I. S.)

TOLEDO

eP	20h	31m	45s

38*.—SISMO DE 27 DE ENERO DE 1960

Local. Grado III (Alicante).

ALICANTE

Pg	01h	02m	56s	
Sg		03	06	
F		05	25	D = 88 kms. = 0° 8

TOLEDO

ePn	01	03	22

39*.—SISMO DE 28 DE ENERO DE 1960

Sin más datos. (L. C. S., Madrid).

ALICANTE

Pg	10h	44m	47s
e		44	56
F		46	05

40.—SISMO DE 31 DE ENERO DE 1960

H = 05h 08m 16s
Mag: 5,8 (Matsushiro)
32° 9 N., 135° E. (J. M. A., Japón)
Cerca de la costa E. de Shikoku, Japón.

Sentido (G. V) en Himeji, Morotomisaki, Tokushima, Wakayama, Kochi y Takamatsu; G. IV en Shionomisaki, Sumoto, Tsurugisan, Kobe, Shimizu, Okoyama, Toyooka, Matsue, Shimonosaki (J. M. A., Japón).

ALICANTE

(P)	05h	21m	51s	
S		33	10	
PS		34	36	
SSS		43	33	
L		54m	31s	
Mo	06	03	30	D = 10.750 kms. = 96° 7

TOLEDO

L	05	59	30
M	06	09	00
F	07	00	—

41*.—SISMO DE 31 DE ENERO DE 1960

Sin más datos. (L. C. S., Madrid).

ALICANTE

Pg	17h	16m	06s
e		16	11
F		18	15

42.—SISMO DE 1 DE FEBRERO DE 1960

H = 11h 59m 39s
Mag: 5 1/2 (Atenas)
35° 0 N., 22° 8 E. (B. C. I. S.)
Cerca de la costa W. de Creta.

ALICANTE

P	12h	04m	03s	
PPP		04	29	
(S)		07	36	
F		25	—	D = 2.150 kms. = 19° 3

ALMERIA

iP	12	04	20	
PP		04	49	
(PPP)		05	01	
(S)		08	27	D = 2.400 kms. = 21° 5

TOLEDO

eP	12	04	35	
i(S)		08	36	
eSS		09	20	
L		16	35	
M		18	05	
F		25	—	D = 2.490 kms. = 22° 4

43.—SISMO DE 3 DE FEBRERO DE 1960

H = 02h 20m 55s
Mag: 6,4 (Wellington)
37° S., 179° E. (U. S. C. G. S.)
A lo largo de la isla del Norte, Nueva Zelanda

Sentido largamente desde Kaitaia hasta Wellington.

ALMERIA

iP'_1	02h	41m	07s	
$i(pP'_1)$		41	27	
iP'_2		43	21	
ePP		47	03	D = 20.000 kms. = 180°

44*.—SISMO DE 3 DE FEBRERO DE 1960

H = 21h 44m 46s

Mediterráneo occidental. (Almería)

Registrado en Cartuja y en Relizane. (L. C. S., Madrid).

ALMERIA

ePn	21h	45m	24,3s	
lP*		45	27,1	
iSn		45	51,7	
iS*		45	55,3	
iSg		45	58,9	D = 246 kms. = 2° 2

45.—SISMO DE 4 DE FEBRERO DE 1960

H = 03h 46m 39s

Mag: 6 1/2 - 6 3/4 (Pasadena)

4° 1/2 S., 153° 1/2 E. h = 100 kms. (Tacubaya)

Región de Nueva Irlanda. (U. S. C. G. S.)

Sentido (G. IV) en Rabaul, Nuna (5° 50 S., 155° 15 E.), Lohano (5° 20 S., 154° 40 E.), Lolobace (4° 55 S., 151° 10 E.). G. IV-V en Losuia (8° 30 S., 151° 05 E.). Sentido (G. IV) en Nammantari (3° 40 S., 153° 05 E.).

ALICANTE

P´	04h	05m	58s	
PKS		09	33	
SKS		13	07	
L		52	29	
Mo	05	02	56	D = 15.450 kms. = 139°

ALMERIA

eP'_1	04	06	00	
$e(P'_2)$		06	21	
e!		07	50	
iPP		09	02	
e		10	18	
L		54	—	D = 15.650 kms. = 141°

TOLEDO

eP´	04	06	10	
ePP		08	55	
e(PKS)		09	39	
eSKS		13	05	
e		21	33	
eSSS		32	23	
L		49	30	D = 15.170 kms. = 136° 53

46.—SISMO DE 4 DE FEBRERO DE 1960

H = 16h 50m 26s

Mag: 6 -6 1/4 (Matsushiro)

38° 6 N., 143° E. (J. M. A., Japón)

A lo largo de la costa E. de Hondo, Japón.

Sentido (G. IV) en Ishinomaki, Morioka, Fukushima; G. III en Miyako, Sendai, Yamahata, Onahama, Sakata, Yokohama.

ALICANTE

L	17h	36m	18s	
Mo		45	17	
F	18	25	—	D = 10.650 kms. = 95° 8

ALMERIA

e(P)	17h	04m	02s	
ipp		08	13	
e(SKS)		14	21	D = 10.850 kms. = 97° 5

TOLEDO

e	17	16	53	
L		40	50	
M		40	30	
F	18	40	—	

47.—SISMO DE 4 DE FEBRERO DE 1960

H = 20h 57m 52s

38° 8 N., 143° 1 E. (J. M. A., Japón)

Cerca de la costa E. de Hondo, Japón.

Sentido (G. IV) en Ishinomaki, Morioka, G. III en Yamagata, Fukushima (Miyako), (Sandai), (Hachinoe) (según Japón).

TOLEDO

L	21h	52m	30s
M		59	30

48*.—SISMO DE 8 DE FEBRERO DE 1960

Local. Grado II (Alicante).

ALICANTE

Pg	08h	44m	48s	
Sg		44	51,5	
F		46	18	D = 30 kms. = 0° 3

49.—SISMO DE 8 DE FEBRERO DE 1960

H = 12h 45s 34m

Mag: 6 3/4 (Pasadena)

58° S., 67° W. (U. S. C. G. S.)

Estrecho de Drake.

ALICANTE

(P)	13h	00m	09s	
(S)		12	22	
SS		20	16	
L		38	18	
Mo		47	08	
F	14	30	—	D = 12.300 kms. = 110° 7

ALMERIA

i(P)	12	59	57	
(PP)	13	04	42	
L		36	40	D = 12.100 kms. = 109°

TOLEDO

eP´	13	04	21
ePP		04	54
iPS		14	15
iPPS		15	07
e		16	49

iSS	13h	20m	05s
L		38	30
M		49	50

50.—SISMO DE 9 DE FEBRERO DE 1960

H = 23h 55m 29s
Mag: 6 1/2 - 6 3/4 (Pasadena)
4° S., 128° E. (U. S. C. G. S.)
Isla Céram.

ALICANTE

P'	00h	14m	47s	(día 10)
PP		16	27	
PPP		19	03	
SKS		21	48	
SS		33	05	
L		54	05	
Mo	01	03	13	
F		49	—	D = 13.600 kms. = 122° 4

ALMERIA

iP'1	00	14	50	(día 10)
i		14	59	
iPP		16	33	
e		17	55	
(PS)		26	31	
L		56	50	D = 13.650 kms. = 123°

TOLEDO

eP'	00	14	51	(día 10)
iPP		16	45	
ePPP		18	55	
iSKS		21	58	
iPS		26	25	
iSS		33	05	
iSSP		33	45	
Lq		47	05	
Lr		55	15	
M	01	20	35	
F	02	30	—	D = 13.540 kms. = 121° 8

51.—SISMO DE 10 DE FEBRERO DE 1960

H = 23h 19m 55s
Mag: 5 3/4 - 6 (Matsushiro)
15° 1/2 S., 173° N. (U. S. C. G. S.)
Región islas Samoa.

TOLEDO

e(P'2)	23h	40m	05s
L	00	45	35

52*.—SISMO DE 11 DE FEBRERO DE 1960

Sin más datos. (L. C. S., Madrid).

TOLEDO

ePg	21h	16m	02s

53.—SISMO DE 13 DE FEBRERO DE 1960

H = 07h 55m 34s
27° 3/4 N., 21° W. (B. C. I. S.)
Al W. de las islas Canarias.

TOLEDO

eP	07h	59m	52s
L		04	35
M		06	35
F		12	—

54.—SISMO DE 13 DE FEBRERO DE 1960

H = 20h 40m 06s
17° 1/2 S., 70° W. h = 150 kms. ap.
Perú. (U. S. C. G. S.)

TOLEDO

eP	20h	52m	19s
e		52	59

55.—SISMO DE 19 DE FEBRERO DE 1960

H = 10h 36m 46s
Mag: 6 1/2 (Kew)
36° N., 70° 1/2 E. h = 200 kms. ap.
Hindu-Kush. (U. S. C. G. S.)

Sentido en Warsak, Peshawar, Rawalpindo, Koat, Chaklalas, Sargodho, Lahore, Kabul.

ALICANTE

P	10h	45m	54s	
PP		48	02	
S		53	36	
SS		57	26	
L	11	03	18	
Mo		07	50	
F		53	—	D = 6.100 kms. = 54° 9

ALMERIA

iP	10	46	20	
ipP		47	09	
isP		47	31	
iPcS		51	00	
iS		53	58	
isS		55	14	
iScS		55	29	D = 6.350 kms. = 57°

TOLEDO

iP	10	46	20	(compresión)
ipP		47	10	
isP		47	32	
iPP		48	41	
ipPP		49	20	
ePPP		50	02	
i		51	02	
is		54	02	
e		54	41	
isS		55	24	

èsP	10h	55m	39s	
iSS		57	52	
esSS		59	22	D = 6.355 kms. = 57° 2

56*.—SISMO DE 20 DE FEBRERO DE 1960

Sin más datos. (L. C. S., Madrid).

ALICANTE

Pg	10h	15m	05s	
e		15	09	
F		16	10	

57.—SISMO DE 21 DE FEBRERO DE 1960

H = 00h 46m 56s
Mag: 6,4 (Wellington)
42° S., 173° E. h = 60 kms.
Islas al S. de Nueva Zelanda. (U. S. C. G. S.)

Sentido en Plymouth hasta Timaru; intensidad máxima VI (Wellington).

ALMERIA

eP'1	01h	07m	00s	
ipP'1		07	32	D = 19.550 kms. = 176°

TOLEDO

eP'1	01	07	05	
eP'2		08	45	
L	02	19	30	

58.—SISMO DE 21 DE FEBRERO DE 1960

H = 08h 13m 32s
Mag: 5,6 (Kew)
36° 0 N., 4° 1 E. (B. C. I. S. y Argel)
Argelia, Djebel Choukott.

Sismo destructor, 47 muertos, 88 heridos.

Sentido (G. VIII-IX) en Beni-Ilman y Melouza; G. VII en Bordj Okhris; G. V en Sidi-Aïssa; G. IV-V en Aïn-el-Hadjel; G. IV en Argel, Bouira, Dra-el Mizan, El-Adjiba Medjima, etc.

ALICANTE

Pn	08h	14m	46s	
Sn		15	32	
F		34	—	D = 425 kms. = 3° 8

ALMERIA

iPn	08	14	54,1	
ePg		15	22	
i		15	51	
iSn		16	08	
iS*		16	30	
iSg		16	41	
iL		16	45	D = 700 kms. = 6° 3

TOLEDO

iPn	08	15	29	(dilatación)
i*		15	52	
i	08h	16m	16s	
iSn		16	59	
i(Li)		17	12	
Lq		17	24	
Lr		18	28	
F		32	—	D = 870 kms. = 7° 85

59.—SISMO DE 23 DE FEBRERO DE 1960

H = 00h 31m 00s
Mag: 5 - 5 1/4 (Atenas)
39° 0 N., 20° 8 E. (B. C. I. S.)
Grecia.

Premonitorio del siguiente.

Sentido en las islas Leucada (G. V-VI en Leucas), de Cefalonia (G. IV-V en Kalamos) y de Corfú (G. IV-V en Leukímmi) y en las regiones de Preveza (G. V-VI en Michalitsión), de Acarnania (G. IV-V en Astakos), de Aetolia, de Arta, de Thesprotie y de Jannina. Superficie macrosísmica: 30.000 kilómetros cuadrados, aproximadamente (Atenas).

ALICANTE

P	00h	34m	50s	
S		37	51	
L		39	15	
F		55	—	D = 1.800 kms. = 16° 2

60.—SISMO DE 23 DE FEBRERO DE 1960

H = 07h 34m 33s
Mag: 5 1/2 (Atenas)
39° 0 N., 20° 8 E. (B. C. I. S.)
Grecia.

25 casas destruidas, 37 dañadas en la región de Provenza.

Sismo sentido en las regiones de Preveza (G. VII-VIII en Mytikas, G. VII en Flaboura, G. VI-VII en Kamarina, Preveza y Michalitsión), de Acarnanie (G. VI en Peratia, G. V-VI en Kandila, Vonetsa, Mytikas), de Aetolia, de Arta (G. V-VI en Korfovounion), de Jannina, de Thesprotie y en las islas de Leucade (G. V-VI en Leucas) y de Corfú. Superficie macrosísmica: 60.000 kilómetros cuadrados (según Atenas).

ALICANTE

P	07h	38m	22s	
L		42	47	
Mo		44	52	
F	08	10	—	D = 1.800 kms. = 16° 2

TOLEDO

eP	07	38	54
ePP		39	04
e(S)		42	23
L		44	00
M		47	50
F	08	10	—

61.—SISMO DE 24 DE FEBRERO DE 1960

H = 21h 37m 04s
Mag: 6 1/2 - 6 3/4 (Pasadena)
7° 1/2 S., 156° E. (U. S. C. G. S.)
Islas Salomón.

Sentido (G. I-II) en Rabaul; G. III en Buin Kieta; G. II en Numa (según Rabaul).

ALICANTE

P'	21h	56m	30s	
PP		59	48	
(SKS)	22	03	46	
L		44	34	
Mo		55	16	
F	23	40	—	D = 15.800 kms. = 142° 2

ALMERIA

iP'1	21	56	40	
i		56	58	
iPP		59	57	
L	22	48	—	D = 16.100 kms. = 145°

TOLEDO

iP'	21	56	37	(dilatación)
ePP		59	49	
eSKKS	22	06	56	
eSS		18	12	
e		27	10	
L		48	55	
M		54	35	D = 15.900 kms. = 143°

62*.—SISMO DE 26 DE FEBRERO DE 1960

Sacudida local débil (Alicante).

ALICANTE

Pg	16h	15m	15s
F		15	36

63.—SISMO DE 26 DE FEBRERO DE 1960

H = 23h 29m 25s
Mag: 6 - 6 1/4 (Pasadena)
50° 1/2 N., 178° W. (U. S. C. G. S.)
Islas Andreanow, Aleutianas.

ALICANTE

P	23h	42m	27s	
(S)		53	18	
L	00	12	27	
F		35	—	D = 10.000 kms. = 90°

ALMERIA

eP	23	42	34	
e		42	51	
eS		53	29	D = 10.150 kms. = 91° 5

TOLEDO

iP	23	42	23	(dilatación)
eS		53	04	
e	23h	59m	28s	
L	00	21	00	
M		33	35	
F		50	—	

64.—SISMO DE 27 DE FEBRERO DE 1960

Sin más datos. (L. C. S., Madrid).

TOLEDO

eP	08h	59m	27s	Trazas

65.—SISMO DE 27 DE FEBRERO DE 1960

Sin más datos. (L. C. S., Madrid).

TOLEDO

L	09h	11m	35s
M		15	35

66.—SISMO DE 27 DE FEBRERO DE 1960

H = 08h 56m 00s
30° 1/2 S., 179° 1/2 W. (U. S. C. G. S.)
Islas Kermadec.

ALMERIA

eP'1	09h	16m	14s	
e(P'2)		17	53	D = 19.250 kms. = 173°

67.—SISMO DE 27 DE FEBRERO DE 1960

Sin más datos. (L. C. S., Madrid).

TOLEDO

L	10h	24m	35s
M		44	35

68*.—SISMO DE 27 DE FEBRERO DE 1960

Local.

ALMERIA

iPg	14h	18m	05,3s	
i(Sg)		18	13,1	D = (67) kms. = 0° 6

69*.—SISMO DE 27 DE FEBRERO DE 1960

Réplica del anterior (?) (Almería).

ALMERIA

iPg	14h	42m	52,1s

70.—SISMO DE 29 DE FEBRERO DE 1960

H = 23h 40m 14s
Mag: 6,4 (Pasadena)
30° 27′ N., 9° 37′ W. (B. C. I. S.)
Agadir, Marruecos.

Sismo destructor en Marruecos, en Agadir y sus alrededores: G. X en Agadir (Barrio de Founti, la casbah, Yacheh, Talborj); G. IX en Agadir (ciudad administrativa y ciudad nueva con numerosos edificios modernos destruidos); G. VIII-IX en los pueblos de Assersif y de Aït-Lamine; G. VIII en Taourit y Anou n'Feg; G. VII en Anza, El Khemis, Agadir (ciudad industrial); G. VI en El Ma, Ben Sergao, Inezgane, Luis Gentil, Tiznit, etc.; G. V en Chemaïa, Idni; G. IV en Marrakech, Safi; G. III en Askoum, Tanahaouti; G. II en Casablanca.

Alrededor de 10.000 muertos; destrucciones del 100 por 100 en los barrios de la ciudad de Agadir situados en la proximidad inmediata del plano de falla que limita por el Sur el anticlinal pre-atlasiano; grietas en el terreno; daños muy importantes en los barrios de la ciudad administrativa y de la ciudad nueva; numerosas víctimas en los edificios afectados; rápida disminución de los daños hacia el Sudeste.

Radio de la zona de daños importantes: 4-5 kilómetros. Foco probablemente muy superficial (h = 2 kilómetros aproximadamente).

La sacudida principal ha sida precedida de dos sacudidas premonitorias el 23 de febrero a las 12h 16m, y el 29 de febrero a las 11h 45m. Sentido G. VII en Agadir).

Un centenar de réplicas han sido sentidas en Agadir en los meses de marzo y abril.

Las primeras noticias sobre un maremoto y modificaciones de la altura del fondo submarino no han sido confirmadas.

(Se han publicado trabajos sobre este sismo por R. Ambroggi, G. Choubert, H. P. Fluke y Rothe.)

ALICANTE

iP	23h	42m	54s	
iS		45	06	D = 1.300 kms. = 11° 7

ALMERIA

iPn	23	42	22,1	
iPP		42	30,6	
e		42	42	
i		43	47	
iSn		44	06,6	
i(S)		44	34	
L		45	07	
M		45	54	
iPcP		46	41	
iPcS		50	08,1	D = 980 kms. = 8° 8

TOLEDO

iPn	23	42	45	(compresión)
i(Pa)		44	23	
iSn	23h	44m	31s	
iSn		44	32	
iSn		44	35	
iSn		44	36	
i		44	50	
i		45	13	
iS*		45	19	
i(Sg)		45	32	
i		45	43	
L		45	58	
i(Rg)		46	40	
M		47	20	
F	00	40	—	

71.—SISMO DE 2 DE MARZO DE 1960

H = 21h 56m 25s
Mag: 5 1/2 (Kew)
52° N., 30° W. (U. S. C. G. S. y B. C. I. S.)
Cresta mediana del Atlántico.

ALICANTE

eP	22h	01m	49s	
PP		02	25	
S		06	09	
L		08	46	
Mo		11	51	
F		25	—	D = 2.750 kms. = 24° 7

ALMERIA

e(P)	22	01	21	
iPP		01	59	D = 2.700 kms. = 24° 5

TOLEDO

eP	22	01	19	
eS		05	29	
L		06	30	
F		15	—	D = 2.640 kms. = 23° 8

72.—SISMO DE 3 DE MARZO DE 1960

Sin más datos (L. C. S., Madrid).

ALMERIA

(i)	14h	34m	41,7s	
i		35	35,9	

73*.—SISMO DE 3 DE MARZO DE 1960

Local.

ALMERIA

iPg	17h	10m	23,9s	
iSg		10	25,3	

74.—SISMO DE 4 DE MARZO DE 1960

H = 02h 15m 56s
50° 1/2 N., 177° W. (U. S. C. G. S.)
Islas Andreanov, Aleutianas

TOLEDO

eP	02h	28m	59s

75.—SISMO DE 4 DE MARZO DE 1960

H = 03h 53m 08s
Mag: 6,6 (Matsushiro)
30° 9 N., 130° 7 E. h = 140 kms.
Cerca de la costa S. de Kiu-Siu, Japón (J. M. A., Japón)

Sentido (G. V) en Yaku-Shima, Kagoshima, Miyazaki, Oita, Kochi; G. IV en Uwajima, Shimiza, Takamatsu, Tokushima, Okayama, Tottori.

ALICANTE

P	04h	06m	16s	
eS		17	24	
F		58	—	D = 10.750 kms. = 96° 7

ALMERIA

iP	04	06	32	
iPP		10	36	
(eS)		17	44	D = 10.950 kms. = 98° 5

TOLEDO

eP	04	06	30
ePP		10	21
e		20	13
eSS		23	05
L		55	15
M		55	35

76.—SISMO DE 4 DE MARZO DE 1960

H = 21h 05m 45s
Mag: 6 (Matsushiro)
7° 1/2 N., 94° E. (U. S. C. G. S.)
Islas Nicobar.

ALMERIA

iP	21	18	55	
e		26	20	
eS		29	29	
iL		42	24	D = 10.050 kms. = 90° 5

TOLEDO

eP	21	24	31	(trazas)

77.—SISMO DE 5 DE MARZO DE 1960

H = 11h 25m 00s
29° N., 81° E. (U. S. C. G. S.)
Nepal.

ALMERIA

iP	11h	36m	07s	
ePP		38	31	D = 7.550 kms. = 68°

TOLEDO

iP	11	36	08	(compresión)

78.—SISMO DE 5 DE MARZO DE 1960

H = 13h 49m 16s
Mag: 6 3/4 (Pasadena)
1° N., 129° E. (U. S. C. G. S.)
Halmahera.

ALICANTE

eP′	14h	08m	06s	
SKS		15	02	
SS		25	49	
L		46	00	
Mo		54	59	
F	15	45	—	D = 13.250 kms. = 119°

ALMERIA

eP′$_1$	14	08	16	
iPP		09	38	
e(PPP)		12	44	
L		51	50	D = 13.500 kms. = 121° 5

TOLEDO

eP′	14	08	12
ePP		09	47
e(SKS)		14	24
e(SKKS)		16	05
e		18	35
e		20	27
e		21	31
eSS		26	25
eSSS		28	45
L		34	35
L		46	00
M		56	45

79.—SISMO DE 6 DE MARZO DE 1960

H = 02h 22m 06s
Mag: 6 1/4 - 6 1/2 (Matsushiro)
1° N., 129° E. (U. S. C. G. S.)
Halmahera

TOLEDO

L	03h	24m	35s
		36	35

80.—SISMO DE 6 DE MARZO DE 1960

H = 04h 11m 54s
Mag: 5 - 5 1/4 (Berkeley)
24° N., 108° W. (U. S. C. G. S.)
Golfo de California.

ALICANTE

L	04h	53m	54s	
Mo	05	02	46	
F		15	—	D = 9.750 kms. = 87° 7

TOLEDO

L	04	52	35
M	05	01	35

81*.—SISMO DE 8 DE MARZO DE 1960

Local.

ALMERIA

iPg	13h	31m	11,9s	
iSg		31	15,2	
eS*		31	18	D = 29 kms. = 0° 3

82.—SISMO DE 8 DE MARZO DE 1960

H = 16h 33m 38s
Mag: 7 - 7 1/4 (Pasadena)
16° 1/2 S., 168° 1/2 E. h = 250 kms. ap.
Nuevas Hébridas. (U. S. C. G. S.)

Sentido (G. IV) en Port Vila (según Nouméa).

ALICANTE

iP'1	16h	53m	07s	
P'2		53	20	
iPP		57	09	
SKS		59	34	
PPP	17	00	46	
SKKKS		05	12	
L		47	38	
F	18	15	—	D = 17.300 kms. = 155° 7

ALMERIA

iP'1	16	53	11	
iP'2		53	47	
e		54	55	
iPP		57	30	
iPPP	17	01	31	
e		05	05	D = 17.550 kms. = 158°

TOLEDO

iP'1	16	53	06	(dilatación)
iP'2		53	16	
i(pP)		53	36	
i		55	15	
i		56	20	
iPP		57	08	
iPP		57	13	
e		59	43	
ePPP	17	00	21	
i(SKKS)		03	33	
e		05	28	
e		07	30	
e		08	56	
e		13	03	
eSS		15	47	
i(SSS)		21	53	
(L)		29	33	D = 17.110 kms. = 110°

83.—SISMO DE 9 DE MARZO DE 1960

H = 23h 54m 20s
Mag: 6,3 (Tacubaya)
16° S., 72° W. h = 150 kms. ap.
Sur del Perú. (U. S. C. G. S.)

Sentido (G. III) en Arica; G. II en Iquique (según Santa Lucía).

ALMERIA

iP	00h	06m	46s	
ipP		07	30	
eS		16	54	D = 9.350 kms. = 84°

TOLEDO

eiP	00	06	46	
i		07	02	
i		07	14	

84.—SISMO DE 10 DE MARZO DE 1960

H = 13h 44m 25s
Mag: 5 3/4 - 6 (Matsushiro)
174° W., 15° S. (U. S. C. G. S.)
Región de las islas Samoa.

Sentido (G. IV) en Apia (según Apia).

TOLEDO

eP	14h	04m	18s
i		04	38

85.—SISMO DE 12 DE MARZO DE 1960

H = 11h 54m 01s
Mag: 5 3/4 - 6 (Atenas)
42° N., 21° E. (B. C. I. S.)
Macedonia.

Sentido en la región de la Montaña Chara: G. VIII en Tetovo y en Gostivar; G. VII en Prizren, Kacanik, Skopje (según Skopje), un muerto, numerosos heridos, algunos daños en las casas de Tetovo, Veles y Prilep (prensa).

Sentido en las regiones de Florina (G. IV-V) en Florina Emathia y Kozani (según Atenas).

ALICANTE

(P)	11h	57m	50s	
PP		58	03	
S	12	00	51	
L		02	15	
Mo		04	20	
F		18	—	D = 1.800 kms. = 16° 2

ALMERIA

eP	11	58	20	
i		58	30	
iPP		58	38	
i(SS)	12	02	31	
L		05	10	D = 2.100 kms. = 19°

TOLEDO

eP	11h	58m	25s	
iS	12	01	57	
e		01	58	
iSS		02	15	
eSSS		02	31	
e		02	45	
L		04	35	
M		07	05	D = 2.165 kms. = 19° 5

86.—SISMO DE 12 DE MARZO DE 1960

H = 20h 30m 39s
Mag: 6 1/2 (Pasadena)
6° S., 152° E. (U. S. C. G. S.)
Nueva Bretaña.

Sentido (G. III) en Rabaul (según Rabaul).

ALICANTE

(P)	20h	47m	30s	
PKS		53	44	
SKS		57	18	
PPS	21	05	21	
SS		11	23	
L		35	53	
F		58	—	D = 15.500 kms. = 139° 5

ALMERIA

iP	20	50	10	
i		50	18	
i		50	30	
iPP		53	19	
e(SKS)		56	52	D = 15.700 kms. = 141° 5

TOLEDO

eP'	20	50	13	
ePP		53	11	
e(PKS)		53	54	
e		54	05	
eSKS		57	04	
eSS	21	11	23	
L		44	35	
M		49	35	

87.—SISMO DE 13 DE MARZO DE 1960

H = 05h 15m 04s
36° 56' N., 3° 11' E. (B. C. I. S.)
Mediterráneo, a lo largo de la bahía de Argel.

Sentido (G. V) en Argel y sobre el litoral (según Argel).

ALICANTE

Pn	05h	16m	29s	
Sn		17	35	
F		30	—	D = 616 kms. = 5° 6

ALMERIA

e(Pn)	05	16	22	
Pg		17	35	
(Sn)		17	18	D = 535 kms. = 4° 8

TOLEDO

ePn	05h	16m	23s	

88.—SISMO DE 16 DE MARZO DE 1960

H = 17h 39m 16s
Mag: 6 - 6 1/4 (Matsushiro)
15° 1/2 S., 173° 1/2 W. (U. S. C. G. S.)
Región de las islas Samoa.

TOLEDO

eP'	17h	59m	24s	
L	18	59	35	

89*.—SISMO DE 17 DE MARZO DE 1960

Probable explosión artificial (Toledo).

TOLEDO

iPg	15h	07m	51s	
iSg		08	00	
M		08	20	
F		09	—	D = 78 kms. = 7°

90*.—SISMO DE 17 DE MARZO DE 1960

Local.

Grado II-III. Sentido en Salinas (Villena).

ALICANTE

Pg	20h	10m	41s	
Sg		10	44	
F		12	06	D = 28 kms. = 0° 3

91.—SISMO DE 20 DE MARZO DE 1960

H = 17h 07m 30s
Mag: 7 (Pasadena)
40° N., 143° 1/2 E. h = 60 kms.
Cerca de la costa NE. (U. S. C. G. S.)
de Hondo, Japón.

Sentido (G. VII) en Miyako, Hachinohe, Morioka, Aomari, Mizusawa; G. V en Fukushima, Sakata, Obihiro, Ishinomaki, Urakaw, Akita, Sendai, Hakodate; G. VI en Yamagata, Muroran, Tomakomasi, Kushiro, Niigata, Maebashi; G. III en Hiroo, Mori, Onahama, Sapporo, Utsunomiya, Kakioka, Tokyo. Maremoto con olas de 1,50 m. de altura en Miyako.

ALICANTE

eP	17h	20m	45s	
PPP		26	42	
eS		31	56	
SS		38	26	
L		52	48	
Mo	18	00	12	
M		05	43	
F	20	25	—	D. = 10.550 kms. = 94° 9

ALMERIA

iP	17h	20m	53s	
iPP		25	05	
i		25	29	
e(SKS)		31	46	
eS		32	09	
iPPS		34	27	
L		53	30	D = 10.800 kms. = 97°

TOLEDO

eiP	17	20	55	
epP		21	10	
iPP		24	59	
ipPP		25	15	
iPPP		27	19	
i		29	12	
iSKS		31	29	
iS		32	12	
isS		32	27	
iSS		38	41	
eSSP		39	07	
iSSS		42	17	
iLq		48	57	
eLg		48	59	
iLg		51	53	
Lr		56	20	
M	18	09	35	D = 10.780 kms. = 97°

92.—SISMO DE 21 DE MARZO DE 1960

H = 00h 34m 50s
Mag: 6 1/2 (Pasadena)
39° 7 N., 143° 4 E. (J. M. A., Japón)
A lo largo de la costa E. de Hondo, Japón.

Sentido (G. IV) en Miyako, Morioka, Mizusawa; G. III en Aomori, Muroran (Hachinohe, Hakodate, Kushiro) (según J. M. A.).

ALICANTE

(P)	00h	48m	17s	
S		59	31	
L	01	20	24	
Mo		29	13	
F		55	—	D = 10.600 kms. = 95° 4

TOLEDO

eP	00	48	16	
L	01	24	35	
M		36	05	

93.—SISMO DE 21 DE MARZO DE 1960

H = 09h 18m 22s
Mag: 5 3/4 - 6 (Matsushiro)
40° N., 143° E. (U. S. C. G. S.)
A lo largo de la costa E. de Hondo, Japón.

Sentido (G. IV) en Morioka, Miyako, Mizusawa, Aomori; G. III en Hachinohe (Urakawa, Hakodate).

ALICANTE

L	10h	03m	51s	
Mo		11	15	
F		25	—	D = 10.550 kms. = 94° 9

TOLEDO

eP	09	31	48	
L	10	09	35	
M		19	35	

94*.—SISMO DE 21 DE MARZO DE 1960

H = 18h 17,3m
Sur de España. (B. C. I. S.)

Registrado en Cartuja.

ALMERIA

ePg	18h	17m	27,5s	
e		17	34	
i		17	38,5	
iSg		17	42,5	
iSn		17	45	D = 128 kms. = 1° 15

95.—SISMO DE 23 DE MARZO DE 1960

H = 00h 23m 22s
Mag: 6 1/2 - 6 3/4 (Pasadena)
39° 1/2 N., 143° E. (U. S. C. G. S. y B. C. I. S.)
A lo largo de la costa E. de Hondo.

Sentido (G. V) en Miyako, Morioka, Mizusawa, Ishinomaki, Urakawa, Sakata; G. IV en Hachinohe, Sendai, Aomori, Akita, Kukushima, Obihiro, Kushiro (J. M. A., Japón).

ALICANTE

P	00h	36m	49s	
PP		40	41	
S		48	03	
SS		54	33	
L	01	08	56	
Mo		17	56	
F	02	45	—	D = 10.600 kms. = 95° 4

ALMERIA

(P)	00	36	54	
i		42	12	
(eS)		48	07	
eSS		55	17	
L	01	11	40	D = 10.850 kms. = 97° 5

TOLEDO

eP	00	36	51	
e		40	27	
ePP		40	49	
ePPP		42	47	
iSKS		47	34	
iSKS		47	44	
eiS		48	09	

iS	00h	48m	14s	
iPS		49	37	
iPPS		50	19	
e		52	57	
eSS		54	37	
Lq	01	09	12	
M		21	35	
F	03	30	—	D = 10.820 kms. = 97° 4

96.—SISMO DE 23 DE MARZO DE 1960

H = 23h 08m 53s
Mag: 4,6 (Praha)
46° 29′ N., 8° 06′ E. (B. C. I. S.)
Alpes, Suiza.

Sentido (G. VIII) en Brig, Fiesch e Interlaken (daños materiales G. IV-V en el resto de Suiza) (según Zürich).

Sentido en Italia, G. V-VI en Mosso S. María, provincia de Vercelli; G. V en Oropa (Vercelli) y Ornegna (provincia de Novara); G. IV en Turín, Cuarqui y Transella (provincia de Turín), Andorno Micca (Vercelli), Agas (Aosta), Spiana y Ardenno (Sondrio), Bogoguo, Borgomanero, Oleggiok, Stresa (Novara), Lanzo Inbelbi (Como) y Vigevano (Pavía) (según Roma).

Sentido igualmente en Francia hasta Strasbourg.

ALICANTE

P	23h	11m	19s	
eS		13	12	
SSS		13	36	
L		14	06	
Mo		15	13	
F		45	—	D = 1.100 kms. = 9° 9

ALMERIA

i(P)	23	11	36	
L		16	—	D = 1.300 kms. = 12°

TOLEDO

eP	23	11	29	
ePP		11	40	
iLgl		14	23	
L		14	35	D = 1.175 kms. = 10° 57

97.—SISMO DE 27 DE MARZO DE 1960

H = 03h 48m 27s
Mag: 6 1/2 (Berkeley)
13° 1/2 S., 166° E. (U. S. C. G. S.)
Nuevas Hébridas.

TOLEDO

eP′	04h	08m	26s	
e		09	32	

98.—SISMO DE 27 DE MARZO DE 1960

H = 08h 57m 53s
Mag: 6 1/2 (Berkeley)
13° 1/2 S., 166° 1/2 E. (U. S. C. G. S.)
Nuevas Hébridas.

ALMERIA

eP′1	09h	17m	37s	
iP′2		18	00	
e		18	20	
(iPP)		21	46	D = 17.150 kms. = 154° 5

TOLEDO

eP′	09	17	44	
e		31	27	
L	10	17	35	

99.—SISMO DE 28 DE MARZO DE 1960

H = 00h 13m 38s
Mag: 6 1/2 - 6 3/4 (Pasadena)
7° 1/2 N., 82° W. (U. S. C. G. S. y B. C. I. S.)
A lo largo de la costa S. de Panamá.

Sentido (G. III) en Nalboa Heights y la isla Coïba.

ALICANTE

(P)	00h	25m	46s	
S		35	45	
F	01	10	—	D = 8.800 kms. = 79° 2

ALMERIA

eP	00	25	27	
i		25	34	
(S)		35	10	
(PS)		35	48	D = 8.550 kms. = 77°

TOLEDO

iP	00	25	28	(compresión)
iS		35	11	
eSS		40	07	
L		50	35	D = 8.535 kms. = 76° 8

100.—SISMO DE 28 DE MARZO DE 1960

H = 06h 35m 58s
13° 1/2 S., 166° E. (U. S. C. G. S.)
Nuevas Hébridas.

Réplica del núm. 97 (B. C. I. S.).

TOLEDO

eP′	06h	55m	55s	
e		57	27	

101.—SISMO DE 28 DE MARZO DE 1960

H = 06h 42m 44s
13° 1/2 S., 166° E. (U. S. C. G. S.)
Nuevas Hébridas.

Réplica del núm. 97 (B. C. I. S.).

TOLEDO

eP′	07h	02m	34s	

102.—SISMO DE 28 DE MARZO DE 1960

H = 20h 48m 45s

57° 3/4 N., 32° W. (B. C. I. S.)
Atlántico Norte.

TOLEDO

eP	20h	54m	17s	
e		54	51	
L	21	01	35	

103.—SISMO DE 29 DE MARZO DE 1960

H = 06h 30m 54s
Mag: 6 3/4 (Pasadena)

17° S., 167° E. (U. S. C. G. S.)
Nuevas Hébridas.

Sentido (G. V) en Port Vila (Vaté), Vakes (Epi); G. IV en Norsup (Millicolo), Santo (Luganville) (según Noumea).

ALICANTE

P'_1	06h	50m	49s	
SKS		57	54	
SS	07	14	40	
L		44	43	
Mo		56	28	
F	08	50	—	D = 17.300 kms. = 155° 7

ALMERIA

iP'_1	06	51	00	
iP'_2		51	23	
i		51	36	
e(PP)		55	08	
eSKKS	07	01	29	
eLQ		35	40	
eLR		45	—	D = 17.550 kms. = 158°

TOLEDO

eP'_1	06	50	57	
iP'_2		51	25	
i		51	43	
ePP		55	05	
e		57	17	
ePPP		58	37	
e	07	03	05	
e		04	21	
ePPS		08	07	
iSS		14	59	
eSSS		21	17	
L		35	35	
M		55	35	

104.—SISMO DE 30 DE MARZO DE 1960

H = 10h 49m 47s
Mag: 6 (Matsushiro)

13° 1/2 S., 166° E. (U. S. C. G. S.)
Nuevas Hébridas.

ALICANTE

(P'_1)	11h	09m	38s	
SKKS		20	19	
F	12	20	—	D = 16.950 kms. = 152° 5

ALMERIA

iP'_1	11	09	44	
i		10	29	
ePP		13	42	D = 17.150 kms. = 154° 5

TOLEDO

eP	11	09	46	
eSKKS		20	17	
L		32	35	

105.—SISMO DE 31 DE MARZO DE 1960

H = 19h 56m 14s
Mag: 5 3/4 (Matsushiro)

26° N., 110° W. (U. S. C. G. S.)
Golfo de California.

ALICANTE

(P)	20h	09m	08s	
SKS		19	35	
L		38	26	
Mo		47	18	
F	21	05	—	D = 9.800 kms. = 88° 2

TOLEDO

eP	20	08	59	
eS		19	29	
eSS		25	01	
L		35	20	
M		45	30	
F	21	20	—	D = 9.555 kms. = 86°

106.—SISMO DE 1 DE ABRIL DE 1960

H = 14h 12m 05s
Mag: 5 (Moskva)

49° N., 129° 1/2 W. (U. S. C. G. S.)
A lo largo de la costa de la isla de Vancouver.

ALICANTE

L	14h	51m	12s	
Mo		57	36	
F	15	20	—	D = 9.050 kms. = 81° 5

107*.—SISMO DE 2 DE ABRIL DE 1960

Dudoso (Almería).

ALMERIA

e(Pn)	13h	25m	39s	
ePg		25	53	
eSn		26	30	D = 470 kms. = 4° 22

108.—SISMO DE 4 DE ABRIL DE 1960

H = 07h 56m 15s
Mag: 5 1/2 (Matsushiro)
10° S., 161° 1/3 E. h = 100 kms. ap.
Isla Salomón. (U. S. C. G. S.)

TOLEDO

eP'1	08h	15m	50s
e(pP'1)		16	19

109.—SISMO DE 6 DE ABRIL DE 1960

H = 02h 05m 06s
20° S., 68° 1/2 W. (U. S. C. G. S.)
Frontera Chile-Bolivia.

Sentido (G. III-IV) en Tarapacá y Antofagasta (según Santa Lucía).

TOLEDO

eP	02h	17m	49s	(trazas)

110.—SISMO DE 7 DE ABRIL DE 1960

H = 23h 55m 54s
Mag: 6 (Berkeley)
21° S., 177° W. h = 200 kms. ap.
Islas Tonga. (U. S. C. G. S.)

TOLEDO

eP	00h	15m	34s	(día 8)
i		16	17	
i		17	05	
e		19	50	

111*.—SISMO DE 12 DE ABRIL DE 1960

H = 05h 00,9m
Probable núcleo de Carlet, Valencia (Alicante). (B. C. I. S.)

ALICANTE

P	05h	01m	26s	
e		01	41	
e		01	48	
F		03	—	D = (125) kms. = 1° 1

TOLEDO

ePg	05	01	35	
eSg		02	08	
F		03	40	D = 280 kms. = 5° 9

112.—SISMO DE 13 DE ABRIL DE 1960

H = 12h 37m 38s
Mag: 6 (Pasadena)
15° 1/2 N., 92° 1/2 W. (U. S. C. G. S.)
Frontera Guatemala-Méjico.

Daños Huchuatemango, San Marcos (Guatemala) y en la región frontera entre Guatemala y Méjico (según San Salvador). Un muerto. 14 heridos (según U. S. C. G. S.).

ALICANTE

L	13h	17m	12s	
Mo		23	36	
F		35	—	D = 9.150 kms. = 82° 4

ALMERIA

iP	12	49	51	
ePP		52	54	D = 9.000 kms. = 81°

TOLEDO

eP	12	49	44	
e		50	00	
eS		59	42	
L	13	16	40	
M		22	10	

113*.—SISMO DE 13 DE ABRIL DE 1960

Grado II-III. Probablemente marítimo (Alicante).

ALICANTE

Pg	19h	22m	22s	
Sg		22	29	
F		24	20	D = 60 kms. = 0° 5

114.—SISMO DE 15 DE ABRIL DE 1960

H = 22h 05m 06s
Mag: 6 1/2 (Pasadena)
13° 1/2 S., 166° E. (U. S. C. G. S.)
Nuevas Hébridas

ALICANTE

P'1	22h	24m	57s	
P'2		25	15	
PP		28	50	
SKS		32	03	
SKKS		35	38	
SS		48	18	
SSS		54	05	
F	23	35	—	D = 16.950 kms. = 152° 5

ALMERIA

eP'1	22	24	59	
iP'2		25	25	
ePP		28	59	
iSKS		31	56	
i		38	21	D = 17.150 kms. = 154° 5

TOLEDO

iP'1	22	25	07	
i		25	14	
i		25	21	
i(P'2)		26	45	

iPP	22h	28m	53s	
eSS		48	42	
L	23	31	40	D = 16.755 kms. = 150° 8

115*.—SISMO DE 18 DE ABRIL DE 1960

Muy débil (Alicante).

ALICANTE

Pg	19h	20m	37s	
e		20	46	
F		22	03	

116.—SISMO DE 22 DE ABRIL DE 1960

H = 20h 26m 28s
Mag: 5 1/2 (Matsushiro)
17° 1/2 S., 174° 1/2 W. h = 200 kms. ap.
Islas Tonga. (U. S. C. G. S.)

ALICANTE

P'_1	20h	45m	56s	
PP		50	16	
SKS		52	36	
PPP		54	00	
F	22	02	—	D = 17.600 kms. = 158° 4

ALMERIA

iP'_1	20	46	08	
ipP'_1		46	47	
esP'_1		47	36	
iPP		50	28	D = 17.700 kms. = 159° 5

TOLEDO

iP'_1	20	46	05	(dilatación)
iP'_2		46	30	
epP'_1		46	57	
ipP'_2		47	27	
iPP		50	06	D = 17.110 kms. = 154°

117.—SISMO DE 24 DE ABRIL DE 1960

H = 03h 22m 23s
Mag: 6 3/4 - 7 (Matsushiro)
6° S., 113° 1/2 E. h = 600 kms. ap.
Mar de Java. (U. S. C. G. S.)
H = 03h 22m 30s (Moskva)

ALICANTE

P'	03h	40m	06s	
PPP		43	31	
SKS		45	40	
F	04	15	—	D = 12.600 kms. = 113° 4

ALMERIA

iP'_1	03	40	00	
i		40	58	
iPP		41	06	
iSKS		45	54	
iSKKS		47	04	
iPKKP		50	51	D = 12.700 kms. = 114° 5

TOLEDO

iP'	03h	40m	03s	(compresión)
e		40	19	
iPP		41	09	
epPP		43	05	
i		47	10	
i		49	51	
i		51	11	
i		53	50	
i		59	46	
e	04	10	46	
F	05	00	—	D = 12.665 kms. = 114°

118*.—SISMO DE 24 DE ABRIL DE 1960

Local (Almería).

ALMERIA

iPg	04h	28m	56s	
iSg		28	57	
i		29	05	D = 8 kms. = 0° 08

119.—SISMO DE 24 DE ABRIL DE 1960

H = 12h 14,5m
(Mag: 6 (Moskva)
27° 6 N., 54° 1 E. (Según P. Stahal, estación
Sur del Irán. Región de de Chiraz (Teheran)
la ciudad de Lar.

450 muertos, 2.000 heridos; importantes daños en Lar; daños en Kourdeh; daños ligeros en Latifi, Khur, Beraq, Gerash.
Réplicas muy numerosas.

ALICANTE

P	12h	23m	00s	
S		29	50	
SS		32	30	
L		36	30	
Mo		42	00	
F	13	10	—	D = 5.150 kms. = 46° 3

ALMERIA

iP	12	23	12	
i		24	15	
iPcP		24	39	
iS		30	14	
iPS		30	25	D = 5.350 kms. = 48°

TOLEDO

iP	12	23	18	(dilatación)
i		24	18	
iS		30	24	
iSS		33	56	
iSSS		35	18	
L		38	15	
M		47	05	
F	13	40	—	D = 5.535 kms. = 49° 8

120.—SISMO DE 25 DE ABRIL DE 1960

H = 16h 28m 34s
Mag: 5 1/2 (Kew)
38° 5 N., 25° 2 E. (B. C. I. S.)
Mar Egeo.

Sentido en Atica (G. III en Melissia, G. II-III en Atenas) (según Atenas).

TOLEDO

eP	16h	33m	40s
e(S)		37	53

121*.—SISMO DE 29 DE ABRIL DE 1960

Local.

ALMERIA

iPg	04h	56m	33s	
iSg		56	40,5	
iS*		56	44	
i		56	50,5	D = 64 kms. = 0° 58

122.—SISMO DE 29 DE ABRIL DE 1960

H = 19h 32m 16s
Mag: 6 (Moskva)
0° lat., 122° E. (B. C. I. S.)
Islas Célebes.

ALICANTE

P	19h	47m	07s	
PP		52	00	
SKS		57	45	
L	20	27	05	
F		45	—	D = 12.800 kms. = 115° 2

ALMERIA

iP'1	19	50	59	
ePP		52	02	
i		55	16	D = 13.000 kms. = 117°

TOLEDO

eP'	19	50	59	
iPP		52	10	
iPS	20	01	32	
eSS		08	38	
Lq		28	20	
M		40	50	

123.—SISMO DE 30 DE ABRIL DE 1960

H = 04h 01m 32s
Mag: 6 (Moskva)
0° lat., 122° E. (U. S. C. G. S.)
Islas Célebes

TOLEDO

ePP	04h	21m	30s
Lq	05	04	50

124.—SISMO DE 2 DE MAYO DE 1960

H = 08h 42m 31s
3° 5 S., 12° 5 W. (B. C. I. S.)
Cresta media del Atlántico N. de la isla Ascensión.

ALICANTE

L	08h	54m	26s
F	09	15	—

TOLEDO

e	08	52	18
e	09	05	48

125*.—SISMO DE 2 DE MAYO DE 1960

Grado II-III (Alicante).

ALICANTE

Pg	12h	05m	12s	
Sg		05	20	
F		06	46	D = 66 kms. = 0° 6

126.—SISMO DE 3 DE MAYO DE 1960

Probablemente de origen artificial.

TOLEDO

ePg	15h	51m	26s	
eSg		51	34	
M		51	55	
F		52	30	D = 66,6 kms. = 0° 6

127*.—SISMO DE 3 DE MAYO DE 1960

Grado III (Alicante).

ALICANTE

Pg	19h	05m	54s	
Sg		06	04	
F		07	26	D = 84 kms. = 0° 8

128.—SISMO DE 7 DE MAYO DE 1960

H = 11h 04m 25s
39° 4 N., 9° 1 W. (Lisboa)
Portugal.

Sentido con grado IV en Alcobaça, Peral y Maceira (Lisboa).

ALICANTE

P	11h	08m	14s
e		08	36
F		10	06

ALMERIA

iPn	11h	07m	41,5s	(dilatación)
i		07	45	
iP*		07	51	
iPg		08	07	
iSn		08	50	D = 648 kms. = 5° 83

TOLEDO

ePn	11	05	43	
e		06	18	
Sn		06	32	
M		06	48	
F		10	—	D = 455 kms. = 4° 1

129*.—SISMO DE 8 DE MAYO DE 1960

Sin más datos (L. C. S.).

ALMERIA

ePn	04h	33m	37,5s	
iPg		33	44	(dilatación)
i		33	55,5	
iSn		34	06	
iSg		34	12	
e		34	22	D = 247 kms. = 2° 22

130*.—SISMO DE 9 DE MAYO DE 1960

Sentido en Albox, Cantoria, Grado II-III (Almeria).

ALMERIA

ePg	05h	39m	35s	
i(P*)		39	36	(dilatación)
iSg		39	41,5	D = 56 kms. = 0° 5

131.—SISMO DE 11 DE MAYO DE 1960

H = 18h 36m 00s
Mag: 6,5 (Pasadena)
3° S., 131° E. (U. S. C. G. S. y B. C. I. S.)
Mar de Ceram (Molucas).

ALICANTE

L	19h	35m	09s	
Mo		44	33	
F		56	—	D = 13.750 kms. = 123° 7

TOLEDO

L	19	39	45	
M		49	00	
F	20	10	—	

132.—SISMO DE 12 DE MAYO DE 1960

H = 22h 32m 32s
Mag: 6,5 (Pasadena)
7° 5 N., 81° W. (U. S. C. G. S.)
Panamá.

Sentido en Balboa Heights (Grado IV).

ALICANTE

eP	22h	44m	37s	
S		54	34	
SKS		54	48	
F	23	25	—	D = 8.750 kms. = 78° 7

ALMERIA

iP	22	44	25	(dilatación)
iPP		47	16	
(iS)		54	01	D = 8.500 kms. = 76° 5

MALAGA

iP	22	44	20	(compresión)
iPP		47	12	
iS		54	05	
L	23	08	00	
M		18	30	
F		28	—	D = 8.460 kms. = 76° 1

TOLEDO

iP	22	44	16	(dilatación)
i		45	13	
i		45	28	
iS		53	45	
eSS		58	34	
Lq	23	06	45	
M		16	—	D = 8.420 kms. = 75° 8

133.—SISMO DE 13 DE MAYO DE 1960

H = 16h 07m 12s
Mag: 6,25 (Pasadena)
55° N.. 161° 5 W. (U. S. C. G. S. y B. C. I. S.)
Peninsula de Alaska.

Sentido en Cold Bay.

ALICANTE

eP	16h	19m	52s	
PP		23	12	
iS		30	23	
L		48	07	
Mo		56	54	
F	17	15	—	D = 9.500 kms. = 85° 5

ALMERIA

eP	16	19	57	
iPP		23	16	(dilatación)
iS		30	33	
e		30	50	D = 9.600 kms. = 86° 5

MALAGA

iP	16	20	01	(compresión)
iPP		23	24	
iPPP		25	28	
eS		30	50	
i		31	01	
L		49	20	
M		55	—	D = 9.650 kms. = 86° 8

TOLEDO

iP	16	19	43	(compresión)
iPcP		19	56	

ePP	16h	23m	08s	
eS		30	10	
i		30	22	
ePS		31	04	
eSS		35	36	
Lq		51	45	
M	17	03	—	D = 9.490 kms. = 85° 4

134*.—SISMO DE 13 DE MAYO DE 1960

Local. Sin más datos (L. C. S.).

ALMERIA

iPg	20h	12m	09s	
iSg		12	16,5	D = 65 kms. = 0° 58

MALAGA

ePg	20	12	28	
iSg		12	46	D = 150 kms. = 1° 3

135.—SISMO DE 14 DE MAYO DE 1960

H = 15h 40m 48s

37° N., 9° 5 W. (aproximadas) (B. C. I. S.)
Cerca del cabo de San Vicente, Portugal.

ALMERIA

iPn	15h	43m	19s	
iPg		43	21	
e		43	25,5	
iSg		43	41	D = 170 kms. = 1° 53

MALAGA

iPn	15	41	46	
iP*		41	53	
ePg		41	59	
iSn		42	27	
iS*		42	32	
iSg		42	42	
F		44	—	D = 380 kms. = 3° 4

TOLEDO

ePn	15	42	10	
i		43	00	
iSn		43	12	
iSg		43	22	
M		43	55	
F		46	—	D = 588 kms. = 5° 3

136.—SISMO DE 14 DE MAYO DE 1960

H = 22h 19m 55s
Mag: 5,25 (Moscú)

53° 5 N., 159° 5 E. (U. S. C. G. S. y B. C. I. S.)
Kamtchatka.

TOLEDO

iP	22h	32m	36s	(compresión)
eS		43	07	
L	23	09	45	

137.—SISMO DE 18 DE MAYO DE 1960

H = 06h 35m 09s
Mag: 6,75 (Pasadena)

29° N., 130° E. h = 100 kms. ap.
Islas de Riu-Kiu. (U. S. C. G. S.)
Sentido en Yaku-shima (Japón), G. VII.

ALICANTE

P	06h	48m	33s	
PPP		54	49	
SKS		58	59	
S		59	57	
L	07	22	09	
Mo		29	45	
F	08	05	—	D = 10.950 kms. = 98° 5

ALMERIA

iP	06	48	51	(dilatación)
(SKS)		59	25	
L	07	25	30	D = 11.150 kms. = 100° 5

MALAGA

eP	06	48	59	
iPP		53	07	
ePPP		55	37	
eSKS		59	33	
L	07	29	00	
M		41	00	
F	08	10	—	D = 11.230 kms. = 101°

TOLEDO

eP	06	48	45	
epP		49	02	
iPP		52	48	
ePPP		54	31	
i		56	57	
iSKS		59	22	
i		59	40	
e(PS)	07	01	56	
eSS		07	16	
Lq		28	45	
M		39	00	
F	08	30	—	D = 10.890 kms. = 98°

138.—SISMO DE 18 DE MAYO DE 1960

H = 08h 41m 05s

27° 5 N., 52° 5 E. (B. C. I. S.)
Golfo Pérsico.

MALAGA

iP	08h	49m	53s	(compresión)
ePcP		51	29	
iS		56	57	D = 5.400 kms. = 48° 6

139.—SISMO DE 19 DE MAYO DE 1960

H = 02h 06m 56s
Mag: 6 (Kew)

36° 5 N., 71° E. h = 150 kms.
Hindu-Kush. (Moscú)
Sentido en Risalpur y Lahore.

ALMERIA

iP	02h	16m	35s	(condensación)
i		16	42	
ipP		17	14	
e		19	23	
iS		24	13	D = 6.400 kms. = 57° 5

MALAGA

iP	02	16	45	
ipP		17	25	D = 6.570 kms. = 58° 2

140.—SISMO DE 19 DE MAYO DE 1960

H = 10h 11m 51s
Mag: 6,1 (Kew)

17° S., 66° E. (U. S. C. G. S.)
E. islas Mascareñas.

ALICANTE

P	10h	24m	20s	
PPP		29	27	
S		34	40	
SS		40	07	
L		51	44	
Mo	11	00	26	
F		45	—	D = 9.250 kms. = 83° 2

ALMERIA

(eP)	10	24	15	
i		24	55	
i		25	12	
iPP		27	28	
Lq		47	00	
LR		52	50	D = 9.350 kms. = 84°

MALAGA

eP	10	24	40	
i		25	02	
iPP		28	12	(compresión)
iPPP		29	52	
eSKS		34	40	
i		35	26	
LR		51	20	
M		59	50	
F	12	23	—	D = 9.510 kms. = 85° 5

TOLEDO

eP	10	24	49	
iPcP		25	07	
ePP		28	08	
ePP		28	14	
ePPP		30	07	
eSKS		34	29	
e(S)		35	53	
iPS		36	29	
i		37	09	
eSS		41	25	
Lq		47	45	
M	11	10	15	D = 9.640 kms. = 86° 7

141.—SISMO DE 20 DE MAYO DE 1960

H = 11h 12m 31s
Mag: 6,5 - 6,75 (Pasadena)

28° S., 167° 5 E. (U. S. C. G. S.)
Islas Norfolk.

ALICANTE

P'1	11h	32m	37s	
PP		37	25	
SKS		39	40	
SS		58	01	
eL	12	30	59	
Mo		43	29	D = 18.400 kms. = 65° 6

ALMERIA

iP'1	11	32	41	(dilatación)
iP'2		33	49	
i		34	35	
ePP		37	40	
iSKS		39	25	
i		42	20	
i		46	15	
ePPS		51	33	
eSS		58	11	
L	12	30	20	D = 18.650 kms. = 168°

MALAGA

iP'1	11	32	38	(dilatación)
iP'2		33	51	
iPP		37	34	
iSKS		39	42	
iPPP		41	46	
L	12	25	30	
M		47	00	
F	13	53	—	D = 18.730 kms. = 168° 3

TOLEDO

eP'1	11	32	42	
iP'2		33	43	
iPP		37	31	
eSKS		37	47	
e		40	17	
e		48	31	
iSS		57	23	
e	12	01	49	
L		29	45	
M		54	15	D = 18.390 kms. = 165° 5

142.—SISMO DE 21 DE MAYO DE 1960

H = 06h 41m 12s
Mag: 5 (Moscú)

37° 8 N., 20° E. (B. C. I. S.)
Próximo costa W. de Grecia.

Sentido en Zante con grado IV (Atenas).

ALICANTE

P	06h	45m	12s	
S		48	22	
F		59	—	D = 1.900 kms. = 17° 1

ALMERIA

eP	06h	45m	24s	
e(PP)		45	37	
iS		48	53	D = 2.100 kms. = 19°

MALAGA

iP	06	45	45	(dilatación)
ePP		46	03	

TOLEDO

eP	06	45	33	

143.—SISMO DE 21 DE MAYO DE 1960

H = 10h 02m 50s
Mag: 7,25 (Pasadena)
37° 5 S., 73° 5 W. (U. S. C. G. S.)
Cerca de la costa de Chile.

Primero de una serie de sismos destructores. Numerosos muertos e importantes daños materiales en Concepción y sus alrededores.

ALICANTE

iP	10h	16m	46s	
PP		20	59	
SKS		27	25	
iS		28	24	
SS		35	30	
L		51	21	
Mo	11	00	18	
M		01	38	D = 11.300 kms. = 101° 7
F	en el siguiente			

ALMERIA

eP	10	16	33	(condensación)
iPP		20	36	
i		21	08	
iPPP		22	41	
iSKS		27	12	
iS		27	54	
ePS		29	25	
iPPS		30	08	
eLq		43	30	
iLr		50	14	D = 11.000 kms. = 99°

MALAGA

iP	10	16	29	(dilatación)
iPP		20	28	
iPPP		22	33	
eSKS		26	54	
iS		27	49	
iL		49	20	
F	en el siguiente			D = 10.880 kms. = 97° 8

TOLEDO

iP	10	16	41	(condensación)
i		20	40	
iPP		20	52	
iPPP		22	54	
iSKS		27	33	
i	10h	28m	02s	
iS		28	25	
iPS		29	57	
iPPS		30	41	
iSS		35	26	
iSSS		39	34	
Lr		50	46	
M		59	45	
W_2	12	25	00	
W_3	14	15	00	
W_4	16	09	00	
F	17	40	—	D = 11.220 kms. = 101°

144.—SISMO DE 21 DE MAYO DE 1960

H = 12h 59m 58s
37° 5 S., 72° 5 W. (U. S. C. G. S.)
Chile.

ALICANTE

(P)	13h	13m	52s	
PP		18	03	
(S)		25	29	
L		48	18	
F	14	45	—	D = 11.250 kms. = 101° 2

ALMERIA

iP	13	13	39	(dilatación)
ePP		17	37	
e		17	53	
eSKS		24	10	
iSKKS		24	31	D = 11 000 kms. = 99°

MALAGA

iP	13	13	36	(dilatación)
ePP		17	36	D = 10.750 kms. = 96° 7

145.—SISMO DE 22 DE MAYO DE 1960

H = 03h 46m 22s
37° 5 S., 73° W. (U. S. C. G. S.)
Chile.

MALAGA

L	04h	40m	30s	
M		45	—	

146.—SISMO DE 22 DE MAYO DE 1960

H = 08h 10m 53s
37° 5 S., 73° W. (U. S. C. G. S.)
Chile.

MALAGA

iP	08h	24m	31s	(dilatación)
ePP		28	30	
L	09	02	50	
M		08	30	

147.—SISMO DE 22 DE MAYO DE 1960

H = 10h 30m 39s
Mag: 6,5 (Pasadena)
38° S., 73° 5 W. (U. S. C. G. S.)
Próximo a la costa de Chile.

ALICANTE

P	10h	44m	35s	
PPP		50	58	
sKS		55	14	
S		56	13	
L	11	19	10	
Mo		28	07	D = 11.300 kms. = 101° 7
F	en el siguiente			

ALMERIA

eP	10	44	20	(condensación)
ePP		48	20	
eSKKS		55	12	
(S)		55	41	
iPS		57	19	
SSS	11	05	12	
L		12	40	D = 11.100 kms. = 99° 5

MALAGA

iP	10	44	17	(compresión)
iPP		48	11	
iPPP		50	21	
iSKS		54	51	
LQ	11	19	00	
LR		24	30	
M		26	10	
F	en el siguiente			D = 10.900 kms. = 98°

148.—SISMO DE 22 DE MAYO DE 1960

H = 10h 32m 43s
Mag: 7,25 - 7,50 (Pasadena)
37° 5 S., 73° W. (U. S. C. G. S.)
Próximo a la costa de Chile.

ALICANTE

P	10h	46m	37s	
PP		50	48	
S		58	14	
L	11	21	03	
Mo		30	00	
F	13	30	—	D = 11.250 kms. = 101° 2

ALMERIA

eP	10	46	22	(compresión)
ePP		50	29	
iSKS		57	01	
ePS		59	18	
ePPS	11	00	06	
L		20	—	D = 11.000 kms. = 99°

MALAGA

iP	10	46	19	(dilatación)
iPP		50	19	
iSKKS	10h	57m	15s	
i(PS)		59	27	
i(SS)	11	05	11	D = 10.850 kms. = 97° 5

TOLEDO

eP	10	46	29
ePP		50	39
iSKS		57	02
iS		57	31
i		58	28
iPS		59	46
L	11	17	45
M		32	45

149.—SISMO DE 22 DE MAYO DE 1960

H = 12h 16m 43s
38° S., 73° W. (U. S. C. G. S.)
Chile.

ALMERIA

eP	12h	30m	23s	
ePP		34	27	D = 11.000 kms. = 99°

MALAGA

iP	12	30	23	(dilatación)
iPP		34	25	D = 10.850 kms. = 97° 5

150.—SISMO DE 22 DE MAYO DE 1960

H = 18h 55m 57s
Mag: 6,5 (Pasadena)
38° S., 73° 5 W. (U. S. C. G. S.)
Cerca de la costa de Chile.

ALICANTE

iP	19h	09m	54s	
PP		14	06	
SKS		20	30	
SS		28	37	
L		44	28	
Mo		53	25	
F	en el siguiente			D = 11.300 kms. = 101° 7

ALMERIA

iP	19	09	40	(compresión)
iPP		13	42	
ePPP		15	44	
iSKS		20	16	
eS		21	00	
ePPS		23	11	
iSS		27	34	
iSSS		31	52	
Lq		36	44	
iLr		43	10	D = 11.000 kms. = 99°

MALAGA

iP	19	09	36	(condensación)
iPP		13	36	
iSKS		20	17	
eS		20	47	D = 10.900 kms. = 98°

TOLEDO

iP	19h	09m	46s
iPP		13	52
iSKS		20	25
i(S)		20	46
¡i!		20	52
iPS		22	55

El resto del sismo se superpone con el siguiente.

151.—SISMO DE 22 DE MAYO DE 1960

H = 19h 10m 37s
Mag: 8,3 (Pasadena)
38° 5 S., 74° 5 W. (U. S. C. G. S.)
Chile.

ALICANTE

P	19h	25m	16s	
PP		29	29	
PPP		31	39	
F	00	02	—	D = 11.300 kms. = 101° 7

ALMERIA

iP	19	24	38	(dilatación)
iSKS		35	00	
iPS		37	26	
iSS		43	10	
iLq		51	45	
eLr		59	16	D = 11.050 kms. = 99° 5

MALAGA

iP	19	24	25	(dilatación)
iPP		28	32	
iSKS		35	05	
eS		35	45	D = 11.000 kms. = 99°

TOLEDO

eiP	19	25	46	
iPP		30	02	
iSKS		36	03	
¡i!		36	58	
iPS		38	32	
iSS		45	36	
M	20	03	20	
F		confuso		D = 11.400 kms. = 102° 6

152.—SISMO DE 22 DE MAYO DE 1960

H = 19h 11m 17s
Mag: 8,5 (Pasadena)
39° 5 S., 74° 5 W. (U. S. C. G. S.)
Próximo a la costa de Chile.

Principal sacudida de una serie de sismos destructores; daños considerables en Chile entre las latitudes 57° S. y 40° S.; destrucciones importantes, principalmente en Concepción, Valdivia y Puerto Monte. Grandes hundimientos en los contrafuertes de la cordillera de los Andes. Pérdidas humanas comprendidas entre 6.000 y 10.000 personas, 2 millones de personas sin abrigo, daños materiales evaluados en 300 millones de dólares; levantamientos y hundimientos de la costa, ras de marea destructor desde Chile a las islas Hawai y Hokkaido.

ALMERIA

iP	19h	25m	03s	(condensación)
iPP		29	09	
iSKS		35	39	
iPS		38	06	
iSS		34	10	
eSSS		46	50	
(Lq)		52	06	
eLr		59	16	D = 11.050 kms. = 99° 5

MALAGA

iP	19	25	05	
iPP		29	13	D = 11.090 kms. = 99° 7

153.—SISMO DE 22 DE MAYO DE 1960

H = 22h 07m 48s
44° S., 72° W. h = 60 kms.
Chile. (U. S. C. G. S)

MALAGA

eP	22h	21m	40s
ePP		25	42

154.—SISMO DE 22 DE MAYO DE 1960

H = 22h 14m 02s
39° S, 74° W. (U. S. C. G. S.)
Chile.

MALAGA

eP	22h	27m	39s
ePP		31	35

155.—SISMO DE 22 DE MAYO DE 1960

H = 23h 29m 18s
39° 5 S., 72° W. (U. S. C. G. S.)
Chile.

MALAGA

eP	23h	43m	05s
ePP		47	15

156.—SISMO DE 23 DE MAYO DE 1960

H = 00h 25m 44s
Mag: 6,75 (Matsushiro)
38° 5 S. 75° W. (U. S. C. G. S.)
Próximo a la costa de Chile.

ALICANTE

L	01h	14m	14s	
Mo		20	54	
F	02	30	—	D = 11.300 kms. = 101° 7

ALMERIA

iP	00h	39m	32s	(dilatación)
ePP		43	38	
eSKS		50	10	
L	01	12	10	D = 11.200 kms. = 101°

MALAGA

iP	00	39	22	(dilatación)
iPP		43	27	
iPPP		45	33	
L	01	18	00	
M		25	—	D = 10.920 kms. = 98° 2

157.—SISMO DE 23 DE MAYO DE 1960

H = 00h 51m 12s

37° 5 S., 72° W. (U. S. C. G. S.)
Chile.

MALAGA

iP	01h	04m	48s
iPP		09	01

158.—SISMO DE 23 DE MAYO DE 1960

H = 00h 53m 57s

39° 5 S., 73° W. (U. S. C. G. S.)
Chile.

MALAGA

iP	01h	07m	38s	(condensación)
ePP		11	51	

159.—SISMO DE 23 DE MAYO DE 1960

H = 01h 34m 53s

39° 5 S., 74° W. (U. S. C. G. S.)
Chile.

MALAGA

eP	01h	48m	35s
		52	24

160.—SISMO DE 23 DE MAYO DE 1960

H = 02h 46m 30s
Mag: 6,5 (Kew)

41° 5 S., 73° 5 W. (U. S. C. G. S.)
Sur de Chile.

ALMERIA

eP	03h	00m	24s	
ePP		04	33	
iSKS		11	02	
e		14	36	
(L)		44	40	D = 11.350 kms. = 102°

MALAGA

iP	03h	00m	19s	(condensación)
iPP		04	23	
e(PPS)		14	29	
L		36	30	
M		47	00	

161.—SISMO DE 23 DE MAYO DE 1960

H = 02h 56m 17s

43° 6 S., 75° 5 W. (U. S. C. G. S.)
Próximo costa de Chile.

ALICANTE

eL	03h	46m	14s	
F		59	—	D = (11.750) kms. = 105° 7

162.—SISMO DE 23 DE MAYO DE 1960

H = 05h 13m 35s
Mag: 6,5 - 6,75 (Matsushiro)

38° S., 73° 5 W. (U. S. C. G. S.)
Próximo costa de Chile.

ALICANTE

(P)	05h	27m	31s	
S		39	09	
L	06	02	06	
Mo		11	03	
F		30	—	D = 11.300 kms. = 101° 7

ALMERIA

iP	05	27	17	(dilatación)
iPP		31	17	
iSKS		37	52	
e(SKKS)		38	08	
L	06	01	40	D = 11.050 kms. = 99° 5

MALAGA

iP	05	27	09	(condensación)
iPP		31	11	
iPPP		33	27	
L	06	00	10	
M		11	30	D = 10.900 kms. = 98°

TOLEDO

eP	05	27	23

163.—SISMO DE 23 DE MAYO DE 1960

H = 07h 09m 17s
Mag: 6,25 (Matsushiro)

48° S., 77° W. (U. S. C. G. S.)
A lo largo de la costa de Chile.

ALICANTE

(PKP)	07h	27m	50s	
L	08	01	11	
		30	—	D = 12.200 kms. = 109° 8

MALAGA

ePS	07h	37m	12s	
ePPS		38	18	
M	08	11	40	

TOLEDO

e	07	27	14	
L	08	02	—	

164.—SISMO DE 23 DE MAYO DE 1960

H = 09h 52m 20s

Mag: 6,25 - 6,50 (Matsushiro)

37° 5 S., 73° W. (U. S. C. G. S.)

Chile.

ALICANTE

P	10h	06m	14s	
L		26	46	
F		59	—	D = 11.250 kms. = 101° 2

ALMERIA

eP	10	05	59	(dilatación)
ePP		10	00	
e		12	14	
iSKS		16	34	
iSKKS		16	52	
(L)		45	20	D = 11.000 kms. = 99°

MALAGA

iP	10	05	56	
iPP		09	52	
L		43	—	
M		49	30	

TOLEDO

eP	10	06	04	
L		44	45	

165.—SISMO DE 23 DE MAYO DE 1960

H = 10h 37m 59s

Mag: 6 - 6,25 (Matsushiro)

43° 5 S., 73° 5 W. (U. S. C. G. S.)

Próximo a la costa de Chile.

ALICANTE

eL	11h	14m	12s	
F		56	—	D = 11.750 kms. = 105° 7

ALMERIA

eP	10	52	00	
ePP		56	15	
eSKS	11	02	39	
eSKKS		03	05	D = 11.450 kms. = 103°

MALAGA

iP	10	51	56	(compresión)
iPPP		56	10	
iPS	11h	05m	10s	
L		24	20	

TOLEDO

eP	10	51	54	
ePP		56	10	
L	11	32	00	

166.—SISMO DE 23 DE MAYO DE 1960

H = 14h 00m 29s

45° 5 S., 77° W. (U. S. C. G. S.)

A lo largo de la costa de Chile.

TOLEDO

L	14h	49m	40s	(trazas)

167.—SISMO DE 23 DE MAYO DE 1960

H = 14h 01m 37s

42° 5 S., 74° W. (U. S. C. G. S.)

Chile.

MALAGA

eP	14h	15m	13s	
L		52	50	
M	15	03	00	
F		08	—	

168.—SISMO DE 23 DE MAYO DE 1960

H = 19h 59m 48s

41° S., 75° W. (B. C. I. S.)

(aproximadamente).

TOLEDO

L	20h	49m	40s	(trazas)

169.—SISMO DE 24 DE MAYO DE 1960

H = 03h 24m 00s

38° 5 S., 74° W. (U. S. C. G. S.)

Chile.

MALAGA

L	04h	16m	30s	
M		22	30	
F		24	—	

170.—SISMO DE 24 DE MAYO DE 1960

H = 14h 46m 34s

Mag: 6,75 - 7 (Pasadena)

44° 6 S., 167° 5 E. (U. S. C. G. S.)

Sur de Nueva Zelanda.

Sentido en la bahia de Milford.

ALICANTE

P'_1	15^h	06^m	42^s	
P'_2		07	54	
PP		11	44	
SKS		13	44	
SKKS		18	29	
SS		32	35	
L	16	06	29	
Mo		19	13	
F	17	30	—	D = 18.750 kms. = 168° 7

ALMERIA

iP'_1	15	06	59	
iP'_2	condensación			
i		08	14	
ePP		11	58	
eSKS		13	31	
(L)		59	—	D = 18.800 kms. = 169°

MALAGA

eP′	15	06	46	
iP'_2		07	58	(dilatación)
i		09	36	
iPP		11	47	
iSKS		13	46	
iPPP		15	52	
iSKKS		18	36	
iPPS		25	34	
LR	16	07	50	
M		16	00	
LRW_2		20	20	
M_2		29	30	
F	17	18	—	D = 18.850 kms. = 169° 5

TOLEDO

eP'_1	15	06	37	
eP'_2		06	59	
e		08	14	
ePP		12	09	
e		19	24	
e		22	44	
eSS		33	34	
Lq	16	01	00	
M		52	30	
F	17	40	—	D = 19.465 kms. = 175° 2

171.—SISMO DE 25 DE MAYO DE 1960

H = 04^h 44^m 14^s

47° S., 75° W. h = 60 kms.
S. de Chile. (U. S. C. G. S.)

MALAGA

L	05^h	41^m	40^s	
M		48	00	
F	06	03	—	

172.—SISMO DE 25 DE MAYO DE 1960

H = 08^h 34^m 33^s
Mag: 6,75 (Pasadena)

45° S., 76° W. (U. S. C. G. S.)
A lo largo de la costa de Chile.

ALICANTE

P	08^h	48^m	54^s	
PP		53	25	
PPP		55	42	
S	09	00	55	
SSS		12	36	
L		25	49	
Mo		34	42	
F	10	31	—	D = 11.950 kms. = 107° 5

ALMERIA

iPP	08	53	14	(condensación)
(eSKS)		59	17	
eSS	09	08	09	
L		25	20	D = 11.650 kms. = 105°

MALAGA

iP	08	48	45	(dilatación)
iPP		53	01	
iPPP		55	21	
eSKS		59	20	
iS	09	00	33	
iPS		02	17	
iSS		07	59	
eSSS		11	56	
LR		23	45	
M		22	00	
F	11	00	—	D = 11.560 kms. = 104°

TOLEDO

eP	08	48	55	
ePP		53	08	
eS		59	43	
iSS	09	08	28	
Lq		20	45	
M		35	00	
F	11	30	—	

173.—SISMO DE 25 DE MAYO DE 1960

H = 12^h 50^m 00^s

27° 25 N., 54° 25 E. (B. C. I. S.)
S. del Irán.

MALAGA

iP	12^h	58^m	53^s	(condensación)
i		59	25	
iPcP	13	00	07	

174.—SISMO DE 26 DE MAYO DE 1960

H = 05^h 10^m 11^s
Mag: 6,5 (Pasadena)

40° 6 N., 20° 6 E. (B. C. I. S.)
Frontera de Albania y Grecia.

Sismo destructor en Albania en la región de Konitsa: nueve muertos y un centenar de heridos. Sentido en la zona de Jannina con grado VI-VII.

ALICANTE

iP	05^h	14^m	05^s	
iS		17	21	

L	05h	18m	30s	
Mo		19	55	
M		23	47	
F	06	05	—	D = 1.750 kms. = 15° 7

ALMERIA

iP	05	14	29	(¿dilatación?)
iPP		14	40	(dilatación)
iPPP		14	53	
(S)		17	30	
i		17	58	
i		18	27	D = 2.000 kms. = 18°

MALAGA

iP	05	14	43	(dilatación)
iPPP		15	15	
iS		18	19	
iSS	05	18	51	
LR		21	50	
iPcS		22	15	
M		23	20	
i		24	00	
F	06	12	—	D = 2.170 kms. = 19° 5

TOLEDO

eiP	05	14	31	
i		15	02	
i		15	16	
i		17	12	
iS		18	03	
iSS		18	41	
Lq		18	45	
Lq		19	00	
M		23	45	
F	06	30	—	D = 2.180 kms. = 19° 6

175.—SISMO DE 26 DE MAYO DE 1960

Peninsular, débil.

MALAGA

iPn	17h	14m	25s	(dilatación)
iSn		14	47	
iSg		14	48	
i		14	53	
F		15	20	D = 180 kms. = 1° 62

TOLEDO

ePg	17	14	12	
eSg		14	35	
M		14	50	
F		16	—	D = 200 kms. = 1° 8

176.—SISMO DE 26 DE MAYO DE 1960

Trazas. (Sin más datos.)

TOLEDO

i	20h	12m	08s
i		12	22
e		20	05
i		20	25

177.—SISMO DE 27 DE MAYO DE 1960

H = 23h 06m 55s
Mag: 6,5 (Matsushiro)
45° S., 77° W. (U. S. C. G. S.)
Próximo a la costa de Chile.

TOLEDO

e	23h	31m	17s
L		54	45
M	00	07	45

178.—SISMO DE 28 DE MAYO DE 1960

H = 03h 05m 53s
Mag: 5,5 (Santa Lucía)
39° S., 74° 5 W. (U. S. C. G. S.)
Chile.

TOLEDO

L	04h	00m	00s	
M		05	00	(trazas)

179.—SISMO DE 28 DE MAYO DE 1960

H = 11h 05m 40s
Mag: 6,5 (Matsushiro)
38° S., 73° W. (U. S. C. G. S.)
Chile.

ALICANTE

L	11h	54m	10s	
Mo	12	03	07	
F		25	—	D = 11.300 kms. = 101° 7

MALAGA

iP	11	19	18	(dilatación)
i		23	32	
L		57	36	
M	12	04	06	
F		08	—	D = 10.890 kms. = 98°

TOLEDO

eSKS	11	30	02	
e		41	57	
e		45	57	
L		55	45	
M	12	06	30	
F		30	—	

180.—SISMO DE 29 DE MAYO DE 1960

H = 07h 39m 29s
Mag: 6,5 (Pasadena)
38° S., 72° 5 W. (U. S. C. G. S. y B. C. I. S.)
Chile.

ALICANTE

P	07h	53m	24s	
PP		57	37	

PPP	07h	59m	47s	
S	08	05	02	
L		27	59	
Mo		36	56	
F	09	30	—	D = 11.300 kms. = 101° 7

ALMERIA

eP	07	53	22	
ePP		57	21	
eSKS	08	03	48	
(L)		29	10	D = 11.000 kms. = 99°

MALAGA

iP	07	53	04	(condensación)
iPP		57	02	
iSKS	08	03	42	
iS		04	44	
ePS		06	08	
ePPS		06	30	
Lr		26	00	
M		33	00	
F	09	58	—	D = 10.870 kms. = 97° 8

TOLEDO

eP	07	53	15	
ePP		57	19	
i(S)	08	03	54	
i		04	11	
ePS		06	17	
L		08	15	
M		36	15	
F	09	40	—	D = 11.000 kms. = 99°

181.—SISMO DE 29 DE MAYO DE 1960

Sentido en Torrevieja (España).

ALICANTE

Pg	08h	08m	03s
F		09	06

182.—SISMO DE 29 DE MAYO DE 1960

H = 14h 05m 25s

37° 5 S., 73° W. (U. S. C. G. S.)
Próximo costa de Chile.

MALAGA

iP	14h	19m	02s	(dilatación)
iPP		23	00	
M	15	04	—	

183.—SISMO DE 29 DE MAYO DE 1960

H = 21h 23m 54s
Mag: 6 - 6,25 (Matsushiro)

43° S., 77° W. (U. S. C. G. S.)
Chile.

Inscrito en Málaga, Cartuja y Ebro

MALAGA

L	22h	13m	30s
M		25	30
F		40	—

TOLEDO

L	22	13	45

184.—SISMO DE 31 DE MAYO DE 1960

H = 00h 23m 49s

13° 5 N., 55° E. h = 60 kms.
Golfo de Adén. (U. S. C. G. S.)

MALAGA

iP	00h	33m	37s	(dilatación)
ePP		34	31	

185.—SISMO DE 31 DE MAYO DE 1960

H = 02h 40m 00s
Mag: 6,5 (Pasadena)

39° 5 S., 75° W. (U. S. C. G. S.)
Chile.

ALICANTE

L	03h	29m	26s	
Mo		38	22	
F		55	—	D = 11.500 kms. = 103° 5

MALAGA

iP	02	53	51	(dilatación)
i		57	03	
ePP		58	05	
L	03	31	10	
M		40	10	
F	04	31	—	D = 11.120 kms. = 100°

TOLEDO

e	03	05	02
e		14	12
e		23	47
L		29	00
M		39	30

186.—SISMO DE 31 DE MAYO DE 1960

H = 11h 02m 20s
Mag: 6,25 - 6,75 (Pasadena)

18° N., 62° W. (U. S. C. G. S.)
Pequeñas Antillas.

Sentido en Antigua con grado V.

ALICANTE

P	11h	12m	07s
PP		14	15
S		19	58
SS		23	46

L	11h	29m	45s	
Mo		36	28	
F		50	—	D = 6.300 kms. = 56° 7

ALMERIA

iP	11	11	50	(dilatación)
iPP		13	51	
iS		19	33	
L		28	30	D = 6.100 kms. = 55°

MALAGA

iP	11	11	40	(dilatación)
iPcP		12	44	
iPP		13	52	
iPPP		14	58	
iPcS		16	42	
iS		19	16	
i		19	38	
L		28	40	
M		36	10	
F	12	29	—	D = 5.950 kms. = 53° 5

TOLEDO

eiP	11	11	43	
i(PcP)		12	40	
ePP		13	36	
iS		19	28	
eSS		22	58	
L		27	15	
M		29	—	D = 6.065 kms. = 54° 6

187.—SISMO DE 31 DE MAYO DE 1960

H = 13h 11m 02s

7° 5 S., 156° E. (U. S. C. G. S.)
Islas Salomón.

MALAGA

iP'	13h	30m	46s	(dilatación)

188*.—SISMO DE 31 DE MAYO DE 1960

Sacudida por explosión.

ALICANTE

Pg	14h	09m	01s	
F		09	45	D = 92 kms. = 0° 8

189.—SISMO DE 31 DE MAYO DE 1960

Sin más datos.

TOLEDO

eP	14h	37m	47s	
e		39	56	(trazas)

190.—SISMO DE 1 DE JUNIO DE 1960

H = 05h 02m 56s

Mag: 6 - 6,25 (Matsushiro)

38° S., 73° W. (U. S. C. G. S. y B. C. I. S.)
Chile.

ALICANTE

L	05h	51m	19s	
Mo		59	07	
F	06	16	—	D = 11.250 kms. = 101° 2

MALAGA

iP	05	16	32	
i		19	50	
iPP		20	34	
L		53	50	
M	06	00	30	
F		18	—	D = 10.830 kms. = 97° 5

TOLEDO

e(S)	05	27	19	
L		51	50	
M		58	50	

191*.—SISMO DE 1 DE JUNIO DE 1960

H = 06h 18m 50s 5

38° 09 N., 1° 04,6 h = 10 kms.
SE. de Fortuna (Murcia); (Alicante)
en la mina abandonada de
Cabecitos Negros.

Sentido grado VI en Fortuna.

ALICANTE

iPg	06h	19m	01s	
iSg		19	08	
F		21	35	D = 57 kms. = 0° 5

ALMERIA

iPn	06	19	22	(compresión)
iPg		19	27	
iSn		19	45	
i(Sg)		19	51	
iL		19	57	D = 186 kms. = 1° 67

MALAGA

ePn	06	19	48	
ip*		19	54	
iSn	06	20	26	
iSg		20	42	D = 320 kms. = 2° 9

TOLEDO

ePg	06	19	42	
e		20	07	
iSg		20	17	
M		20	24	
F		25	—	D = 300 kms. = 2° 7

192.—SISMO DE 2 DE JUNIO DE 1960

H = 05h 58m 03s
Mag: 6,7 (Pasadena)
46° 5 S., 74° W. (U. S. C. G. S. y B. C. I. S.)
Sur de Chile.

ALICANTE

L	06h	49m	14s	
Mo		57	26	
F	07	15	—	D = 11.900 kms. = 107° 1

MALAGA

ePS	06	25	35	
L		49	40	
M		56	40	
F		07	22	D = 11.500 kms. = 103° 5

193.—SISMO DE 2 DE JUNIO DE 1960

H = 07h 47m 11s
Mag: 6,5 - 6,75 (Pasadena)
5° 5 S., 151° 5 E. (U. S. C. G. S. y B. C. I. S.)
Nueva Bretaña.

Sentido en Rabaul con grado IV 1/2.

ALICANTE

L	08h	53m	10s	
Mo	09	03	40	
F		40	—	D = 15.400 kms. = 138° 6

ALMERIA

eP'1	08	06	42	(dilatación)
i		09	13	
ePP		09	48	
L		56	50	D = 15.650 kms. = 141°

MALAGA

iP'	08	06	49	(dilatación)
iPP		09	55	
iSKS		14	59	
e(PPP)		13	23	
LQ	09	01	50	
LR		09	00	
M		18	40	
F		51	—	D = 15.750 kms. = 141° 6

TOLEDO

eP'	08	06	39	
e(PP)		10	10	
ePKS		10	18	
e		14	08	
e(SKKS)		15	18	
e		21	48	
eSS		28	48	
L		57	50	
M	11	29	50	

194.—SISMO DE 2 DE JUNIO DE 1960

H = 12h 42m 38s
Mag: 5 (Moscú)
33° 5 N., 49° E. (U. S. C. G. S. y B. C. I. S.)
Irán.

MALAGA

iP	12h	50m	43s	(condensación)

195.—SISMO DE 2 DE JUNIO DE 1960

Sin más datos.

MALAGA

iP	17h	38m	41s	D = 10.230 kms. = 92° 07

196.—SISMO DE 3 DE JUNIO DE 1960

H = 13h 23m 37s
Mag: 6 - 6,25 (Matsushiro)
17° 5 S., 179° W. h = 600 kms.
Islas Fidji. (U. S. C. G. S.)

MALAGA

iP'	13h	42m	37s	(dilatación)
iP'2		43	20	

TOLEDO

e	13	42	31	
i		43	06	
e		46	47	

197.—SISMO DE 3 DE JUNIO DE 1960

H = 16h 18m 04s
Mag: 5,7 (Matsushiro)
41° 5 N., 141° 5 E. h = 100 kms.
Próximo a la costa S. de Hokkaido (Japón). (U. S. C. G. S.)

MALAGA

iP	16h	31m	33s	(dilatación)

TOLEDO

eP	16	31	14	
epP		31	40	
e		42	12	
L	17	09	45	

198.—SISMO DE 4 DE JUNIO DE 1960

H = 02h 27m 06s
Mag: 6 - 6,25 (Pasadena)
20° N., 104° 5 W. (U. S. C. G. S.)
Próximo a la costa de Jalisco (Méjico).

MALAGA

iP	02h	39m	50s	(condensación)
L	03	18	20	

TOLEDO

iP	02	39	42	(compresión)
eS		50	16	
L	03	11	45	D = 9.650 kms. = 86° 8

199.—SISMO DE 4 DE JUNIO DE 1960

H = 03h 02m 49s
Mag: 5,5 (Santa Lucia)
39° S., 73° 5 W. (U. S. C. G. S.)
Próximo a la costa de Chile.

MALAGA

L	03h	31m	15s	
F		impreciso		

200.—SISMO DE 4 DE JUNIO DE 1960

H = 07h 22m,6
Atlántico, región de las Azores. (B. C. I. S.)

Probable premonitorio del núm. 202.

MALAGA

iP	07h	27m	20s	(dilatación)
iPP		27	37	
iPPP		27	47	

201.—SISMO DE 4 DE JUNIO DE 1960

H = 07h 48m 48s
Atlántico, región de las Azores. (B. C. I. S.)

Probable premonitorio del núm. 202.

MALAGA

iP	07h	53m	34s	(dilatación)
iPP		53	48	

202.—SISMO DE 4 DE JUNIO DE 1960

H = 08h 09m 45s
39° 5 N., 30° W. (B. C. I. S.)
Atlántico, región de las Azores.

ALICANTE

L	08h	18m	55s	
Mo		20	45	
F		32	—	

ALMERIA

eP	08	14	24	(dilatación)
iPP		15	00	
eS		18	41	D = 2.700 kms. = 24° 5

MALAGA

iP	08h	14m	28s	(dilatación)
iPP		14	45	
iPPP		14	56	
eS		18	18	
iSS		18	46	
LQ		19	50	
LR		21	10	
F		40	—	D = 2.230 kms. = 20° 1

TOLEDO

eP	08	14	18	
e		15	49	
eS		18	16	
e		18	33	
Lq		18	45	
M		21	00	
F		40	—	D = 2.470 kms. = 22° 2

203.—SISMO DE 4 DE JUNIO DE 1960

H = 11h 05m 03s (B. C. I. S.)
H = 11h 05m 10s
39° 5 N., 30° 5 W. (U. S. C. G. S.)
Atlántico, región de las Azores.

Réplica del anterior.

ALICANTE

L	11h	16m	51s	
F		25	—	D = 2.600 kms. = 23° 4

ALMERIA

(eP)	11h	10m	02s	
iPP		10	28	(dilatación)
i(PPP)		10	48	
e(S)		14	14	D = 2.450 kms. = 22°

MALAGA

iP	11	09	58	(dilatación)
iPP		10	14	
iPPP		10	24	

TOLEDO

eP	11	09	47	
iS		13	41	
L		14	45	D = 2.435 kms. = 21° 9

204.—SISMO DE 5 DE JUNIO DE 1960

H = 19h 30m 30s
Mag: 5,5 - 5,75 (Matsushiro)
31° 5 S., 177° W. (U. S. C. G. S.)
Islas Kermadec.

MALAGA

eP′	19h	50m	45s	
eP′$_2$		52	17	
ePP		56	04	D = 19.100 kms. = 171° 8

205.—SISMO DE 6 DE JUNIO DE 1960

H = 01h 17m 48s
Mag: 5,5 (Pasadena)
41° N., 125° W. (U. S. C. G. S. y B. C. I. S.)
Próximo a la costa del N. de California.

Sentido en Humboldt y Norge.

ALICANTE

P	01h	30m	29s	
PP		33	50	
S		41	00	
SS		46	38	
L		58	46	
Mo	02	07	33	
F		35	—	D = 9.500 kms. = 85° 5

ALMERIA

eP	01	30	33	
e		31	09	
iPP		33	54	(dilatación)
L		59	30	D = 9.550 kms. = 86°

MALAGA

iP	01	30	27	(dilatación)
iPP		33	45	
iPPP		35	42	
e(S)		41	13	
L	02	06	30	
M		06	00	
F		38	—	D = 9.440 kms. = 84° 9

TOLEDO

eP	01	30	15	
i		30	19	
i		30	27	
i		30	41	
ePP		33	24	
eS		40	36	
eSS		46	31	
L		55	45	
M	02	05	15	
F	03	00	—	D = 9.355 kms. = 84° 2

206.—SISMO DE 6 DE JUNIO DE 1960

H = 05h 55m 44s
Mag: 6,75 (Pasadena)
45° 5 S., 73° 5 W. (U. S. C. G. S. y B. C. I. S.)
Próximo a la costa de Chile.

ALICANTE

P	06h	09m	59s	
PP		14	26	
PKS		17	45	
SKS		20	39	
S		21	55	
PPS		24	38	
SS		29	25	
SSS		33	26	
L		36	21	
Mo	06h	55m	15s	
M		59	20	
F	09	05	—	D = 11.800 kms. = 106° 2

ALMERIA

(iP)	06	09	55	(dilatación)
i		17	17	
eSKS		20	28	
eS		21	25	
¡e!		24	38	
iLQ		38	37	
L		45	20	D = 11.600 kms. = 104° 5

MALAGA

iP	06	09	48	(dilatación)
ePP		14	04	
iSKS		20	32	
F	10	52	—	D = 11.430 kms. = 102° 8

TOLEDO

eP	06	10	00	
e		10	43	
ePP		14	12	
e		19	37	
i(SKS)		20	44	
eS		21	13	
i		24	52	
i		27	14	
iSS		28	39	
i		30	44	
i(SSS)		32	11	
e		34	04	
Lq		42	50	
M		56	50	

207*.—SISMO DE 6 DE JUNIO DE 1960

Probable explosión.

TOLEDO

ePg	12h	32m	32s	
eSg		32	43	
F		34	15	D = 95 kms. = 0° 85

208.—SISMO DE 7 DE JUNIO DE 1960

H = 05h 22m 34s
Mag: 6 (Santa Lucía)
40° 5 S., 72° W. (U. S. C. G. S.)
Sur de Chile.

TOLEDO

L	06h	18m	45s	(trazas)

209.—SISMO DE 7 DE JUNIO DE 1960

H = 13h 27m 49s
20° S., 177° 5 W. h = 500 kms.
Islas Fidji. (U. S. C. G. S.)

TOLEDO

L	14h	57m	45s	
M	15	00	45	(trazas)

210.—SISMO DE 8 DE JUNIO DE 1960

H = 16h 19m 48s
Mag: 5,4 (Kew)
35° N., 35° W. (U. S. C. G. S. y B. C. I. S.)
Océano Atlántico.

ALICANTE

P	16h	25m	41s	
S		30	24	
L		33	41	
Mo		37	02	
F	17	05	—	D = 3.100 kms. = 27° 9

ALMERIA

eP	16	25	21	
¡i!		25	28	(condensación)
iPPP		26	25	
e(S)		30	03	
e		30	25	
e(PcS)		32	18	D = 2.950 kms. = 26° 5

MALAGA

iP	16	25	10	(dilatación)
iPP		25	48	
eS		29	36	
Lq		30	05	
F		impreciso		D = 2.770 kms. = 24° 9

TOLEDO

iP	16	25	12	(dilatación)
i		25	28	
i(PP)		26	46	
e		27	45	
iS		29	41	
iSS		29	51	
Lq		30	50	
M		31	50	
F	17	20	—	D = 2.900 kms. = 26° 1

211.—SISMO DE 9 DE JUNIO DE 1960

H = 08h 24m 01s
Mag: 4,5 (Moscú)
40° 5 N., 20° 2 E. (B. C. I. S.)
Albania.

Sentido en Jannina con grado IV.

TOLEDO

eP	08h	28m	23s	
e		34	01	

212.—SISMO DE 9 DE JUNIO DE 1960

Sin más datos.

TOLEDO

e	11h	29m	31s	
L	12	00	00	(trazas)

213.—SISMO DE 9 DE JUNIO DE 1960

H = 11h 23m 51s
Mag: 6,25 (Pasadena)
18° S., 169° E. (U. S. C. G. S.)
Nuevas Hébridas.

Sentido en Port Vile con grado V.

ALICANTE

P'_1	11h	43m	49s	
(SKS)		50	54	
L	12	38	32	
Mo		50	24	
F	13	35	—	D = 17.500 kms. = 157° 5

ALMERIA

iP'_1	11	43	56	(dilatación)
eP'_2		44	36	
ePP		48	18	
e(SKS)		50	28	D = 17.850 kms. = 160° 5

MALAGA

iP'	11	43	55	(dilatación)
iP'_2		44	37	
iPP		48	15	
iPPP		52	03	
iPcPP'		53	59	
LqW_2	12	50	45	
LrW_2		58	10	
M	13	07	30	
F		27	—	D = 17.810 kms. = 160° 2

TOLEDO

eP'_2	11	44	26	
L	12	12	50	
F	13	30	—	

214.—SISMO DE 9 DE JUNIO DE 1960

H = 17h 47m 41s
Mag: 5,4 (Kew)
38° N., 26° W. (U. S. C. G. S. y B. C. I. S.)
Azores.

Sentido en las islas de San Miguel. (IV 1/2 en Mosteiros.)

ALICANTE

P	17h	52m	20s	
PP		52	40	
S		56	02	
SS		56	31	
L		57	52	
Mo	18	00	30	
F		40	—	D = 2.250 kms. = 20° 2

ALMERIA

iP	17h	52m	05s	(dilatación)
iPP		52	17	
iPPP		52	28	
i		52	50	
iS		55	28	
L		57	20	D = 2.100 kms. = 19°

MALAGA

iP	17	51	45	(condensación)
iPP		51	59	
iPPP		52	07	
iS		55	01	
iPcP		56	11	
Lr		57	00	
M		58	50	
i	18	01	43	
F		47	—	D = 1.920 kms. = 17° 3

TOLEDO

iP	17	51	44	(dilatación)
iPP		52	05	
iS		55	11	
iSS		55	31	
Lq		55	43	
M		56	20	
F	18	40	—	D = 2.110 kms. = 19°

215.—SISMO DE 10 DE JUNIO DE 1960

H = 21h 12m 05s
Mag: 6 (Matsushiro)
15° 5 S., 174° W, (U. S. C. G. S. y B. C. I. S)
Región de las islas Samoa.

ALICANTE

L	22h	26m	39s	
Mo		38	21	
F		58	—	D = 17.400 kms. = 156° 6

MALAGA

iP'_1	21	32	11	(dilatación)
iP'_2		32	37	
iPP		34	02	
iPPP		39	55	
Lq	22	20	00	
Lr		28	30	
M		35	30	
LqW_2		38	10	
M		40	00	
M	23	02	50	
F		07	—	D = 17.400 kms. = 156° 5

TOLEDO

eP'_1	21	32	11	
$e(P'_2)$		32	23	
eSKS		40	31	
L	23	01	50	

216.—SISMO DE 11 DE JUNIO DE 1960

H = 00h 34m 48s
Mag: 6,25 (Pasadena)
21° S., 64° 5 W. h = 300 kms.
Sur de Bolivia. (U. S. C. G. S.)

ALICANTE

P	00h	46m	38s	
PPP		51	54	
S		56	56	
F	01	30	—	D = 9.300 kms. = 83° 7

ALMERIA

iP	00	46	45	(condensación)
ipP		47	52	D = 9.100 kms. = 82°

MALAGA

iP	00	46	41	(dilatación)
ipP		47	47	
iS		56	29	D = 9.000 kms. = 81°

TOLEDO

iP	00	46	50	(dilatación)
ipP		47	57	
i		48	27	
iS		56	49	
esS		58	43	
e	01	09	51	D = 9.365 kms. = 84° 3

217.—SISMO DE 11 DE JUNIO DE 1960

H = 15h 14m 07s
Mag: 6,5 - 6,75 (Pasadena)
9° S., 152° 5 E. (U. S. C. G. S. y B. C. I. S.)
Islas de Entrecasteaux.

ALICANTE

P'	15h	33m	41s	
PP		36	51	
PKS		37	15	
PPP		40	00	
SKS		40	49	
SKKS		43	40	
SS		55	22	
L	16	21	37	
Mo		32	19	
F		siguiente		D = 15.800 kms. = 142° 2

ALMERIA

iP'_1	15	33	45	(condensación)
e		36	08	
iPP		37	02	
PKS		37	53	
L	16	23	30	D = 16.000 kms. = 144°

MALAGA

iP'	15	33	50	(condensación)
iPP		37	13	

iPKS	15h	37m	59s	
iPPP		40	27	
Lv	16	28	10	
M		36	10	
F	en el siguiente			D = 16.120 kms. = 145°

TOLEDO

iP'1	15	33	42	(condensación)
i		35	56	
iPP		36	59	
ePKS		37	09	
i		38	56	
e(PPP)		40	32	
iSKKS		43	35	
e		52	07	
eSS		55	36	
eSSP		56	26	
eSSS	16	01	07	
e		05	07	
L		18	50	
M		27	50	D = 15.980 kms. = 143° 8

218.—SISMO DE 11 DE JUNIO DE 1960

H = 16h 37m 40s
Mag: 6 (Pasadena)
9° 5 S., 152° 5 E. (U. S. C. G. S. y B. I. C. S.)
Islas de Entrecasteaux

ALICANTE

P'	16h	57m	14s	
PP	17	00	24	
PKS		00	48	
SKS		04	22	
SSS		24	15	
L		45	10	
Mo		55	52	
F	19	10	—	D = 15.800 kms. = 142° 2

ALMERIA

iP'1	16	57	21	(dilatación)
i		58	45	
i(PP)	17	00	58	
PKS		01	19	
L		48	20	D = 16.050 kms. = 144° 5

MALAGA

iP'	16	57	21	(condensación)
iPP		59	45	
Lq	17	53	30	
Lr	18	02	10	
M		07	40	
F	en el siguiente			D = 16.150 kms. = 145° 2

TOLEDO

eP'	16	57	14
ePP	17	00	12
L		46	50
M		51	20

219.—SISMO DE 11 DE JUNIO DE 1960

H = 17h 07m 57s
9° 5 S., 152° 5 E. (U. S. C. G. S.)
Islas Entrecasteaux.

Réplica del anterior.

MALAGA

iP'	17h	27m	33s	(dilatación)

220.—SISMO DE 12 DE JUNIO DE 1960

H = 07h 19m 43s
Mag: 6,25 (Pasadena)
36° 5 S., 98° W. (U. S. C. G. S.)
Pacífico Sur.

MALAGA

ePP	07h	39m	19s	
ePPP		41	39	
eSKS		45	09	
e		49	21	
i(PPS)		50	05	
L	08	17	00	
M		22	20	
F		35	—	D = 12.540 kms. = 112° 8

TOLEDO

ePP	07	39	29	
e		42	22	
e		46	35	
L	08	12	50	
M		19	50	

221.—SISMO DE 13 DE JUNIO DE 1960

H = 05h 47m 05s
Mag: 6,25 - 6,50 (Matsushiro)
44° 5 S., 76° 5 W. (U. S. C. G. S.)
Próximo costa del S. de Chile.

MALAGA

CL	06h	39m	20s

TOLEDO

L	06	37	50
M		45	50

222.—SISMO DE 15 DE JUNIO DE 1960

H = 15h 36m 51s
Mag: 6,25 (Matsushiro)
41° N., 142° 5 E. (U. S. C. G. S.)
Próximo a la costa E. de Hondo (Japón).

Sentido en Miyako, Hachinoe, Moriola y Aomori; Morioka con grado V.

ALICANTE

L	16h	21m	45s	
Mo		29	03	
F		45	—	D = 10.400 kms. = 93° 6

TOLEDO

eP	15	50	12	
ePP		53	43	
eS	16	01	07	
L		21	55	
M		37	55	D = 10.180 kms. = 91° 6

222 bis.—SISMO DE 15 DE JUNIO DE 1960

H = 22h 49m 39s
Mag: 6 (Wellington)
32° S., 177° 5 W. (U. S. C. G. S.)
Islas Kermadec.

MALAGA

eP'	23h	10m	00s	
iP'_2		11	23	
ePP		15	20	

223.—SISMO DE 15 DE JUNIO DE 1960

H = 23h 27m 40s
Mag: 6,4 (Quetta)
0° 5 S., 133° E. (U. S. C. G. S.)
Nueva Guinea Occidental.

ALMERIA

(P'_1)	23h	45m	32s	
iPP		48	33	D = 13.950 kms. = 125° 5
	condensación			

MALAGA

eP'	23	46	44	
iPP		48	47	
ePPP		51	29	
Lq	00	38	30	
Lr		44	30	
M		53	20	
LqW_2	01	07	10	
M		15	50	
F	02	04	—	D = 14.010 kms. = 126°

TOLEDO

e	23	48	11	
ePP		48	33	
eSKS		53	30	
ePS		58	15	
eSS	00	06	20	

224.—SISMO DE 15 DE JUNIO DE 1960

H = 23h 32m 35s
Mag: 6,25 - 6,50 (Pasadena)
26° S., 178° 5 E. h = 600 kms.
Sur de las islas Fidji. (U. S. C. G. S.)

ALICANTE

P'_1	23h	51m	27s	
eP'_2		52	35	
SKS		57	26	
PeSP'	00	04	41	
L		51	35	
Mo	01	04	05	
F		55	—	D = 18.500 kms. = 166° 5

MALAGA

eP'_2	23	53	37	
iSKS		56	59	

225.—SISMO DE 16 DE JUNIO DE 1960

H = 09h 05m 07s
35° S., 179° E. (U. S. C. G. S. y B. C. I. S.)
Isla Norte de Nueva Zelanda.

MALAGA

iP'_2	09h	27m	07s	(dilatación)
ePP		31	03	D = 19.540 kms. = 175° 7

226.—SISMO DE 16 DE JUNIO DE 1960

H = 10h 20m 04s
Mag: 5,75 - 6 (Matsushiro)
2° S., 69° E. (U. S. C. G. S. y B. C. I. S.)
Océano Indico.

MALAGA

eP	10h	32m	02s
L	11	03	20
M		14	50
F	impreciso		

TOLEDO

eP	10	32	05
L	11	04	55

227*.—SISMO DE 16 DE JUNIO DE 1960

H = 19h 23m 58s

Sentido en Pinos Puente (Granada). (B. C. I. S.)

ALMERIA

iPn	19h	24m	33s	(dilatación)
(Pg)		24	46,5	
eSg		24	54	D = 164 kms. = 1° 47

MALAGA

iPg	19	24	08	
iSg			18	
i			30	
F		27	—	D = 83 kms. = 0° 75

228.—SISMO DE 17 DE JUNIO DE 1960

H = 16h 35m 32s
Mag: 6 - 6,25 (Pasadena)
52° 5 N., 173° 5 W. (U. S. C. G. S. y B. C. I. S.)
Islas Andreanow (Aleutianas).

MALAGA

iP	16h	48m	42s	(dilatación)
ePP		52	22	
ePPP		54	10	
eS		59	28	
L	17	17	10	
M		26	00	
F	18	26	—	D = 10.050 kms. = 90° 4

TOLEDO

eP	16	48	27	
i		48	39	
eS		59	06	
L	17	28	55	
M		43	55	D = 9.755 kms. = 87° 8

229*.—SISMO DE 18 DE JUNIO DE 1960

Sentido en Alhama (Granada). (Cartuja)

ALMERIA

iPn	02h	54m	52,5s	(dilatación)
i		54	55,5	
iSg		55	09,5	
(Sn)		55	11,5	
i		55	16	D = 142 kms. = 1° 28

MALAGA

iPg	02	54	33	

TOLEDO

ePn	02	55	13	
eSg		56	00	
F		58	—	

230.—SISMO DE 18 DE JUNIO DE 1960

H = 03h 19m 04s
9° 5 S., 152° 5 E. (U. S. C. G. S.)
Islas de Entrecasteaux.

MALAGA

iL	04h	04m	00s	
M		19	30	
F		27	—	

231.—SISMO DE 18 DE JUNIO DE 1960

Sin más datos.

MALAGA

iPg	16h	49m	50s	(condensación)
iSg		50	00	
F		51	—	D = 83 kms. = 0° 7

232*.—SISMO DE 18 DE JUNIO DE 1960

H = 19h 03m 18s
38° 9 N., 0° 3 W. (Alicante)
Al SW. de Gandía (Valencia).

Sentido con grado V en Benicolet, Montichelvo, Ruget y Ayelo de Rugat.

ALICANTE

Pg	19h	03m	30s	
Sg		03	38	
F		05	22	D = 67 kms. = 0° 6

TOLEDO

ePg	19	04	14	trazas)

233.—SISMO DE 19 DE JUNIO DE 1960

Peninsular. Sin más datos. (Almería)

ALMERIA

(ePg)	08h	27m	40s	
i		27	44,5	
i		27	48,5	
e		27	55	

MALAGA

iPg	08	27	12	(condensación)
iSg			22	
F		28	—	D = 80 kms. = 0° 7

234.—SISMO DE 19 DE JUNIO DE 1960

H = 17h 17m 25s
Mag: 5,25 (Moscú)
28° N., 142° 5 E. (U. S. C. G. S. y B. C. I. S.)
Islas Bonin.

MALAGA

L	18h	23m	10s	
M		27	45	
F		36	—	

TOLEDO

eP	17	35	56	
L	18	18	50	

235.—SISMO DE 20 DE JUNIO DE 1960

H = 02h 01m 08s
Mag: 7 (Pasadena)
38° S., 73° 5 W. (U. S. C. G. S. y B. C. I. S.)
Próximo costa de Chile.

ALICANTE

P	02h	15m	02s	
PP		19	13	
PPP		21	24	
SKS		25	41	
S		26	38	
PS		28	14	

SS	02h	33m	42s	
L		49	28	
Mo		58	25	
M	03	03	59	
F		45	—	D = 11.250 kms. = 101° 2

ALMERIA

eP	02	14	51	(condensación)
iPP		18	56	
iPPP		21	09	
eSKS		25	35	
ePS		27	56	
eSS		33	15	
e		35	45	
L		47	20	D = 11.050 kms. = 99° 5

TOLEDO

eP	02	14	57	
e		15	22	
iPP		19	04	
ePPP		21	03	
iSKS		25	41	
i(S)		26	52	
¡iPS!		28	11	
iSS		33	40	
iSSS		39	22	
Lq		46	22	
M	03	00	50	D = 11.055 kms. = 99° 5

236.—SISMO DE 20 DE JUNIO DE 1960

H = 12h 59m 40s
Mag: 6,75 (Pasadena)
39° 5 S., 73° W. (U. S. C. G. S. y B. C. I. S.)

ALICANTE

P	13h	13m	38s	
PP		17	52	
SKS		24	17	
S		25	18	
PS		26	55	
SS		32	26	
L		48	25	
Mo		57	22	
F	15	30	—	D = 11.350 kms. = 102° 1

ALMERIA

eP	13	13	26	
iPP		17	33	
ePPP		19	28	
iSKS		24	04	
iSKKS		24	18	
eSSS		35	34	
L		44	20	D = 11.100 kms. = 100°

TOLEDO

eiP	13	13	32	
iPP		17	42	
iSKS		24	15	
iPS		26	50	
iSS		32	10	
L		45	50	
M		58	40	D = 11.165 kms. = 100° 5

237.—SISMO DE 21 DE JUNIO DE 1960

H = 21h 33m 45s
Mag: 5,75 - 6 (Matsushiro)
61° S., 21° W. (U. S. C. G. S. y B. C. I. S.)
Región islas Sandwich.

TOLEDO

eP	21h	47m	31s	
e		58	21	
eS		59	33	
L	22	24	50	

238.—SISMO DE 22 DE JUNIO DE 1960

H = 06h 40m 15s
Mag: 5,5 - 5,75 (Santa Lucía)
39° S., 74° 5 W. (U. S. C. G. S.)
Próximo a la costa de Chile.

TOLEDO

L	07h	34m	20s	
M		39	20	

239.—SISMO DE 22 DE JUNIO DE 1960

H = 16h 12m 00s
Mag: 4,5 (Moscú)
12° N., 57° 5 E. (U. S. C. G. S.)
Mar de Arabia.

TOLEDO

iP	16h	22m	16s	(compresión)
eS		30	30	

240*.—SISMO DE 23 DE JUNIO DE 1960

H = 13h 03m 00s
Sur de España. (B. C. I. S.)

ALMERIA

(iPn)	13h	03m	32,5s	(dilatación)
i		03	50,6	
iSg		03	53,5	D = 164 kms. = 1° 47

MALAGA

iPg	13	03	07	(condensación)
i			09	
iSg			14	
i			17	
F		04	—	D = 50 kms. = 0° 45

241.—SISMO DE 25 DE JUNIO DE 1960

H = 02h 02m 35s
Mag: 5,75 - 6 (Matsushiro)
30° 5 S., 177° W. (U. S. C. G. S. y B. C. I. S.)
Islas Kermadec.

TOLEDO

eP'_1	02h	22m	46s
eP'_2		23	57
L	03	31	50
M		41	50

242.—SISMO DE 25 DE JUNIO DE 1960

H = 13h 53m 37s

6° 5 N., 72° W. h = 150 kms.
Colombia. (U. S. C. G. S.)
(B. C. I. S.)

Sentido en la circunscripción de Caldas, Antioquia y Santander (según Bogotá).

TOLEDO

eP	14h	04m	58s
e		05	30

243.—SISMO DE 25 DE JUNIO DE 1960

H = 14h 41m 42s
Mag: 6,5 - 6,75 (Pasadena)

30° 5 S., 177° W. (U. S. C. G. S.)
Islas Kermadec.

Réplica del (anteprecedente) núm. 241.

ALMERIA

iP'_1	15h	02m	02s	(dilatación)
i		02	19	
ePP		07	23	
iPPP		11	28	D = 19.350 kms. = 174°

TOLEDO

eiP'_1	15	01	59	
i		03	10	
ePP		06	58	
e		09	48	
e		11	24	
e		13	38	
e		18	00	
iSS		27	48	D = 18.665 kms. = 168°

244.—SISMO DE 25 DE JUNIO DE 1960

H = 14h 58m 59s
Mag: 5,8 (Wellington)

30° S., 177° W. (U. S. C. G. S.)
Islas Kermadec.

TOLEDO

L	16h	01m	48s
M		20	48

245.—SISMO DE 27 DE JUNIO DE 1960

H = 16h 50m 24s
Mag: 5,9 (Wellington)

32° 5 S., 178° W. (U. S. C. G. S.)
Islas Kermadec.

TOLEDO

e	17h	22m	18s	(trazas)
e		24	36	
e		36	56	
L	18	21	45	
F	19	00	—	

246*.—SISMO DE 28 DE JUNIO DE 1960

H = 13h 22m 54s

37° 25 N., 3° 75 W. (B. C. I. S.)
Zona de Pinos Puente Fuente Vaquero
(Granada) (Cartuja).

ALICANTE

e	13h	23m	53s
e		24	29
F		26	46

ALMERIA

iPg	13	23	20	(condensación)
i		23	22	
i		23	34,5	
iSg		23	37	D = 145 kms. = 1° 30

TOLEDO

ePn	13	23	41	
		Débil		
eSg		24	22	
F		27	15	D = 250 kms. = 2° 3

247.—SISMO DE 29 DE JUNIO DE 1960

H = 01h 57m 16s
Mag: 6,25 - 6,50 (Matsushiro)

43° S, 74° W. (U. S. C. G. S. y B. C. I. S.)
Próximo a la costa del S. de Chile.

ALICANTE

L	02h	48m	31s	
Mo		56	43	
F	03	10	—	D = 11.900 kms. = 107° 1

MALAGA

eP	02	11	15
ePP	02	15	21
L		48	30
M		56	00
F		impreciso	

TOLEDO

e(P)	02	05	05
		muy débil	
e		13	40
L		45	45
M		55	15

248.—SISMO DE 29 DE JUNIO DE 1960

H = 04h 29m 12s
Mag: 6 - 6,25 (Matsushiro)

30° S., 177° 5 W. (U. S. C. G. S. y B. C. I. S.)
Islas Kermadec

ALMERIA

iP'_1	04^h	49^m	23^s	(condensación)
e		49	46	
(ePP)		55	05	D = 19.350 kms. = 174°

MALAGA

iP'	04	49	21	(condensación)
iP'_2		50	45	
iPP		54	40	
ePPP		58	39	
L	06	01	00	
M		11	30	
F		41	—	D = 19.000 kms. = 170° 9

TOLEDO

eP'_1	04	49	23	
eP'_2		50	45	

249.—SISMO DE 29 DE JUNIO DE 1960

H = 10^h 23^m 00^s
Mag: 4,6 (Kew)
47° 25 N., 27° W. (B. C. I. S.)
Océano Atlántico.

ALICANTE

iP	10^h	27^m	54^s	
PP		28	14	
S		31	43	
L		33	41	
F		45	—	D = 2.350 kms. = 21° 1

ALMERIA

iPP	10	27	52	(dilatación)
ePPP		28	04	
e		29	07	
L		34	—	D = 2.200 kms. = 20°

MALAGA

iP	10	27	39	(dilatación)
iPP		28	03	
iS		31	27	
L		32	50	
eScP		35	03	
M			50	
F	impreciso			D = 2.220 kms. = 20°

TOLEDO

iP	10	27	17	(dilatación)
iPP		27	25	
eS		30	40	
L		31	53	
M		32	30	
F	11	00	—	D = 2.080 kms. = 18° 7

250.—SISMO DE 29 DE JUNIO DE 1960

H = 17^h 07^m 00^s
Mag: 6,3 (Quetta)
53° N., 168° 5 W. (U. S. C. G. S. y B. C. I. S.)
Islas de los Zorros (Aleutianas)

MALAGA

iP	17^h	20^m	00^s	(dilatación)
L	18	02	20	
F		47	—	D = 9.890 kms. = 89°

TOLEDO

eP	17	19 débil	44	
eS		30	04	
L		54	44	

251.—SISMO DE 30 DE JUNIO DE 1960

H = 19^h 58^m 33^s
60° N., 151° W. (U. S. C. G. S.)
Península de Kenai (Alaska).

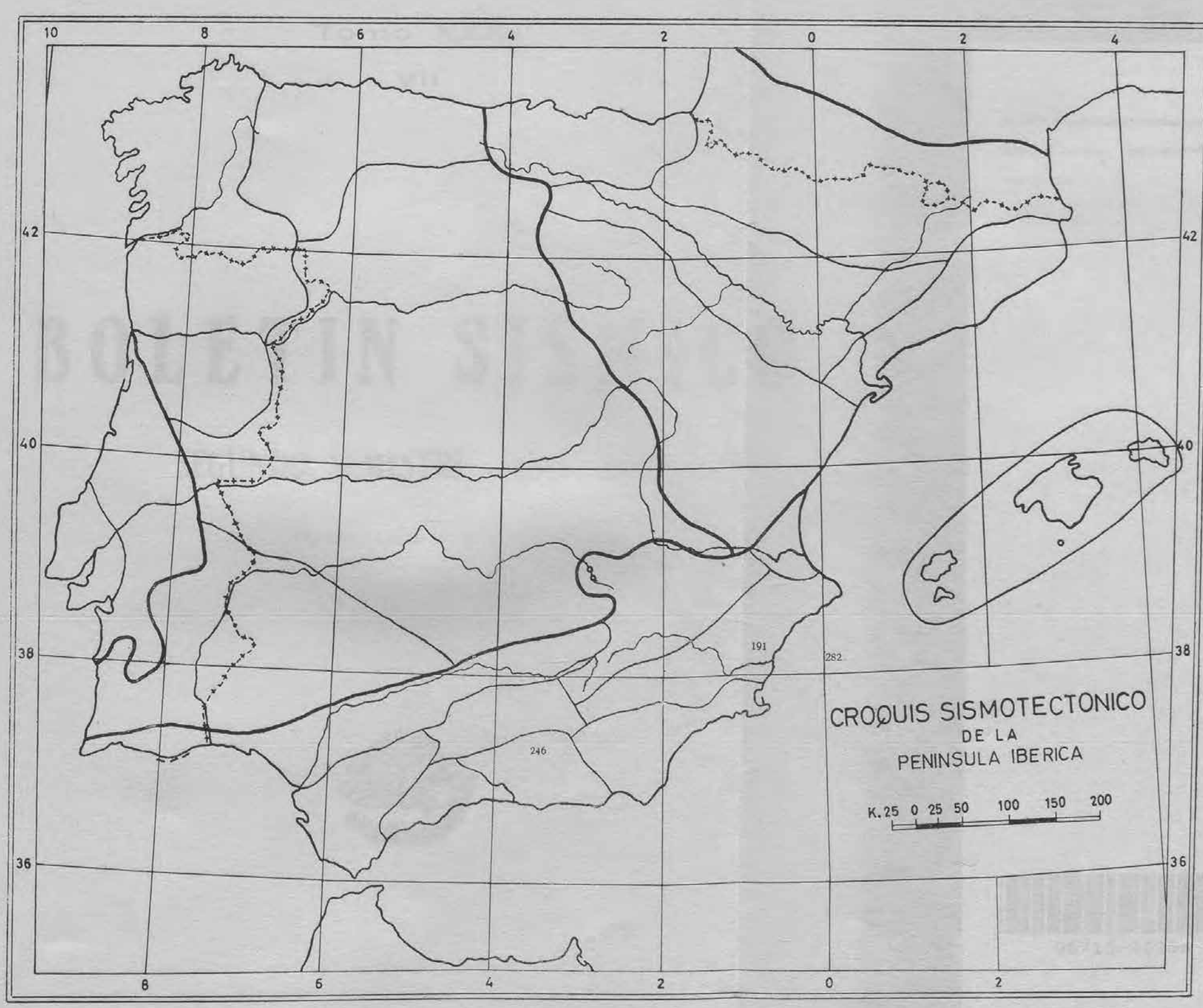
MALAGA

iP	20^h	10^m	40^s	(dilatación)
iPP		13	40	D = 8.750 kms. = 78° 7

TOLEDO

iP	20	10	23	(dilatación) (trazas)

NOTA.—Los números con asteriscos corresponden a sismos próximos.



Epicentros de sismos ibéricos localizados durante el **primer semestre de 1960.** Los números indican el orden con el cual figuran en el Boletín. Para sus coordenadas consultar el texto.

(Laboratorio Central de Sismología. Madrid.)



MEMORIAS DEL INSTITUTO GEOGRAFICO Y CATASTRAL

Tomo XXXII

VII

BOLETIN SISMICO

SEGUNDO SEMESTRE - AÑO 1960

DEPÓSITO LEGAL M-7387-1958



MADRID

TALLERES DEL INSTITUTO GEOGRAFICO Y CATASTRAL

1 9 6 4

BOLETIN SISMICO

SEGUNDO SEMESTRE - AÑO 1960

LABORATORIO CENTRAL DE SISMOLOGIA

La situación geográfica y los equipos que constituyen los Observatorios dependientes del Laboratorio Central de Sismología, son los siguientes:

OBSERVATORIO SISMOLOGICO DE ALICANTE

COORDENADAS

Lat. = 38° 21' 19",22 N.
Long. = 0° 29' 14",06 W. Gr.
a = 35 metros.
Subsuelo = Cretáceo superior.

CONSTANTES

Aparato de registro mecánico

SISMOGRAFO	COMPONENTE	MASA — *Kgs.*	PERIODO — T_o	AMPLIFICACION — V	ROZAMIENTO — $\frac{r}{T_o^2}$	AMORTIGUAMIENTO — ε
Mainka	N.-S.	1.000	9	700	0,004	4,2
Mainka	E.-W.	1.000	9	392	0,003	4,0
Wiechert	Z	800	0,5	200	—	—

Un equipo "Askania" en período de montaje.

OBSERVATORIO GEOFISICO DE ALMERIA

COORDENADAS

Lat. = 36° 51' 09",1 N.
Long. = 2° 27' 35",2 W. Gr.
a = 65 metros.
Subsuelo = Tosca marina (caliza del plioceno).

CONSTANTES

Aparato de registro mecánico

SISMOGRAFO	COMPONENTE	MASA — *Kgs.*	PERIODO — T_o	AMPLIFICACION — V	ROZAMIENTO — $\frac{r}{T_o^2}$	AMORTIGUAMIENTO — ε
Mainka	Z	500	$5^s,4$	225	0,010	1,07
Mainka	E.-W.	750	$9^s,3$	416	0,008	2,66
Mainka	N.-S.	750	$9^s,8$	656	0,012	4,68

Aparato de registro galvanométrico.

SISMOGRAFO	COMPONENTE	PER. GAL. — T_g (seg)	PER. PEND. — T_p (seg)	AMORTIGUAMIENTO — μ^2	FACTOR TRANSF. — K	AMPLIFICACION $\frac{AK}{\pi l}$	AMPLIFICACION V máx.
Stuttgart	Z	1,5	1,5	0	7,000	18.350	8.950
Stuttgart	E.-W.	1,5	1,5	0	6,000	15.600	7.600
Stuttgart	N.-S.	1,5	1,5	0	6,700	17.550	8.550

OBSERVATORIO SISMOLOGICO DE MALAGA

COORDENADAS

Lat. = 36° 43' 39" N.
Long. = 4° 24' 40" W. Gr.
a = 60,3 metros.
Subsuelo = Caliza triásica.

CONSTANTES

SISMOGRAFO	COMPONENTE	MASA — Kgs.	PERIODO — T_o	PERIODO — T_g	AMPLIFICACION — V	AMORTIGUAMIENTO — ε
Victoria.	Z	100	0,3	7	1.600	30
Wiechert.	Z	80	12,5	7	1.600	5
Askania.	Z	En pruebas.				
Askania.	Z					
Askania.	Z					

NOTA: Por estar en obras esta estación, funcionó solamente los meses de mayo y junio.

OBSERVATORIO CENTRAL GEOFISICO DE TOLEDO

COORDENADAS

Lat. = 39° 52' 53" N.
Long. = 4° 02' 55" W. Gr.
a = 480,46 metros.
Subsuelo = Mioceno superior.
Sismógrafo Wiechert = Velocidad de registro: 20 mm. por minuto.

CONSTANTES

SISMOGRAFO	COMPONENTE	MASA — Kgs.	PERIODO — T_0	AMPLIFICACION — V	ROZAMIENTO — $\frac{r}{T_0^2}$	AMORTIGUAMIENTO — ε
Wiechert	Z	1.200	2,72	1.539	0,099	2,67
Wiechert	E.-W. (E')	1.000	10,4	650	0,019	3,16
Wiechert	N.-S. (N')	1.000	10,6	741	0,028	3,13
Wiechert	E.-W. (E")	800	6,28	465	0,026	3,99
Wiechert	N.-S. (N")	800	5,98	510	0,024	3,97

Sismógrafo Sprengnether = Velocidad de registro: 30 mm. por minuto.

SISMOGRAFO	COMPONENTE	PERIODO PENDULO — T_p	PERIODO GALVANOMETRO — T_g	AMPLIFICACION — V_m	AMORTIGUAMIENTO — μ^2
Sprengnether...	Z	1,7	1,7	—	0,38
Sprengnether...	E.-W.	14,3	14,3	1.780	0,30
Sprengnether...	N.-S.	13,0	13,0	1.735	0,31

252.—SISMO DE 1 DE JULIO DE 1960

H = 07h 58m 58s
Mag: 5,5 - 5,75 (Matsushiro)
56° N., 165° E. (U. S. C. G. S.)
Islas del Comendador (Aleutianas).

TOLEDO

eP	08h	11m	30s	
eS		21	57	
L		49	45	D = 9.380 kms. = 84° 4

CARTUJA

L	08	48	12
M		53	22
F	09	24	—

253*.—SISMO DE 2 DE JULIO DE 1960

Próximo a Almería (España).

ALMERIA

iPg	11h	52m	59,5s	
iSg		53	03	D = 30 kms. = 0° 27

254.—SISMO DE 2 DE JULIO DE 1960

H = 04h 29m 30s
Mag: 5 1/4 (Matsushiro)
51° 1/2 N., 173° 1/2 W. (U. S. C. G. S.)
Islas Andreanov (Aleutianas). (B. C. I. S.)

MALAGA

L	05h	18m	20s	
M		27	30	
F		45	—	

254 bis.—SISMO DE 2 DE JULIO DE 1960

H = 11h 55m 41s
Mag: 5,75 - 6 (Matsushiro)
56° S., 27° W. (U. S. C. G. S.)
Islas Sandwich.

MALAGA

iP	12h	09m	04s	
		condensación		
ePP		12	48	D = 10.510 kms. = 94° 6

TOLEDO

eP	12	09	18	
e(PP)		10	10	
e	12h	13m	13s	
iSKS		19	46	
eS		20	40	
ePS		21	55	
eSS		27	24	
e(SSS)		33	34	
L		35	30	D = 10.890 kms. = 98°

EBRO

eP	12	09	23
eS		21	36

255.—SISMO DE 3 DE JULIO DE 1960

H = 03h 19m 19s
Mag: 5,25 (Matsushiro)
52° N., 174° W. (U. S. C. G. S.)
Islas Andreanov (Aleutianas).

MALAGA

L	04h	09m	22s
M		15	30

CARTUJA

L	04	14	30
M		19	58
F		48	—

256.—SISMO DE 3 DE JULIO DE 1960

H = 20h 20m 46s
Mag: 7 (Pasadena)
50° 5 N., 177° W. (U. S. C. G. S.)
Islas Andreanov (Aleutianas).

ALICANTE

P	20h	33m	52s	
PP		37	30	
PPP		39	24	
iS		44	35	
SS		50	53	
L	21	04	13	
Mo		13	10	
F		58	—	D = 10.100 kms. = 90° 9

ALMERIA

iP	20	34	02	
		condensación		
iPP		37	52	
i!PS		46	29	
L	21	02	10	D = 10.200 kms. = 92°

MALAGA

iP	20h	34m	01s	(dilatación)
	cambio de banda			
L	21	06	00	
M		14	45	
F	23	24	—	D = 10.250 kms. = 92° 2

TOLEDO

iP	20	33	47	(dilatación)
e		35	51	
e		36	15	
ePP		37	26	
iS		44	28	
iPS		45	54	
Lq	21	04	00	
F	23	00	—	D = 10.000 kms. = 90°

CARTUJA

P	20	30	08	
PP		37	29	
SKS		44	47	
S		45	11	
PS		45	59	
PPS		47	10	
eSS		50	11	
SSS		54	47	
L	21	14	00	
M		23	18	
F	22	30	—	D = 10.200 kms. = 92°

EBRO

iP	20	33	46	
iS		44	21	D = 9.653 kms. = 86° 91

257.—SISMO DE 4 DE JULIO DE 1960

H = 04h 28m 33s
Mag: 6,5 - 6,75 (Pasadena)
52° N., 131° 5 W. (U. S. C. G. S.
Islas de la Reina Carlota. y B. C. I. S.)

ALICANTE

P	04h	40m	46s	
S		50	50	
ScS		51	09	
PPS		51	54	
SSS		59	23	
L	05	06	57	
Mo		15	32	
F	06	04	—	D = 8.900 kms. = 80° 1

ALMERIA

iP	04	40	58	(dilatación)
L	05	06	20	D = 8.950 kms. = 80° 5

MALAGA

iP	04	40	51	(dilatación)
iPP		43	56	
ePPP		45	51	
iS		50	45	
iPS		51	37	
eSS		55	37	

L	05h	07m	40s	
M		12	30	
F	07	58	—	D = 8.870 kms. = 79° 8

TOLEDO

iP	04	40	35	(dilatación)
ePcP		40	41	
ePP		43	38	
iS		50	31	
eSS		55	36	
eSSS		58	35	
L	05	05	50	
M		12	00	
F	06	30	—	

CARTUJA

iP	04	41	06	
PP		40	06	
iS		51	06	
SS		56	11	
L	05	10	12	
M		17	42	
F	en el siguiente			D = 8.900 kms. = 80°

EBRO

P	04	40	38	
S		50	35	D = 8.800 kms. = 79° 2

258.—SISMO DE 4 DE JULIO DE 1960

Sin más datos.

CARTUJA

L	06h	54m	24s
M	07	00	20
F		30	—

259.—SISMO DE 4 DE JULIO DE 1960

H = 13h 10m 05s
Mag: 6 (Pasadena)
52° N., 131° W. (U. S. C. G. S.
Islas de la Reina Carlota. y B. C. I. S.)

ALICANTE

L	13h	48m	48s	
Mo		55	00	
F	14	10	—	D = 8.900 kms. = 80° 1

MALAGA

iP	13	22	23	(dilatación)
iPP		25	23	
ePPP		27	17	
eS		32	13	
iSS		37	15	
L		49	00	
M		54	00	
F	14	34	—	D = 8.840 kms. = 79° 5

TOLEDO

e(P)	13	22	07	
eS		31	55	
L		40	—	D = 8.660 kms. = 77° 9

CARTUJA

iP	13h	22m	30s	
PP		25	59	
L		49	18	
M		59	00	
F	15	18	—	D = 9.000 kms. = 80°

EBRO

L	13	49	00	
M	14	02	08	

260*.—SISMO DE 4 DE JULIO DE 1960

A 15 kilómetros de Granada.

CARTUJA

Pg	19h	14m	30s	
Sg		14	32	
F		14	48	D = 15 kms. = 0° 13

261.—SISMO DE 4 DE JULIO DE 1960

H = 21h 29m 25s
Mag: 5,75 (Matsushiro)
43° S., 74° W. h = 60 kms.
Sur de Chile. (U. S. C. G. S.)

TOLEDO

L	22h	25m	00s	
	Trazas			

262.—SISMO DE 5 DE JULIO DE 1960

H = 05h 45m 30s
Mag: 6 (Santa Lucía)
30° 5 S., 73° 5 W. (U. S. C. G. S.)
Próximo costa de Chile.

MALAGA

eP	05h	59m	07s	
iPP	06	02	08	
ePPP		05	13	
L		38	00	
M		44	45	
F		impreciso		D = 10.990 kms. = 98° 8

TOLEDO

L	06	40	00	
M		48	00	
	Trazas			

EBRO

L	06	45	00	
M		50	13	

263.—SISMO DE 5 DE JULIO DE 1960

H = 21h 15m 09s
8° S., 71° 5 W. h = 600 kms.
Brasil occidental. (U. S. C. G. S.)

Réplica del día 4 (H = 08h 02m 07s), que no se registró en España.

TOLEDO

iP	21h	26m	16s	(dilatación)
epP		28	12	
esS		38	49	

264.—SISMO DE 6 DE JULIO DE 1960

H = 05h 16m 44s
Mag: 6,6 (Quetta)
36° 5 N., 70° 5 E. h = 200 kms.
Hindu-Kush. (U. S. C. G. S.)

ALMERIA

iP	05h	26m	15s	(condensación)
ipP		27	02	
iS		33	54	D = 6.350 kms. = 57°

MALAGA

iP	05	26	22	(dilatación)
ipP		27	09	
ePP		30	01	
eS		34	13	
esS		35	31	
F		impreciso		D = 6.500 kms. = 58° 5

TOLEDO

iP	05	26	14	(compresión)
ipP		27	01	
i(sP)		27	25	
i		27	41	
iS		33	50	D = 6.380 kms. = 57° 4

265.—SISMO DE 6 DE JULIO DE 1960

H = 07h 06m 29s
41° 5 S., 41° 5 E. (B. C. I. S.)
NE. de la isla del Príncipe Eduardo.

MALAGA

L	07h	56m	00s	
M	08	00	00	
F		12	—	

TOLEDO

L	07	50	00	
M	08	00	00	
	Trazas			

CARTUJA

L	07	49	24	
M		54	10	
F	08	24	—	

266.—SISMO DE 8 DE JULIO DE 1960

Mezcla de varios sismos. (B. C. I. S.)

TOLEDO

L	19h	05m	55s
M		10	55
	Trazas		

267.—SISMO DE 9 DE JULIO DE 1960

H = 00h 42m 29s
Mag: 5,25 - 5,50 (Matsushiro)
25° 5 N., 125° 5 E. (U. S. C. G. S.)
Islas Riu-Kiu.

MALAGA

L	01h	45m	00s
M		49	40
F	02	01	—

TOLEDO

L	01	35	55
M		40	—

CARTUJA

L	01	41	06
M		47	27
F	02	06	—

268.—SISMO DE 10 DE JULIO DE 1960

H = 00h 05m 38s
Mag: 6,5 (Pasadena)
1° N., 98° 5 E. h = 150 kms.
Próximo a la costa W. (U. S. C. G. S.
de Sumatra. y B. I. C. S.)

ALICANTE

L	00h	51m	43s	
Mo		58	49	
F	01	15	—	D = 10.755 kms. = 96° 7

TOLEDO

e(P)	00	19	15	
e		22	20	
i(SKS)		29	58	
iS		30	33	
eSS		36	20	
L		53	55	
M	01	04	25	
F	02	30	—	

CARTUJA

i	00	20	46	(dilatación)
PP		23	39	
PPP		25	34	
S		30	34	
L		57	36	
M	01	10	04	
F	03	00	—	D = 11.000 kms. = 99°

EBRO

S	00	29	41
L	01	04	—

269*.—SISMO DE 10 DE JULIO DE 1960

H = 01h 41m 48s
38° N., 3° 75 W. (Cartuja y B. C. I. S.)
Falla del Guadalquivir (España).

ALICANTE

e	01h	43m	33s
F		45	13
	Trazas		

ALMERIA

Pn	01	42	24	
i(Pg)		42	29	
i		42	35,5	
iSn		42	45	
iSg		42	49,5	D = 184 kms. = 1° 65

TOLEDO

ePg	01	42	52	
eSn		43	17	
eSg		43	25	
F		45	10	D = 280 kms. = 2° 5

CARTUJA

Pg	01	42	04	
PPP		42	14	
Sg		42	17	
F		43	30	D = 100 kms. = 0° 9

270.—SISMO DE 11 DE JULIO DE 1960

H = 11h 55m 10s
Mag: 6 (Pasadena)
16° S., 172° W. (U. S. C. G. S.
Región de las islas Tonga. y B .C. I .S.)

ALMERIA

iP'1	12h	15m	09s	(dilatación)
		19	20	D = 17.500 kms. = 157° 5

MALAGA

iP'	12	15	08	(condensación)
iPKS		18	44	
iPP		19	14	
eSKKS		26	06	
L	13	14	50	
M		21	00	
F	14	03	—	D = 17.370 kms. = 156° 2

TOLEDO

iP'1	12	15	05	(dilatación)
iP'2		15	13	
i(pP'1)		15	25	
e		16	43	
ePP		18	50	
e		18	58	
(L)	13	15	00	

CARTUJA

iP'1	12	15	09	
P'2		15	37	

i	12h	16m	02s	
iPP		19	18	
L	13	21	18	
M		28	03	
F	14	12	—	D = 17.400 kms. = 157°

271.—SISMO DE 13 DE JULIO DE 1960

H = 07h 55m 58s
Mag: 6 (Pasadena)
54° S., 1° E. (U. S. C. G. S.)
Región de la isla Bouvet.

ALICANTE

L	08h	39m	57s	
Mo		47	07	
F		57	—	D = 10.200 kms. = 91° 8

MALAGA

iP	08	09	09	
ePP		12	53	
L		33	45	
M		43	30	
F		impreciso		

TOLEDO

eP	08	09	24	
ePP		13	04	
eS		20	09	
iPS		21	49	
Lq		40	55	
M		51	05	
F	09	30	—	

CARTUJA

eP	08	03	48	(condensación)
L		32	54	
M		49	12	
F	09	54	—	D = 10.000 kms. = 90°

EBRO

e	08	21	10	
L		42	—	

272.—SISMO DE 13 DE JULIO DE 1960

H = 10h 20m 31s
Mag: 4,5 (Estambul, Kandilli)
40° 4 N., 23° 6 E. (B. C. I. S.)
Grecia.

Sentido en Calcidia y Salónica con Grado VI. Premonitorio del siguiente.

CARTUJA

LM	10h	35m	12s	
F		10	42	

273.—SISMO DE 13 DE JULIO DE 1960

H = 13h 01m 00s
40° 6 N., 23° 4 E. (B. C. I. S.)
Grecia.

Daños en Calcidia (Grado VIII en Krini y Marathusa). Derrumbamiento de edificios; una persona herida; deslizamiento de rocas.

ALICANTE

L	13h	10m	15s	
Mo		11	57	
F		20	—	D = 2.050 kms. = 18° 4

ALMERIA

iP	13	05	41	(condensación)
(L)		13	—	D = 2.235 kms. = 20° 1

MALAGA

iP	13	05	56	(condensación)
iPP		06	18	
iS		09	54	
eSSS		10	42	
L		14	00	
M		16	30	
F		33	—	D = 2.420 kms. = 21° 8

TOLEDO

eiP	13	05	47	
ePP		06	04	
iS		09	50	
iSS		10	26	
L		12	55	
M		13	30	D = 2.300 kms. = 20° 7

CARTUJA

P	13	05	52	(condensación)
S		10	51	
L		14	30	
M		17	12	
F		30	—	D = 2.320 kms. = 20° 9

EBRO

eP	13	05	14	
eS		10	36	D = 1.920 kms. = 17° 3

274.—SISMO DE 13 DE JULIO DE 1960

H = 20h 27m 46s
Mag: 5,6 (Matsushiro)
34° N., 139° E. (U. S. C. G. S.
Próximo a la costa de Hondo y B. C. I. S.)
(Japón).

CARTUJA

L	21h	25m	12s	
M		27	29	
F		36	—	

275.—SISMO DE 14 DE JULIO DE 1960

H = 02h 07m 21s
25° N., 124° 5 E. h = 200 kms.
Islas Riu-Kiu. (U. S. C. G. S.)

MALAGA

eSKS	02h	31m	42s	
eL	03	10	00	
iM		14	00	
F		22	—	

CARTUJA

L	03	06	06	
M		08	17	
F		30	—	

276.—SISMO DE 14 DE JULIO DE 1960

H = 10h 26m 58s
Mag: 5,75 - 6 (Matsushiro)
5° N., 127° 5 E. h = 100 kms.
Estrecho de las Molucas. (U. S. C. G. S. y B. C. I. S.)

MALAGA

ePP	10	47	03	
ePPP		49	43	
ePS		56	43	
L	11	33	30	D = (8.675) kms. = 78°

CARTUJA

i	10	47	47	(dilatación)
PS		57	41	
SS	11	03	04	
L		33	42	
M		42	53	
F	12	48	—	

EBRO

iPP	10	46	34	D = 12.650 kms. = 113° 9

277.—SISMO DE 14 DE JULIO DE 1960

H = 18h 39m 34s
Mag: 6,3 (Lwiro)
7° N., 38° 5 E. (U. S. C. G. S. y B. C. I. S.)
Etiopía.

ALICANTE

L	19h	02m	24s	
Mo		06	18	
F		15	—	D = 5.200 kms. = 46° 8

MALAGA

L	19	05	42	
iM		12	00	
F		29	—	

TOLEDO

eP	18	48	35	
L	19	04	55	
M		07	55	
F		30	—	D = 5.580 kms. = 50° 2

CARTUJA

L	19h	06m	12s	
M		08	35	
F		42	—	

EBRO

L	19	05	00	
M		12	01	

278.—SISMO DE 14 DE JULIO DE 1960

H = 22h 11m 06s
Mag: 4,5 (Moscú)
36° N., 70° E. h = 100 kms.
Hindu-Kush, (U. S. C. G. S. y B. C. I. S.)

TOLEDO

eP	22h	20m	46s	
epP		21	16	

279.—SISMO DE 15 DE JULIO DE 1960

H = 05h 02m 09s
12° S., 45° E. h = 60 kms.
Próximo a la costa NW. de Madagascar. (U. S. C. G. S.)

ALMERIA

iP	05h	12m	57s	
	Condensación			D = 7.310 kms. = 65° 9

MALAGA

iP	05	14	03	
L		41	50	
M		45	00	
F	06	04	—	

TOLEDO

iP	05	13	14	(dilatación)
ePP		15	44	
L		40	55	

CARTUJA

iP	05	13	07	(dilatación)
L		41	06	
M		46	06	
F	06	36	—	D = 7.500 kms. = 68°

280.—SISMO DE 15 DE JULIO DE 1960

H = 23h 43m 34s
55° N., 35° W. (B. C. I. S.)
Atlántico Norte.

CARTUJA

LM	23h	57m	14s	
M		12	—	

281.—SISMO DE 16 DE JULIO DE 1960

Sin más datos.

MALAGA

iL	15h	03m	28s	
iM		07	40	

CARTUJA

L	15	03	42	
M		08	46	
F		18	00	
i		04	12	

EBRO

i	15	04	12	

282*.—SISMO DE 16 DE JULIO DE 1960

H = 18h 55m 24s

38° 6 N., 0°9 W. (B. C. I. S.)
Próximo Villena (España).

Sentido en Villena, Biar y Elda.

ALICANTE

iPg	18h	55m	38s	
iSg		55	42	
F		57	35	D = 49 kms. = 0° 4

TOLEDO

eiPn	18	56	24	
eSg		57	02	
F		59	—	D = 255 kms. = 2° 3

283.—SISMO DE 16 DE JULIO DE 1960

H = 21h 19m 37s

65° 5 N., 167° 5 W. (U. S. C. G. S.)
Península de Seward (Alaska).

Premonitorio del siguiente.

TOLEDO

eP	21h	31m	16s	
L	22	05	00	
		Trazas		

CARTUJA

L	22	03	18	
M		07	04	
F		30	—	

284.—SISMO DE 16 DE JULIO DE 1960

H = 22h 02m 53s

65° 5 N., 167° 5 W. (U. C. C. G. S.
Península de Seward (Alaska). y B. C. I. S.)

CARTUJA

L	22h	46m	48s	
M		53	43	
F		18	—	

285*.—SISMO DE 17 DE JULIO DE 1960

H = 00h 47m 42s

Mediterráneo occidental. (B. C. I. S.)

ALMERIA

ePn	00h	48m	24s	
eSn		48	54	D = 260 kms. = 2° 35

MALAGA

iPn	00	48	08	(condensación)
iPg		48	11	
iSn		48	29	
F		50	—	D = 170 kms. = 1° 5

TOLEDO

ePg	00	48	44	
		Trazas		

CARTUJA

P	00	48	23	(dilatación)
i		49	11	
e		53	59	
M	01	06	41	
F		18	—	

286*.—SISMO DE 17 DE JULIO DE 1960

¿Réplica del anterior?

Sin más datos.

MALAGA

iPg	02h	50m	45s	
iSg		51	00	
iSn		51	04	D = 120 kms. = 1° 1

287.—SISMO DE 17 DE JULIO DE 1960

H = 05h 14m 56s
Mag: 6,5 (Moscú)

36° N., 69° E. h = 200 kms.
Hindu Kush. (U. S. C. G. S. y B. C. I. S.)

ALMERIA

iP	05h	24m	25s	
	Condensación			D = 6.200 kms. = 56°

MALAGA

iL	05	49	15	
iM		56	00	
F		impreciso		

TOLEDO

eP	05h	24m	23s	
e		32	22	
L		48	50	
	Trazas			D = 6.280 kms. = 56° 5

CARTUJA

e	05	39	30	
L		49	30	
M		57	11	
F	06	42	—	

288.—SISMO DE 17 DE JULIO DE 1960

H = 19h 42m 38s

10° S., 13° W. (U. S. C. G. S.
Región de la isla Ascensión. y B. C. I. S.)

ALICANTE

(P)	19h	51m	32s	
(S)		58	40	
F	20	14	—	D = 5.500 kms. = 49° 5

ALMERIA

eP	19	51	15	(dilatación)
L	20	06	50	D = 5.300 kms. = 47° 7

MALAGA

eP	19	51	20	
ePP		53	15	
L	20	08	45	
M		10	45	D = 5.220 kms. = 47°

TOLEDO

eP	19	51	37	
ePP		53	31	
e(SS)	20	02	53	
L		08	50	
M		11	50	

CARTUJA

iP	19	51	30	(condensación)
PcP		52	54	
S		58	15	
SS	20	01	54	
M		07	32	
F		36	—	D = 5.100 kms. = 45° 9

EBRO

L	19	11	00	
M		12	08	

289.—SISMO DE 18 DE JULIO DE 1960

H = 01h 43m 29s

Mag: 6,5 - 6,75 (Pasadena)

4° 5 S., 151° E. h = 200 kms.
Región de nueva Bretaña. (U. S. C. G. S.
y B. C. I. S.)

Sentido en Rabaul.

MALAGA

eP'	02h	02m	38s	
ePP		05	48	
L		59	45	
M	03	06	15	
F		49	—	D = 15.690 kms. = 141°

TOLEDO

e(P')	02	02	35	
epP'		03	26	
ePP		05	31	
Lq		29	50	

CARTUJA

L	01	54	48	
M	02	00	43	
F		12	—	

290.—SISMO DE 18 DE JULIO DE 1960

H = 18h 50m 32s

7° S., 51° 5 E. (U. S. C. G. S.)
Islas Almirante.

ALICANTE

P	19h	01m	26s	
PP		03	55	
(S)		10	17	
F		32	—	D = 7.400 kms. = 66° 6

ALMERIA

iP	19	01	30	(dilatación)
ePP		04	01	
(eS)		10	06	D = 7.450 kms. = 67°

MALAGA

iP	19	01	38	(condensación)
L		29	20	
M		34	00	
F		38	—	D = 7.560 kms. = 68°

TOLEDO

eiP	19	01	45	
ePP		04	14	D = 7.390 kms. = 66° 5

CARTUJA

iP	19	01	43	(dilatación)
M		32	20	
F	20	00	—	D = 7.500 kms. = 68°

EBRO

iP	19	01	22	D = 7.390 kms. = 66° 5

291.—SISMO DE 19 DE JULIO DE 1960

H = 04h 19m 14s

7° S., 80° W. (U. S. C. G. S.)
Próximo a la costa del Perú.

MALAGA

iP	04h	31m	45s	(condensación)
L	05	04	15	D = 9.280 kms. = 83° 5

CARTUJA

eP	04	32	02	(condensación)
L	05	08	06	
M		13	20	
F		24	—	D = 9.200 kms. = 83°

291 bis.—SISMO DE 19 DE JULIO DE 1960

H = 16h 03m 18s

16° 5 N., 92° 5 W. h = 200 kms.
Chiapas, Méjico. (U. S. C. G. S.)

MALAGA

iP	16h	15m	42s	(dilatación)

292.—SISMO DE 20 DE JULIO DE 1960

38° 4 N., 22° 2 E. (B. C. I. S.)
Grecia.

Sentido en Amphisa con grado V 1/2.

TOLEDO

ePn	09h	23m	33s	

293.—SISMO DE 20 DE JULIO DE 1960

H = 09h 30m 38s
Mag: 6,6 (Quetta)

49° N., 157° 5 E. (U. S. C. G. S.
Región de las islas Kuriles. y B. C. I. S.)

MALAGA

eP	09h	43m	43s	
ePP		47	17	(condensación)
ePS		56	19	
eSKS		54	28	
L	10	23	00	
M		31	30	
F		48	—	D = 10.250 kms. = 92° 2

TOLEDO

iP	09	43	39	(dilatación)
eS		54	36	
L	10	19	50	
M		30	—	D = 10.220 kms. = 92°

CARTUJA

SS	10	01	03	
L		19	00	
M		26	15	
F		48	—	D = 10.200 kms. = 92°

294.—SISMO DE 20 DE JULIO DE 1960

H = 20h 59m 25s
Mag: 6,25 (Matsushiro)

20° 5 S., 169° E. h = 200 kms.
Nuevas Hébridas. (U. S. C. G. S.)

MALAGA

iP′	21h	19m	10s	
iP′2		20	02	
ePKS		22	38	
iPP		23	40	
L	22	25	30	
M		36	30	
F	23	15	—	D = 18.100 kms. = 162° 8

TOLEDO

eP′1	21	19	07	
i(P′2)		19	35	
ePP		23	26	
e		28	23	
L	22	18	50	
M		35	50	
F	23	30	—	D = 17.750 kms. = 159° 8

CARTUJA

eP′	21	20	04	(dilatación)
iPP		24	30	
eSKS		28	02	
L	22	21	36	
M		33	02	
F	23	12	—	D = 18.000 kms. = 162°

EBRO

e	21	24	14	
L	22	37	00	

295.—SISMO DE 22 DE JULIO DE 1960

H = 06h 35m 06s

54° N., 37° 5 W. (aproximadamente) (B. C. I. S.)
Atlántico Norte.

MALAGA

eP	06h	41m	06s	
L		48	30	
iM		56	20	
F	07	10	—	

CARTUJA

L	06	46	06	
M		49	31	
F	07	12	—	

296*.—SISMO DE 23 DE JULIO DE 1960

Próximo a Granada (España). (Cartuja)

Sentido en Granada con grado III 1/2.

ALMERIA

ePg	22h	55m	41s	
i		55	43	
i		55	51	
iSg		55	56,5	D = 130 kms. = 1° 17

MALAGA

ePg	22	55	36	
iSg		55	42	
iS*		55	44	D = 50 kms. = 0° 45

CARTUJA

iSg	22	55	22	
i		55	28	
F		56	48	

297.—SISMO DE 24 DE JULIO DE 1960

H = 09h 48m 56s
Mag: 6,25 (Pasadena)
56° N., 164° E. (U. S. C. G. S.)
Próximo a la costa de Kamtchatka.

ALICANTE

P	10h	01m	34s	
(S)		12	03	
L		29	40	
Mo		38	25	
F		55	—	D = 9.450 kms. = 85° 1

MALAGA

eP	10	01	40	
ePP		05	04	
eS		12	20	
L		35	00	
M		46	30	
F	12	08	—	D = 9.620 kms. = 86° 5

TOLEDO

eP	10	01	22	
ePP		04	39	
e		11	54	
L		28	55	
M		38	00	
F	11	20	—	D = 9.380 kms. = 84° 4

CARTUJA

eP	10	02	39	(dilatación)
SKS		12	21	
L		34	42	
M		40	27	
F	11	48	—	D = 9.600 kms. = 87°

EBRO

L	10	31	00	
M		40	12	

298.—SISMO DE 25 DE JULIO DE 1960

H = 03h 41m 05s
Mag: 6,5 (Pasadena)
55° N., 163° E. (U. S. C. G. S.)
Próximo a la costa E. de Kamtchatka.

ALICANTE

P	03h	53m	45s	
S	04	04	26	
L		22	00	
Mo		30	47	
F		55	—	D = 9.500 kms. = 85° 5

ALMERIA

eP	03	53	56	(condensación)
iPP		57	14	
eS	04	04	33	
eL		20	10	D = 9.650 kms. = 87°

MALAGA

iP	03	53	56	(condensación)
iPP		57	23	
ePPP		59	18	
iS	04	04	34	
iPS		05	42	
eSS		10	24	
L		24	16	
F	06	46	—	D = 9.720 kms. = 87° 4

TOLEDO

eiP	03	53	39	
iPP		56	55	
e	04	00	35	
iS		04	07	
i		16	15	
L		28	55	
M		33	25	
F	06	00	—	D = 9.500 kms. = 85° 5

CARTUJA

iP	03	53	58	(condensación)
PP		57	43	
iS	04	04	37	
SS		10	27	
L		27	54	
M		35	24	
F	06	00	—	D = 9.600 kms. = 87°

EBRO

iP	03	53	37	
iS	04	03	55	D = 9.310 kms. = 83° 8

299*.—SISMO DE 25 DE JULIO DE 1960

Sin más datos.

ALICANTE

Pg	07h	43m	37s	
Sg		43	48	
F		45	03	D = (96) kms. = 0° 9

EBRO

iSg	07	44	16	

300.—SISMO DE 25 DE JULIO DE 1960

H = 11h 12m 00s
Mag: 7 (Pasadena)

54° N., 159° E. h = 100 kms.
Kamtchatka. (U. S. C. G. S.)

ALICANTE

iP	11h	24m	38s	
PP		28	05	
PPP		30	01	
iS		34	49	
SS		40	44	
L		53	18	
Mo	12	00	06	
F		41	—	D = 9.600 kms. = 86° 4

ALMERIA

iP	11	24	44	(dilatación)
ipP		25	21	
ePP		28	17	
i		32	35	
eSKS		34	59	
iS		35	20	
iPS		35	58	
i		39	13	
L		54	—	D = 9.700 kms. = 87° 5

MALAGA

iP	11	24	46	(condensación)
ipP		25	18	
iPP		28	16	
ePPP		30	11	
iS		35	24	
isS		36	20	
iPS		36	50	
Lq		48	50	
Lr		55	20	
M		59	40	
F	15	45	—	D = 9.750 kms. = 87° 7

TOLEDO

iP	11	24	33	(compresión)
ipP		25	12	
iPP		27	55	
iPPP		29	55	
iS		34	46	
isS		35	48	
iSS		40	19	
isSS		41	33	
iSSS		43	53	D = 9.530 kms. = 85° 8

CARTUJA

iP	11	24	47	(compresión)
pP		25	42	
PP		28	06	
iS		35	00	
sS		35	24	
PPS		36	24	
SS		40	57	
L		52	42	
M	12	00	24	
F	15	18	—	D = 9.400 kms. = 85°

EBRO

iP	11h	24m	25s	
iS		34	33	D = 8.990 kms.

301.—SISMO DE 25 DE JULIO DE 1960

H = 21h 11m 36s
Mag: 5 (Moscú)

32° N., 56° 5 E. (U. S. C. G. S.)
Irán.

CARTUJA

LM	21h	29m	37s	
F	en el siguiente			

302.—SISMO DE 25 DE JULIO DE 1960

H = 21h 36m 46s

3° S, 148° E. (U. S. C. G. S.)
Mar de Bismarck.

CARTUJA

L	21h	42m	30s	
M		50	12	
F	22	36	—	

303.—SISMO DE 26 DE JULIO DE 1960

H = 03h 55m 54s
Mag: 5 (Matsushiro)

40° 5 N., 144° 5 E. (U. S. C. G. S.)
Próximo a la costa E. de Hokkaido (Japón).

CARTUJA

LM	04h	52m	42s	
F	05	12	—	

304.—SISMO DE 26 DE JULIO DE 1960

H = 12h 36m 19s
Mag: 4,8 (Estambul)

40° 5 N., 37° E. (B. C. I. S.)
Turquía.

Sentido en Tokat.

ALMERIA

eP	12h	42m	34s	
ePP		43	34	D = 3.400 kms. = 30° 5

MALAGA

iP	12	42	49	(condensación)
ePP		43	55	
ePcS		49	23	

TOLEDO

iP	12	42	38	(compresión)
e		49	55	
L		52	35	

CARTUJA

L	12h	50m	24s
M		53	58
F	13	24	—

EBRO

e	12	36	00
M		39	18

305.—SISMO DE 27 DE JULIO DE 1960

H = 10h 05m 07s
Mag: 6,25 - 6,50 (Pasadena)
44° 5 S., 76° W. h = 150 kms.
Próximo a la costa sur de Chile. (U. S. C. G. S.)

ALICANTE

P	10h	19m	12s	
(S)		31	11	
L		55	56	
Mo	11	04	48	
F		20	—	D = 11.900 kms. = 107° 1

ALMERIA

eP	10	19	04	
iPP		23	23	D = 11.650 kms. = 105°

MALAGA

epP	10	19	23	
iP′		23	10	
iPP		23	28	
ePPP		26	06	
esS		32	20	
eSS		36	52	
L		56	15	
M	11	01	30	
F		45	—	D = 11.530 kms. = 103° 7

TOLEDO

eP′	10	23	22	
e		23	33	
iSKS		29	53	
eSKKS		30	45	
e		32	53	
eSS		39	53	
Lq		52	50	
M	11	05	00	
F	12	40	—	

CARTUJA

P′	10	23	25	(dilatación)
SKS		29	32	
SS		38	39	
iL		57	00	
M	11	09	44	
F	13	00	—	D = 11.000 kms. = 99°

EBRO

L	10	54	00
M	11	11	20

306.—SISMO DE 28 DE JULIO DE 1960

Sin más datos.

TOLEDO

eP	15h	49m	53s
i	16	07	19

Trazas

307.—SISMO DE 29 DE JULIO DE 1960

H = 00h 24m 06s
Mag: 6,5 - 6,75 (Pasadena)
19° 5 S., 170° 5 E. (U. S. C. G. S.)
Islas de la Lealtad.

ALICANTE

P'_1	00h	44m	06s	
PP		48	28	
(SKS)		51	10	
F	02	05	—	D = 17.750 kms. = 159° 7

ALMERIA

eP'_1	00	44	11	(condensación)
ePP		48	40	
e		56	42	
e	01	35	37	
L		40	20	D = 18.000 kms. = 162°

MALAGA

iP′	00	44	12	(dilatación)
iP'_2		45	02	
iPP		48	46	
iSKS		51	14	
eSKKS		55	46	
Lr	01	43	40	
LqW_2		48	30	
M		52	45	
LrW_2		59	00	
M_2	02	09	15	
F		56	—	D = 18.000 kms. = 162°

TOLEDO

eP'_1	00	44	14
iP'_2		44	53
ePP		48	32
eSKS		50	52
e		52	52
e		56	24
L	01	38	50
M		58	00
F	02	40	—

D = 17.590 kms. = 158° 3

CARTUJA

iP'_1	00	44	21

dilatación D = 18.000 kms.

EBRO

P'_2	00	44	54
L		44	00

308.—SISMO DE 29 DE JULIO DE 1960

H = 14h 33m 40s
Mag: 5,25 (Moscú)
32° N., 67° 5 E. (U. S. C. G. S.)
Afganistán oriental.

Sentido en Quetta.

MALAGA

L	15h	03m	40s	
iM		10	50	
F		45	—	

TOLEDO

eP	14	43	30	
L	15	05	10	

CARTUJA

L	15	00	30	
M		10	15	
F		48	—	

309.—SISMO DE 29 DE JULIO DE 1960

H = 17h 31m 45s
Mag: 6,75 (Pasadena)
40° N., 142° 5 E. h = 100 kms.
Hondo (Japón). (U. S. C. G. S.)

Sentido en Hachinohe, Morioka y Aomori con grado VI.

ALICANTE

P	17h	44m	53s	
PP		48	46	
S		55	59	
SS	18	02	27	
L		16	45	
Mo		24	09	
F		55	—	D = 10.500 kms. = 94° 5

ALMERIA

iP	17	45	05	(condensación)
iPP		49	04	
(eS)		56	08	
eSS	18	03	26	
L		18	—	D = 10.800 kms. = 97° 2

MALAGA

eP	17	45	07	
iPP		49	07	
iPPP		51	18	
iS		56	13	
Lq	18	09	00	
Lr		17	45	
M_1		25	40	
M_2		35	25	
F	cambio banda			D = 10.750 kms. = 96° 7

TOLEDO

eP	17	44	57	
ePP		48	47	
iS	17h	55m	55s	
iSS	18	02	55	
Lq		14	50	
Lr		21	10	
M		33	—	D = 10.240 kms. = 92° 1

CARTUJA

iP	17	45	10	(condensación)
iPP		39	06	
PPP		51	46	
SKS		55	34	
SKKS		56	10	
S		56	54	
PS		58	22	
SS	18	03	04	
SSS		06	22	
iL		18	06	
M		28	04	
F	20	18	—	D = 10.800 kms. = 97° 2

EBRO

iP	17	44	49	
		55	18	D = 9.231 kms. = 83° 1

310.—SISMO DE 30 DE JULIO DE 1960

Sin más datos.

EBRO

iSg	15h	43m	59s	

311.—SISMO DE 31 DE JULIO DE 1960

H = 02h 55m 51s
Mag: 6,75 (Pasadena)
6° S., 150° E. h = 100 kms.
Nueva Bretaña. (U. S. C. G. S.)

Sentido en Grado IV 1/2 en Palmalmal y IV en Rabaul.

ALICANTE

P′	03h	15m	11s	
(SKS)		22	20	
L	04	00	55	
Mo		11	14	
F		40	—	D = 15.250 kms. = 137° 2

ALMERIA

iP'_1	03	15	12	
i		16	41	
ePP		18	10	
ePKS		18	41	
$iPKS_1$		19	00	
eSS		37	07	
L		01	30	D = 15.550 kms. = 140°

MALAGA

iP′	03	15	15	(condensación)
iPP		18	25	
iPPP		21	33	
iSKS		22	23	
iPKKP		24	27	

ePS	03h	31m	05s	
Lq		54	50	
M_1	04	15	20	
M_2		23	40	
F	06	46	—	D = 15.650 kms. = 140° 7

TOLEDO

eP'	03	15	12	
ePP		18	11	
ePKS		18	57	
e		21	29	
i(PS)		28	01	
i(PPS)		30	43	
i		31	45	
eSS		37	01	
e(SSS)		42	51	
M	04	18	50	
F	05	30	—	D = 15.550 kms. = 140°

CARTUJA

P'	03	15	11	(dilatación)
PP		18	26	
PPP		21	38	
SKS		23	00	
SKKS		25	20	
SKSP		28	23	
SS		37	53	
SSS		42	23	
L	04	04	48	
M		12	44	
F	06	00	—	D = 15.700 kms. = 142°

EBRO

iP'	03	05	31	
i		18	45	

312.—SISMO DE 31 DE JULIO DE 1960

H = 07h 04m 36s
Mag: 6,5 (Pasadena)

6° S., 150° E. h = 100 kms.
Nueva Bretaña. (U. S. C. G. S.)

Réplica del anterior.

MALAGA

eP'	07h	24m	07s	
L	08	21	40	
M		30	15	
F	09	11	—	

TOLEDO

L	08	00	—	

Trazas

313.—SISMO DE 31 DE JULIO DE 1960

H = 14h 54m 59s
Mag: 6 (Matsushiro)

43° S., 75° W. (U. S. C. G. S.)
Próximo costa meridional de Chile.

MALAGA

iPP	15h	13m	18s	(dilatación)
ePS		22	13	
L	15h	45m	50s	
M		52	15	
F	16	21	—	

TOLEDO

L	15	43	50
M		54	20

EBRO

L	15	54	00
M	16	01	44

314.—SISMO DE 31 DE JULIO DE 1960

H = 22h 26m 49s
Mag: 5 (Moscú)

28° N., 55° E. (U. S. C. G. S.)
Irán meridional.

CARTUJA

LM	22h	56m	42s
F	23	12	—

315.—SISMO DE 1 DE AGOSTO DE 1960

H = 02h 20m 50s
Mag: 6,7 (Matsushiro)

28° N., 54° 3 E. h = 67 kms.
Irán meridional. (U. S. C. G. S.)

ALMERIA

iP	02h	29m	26s	
	Condensación			D = 5.400 kms. = 48° 5

MALAGA

iP	02	29	35	(dilatación)
ePP		31	44	
L		47	00	
M		54	50	
F	03	32	—	D = 5.530 kms. = 49° 8

TOLEDO

eP	02h	29m	32s
epP		29	59
eS		36	41
L		46	50
M		50	50
F	03	20	—

CARTUJA

iP_2	02	29	46	(dilatación)
PcP		30	48	
L		45	36	
M		50	46	
F	03	30	—	D = 5.300 kms. = 48°

EBRO

i	02	29	10	
i		35	52	D = 5.090 kms. = 45° 8

316.—SISMO DE 1 DE AGOSTO DE 1960

Sin más datos.

EBRO

L	12^h	35^m	00^s	
M		38	42	

317.—SISMO DE 2 DE AGOSTO DE 1960

H = 05^h 07^m 24^s
Mag: 6,5 (Pasadena)
22° 2 S., 171° 4 E. h = 104 kms.
Región de las islas Lealtad. (U. S. C. G. S.)

ALICANTE

P'_1	05^h	27^m	08^s	
PKS		31	59	
SKS		34	52	
F	06	40	—	D = 18.100 kms. = 162° 9

ALMERIA

iP'_1	05	27	17	(dilatación)
eP'_2		27	58	
ePP		31	59	
ePPP		35	48	D = 18.350 kms. = 165°

MALAGA

iP'_1	05	27	14	(dilatación)
iP'_2		28	14	
iPP		32	00	
iSKS		34	34	
iPPP		35	52	
iSKSP		42	16	
iPPS		45	36	
Lr	06	25	20	
M		34	50	
F	07	21	—	D = 18.350 kms. = 165°

TOLEDO

eP'_1	05	27	10	
iP'_2		28	00	
iPP		31	53	

CARTUJA

P'_1	05	27	12	(condensación)
P'_2		28	12	
iPP		31	54	
PPP		35	30	
SS		53	12	
M	06	38	18	
F	07	36	—	D = 18.100 kms. = 162° 9

EBRO

(PP)	05	31	47	D = 18.000 kms. = 162°

318.—SISMO DE 2 DE AGOSTO DE 1960

H = 09^h 30^m 36^s 5
Mag: 5,75 (Matsushiro)
28° 5 S., 177° W. h = 124 kms.
Islas Kermadec. (U. S. C. G. S.)

MALAGA

iP'	09^h	50^m	28^s	(condensación)
iP'_2		51	40	
ePP		55	34	
cPPP		59	42	
eSKKS	10	02	06	
LrW_2	11	01	00	
M		15	00	
F		57	—	D = 18.820 kms. = 169° 2

TOLEDO

eP'_1	09	50	27	
iP'_2		51	31	
ePP		56	28	
L	10	54	50	
M	11	46	—	

EBRO

P'(?)	09	50	04	

319.—SISMO DE 2 DE AGOSTO DE 1960

H = 10^h 38^m 06^s
28° 2 S., 176° 6 W. h = 61 kms.
Región de las Islas Kermadec. (U. S. C. G. S.)

CARTUJA

L	11^h	00^m	54^s	
M		07	44	
F		30	—	

320.—SISMO DE 4 DE AGOSTO DE 1960

Sin más datos.

CARTUJA

LM	06^h	46^m	25^s	
F		54	—	

321.—SISMO DE 4 DE AGOSTO DE 1960

H = 07^h 34^m 48^s,5
Mag: 6 - 6,25 (Pasadena)
51° 2 N., 179° E. h = 20 kms.
Islas Ratas (Aleutianas). (U. S. C. G. S.)

ALICANTE

P	07^h	47^m	42^s	
PPP		53	20	
(S)		58	24	
SS	08	04	34	
L		17	54	
Mo		24	54	
F		53	—	D = 10.000 kms. = 90°

ALMERIA

(eP)	07	47	57	
(eS)		58	49	
eLQ	08	12	20	D = 10.150 kms. = 91° 5

MALAGA

iP	07h	47m	57s	(dilatación)
iPP		51	39	
iPPP		53	21	
eSKS		58	45	
eS		59	03	
ePS	08	00	19	
Lq		12	40	
Lv		20	00	
M_1		31	50	
M_2		39	30	
F	10	41	—	D = 10.330 kms. = 93° 0

TOLEDO

eP	07	47	45	
ePP		51	14	
ePPP		53	18	
iS		58	32	
iSS	08	04	28	
iSSS		08	24	
L		20	55	
M		32	55	
F	10	20	—	D = 9.990 kms. =89° 9

CARTUJA

iP	07	48	00	(condensación)
pP		48	30	
PP		51	27	
S		59	03	
M	08	30	27	
F	10	30	—	D = 10.100 kms. = 91°

EBRO

P	07	47	30	
S		58	14	D = 9.820 kms. = 88° 4

322*.—SISMO DE 4 DE AGOSTO DE 1960

Muy cercano a Tortosa. Debilísimo.

EBRO

e	12h	33m	13s

323*.—SISMO DE 5 DE AGOSTO DE 1960

H = 05h 21m 12s

43° N., 0° 3 W. (B. C. I. S.)
Pirineos franceses.

Sentido en Pau, Oloron y Argeles (Francia).

ALICANTE

e	05h	23m	36s	
F		25	42	D = 520 kms. = 4° 7

TOLEDO

ePg	05	22	21	
	Trazas			D = 450 kms. = 4° 1

EBRO

Pg	05	21	59	D = 280 kms. = 2° 5

324.—SISMO DE 5 DE AGOSTO DE 1960

H = 05h 53m 36s

36° 3 N., 1° 4 E. (Argel)
Argelia.

Sentido con grado VI 1/2 en Flatters.

ALICANTE

Pn	05h	54m	26s	
Sn		54	53	
F	06	03	—	D = 295 kms. = 2° 6

ALMERIA

iPn	05	54	30,5	(dilatación)
iPg		54	40	
i		54	49,5	
iSn		55	05	
L		55	11	D = 307 kms. = 2° 76

MALAGA

ePn	05	54	51	
iP*		54	59	
iSn		55	41	
i		55	49	
M		57	11	
F	06	14	—	D = 530 kms. = 4° 8

TOLEDO

ePn	05	55	05	
eSn		56	17	
eS*		56	33	
eSg		56	49	
L		57	06	
F	06	10	—	D = 460 kms. = 4° 1

CARTUJA

Pn	05	54	52	(condensación)
iSg		55	42	
M		56	39	
F	06	04	—	D = 350 kms. = 3° 4

EBRO

eP	05	54	59	
S		55	47	D = 525 kms. = 4° 7

325.—SISMO DE 5 DE AGOSTO DE 1960

Sin más datos.

CARTUJA

L	06h	33m	24s
M		41	30
F		48	—

326.—SISMO DE 5 DE AGOSTO DE 1960

Sin más datos.

CARTUJA

L	07h	04m	28s
M		12	06
F	en el siguiente		

327.—SISMO DE 5 DE AGOSTO DE 1960

Sin más datos.

CARTUJA

L	07h	44m	18s
M		54	18
F	08	12	—

328.—SISMO DE 5 DE AGOSTO DE 1960

H = 22h 27m 39s,7
Mag: 5,75 (Matsushiro)
51° 2 N., 178° 7 E. h = 46 kms.
Islas Ratas (Aleutianas) (U. S. C. G. S.)

MALAGA

L	23h	18m	00s
M		22	00
F	24	03	—

TOLEDO

eP	22	40	28
eS		51	21
L	23	19	55
M		34	55

EBRO

L	22	55	00
M	23	25	04

329.—SISMO DE 6 DE AGOSTO DE 1960

Sin más datos.

EBRO

L	11h	37m	00s
M		39	03

330.—SISMO DE 6 DE AGOSTO DE 1960

H = 14h 49m 52s,8
Mag: 5,66 (Santa Lucía)
42° 6 S., 75° 7 W. h = 78 kms.
Próximo a la costa de Chile. (U. S. C. G. S.)

TOLEDO

L	15h	39m	55s
M		49	00

Trazas

331*.—SISMO DE 6 DE AGOSTO DE 1960

España. Carlet (Valencia).

Grado II.

ALICANTE

Pg	15h	51m	10s	
Sg		51	23	
F		53	02	D = 110 kms. = 1°

TOLEDO

ePg	15h	51m	49s	
e		52	26	

Trazas

332.—SISMO DE 8 DE AGOSTO DE 1960

H = 07h 11m 29s
39° 75 N., 29° 5 W. (B. C. I. S.)
Islas Azores.

MALAGA

iP	07h	16m	08s	
ePP		16	32	D = 2.250 kms. = 20° 3

TOLEDO

eP	07	16	04
L		20	50

CARTUJA

iP	07	16	16	(condensación)
		27	47	

333.—SISMO DE 8 DE AGOSTO DE 1960

H = 12h 28m 08s
Mag: 5,5 - 5,75 (Matsushiro)
12° 1 N., 44° 6 E. h = 15 kms.
Golfo de Aden. (U. S. C. G. S.)

MALAGA

L	12h	56m	30s	
M		59	30	
F	13	16	—	

TOLEDO

eP	12h	37m	12s	
ePP		39	09	
eS		44	27	
L		55	20	D = 5.690 kms. = 51° 2

CARTUJA

L	12	55	00
M		58	42
F	13	12	—

334.—SISMO DE 8 DE AGOSTO DE 1960

H = 15h 34m 26s,4
Mag: 5,1 (Roma)
2° 1 S., 12° 6 W. h = 37 kms.
N. Isla de la Ascensión. (U. S. C. G. S.)

TOLEDO

eP	15h	42m	21s	
ePP		44	08	
eS		48	45	
L		55	50	
M		56	50	D = 4.700 kms. = 42° 3

CARTUJA

PP	16h	43m	43s	(dilatación)
L		50	00	
M		55	27	
F	17	06	—	D = 4.300 kms. = 39°

335.—SISMO DE 8 DE AGOSTO DE 1960

H = 20h 36m 19s
Mag: 4,25 (Moscú)
35° 6 N., 27° 7 E. (U. S. C. G. S).
Islas de Dodecaneso.

Sentido con grado V en Karpathos (según Atenas).

ALMERIA

iP	20h	41m	31s	(dilatación)
ipP		41	43	D = 2.655 kms. = 23° 9

CARTUJA

eP	20	41	43	(dilatación)
LM		52	57	
F	22	00	—	D = 2.755 kms. = 24° 8

336.—SISMO DE 9 DE AGOSTO DE 1960

Sin más datos.

EBRO

L	02h	01m	00s
M		03	14

337.—SISMO DE 9 DE AGOSTO DE 1960

Sin más datos.

EBRO

L	02h	48m	00s
M		59	40

338.—SISMO DE 9 DE AGOSTO DE 1960

Sin más datos.

CARTUJA

eP	05h	12m	33s	(dilatación)

338 bis.—SISMO DE 9 DE AGOSTO DE 1960

H = 06h 10m 04s 6
21° 5 S., 71° 7 W. h = 31 kms.
Próximo a la costa de Chile (U. S. C. G. S.)
septentrional.

MALAGA

iP	06h	22m	43s	(condensación)
L		48	00	
F	impreciso			

339.—SISMO DE 9 DE AGOSTO DE 1960

H = 06h 21m 52s
Mag: 5,5 (Matsushiro)
56° N., 164° 3 E. h = 32 kms.
Al E. de las costas de Kamtchatka. (U. S. C. G. S.)

CARTUJA

L	07h	12m	18s	
M		18	47	
F		36	—	

340.—SISMO DE 9 DE AGOSTO DE 1960

H = 07h 39m 19s
Mag: 6 (Berkeley)
40° 4 N., 126° 8 W. h = 17 kms.
Próximo a la costa de California (U. S. C. G. S.)
septentrional.

ALICANTE

P	07h	52m	14s	
PP		55	42	
S	08	03	00	
SS		08	45	
L		21	22	
Mo		30	14	
F	09	05	—	D = 9.750 kms. = 87° 8

ALMERIA

(eP)	07	52	14	
eS	08	02	56	
e		03	58	
L		21	30	D = 9.700 kms. = 87° 5

MALAGA

eP	07	52	13	
iPP		55	33	
iPPP		57	27	
eS	08	02	49	
iPS		03	49	
L		20	20	
M		26	45	
F	impreciso			D = 9.590 kms. = 86° 2

TOLEDO

eiP	07	51	58	
ePP		55	12	
i		59	05	
iS	08	02	30	
iPS		03	29	
i		05	10	
eSS		08	00	
eSSS		11	21	
Lq		20	18	
M		27	10	
F	09	30	—	D = 9.610 kms. = 86° 5

CARTUJA

iP	07	52	47	(dilatación)
S	08	02	59	
SS		09	59	

L	08h	25m	24s	
M		28	05	
F	10	12	—	D = 9.800 kms. = 88°

EBRO

P	07	52	20	
S	08	02	42	D = 9.600 kms. = 86° 4

341.—SISMO DE 9 DE AGOSTO DE 1960

Sin más datos.

EBRO

L	10h	02m	00s
M		13	19

342.—SISMO DE 9 DE AGOSTO DE 1960

H = 16h 46m 33s,5
Mag: 6 - 6,25 (Pasadena)
24° 6 S., 177° 3 W. h = 121 kms.
Región de las islas Tonga. (U. S. C. G. S.)

ALICANTE

P'_1	17h	06m	14s	
P'_2		07	18	
PP		11	08	
(SKS)		12	52	
PPP		15	04	
F	18	20	—	D = 18.450 kms. = 166° 1

ALMERIA

iP'_1	17	06	30	(dilatación)
ipP'_1		07	30	
ePP		11	25	D = 18.450 kms. = 166°

MALAGA

iP'	17	06	27	(dilatación)
iP'_2		07	25	
iPP		11	11	
iSKS		13	27	
iPPS		24	49	
L_1W_2	18	08	30	
M_1		14	20	
LrW_2		16	30	
M_2		29	30	
F	19	12	—	D = 18.750 kms. = 168° 6

TOLEDO

eP'_1	17	06	27	
eP'_2		07	13	
ePP		10	58	
e		29	03	
iSS		31	18	
e		35	53	
Lq	18	03	50	
F	19	20	—	D = 18.035 kms. = 162° 3

CARTUJA

iP'_2	17	07	28	(condensación)
PP		11	10	
eSKKS	17h	18m	40s	
SKSP		22	25	
SS		31	58	
SSS		37	53	
L	18	07	42	
M		21	23	
F	19	36	—	D = 18.400 kms. = 163°

EBRO

e	17	08	16
PP		11	18

343.—SISMO DE 9 DE AGOSTO DE 1960

Sin más datos.

EBRO

L	21h	13m	00s
M		21	01

344.—SISMO DE 9 DE AGOSTO DE 1960

Sin más datos.

EBRO

L	21h	59m	00s
M	22	11	08

345.—SISMO DE 9 DE AGOSTO DE 1960

Sin más datos.

EBRO

L	23h	06m	00s
M		22	23

346.—SISMO DE 9 DE AGOSTO DE 1960

H = 23h 36m 50s,3
Mag: 5,5 - 5,75 (Matsushiro)
11° 6 S., 166° 1 E. h = 35 kms.
Región de las islas Santa Cruz. (U. S. C. G. S.)

MALAGA

i	23h	56m	59s
L	01	07	33

TOLEDO

eP'_1	23	56	39
eP'_2		57	01

CARTUJA

L	01	03	30
M		12	22
F		54	—

EBRO

L	00	53	00
M		10	17

347.—SISMO DE 10 DE AGOSTO DE 1960

Sin más datos.

EBRO

L	04^h	10^m	00^s
M		18	25

348.—SISMO DE 10 DE AGOSTO DE 1960

Sin más datos.

EBRO

L	05^h	17^m	00^s
M		19	21

349*.—SISMO DE 10 DE AGOSTO DE 1960

Probable explosión. (Toledo)

TOLEDO

iPg	16^h	29^m	35^s	
iSg		29	43	
M		30	08	
F		31	—	D = 66 kms. = 0° 6

350.—SISMO DE 11 DE AGOSTO DE 1960

H = 04^h 50^m 33^s
Mag: 6,3 (Quetta)
9° N., 126° 3 E. h = 66 kms.
Próximo a la costa de Mindanao (Filipinas).

CARTUJA

LM	06^h	01^m	18^s
F		06	—

351.—SISMO DE 12 DE AGOSTO DE 1960

H = 13^h 12^m 34^s
Mag: 5,25 (Moscú)
36° 3 N., 141° 3 E. h = 61 kms.
Próximo a la costa E. de Hondo. (U. S. C. G. S.)

Sentido en Mito, Choshi, Fukushima con grado V.

ALICANTE

L	13^h	59^m	10^s	
Mo	14	06	40	
F		20	—	D = (10.850) kms. = 97° 7

CARTUJA

L	14	02	24
M		13	34
F		43	—

352.—SISMO DE 12 DE AGOSTO DE 1960

Sin más datos.

MALAGA

i	22^h	33^m	23^s

353.—SISMO DE 13 DE AGOSTO DE 1960

H = 07^h 11^m 5^s,9
Mag: 6 (Pasadena)
40° 4 N., 142° 4 E. h = 54 kms.
Próximo a la costa E. de Hondo. (U. S. C. G. S.)

Sentido en Hachinohe, Morioka y Aomori con grado V.

MALAGA

eP	07^h	24^m	33^s	
iPP		28	29	
L	08	02	20	
M		13	45	
F		27	—	D = 10.750 kms. = 96° 7

TOLEDO

iP	07	24	22	(compresión)
ipP		24	36	
iPP		28	11	
eS		35	03	
e		36	07	
e		51	13	
L		56	50	D = 10.530 kms. = 94° 8

CARTUJA

iPP	07	28	32	(dilatación)
L	08	03	50	
M		13	50	
F		48	—	D = 10.700 kms. = 96°

354.—SISMO DE 13 DE AGOSTO DE 1960

H = 14^h 14^m 56^s,6
Mag: 6,75 - 7 (Pasadena)
40° 4 S., 74° 9 W. h = 56 kms.
Próximo a la costa de Chile. (U. S. C. G. S.)

ALICANTE

P	14^h	28^m	50^s	
PP		33	08	
PPP		35	22	
S		40	30	
SSS		47	51	
SSS		51	46	
L	15	04	22	
Mo		12	16	
F	16	30	—	D = 11.500 kms. = 103° 5

ALMERIA

eP	14	28	45	
ePP		32	51	
e!SKS		39	24	
L		59	20	D = 11.350 kms. = 102°

MALAGA

iP	14h	28m	39s	(condensación)
iPP		32	45	
iPPP		34	59	
iS		40	21	
iPS		41	39	
iSS		47	09	
L	15	04	40	
M		09	45	
F	17	47	—	D = 11.180 kms. = 100° 5

TOLEDO

eP	14	28	49	
e(PP)		32	23	
iPP		33	09	
PPP		35	12	
e		37	03	
i(SKS)		39	31	
eS		40	15	
ePS		42	05	
eSS		48	03	
Lr	15	00	50	
M		13	20	
F	17	20	—	D = 11.400 kms. = 102° 6

CARTUJA

iP	14	28	50	(dilatación)
pP		29	02	
PP		33	02	
pPP		33	32	
SKS		39	26	
S		40	26	
PS		41	50	
PPS		44	02	
SS		47	20	
SSS		51	20	
L	15	06	30	
M		13	58	
F	18	00	—	D = 11.200 kms. = 101°

EBRO

e(P)	14	29	25	
iS		39	47	D = (9.297) kms. = 82° 7

355.—SISMO DE 13 DE AGOSTO DE 1960

H = 22h 28m 24s,6

15° 8 N., 40° 2 E. h = 42 kms.
Próximo a la costa de Eritrea. (U. S. C. G.S.)

MALAGA

L	22h	52m	30s
M		56	10
F	23	10	—

TOLEDO

L	22	53	50	
		Trazas		D = 5.000 kms. = 45°

CARTUJA

L	22	54	48
M		57	10
F	23	12	—

356.—SISMO DE 14 DE AGOSTO DE 1960

H = 04h 00m 56s

45° 9 N., 151° E. h = 67 kms.
Islas Kuriles. (U. S. C. G. S.)

CARTUJA

LM	04h	56m	47s
F	05	12	—

357.—SISMO DE 14 DE AGOSTO DE 1960

H = 12h 52m 48s

37° 5 N., 22° E. (aprox.) (B. C. I. S.)
Peloponeso (Grecia).

Sentido en Arcadia (Grado IV en Nestani).

TOLEDO

e(Pn)	12h	57m	27s	
		Trazas		

358.—SISMO DE 14 DE AGOSTO DE 1960

Sin más datos.

CARTUJA

LM	21h	15m	41s
F'		30	—

359.—SISMO DE 14 DE AGOSTO DE 1960

H = 21h 23m 43s

52° 8 N., 167° 1 W. h = 31 kms.
Islas de los Zorros (Aleutianas). (U. S. C. G. S.)

CARTUJA

iP	21h	37m	47s	(dilatación)
i		43	35	
F		48	—	D = 10.000 kms. = 90°

360.—SISMO DE 14 DE AGOSTO DE 1960

H = 21h 35m 18s

36° 6 N., 2° 9 E. (Argel)
Alrededores de Argel.

Sentido con grado VI 1/2 en Boufarik.

ALICANTE

Pn	21h	36m	14s	
eSn		36	43	
F		45	—	D = 360 kms. = 3° 2

ALMERIA

ePn	21	36	27,5	
ePg		36	48	
eSn		37	21,5	
(eSg)		37	44,5	
(L)		38	00	D = 470 kms. = 4° 2

MALAGA

eP	21h	37m	15s	
ePg		37	39	
eS		38	20	
M		39	40	
F		45	—	D = 650 kms. = 5° 8

TOLEDO

ePn	21	36	52	
eSg		38	12	
L		38	42	
F		42	—	D = 725 kms. = 6° 5

EBRO

ePg	21	36	41	
eSg		37	19	D = 540 kms. = 4° 9

361.—SISMO DE 14 DE AGOSTO DE 1960

H = 22h 37m 11s,4
Mag: 5 (Moscú)
36° N., 69° 4 E — h = 50 kms.
Hindu-Kush. — (U. S. C. G. S.)

CARTUJA

L	23h	15m	00s

362.—SISMO DE 14 DE AGOSTO DE 1960

H = 22h 46m 08s,3
23° 7 S., 66° 6 W. — h = 226 kms.
Próximo a Jujuy (Argentina). — (U. S. C. G. S.)

ALICANTE

(P)	22h	58m	20s	
S	23	08	55	
F		30	—	D = 9.700 kms. = 87° 3

ALMERIA

iP	22	58	21	(dilatación)
(eS)	23	08	15	D = 9.450 kms. = 85°

TOLEDO

eiP	22	58	25	
ipP		59	15	
eS	23	08	34	D = 9.590 kms. = 86° 3

CARTUJA

P	22	58	50	
		Dilatación		D = 9.400 kms. = 85°

363.—SISMO DE 15 DE AGOSTO DE 1960

H = 06h 58m 56s,4
Mag: 5,75 (Matsushiro)
13° 5 S., 65° 8 E. — h = 15 kms.
Océano Indico. — (U. S. C. G. S.)

ALICANTE

L	07h	37m	20s	
Mo		43	30	
F		55	—	D = 8.900 kms. = 80° 1

ALMERIA

eP	07	11	19	(dilatación)
i		12	01	
L		41	20	D = 9.100 kms. = 82°

MALAGA

iP	07	11	24	(condensación)
iPP		14	38	
ePPP		16	36	
es		21	48	
i		22	58	
L		39	15	
M		46	45	
F	08	10	—	D = 9.150 kms. = 82° 4

TOLEDO

eP	07	11	34	
eS		21	56	
Lq		33	50	

CARTUJA

P	07	11	34	(dilatación)
eS		22	34	
L		41	18	
M		49	10	
F	08	36	—	D = 9.100 kms. = 82°

EBRO

e(P)	07	11	21	
eS		21	29	D = (9.000) kms. = 81°

364.—SISMO DE 15 DE AGOSTO DE 1960

Sin más datos.

EBRO

L	14h	05m	00s
M		06	20

365.—SISMO DE 15 DE AGOSTO DE 1960

H = 14h 33m 38s,4
Mag: 5,5 - 5,75 (Matsushiro)
13° 4 S., 66° 7 E. — h = 25 kms.
Océano Indico. — (U. S. C. G. S.)

ALICANTE

L	15h	12m	26s	
Mo		18	44	
F		35	—	D = 9.000 kms. = 81°

MALAGA

eP	14	46	06
ePP		49	22
L	15	15	15

M	15h	22m	00s	
F		36	—	D = 9.300 kms. = 83° 6

TOLEDO

eP	14	46	09
L	15	14	50

CARTUJA

L	15	15	36
M		22	33
F		48	—

EBRO

e	14	56	10
L	15	17	00

366.—SISMO DE 16 DE AGOSTO DE 1960

H = 02h 47m 17s,7

16° 6 S., 71° 4 W. h = 110 kms.

Perú meridional. (U. S. C. G. S.)

ALMERIA

iP	02h	59m	35s	(dilatación)
(epP)	03	00	12	D = 9.350 kms. = 84°

MALAGA

iP	02	59	29	
	Dilatación			D = 9.240 kms. = 83° 4

TOLEDO

iP	02	59	37	(compresión)
ipP	03	00	15	

367.—SISMO DE 17 DE AGOSTO DE 1960

H = 09h 33m 47s

19° 9 S., 11° 8 W. h = 64 kms.

Atlántico Sur. (U. S. C. G. S.)

MALAGA

eP	09h	43m	23s
eS	09	51	15
L	10	04	30
M		09	20
F		20	—

EBRO

e	09	46	15
L	10	06	—

368.—SISMO DE 17 DE AGOSTO DE 1960

H = 11h 24m 04s,7

Mag: 5,3 (Roma)

19° 5 S, 11° 5 W. h = 22 kms.

Atlántico Sur. (U. S. C. G. S.)

ALICANTE

P	11h	34m	07s	
PP		36	18	
(S)		42	10	
SS		46	04	
L		52	25	
Mo		59	21	
F	12	20	—	D = 6.500 kms. = 58° 5

MALAGA

iP	11	33	53	
iPeP		34	49	
ePP		35	59	
ePPP		37	23	
eS		41	51	
L		55	25	
M		59	50	
F	12	08	—	D = 6.320 kms. = 56° 8

CARTUJA

iP	11	33	59	(dilatación)
SS		45	48	
L		52	18	
M		56	18	
F	12	42	—	D = 6.300 kms. = 57°

EBRO

e	11	34	33
eL	12	01	—

369.—SISMO DE 17 DE AGOSTO DE 1960

Sin más datos.

CARTUJA

L	13h	22m	06s
M		30	30
F		42	—

370.—SISMO DE 19 DE AGOSTO DE 1960

H = 12h 41m 48s

27° 1 N., 190° 2 E. h = 431 kms.

Región de las islas Bonin. (U. S. C. G. S.)

CARTUJA

iP	12	53	57	D = 11.980 kms. = 107° 8

371.—SISMO DE 19 DE AGOSTO DE 1960

Sin más datos.

EBRO

eL	23h	42m	00s
M		53	09

372.—SISMO DE 20 DE AGOSTO DE 1960

Sin más datos.

EBRO

eL	13h	53m	00s
M	14	04	05

373.—SISMO DE 20 DE AGOSTO DE 1960

Sin más datos.

EBRO

eL	17h	45m	00s
M		49	10

374.—SISMO DE 20 DE AGOSTO DE 1960

H = 20h 08m 41s,2
Mag: 6 (Pasadena)
35° 7 S., 15° 4 W. h = 45 kms.
Región de la isla Tristan de Cunha (U. S. C. G .S)

ALICANTE

P	20h	20m	22s	
PP		23	11	
(S)		29	57	
L		44	31	
F	21	05	—	D = 8.300 kms. = 74° 7

ALMERIA

P	20	20	15	(dilatación)
i		21	36	
eLQ		38	10	
eLR		43	00	
(W_2)	21	53	50	D = 8.200 kms. = 74°

MALAGA

eP	20	20	14	
ePP		23	03	
ePPP		24	38	
L		44	—	D = 8.090 kms. = 73° 7

TOLEDO

eP	20	20	21	
eS		30	15	
e(PS)		31	37	
eSS		35	03	
Lq		40	50	
F	22	20	50	D = 8.755 kms. = 78° 8

CARTUJA

eP	20	20	23	(dilatación)
ePPP		26	41	
eS		30	35	
L		38	00	
M		43	35	
F	en el siguiente			D = 8.730 kms. = 78° 6

EBRO

eP	20h	20m	47s	
S		30	48	D = 8.730 kms. = 78° 6

375.—SISMO DE 20 DE AGOSTO DE 1960

H = 21h 19m 52s,7
35° 3 S., 15° 7 W. h = 36 kms.
Región de la isla Tristan de Cunha. (U. S. C. G. S.)

ALICANTE

L	21h	56m	00s
F	22	08	—

MALAGA

L	21	54	50
M	22	00	30
F		14	—

TOLEDO

e	21	31	35
L		55	50
	Trazas		

CARTUJA

L	21	50	24
M		55	00
F		54	—

EBRO

L	21	55	00
M	22	01	59

376.—SISMO DE 23 DE AGOSTO DE 1960

H = 08h 58m 11s,2
29° 1 N., 59° 8 E. h = 64 kms.
Irán. (U. S. C. G. S.)

ALMERIA

eP	09h	07m	14s	
	(condensación)			D = 5.800 kms. = 52°

MALAGA

iP	09	07	24	
	(condensación)			D = 5.900 kms. = 53° 1

TOLEDO

eP	09	07	21
	Trazas		

CARTUJA

P	09	07	30	(condensación)
L		33	00	
M		38	52	
F		48	—	D = 6.000 kms. = 54°

377.—SISMO DE 23 DE AGOSTO DE 1960

H = 14h 08m 15s,5
Mag: 5,5 (Roma)

0° 9 N., 25° 9 W. h = 24 kms.
Cresta media. (U. S. C. G. S.)
del Atlántico. y B. C. I. S.)

ALICANTE

(P)	14h	16m	26s	
S		22	29	
L		29	47	
Mo		35	01	
F		50	—	D = 4.900 kms. = 44° 1

ALMERIA

eP	14	16	07	
ePP		17	46	
(ePPP)		18	24	
L		30	10	D = 4.700 kms. = 42° 5

MALAGA

eP	14	16	07	
iPP		17	39	
iS		22	17	
Lq		25	10	
Lr		28	40	
M		30	30	
F		59	—	D = 4.520 kms. = 40° 7

TOLEDO

eP	14	16	23	
eS		22	50	
eSS		26	17	
L		29	—	D = 4.830 kms. = 43° 5

CARTUJA

iP	14	16	24	(dilatación)
PP		17	53	
eS		22	43	
L		30	00	
M		34	01	
F	15	06	—	D = 4.500 kms. = 40°

EBRO

L	14	31	00	
M		33	59	

378.—SISMO DE 23 DE AGOSTO DE 1960

H = 22h 44m51s,5
Mag: 6 (Pasadena)

14° 6 S., 176° 4 W. h = 56 kms.
Región de las islas Fidji. (U. S. C. G. S.)

MALAGA

eP'1	23h	04m	52s	
iP'2		05	21	
L	00	02	15	
M		11	10	
F	01	07	—	D = 17.380 kms. = 156° 3

TOLEDO

eP'1	23h	04m	45s	
L	00	00	00	
F	01	00	—	

CARTUJA

P'	23	05	26	(condensación)
PP		09	31	
L	00	06	00	(día 24)
M		12	55	
F	01	12	—	D = 17.700 kms. = 159° 3

EBRO

(P')	00	06	23	
L		07	09	

379.—SISMO DE 24 DE AGOSTO DE 1960

H = 01h 44m 12s,5
Mag: 6,25 (Moscú)

56° 2 N., 164° 1 E. h = 45 kms.
Próximo a la costa E. de (U. S. C. G. S.)
Kamtchatka.

ALMERIA

eP	01h	57m	07s	(dilatación)
(eL)	02	33	30	D = 9.550 kms. = 86°

MALAGA

iP	01	56	57	(condensación)
L	02	30	15	
M		36	50	
F	03	15	—	

TOLEDO

eP	01	56	44	
eS	02	07	20	
L		27	50	
M		40	20	
F	03	10	—	

CARTUJA

iP	01	57	08	(condensación)
L	02	29	18	
M		38	13	
F	03	18	—	D = 9.500 kms. = 86°

EBRO

L	02	30	00	
M		36	52	

380.—SISMO DE 24 DE AGOSTO DE 1960

H = 05h 49m 01s,1

19° 1 S., 174° 1 W. h = 42 kms.
Islas Tonga. (U. S. C. G. S.)

MALAGA

iP'2	06h	09m	47s	(condensación)
L	07	14	10	
M		21	30	
F		55	—	

TOLEDO

eP	06h	09m	38s	
	Trazas			

CARTUJA

iP'2	06	09	55	(dilatación)
PP		13	52	
SKS		16	32	
L	07	12	42	
M		25	35	
F	08	00	—	D = 17.800 kms. = 160° 2

EBRO

L	07	09	03
M		21	03

381.—SISMO DE 25 DE AGOSTO DE 1960

H = 17h 41m 56s,8
Mag: 5,5 (Moscú)

52° 5 N., 169° 2 W. h = 22 kms.
Islas de los Zorros (U. S. C. G. S.)
(Aleutianas)

MALAGA

iP	17h	54m	56s	(dilatación)
ePP		58	32	
L	18	27	30	
M		35	15	
F	19	28	—	

TOLEDO

EP	17	54	43	
iS	18	05	24	
L		19	50	
M		38	50	D = 9.800 kms. = 88° 2

CARTUJA

iP	17	54	57	(condensación)
S	18	06	02	
SS		12	02	
L		32	06	
M		60	32	
F	19	24	—	D = 10.000 kms. = 90°

EBRO

P	17	55	00
L	18	31	00

382.—SISMO DE 25 DE AGOSTO DE 1960

H = 23h 02m 18s

38° 3 S., 74° 1 W. h = 20 kms.
Próximo a la costa de Chile. (U. S. C. G. S.)

MALAGA

ePP	23h	19m	50s
L		59	15
M	00	06	00
F		12	—

TOLEDO

L	23h	54m	50s
M	00	00	00

CARTUJA

L	00	04	06
M		09	45
F		18	—

EBRO

L	23	53	00
M	00	05	54

383.—SISMO DE 26 DE AGOSTO DE 1960

H = 00h 14m 05s,8

38° S., 74° 3 W. h = 25 kms.
Próximo a la costa de Chile. (U. S. C. G. S.)

MALAGA

eP	00h	31m	42s
L	01	10	20
M		17	50
F		28	—

TOLEDO

L	01	07	50
M		10	50

CARTUJA

L	01	03	24
M		10	57
F		36	—

EBRO

eL	01	11	00
M		17	44

384.—SISMO DE 26 DE AGOSTO DE 1960

Sin más datos.

EBRO

L	12h	55m	00s
M		37	23

385.—SISMO DE 26 DE AGOSTO DE 1960

Sin más datos.

EBRO

L	15h	31m	00s
M		37	23

386.—SISMO DE 26 DE AGOSTO DE 1960

H = 18h27m 19s,6
Mag: 5,5 (Roma)
13° 5 S., 165° 7 E. h = 53 kms.
Región de las Nuevas Hébridas. (U. S. C. G. S.)

MALAGA

eP′	18h	47m	11s	
ePP		51	07	
F	20	35	—	

TOLEDO

eP′1	18	47	04	
i		47	18	
iP′2		47	20	
i		47	31	
i		48	04	
ePP		51	49	D = 16.930 kms. = 152° 4

CARTUJA

P′	18	47	53	(condensación)
pp		52	29	

387.—SISMO DE 27 DE AGOSTO DE 1960

H = 10h 17m 16s,4
34° 4 N., 26° 2 E. h = 33 kms.
Región de la (U. S. C. G. S
isla de Creta y B. C. I. S.)

ALICANTE

P	10h	22m	20s	
PP		22	48	
S		26	23	
SS		27	04	
L		28	35	
F		45	—	D = 2.400 kms. = 21° 6

MALAGA

iP	10	22	39	(condensación)
ePP		23	17	
eS		27	03	
L		29	50	
M		33	15	
F		56	—	D = 2.745 kms. = 24° 7

TOLEDO

eP	10	22	47	
e(PP)		22	58	
iS		27	02	
i		27	11	
iSS		27	30	D = 2.720 kms. = 24° 5

CARTUJA

iP	10	22	35	(dilatación)
pP		22	53	
eS		27	29	
L		34	36	
M		37	05	
F		54	—	D = 2.670 kms. = 24°

EBRO

P	10h	22m	05s	
iS		26	06	D = 2.355 kms. = 21° 2

388.—SISMO DE 27 DE AGOSTO DE 1960

H = 18h 16m 15s,1
Mag: 6,25 (Pasadena)
50° 1 N., 154° E. h = 190 kms.
Islas Kuriles (U. S. C. G. S. y B. C. I. S.)

MALAGA

iP	18h	28m	59s	(condensación)

TOLEDO

iP	18	28	46	
	compresión			D = 9.650 kms. = 86° 9

389.—SISMO DE 28 DE AGOSTO DE 1960

H = 06h 05m 17s,4
4° 2 N., 82° 5 W. h = 33 kms.
Sur de Panamá. (U. S. C. G. S.)

MALAGA

eP	06h	17m	27s	

TOLEDO

eP	06	17	17	

CARTUJA

P	06	17	39	(dilatación)
S		27	25	
M		55	18	
F	07	00	—	D = 8.880 kms. = 79° 2

390.—SISMO DE 29 DE AGOSTO DE 1960

H = 18h 00m 40s,5
35° 3 N., 26° 8 E. h = 71 kms.
Creta. (U. S. C. G. S.)

MALAGA

eP	18h	05m	55s	
eS		10	17	D = 2.770 kms. = 24° 9

TOLEDO

eP	18	05	50	
	Trazas			D = 2.730 kms. = 24° 6

CARTUJA

P	18	06	21	(dilatación)
eS		10	42	
M		15	54	
F		18	—	D = 2.685 kms. = 24° 2

391*.—SISMO DE 30 DE AGOSTO DE 1960

H = 09h 28m 16s

37° 45',1 N., 1° 30',5 W. (Alicante)
Murcia (España).

Sentido con grado III 1/2 en Totana, Aledo y Alhama.

ALICANTE

Pg	09h	28m	37s	
Sg		28	52	
F		30	19	D = 115 kms. = 1°

ALMERIA

Pg	09	28	36,4	
eSg		28	53	D = 140 kms. = 1° 26

392*.—SISMO DE 1 DE SEPTIEMBRE DE 1960

Sin más datos.

TOLEDO

ePg	07h	49m	40s	

393.—SISMO DE 1 DE SEPTIEMBRE DE 1960

H = 07h 35m 21s,9

27° 6 S., 176° 9 W. h = 500 kms.
Región de las islas Tonga. (U. S. C. G. S.)

MALAGA

eP'1	07h	54m	41s	
iP'2		55	53	
iPP		59	41	
ePPP	08	03	39	
eSKKS		06	21	
L	09	02	30	
M		18	00	
F	en el siguiente			D = 18.700 kms. = 168° 3

TOLEDO

eP'1	07	54	37	
(L)	09	11	45	

CARTUJA

eP'	07	55	53	(compresión)
PP		59	42	
M	09	11	18	
F	en el siguiente			D = 18.800 kms. = 170°

394.—SISMO DE 1 DE SEPTIEMBRE DE 1960

H = 09h 28m 19s
Mag: 6 (Pasadena)

16° 8 S., 167° E. h = 63 kms.
Nuevas Hébridas. (U. S. C. G. S.)

ALICANTE

P'1	09h	48m	15s	
PP		52	23	
(SKS)	09h	55m	20s	
PPS	10	05	32	
F	11	10	—	D = 17.350 kms. = 156° 1

MALAGA

iP'	09	48	13	
eP'2		48	55	
iPP		53	10	
iSKS		55	01	
L	11	01	20	
M		12	00	
F	en el siguiente			D = 17.770 kms. = 159° 5

TOLEDO

eP	09	48	08	
i		48	40	
e(PP)		51	56	
L	10	12	45	

CARTUJA

P'	09	48	49	(condensación)
PP		52	36	
SS	10	12	36	
L		50	18	
M	11	03	42	
F	siguiente			D = 17.600 kms. = 159°

EBRO

e	09	51	03	

395.—SISMO DE 1 DE SEPTIEMBRE DE 1960

H = 10h 35m 01s,1
Mag: 6 (Pasadena)

16° 5 S., 167° 6 E. h = 27 kms.
Nuevas Hébridas. (U. S. C. G. S.)

MALAGA

iP'	10h	54m	59s	(dilatación)
eP'2		55	35	
ePP		59	21	
L	12	07	20	
M		18	30	
F	13	22	—	D = 17.630 kms. = 158° 5

TOLEDO

eP'1	10	55	06	
eP'2		55	22	
ePP		58	59	
L	11	09	45	D = 17.220 kms. = 155°

CARTUJA

P'	10	55	18	(dilatación)
L	11	53	36	
M	12	00	24	
F	13	06	—	D = 17.550 kms. = 158°

396.—SISMO DE 1 DE SEPTIEMBRE DE 1960

H = 15h 37m 14s,4
Mag: 6 - 6,25 (Pasadena)
56° 1 N., 153° 7 W. h = 24 kms.
Isla Kodiak, Alaska. (U. S. C. G. S.)

ALICANTE

P	15h	49m	43s	
PP		52	56	
PPP		54	50	
S	16	00	03	
PS		00	54	
SS		05	30	
SSS		08	56	
L		17	07	
Mo		25	49	
F		51	—	D = 9.250 kms. = 83° 2

ALMERIA

eP	15	49	45	
eS	16	00	12	D = 9.350 kms. = 84°

MALAGA

iP	15	49	45	(dilatación)
iPP		52	59	
iPPP		54	51	
eS	16	00	01	
iScS		00	15	
iPS		01	04	
L		21	30	
M		30	00	
F	18	20	—	D = 9.220 kms. = 82° 9

TOLEDO

iP	15	49	29	(compresión)
ePP		52	44	
e		53	48	
iS		59	40	
e	16	01	04	
iSS		04	58	
eSSS		08	29	
Lr		14	25	
M		25	15	D = 9.135 kms. = 82° 2

CARTUJA

iP	15	49	43	(compresión)
PP		52	56	
S	16	00	12	
L		16	00	
M		22	46	
F	17	12	—	D = 9.200 kms. = 83°

EBRO

eP	15	49	33	
eS		59	39	D = (8.942 kms.) = 80° 6

397.—SISMO DE 1 DE SEPTIEMBRE DE 1960

H = 18h 41m 16s,2
15° 8 S., 179° 2 E. h = 33 kms.
Islas Fidji. (U. S. C. G. S.)

MALAGA

L	20h	04m	40s
M		10	00
F		10	—

398.—SISMO DE 1 DE SEPTIEMBRE DE 1960

H = 20h 02m 12s,8
16° 1 S., 179° W. h = 183 kms.
Islas Fidji. (U. S. C. G. S.)

MALAGA

iP′	20h	22m	01s	(dilatación)
eP′2		22	37	
L	21	21	30	
M		30	00	
F	22	08	—	D = 17.670 kms. = 158° 9

TOLEDO

eP′1	20	21	50	
L	21	19	45	
M		26	45	

CARTUJA

L	21	30	18
M		39	06
F	22	30	—

EBRO

i	20	28	51

399.—SISMO DE 2 DE SEPTIEMBRE DE 1960

H = 10h 52m 18s,2
15° 2 S., 167° 4 E. h = 163 kms.
Nuevas Hébridas. (U. S. C. G. S.)

Sentido en Santo.

TOLEDO

eP	11h	11m	56s
i(pP)		12	21
	Trazas		

400.—SISMO DE 2 DE SEPTIEMBRE DE 1960

H = 13h 46m 10s
28° 7 N., 98° 3 E. h = 48 kms.
Tibet. (U. S. C. G.S.)

MALAGA

eP	13h	58m	25s
L	14	32	20
F	15	43	—

TOLEDO

eP	13	58	20
iS	14	08	32

e(SS)	14h	14m	10s	
Lq		25	45	
M		36	45	D = 9.110 kms. = 82°

EBRO

eS	14	07	35	
L		29	00	

401.—SISMO DE 2 DE SEPTIEMBRE DE 1960

H = 22h 02m 48s,9
Mag: 5,75 (Moscú)
52° N., 171° 4 W. h = 49 kms.
Islas de los Zorros (Aleutianas). (U. S. C. G. S.)

ALICANTE

L	22h	45m	30s	
F	23	15	—	D = (9.950) kms. = (89° 5)

ALMERIA

L	22	46	20	D = 10.000 kms. = 90°

MALAGA

iP	22	15	51	(condensación)
ePP		19	29	
eS		26	43	
L		46	50	
M		56	10	
F		impreciso		D = 10.030 kms. = 90° 2

TOLEDO

eiP	22	15	35	
i(S)		26	03	
iS		26	15	
e		26	43	
iPPS		27	34	
e(SS)		31	40	
eSSS		34	50	
L		39	45	
M		55	15	D = 9.810 kms. = 88° 3

CARTUJA

iP	22	15	42	(condensación)
eS		26	41	
L		50	42	
M		59	39	
F	00	00	—	D = 10.000 kms. = 90°

EBRO

eP	22	16	18	
eS		26	08	D = (8.597) kms. = (77° 45)

402.—SISMO DE 3 DE SEPTIEMBRE DE 1960

H = 00h 19m 57s,3
43° 2 N., 144° 4 E. h = 14 kms.
Próximo a la costa N. de Hokkaido (Japón). (U. S. C. G. S).

Sentido en Kushiro con grado V.

ALMERIA

L	00h	32m	30s	D = 10.500 kms. = 94° 5

403.—SISMO DE 3 DE SEPTIEMBRE DE 1960

H = 05h 41m 39s,9
20° 9 S., 174° 4 W. h = 61 kms.
Islas Tonga. (U. S. C. G. S.)

MALAGA

ePP	06h	06m	35s
L	07	09	50
F		58	—

CARTUJA

L	07	08	00
M		14	39
F		36	—

404.—SISMO DE 3 DE SEPTIEMBRE DE 1960

H = 12h 41m 34s,9
Mag: 6,5 - 6,75 (Pasadena)
6° 1 S., 154° 5 E. h = 457 kms.
Islas Salomón. (U. S. C. G. S.)

ALICANTE

P′	13h	00m	11s	
PP		03	19	
(SKS)		06	33	
F	14	03	—	D = 15.600 kms. = 140° 4

ALMERIA

eP′1	13	00	16	
ePP		03	18	D = 15.670 kms. = 141° 0

MALAGA

iPKP	13	00	19	(condensación)
iPP		03	37	
i		05	59	D = 15.980 kms. = 143° 7

TOLEDO

iP′	13	00	11	(condensación)
eP		01	57	
iPP		03	14	
i(SKS)		07	01	D = 15.590 kms. = 140° 3

CARTUJA

iP′	13	00	20	(dilatación)
i		00	43	
PP		03	46	
PPP		06	58	
eSKS		08	04	
L		54	06	
M	14	05	34	
F	16	00	—	D = 16.000 kms. = 144°

EBRO

iP	13	00	31	
L		22	00	

405.—SISMO DE 3 DE SEPTIEMBRE DE 1960

H = 23h 46m 23s,9
Mag: 6,25 (Pasadena)
44° 6 N., 149° 1 E. h = 27 kms.
Islas Kuriles. (U. S. C. G. S.)

Sentido en Kushiro con grado III.

ALICANTE

L	00h	30m	22s	(del día 4)
Mo		37	28	
F		59	—	D = 10.250 kms. = 92° 2

MALAGA

iP	23	59	49	(condensación)
ePP		03	39	
L		38	30	
M		48	45	
F		impreciso		

TOLEDO

eP	23	59	35	
e(PP)		03	19	
e(SKS)		10	01	
iS		10	28	
i		11	01	
i		11	52	
L		34	40	
M		45	40	D = 10.135 kms. = 91° 2

CARTUJA

iP	23	59	50	(dilatación)
e	00	11	27	
L		47	30	
M		54	27	
F	02	00	—	D = 10.400 kms. = 94°

EBRO

eP	23	59	19	
iS	00	10	21	D = 10.275 kms.

406.—SISMO DE 4 DE SEPTIEMBRE DE 1960

H = 05h 21m 22s,1
56° 3 N., 153° 1 W. h = 48 kms.
Sur de la isla Kodiak (Alaska). (U. S. C. G. S.)

TOLEDO

eP	05h	33m	32s	
	Trazas			

CARTUJA

iP	05	33	58	
	compresión			D = 9.500 kms. = 86°

407*.—SISMO DE 5 DE SEPTIEMBRE DE 1960

H = 07h 45m 32s
36° 8 N., 5° 6 W. h = 25 kms.

Sentido en Coripe (Sevilla). España.

ALICANTE

Pn	07h	46m	48s	
Sn		47	42	
F		49	22	D = (490) kms. = (4° 4)

ALMERIA

(ePn)	07	46	21	
eSn		46	55	
iSg		47	03	D = (275) kms. = 2° 50

MALAGA

iPg	07	45	51	(dilatación)
iPn		45	53	
iSg		46	03	
F		49	—	D = 102 kms. = 0° 9

TOLEDO

eiPn	07	46	24	
ePg		46	33	
eSn		47	06	
iSg		47	14	
M		47	35	
F		51	40	D = 333 kms. = 3°

CARTUJA

Pg	07	46	05	
P_2		46	10	
P_3		46	19	
P_4		46	25	
Sg		46	28	
S_2		46	34	
S_3		46	40	
P_3		46	43	
S_2		56	52	
S_3		47	02	D = 180 kms. = 1° 6

408*.—SISMO DE 5 DE SEPTIEMBRE DE 1960

H = 10h 40m 52s
España (sin más datos).
¿Réplica del anterior?

MALAGA

iPg	10h	41m	10s	(dilatación)
iSg		41	24	
iSn		41	27	
F		42	—	D = 112 kms. = 1°

TOLEDO

ePn	10	41	51	
	Trazas			

409*.—SISMO DE 6 DE SEPTIEMBRE DE 1960

H = 11h 54m 36s
Réplica del núm. 307. h = 25 kms.

Sentido en Coripe (Sevilla) España.

ALICANTE

Pn	11h	55m	36s	
Sn		56	28	
F		59	12	D = (490) kms. = 4° 4

ALMERIA

(ePn)	11h	55m	29s	
iSn		55	55	
eSg		56	01	D = 222 kms. = 2°

MALAGA

iPg	11	54	47	(dilatación)
iPn		54	49	
iSg		55	01	
F		57	—	D = 112 kms. = 1°

TOLEDO

iPn	11	55	24	(dilatación)
iPg		55	33	
eSn		56	00	
eSg		56	17	
L		56	20	
M		56	27	
F	12	01	—	D = 350 kms. = 3° 2

CARTUJA

Pg	11	55	03	
P_3		55	03	
P_4		55	21	
PS		55	24	
iSg		55	28	
S_4		55	52	
S_5		56	04	
F	12	00	—	D = 190 kms. = 1° 7

EBRO

e	11	56	43	
		47	53	

410.—SISMO DE 6 DE SEPTIEMBRE DE 1960

H = 14h 03m 1s,8
Mag: 6,25 - 6,50 (Pasadena)
20° 4 S., 169° 4 E. h = 35 kms.
Islas de la Lealtad. (U. S. C. G. S.)

TOLEDO

eP'_1	14	22	55	
iP'_2		23	35	
L		39	40	

411.—SISMO DE 6 DE SEPTIEMBRE DE 1960

H = 15h 24m 40s,5
Mag: 5 (Moscú)
41° 9 N., 142° 5 E. h = 109 kms.
Próximo costa S. de (U. S. C. G. S.)
Hokkaido (Japón).

Sentido en Urakawa con grado V.

TOLEDO

iP	15h	37m	48s	(compresión)
epP		38	06	D = 10.380 kms. = 93° 5

412.—SISMO DE 6 DE SEPTIEMBRE DE 1960

Sin más datos.

TOLEDO

e	17h	43m	52s	
M		49	40	
	Trazas			

CARTUJA

iP	17	44	13	(condensación)
M	18	20	22	
F		24	—	

413.—SISMO DE 7 DE SEPTIEMBRE DE 1960

H = 01h 17m 39s,1
37° 2 S., 16° 1 W. h = 25 kms.
Próximo isla Tristán de Acuña. (U. S. C. G. S.)

ALICANTE

P	01h	29m	32s	
PP		32	26	
(S)		39	17	
F	02	10	—	D = (8.500) kms. = 76° 5

ALMERIA

iP	01	29	18	(dilatación)
i		30	14	
e		31	12	
iPP		32	27	
eS		39	06	
(eL)		57	10	D = 8.400 kms. = 75° 5

MALAGA

iP	01	29	13	(dilatación)
ePP		32	09	
iS		38	51	
ePS		39	19	
L		54	10	
M		59	00	
F		impreciso		D = 8.280 kms. = 74° 5

TOLEDO

eiP	01	29	34	
ePP		32	27	
ePPP		34	28	
eS		39	23	
iPS		39	55	
eSSS		48	42	
L		54	40	
M		57	40	D = 9.355 kms. = 84° 2

CARTUJA

iP	01	29	19	(condensación)
PcP		29	44	
iPP		32	03	
iPPP		34	06	
L		55	48	
M	02	02	18	
F		12	—	D = 8.100 kms. = 73°

414.—SISMO DE 7 DE SEPTIEMBRE DE 1960

SE. Sevilla, España.

Sentido en Coripe; réplica de los anteriores. En total, 11 sacudidas, según prensa.

ALMERIA

e	01^h	55^m	22^s
e		55	54

TOLEDO

ePg	01	55	32
	Trazas		

415.—SISMO DE 7 DE SEPTIEMBRE DE 1960

H = 11^h 44^m 56^s,6

44° 3 N., 149° E. h = 89 kms.
Islas Kuriles. (U. S. C. G. S.)

MALAGA

L	12^h	39^m	40^s
M		47	10
F		58	—

416.—SISMO DE 8 DE SEPTIEMBRE DE 1960

H = 10^h 48^m 00^s

40° 5 N., 29° 5 W. (aprox.) (U. S. C. G. S)
Región Islas Azores.

ALICANTE

P	10^h	51^m	46^s	
F	11	30	—	
	Trazas			

ALMERIA

e	10	53	08	

MALAGA

iP	10	52	42	(dilatación)
eS		56	26	
L		58	20	
F	11	05	—	D = 2.220 kms. = 20°

TOLEDO

eP	10	52	37
L		54	40
M		59	40

CARTUJA

iP	10	52	54	(compresión)
i		53	27	
L	11	16	—	

EBRO

M	10	21	07

417*.—SISMO DE 8 DE SEPTIEMBRE DE 1960

Peninsular (sin más datos).

TOLEDO

e(Pg)	11^h	27^m	07^s

418.—SISMO DE 8 DE SEPTIEMBRE DE 1960

H = 11^h 07^m 40^s,8
Mag: 5,25 - 5,5 (Matsushiro)

6° 2 N., 126° E. h = 47 kms.
Próximo costa E. de Mindanao. (U. S. C. G. S.)

MALAGA

L	12^h	10^m	40^s
M		22	50
F		40	—

419.—SISMO DE 8 DE SEPTIEMBRE DE 1960

H = 14^h 32^m 00^s,3
Mag: 5,6 (Moscú)

52° 5 N., 158° 8 E. h = 29 kms.
Kamtchatka. (U. S. C. G. S.)

TOLEDO

eP	14^h	44^m	44^s
	Trazas		

420.—SISMO DE 9 DE SEPTIEMBRE DE 1960

H = 16^h 19^m 15^s,9
Mag: 4 (Kew)

71° 5 N., 2° 4 W. h = 23 kms.
Región de Juan Mayen. (U. S. C. G. S.)

MALAGA

L	16^h	38^m	50^s	
M		46	00	
F	17	05	—	

TOLEDO

eP	16	25	49	
eS		31	01	
eSS		32	11	
L		35	40	
M		43	10	
F		50	—	D = 3.480 kms. = 31° 3

CARTUJA

eP	16	28	36	(compresión)
eS		33	55	
M		38	33	
F		54	—	

421.—SISMO DE 9 DE SEPTIEMBRE DE 1960

H = 20h 04m 32s,7
Mag: 4 (Kew)
71° 7 N., 1° 3 W. h = 23 kms.
Isla de Juan Mayen. (U. S. C. G. S.)

CARTUJA

eP	20h	11m	57s	(dilatación)
M		24	09	
F		36	—	D = 3.700 kms. = 34°

422.—SISMO DE 10 DE SEPTIEMBRE DE 1960

H = 00h 19m 08s,4
34° 4 N., 26° 4 E, h = 10 kms.
Isla de Creta. (U. S. C. G. S.)

ALICANTE

P	00h	24m	05s	
S		28	04	
SS		28	41	
F		40	—	D = 2.420 kms. = 21° 8

ALMERIA

iP	00	24	08	(compresión)
e		24	37	
ePP		24	43	
iPPP		24	54	
i		25	13	
e(S)		28	14	D = 2.595 kms. = 23° 3

MALAGA

iP	00	24	34	(compresión)
ePcP		27	54	
eS		29	00	
LQ		30	50	
F		46	—	D = 2.780 kms. = 25°

TOLEDO

eP	00	24	21	
iS		28	52	
L		35	40	D = 2.740 kms. = 24° 7

CARTUJA

iP	00	24	32	(compresión)
i		24	58	
i		29	06	
M		34	30	
F		48	—	D = 2.685 kms. = 24° 1

EBRO

eP	00	24	11	
iS		28	01	D = 2.370 kms. = 21° 3

423.—SISMO DE 10 DE SEPTIEMBRE DE 1960

Sin más datos.

EBRO

(S)	00h	38m	43s

424.—SISMO DE 10 DE SEPTIEMBRE DE 1960

H = 09h 55m 42s
39° N., 37° W. (aprox.) (B. C. I. S.)
Cresta media del Atlántico.

ALICANTE

e	10h	02m	27s	
e		06	24	
F		25	—	
		Trazas		

MALAGA

iP	10	01	08	(dilatación)
iPP		01	50	
iS		05	32	
L		06	30	
M		08	40	
F		impreciso		D = 2.890 kms. = 26°

TOLEDO

eP	09	59	42	
i	10	01	08	
i		01	15	
L		04	40	
M		07	40	
F		30	—	

CARTUJA

iP	10	01	23	(compresión)
		02	33	

EBRO

P	10	02	06
L		08	00

425.—SISMO DE 10 DE SEPTIEMBRE DE 1960

H = 10h 44m 51s,2
4° 0 N., 122° 6 E. h = 629 kms.
Mar de Célebes. (U. S. C. G. S.)

ALMERIA

eP'1	11h	02m	22s	(dilatación)
iPP		03	37	
PPP		06	17	
isPP		06	39	
ipPPP		07	55	
eSKS		08	32	
(eS)		10	20	
i		13	47	D = 12.700 kms = 114° 5

MALAGA

eP'	11	02	23	
iPP		03	45	
e		12	28	

TOLEDO

eP'1	11	02	28	
iPP		03	37	
i		03	44	
e		13	36	
L		26	40	D = 12.800 kms. = 115° 2

CARTUJA

eP´	11h	04m	00s	(compresión)
L		54	06	
M	12	00	24	
F		18	—	D = 12.800 kms. = 116°

426.—SISMO DE 12 DE SEPTIEMBRE DE 1960

H = 12h 17m 08s,1
Mag: 6,5 - 6,75 (Pasadena)
27° 3 N., 128° 4 E. h = 48 kms.
Islas Riu-Kiu. (U. S. C. G. S.)

MALAGA

ePP	12h	35m	17s	
L	13	14	30	
M		24	10	
F		41	—	

TOLEDO

eP	12	30	51	
ipP		31	04	
L	13	09	40	
M		20	40	D = 11.200 kms. = 100° 8

CARTUJA

L	13	14	00	
M		21	35	
F		30	—	

EBRO

LM	13	18	11	

427*.—SISMO DE 13 DE SEPTIEMBRE DE 1960

H = 18h 10m 21s
E. de España (sin más datos).

Grado II.

ALICANTE

Pg	18h	10m	32s	
e		10	39	
F		12	34	D = 60 kms. = 0° 5

428.—SISMO DE 14 DE SEPTIEMBRE DE 1960

H = 01h 53m 32s,1
19° 6 N., 70° 3 W. h = 103 kms.
República Dominicana. (U. S. C. G. S.)

ALMERIA

iP	02h	03m	40s	
epP		03	57	
e		05	07	
eS		11	47	
L		26	50	D = 6.800 kms. = 61°

MALAGA

ePP	02h	05m	46s	
L		21	50	
M		27	10	
F		37	—	

TOLEDO

eiP	02	03	31	
L		21	40	
M		24	40	

CARTUJA

eP	02	03	47	(condensación)
L		21	06	
M		25	02	
F	02	30	—	D = 6.770 kms. = 60° 9

429.—SISMO DE 14 DE SEPTIEMBRE DE 1960

H = 04h 57m 12s,5
Mag: 5,5 (Palisades)
35° 1 S., 106° W. h = 40 kms.
S. del Océano Pacífico. (U. S. C. G. S.)

CARTUJA

L	06h	24m	00s	
M		07	29	
F		12	—	

430.—SISMO DE 14 DE SEPTIEMBRE DE 1960

H = 23h 18m 35s,1
Mag: 5,25
20° 9 S., 174° 1 W. h = 25 kms.
Islas Tonga. (U. S. C. G. S.)

CARTUJA

iPP	23h	39m	30s	(condensación)

TOLEDO

eiP	23	39	16	(trazas)

431.—SISMO DE 15 DE SEPTIEMBRE DE 1960

Sin más datos.

CARTUJA

iP	01h	39m	31s	(dilatación)
M		53	01	
F	02	00	—	

432.—SISMO DE 17 DE SEPTIEMBRE DE 1960

H = 07h 52m 50s,8
Mag: 5,75 - 6 (Matsushiro)
49° 3 N., 155° 4 E. h = 35 kms.
Islas Kuriles. (U. S. C. G. S.)

Premonitorio del siguiente.

MALAGA

eP	08h	06m	02s	
ePP		09	36	
eS		16	58	

TOLEDO

eP	08	05	46	(trazas)

433.—SISMO DE 17 DE SEPTIEMBRE DE 1960

H = 08h 05m 29s,5
Mag: 6,2 (Pasadena)
49° 6 N., 155° 2 E. h = 28 kms.
Islas Kuriles. (U. S. C. G. S.)

ALICANTE

P	08h	18m	32s	
PPP		24	06	
S		29	24	
L		48	34	
Mo		57	31	
F	09	30	—	D = 10.000 kms. = 90°

ALMERIA

(eP)	08	18	37	
i		19	02	
(eS)		29	31	
L		52	30	D = 10.150 kms. = 91° 5

MALAGA

iP	08	18	38	(dilatación)
ePP		22	14	
iS		29	40	
ePS		30	56	
eSS		35	30	
LQ		44	30	
LR		49	00	
M		55	30	
F		impreciso		D = 10.230 kms. = 92°

TOLEDO

eP	08	18	26	
i(PcP)		18	53	
iS		28	56	
L		39	40	
M	09	03	40	
F		30	—	D = 9.555 kms. = 86°

434.—SISMO DE 17 DE SEPTIEMBRE DE 1960

H = 19h 56m 11s,1
Mag: 6 (Pasadena)
20° 9 S., 174° 5 W. h = 28 kms.
Islas Tonga. (U. S. C. G. S.)

MALAGA

iP′	20h	16m	11s	(dilatación)
iP'_2		16	59	
iPP		20	45	
eSKKS		27	39	
eSKKKS		28	19	
iSKSP		31	05	
iPPS	20h	34m	25s	
LQW2	21	25	20	
M		38	30	
F		impreciso		D = 17.990 kms. = 161° 8

435.—SISMO DE 18 DE SEPTIEMBRE DE 1960

H = 09h 40m 28s,3
6° 8 S., 129° 2 E. h = 83 kms.
Mar de Banda. (U. S. C. G. S.)

ALMERIA

iP'_1	09h	59m	26s	
ipP'_1		59	39	
iPP	10	01	24	
i		02	28	
e		02	36	
e		05	34	D = 14.000 kms. = 126°

436.—SISMO DE 19 DE SEPTIEMBRE DE 1960

H = 03h 39m 37s,6
Mag: 5,75 (Matsushiro)
15° 8 N., 119° 4 E. h = 74 kms.
Islas de Luzón (Filipinas) (U. S. C. G. S.)

MALAGA

ePP	03h	57m	57s	
L	04	40	10	
M		50	30	
F		impreciso		

437.—SISMO DE 19 DE SEPTIEMBRE DE 1960

H = 03h 58m 51s,4
Mag: 5,5 (Palisades)
15° 6 N., 120° E. h = 25 kms.
Próximo costa W. de Luzón. (U. S. C. G. S.)

ALICANTE

L	04h	28m	19s	
Mo		36	07	
F	05	45	—	D = 11.400 kms. = 102° 6

TOLEDO

L	04	21	35
M		38	05

CARTUJA

L	04	36	24
M		40	42
F	05	18	—

438*.—SISMO DE 19 DE SEPTIEMBRE DE 1960

¿Peninsular?
Sin más datos.

TOLEDO

ePg	12h	13m	02s
i		39	35

439.—SISMO DE 19 DE SEPTIEMBRE DE 1960

H = 16h 46m 05s,4
11° 6 S., 166° 1 E. h = 232 kms.
Islas Santa Cruz. (U. S. C. G. S.)

EBRO

L	17h	49m	00s	
M		50	10	

440.—SISMO DE 19 DE SEPTIEMBRE DE 1960

H = 19h 01m 25s,4
Mag: 6 (Pasadena)
6° 9 N., 77° 5 W. h = 66 kms.
Frontera Colombia-Panamá. (U. S. C. G. S.)

ALICANTE

P	19h	13m	05s	
PP		15	59	
PPP		17	47	
S		22	47	
SKS		23	05	
SS		27	39	
L		38	09	
Mo		43	55	
F	20	10	—	D = 8.450 kms. = 76°

ALMERIA

eP	19	12	58	¿condensación?
i		13	00	
i		13	26	
i		14	02	
ePP		15	40	
ePS		22	48	
L		36	20	D = 8.200 kms. = 74°

MALAGA

iP	19	12	50	(dilatación)
iPP		15	24	
iPPP		17	04	
L		35	10	
M		45	00	
F		impreciso		D = 8.100 kms. = 72° 9

TOLEDO

eiP	19	12	54	
i		13	17	
iS		22	21	
i		30	50	
Lq		35	35	
M		37	35	D = 8.200 kms. = 73° 8

CARTUJA

iP	19	12	55	(dilatación)
eS		22	48	
L		40	00	
M		47	30	
F	20	30	—	D = 8.100 kms. = 73°

EBRO

iP	19	13	14	
iS		23	01	D = 8.541 kms. = 77°

441.—SISMO DE 20 DE SEPTIEMBRE DE 1960

Sin más datos.

EBRO

iSg	01h	09m	55s

442.—SISMO DE 22 DE SEPTIEMBRE DE 1960

H = 05h 38m 14s,4
Mag: 5,5 - 5,75 (Palisades)
3° 4 S., 29° 1 E. h = 29 kms.
Congo. (U. S. C. G. S.)

Daños en Usumbura y Uvira. Premonitorio del siguiente.

ALICANTE

P	05h	47m	07s	
PP		49	07	
S		54	17	
SS		57	50	
L	06	02	30	
Mo		08	25	
M		11	00	
F		40	—	D = 5.550 kms. = 49° 9

ALMERIA

eP	05	47	08	
i!		47	10	
ePP		49	08	
i(PPP)		50	28	
eS		54	19	
L	06	01	40	
M		08	01	D = 5.550 kms. = 50°

MALAGA

iP	05	47	15	(condensación)
eS		54	27	
L	06	05	50	
M	10	30	10	
F		impreciso	30	D = 5.660 kms. = 50° 9

TOLEDO

eiP	05	47	30	
ePP		49	30	
iS		55	02	
eSS		59	02	
eSSS	06	00	41	
Lq		03	33	
Lg1		05	15	
M		09	—	D = 6.000 kms. = 54°

CARTUJA

iP	05	47	17	(dilatación)
S		54	18	
SS		58	08	
L	06	02	36	
M		06	56	
F	07	30	—	D = 5.670 kms. = 51°

EBRO

P	05	47	17	
S		54	46	D = 5.900 kms. = 53° 1

443.—SISMO DE 22 DE SEPTIEMBRE DE 1960

H = 09h 05m 36s,8
Mag: 6,25 - 6,5 (Palisades)
3° 3 S., 29° 3 E. h = 28 kms.
Congo. (U. S. C. G. S.)

ALICANTE

iP	09h	14m	32s	
PcP		15	55	
PP		16	30	
PPP		17	24	
iS		21	44	
SS		25	13	
L		29	53	
Mo		35	48	
M		37	55	D = 5.550 kms. = 49° 9

ALMERIA

eP	09	14	30	
i!		14	32	
ePP		16	31	
e		16	49	
i		17	09	
iPPP		17	20	
eS		21	40	
eSS		25	20	
eLQ		26	10	
eLR		29	40	D = 5.500 kms. = 49° 5

MALAGA

iP	09	14	35	(dilatación)
iPP		16	45	
iS		21	59	
iSS		25	47	
LR		34	00	
M		37	20	
F		siguiente		D = 5.650 kms. = 50° 8

TOLEDO

eiP	09	14	53	
iPP		17	03	
i		17	11	
iS		22	23	
iS		22	28	
iSS		26	21	
Li		30	43	
Lq		30	35	
M		35	35	D = 5.935 kms. = 53° 4

CARTUJA

iP	09	14	38	(dilatación)
PP		16	35	
iS		21	56	
¿SS?		25	32	
SSS		27	20	
iL		32	00	
M		34	26	
F		siguiente		D = 5.670 kms. = 51°

EBRO

iP	09	14	43	
iS		22	05	D = 5.770 kms.

444.—SISMO DE 22 DE SEPTIEMBRE DE 1960

H = 09h 14m 58s
Mag: 6,25 (Pasadena)
2° 8 S., 29° 8 E. h = 20 kms.
Congo. Réplica. (U. S. C. G. S.)

ALICANTE

P	09h	23m	55s	
PP		25	51	
S		31	05	
F	10	59	—	D = 5.500 kms. = 49° 5

ALMERIA

iP	09	23	51	(dilatación)
i		24	16	
ePP		25	49	
ePPP		26	40	
eS		30	59	D = 5.550 kms. = 50°

MALAGA

iP	09	23	55	(condensación)
iPP		25	59	
iPPP		26	47	
iS		31	09	
LR		44	00	
M		47	20	D = 5.580 kms. = 50° 2
F		impreciso		

TOLEDO

eiP	09	24	13	
iS		31	49	

CARTUJA

iP	09	23	59	
PP	09	25	56	
iS		31	19	
SS		33	59	
L		40	24	
M		41	32	
F	11	48	—	D = 5.670 kms. = 51°

EBRO

iP	09	24	02	
iS		31	28	D = 5.650 kms. = 50° 9

445.—SISMO DE 22 DE SEPTIEMBRE DE 1960

H = 15h 11m 46s,4
7° 2 N., 77° 2 W. h = 56 kms.
Colombia. (U. S. C. G. S.)

TOLEDO

eP 15h 23m 13s
Trazas

EBRO

eL	15	44	00	
M		47	18	

446.—SISMO DE 22 DE SEPTIEMBRE DE 1960

H = 15h 32m 24s

52° 5 N., 107° E. (Moscú)
Región del lago Baikal.

¿EBRO?

eL	16h	23m	00s
M		34	32

447.—SISMO DE 22 DE SEPTIEMBRE DE 1960

H = 22h 47m 00s,6

51° 7 N., 168° 8 W. h = 33 kms.
Islas de los Zorros (Aleutianas). (U. S. C. G. S.)

TOLEDO

eP	22h	59m	51s

448.—SISMO DE 24 DE SEPTIEMBRE DE 1960

H = 23h 16m 57s,5

31° 2 S., 68° 7 W. h = 104 kms.
Rioja Argentina. (U. S. C. G. S.)

¿TOLEDO?

L	00h	29m	30s
M		31	30
	Trazas		

449.—SISMO DE 26 DE SEPTIEMBRE DE 1960

H = 15h 13m 25s,8
Mag: 5 (Palisades)

51° 8 N., 172° W. h = 44 kms.
Islas de los Zorros (Aleutianas). (U. S. C. G. S.)

MALAGA

L	16h	00m	30s
M		15	40
F	impreciso		

TOLEDO

e(P)	15	26	11
L	16	11	30
M		14	35

450.—SISMO DE 26 DE SEPTIEMBRE DE 1960

H = 16h 58m 13s,9

16° S., 72° 9 W. h = 115 kms.
Sur del Perú. (U. S. C. G. S.)

Sentido en Arequipa.

MALAGA

iP	17h	10m	25s	(condensación)
iS		20	34	D = 9.200 kms. = 82° 7

TOLEDO

iP	17h	10m	37s	(condensación)
ipP		11	06	
iS		20	55	D = 9.400 kms. = 84° 6

451*.—SISMO DE 27 DE SEPTIEMBRE DE 1960

España (sin más datos).

Grado III.

ALICANTE

Pg	17h	26m	04s	
Sg		26	07	
F		28	30	D = (30) kms. = (0° 3)

452.—SISMO DE 28 DE SEPTIEMBRE DE 1960

Sin más datos.

CARTUJA

P	09h	52m	05s	(condensación)

453*.—SISMO DE 28 DE SEPTIEMBRE DE 1960

Este de España (sin más datos).

Grado II.

ALICANTE

Pg	16h	43m	59s	
Sg		44	21	
F		45	46	D = 102 kms. = 0° 9

454.—SISMO DE 29 DE SEPTIEMBRE DE 1960

H = 06h 27m 56s,3

17° 4 S., 68° 5 W. h = 115 kms.
Frontera Perú-Bolivia. (U. S. C .G. S.)

Sentido en Arequipa (Perú).

ALMERIA

iP	06h	40m	15s	(condensación)
epP		40	47	
ePP		43	22	D = 9.150 kms. = 82° 5

MALAGA

iP	06	40	06	(dilatación)
ipP		40	36	
eS		49	53	D = 9.000 kms. = 80° 9

TOLEDO

iP	06	40	18	(condensación)
ipP		40	34	
iS		50	30	D = 9.265 kms. = 83° 4

CARTUJA

iP	06	40	15	(condensación)
PcP		40	46	D = 9.000 kms. = 80°

455.—SISMO DE 29 DE SEPTIEMBRE DE 1960

H = 11h 18m 52s,9
Mag: 6,25 - 6,50 (Pasadena)
19° N., 144° 7 E. h = 469 kms.
Islas Marianas. (U. S. C. G. S.)

ALICANTE

P'	11h	36m	53s	
PP		37	47	
PPP		40	17	
SKS		42	41	
L	12	13	23	
Mo		22	05	
F		35	—	D = 12.700 kms. = 114° 3

ALMERIA

eP'1	11	36	50	(dilatación)
ePP		38	04	
i		39	39	D = 12.950 kms. = 116° 5

MALAGA

iP'	11	36	49	(condensación)
iPP		38	07	

TOLEDO

eP'	11	36	46	
i(PP)		37	50	
i(PPS)		47	40	
i		49	42	
eSSS		59	08	
L	12	14	30	
M		29	30	D = 12.750 kms. = 114° 8

CARTUJA

iP'	11	37	52	(condensación)
pP'		38	05	
PPP		40	40	
ePS		48	01	D = 13.000 kms. = 117°

456.—SISMO DE 30 DE SEPTIEMBRE DE 1960

H = 06h 35m 08s,9
Mag: 5,50 - 5,75 (Pasadena)
49° 4 N., 129° 7 W. h = 55 kms.
(U. S. C. G. S.)

TOLEDO

L	07h	14m	30s
M		28	30
	Trazas		

457.—SISMO DE 1 DE OCTUBRE DE 1960

H = 05h 30m 38s,1
35° 4 N., 26° 2 E. h = 36 kms.
Próximo a la isla de Creta. (U. S. C. G. S.)

iP	05h	35m	44s	(condensación)
i		35	50	
iPP	05h	35m	59s	
iPPP		36	11	
i(S)		39	51	D = 2.500 kms. = 22° 5

MALAGA

eP	05	35	59	
ePP		36	36	D = 2.740 kms. = 24° 4

TOLEDO

eP	05	35	54	
eS		40	27	D = 2.990 kms. = 26° 9

CARTUJA

iP	05	36	19	
	Dilatación			D = 2.700 kms. = 24° 3

458.—SISMO DE 1 DE OCTUBRE DE 1960

H = 16h 10m 56s,9
Mag: 6,5 (Pasadena)
52° 2 N., 172° 6 W. h = 41 kms.
Islas de los Zorros, Aleutianas. (U. S. C. G. S.)

ALMERIA

eP	16h	24m	(01s)	(condensación)
eS		34	35	
L		56	—	D = 10.050 kms. = 90° 5

MALAGA

eP	16	24	03	(condensación)
iPP		27	36	
ePPP		29	32	
iS		34	54	
ePS		36	10	
L		55	10	
M	17	02	15	
F		43	—	D = 10.020 kms. = 90° 1

TOLEDO

eiP	16	23	45	
epP		23	59	
iS		34	14	
eSS		40	21	
Lr		53	25	
M	17	02	25	
F		50	—	D = 9.900 kms. = 89° 1

CARTUJA

iP	16	24	03	(dilatación)
e		28	58	D = 10.000 kms. = 90°

EBRO

L	16	57	00
M	17	06	51

459*.—SISMO DE 1 DE OCTUBRE DE 1960

Sin más datos.

Grado I-II.

ALICANTE

Pg	17h	10m	36s	
Sg		10	43	
F		11	30	D = 60 kms. = 0° 5

460.—SISMO DE 2 DE OCTUBRE DE 1960

H = 11h 53m 44s,1

38° 7 S., 91° 5 W. — h = 84 kms.
SE. de la isla de Pascua — (U. S. C. G. S.)
(Océano Pacífico).

TOLEDO

L	12h	47m	25s	
M		54	25	

CARTUJA

L	12	58	36	
F	13	12	—	

461*.—SISMO DE 2 DE OCTUBRE DE 1960

H = 20h 25m 12s

Sur de España. — (B. C. I. S.)

ALMERIA

iPg	20	25	36,7	(dilatación)
i		25	42,7	
iSg		25	48,2	D = 98 kms. = 0° 88

MALAGA

iPg	20	25	27	(dilatación)
iPn		25	30	
iSg		25	36	
F		27	—	D = 80 kms. = 0° 72

TOLEDO

ePg	20	26	17	
i		26	51	(trazas)

CARTUJA

iPg	20	25	20	
iSg		25	23	
PP		25	27	
F		26	—	D = 20 kms. = 0° 18

462.—SISMO DE 3 DE OCTUBRE DE 1960

H = 00h 49m 11s,8
Mag: 5 (Moscú)

29° 8 N., 68° 2 E. — h = 36 kms.
Pakistán occidental. — (U. S. C. G. S.)

ALMERIA

eP	00h	59m	12s	(dilatación)
e(PcP)		00	10	
ePP		01	22	
iSS		10	59	D = 6.450 kms. = 58°

MALAGA

eP	00h	59m	17s	

TOLEDO

eP	00	59	10	
e(S)	01	07	12	(trazas)

463.—SISMO DE 6 DE OCTUBRE DE 1960

H = 19h 55m 42s,2
Mag: 5,8 (Praga)

58° 2 N., 31° 6 W. — h = 63 kms.
Atlántico. — (U. S. C. G. S.)

ALICANTE

P	20h	01m	39s	
PP		02	30	
S		06	28	
SSS		08	07	
L		09	47	
Mo		13	11	
F		45	—	D = 3.150 kms. = 28° 3

ALMERIA

eP	20	01	19	
i		01	42	
S		05	26	
(eS)		06	04	
eL		09	10	D = 3.150 kms. = 28° 5

MALAGA

iP	20	01	35	(dilatación)
i		02	53	
iPP		03	09	
i		08	04	
L		08	50	
M		11	30	
F		19	—	D = 3.100 kms. = 27° 4

TOLEDO

eiP	20	01	10	
i		01	18	
i		04	00	
iPcP		04	48	
i(S)		05	53	
Lq		07	05	
M		08	25	D = 2.820 kms. = 25° 4

CARTUJA

iP	20	01	21	(condensación)
PP		01	43	
i		05	01	
iS		06	31	
L		08	36	
M		09	49	
F		24	—	D = 3.100 kms. = 28°

EBRO

eP	20	01	38	
S		06	11	D = 2.900 kms. = 26° 1

464.—SISMO DE 7 DE OCTUBRE DE 1960

H = 03h 15m 34s,9
Mag: 4,6 (Kew)

58° 1 N., 31° 9 W. h = 71 kms.
Atlántico Norte. (U. S. C. G. S.)

ALICANTE

L	03h	23m	43s	
Mo		27	07	
F		55	—	D = 3.150 kms. = 28° 3

TOLEDO

eiP	03	21	04	
i		23	19	
L		27	25	
M		29	—	

CARTUJA

L	03	31	00	
M		34	07	
F		42	—	

465*.—SISMO DE 7 DE OCTUBRE DE 1960

SE. de España. (Sin más datos.)

ALMERIA

iPg	07	48	30,8	(condensación)
iP*		48	34,4	
iSg		48	36,0	
i(Sn)		48	37,7	D = 44 kms. = 0° 4

466.—SISMO DE 7 DE OCTUBRE DE 1960

H = 15h 18m 30s,8
Mag: 6,5 - 6,75 (Berkeley)

7° 4 S., 130° 7 E. h = 45 kms.
Mar de Banda. (U. S. C. G. S.)

ALICANTE

PKP	15h	37m	36s	
PP		39	35	
PKS		41	11	
PPP		42	18	
SKS		44	40	
SKKS		46	28	
PPS		51	07	
SS		56	38	
eL	16	18	39	
Mo		28	08	
F	17	42	—	

ALMERIA

eP'1	15	37	37	(dilatación)
i		37	41	
ipP'1		37	56	
iPP		39	41	
i		39	54	
i!		40	53	
iPKS		41	05	
ePPP		42	45	
iSKS	15h	44m	42s	
iSKKS		46	34	
i!		47	13	
ePS		49	55	
eSS		56	48	D = 14.350 kms. = 129°

MALAGA

iP'	15	37	39	(dilatación)
iPP		39	53	
iPKS		40	59	
iPPP		42	29	
iSKS		44	38	
ePS		50	11	
L	16	26	00	
M		35	30	
F		impreciso		D = 14.450 kms. = 130° 1

TOLEDO

eiP'	15	37	39	
ipP'		37	56	
iPP		39	47	
iPKS		41	09	
i		41	30	
i		42	26	
eSKS		44	30	
eSKKS		46	31	
iPS		49	58	
iSS		56	46	
Lq	16	17	05	
M		29	25	D = 14.220 kms. = 128°

CARTUJA

P'	15	37	43	
PP		39	43	
pPP		40	13	
SKP		41	31	
PPP		43	07	
S		48	06	
PS		49	37	
PPS		51	34	
SS		56	49	
SSS	16	02	01	
L		29	06	
M		37	55	
F	17	48	—	D = 14.300 kms. = 129°

EBRO

eP'	15	37	34	
iPP		39	29	D = (10.400) kms. = 120° 6

467.—SISMO DE 8 DE OCTUBRE DE 1960

H = 01h 51m 51s,2

16° 7 N., 97° 9 W. h = 74 kms.
Estado de Oaxaca (Méjico). (U. S. C. G. S.)

ALMERIA

iP	02h	04m	19s	(dilatación)
epP		04	28	
e		05	13	
i		05	22	D = 9.350 kms. = 84°

MALAGA

iP	02h	04m	12s	(dilatación)
i		04	20	D = 9.280 kms. = 83° 5

CARTUJA

iP	02	04	13	D = 9.100 kms. = 82°

468.—SISMO DE 8 DE OCTUBRE DE 1960

H = 05h 53m 01s,1
Mag: 6,50 - 6,75 (Pasadena)
Mag: 7,25 - 7,50 (Matsushiro)
40° N., 129° 7 E. h = 608 kms.
Mar del Japón. (U. S. C. G. S.)
Sentido en Chosi y Urakawa con grado IV.

ALICANTE

P	06h	04m	59s	
PP		08	45	
PPP		10	49	
SKS		14	29	
S		15	31	
SS		21	45	
L		36	01	
Mo		43	01	
F		58	—	D = 10.000 kms. = 90°

ALMERIA

eP	06	05	09	(condensación)
i!		05	11	
ipP		07	23	
isP		08	20	
iPP		09	07	
i		11	07	
ePPP		11	17	
e(sPP)		12	04	
iSKS		14	41	
eS		15	21	
eLQ		25	10	
iP'P'		30	30	
eLR		33	10	D = 10.150 kms. = 91° 5

MALAGA

iP	06	05	10	(dilatación)
ipP		07	22	
iPP		09	08	
iPPP		11	14	
eSKS		14	48	
L		27	30	
M		31	50	
F		impreciso		D = 10.300 kms. = 92° 7

TOLEDO

eiP	06	05	01	
ipP		07	13	
iPP		08	50	
epPP		10	31	
ePPP		10	59	
iSKS		14	34	
iS		15	07	
e		16	08	
iPS		17	54	
isS	06h	18m	50s	
i		20	03	
L		29	—	D = 10.080 kms. = 90° 7

CARTUJA

iP	06	05	12	(dilatación)
oP		07	20	
PP		08	23	
pPP		11	07	
iSKS		14	37	
eS		18	34	
PPS		20	37	
sSS		25	24	
sSSS		30	25	
M		49	01	
F	08	00	—	D = 10.600 kms. = 96°

EBRO

P	06	04	48	
iS		14	15	

469.—SISMO DE 8 DE OCTUBRE DE 1960

H = 20h 40m 06s,6
Mag: 6,25 (Matsushiro)
7° 9 N., 92° 9 E. h = 84 kms.
Islas Nicobar. (U. S. C. G. S.)

ALICANTE

P	20h	52m	44s	
PPP		58	12	
S	21	03	32	
L		22	06	
F		45	—	D = 9.750 kms. = 87° 7

ALMERIA

eP	20	53	02	(dilatación)
(eS)	21	03	35	
M		35	50	D = 10.000 kms. = 90°

MALAGA

iP	20	53	08
ePP		56	45

TOLEDO

eP	20	53	05	
eS	21	04	00	
i		05	00	
L		10	25	
M		38	25	D = 10.120 kms. = 91° 1

CARTUJA

eP	20	54	01	(condensación)
eS	21	05	01	
L		31	06	
M		40	49	
P	22	36	—	D = 10.000 kms. = 90°

EBRO

iS	21	03	25

470.—SISMO DE 9 DE OCTUBRE DE 1960

H = 02h 03m 12s

33° N., 6° W. (aprox.) (B. C. I. S.)
Atlas Medio (Marruecos).

ALICANTE

iP	02h	04m	22s	
eSn		05	13	
F		15	—	D = 770 kms. = 6° 9

ALMERIA

iP	02	04	23,6	(condensación)
e		04	29,6	
iPg		04	45,3	
i		05	04,6	
i		05	08,9	
i!Sn		05	23,0	
iL		05	39	D = 520 kms. = 4° 7

MALAGA

iPn	02	04	13	(dilatación)
iPg		04	33	
iSg		05	09	
L		06	30	
M		07	30	
F		11	—	D = 410 kms. = 3° 7

TOLEDO

iPn	02	04	56	(dilatación)
i		05	06	
iSg		06	22	
F		12	—	D = 750 kms. = 6° 80

CARTUJA

Pn	02	04	25	(dilatación)
Pg		04	37	
P3		04	37	
PS		04	51	
Sg		05	07	
S4		05	25	
S5		05	36	
i		05	49	
F		13	—	D = (300) kms. = 2° 7

471.—SISMO DE 9 DE OCTUBRE DE 1960

H = 09h 00m 42s
Mag: 6,25 (Pasadena)

40° 8 N., 141° 2 E. h = 155 kms.
Próximo a la costa de Hondo (U. S. C. G. S.)
(Japón).

Sentido en Hachinohe, Aomori y Marioka con grado VI.

ALICANTE

P	09h	13m	36s	
PP		17	24	
S		24	50	
SS		31	00	
L		45	12	
Mo		52	24	
F	10	25	—	D = 10.350 kms. = 93° 1

ALMERIA

eP	09h	13m	(54)s	
e		17	38	
iPP		18	10	
e		19	22	
(eS)		25	06	
L		47	40	D = 10.600 kms. = 95° 5

MALAGA

eP	09	13	57	
iPP		17	55	
ePPP		19	59	

TOLEDO

iP	09	13	47	(dilatación)
ipP		14	18	
iPP		17	33	
iPP		18	03	
iS		24	52	
esS		25	27	
iSS		31	12	
iSSS		34	42	
Lq		43	15	
M		48	30	D = 10.520 kms. = 94° 7

CARTUJA

iP	09	14	01	(dilatación)
iPP		17	49	
pPP		18	16	
eS		25	04	
PPS		27	01	
SS		31	05	
SSS		35	07	
L		50	00	
M		56	54	
F	10	48	—	D = 10.400 kms. = 94°

EBRO

iP	09	16	37	
S		24	25	

472*.—SISMO DE 10 DE OCTUBRE DE 1960

H = 11h 26m 02s

37° N., 2° 5 W. (B. C. I. S.)
Próximo a Gádor (Almería).

Sentido en Pechina y Gádor, con grado III.

ALICANTE

e	11h	26m	47s	
F		28	44	D = (235) kms. = 2° 1

ALMERIA

iPg	11	26	03,5	(dilatación)
iSg		26	05	D = 15 kms. = 0° 1

MALAGA

ePg	11	26	30	
iSg		26	50	
F		28	—	D = 170 kms. = 1° 5

TOLEDO

ePn	11h	27m	01s	(dilatación)
eSg		27	42	D = 350 kms. = 3° 10

CARTUJA

iPg	11	26	25	
Sg		26	37	
F		27	—	D = 100 kms. = 0° 9

473*.—SISMO DE 11 DE OCTUBRE DE 1960

Réplica del anterior.

MALAGA

iPg	05h	51m	07s	
	(condensación)			D = 100 kms. = 0° 9
iPn		53	10	
i		53	15	
iSg		53	19	
iSn		53	23	

CARTUJA

Pg	05	51	58	
Sg		52	11	
F		52	00	D = 100 kms. = 0° 9

474.—SISMO DE 12 DE OCTUBRE DE 1960

Sin más datos.

EBRO

L	21h	17m	00s
M		17	53

475.—SISMO DE 13 DE OCTUBRE DE 1960

H = 02h 21m 12s,7

45° 2 N., 25° 8 E. h = 63 kms.

Rumania. (U. S. C. G. S.)

MALAGA

iP	02h	26m	31s	(condensación)
ePP		27	11	

TOLEDO

iP	02	26	17	(condensación)
iPP		26	38	

CARTUJA

P	02	26	44	(dilatación)
i		27	16	

EBRO

iP	02	25	42	D = 2.075 kms. = 18° 7

476.—SISMO DE 13 DE OCTUBRE DE 1960

H = 14h 52m 34s,7

Mag: 6,75 (Pasadena)

54° 8 N., 161° 2 E. h = 35 kms.

Kamtchatka. (U. S. C. G. S.)

ALICANTE

iP	15h	05m	17s	
PP		08	32	
SPS		15	35	
eS		15	42	
SS		21	17	
L		33	19	
Mo		42	04	
F	16	40	—	D = 9.600 kms. = 86° 4

ALMERIA

(eS)	15	15	50	
ePS		16	26	
L		32	10	D = 9.500 kms. = 85° 5

MALAGA

iP	15	05	27	(condensación)
iPP		08	51	
iS		16	07	
iPS		17	19	
LQ		40	10	
LR		47	20	
M		53	10	
F		impreciso		D = 9.700 kms. = 87° 2

TOLEDO

iP	15	05	10	(compresión)
ePP		08	11	
ePPP		10	26	
iS		15	35	
i		15	49	
i		16	03	
ePS		16	29	
eSS		21	04	
L		29	30	
M		51	00	
F	16	30	—	D = 9.445 kms. = 85°

CARTUJA

iP	15	05	24	(dilatación)
PP		08	48	
S		16	03	
SS		21	15	
L		40	30	
M		44	07	
F	16	00	—	D = 9.500 kms. = 86°

EBRO

iP	15	05	03	
iS		15	17	D = 9.120 kms. = 82° 1

477.—SISMO DE 14 DE OCTUBRE DE 1960

H = 17h 48m 27,7s

Mag: 5,25 - 5,50 (Palisades)

38° 9 S., 73° 5 W. h = 19 kms.

Frente a la costa de Chile. (U. S. C. G S.)

ALICANTE

L	18h	36m	59s	
Mo		44	53	
F	19	15	—	D = (11.300) kms. = 101° 7

TOLEDO

L	18	42	30
M		47	30

CARTUJA

L	18	47	30
M		52	46
F	19	00	—

478.—SISMO DE 14 DE OCTUBRE DE 1960

H = 21h 19m 11s,4
Mag: 6,5 (Pasadena)
51° 9 N., 172° 1 W. h = 50 kms.
Islas de los Zorros (Aleutianas). (U. S. C. G. S)

ALICANTE

P	21h	32m	10s	
PPP		37	40	
SKS		42	39	
S		42	57	
PS		44	03	
SS		48	54	
L	22	01	49	
Mo		10	43	
F	siguiente			D = 9.900 kms. = 89° 1

ALMERIA

(eP)	21	32	18	
L	22	02	40	
Fuerte microsismo				D = 10.100 kms. = 91°

MALAGA

iP	21	32	16	(condensación)
iPP		35	58	
eS		43	28	
LR		07	00	
M		14	50	
F	impreciso			D = 10.390 kms. = 93° 5

TOLEDO

eP	21	32	01	
i		32	23	
iPP		35	27	
ePPP		37	19	
iS		42	29	
i(PPS)		44	10	
iSS		48	27	
iSSS		51	40	
L		56	30	
L	22	04	30	
M		20	30	D = 9.510 kms. = 85° 6

CARTUJA

P	21	32	16	(condensación)
S		43	01	
L	21h	59m	06s	
M	22	09	90	
F	siguiente			D = 10.060 kms. = 90°

EBRO

L	22	17	00
M		18	53

479.—SISMO DE 14 DE OCTUBRE DE 1960

H = 22h 55m 41s,7
Mag: 5 - 5,25 (Kew)
55° 7 N., 35° 2 W. h = 40 kms.
Atlántico Norte. (U. S. C. G. S.)

ALICANTE

P	23h	01m	36s	
PPP		02	37	
S		06	19	
SS		07	39	
SSS		07	57	
L		09	36	
Mo		12	57	
F		50	—	D = 3.100 kms. = 27° 9

ALMERIA

iP	23	01	42	
i(pP)		01	49	
ePP		02	40	
L		10	20	D = 3.200 kms. = 29°

MALAGA

iP	23	01	33	
iPP		02	13	
eS		06	26	
L		09	00	
M		12	30	
F		16	—	D = 3.150 kms. = 28° 4

TOLEDO

eP	23	01	13	D = 2.890 kms. = 26°

CARTUJA

P	23	01	33	(dilatación)
S		06	10	
L		08	36	
M		10	10	
F	siguiente			D = 3.000 kms. = 27°

480.—SISMO DE 14 DE OCTUBRE DE 1960

Datos insuficientes.

TOLEDO

eP	23h	09m	08s

CARTUJA

L	23	46	06
M		50	06
F	00	12	—

481.—SISMO DE 15 DE OCTUBRE DE 1960

H = 01h 54m 09s,2
Mag: 4,75 (Kew)
55° 8 N., 35° 6 W. h = 37 kms.
Atlántico. (U. S. C. G. S.)

ALICANTE

P	02h	00m	03s	
PP		00	52	
S		04	46	
SS		06	06	
L		08	03	
Mo		11	24	
F		30	—	D = 3.100 kms. = 27° 9

TOLEDO

eP	01	59	38	
L	02	06	10	
M		07	00	

CARTUJA

eP	01	59	05	(dilatación)
L	02	07	24	
M		08	59	
F		18	—	D = 3.000 kms. = 27°

481 bis.—SISMO DE 17 DE OCTUBRE DE 1960

H = 15h 45m 36s,9
Mag: 4,75 (Palisades)
4° 9 N., 78° 4 W. h = 83 kms.
Frente a la costa de Colombia. (U. S. C. G. S.)

ALMERIA

eP	15h	57m	17s	
	Dilatación			D = 8.450 kms. = 76°

MALAGA

iP	15	57	10	(condensación)
ePP		59	37	D = 8.300 kms. = 74° 7

TOLEDO

iP	15	57	14	(dilatación)
iS	16	06	51	
e		07	21	D = 8.380 kms. = 75° 4

CARTUJA

iP	15	57	15	(condensación)
PcP		57	27	
PP	16	00	09	
eS		07	33	
LM		32	01	
F	17	00	—	D = 8.300 kms. = 75°

EBRO

iP	15	57	30	

482.—SISMO DE 17 DE OCTUBRE DE 1960

H = 18h 05m 34s,2
30° 4 N., 40° 9 W. h = 25 kms.
Atlántico Norte. (U. S. C. G. S.)

CARTUJA

eP	18h	11m	57s	(dilatación)
PP		13	20	D = 3.500 kms. = 32°

483.—SISMO DE 17 DE OCTUBRE DE 1960

H = 19h 02m 15s,7
31° 5 N., 40° 8 W. h = 19 kms.
Atlántico Norte. (U. S. C. G. S.)

ALMERIA

eP	19h	08m	45s	(dilatación)
ePP		09	50	
L		17	40	D = 3.550 kms. = 32°

CARTUJA

eP	19	08	48	(dilatación)
i		09	58	D = 3.480 kms. = 31° 3

484.—SISMO DE 17 DE OCTUBRE DE 1960

H = 22h 15m 32s
Mag: 5,75 - 6 (Palisades)
14° 7 N., 92° 8 W. h = 100 kms.
Frontera de Méjico-Guatemala. (U. S. C. G S.)

TOLEDO

e	22h	27m	48s
L		56	00
M		59	00
F	23	20	—

485*.—SISMO DE 18 DE OCTUBRE DE 1960

H = 07h 40m 00s
Próximo a la costa S. de España. (B. C. I. S.)

ALMERIA

ePn	07h	40m	49,5s	
e(Sn)		41	26,8	D = (334) kms. = 3°

MALAGA

iPg	07	40	21	(dilatación)
iPn		40	23	
iSg		40	36	
i		40	49	
F		42	—	D = 120 kms. = 1° 1

TOLEDO

ePg	07	41	07
eSn		41	40

CARTUJA

iP	07	41	01	(dilatación)

486.—SISMO DE 20 DE OCTUBRE DE 1960

H = 11h 05m 57s,6
Mag: 6,25 (Pasadena)
11° 1 S., 164° 9 E. h = 37 kms.
Región islas Santa Cruz. (U. S. C. G S.)

ALMERIA

eP'1	11h	25m	39s	(condensación)
iP'2		25	54	
i		26	03	
ePP		29	33	
i(SKS)		32	31	
e(LQ)	12	08	46	D = 16.900 kms. = 152°

MALAGA

iP'	11	25	50	(dilatación)
ePP		29	32	

TOLEDO

eP'1	11	25	43	
iP'2		25	48	
L	12	19	30	D = 16.800 kms. = 151° 2

CARTUJA

iP'	11	25	15	(dilatación)

487*.—SISMO DE 21 DE OCTUBRE DE 1960

H = 01h 40m 17s
37° 23' N., 2° 15' W. (Alicante)
Sur de España.

Sentido en Cantoria (Almería) con grado V.

ALICANTE

Pn	01h	40m	48s	
Sn		41	20	
F		44	26	D = 190 kms. = 1° 7

ALMERIA

iPg	01	40	29,5	(condensación)
i		40	32,3	
iSg		40	36,3	D = 58 kms. = 0° 52

MALAGA

iPn	01	40	52	(dilatación)
iPg		40	55	
i		41	01	
i		41	05	
iSg		41	21	
F		44	—	D = 230 kms. = 2° 1

TOLEDO

ePn	01	41	04	
ePg		41	10	
iSg		41	49	
i		41	54	
F		45	—	D = 305 kms. = 2° 75

CARTUJA

iPg	01	40	32	(dilatación)
iSg		40	59	D = (210) kms. = 1° 9

488*.—SISMO DE 21 DE OCTUBRE DE 1960

H = 14h 15m 25s
Réplica del anterior. (Almería)

ALMERIA

iPg	14h	15m	34s	(dilatación)
iSg		15	40	D = 52 kms. = 0° 47

489.—SISMO DE 22 DE OCTUBRE DE 1960

H = 08h 22m 00s,9
Mag: 6,75 - 7 (Pasadena)
10° 4 S., 161° 2 E. h = 93 kms.
Región Islas Salomón. (U. S. C. G. S.)

ALMERIA

eP'1	08h	41s	37m	(dilatación)
iP'2		41	42	
ipP'1		42	03	
e		44	31	
ePP		45	25	
eSKS		48	32	
M	09	45	40	

MALAGA

iP'	08	41	44	(dilatación)
iP'2		41	56	
iPP		45	42	
F		impreciso		

TOLEDO

eP	08	41	38	
e		42	01	
L	09	37	30	
M		51	30	D = 16.700 kms. = 150° 3

CARTUJA

LM	08	50	17	
F	09	06	—	

EBRO

P	08	41	34	

490.—SISMO DE 23 DE OCTUBRE DE 1960

H = 06h 32m 20s
31° 5 N., 40° 7 W. h = 18 kms.
Océano Atlántico. (U. S. C. G. S.)

Réplica del núm. 383.

MALAGA

iP	06h	38m	37s	(condensación)

CARTUJA

S	06	45	42	
M		48	51	
F	07	00	—	D = 3.500 kms. = 32°

491*.—SISMO DE 23 DE OCTUBRE DE 1960

Sur de España.

Datos poco concordantes.

ALICANTE

e	18h	41m	11s	
F		42	55	

ALMERIA

ePg	18	41	24	
iSg		41	30,2	D = 53 kms. = 0° 48

MALAGA

ePg	18	41	11	
i		41	21	
iSg		41	27	
F		42	—	D = 130 kms. = 1° 2

CARTUJA

ePg	18	40	03	
eSg		40	05	
F		40	18	D = 15 kms. = 0° 13

492.—SISMO DE 23 DE OCTUBRE DE 1960

Sin más datos.

CARTUJA

Pg	18h	40m	57s	(dilatación)
Sg		41	12	
F		41	30	D = 125 kms. = 1° 12

493.—SISMO DE 24 DE OCTUBRE DE 1960

H = 03h 58m 14s

24° 25 S., 29° E. (B. C. I. S.)

¿W. del lago Tanganyka?

ALICANTE

L	04h	22m	24s	
Mo		26	04	
F		45	—	

TOLEDO

M	04	27	30	(trazas)

494*.—SISMO DE 24 DE OCTUBRE DE 1960

Sin más datos.

EBRO

Sg	22h	06m	53s

495*.—SISMO DE 25 DE OCTUBRE DE 1960

Sin más datos.

EBRO

Sg	17h	46m	33s

496*.—SISMO DE 26 DE OCTUBRE DE 1960

Sin más datos.

EBRO

e	20h	57m	41s	
e		58	16	
e		59	13	(muy cercano)

497*.—SISMO DE 27 DE OCTUBRE DE 1960

Sur de España.

Datos no concordantes.

ALMERIA

ePn	06h	49m	43s,9	(dilatación)
iP+		49	51,4	
e(Pg)		50	00,0	
iSn		50	29,4	
i		50	32,4	
e(S+)		50	38,2	D = 417 kms. = 3° 75

MALAGA

iPn	06	49	30	(condensación)
iPg		49	38	
iSg		50	01	
F		51	20	D = 170 kms. = 1° 53

TOLEDO

iP	06	49	50	(dilatación)
		Trazas		

CARTUJA

P	06	50	52	(dilatación)

498.—SISMO DE 27 DE OCTUBRE DE 1960

Sin más datos.

EBRO

e	11h	38m	08s

Muy cercano.

499.—SISMO DE 27 DE OCTUBRE DE 1960

H = 15h 39m 20s,3

Mag: 4,5 (Kew)

71° 4 N., 8° 6 W. h = 42 kms.

Región de las islas Juan Mayen.

TOLEDO

L	15h	54m	35s
	Trazas		

CARTUJA

L	15	57	18
M		59	15
F		12	—

500*.—SISMO DE 27 DE OCTUBRE DE 1960

Sin más datos.

ALMERIA

iPn	18h	18m	19,8s
i		18	20,5
e		18	23,7

EBRO

e	18	18	28

Muy cercano.

501*.—SISMO DE 27 DE OCTUBRE DE 1960

Sin más datos.

EBRO

e	21h	19m	19s

Muy cercano.

502.—SISMO DE 27 DE OCTUBRE DE 1960

H = 22h 27m 55s

15° 3 S., 175° W. h = 253 kms.
Región islas Samoa. (U. S. C. G. S.)

ALMERIA

iP'1	22h	47m	24s	(dilatación)
eP'2		47	58	
ePP		51	43	D = 17.550 kms. = 158°

TOLEDO

eP	22	47	22
i		47	30
i		47	45

CARTUJA

P'	22	47	58	(dilatación)

503*.—SISMO DE 27 DE OCTUBRE DE 1960

Sin más datos.

EBRO

e	23h	41m	12s

Muy cercano.

504*.—SISMO DE 28 DE OCTUBRE DE 1960

Sur de España.

ALMERIA

iPg	03h	52m	34s	
i		52	35,3	
iSg		52	35,6	D = 14 kms. = 0° 12

505.—SISMO DE 28 DE OCTUBRE DE 1960

H = 04h 18m 41s,9
Mag: 6,75 (Pasadena)

71° 4 N., 8° 6 W. h = 48 kms.
Islas Juan Mayen. (U. S. C. G. S.)

Sentido en Bergen (Noruega).

ALICANTE

eP	04h	25m	18s	
PP		26	23	
PPP		26	38	
(S)		30	29	
SS		32	24	
L		34	44	
Mo		38	35	
F	05	25	—	D = 3.600 kms. = 32° 4

ALMERIA

eP	04	25	33	(condensación)
ipP		25	42	
ePP		26	38	
e(PcP)		28	27	
(eS)		30	41	
e		31	19	
L		34	50	D = 3.800 kms. = 34°

MALAGA

iP	04	25	37	(dilatación)
iPP		26	55	
L		39	40	
M		47	30	
F		impreciso		D = 3.850 kms. = 34° 6

TOLEDO

iP	04	25	05	(condensación)
iPP		26	19	
ePcP		27	57	
eS		30	08	
eS		30	17	
eSS		32	04	
eSSS		32	31	
Lq		33	35	
M		39	00	
P	05	30	—	D = 3.465 kms. = 31° 2

CARTUJA

iP	04	25	35	(dilatación)
PP		26	42	
S		31	05	
SS		33	41	
L		35	30	
M		38	35	
F	05	24	—	D = 3.700 kms. = 33° 3

EBRO

iP	04	25	07	
eS		30	18	D = 3.548 kms. = 31° 9

506.—SISMO DE 28 DE OCTUBRE DE 1960

H = 13h 18m 14s,3
Mag: 7 (Pasadena)

52° 5 N., 157° 4 E. h = 96 kms.
Kamtchatka. (U. S. C. G. S.)

ALICANTE

eP	13h	30m	48s	
PP		34	19	
PPP		36	18	
SKS		41	00	
S		41	32	
SS		47	22	
SSS		50	58	
L	14	00	08	
Mo		07	02	
F	15	05	—	D = 9.750 kms. = 87° 7

ALMERIA

iP	13	31	04	(dilatación)
ePP		34	39	
eSKS		41	23	
eS		41	42	
e		44	16	
L	14	00	20	D = 9.950 kms. = 89° 5

MALAGA

iP	13	31	06	(dilatación)
iPP		34	38	
iSKS		41	21	
eS		41	59	
i(PS)		43	16	
L	14	00	30	
M		10	20	
F		25	—	D = 9.960 kms. = 89° 6

TOLEDO

iP	13	30	54	(dilatación)
epP		31	23	
i		31	59	
iPP		34	17	
iS		41	24	
isS		42	10	
iPS		42	15	
eSS		47	17	
eSSS		50	45	
Lq		54	05	
F	15	00	—	D = 9.700 kms. = 87° 3

CARTUJA

iP	13	31	05	(condensación)
PP		34	41	
sKS		41	32	
iS		41	53	
PS		42	47	
i		45	20	
L		50	42	
M	14	01	37	
F		36	—	D = 10.100 kms. = 91°

EBRO

iP	13	30	43	
iS		41	07	D = 9.164 kms. = 82° 5

507.—SISMO DE 28 DE OCTUBRE DE 1960

H = 22h 29m 26s,6
Mag: 6,5 (Estrasburgo)
34° 6 N., 141° 1 E. h = 96 kms.
Próximo costa SE. de Hondo. (U. S. C. G. S.)

ALICANTE

L	23h	16m	38s	
Mo		24	14	
F		50	—	D = 11.000 kms. = 99°

TOLEDO

L	23	21	35	
		Trazas		

CARTUJA

L	23	34	18	
M		40	35	
F	24	00	—	

508.—SISMO DE 29 DE OCTUBRE DE 1960

H = 13h 26m 10s
47° 75 N., 27° 75 W. h = 25 kms.
Atlántico Norte. (B. C. I. S.)

Réplica de otro no registrado en las estaciones españolas.

MALAGA

iP	13h	30m	53s	
ePP		31	12	

TOLEDO

eP	13	30	30	
L		35	15	

509.—SISMO DE 30 DE OCTUBRE DE 1960

H = 08h 32m 39s,1
47° 7 N., 28° 7 W. h = 25 kms.
Atlántico Norte. (U. S. C. G. S.)

ALMERIA

eP	08	37	30	(dilatación)
e		39	14	D = 2.400 kms. = 21° 5

MALAGA

iP	08	37	22	(condensación)
iPP		37	46	
eS		41	10	D = 2.310 kms. = 20° 8

TOLEDO

e	08	36	58	
eS		40	25	
L		41	15	D = 2.150 kms. = 19° 4

CARTUJA

iP	08	37	22	(dilatación)
i		40	47	
eS		40	47	
L		41	42	
M		43	11	
F		48	—	D = 2.100 kms. = 19°

510.—SISMO DE 30 DE OCTUBRE DE 1960

H = 12h 14m 36s,1
Mag: 6,75 (Pasadena)
23° 4 S., 70° 3 W. h = 76 kms.
Próximo a la costa de Chile. (U. S. C. G. S.)

Sentido en Antofagasta.

ALICANTE

P	12h	27m	26s	
S		38	23	
SS		44	20	
L		57	36	
Mo	13	04	36	
F		25	—	D = 10.000 kms. = 90°

ALMERIA

iP	12	27	23	(condensación)
i		27	33	
epP		27	49	
e		28	13	
ePP		30	58	
e(S)		38	17	
e		38	18	
L		55	10	D = 9.700 kms. = 87° 5

MALAGA

iP	12	27	18	(dilatación)
ipP		27	40	
iPP		30	40	
ePPP		32	44	
eS		37	54	
iPS		38	52	
L	13	01	20	
M		09	30	
F		21	—	D = 9.560 kms. = 86°

TOLEDO

eP	12	27	26	
i		28	51	
ePP		30	53	
eSKS		37	54	
iS		38	15	
ePS		39	19	
e		42	09	
eSS		43	43	
eSSS		47	11	
L		54	35	
M	13	06	35	D = 10.035 kms. = 90° 3

CARTUJA

iP	12	27	23	(dilatación)
PP		31	05	
S		38	05	
L		57	18	
M	13	09	41	
F		12	—	D = 9.800 kms. = 88°

EBRO

L	13	09	00
M		11	09

511.—SISMO DE 30 DE OCTUBRE DE 1960

H = 21h 32m 47s,7
Mag: 6,75 (Pasadena)
22° 9 S., 68° W. h = 60 kms.
Frontera de Chile y Bolivia. (U. S. C. G. S.)

ALMERIA

iP	21h	45m	27s	(condensación)
i!pP		45	51	
isP		46	08	
ePP		49	06	
eSKS		55	44	
(eS)		55	55	D = 9.550 kms. = 86°

MALAGA

iP	21	45	23	(dilatación)
i		45	47	D = 9.380 kms. = 84° 4

TOLEDO

iP	21	45	31	(condensación)
ipP		45	56	
i		46	08	
iSKS		55	50	
iS		55	54	
L	22	09	35	D = 10.000 kms. = 90°

CARTUJA

iP	21	45	29	(dilatación)
pP		45	48	
i		46	15	D = 9.400 kms. = 85°

512*.—SISMO DE 1 DE NOVIEMBRE DE 1960

España.

Sentido en Alicante y San Vicente. Grado III.

ALICANTE

Pg	04h	20m	46s	
F		22	50	D = 16 kms. = 0° 1

513.—SISMO DE 1 DE NOVIEMBRE DE 1960

H = 06h 15m 29s,4
Mag: 5 (Palisades)
11° 2 S., 12° 7 W. h = 35 kms.
Proximidades isla de la Ascensión. (U. S. C. G.S.)

ALICANTE

L	06h	39m	45s	
Mo		43	51	
F	07	10	—	D = 5.600 kms. = 50° 5

ALMERIA

eP	06	24	17	(dilatación)
ePP		26	12	
L		39	40	D = 5.550 kms. = 50°

MALAGA

iP	06	24	17	(condensación)

TOLEDO

eP	06h	24m	36s	
ePP		26	34	
eSS		35	55	
L		43	35	D = 5.665 kms. = 51°

CARTUJA

iP	06	24	23	(dilatación)
PcP		25	52	
PPP		27	18	
S		31	26	
M		40	54	
F	07	00	—	D = 5.300 kms. = 49°

514.—SISMO DE 1 DE NOVIEMBRE DE 1960

H = 08h 45m 59s,3
Mag: 7,25 - 7,50 (Pasadena)
38° 5 S., 75° 1 W. h = 55 kms.
Próximo costas de Chile. (U. S. C. G. S.)

Daños en Concepción y Valdivia.

ALMERIA

P	08h	59m	44s	
PPP	09	06	14	
SKS		10	10	
SS		18	26	
L		34	56	
Mo		42	44	
F	10	50	—	D = 11.400 kms. = 102° 6

ALMERIA

eP	08	59	44	(condensación)
iPP	09	03	54	
iPPP		06	02	
eSKS		10	25	
(eS)		11	11	
ePs		12	54	
eLQ		25	00	
eLR		30	10	D = 11.150 kms. = 100° 5

MALAGA

iP	08	59	40	(condensación)
iPP	09	03	48	
iPPP		05	58	
eSS		18	24	
LR		33	00	
M		45	30	
F		impreciso		D = 11.020 kms. = 99° 1

TOLEDO

eP	08	59	47	
ePP	09	03	55	
ePPP		06	03	
i(S)		10	39	
iPS		13	05	
iSS		18	27	
iSSS		21	55	
Lq		27	35	
M		45	35	
F	11	00	—	D = 11.090 kms. = 99° 8

CARTUJA

iP	08h	59m	54s	(condensación)
PP	09	09	15	
SKS		10	18	
PS		12	44	
PPS		13	21	
SS		18	06	
L		31	48	
M		41	16	
F	11	48	—	D = 11.000 kms. = 99°

EBRO

i	09	04	28	
(S)		11	49	

515*.—SISMO DE 1 DE NOVIEMBRE DE 1960

H = 10h 56m 18s
37° 6 N., 0° 9 W. h = 10 kms.
SE. de España. (Alicante)

Sentido con grado V en La Unión (Murcia).

ALICANTE

Pg	10h	56m	34s	
Sg		56	45	
F	11	01	—	D = 88 kms. = 0° 8

ALMERIA

iPn	10	56	47,4	(dilatación)
iPg		56	48,4	
iSg		57	07,1	D = 148 kms. = 1° 42

MALAGA

iPn	10	57	12	(condensación)
iPg		57	22	
iSg		58	00	
F		59	—	D = 315 kms. = 2° 8

TOLEDO

ePn	10	57	12	
iPg		57	25	
iSg		58	07	
F	11	01	—	D = 360 kms. = 3° 2

CARTUJA

Pn	10	57	06	(dilatación)
Sg		57	33	
F	11	00	—	D = 200 kms. = 1° 8

EBRO

i	10	59	12	

516.—SISMO DE 1 DE NOVIEMBRE DE 1960

H = 12h 29m 31s,6
Mag: 5,25 (Palisades)
38° 7 S., 75° W. h = 64 kms.
Próximo costa de Chile. (U. S. C. G. S.)

TOLEDO

L	13h	27m	35s	

517*.—SISMO DE 1 DE NOVIEMBRE DE 1960

SE. de España.

Réplica del anteprecedente.
Sentido en La Unión.

ALICANTE

Pg	22^h	24^m	11^s	
Sg		24	21	
F		26	22	D = 88 kms. = 0° 8

ALMERIA

ePn	22	24	23,8	
(iPg)		24	26,2	
iSn		24	44,0	D = 163 kms. = 1° 47

TOLEDO

ePg	22	24	52	(trazas)

518.—SISMO DE 2 DE NOVIEMBRE DE 1960

H = 17^h 14^m 54^s
Mag: 6,25 - 6,75 (Pasadena)
11° 2 S., 164° 8 E. h = 80 kms.
Islas Santa Cruz. (U. S. C. G. S.)

ALICANTE

P'_1	17^h	34^m	36^s	
P'_2		34	48	
PP		38	17	
SKS		41	43	
SS		57	31	
F	19	25	—	D = 16.650 kms. = 149° 8

ALMERIA

eP'_1	17	34	38	(dilatación)
iP'_2		34	58	
ePP		38	22	
(SKS)		41	21	D = 16.800 kms. = 151°

MALAGA

iP'_1	17	34	39	(dilatación)
iP'_2		35	13	
F	cambio de banda			

TOLEDO

eP'_1	17	34	37	
iP'_2		34	42	
ePP		38	12	
eSKS		41	42	
L	18	32	35	D = 16.445 kms. = 148°

CARTUJA

P'	17	34	38	(compresión)
PP		38	40	
eSKS		41	06	
SKKS		45	47	
SS		57	58	
SSS	18	03	58	
L	18^h	33^m	42^s	
M		42	59	
F	20	00	—	D = 17.000 kms. = 153°

EBRO

eP	17	34	32	

519*.—SISMO DE 3 DE NOVIEMBRE DE 1960

SE. de España.

Grado I-II.

ALICANTE

Pg	17^h	07^m	06^s	
Sg		07	15	
F		08	11	D = 80 kms. = 0° 7

520*.—SISMO DE 3 DE NOVIEMBRE DE 1960

Próximo a Tortosa (España).

Debilísimo.

EBRO

e	20^h	32^m	23^s	

521*.—SISMO DE 4 DE NOVIEMBRE DE 1960

Próximo a Tortosa (España).

Varias sacudidas debilísimas.

EBRO

i	20^h	49^m	30^s	
i		49	47	
e	23	35	20	
e		36	43	
i		38	20	
i		39	34	

522*.—SISMO DE 5 DE NOVIEMBRE DE 1960

Próximo a Tortosa (España).

Debilísimo.

EBRO

e	12^h	03^m	47^s	

523*.—SISMO DE 5 DE NOVIEMBRE DE 1960

Próximo a Tortosa (España).

Debilísimo.

EBRO

i	17^h	24^m	14^s	

524.—SISMO DE 5 DE NOVIEMBRE DE 1960

H = 20h 20m 53s,7
Mag: 5,5 (Istambul)
39° 4 N., 20° 5 E. h = 49 kms.
N. de Grecia. (U. S. C. G. S.)

Sentido con grado VII 1/2 en Vrachos (Preveza).

ALICANTE

iP	20h	24m	41s	
PP		24	57	
PPP		25	05	
iS		27	45	
L		29	09	
Mo		31	14	
F		55	—	D = 1.700 kms. = 15° 3

ALMERIA

eP	20	25	04	
iPP		25	16	
eS		28	31	
M		33	30	D = 1.980 kms. = 17° 8

MALAGA

iP	20	25	20	(condensación)
iPP		25	38	
iPPP		25	50	
iS	25	29	00	
iPcP		29	34	
LQ		30	06	
LR		31	12	
ScP		32	50	
F		57	—	D = 2.200 kms. = 19° 8

TOLEDO

eiP'	20	25	14	
iPP		25	37	
iS		28	51	
Li		29	43	
Lq		29	50	
M		33	10	
F	21	00	—	D = 2.070 kms. = 18° 6

CARTUJA

iP	20	24	18	(compresión)
PP		25	02	
S		28	00	
SS		29	12	
L		31	00	
M		32	48	
F	21	18	—	D = 2.070 kms. = 18° 6

525.—SISMO DE 5 DE NOVIEMBRE DE 1960

Sin más datos.

EBRO

iS	23h	24m	29s	
eL		29	00	

526.—SISMO DE 6 DE NOVIEMBRE DE 1960

H = 04h 38m 16s,7
Mg: 6,25 (Pasadena)
53° 2 N., 159° S. h = 32 kms.
Próximo costa E. de Kamtchatka. (U. S. C. G. S.)

ALICANTE

P	04h	51m	09s	
PP		54	37	
S	05	01	45	
SS		07	40	
L		20	17	
Mo		29	09	
F		50	—	D = 9.750 kms. = 87° 7

ALMERIA

iP	04	51	11	
ePP		54	47	
ePPP		56	26	
eS	05	01	59	
(eL)		25	20	D = 9.900 kms. = 89°

MALAGA

iP	04	51	13	(condensación)
iPP		54	47	
iS	05	02	05	
iPS		03	17	
LQ		14	20	
LR		22	00	
M		30	00	
F		45	—	D = 9.940 kms. = 89° 4

TOLEDO

iP	04	51	00	(compresión)
eS	05	01	27	
eS		01	52	
L		21	35	
M		29	35	
F	06	00	—	D = 9.490 kms. = 85° 4

CARTUJA

iP	04	50	42	(dilatación)
PP		54	15	
S	05	01	48	
L		28	30	
M		35	42	
F	06	00	—	D = 10.100 kms. = 91°

EBRO

P	04	50	54	
eS	05	01	20	D = 9.385 kms. = 84° 5

527.—SISMO DE 6 DE NOVIEMBRE DE 1960

H = 06h 14m 53s,4
Mag: 6,5 (Pasadena)
31° 1 S., 177° 7 W. h = 69 kms.
Islas Kermadec. (U. S. C. G. S.)

ALICANTE

L	07h	36m	45s	
M		49	33	
F	08	20	—	D = 19.150 kms. = 172° 3

MALAGA

iP'	06h	35m	09s	(dilatación)
iP'2		36	33	
ePP		40	17	
i(SKS)		41	45	
eSKKS		47	10	
eSKSP		50	41	
L	07	43	15	
M		53	40	
F	08	20	—	D = 19.080 kms. = 171° 6

TOLEDO

eP'1	06	34	57	
eP'2		36	09	
ePP		40	09	
L	07	44	35	
M		59	35	D = 19.000 kms. = 171°

CARTUJA

SKP	06	36	23	(dilatación)
PPP		41	41	
L	07	49	30	
M		57	59	
F	08	30	—	D = 19.000 kms. = 171°

528.—SISMO DE 6 DE NOVIEMBRE DE 1960

H = 22h 10m 06s,4
Mag: 5 - 5,25 (Berkeley)
52° 9 N., 168° W. h = 43 kms.
Isla de los Zorros, Aleutianas. (U. S. C. G. S.)

ALICANTE

L	22h	52m	18s	
Mo		59	01	
F	23	30	—	D = 9.800 kms. = 88° 2

ALMERIA

iP	22	23	04	(dilatación)
i(pP)		23	24	
eS		33	34	D = 9.950 kms. = 89° 5

MALAGA

iP	22	23	00	(condensación)
L	23	04	20	
M		13	20	
F		28	—	

TOLEDO

iP	22	22	50	(condensación)
ePP		26	14	
eS		33	10	
L		54	35	
M	23	04	35	D = 9.850 kms. = 88° 6

CARTUJA

iP	22	23	39	D = 10.000 kms. = 90°
	Condensación			

EBRO

eP	22	22	52

529.—SISMO DE 8 DE NOVIEMBRE DE 1960

H = 04h 28m 08s,7
Mag: 4,5 (Palisades)
27° 4 N., 44° 9 W. h = 25 kms.
Atlántico Norte. (U. S. C. G. S.)

ALMERIA

eP	04h	35m	18s	(condensación)
ePP		36	22	
iPPP		37	10	D = 4.050 kms. = 36° 5

MALAGA

iP	04	35	04	(condensación)
ePP		36	28	D = 3.980 kms. = 35° 8

TOLEDO

eP	04	35	10
ePP		36	17
L	05	45	25

CARTUJA

eP	04	35	20	(dilatación)

530*.—SISMO DE 8 DE NOVIEMBRE DE 1960

Próximo a Tortosa (España)
Debilísimo. Sin más datos.

EBRO

e	19h	57m	09s

531.—SISMO DE 9 DE NOVIEMBRE DE 1960

H = 01h 17m 36s,8
21° 6 S., 67° 5 W. h = 131 kms.
Próximo frontera Chile-Bolivia. (U. S. C. G. S.)

MALAGA

iP	01h	29m	53s	(condensación)
ipP		30	31	
L		54	30	
F	impreciso			

TOLEDO

iP	01	30	07	(condensación)
ipP		30	43	
eS		40	28	D = 9.480 kms. = 85° 3

532.—SISMO DE 9 DE NOVIEMBRE DE 1960

H = 03h 17m 58s,5
Mag: 6,25 - 6,5 (Palisades)
60° 9 S., 24° 8 W. h = 37 kms.
Islas Sandwich. (U. S. C. G. S.)

ALICANTE

P	03h	31m	49s
PP		35	59
S		43	24

SS	03h	50m	24s	
Mo		15	01	
F		57	—	D = 11.200 kms. = 100° 8

ALMERIA

eP	03	31	41	
ePPP		35	41	
(eSKS)		42	39	
eIQ		58	20	D = 11.000 kms. = 99°

MALAGA

eP	03	31	49	
iPP		35	30	
ePPP		38	17	
iSKS		44	31	
iS		45	25	
LR	04	02	30	
M		13	00	
F		26	—	D = 11.090 kms. = 99° 7

TOLEDO

eP	03	32	02	
ePP		35	58	
iSKS		42	31	
iS		43	43	
iPS		45	08	
eSS		50	35	
eSSS		54	38	
iG	04	00	28	
Lq		01	10	
M		15	10	D = 11.250 kms. = 101° 3

CARTUJA

iP	03	34	09	(condensación)
PP		36	06	
eS		42	24	
L		58	24	
M	04	09	48	
F	05	24	—	

EBRO

eP	03	33	30	

533*.—SISMO DE 9 DE NOVIEMBRE DE 1960

H = 04h 27m 49s,5
Próximo Almería (España).

ALMERIA

ePg	04h	27m	53s,7	
iISg		27	56,4	
iS		28	00	D = 23 kms. = 0° 21

534.—SISMO DE 9 DE NOVIEMBRE DE 1960

H = 10h 43m 40s,8
Mag: 6,25 - 6,50 (Palisades)
32° 8 N., 103° 4 E. h = 31 kms.
Provincia de Szechwan (China). (U. S. C. G. S.)

ALICANTE

P	10h	55m	51s	
PP		58	52	
S	11h	05m	50s	
SS		10	58	
L		21	42	
Mo		30	14	
F	12	21	—	D = 9.000 kms. = 81° 0

ALMERIA

eP	10	56	02	
ipP		56	07	
ePP		59	11	
e(SS)	11	10	31	
L		25	20	D = 9.100 kms. = 82°

MALAGA

eP	10	55	56	
L	11	24	00	
M		31	30	
F		54	—	

TOLEDO

eP	10	55	59	
ePP		59	10	
e(S)	11	06	18	
e		19	14	
Lq		22	30	
Li		23	50	
Lr		28	20	
M		28	50	
F	12	20	—	D = 9.100 kms. = 82°

CARTUJA

iP	10	55	50	(dilatación)
L	11	17	06	
M		28	51	
F	12	30	—	D = 9.100 kms. = 82°

EBRO

L	12	25	—	
M		26	27	

535.—SISMO DE 9 DE NOVIEMBRE DE 1960

H = 20h 06m 16s,2
Mag: 5,5 - 5,75 (Palisades)
23° 4 S., 70° 6 W. h = 52 kms.
Póximo a la costa de Chile. (U. S. C. G. S.)

Sentido en Antofagasta.

ALICANTE

P	20	19	18	
PP		22	53	
S		30	09	
SS		36	10	
L		49	18	
Mo		58	14	
F	21	35	—	D = 10.000 kms. = 90°

MALAGA

iP	20	19	00	(condensación)
iPP		22	19	

TOLEDO

eP	20h	19m	08s	
ePP		22	44	
iS		29	52	
eSS		35	53	
eSSS		39	10	
L		45	10	
M		57	40	D = 9.890 kms. = 89°

CARTUJA

iP	20	18	06	(condensación)
S		28	53	
PS		30	01	
L		52	24	
M		59	53	
F	21	00	—	D = 9.700 kms. = 87° 3

536*.—SISMO DE 9 DE NOVIEMBRE DE 1960

H = 22h 33m 03s

Próximo a Almería (España).

Probable réplica del núm. 433.

ALMERIA

iPg	22h	33m	07s	(condensación)
iSg		33	09,5	D = 21 kms. = 0° 19

537*.—SISMO DE 9 DE NOVIEMBRE DE 1960

Próximo a Tortosa (España).

Debilísimo.

EBRO

e	21h	33m	25s
i		23	31

538.—SISMO DE 10 DE NOVIEMBRE DE 1960

H = 14h 44m 48s,8

Mag: 6,75 (Pasadena)

2° 7 S., 139° 3 E. h = 39 kms.

Nueva Guinea. (U. S. C. G. S.)

ALMERIA

iP'i	15h	03m	59s	(dilatación)
ePP		06	19	
iPKS		06	19	
e(SKS)		11	15	D = 14.550 kms. = 131°

MALAGA

iP'	15	04	02	(dilatación)
iPP		06	26	
iSKS		11	10	
F	impreciso			D = 14.680 kms. = 132°

TOLEDO

eP'i	15	03	58	
ePP		06	11	D = 14.550 kms. = 140°

CARTUJA

P'	15h	03m	40s	(dilatación)
L		55	03	
M		06	34	
F	16	48	—	D = 14.500 kms. = 130° 6

539*.—SISMO DE 10 DE NOVIEMBRE DE 1960

Próximo a Tortosa (España).

Debilísimo.

EBRO

e	20h	44m	49s
i		45	02

Seguido de tres pequeñísimas sacudidas.

540.—SISMO DE 11 DE NOVIEMBRE DE 1960

H = 05h 31m 31s,9

Mag: 5,25 - 5,75 (Atenas)

39° 3 N., 20° E. h = 43 kms.

(U. S. C. G. S.)

Sentido con grado VII en Lokris (Preveza). Daños en Epiro.

MALAGA

eP	05h	36m	04s	D = 2.180 kms. = 19° 6

TOLEDO

eP	95	35	52	D = 2.100 kms. = 18° 9

541*.—SISMO DE 11 DE NOVIEMBRE DE 1960

Próximo a Tortosa (España).

Debilísima.

TOLEDO

i	23h	05m	11s

542*.—SISMO DE 12 DE NOVIEMBRE DE 1960

Granada (España).

Débil.

CARTUJA

Sg	00h	04m	25s
F		04	36

543*.—SISMO DE 12 DE NOVIEMBRE DE 1960

H = 11h 29m 17s

Próximo a Alicante (España).

Grado I 1/2.

ALICANTE

Pg	11h	29m	20s	
Sg		29	23	
F		30	19	D = 16 kms. = 0° 15

544.—SISMO DE 13 DE NOVIEMBRE DE 1960

H = 09h 20m 32s,3
Mag: 7 (Pasadena)
51° 4 N., 168° 8 W. h = 32 kms.
Islas de los Zorros, Aleutianas. (U. S. C. G. S).

ALICANTE

P	09h	33m	36s	
PP		37	14	
PPP		39	13	
SKS		44	08	
S		44	30	
SS		50	31	
SSS		54	06	
L	10	03	39	
Mo		03	39	
F	11	20	—	D = 10.000 kms. = 90°

ALMERIA

eP	09	33	38	
ipP		33	58	
ePP		37	22	
ePS		45	51	
L	10	00	50	D = 10.050 kms. = 90° 5

MALAGA

iP	09	33	38	(dilatación)
iPP		37	17	
iPPP		39	07	
iS		44	33	
iPS		45	39	
eSS		50	51	
L	10	04	50	
M		10	00	
F	11	03	—	D = 10.075 kms. = 90° 6

TOLEDO

iP	09	33	26	(dilatación)
ipP		33	41	
iPP		36	55	
iSKS		43	39	
iS		44	02	
iPS		45	05	
ePPS		45	37	
ISS		49	57	
eSSS		54	09	
Lq	10	02	10	
M		16	40	D = 9.820 kms. = 88° 4

CARTUJA

iP	09	32	41	(dilatación)
iPP		36	01	
S		43	49	
PPS		46	17	
SS		49	49	
L	10	06	00	
M		12	55	
F	11	48	—	D = 10.100 kms. = 91°

EBRO

iP	09h	33m	26s	
iS		44	01	D = 9.600 kms. = 96° 5

545.—SISMO DE 13 DE NOVIEMBRE DE 1960

H = 20h 45m 11s,9
39° 9 N.. 30° W. h = 23 kms.
Islas Azores. (U. S. C. G. S.)

MALAGA

iP	20h	49m	45s	(condensación)
iPP		50	05	

TOLEDO

eP	20	49	46	
L		54	40	D = 2.240 kms. = 20°,2

CARTUJA

iP	20	48	56	D = 2.260 kms. = 20° 2
		Dilatación		

546.—SISMO DE 14 DE NOVIEMBRE DE 1960

Próximo a Tortosa (España).

Debilísimo.

EBRO

i	12h	25m	14s

547*.—SISMO DE 14 DE NOVIEMBRE DE 1960

H = 19h 42m 10s
37° N., 5° 25 W.
Sevilla (España).

Premonitorio del siguiente.

MALAGA

iPg	19h	42m	24s	(dilatación)
ifn		42	27	
iSg		42	32	
iSn		42	39	
F		43	—	D = 95 kms. = 0° 9

548*.—SISMO DE 14 DE NOVIEMBRE DE 1960

H = 20h 10m 31s,2
37° 2 N., 4° 8 W. h = 44 kms.
Sevilla (España). (U. S. C. G. S.)

Sentido en Coripe con grado VI.

ALICANTE

Pn	20h	11m	26s	D = (700) kms. = 6° 3

ALMERIA

Pn	20	11	(04,5)
i		11	07,4

iPg	20h	11m	12,4s	
iSn		11	40	
iSg		11	48	D = 317 kms. = 2° 85

MALAGA

iPg	20	10	40	(dilatación)

TOLEDO

iPn	20	11	14	(dilatación)
iPg		11	24	
iSn		11	49	
iSg		12	01	
i		12	04	D = 315 kms. = 2° 85

CARTUJA

iPg	20	10	51	(dilatación)
iSg		11	16	
F		18	00	D = 200 kms. = 1° 8

EBRO

eP	20	12	00	
iS		13	16	D = 723 kms. = 6° 51

549*.—SISMO DE 14 DE NOVIEMBRE DE 1960

Próximo a Tortosa (España).

Debilísimo.

EBRO

e	20h	25m	48s
e		28	25
e	21	07	04

550*.—SISMO DE 14 DE NOVIEMBRE DE 1960

Réplica del núm. 448. Sevilla (España)

ALMERIA

ePn	23h	04m	36,4s	
i(Sn)		05	07,3	
e(Sg)		15	14,8	D = (272) kms. = 2° 45

MALAGA

iPg	23	04	08	(dilatación)
iPn		04	11	
iSg		04	16	
iSn		04	23	
F		05	—	

551*.—SISMO DE 15 DE NOVIEMBRE DE 1960

Sevilla (España).

(Réplica)

ALMERIA

ePn	02h	12m	54,6s	
i(Sn)		13	25,6	D = (272) kms. = 2° 45

MALAGA

iPg	02h	12m	24s	(dilatación)
iPn		12	27	
iSg		12	32	
iSn		12	40	
F		13	—	

552.—SISMO DE 15 DE NOVIEMBRE DE 1960

H = 02h 18m 55s

42° 7 N., 4° 2 E. (B. C. I. S.)

Golfo de Lyon (Mediterráneo).

EBRO

e	02h	21m	29s

553*.—SISMO DE 15 DE NOVIEMBRE DE 1960

Sevilla (España).

(Réplica)

MALAGA

ePg	09h	18m	40s
iSn		18	55

554*.—SISMO DE 15 DE NOVIEMBRE DE 1960

Sevilla (España).

(Réplica)

MALAGA

iPg	15h	44m	21s	(dilatación)
iPn		44	24	
iSg		44	29	
iSn		44	36	

555*.—SISMO DE 15 DE NOVIEMBRE DE 1960

Próximo a Tortosa (España).

Debilísimo.

EBRO

e	21h	42m	01s
e		44	15

556*.—SISMO DE 16 DE NOVIEMBRE DE 1960

Próximo a Tortosa (España).

Debilísimo.

EBRO

e	12h	40m	27s

557*.—SISMO DE 16 DE NOVIEMBRE DE 1960

H = 13h 11m 30s

Sevilla (España). (B. C. I. S.)

(Réplica)

ALMERIA

ePn	13h	13m	11,6s	
iSn		13	42,6	
iSg		13	49,1	D = 272 kms. = 2° 45

MALAGA

iPg	13	12	41	(dilatación)
F		14	—	

TOLEDO

ePn	13	13	21	(trazas)

CARTUJA

Pg	13	12	05	(dilatación)
Sg		12	29	
F		13	—	D = 190 kms. = 1° 7

558*.—SISMO DE 16 DE NOVIEMBRE DE 1960

Próximo a Tortosa (España).

Debilísimo.

EBRO

e	21h	45m	31s

559.—SISMO DE 16 DE NOVIEMBRE DE 1960

H = 22h 59m 47s,6

Mag: 5,5 (Moscú)

38° 2 N., 89° 5 E. h = 24 kms.

Provincia de Sinkiang, China. (U. S. C. G. S.)

TOLEDO

eiP	23h	10m	57s
i		11	03

560*.—SISMO DE 17 DE NOVIEMBRE DE 1960

Próximo a Tortosa (España).

Debilísimo.

EBRO

i	18h	51m	13s

y cinco sacudidas más hasta las 21h 06m 47s que tuvo lugar la última.

561*.—SISMO DE 18 DE NOVIEMBRE DE 1960

Próximo a Tortosa (España).

Debilísimo.

EBRO

i	20h	35m	09s
i	21	27	22

562*.—SISMO DE 19 DE NOVIEMBRE DE 1960

Sevilla (España).

Réplica.

ALMERIA

ePn	12h	56m	24,5s	
iSn		56	55,7	
iSg		57	01,3	D = 274 kms. = 2° 47

MALAGA

iPg	12	55	54	(dilatación)
iSg		55	10	
F		57	—	D = 130 kms. = 1° 2

TOLEDO

e(Pg)	12	56	23	(trazas)
eSg		57	02	

563*.—SISMO DE 19 DE NOVIEMBRE DE 1960

Próximo a Tortosa (España).

Debilísimo.

EBRO

i	19h	51m	43s
i		54	07

564.—SISMO DE 20 DE NOVIEMBRE DE 1960

H = 22h 01m 56s,4

Mag: 6,75 (Pasadena)

6° 8 S., 81° W. h = 55 kms.

Próximo costa del Perú. (U. S. C. G. S.)

Grandes daños materiales por maremoto. Dos víctimas.

ALICANTE

P	22h	14m	30s	
PP		17	56	
PPP		19	54	
iS		25	04	
SS		30	50	
L		43	30	
Mo		50	18	
F	00	45	—	D = 9.650 kms. = 86° 8

ALMERIA

eP	22h	14m	31s	
ipP		14	51	
ePP		17	48	
eS		25	00	
ePS		25	54	
ePPS		26	19	
L		42	40	D = 9.450 kms. = 85°

MALAGA

iP	22	14	22	(condensación)
iPP		17	40	
eS		24	50	
iPS		25	42	
LQ		46	20	
LR		51	30	
M		57	30	
F	00	16	—	D = 9.250 kms. = 83° 2

TOLEDO

eP	22	14	26	
i		14	39	
ipP		14	53	
iS		24	56	
isS		25	47	
iSS		30	46	
i(sSS)		31	35	
iSSS		33	56	
Lq		37	30	
M		42	40	D = 9.555 kms. = 86°

CARTUJA

iP	22	14	27	(condensación)
pP		14	46	
PP		17	04	
PPP		18	30	
iS		24	52	
sS		25	49	
PPS		26	46	
sSS		31	43	
L		45	36	
M		52	41	
F		30	—	D = 9.300 kms. = 83° 8

EBRO

eP	22	14	31	
iS		24	23	D = (8.651) kms. = 78°

565*.—SISMO DE 20 DE NOVIEMBRE DE 1960

A 30 kilómetros de Tortosa (España).

Debilísimo.

EBRO

ePg	23h	47m	37s	
iSg		47	41	D = 30 kms. = 0° 27

566.—SISMO DE 21 DE NOVIEMBRE DE 1960

H = 04h 21m 48s,6

6° 5 S., 80° 7 W. h = 73 kms.

Cerca de la costa del Perú. (U. S. C. G. S.)

Réplica del 464, de 20 de este mismo mes

MALAGA

iP	04h	34m	10s	(condensación)
ePP		37	24	D = 9.180 kms. = 82° 6

TOLEDO

eP	04	34	16	(trazas)

567*.—SISMO DE 21 DE NOVIEMBRE DE 1960

Próximo a Tortosa (España).

Debilísimo.

EBRO

e	19h	46m	08s

568.—SISMO DE 22 DE NOVIEMBRE DE 1960

H = 06h 21m 45s

Mag: 6,75 (Pasadena)

36° 1 S., 52° 3 E. h = 21 kms.

Norte de las islas Crozet (U. S. C. G. S.)

(Océano Indico).

ALICANTE

L	07h	04m	09s	
Mo		11	03	
F		25	—	D = 9.850 kms. = 88° 6

MALAGA

iP	06	34	50	(dilatación)
ePP		38	24	
L	07	14	00	
F		18	—	

TOLEDO

eP	06	34	45	
L	07	10	21	
M		13	30	

CARTUJA

P	06	35	05	(condensacion)
iS		45	47	
SS		51	34	
M	07	11	35	
F	08	00	—	D = 9.800 kms. = 88° 3

569.—SISMO DE 22 DE NOVIEMBRE DE 1960

H = 12h 28m 54s,8

Mag: 6,5 (Pasadena)

40° 3 S., 73° 9 W. h = 49 kms.

Cerca de la costa de Chile. (U. S. C. G. S.)

Sentido en Valdivia.

ALICANTE

L	13h	18m	22s	
Mo		26	16	
F	14	25	—	D = 11.500 kms. = 103° 5

MALAGA

eP	12h	42m	40s	
iPP		46	46	
L	13	26	50	
M		31	00	
F		33	—	D = 11.110 kms. = 99° 9

TOLEDO

eP	12	52	52	
L	13	20	40	
M		33	40	

CARTUJA

L	13	20	42	
M		27	31	
F		48	—	

570*.—SISMO DE 22 DE NOVIEMBRE DE 1960

H = 12h 51m 07s,5

A 30 kilómetros de Almería (España).

ALMERIA

ePg	12h	51m	13s	
iSg		51	16,4	D = 30 kms. = 0° 27

571.—SISMO DE 23 DE NOVIEMBRE DE 1960

H = 14h 12m 21s,1
Mag: 6.75 - 7 (Pasadena)
24° 4 S., 176° 1 W. h = 28 kms.
Sur de las islas Tonga. (U. S. C. G. S.)

ALICANTE

P'1	14h	32m	28s	
P'2		33	28	
PP		37	15	
SKS		39	30	
SKKS		44	01	
SS		57	51	
SSS	15	04	17	
L		30	49	
Mo		43	19	
F	16	40	—	D = 18.400 kms. = 165° 6

ALMERIA

eP'1	14	32	32	(condensación)
iP'2		33	36	
ePKS		36	06	
ePP		37	28	
ePPP		41	20	D = 18.550 kms. = 167°

MALAGA

iP'	14	32	37	(condensación)
iP'2		33	37	
iPP		37	23	
iPPP		41	13	
L	15	32	00	
M		40	00	
F		impreciso		D = 18.390 kms. = 165° 4

TOLEDO

eiP'1	14h	32m	31s	
iP'2		33	19	
iPKS		35	55	
iPP		37	03	
eSKKS		42	12	
eSKKKS		44	33	
eSKSP		47	28	
e		48	09	
ePPS		50	49	
e(SS)		56	41	
iSSS	15	03	19	
L		30	40	
M		39	40	
F	17	00	—	D = 17.980 kms. = 161° 8

CARTUJA

P'1	14	31	48	
P'2		32	47	
PP		35	46	
iSKS		38	18	
PPP		40	00	
SKKS		43	00	
SKSP		47	12	
PPS		50	15	
SS		57	36	
L	15	32	36	
M		42	42	
F	18	00	—	D = 18.500 kms. = 166°

EBRO

L	15	33	00	

572.—SISMO DE 23 DE NOVIEMBRE DE 1960

H = 17h 56m 37s,2
Mag: 5,75 - 6 (Matsushiro)
24° 4 S., 176° 2 W. h = 44 kms.
Sur de las islas Tonga. (U. S. C. G. S.)

Réplica del anterior.

MALAGA

eP'	18h	16m	31s	
iP'2		17	41	
iPP		21	29	

573.—SISMO DE 24 DE NOVIEMBRE DE 1960

H = 04h 50m 15s,8
Mag: 6 - 6,25 (Pasadena)
4° 6 S., 153° E. h = 87 kms.
Región de Nueva Bretaña. (U. S. C. G. S.)

ALMERIA

eP'1	05h	09m	36s	
ePP		12	41	
e!pPP		12	41	
esPP		13	25	
e		21	07	
e(SKKP)		21	58	D = 15.600 kms. = 140° 5

MALAGA

iP′	05h	09m	35s	(dilatación)
ePP		12	45	
iPKS		13	13	

TOLEDO

eiP	05	09	29	
ePP		12	30	
i		13	08	
L	06	04	40	D = 15.500 kms. = 139° 5

574.—SISMO DE 24 DE NOVIEMBRE DE 1960

H = 06h 52m 41s,1
Mag: 2,25 - 7,50 (Matsushiro)
24° 4 S., 176° 1 W. h = 23 kms.
Sur de las islas Tonga. (U. S. C. G. S.)

ALICANTE

P'_1	07h	12m	47s	
P'_2		13	48	
SKS		19	50	
PPP		21	30	
PPS		31	15	
SS		38	11	
SSS		44	37	
L	08	11	09	
Mo		23	39	
F	09	30	—	D = 18.400 kms. = 165° 6

ALMERIA

iP'_1	07	12	49	(condensación)
eP'_2		13	52	
i		14	23	
iPP		17	36	
(eSKS)		19	43	
eSKKS		19	43	
eSSS		45	16	
eLQ	08	01	10	
eLR		10	30	D = 18.550 kms. = 167°

MALAGA

iP'_1	07	12	47	(dilatación)
iP′		12	47	
iP'_2		13	47	
iPP		17	39	
iSKS		19	47	
iPPP		21	37	
L	08	09	20	
M		21	00	
F	09	11	—	D = 18.400 kms. = 165° 5

TOLEDO

iP'_1	07	12	46	(condensación)
iP'_2		13	39	
iPP		17	25	
ePPP		21	10	
eSKKS		24	01	
iPS		27	56	
ePPS		30	41	
iSS		37	34	
iSSS		43	41	
L		55	40	D = 18.245 kms. = 164° 2

CARTUJA

iP'_1	07h	13m	13s	
P′		13	45	
SKP		16	37	
iPP		17	31	
iSKS		20	01	
PPP		21	37	
SKKS		24	16	
SKSP		27	58	
PPS		32	13	
iSS		38	13	
SSS		44	10	
G	08	03	12	
iL		14	12	
iM		24	31	
F	10	12	—	D = 18.500 kms. = 166° 5

EBRO

eP′	07	12	44	
(PP)		17	48	D = (18.500) kms. = 166° 5

575*.—SISMO DE 24 DE NOVIEMBRE DE 1960

Próximo a Tortosa.

Muy débil.

EBRO

e	21h	19m	20s
i		19	33
e	22	30	34
i		31	10
e		33	00

576*.—SISMO DE 26 DE NOVIEMBRE DE 1960

Próximo a Tortosa.

Muy débil.

EBRO

e	20h	39m	35s
e	21	38	15

577.—SISMO DE 27 DE NOVIEMBRE DE 1960

H = 15h 17m 14s,2
42° 9 N., 143° 3 E. h = 47 kms.
Próximo a la costa de Hokkaido (Japón). (U. S. C. G. S.)

TOLEDO

eiP	15h	30m	19s	(trazas)

578.—SISMO DE 27 DE NOVIEMBRE DE 1960

H = 21h 24m 30s,7
Mag: 5,25 - 5,5 (Palesades)
37° 2 S., 73° 4 W. h = 61 kms.
Próximo a la costa de Chile.

TOLEDO

L	22h	22m	40s	(trazas)

579.—SISMO DE 28 DE NOVIEMBRE DE 1960

H = 19h 47m 19s,5
47° 5 N., 27° 5 W. h = 38 kms.
Cresta media del Atlántico, al N. de las Azores. (U. S. C. G. S.)

TOLEDO

L	19h	56m	10s	
M		56	40	(trazas)

580*.—SISMO DE 28 DE NOVIEMBRE DE 1960

Próximo a Tortosa.
Muy débil.

EBRO

e	21h	32m	30s	
e		40	02	
e	22	34	37	
e		35	48	

581*.—SISMO DE 29 DE NOVIEMBRE DE 1960

A 67 kilómetros de Alicante.
Grado II.

ALICANTE

Pg	09h	49m	46s	
Sg		49	54	
F		51	—	D = 67 kms. = 0° 6

582*.—SISMO DE 30 DE NOVIEMBRE DE 1960

A 44 kilómetros de Alicante.
Grado I 1/2.

ALICANTE

Pg	13h	30m	17s	
Sg		30	22	
F		31	—	D = 44 kms. = 0° 4

583*.—SISMO DE 30 DE NOVIEMBRE DE 1960

Próximo a Tortosa.
Debilísimo.

EBRO

e	21h	02m	47s	

584*.—SISMO DE 1 DE DICIEMBRE DE 1960

H = 15h 14m 00s,5
Sur de España.

ALMERIA

ePn	15m	14h	38,4s	
iSn		15	03,2	
iSg		15	06,4	D = 210 kms. = 1° 89

585*.—SISMO DE 1 DE DICIEMBRE DE 1960

Peninsular.
Sin más datos.

ALICANTE

e	16m	45h	10s	
F		46	52	(trazas)

586.—SISMO DE 1 DE DICIEMBRE DE 1960

H = 20m 49h 45s,5
Mag: 6 (Berkeley)
49° N., 129° 3 W. h = 15 kms.
Próximo a la isla de Vancouver. (U. S. C. G. S.)

ALICANTE

L	21h	28m	37s	
Mo		35	02	
F		55	—	D = 9.050 kms. = 81° 4

TOLEDO

eP	21	01	54	
e(PP)		05	09	
L		27	40	
M		34	40	D = 8.820 kms. = 79° 4

587.—SISMO DE 2 DE DICIEMBRE DE 1960

H = 09h 10m 39s,1
24° 6 S., 69° 7 W. h = 19 kms.
Próximo a la costa chilena. (U. S. C. G. S.)
Sentido en Antofagasta.

ALICANTE

P	09h	23m	35s	
PP		27	18	
PPP		29	17	
SKS		34	13	
SKKS		34	22	
S		34	35	
SS		40	36	
SSS		44	11	
L		53	45	
Mo	10	02	42	
F	siguiente			D = 10.000 kms. = 90°

ALMERIA

eP	09	23	31
ipP		23	41
ePP		27	11

ePPP	09h	29m	03s	
eS		34	16	
eScS		34	23	
ePPS		35	53	
eLQ		46	50	
eLR		53	—	D = 9.800 kms. = 88°

MALAGA

iP	09	23	26	(condensación)
iPcP		23	34	
iPP		26	56	
iS		34	30	
LQ		46	30	
LR		54	30	
M		59	00	
F	en el siguiente			D = 9.630 kms. = 86° 6

TOLEDO

iP	09	23	38	(dilatación)
ePP		25	57	
eSKS		33	51	
iSKS		34	32	
iS		34	53	
iPS		35	16	
eSS		40	11	
Lq		47	40	
M		56	40	D = 9.860 kms. = 88° 7

CARTUJA

iP	09	23	42	(dilatación)
PcP		24	10	
PP		27	08	
iS		34	53	
PS		35	53	
SS		40	28	
L		48	18	
M		56	41	
F	12	12	—	D = 9.800 kms. = 88°

EBRO

iP	09	24	06	
iS		34	50	D = 9.800 kms. = 88°

588.—SISMO DE 2 DE DICIEMBRE DE 1960

H = 09h 37m 36s,1
Mag: 6,75 (Pasadena)
23° 4 S., 69° 5 W. h = 46 kms.
Próximo a la costa chilena. (U. S. C. G. S.)

ALICANTE

P	09h	50m	40s	
PP		54	15	
S	10	01	32	
SS		07	33	
L		20	42	
Mo		29	39	
F	11	40	—	D = 10000 kms. = 90°

ALMERIA

iP	09	50	28	(condensación)
ePP		53	56	
iS	10	00	56	
eScS	10h	01m	21s	
ePPS		02	44	
eLQ		13	40	
eLR		19	50	D = 9.800 kms. = 88° 3

MALAGA

iP	09	50	22	(condensación)
ePP		53	38	
eS	10	02	54	D = 9.610 kms. = 86° 4

TOLEDO

iP	09	50	32	(condensación)
iPP		53	51	D = 9.790 kms. = 88° 1

Superpuesto al anterior

CARTUJA

iP	09	50	35	(condensación)
PP		54	20	
S	10	01	44	

Superpuesto al anterior

EBRO

eP	09	50	51	

589 y 580*.—SISMOS DE 2 DE DICIEMBRE DE 1960

Próximos a Tortosa (España).
Muy débiles.
Sin más datos.

EBRO

iSg	21h	12m	02s	
e		13	04	
e		13	26	

591*.—SISMO DE 2 DE DICIEMBRE DE 1960

H = 21h 59m 39s

Sur de España.

ALMERIA

ePg	22h	00m	01,4s	
iSg		00	16,2	
e(Sn)		00	19,4	D = 126 kms. = 1° 13

592.—SISMO DE 3 DE DICIEMBRE DE 1960

H = 04h 24m 18s,9
Mag: 7 (Pasadena)
42° 9 N., 104° 4 E. h = 60 kms.
Mongolia Exterior. (U. S. C. G. S.)

ALICANTE

P	04h	35m	55s	
PP		38	41	
PPP		40	25	
S		45	26	
SKS		45	58	
SS		50	12	

L	04h	59m	46s	
Mo	05	08	07	
M		11	30	
F	06	25	—	D = 8.200 kms. = 73° 8

ALMERIA

eP	04	36	04	(condensacinó)
iPP		33	58	
(eS)		45	49	
L	05	03	—	D = 8.450 kms. = 76°

MALAGA

iP	04	36	10	(dilatación)
ePP		38	58	
L	05	09	30	
M		14	15	
F	impreciso			D = 8.640 kms. = 77° 8

TOLEDO

iP	04	36	00	(condensación)
iPP		38	52	
ePPP		40	36	
iSS		50	21	
L	05	03	10	
M		07	40	
iPg		08	43	D = 8.390 kms. = 75° 5

CARTUJA

iP	04	36	07	(condensación)
PP		38	52	
PPP		40	28	
eS		46	10	
iSSS		54	34	
L	05	01	24	
M		08	22	
F	06	36	—	D = 8.600 kms. = 77°

EBRO

iJ	04	35	46	
(S)		45	06	D = (7.900) kms. = 71°

593*.—SISMO DE 3 DE DICIEMBRE DE 1960

Próximo a Tortosa (España).

Muy débil.

EBRO

ePg	20h	46m	31s	
Sg		46	52	D = (195) kms. = 1° 8

594*.—SISMO DE 3 DE DICIEMBRE DE 1960

Próximo a Tortosa (España).

Muy débil.

EBRO

ePg	21h	14m	27s	
Sg		14	49	D = (206) kms. = 1° 9

595*.—SISMO DE 4 DE DICIEMBRE DE 1960

Próximo a Tortosa (España).

Muy débil.

EBRO

ePg	15h	46m	32s	
iSg		46	49	D = (145) kms. = 1° 3

596.—SISMO DE 5 DE DICIEMBRE DE 1960

H = 17h 49m 41s,2

54° 9 N., 161° 4 E. h = 19 kms.

Próximo costa E. de Kamtchatka. (U. S. C. G. S).

TOLEDO

eP 18h 02m 19s D = 9.470 kms. = 85° 2

Trazas

597.—SISMO DE 5 DE DICIEMBRE DE 1960

H = 18h 07m 30s,2

Mag: 5 (Moscú)

54° 5 N., 161° 5 E. h = 40 kms.

Próximo costa E. de Kamtchatka. (U. S. C. G. S.)

Réplica del anterior.

TOLEDO

eP 18h 20m 05s (trazas)

598*.—SISMO DE 5 DE DICIEMBRE DE 1960

Próximo a Tortosa (España).

Muy débil.

EBRO

i 19 48 32

599*.—SISMO DE 5 DE DICIEMBRE DE 1960

Próximo a Tortosa (España).

Muy débil.

EBRO

i 21 19 00

600*.—SISMO DE 5 DE DICIEMBRE DE 1960

H = 21h 21m 50s

35° 9 N., 6° 5 W. h = 50 kms.

Al W. del estrecho de Gibraltar. (B. C. I. S.)

Sentido con grados V a VII entre Tánger y Safi. Senitdo también en el S. de España.

ALICANTE

Pn	21h	23m	09s	
Sn		24	15	
F		45	—	D = 600 kms. = 5° 4

ALMERIA

e	21	22	41,8	
i!Pn		22	42,8	
iP		22	50	
iPg		22	55	
i!Sn		23	22	
iSg		23	42	D = 477 kms. = 4° 02

MALAGA

iPn	21	22	19	(condensación)
F		34	—	D = 200 kms. = 1° 8

TOLEDO

iPn	21	22	57	(dilatación)
iSg		23	47	
F		32	00	D = 490 kms. = 4° 4

CARTUJA

iPn	21	22	35	
Pg		22	39	
PS		23	03	
iSg		23	09	
F		42	—	D = 260 kms. = 2° 3

EBRO

iP	21	23	37	
iS		24	53	D = 810 kms. = 7° 3

601.—SISMO DE 6 DE DICIEMBRE DE 1960

H = 08h 56m 08s,4
8° 2 N., 82° 6 W. h = 25 kms.
Próximo a la costa de Panamá. (U. S. C. G. S.)

ALICANTE

iP	09h	08m	59s	
PP		12	27	
PPP		14	24	
SKS		19	25	
S		19	40	
SS		25	30	
SSS		29	01	
L		38	07	
Mo		46	59	
F	10	15	—	

ALMERIA

eP	09	08	57	(condensación)
i		09	15	
ePP		12	27	
eS		19	30	
(L)		43	30	

MALAGA

iP	09	08	42	D = 8.410 kms. = 75° 7
	condensación			

TOLEDO

iP	09h	08m	54s	(condensación)
ipP		09	07	
iS		19	29	
L		33	40	D = (9.665) kms. = 87°

602.—SISMO DE 6 DE DICIEMBRE DE 1960

H = 08h 56m 09s
Mag: 6,75 (Pasadena)
21° 4 S., 69° 2 W. h = 28 kms.
Norte de Chile. (U. S. C. G. S.)

Sentido en Antofagasta.

CARTUJA

iP	09h	09m	46s	(dilatación)
ePP		12	29	
S		19	13	
PPS		20	49	
SS		24	49	
L		39	54	
M		48	43	
F	10	12	—	D = (9.300) kms. = 84°

EBRO

(P)	09	09	21

603-604-605-606 y 607*. — SISMOS DE 6 DE DICIEMBRE DE 1960

Próximos a Tortosa (España).

Muy débiles.

EBRO

i	20h	37m	07s
i	22	23	17
e		24	00
i		24	13
i		24	43
i		24	49
i		26	00

608*.—SISMO DE 10 DE DICIEMBRE DE 1960

Próximo a Tortosa (España).

EBRO

i	05h	01m	53s
iSg		01	56

609 y 610*. — SISMOS DE 10 DE DICIEMBRE DE 1960

Próximos a Tortosa (España).

Muy débiles.

EBRO

i	20h	27m	03s	
i		48	27	

611*.—SISMO DE 10 DE DICIEMBRE DE 1960

Próximo a Tortosa (España).
Muy débil.

EBRO

ePg	20h	49m	34s	
iSg		49	47	D = (111) kms. = 1°

612*.—SISMO DE 11 DE DICIEMBRE DE 1960

H = 10h 35m 42s
Sur de España. (B. C. I. S.)
Sentido Grado II 1/2 en Granada. Datos poco concordantes.

ALICANTE

Pn	10h	36m	09s	
Sn		36	54	
F		39	57	D = 410 kms. = 3° 7

ALMERIA

iPn	10	36	11,8	(condensación)
eSg		36	31	D = 154 kms. = 1° 38

MALAGA

iPg	10	35	52	(dilatación)

TOLEDO

ePn	10	36	27	
ePg		36	38	
i(S)		37	08	
eSg		37	13	
F		40	—	D = 310 kms. = 2° 8

CARTUJA

Pg	10	35	36	
iSg		35	06	
F		38	54	D = 80 kms. = 0° 72

EBRO

eP	10	37	23	
iS		38	30	D = 634 kms. = 5° 7

613*.—SISMO DE 12 DE DICIEMBRE DE 1960

H = 20h 05m 02s
37° 52 N., 3° 58 W. h = 50 kms.
Sur de España. (Alicante)

ALICANTE

Pn	20h	05m	56s	
Sn		06	34	
F		08	26	D = 340 kms. = 3° 1

ALMERIA

ePg	20	05	25,8	
iSg		05	41,5	D = 133 kms. = 1° 20

MALAGA

iPg	20	05	25	(condensación)

TOLEDO

ePg	20	05	47	
iSg		06	17	
F		09	—	D = 255 kms. = 2° 3

CARTUJA

Pg	20	05	17	
Sg		05	24	
PS		05	31	
F		06	24	D = 50 kms. = 0° 45

EBRO

e	20	07	26	
i		07	32	

614-615 y 616*.—SISMOS DE 12 DE DICIEMBRE DE 1960

Próximos a Tortosa (España).
Muy débiles.

EBRO

e	20	20	54	
i		21	11	
e		23	24	
e		52	43	
i		52	49	

617.—SISMO DE 13 DE DICIEMBRE DE 1960

H = 07h 36m 16s,4
Mag: 7,25 (Pasadena)
52° 7 S., 159° 1 E. h = 25 kms.
Región de las islas Macquarie. (U. S. C. G. S.)

ALICANTE

P'_1	07h	56m	19s	
P'_2		57	16	
PP	08	01	03	
SKS		03	22	
PPP		04	56	
SS		21	34	
SSS		27	58	
L		54	16	
Mo	09	06	42	
F		30	—	D = 18.300 kms. = 164° 7

ALMERIA

eP'_1	07	56	40	
iP'_2		57	25	
e(PP)	08	01	55	
eSKS		03	48	
eSS		22	06	
e!(LQ)		44	00	
eLR		51	10	D = 17.900 kms. = 161°

MALAGA

iP'$_1$	07^h	56^m	43^s	(condensación)
iP'$_2$		57	30	
iPKS	08	00	21	
ePP		01	07	
ePP		01	07	
L	09	13	00	
M		22	00	
F		40	—	D = 17.750 kms. = 159° 6

TOLEDO

eP'$_1$	07	56	45	
eP'$_2$		57	41	
ePP	08	01	25	
eSKS		03	46	
eSKKS		08	29	
e(SKKKS)		08	47	
iPPS		14	20	
e(SSS)		27	18	
Lq		44	40	
M	09	17	40	
F	10	30	—	D = 18.155 kms. = 163° 4

CARTUJA

P'$_2$		57	46	
iPP	00	01	28	
SKS		04	22	
SKKS		08	03	
SKSP		12	08	
SS		21	58	
SSS		28	55	
G		58	42	
L	09	10	12	
M		20	52	D = 18.000 kms. = 762°

618.—SISMO DE 13 DE DICIEMBRE DE 1960

H = 09^h 03^m 09^s,2

21 °9 S., 175° 5 W. h = 84 kms.

Islas Tonga. (U S. C. G. S.)

EBRO

L	09^h	24^m	00^s
M		26	46

619-620-621 y 622*.—SISMOS DE 13 DE DICIEMBRE DE 1960

Próximos a Tortosa (España).

Muy débiles.

EBRO

e	20^h	28^m	34^s
i	21	00	22
i		00	46
e	22	42	52
e		44	28
i		44	50

623.—SISMO DE 14 DE DICIEMBRE DE 1960

H = 23^h 51^m 31^s,5

Mag: 6,75 (Pasadena)

3° N., 126° 3 E. h = 78 kms.

Estrechos de las Molucas. (U. S. C. G. S.)

TOLEDO

eP'	00^h	10^m	13^s
ePP		11	17

CARTUJA

eSKS	00	16	54	
PS		21	24	
SS		27	33	
L		49	24	
M	01	01	54	
F	02	00	—	D = 13.100 kms. = 118°

624*.—SISMO DE 15 DE DICIEMBRE DE 1960

Próximo a Tortosa (España).

Muy débil.

EBRO

e	15^h	54^m	16^s

625.—SISMO DE 16 DE DICIEMBRE DE 1960

H = 16^h 49^m 15^s,9

14° 7 N.,42° 9 E. h = 29 kms.

Próximo a la costa de Eritrea. (U. S. C. G. S.)

TOLEDO

eP	16^h	57^m	55^s
ePP		59	44

626.—SISMO DE 16 DE DICIEMBRE DE 1960

H = 18^h 21^m 31^s,7

44° N., 28° 9 W. h = 21 kms.

Atlántico Norte. (U. S. C. G. S.)

MALAGA

iP	18^h	26^m	07^s	(dilatación)

TOLEDO

eP	18	25	52

627.—SISMO DE 17 DE DICIEMBRE DE 1960

H = 13^h 14^m 32^s

44° 7 N., 30° 9 W. h = 25 kms.

Norte de las Azores. (U. S. C. G. S.)

CARTUJA

iP	13^h	18^m	48^s	(dilatación)
				D = 2.200 kms. = 20°

628*.—SISMO DE 17 DE DICIEMBRE DE 1960

Sur de España.

MALAGA

iPg	23h	35m	50s	(condensación)
iSg		36	02	
iSn		36	07	
F		37	—	D = 100 kms. = 0° 9

TOLEDO

ePg	23	36	43
	Trazas		

629.—SISMO DE 18 DE DICIEMBRE DE 1960

H = 18h 20m 43s,3

8° 6 N., 125° 9 E. h = 36 kms.

Mindanao (Filipinas). (U. S. C. G. S.)

Sentido en Hinatuan con grado IV

TOLEDO

L	19h	17m	40s
	Trazas		

630-631-632 y 633*. — SISMOS DE 18 DE DICIEMBRE DE 1960

Próximos a Tortosa (España).

Muy débiles.

EBRO

i	18h	51m	14s
e		52	13
e		53	33
e	22	30	06

634-635 y 636*.—SISMOS DE 19 DE DICIEMBRE DE 1960

Próximos a Tortosa (España).

Muy débiles.

EBRO

i	21h	09m	11s
e		10	18
e		11	29

637*.—SISMO DE 20 DE DICIEMBRE DE 1960

H = 00h 14m 42s

37° N., 3° 5 W. (aprox.) (B. C. I. S.)

Sur de España.

ALICANTE

e	00h	15m	47s
F		18	00

ALMERIA

ePg	00h	14m	57s	(condensación)
iSg		15	13	D = 137 kms. = 1° 23

MALAGA

iPg	00	14	50,5	(condensación)
iPn		14	54	
iSg		14	59	
iSn		15	05	
F		16	—	D = 80 kms. = 0° 72

TOLEDO

ePg	00	15	27
	Trazas		

CARTUJA

iP	00	14	44	
iS		14	47	
F		15	30	D = 20 kms. = 0° 18

638*.—SISMO DE 20 DE DICIEMBRE DE 1960

H = 03h 47m 26s

35° 9 N., 3° 2 W. h = 10 kms.

Mar de Alborán (Almería).

Sentido en Melilla con grado IV.

ALICANTE

Pn	03h	48m	27s
eSn		49	07,5
F		51	04 D = 370 kms. = 3° 3

ALMERIA

iPg	03	47	47,6	(condensación)
iSg		48	03	D = 122 kms. = 1° 10

MALAGA

iPg	03	47	51	(condensación)
i(Pn)		47	53	
iSg		48	09	
F		51	—	D = 150 kms. = 1° 35

TOLEDO

ePn	03	48	32	
iSn		49	16	
iSg		49	36	D = 415 kms. = 3° 75

CARTUJA

iPg	03	47	51	(condensación)
iSg		48	03	
F		52	30	D = 100 kms. = 0° 9

639*.—SISMO DE 20 DE DICIEMBRE DE 1960

Primera réplica del anterior.

CARTUJA

Sg	03h	49m	27s

640*.—SISMO DE 20 DE DICIEMBRE DE 1960

Segunda réplica del núm. 638.

CARTUJA

Sg	03h	50m	03s	

641*.—SISMO DE 20 DE DICIEMBRE DE 1960

Sur de España. Datos no concordantes.
Tercera réplica del núm. 638.

ALMERIA

ePg	09h	35m	53s	
i(Pn)		35	56,9	
iSg		36	00,0	D = 56 kms. = 0° 50

MALAGA

iPg	09	35	53	(condensación)
iSg		36	11	
F		38	—	D = 150 kms. = 1° 35

TOLEDO

ePg	09	37	04

CARTUJA

ePg	09	36	13	
eSg		36	24	
F		36	42	D = 100 kms. = 0° 9

642 y 643.—SISMOS DE 20 DE DICIEMBRE DE 1960

Próximo a Tortosa (España).
Muyy débiles.

EBRO

i	20h	44m	19s
e		46	38

644.—SISMO DE 21 DE DICIEMBRE DE 1960

H = 14h 39m 48s
Mag: 5,75 (Pasadena)
61° 5 N., 152° 8 W. h = 125 kms.
Sur de Alaska central. (U. S. C. G. S.)
Sentido en Cooper Lake, Project y Summit.

ALICANTE

L	15h	17m	13s	
F		30	—	D = 8.650 kms. = 77° 8

MALAGA

iP	14	51	50	(condensación)

TOLEDO

eiP	14	50	34
epP		52	33

CARTUJA

iP	14h	52m	33s	(dilatación)

645*.—SISMO DE 21 DE DICIEMBRE DE 1960

Próximo a Tortosa (España).
Muy débil.

EBRO

e	21h	06m	52s

646.—SISMO DE 21 DE DICIEMBRE DE 1960

H = 20h 55m 51s,8
11° 3 N., 141° 3 E. h = 72 kms.
Islas Marianas. (U. S. C. G. S.)

¿EBRO?

e	21h	09m	18s

647.—SISMO DE 21 DE DICIEMBRE DE 1960

H = 22h 29m 54s,9
62° 7 S., 167° 1 E. h = 29 kms.
Norte de las islas de Balleny. (U. S. C. G. S)

TOLEDO

eP'1	22h	49m	55s	
L	23	52	40	(trazas)

648.—SISMO DE 22 DE DICIEMBRE DE 1960

H = 03h 47m 21s,7
16° 2 S., 72° 9 W. h = 147 kms.
Próximo costa S. de Perú. (U. S. C. G. S.)
Sentido en Arequipa.

MALAGA

iP	03h	59m	38s	(condensación)
ipP	04	00	02	D = 9.300 kms. = 83° 7

TOLEDO

iP	03	59	47	(dilatación)
ipP		00	14	

649.—SISMO DE 22 DE DICIEMBRE DE 1960

H = 06h 31m 21s,5
Mag: 5,75 - 6 (Matsushiro)
31° S., 177° 1 W. h = 46 kms.
Región Islas Kermadec. (U. S. C. G. S.)

MALAGA

iP	06h	52m	47s	(condensación)
iPP		56	45	

CARTUJA

P′	06h	52m	55s	(condensación)
iPP		56	45	

650.—SISMO DE 22 DE DICIEMBRE DE 1960

H = 14h 12m 18s,7

28° S., 176° 1 W. h = 60 kms.

Región islas Kermadec. (U. S. C. G. S.)

TOLEDO

e	14h	32m	56s
L	15	50	—

651 y 652*.—SISMOS DE 22 DE DICIEMBRE DE 1960

Próximo a Tortosa (España).

Muy débiles.

EBRO

e	20h	26m	16s	
i		26	30	
e	20	42	12	
i		42	22	

653.—SISMO DE 22 DE DICIEMBRE DE 1960

H = 21h 02m 41s,2

Mag: 6 - 6,25 (Matsushiro)

6° 9 S., 155° 3 E. h = 469 kms.

Islas Salomón. (U. S. C. G. S.)

ALMERIA

eP′1	21h	21m	27s	(dilatación)
ipP′1		23	23	
ePP		24	48	
eSS		43	09	
L	22	10	50	D = 16.000 kms. = 144°

MALAGA

iP′	21	21	30	(dilttación)

TOLEDO

eP	21	21	24	D = 15.900 kms. = 143° 1
		Trazas		

CARTUJA

iP′	21	21	25	(condensación)

654*.—SISMO DE 23 DE DICIEMBRE DE 1960

H = 15h 29m 14s

Sur de España.

MALAGA

iPg	15h	29m	26s	(dilatación)
iPn		29	28	
iSg		29	34	D = 65 kms. = 0° 59

655*.—SISMO DE 23 DE DICIEMBRE DE 1960

Sur de España.

Primera réplica del anterior.

MALAGA

iSg	15h	31m	52s
iSn		31	57

656*.—SISMO DE 23 DE DICIEMBRE DE 1960

Sur de España.

Segunda réplica.

MALAGA

iPg	15h	37m	16s	(dilatación)
iSg		37	24	
iSn		37	29	

657-658-659-660 y 661*.—SISMOS DE 23 DE DICIEMBRE DE 1960

Próximos a Tortosa (España).

Muy débiles.

EBRO

e	20h	26m	58s
i		27	10
e	20	29	43
i		30	02
e	22	17	26
i		17	38
e	22	18	16
e	22	19	18

662*.—SISMO DE 24 DE DICIEMBRE DE 1960

Próximo a Tortosa (España).

Muy débil.

EBRO

i	20h	10m	57s
i		11	29

663*.—SISMO DE 24 DE DICIEMBRE DE 1960

Costa N. Marruecos.

ALMERIA

ePn	20h	24m	41,6s	
iPg		24	48,2	
iSn		25	12,0	D = 266 kms. = 2° 39

MALAGA

iPg	20h	24m	37s	(condensación)
iSg		25	02	
F		27	—	D = 215 kms. = 1° 94

TOLEDO

ePn	20	25	18	
e(Sg)		26	22	

CARTUJA

Pg	20	24	45	(dilatación)
iSg		25	29	
F		27	—	D = 240 kms. = 2° 16

664*.—SISMO DE 24 DE DICIEMBRE DE 1960

Próximo a Tortosa (España).
Muy débil.

EBRO

i	23h	13m	14s
i		13	19

665*.—SISMO DE 25 DE DICIEMBRE DE 1960

Inmediaciones de Granada.
Sentido con grado II.

MALAGA

iPg	09h	00m	20s	(condensación)
iPn		00	22	
i		00	26	
iSg		00	30	
iSn		00	36	
F		01	—	D = 90 kms. = 0° 81

TOLEDO

ePg	09	00	52	(trazas)

CARTUJA

iPg	09	00	06	
iSg		00	08	
F		01	30	D = 15 kms. = 0° 13

666*.—SISMO DE 25 DE DICIEMBRE DE 1960

Réplica del anterior.

MALAGA

iPg	11h	47m	08s	(dilatación)
iSg		47	18	
iSn		47	24	
F		48	—	D = 90 kms. = 0° 81

CARTUJA

Pg	11	46	50	
Sg		46	52	
F		47	12	D = 15 kms. = 0° 13

667*.—SISMO DE 26 DE DICIEMBRE DE 1960

H = 00h 57m 10s
Próximo a la costa S. de España. (B. C. I. S.)
Sentido con grado III 1/2 en Cantoria y Zúrgena (Almería).

ALICANTE

Pg	00h	57m	55s	
F		59	02	

ALMERIA

iPg	00	57	25	(condensación)
iPn		57	29,1	
iSg		57	32,4	D = 42 kms. = 0° 38

MALAGA

ePn	00	57	53	
iPg		57	57	
iSn		58	21	
iSg		58	27	
F		59	—	D = 220 kms. = 1° 98

TOLEDO

ePg	00	58	10	(trazas)

CARTUJA

eSg	00	58	03	
F		58	12	

668.—SISMO DE 27 DE DICIEMBRE DE 1960

H = 11h 08m 47s,8
Mag: 4,5 (Berkeley)
41° 6 N., 124° 8 W. h = 24 kms.
Próximo a la costa N. de California. (U. S. C. G. S.)

CARTUJA

L	11h	17m	00s
M		20	04
F		42	—

669 y 670*.—SISMOS DE 28 DE DICIEMBRE DE 1960

Próximo a Tortosa (España).
Muy débiles.

EBRO

e	21h	21m	01s
i		21	18
e	21	44	15

671.—SISMO DE 29 DE DICIEMBRE DE 1960

H = 11h 04m 20s,4
10° 2 S., 75° 9 W. h = 35 kms.
Perú.

TOLEDO

L	11h	24m	35s
M		36	35

CARTUJA

G	11	25	42
L		37	37
M		52	53
F	12	06	—

672.—SISMO DE 29 DE DICIEMBRE DE 1960

Sin más datos.

TOLEDO

eiP	15^h	53^m	13^s

673.—SISMO DE 29 DE DICIEMBRE DE 1960

H = 18^h 19^m $41^s.6$
Mag: 5 (Moscú)
35° 5 N., 22° 6 E. h = 54 kms.
Próximo a la isla de Creta. (U. S. C. G. S. y B. C. I. S.)

TOLEDO

eP	18^h	24^m	25^s	D = 2.380 kms. = 21° 4

674.—SISMO DE 29 DE DICIEMBRE DE 1960

H = 19^h 01^m $38^s,1$
18° 9 S., 69° 4 W. h = 39 kms.
Norte de Chile. (U. S. C. G. S.)
Sentido en Arequipa.

MALAGA

iP	19^h	14^m	06^s	D = 9.200 kms. = 82° 8
		Dilatación		

TOLEDO

eiP	19	14	14	(trazas)

675 y 676*.—SISMOS DE 29 DE DICIEMBRE DE 1960

Próximo a Tortosa (España).
Muy débiles.

EBRO

e	20^h	51^m	11^s
i		51	21
e	21	21	52
i		21	59

677*.—SISMO DE 30 DE DICIEMBRE DE 1960

H = 06^h 06^m 00^s
38° N., 4° W. (B. C. I. S.)
Sur de España.
Sentido en Cabra (Córdoba) y Jaén.

ALICANTE

Pn	06^h	07^m	14^s
F		09	42

ALMERIA

ePn	06	06	31,4	
iPg		06	33,2	
iSn		06	52,2	D = 169 kms. = 1° 52

TOLEDO

eiPn	06^h	06^m	48^s	
iPg		07	00	
F		11	01	D = (305) kms. = 2° 75

CARTUJA

iPg	06	06	12	
iSg		06	23	
F		09	30	D = 80 kms. = 0° 72

EBRO

e	06	08	16	
i		19	00	

678*.—SISMO DE 30 DE DICIEMBRE DE 1960

Réplica del anterior.

CARTUJA

ePg	06^h	06^m	36^s	
Sg		06	44	(superpuesto)

679-680-681-682 y 683*.—SISMOS DE 30 DE DICIEMBRE DE 1960

Próximo a Tortosa (España).
Muy débiles.

EBRO

e	20^h	47^m	28^s
i		47	28
e		48	44
i	21	13	47
i	21	14	49
i	21	15	33

684*.—SISMO DE 31 DE DICIEMBRE DE 1960

Suroeste de Almería (España).

ALMERIA

iPg	14^h	39^m	$23,2^s$	(dilatación)
i(Pn)		39	27,8	
i*Sg		39	28,4	D = 44 kms. = 0° 40

685-686 y 687*.—SISMOS DE 31 DE DICIEMBRE DE 1960

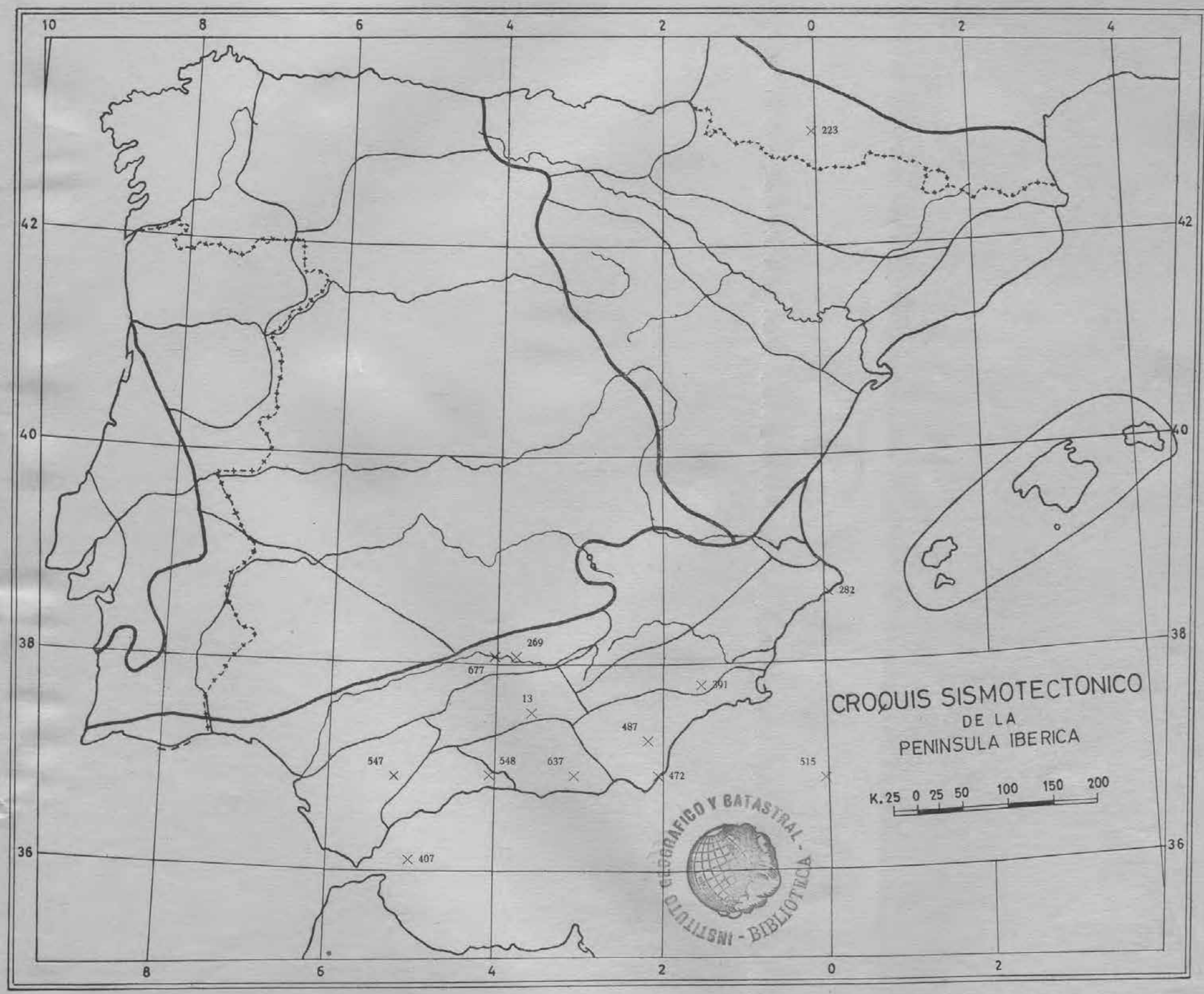
Próximos a Tortosa (España).
Muy débiles.

EBRO

e	19^h	43^m	49^s
e	19	45	43
e	19	46	11

INSTITUTO GEOGRÁFICO Y CATASTRAL - BIBLIOTECA

NOTA.—Los números con asteriscos corresponden a sismos próximos.



Epicentros de sismos ibéricos localizados durante el **segundo semestre de 1960.** Los números indican el orden con el cual figuran en el Boletín. Para sus coordenadas consultar el texto.

(Laboratorio Central de Sismología. Madrid.)